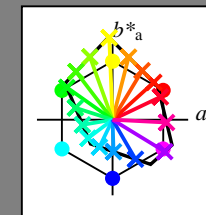


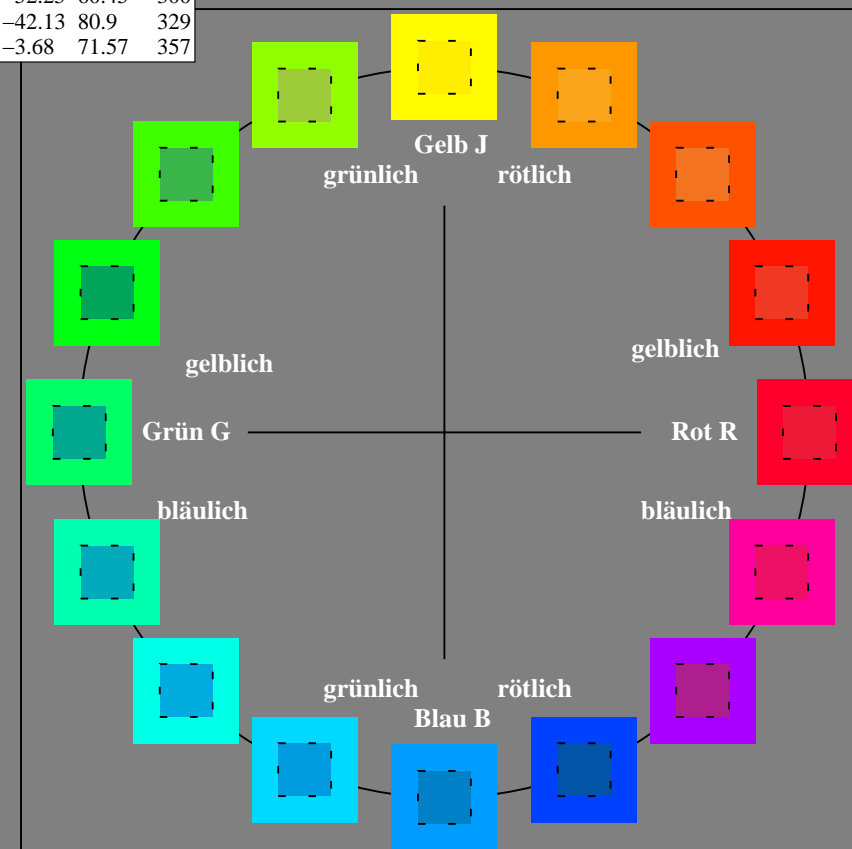
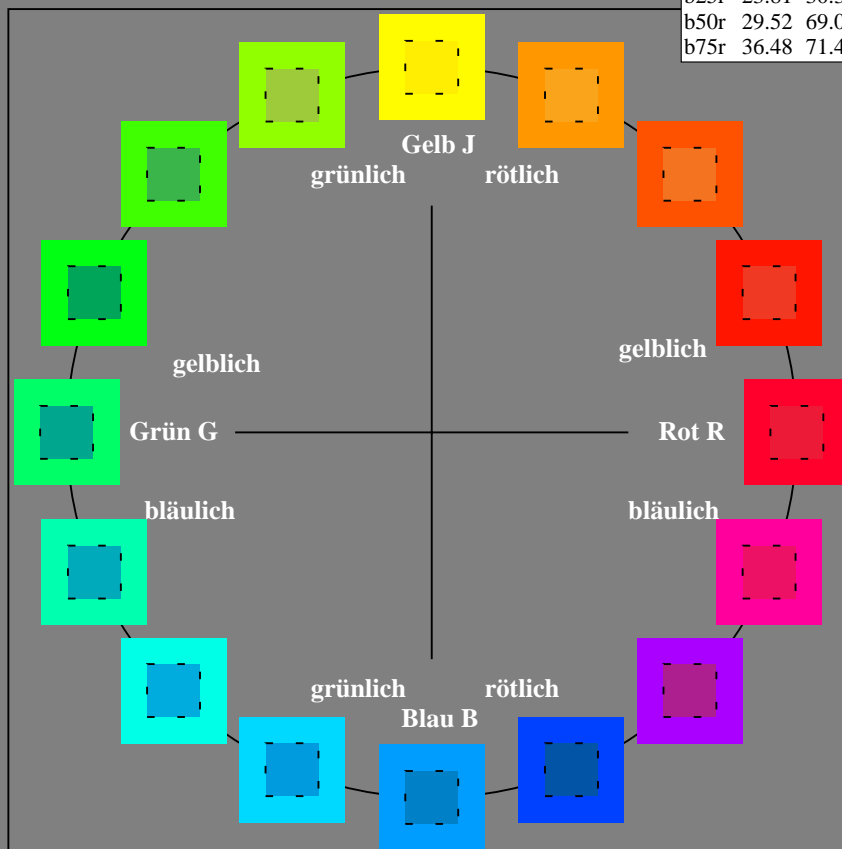
Ein und Ausgabe:
Farbmetrisches Drucker-Reflektiv-System FRS09_92a
Daten für jede Farbe:
 $lab^{*}ch^{*}$ und $lab^{*}icu^{*}$
Elementar-Bunttontext:
 $u^{*} = 16$ Buntttöne $r00j$, $r25j$, ..., $b75r$
Kontrastreduzierungsfaktor:
 $c_R = 1.0$

FRS09_92a; adaptierte CIELAB-Daten					
	$L^{*}=L^{*}_a$	a^{*}_a	b^{*}_a	$C^{*}_{ab,a}$	$h^{*}_{ab,a}$
r00j	35.47	63.32	30.17	70.15	25
r25j	39.12	54.56	49.45	73.64	42
r50j	50.64	39.15	64.89	75.79	59
r75j	64.01	21.26	82.83	85.52	76
j00g	83.18	-4.37	108.53	108.62	92
j25g	66.73	-29.88	83.06	88.28	110
j50g	54.03	-48.3	63.49	79.78	127
j75g	44.73	-60.32	42.64	73.88	145
g00b	47.59	-49.07	15.74	51.54	162
g25b	49.97	-39.69	-6.71	40.27	190
g50b	51.85	-32.32	-24.34	40.48	217
g75b	46.92	-17.28	-36.01	39.96	244
b00r	37.91	1.28	-42.34	42.37	272
b25r	23.81	30.38	-52.25	60.45	300
b50r	29.52	69.06	-42.13	80.9	329
b75r	36.48	71.47	-3.68	71.57	357



%Umfang
 $u^{*}_{rel} = 109$
%Regularität
 $g^{*}_{H,rel} = 31$
 $g^{*}_{C,rel} = 40$

FRS09_92a; adaptierte CIELAB-Daten					
	$L^{*}=L^{*}_a$	a^{*}_a	b^{*}_a	$C^{*}_{ab,a}$	$h^{*}_{ab,a}$
OMa	35.06	60.0	44.0	74.4	36
YMa	83.77	-5.16	109.32	109.44	93
LMa	44.13	-62.66	48.24	79.09	142
CMa	52.66	-29.13	-31.98	43.27	228
VMa	14.15	50.3	-59.03	77.57	310
MMa	37.37	78.64	-33.49	85.48	337
NMa	8.58	0.0	0.0	0.0	0
WMa	92.02	0.0	0.0	0.0	0
RCIE	39.92	58.74	27.99	65.07	25
JCIE	81.26	-2.88	71.56	71.62	92
GCIE	52.23	-42.41	13.6	44.55	162
BCIE	30.57	1.41	-46.46	46.49	272



Ein und Ausgabe: Farbmetrisches Drucker-Reflektiv-System FRS09_92a für relativen CIELAB-Buntton $h^* = lab^*h^* = h_{ab}/360 = 42/360 = 0.117$ $u^* = r25j$

Daten für jede Farbe:

lab^*ch^* und lab^*icu^*

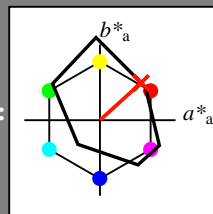
Elementar-Bunttontext:

$u^* = r25j$

Kontrastreduzierungsfaktor:

$c_R = 1.0$

Dreiecks-Helligkeit t^*



FRS09_92a; adaptierte CIELAB-Daten

	$L^*=L_a^*$	a_a^*	b_a^*	$C_{ab,a}^*$	$h_{ab,a}^*$
O _{Ma}	35.06	60.0	44.0	74.4	36
Y _{Ma}	83.77	-5.16	109.32	109.44	93
L _{Ma}	44.13	-62.66	48.24	79.09	142
C _{Ma}	52.66	-29.13	-31.98	43.27	228
V _{Ma}	14.15	50.3	-59.03	77.57	310
M _{Ma}	37.37	78.64	-33.49	85.48	337
N _{Ma}	8.58	0.0	0.0	0.0	0
W _{Ma}	92.02	0.0	0.0	0.0	0
R _{CIE}	39.92	58.74	27.99	65.07	25
J _{CIE}	81.26	-2.88	71.56	71.62	92
G _{CIE}	52.23	-42.41	13.6	44.55	162
B _{CIE}	30.57	1.41	-46.46	46.49	272

Daten für Maximalfarbe (Ma):

$LAB^*LAB^*_{Ma}$: 39 55 49

$LAB^*LCH^*_{Ma}$: 39 74 42

$lab^*rgb^*_{Ma}$: 1.0 0.25 0.0

$lab^*olv^*_{Ma}$: 1.0 0.08 0.0

Dreiecks-Helligkeit t^*

%Umfang

$u^*_{rel} = 109$

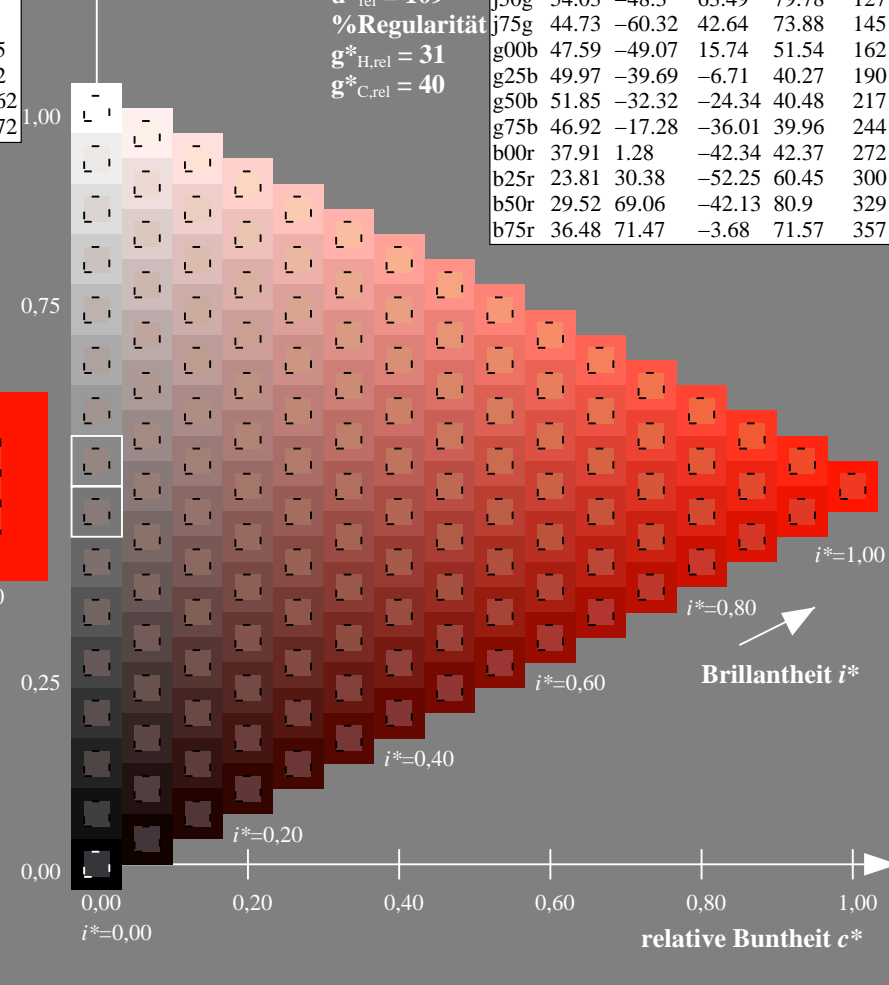
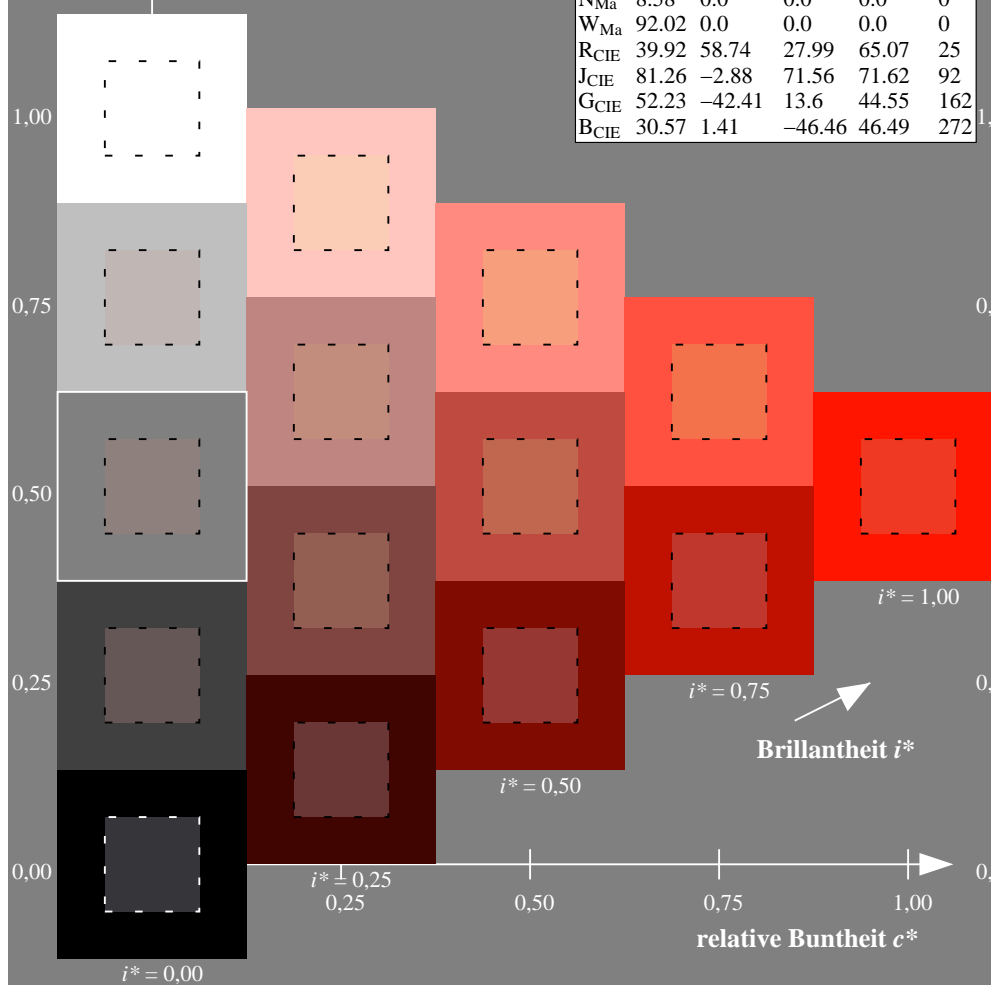
%Regularität

$g^*_{H,rel} = 31$

$g^*_{C,rel} = 40$

FRS09_92a; adaptierte CIELAB-Daten

	$L^*=L_a^*$	a_a^*	b_a^*	$C_{ab,a}^*$	$h_{ab,a}^*$
r00j	35.47	63.32	30.17	70.15	25
r25j	39.12	54.56	49.45	73.64	42
r50j	50.64	39.15	64.89	75.79	59
r75j	64.01	21.26	82.83	85.52	76
j00g	83.18	-4.37	108.53	108.62	92
j25g	66.73	-29.88	83.06	88.28	110
j50g	54.03	-48.3	63.49	79.78	127
j75g	44.73	-60.32	42.64	73.88	145
g00b	47.59	-49.07	15.74	51.54	162
g25b	49.97	-39.69	-6.71	40.27	190
g50b	51.85	-32.32	-24.34	40.48	217
g75b	46.92	-17.28	-36.01	39.96	244
b00r	37.91	1.28	-42.34	42.37	272
b25r	23.81	30.38	-52.25	60.45	300
b50r	29.52	69.06	-42.13	80.9	329
b75r	36.48	71.47	-3.68	71.57	357



Ein und Ausgabe: Farbmetrisches Drucker-Reflektiv-System FRS09_92a für relativen CIELAB-Buntton $h^* = lab^*h^* = h_{ab}/360 = 59/360 = 0.164$ $u^* = r50j$

Daten für jede Farbe:

lab^*ch^* und lab^*icu^*

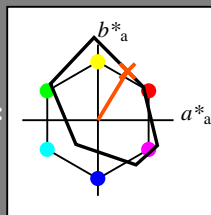
Elementar-Bunttontext:

$u^* = r50j$

Kontrastreduzierungsfaktor:

$c_R = 1.0$

Dreiecks-Helligkeit i^*



FRS09_92a; adaptierte CIELAB-Daten

	$L^*=L_a^*$	a_a^*	b_a^*	$C_{ab,a}^*$	$h_{ab,a}^*$
O _{Ma}	35.06	60.0	44.0	74.4	36
Y _{Ma}	83.77	-5.16	109.32	109.44	93
L _{Ma}	44.13	-62.66	48.24	79.09	142
C _{Ma}	52.66	-29.13	-31.98	43.27	228
V _{Ma}	14.15	50.3	-59.03	77.57	310
M _{Ma}	37.37	78.64	-33.49	85.48	337
N _{Ma}	8.58	0.0	0.0	0.0	0
W _{Ma}	92.02	0.0	0.0	0.0	0
R _{CIE}	39.92	58.74	27.99	65.07	25
J _{CIE}	81.26	-2.88	71.56	71.62	92
G _{CIE}	52.23	-42.41	13.6	44.55	162
B _{CIE}	30.57	1.41	-46.46	46.49	272

Daten für Maximalfarbe (Ma):

$LAB^*LAB^*_{Ma}$: 51 39 65

$LAB^*LCH^*_{Ma}$: 51 76 59

$lab^*rgb^*_{Ma}$: 1.0 0.5 0.0

$lab^*olv^*_{Ma}$: 1.0 0.32 0.0

Dreiecks-Helligkeit i^*

%Umfang

$u^*_{rel} = 109$

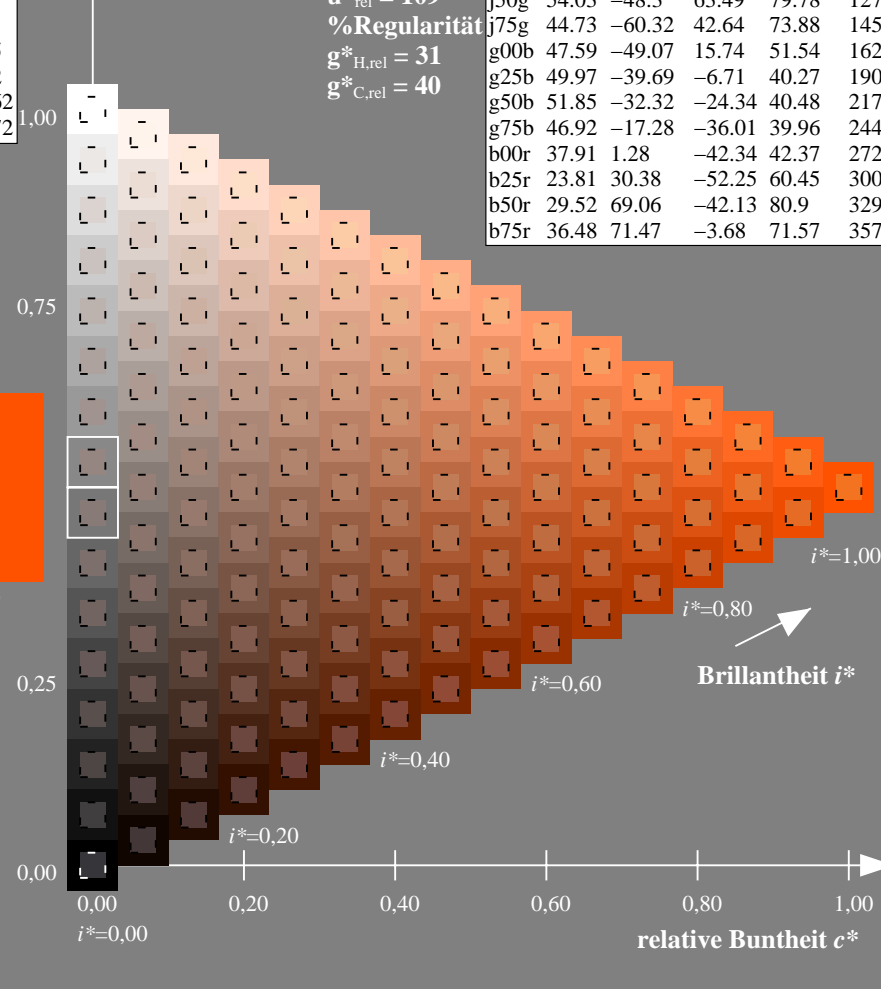
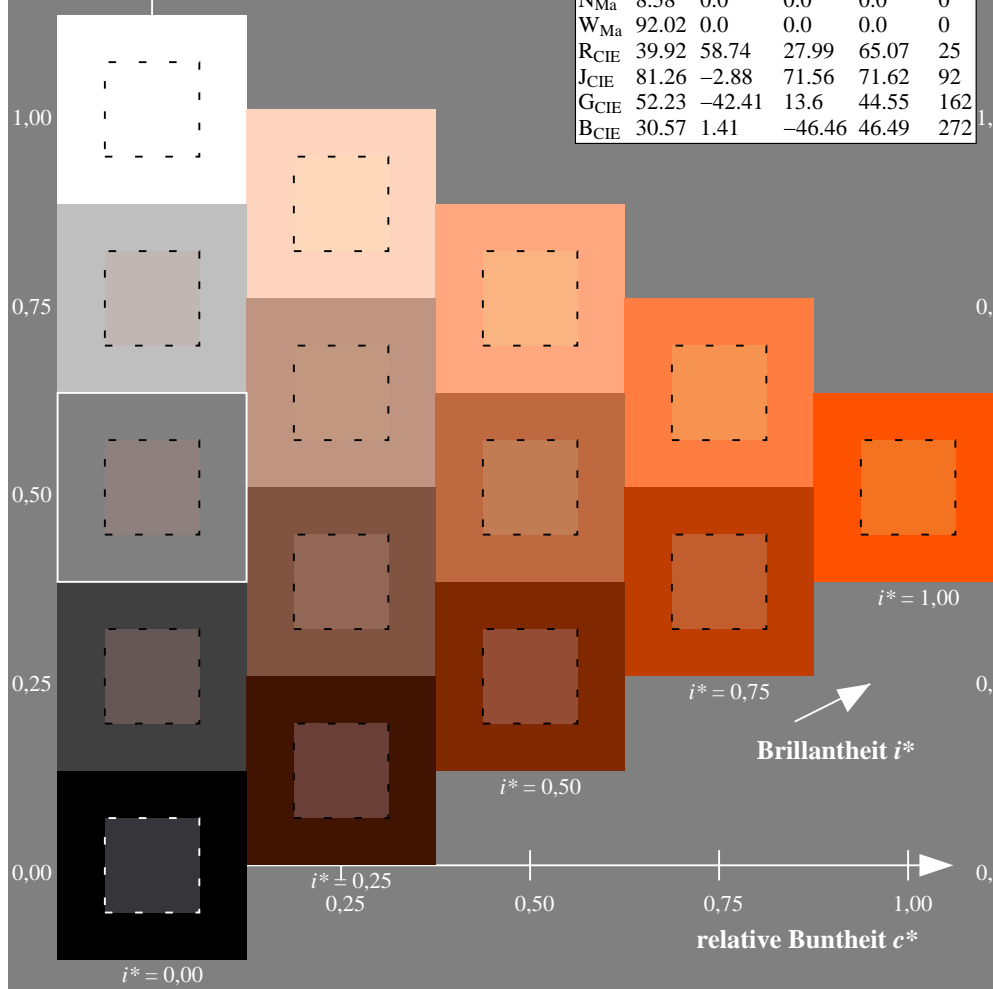
%Regularität

$g^*_{H,rel} = 31$

$g^*_{C,rel} = 40$

FRS09_92a; adaptierte CIELAB-Daten

	$L^*=L_a^*$	a_a^*	b_a^*	$C_{ab,a}^*$	$h_{ab,a}^*$
r00j	35.47	63.32	30.17	70.15	25
r25j	39.12	54.56	49.45	73.64	42
r50j	50.64	39.15	64.89	75.79	59
r75j	64.01	21.26	82.83	85.52	76
j00g	83.18	-4.37	108.53	108.62	92
j25g	66.73	-29.88	83.06	88.28	110
j50g	54.03	-48.3	63.49	79.78	127
j75g	44.73	-60.32	42.64	73.88	145
g00b	47.59	-49.07	15.74	51.54	162
g25b	49.97	-39.69	-6.71	40.27	190
g50b	51.85	-32.32	-24.34	40.48	217
g75b	46.92	-17.28	-36.01	39.96	244
b00r	37.91	1.28	-42.34	42.37	272
b25r	23.81	30.38	-52.25	60.45	300
b50r	29.52	69.06	-42.13	80.9	329
b75r	36.48	71.47	-3.68	71.57	357



Ein und Ausgabe: Farbmetrisches Drucker-Reflektiv-System FRS09_92a für relativen CIELAB-Buntton $h^* = lab^*h^* = h_{ab}/360 = 76/360 = 0.21$ $u^* = r75j$

Daten für jede Farbe:

lab^*ch^* und lab^*icu^*

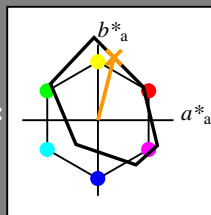
Elementar-Bunttontext:

$u^* = r75j$

Kontrastreduzierungsfaktor:

$c_R = 1.0$

Dreiecks-Helligkeit t^*



FRS09_92a; adaptierte CIELAB-Daten

	$L^*=L^*_a$	a^*_a	b^*_a	$C^*_{ab,a}$	$h^*_{ab,a}$
O _{Ma}	35.06	60.0	44.0	74.4	36
Y _{Ma}	83.77	-5.16	109.32	109.44	93
L _{Ma}	44.13	-62.66	48.24	79.09	142
C _{Ma}	52.66	-29.13	-31.98	43.27	228
V _{Ma}	14.15	50.3	-59.03	77.57	310
M _{Ma}	37.37	78.64	-33.49	85.48	337
N _{Ma}	8.58	0.0	0.0	0.0	0
W _{Ma}	92.02	0.0	0.0	0.0	0
R _{CIE}	39.92	58.74	27.99	65.07	25
J _{CIE}	81.26	-2.88	71.56	71.62	92
G _{CIE}	52.23	-42.41	13.6	44.55	162
B _{CIE}	30.57	1.41	-46.46	46.49	272

Daten für Maximalfarbe (Ma):

$LAB^*LAB^*_{Ma}$: 64 21 83

$LAB^*LCH^*_{Ma}$: 64 86 76

$lab^*rgb^*_{Ma}$: 1.0 0.75 0.0

$lab^*olv^*_{Ma}$: 1.0 0.59 0.0

Dreiecks-Helligkeit t^*

%Umfang

$u^*_{rel} = 109$

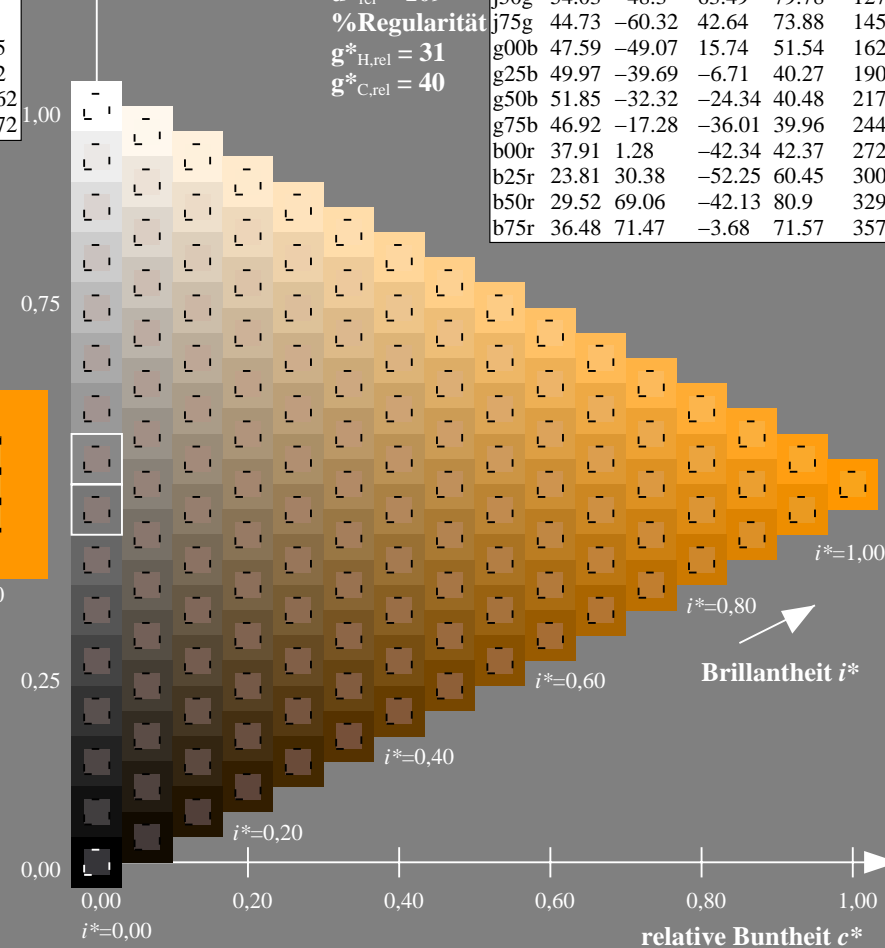
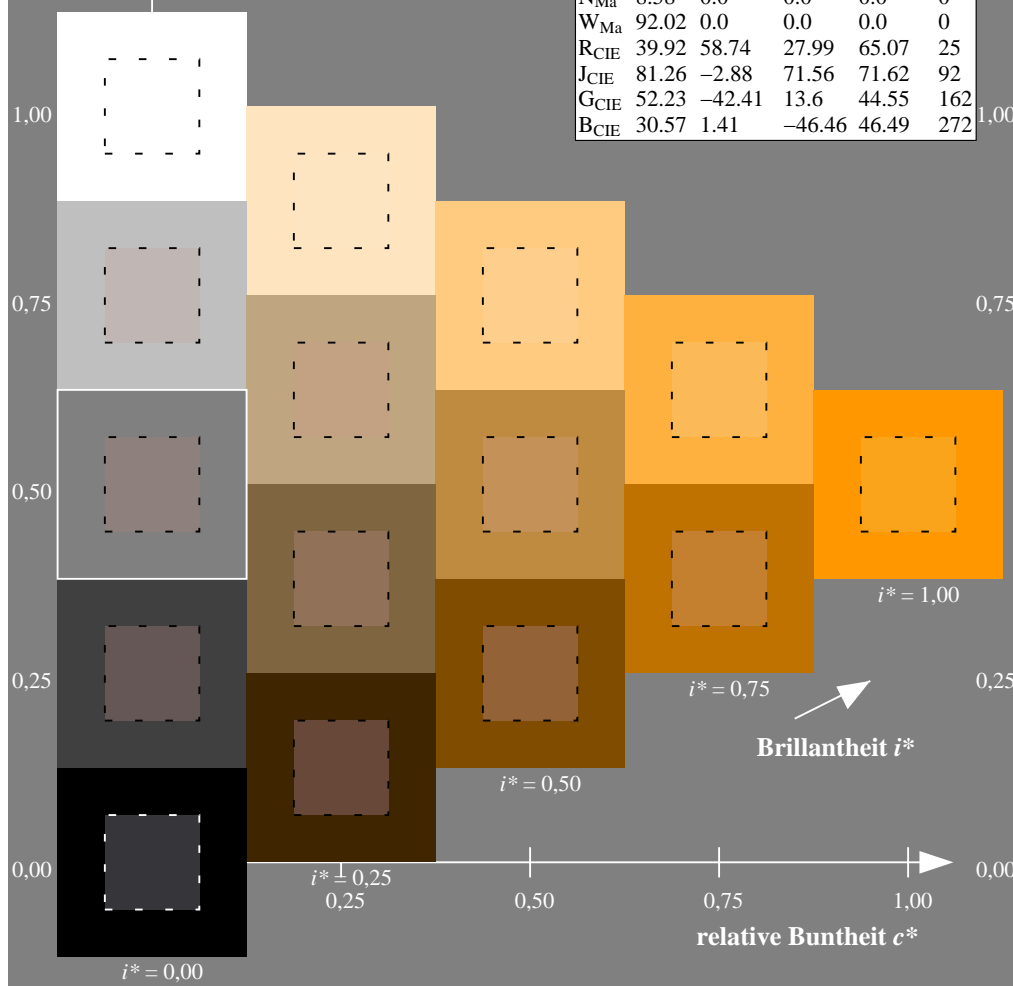
%Regularität

$g^*_{H,rel} = 31$

$g^*_{C,rel} = 40$

FRS09_92a; adaptierte CIELAB-Daten

	$L^*=L^*_a$	a^*_a	b^*_a	$C^*_{ab,a}$	$h^*_{ab,a}$
r00j	35.47	63.32	30.17	70.15	25
r25j	39.12	54.56	49.45	73.64	42
r50j	50.64	39.15	64.89	75.79	59
r75j	64.01	21.26	82.83	85.52	76
j00g	83.18	-4.37	108.53	108.62	92
j25g	66.73	-29.88	83.06	88.28	110
j50g	54.03	-48.3	63.49	79.78	127
j75g	44.73	-60.32	42.64	73.88	145
g00b	47.59	-49.07	15.74	51.54	162
g25b	49.97	-39.69	-6.71	40.27	190
g50b	51.85	-32.32	-24.34	40.48	217
g75b	46.92	-17.28	-36.01	39.96	244
b00r	37.91	1.28	-42.34	42.37	272
b25r	23.81	30.38	-52.25	60.45	300
b50r	29.52	69.06	-42.13	80.9	329
b75r	36.48	71.47	-3.68	71.57	357



Ein und Ausgabe: Farbmetrisches Drucker-Reflektiv-System FRS09_92a für relativen CIELAB-Buntton $h^* = lab^*h^* = h_{ab}/360 = 92/360 = 0.256$ $u^* = j00g$

Daten für jede Farbe:

lab^*ch^* und lab^*icu^*

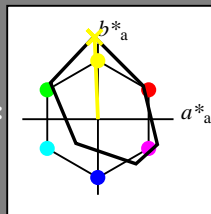
Elementar-Bunttontext:

$u^* = j00g$

Kontrastreduzierungsfaktor:

$c_R = 1.0$

Dreiecks-Helligkeit i^*



FRS09_92a; adaptierte CIELAB-Daten

	$L^*=L_a^*$	a_a^*	b_a^*	$C_{ab,a}^*$	$h_{ab,a}^*$
O _{Ma}	35.06	60.0	44.0	74.4	36
Y _{Ma}	83.77	-5.16	109.32	109.44	93
L _{Ma}	44.13	-62.66	48.24	79.09	142
C _{Ma}	52.66	-29.13	-31.98	43.27	228
V _{Ma}	14.15	50.3	-59.03	77.57	310
M _{Ma}	37.37	78.64	-33.49	85.48	337
N _{Ma}	8.58	0.0	0.0	0.0	0
W _{Ma}	92.02	0.0	0.0	0.0	0
R _{CIE}	39.92	58.74	27.99	65.07	25
J _{CIE}	81.26	-2.88	71.56	71.62	92
G _{CIE}	52.23	-42.41	13.6	44.55	162
B _{CIE}	30.57	1.41	-46.46	46.49	272

Daten für Maximalfarbe (Ma):

$LAB^*LAB^*_{Ma}$: 83 -3 109

$LAB^*LCH^*_{Ma}$: 83 109 92

$lab^*rgb^*_{Ma}$: 1.0 1.0 0.0

$lab^*olv^*_{Ma}$: 1.0 0.99 0.0

Dreiecks-Helligkeit i^*

%Umfang

$u^*_{rel} = 109$

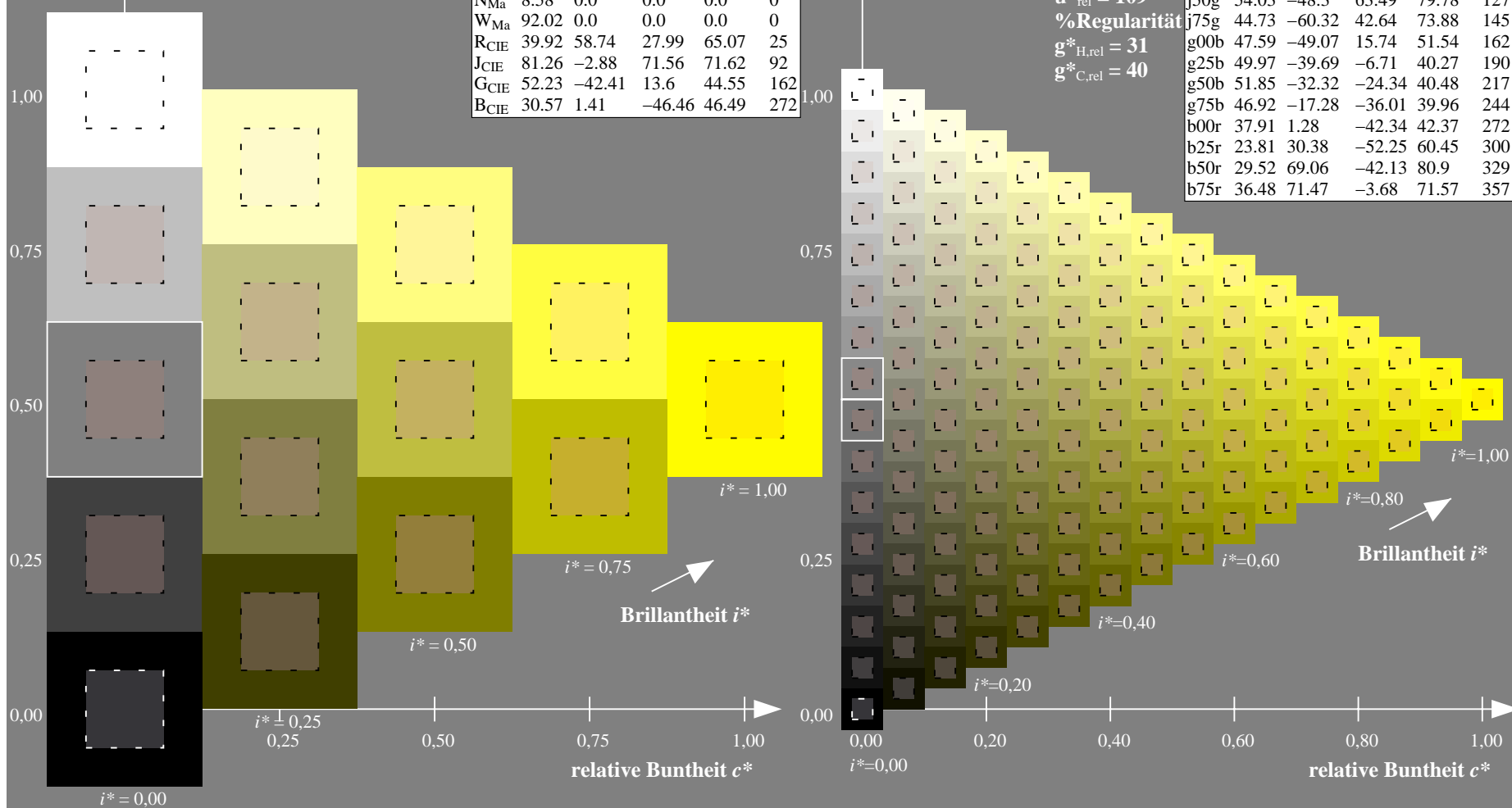
%Regularität

$g^*_{H,rel} = 31$

$g^*_{C,rel} = 40$

FRS09_92a; adaptierte CIELAB-Daten

	$L^*=L_a^*$	a_a^*	b_a^*	$C_{ab,a}^*$	$h_{ab,a}^*$
r00j	35.47	63.32	30.17	70.15	25
r25j	39.12	54.56	49.45	73.64	42
r50j	50.64	39.15	64.89	75.79	59
r75j	64.01	21.26	82.83	85.52	76
j00g	83.18	-4.37	108.53	108.62	92
j25g	66.73	-29.88	83.06	88.28	110
j50g	54.03	-48.3	63.49	79.78	127
j75g	44.73	-60.32	42.64	73.88	145
g00b	47.59	-49.07	15.74	51.54	162
g25b	49.97	-39.69	-6.71	40.27	190
g50b	51.85	-32.32	-24.34	40.48	217
g75b	46.92	-17.28	-36.01	39.96	244
b00r	37.91	1.28	-42.34	42.37	272
b25r	23.81	30.38	-52.25	60.45	300
b50r	29.52	69.06	-42.13	80.9	329
b75r	36.48	71.47	-3.68	71.57	357



Ein und Ausgabe: Farbmetrisches Drucker-Reflektiv-System FRS09_92a für relativen CIELAB-Buntton $h^* = lab^*h^* = h_{ab}/360 = 110/360 = 0.305$ $u^* = j25g$

Daten für jede Farbe:

lab^*ch^* und lab^*icu^*

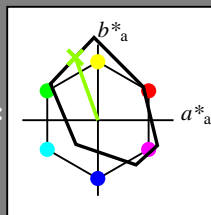
Elementar-Bunttontext:

$u^* = j25g$

Kontrastreduzierungsfaktor:

$c_R = 1.0$

Dreiecks-Helligkeit i^*



FRS09_92a; adaptierte CIELAB-Daten

	$L^*=L^*_a$	a^*_a	b^*_a	$C^*_{ab,a}$	$h^*_{ab,a}$
O _{Ma}	35.06	60.0	44.0	74.4	36
Y _{Ma}	83.77	-5.16	109.32	109.44	93
L _{Ma}	44.13	-62.66	48.24	79.09	142
C _{Ma}	52.66	-29.13	-31.98	43.27	228
V _{Ma}	14.15	50.3	-59.03	77.57	310
M _{Ma}	37.37	78.64	-33.49	85.48	337
N _{Ma}	8.58	0.0	0.0	0.0	0
W _{Ma}	92.02	0.0	0.0	0.0	0
R _{CIE}	39.92	58.74	27.99	65.07	25
J _{CIE}	81.26	-2.88	71.56	71.62	92
G _{CIE}	52.23	-42.41	13.6	44.55	162
B _{CIE}	30.57	1.41	-46.46	46.49	272

Daten für Maximalfarbe (Ma):

$LAB^*LAB^*_{Ma}$: 67 -29 83

$LAB^*LCH^*_{Ma}$: 67 88 110

$lab^*rgb^*_{Ma}$: 0.75 1.0 0.0

$lab^*olv^*_{Ma}$: 0.57 1.0 0.0

Dreiecks-Helligkeit i^*

%Umfang

$u^*_{rel} = 109$

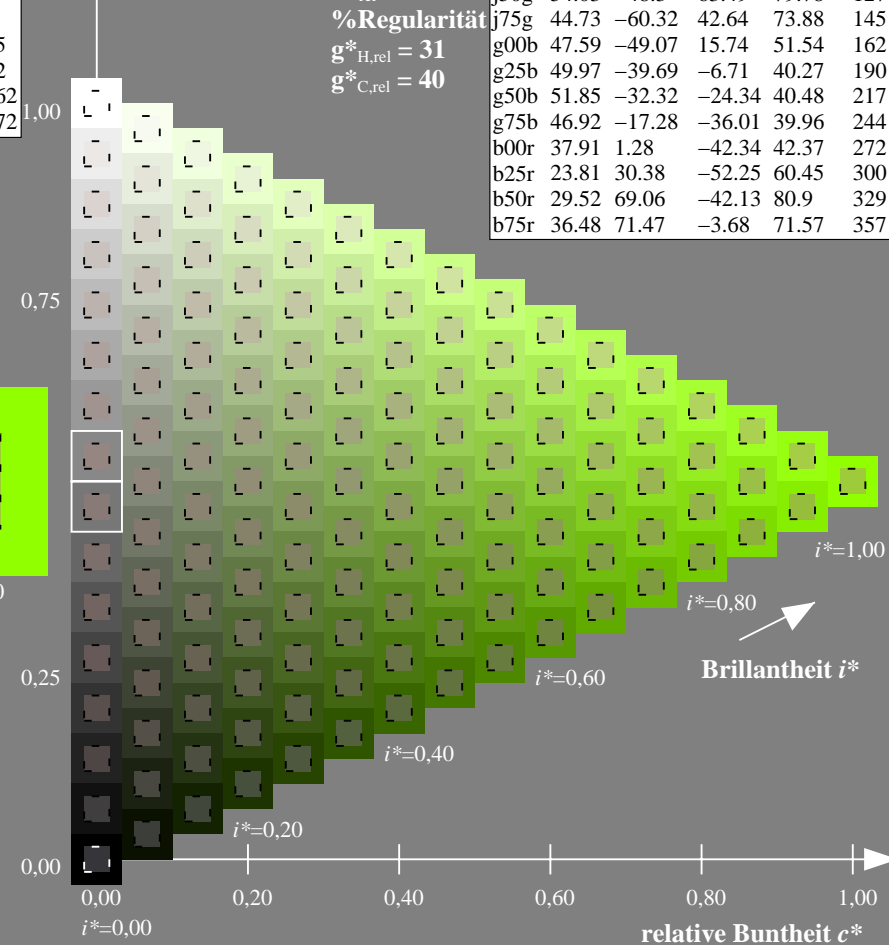
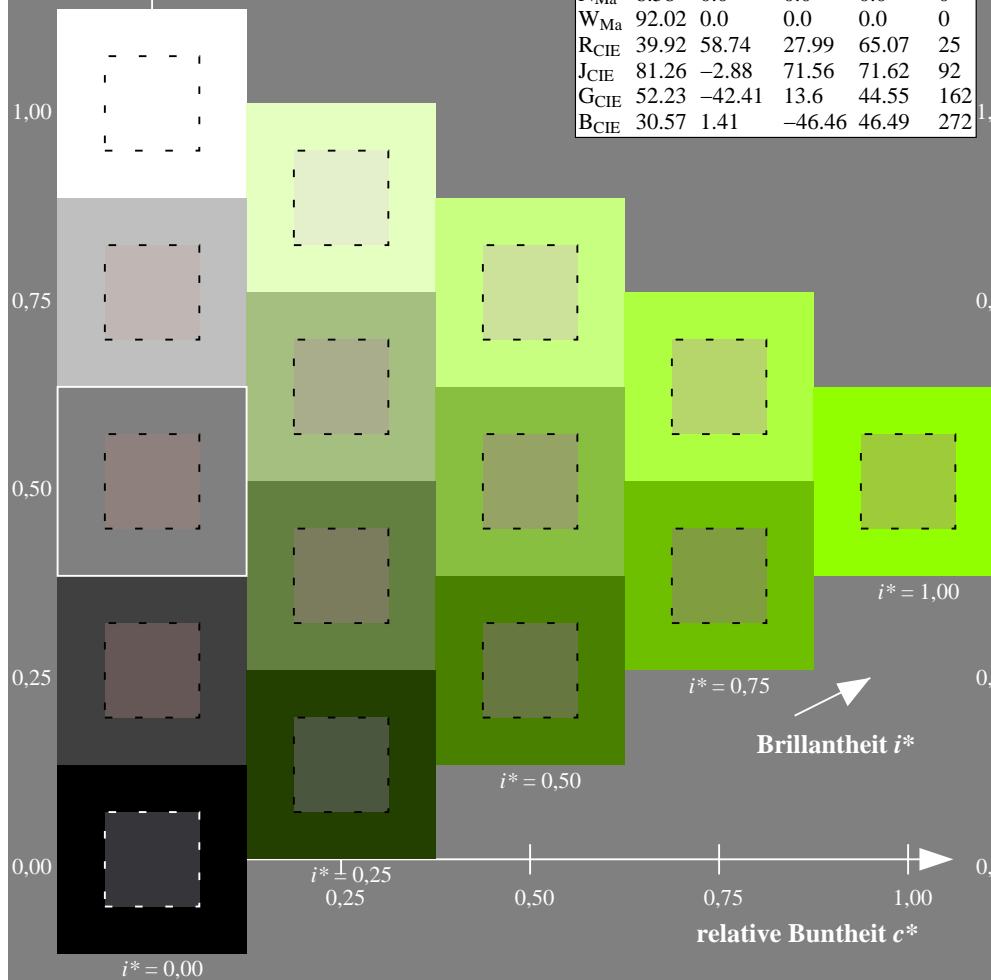
%Regularität

$g^*_{H,rel} = 31$

$g^*_{C,rel} = 40$

FRS09_92a; adaptierte CIELAB-Daten

	$L^*=L^*_a$	a^*_a	b^*_a	$C^*_{ab,a}$	$h^*_{ab,a}$
r00j	35.47	63.32	30.17	70.15	25
r25j	39.12	54.56	49.45	73.64	42
r50j	50.64	39.15	64.89	75.79	59
r75j	64.01	21.26	82.83	85.52	76
j00g	83.18	-4.37	108.53	108.62	92
j25g	66.73	-29.88	83.06	88.28	110
j50g	54.03	-48.3	63.49	79.78	127
j75g	44.73	-60.32	42.64	73.88	145
g00b	47.59	-49.07	15.74	51.54	162
g25b	49.97	-39.69	-6.71	40.27	190
g50b	51.85	-32.32	-24.34	40.48	217
g75b	46.92	-17.28	-36.01	39.96	244
b00r	37.91	1.28	-42.34	42.37	272
b25r	23.81	30.38	-52.25	60.45	300
b50r	29.52	69.06	-42.13	80.9	329
b75r	36.48	71.47	-3.68	71.57	357



Ein und Ausgabe: Farbmetrisches Drucker-Reflektiv-System FRS09_92a für relativen CIELAB-Buntton $h^* = lab^*h^* = h_{ab}/360 = 127/360 = 0.354$ $u^* = j50g$

Daten für jede Farbe:

lab^*ch^* und lab^*icu^*

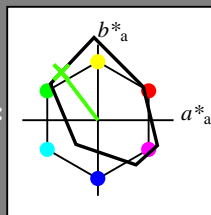
Elementar-Bunttontext:

$u^* = j50g$

Kontrastreduzierungsfaktor:

$c_R = 1.0$

Dreiecks-Helligkeit i^*



FRS09_92a; adaptierte CIELAB-Daten

	$L^*=L^*_a$	a^*_a	b^*_a	$C^*_{ab,a}$	$h^*_{ab,a}$
O _{Ma}	35.06	60.0	44.0	74.4	36
Y _{Ma}	83.77	-5.16	109.32	109.44	93
L _{Ma}	44.13	-62.66	48.24	79.09	142
C _{Ma}	52.66	-29.13	-31.98	43.27	228
V _{Ma}	14.15	50.3	-59.03	77.57	310
M _{Ma}	37.37	78.64	-33.49	85.48	337
N _{Ma}	8.58	0.0	0.0	0.0	0
W _{Ma}	92.02	0.0	0.0	0.0	0
R _{CIE}	39.92	58.74	27.99	65.07	25
J _{CIE}	81.26	-2.88	71.56	71.62	92
G _{CIE}	52.23	-42.41	13.6	44.55	162
B _{CIE}	30.57	1.41	-46.46	46.49	272

Daten für Maximalfarbe (Ma):

$LAB^*LAB^*_{Ma}$: 54 -47 63

$LAB^*LCH^*_{Ma}$: 54 80 127

$lab^*rgb^*_{Ma}$: 0.5 1.0 0.0

$lab^*olv^*_{Ma}$: 0.25 1.0 0.0

Dreiecks-Helligkeit i^*

%Umfang

$u^*_{rel} = 109$

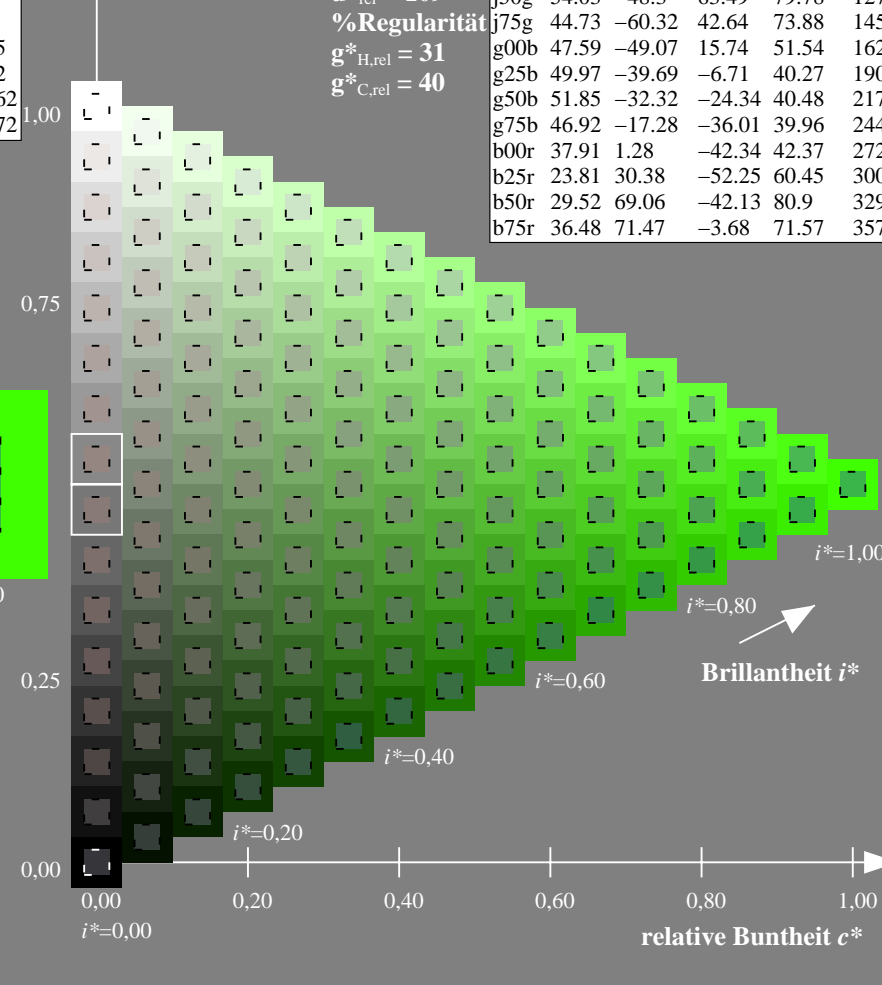
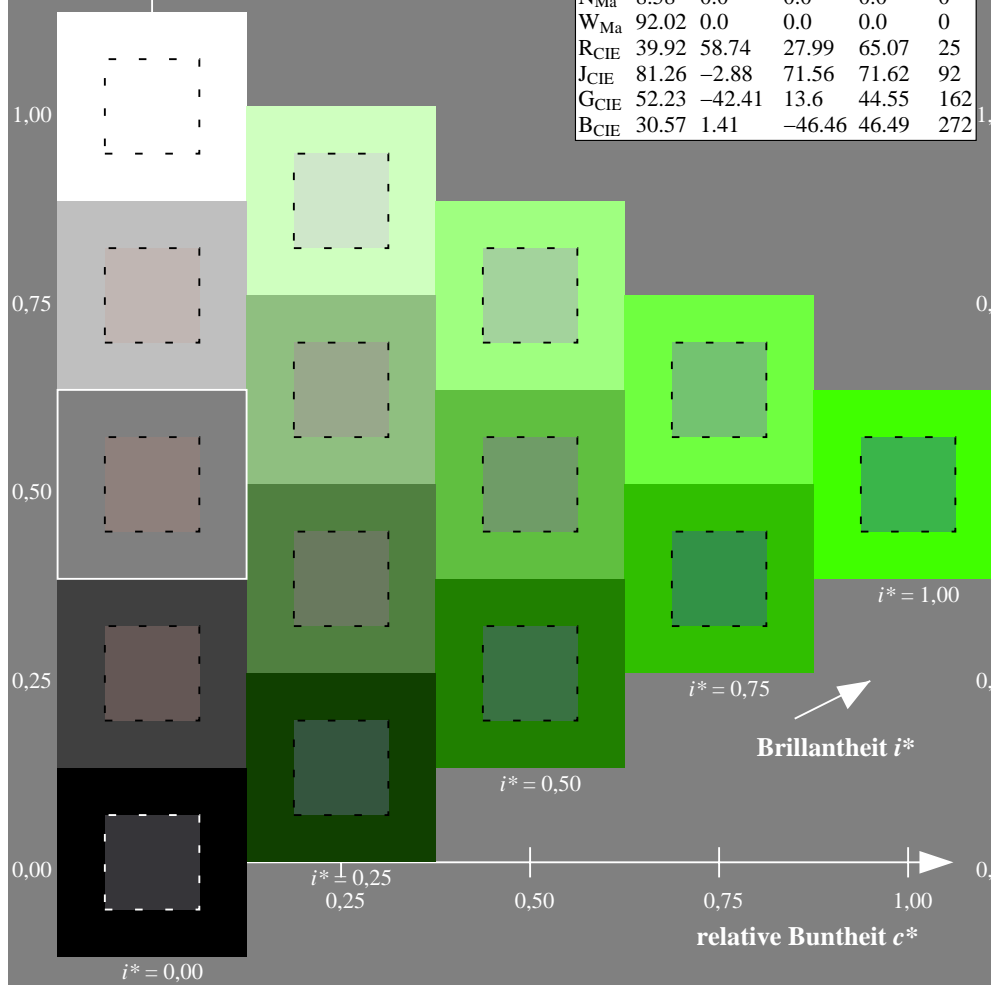
%Regularität

$g^*_{H,rel} = 31$

$g^*_{C,rel} = 40$

FRS09_92a; adaptierte CIELAB-Daten

	$L^*=L^*_a$	a^*_a	b^*_a	$C^*_{ab,a}$	$h^*_{ab,a}$
r00j	35.47	63.32	30.17	70.15	25
r25j	39.12	54.56	49.45	73.64	42
r50j	50.64	39.15	64.89	75.79	59
r75j	64.01	21.26	82.83	85.52	76
j00g	83.18	-4.37	108.53	108.62	92
j25g	66.73	-29.88	83.06	88.28	110
j50g	54.03	-48.3	63.49	79.78	127
j75g	44.73	-60.32	42.64	73.88	145
g00b	47.59	-49.07	15.74	51.54	162
g25b	49.97	-39.69	-6.71	40.27	190
g50b	51.85	-32.32	-24.34	40.48	217
g75b	46.92	-17.28	-36.01	39.96	244
b00r	37.91	1.28	-42.34	42.37	272
b25r	23.81	30.38	-52.25	60.45	300
b50r	29.52	69.06	-42.13	80.9	329
b75r	36.48	71.47	-3.68	71.57	357



Ein und Ausgabe: Farbmetrisches Drucker-Reflektiv-System FRS09_92a für relativen CIELAB-Buntton $h^* = lab^*h^* = h_{ab}/360 = 145/360 = 0.402$ $u^* = j75g$

Daten für jede Farbe:

lab^*ch^* und lab^*icu^*

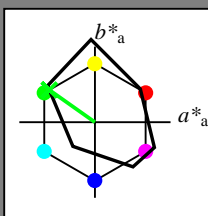
Elementar-Bunttontext:

$u^* = j75g$

Kontrastreduzierungsfaktor:

$c_R = 1.0$

Dreiecks-Helligkeit i^*



FRS09_92a; adaptierte CIELAB-Daten

	$L^* = L^*_a$	a^*_a	b^*_a	$C^*_{ab,a}$	$h^*_{ab,a}$
O _{Ma}	35.06	60.0	44.0	74.4	36
Y _{Ma}	83.77	-5.16	109.32	109.44	93
L _{Ma}	44.13	-62.66	48.24	79.09	142
C _{Ma}	52.66	-29.13	-31.98	43.27	228
V _{Ma}	14.15	50.3	-59.03	77.57	310
M _{Ma}	37.37	78.64	-33.49	85.48	337
N _{Ma}	8.58	0.0	0.0	0.0	0
W _{Ma}	92.02	0.0	0.0	0.0	0
R _{CIE}	39.92	58.74	27.99	65.07	25
J _{CIE}	81.26	-2.88	71.56	71.62	92
G _{CIE}	52.23	-42.41	13.6	44.55	162
B _{CIE}	30.57	1.41	-46.46	46.49	272

Daten für Maximalfarbe (Ma):

$LAB^*LAB^*_{Ma}$: 45 -59 43

$LAB^*LCH^*_{Ma}$: 45 74 145

$lab^*rgb^*_{Ma}$: 0.25 1.0 0.0

$lab^*olv^*_{Ma}$: 0.0 1.0 0.07

Dreiecks-Helligkeit i^*

%Umfang

$u^*_{rel} = 109$

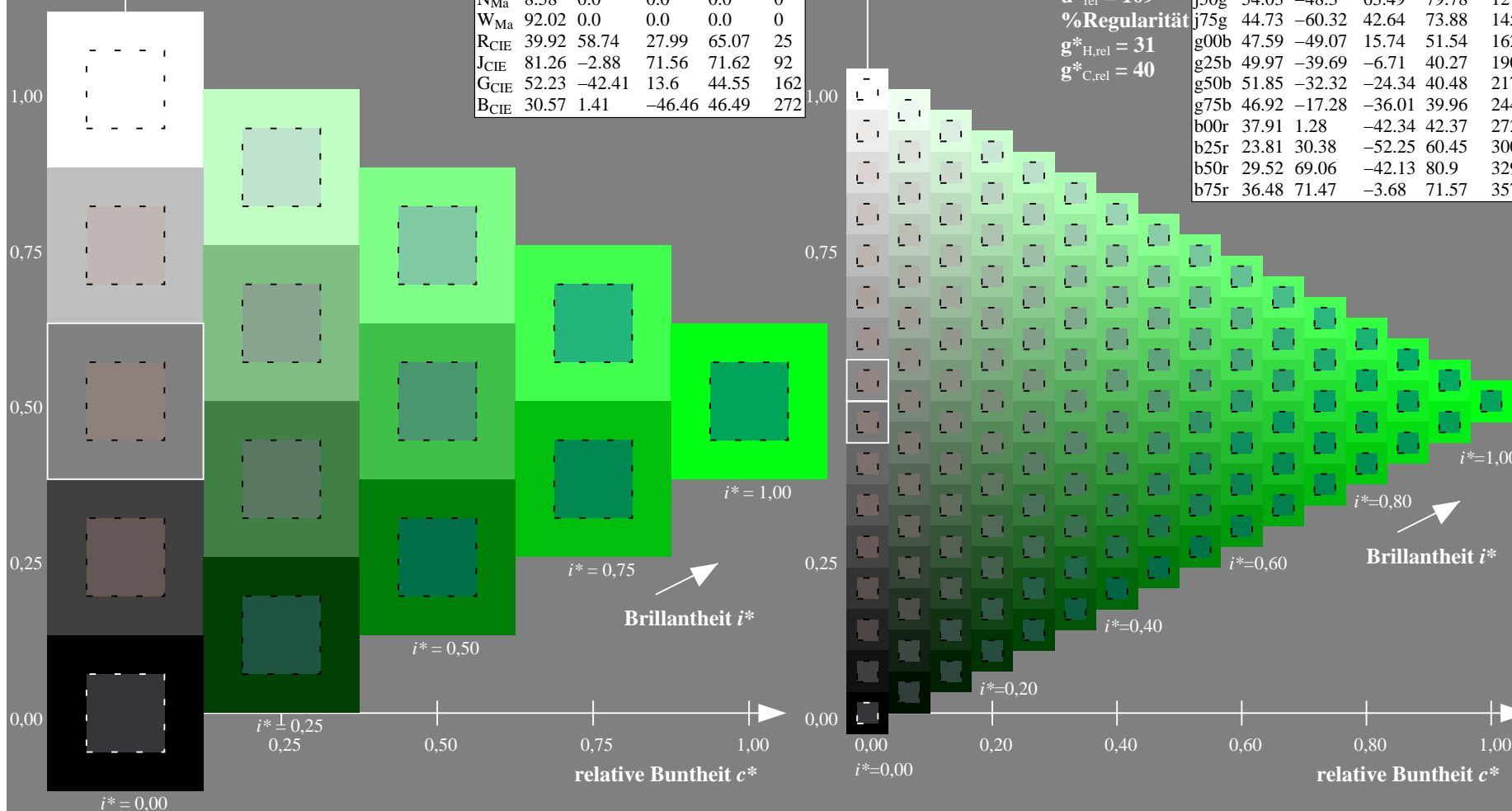
%Regularität

$g^*_{H,rel} = 31$

$g^*_{C,rel} = 40$

FRS09_92a; adaptierte CIELAB-Daten

	$L^* = L^*_a$	a^*_a	b^*_a	$C^*_{ab,a}$	$h^*_{ab,a}$
r00j	35.47	63.32	30.17	70.15	25
r25j	39.12	54.56	49.45	73.64	42
r50j	50.64	39.15	64.89	75.79	59
r75j	64.01	21.26	82.83	85.52	76
j00g	83.18	-4.37	108.53	108.62	92
j25g	66.73	-29.88	83.06	88.28	110
j50g	54.03	-48.3	63.49	79.78	127
j75g	44.73	-60.32	42.64	73.88	145
g00b	47.59	-49.07	15.74	51.54	162
g25b	49.97	-39.69	-6.71	40.27	190
g50b	51.85	-32.32	-24.34	40.48	217
g75b	46.92	-17.28	-36.01	39.96	244
b00r	37.91	1.28	-42.34	42.37	272
b25r	23.81	30.38	-52.25	60.45	300
b50r	29.52	69.06	-42.13	80.9	329
b75r	36.48	71.47	-3.68	71.57	357



Ein und Ausgabe: Farbmetrisches Drucker-Reflektiv-System FRS09_92a für relativen CIELAB-Buntton $h^* = lab^*h^* = h_{ab}/360 = 162/360 = 0.451$ $u^* = g00b$

Daten für jede Farbe:

lab^*ch^* und lab^*icu^*

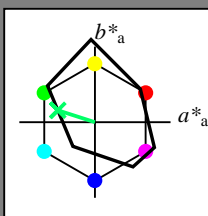
Elementar-Bunttontext:

$u^* = g00b$

Kontrastreduzierungsfaktor:

$c_R = 1.0$

Dreiecks-Helligkeit i^*



FRS09_92a; adaptierte CIELAB-Daten

	$L^*=L^*_a$	a^*_a	b^*_a	$C^*_{ab,a}$	$h^*_{ab,a}$
O _{Ma}	35.06	60.0	44.0	74.4	36
Y _{Ma}	83.77	-5.16	109.32	109.44	93
L _{Ma}	44.13	-62.66	48.24	79.09	142
C _{Ma}	52.66	-29.13	-31.98	43.27	228
V _{Ma}	14.15	50.3	-59.03	77.57	310
M _{Ma}	37.37	78.64	-33.49	85.48	337
N _{Ma}	8.58	0.0	0.0	0.0	0
W _{Ma}	92.02	0.0	0.0	0.0	0
R _{CIE}	39.92	58.74	27.99	65.07	25
J _{CIE}	81.26	-2.88	71.56	71.62	92
G _{CIE}	52.23	-42.41	13.6	44.55	162
B _{CIE}	30.57	1.41	-46.46	46.49	272

Daten für Maximalfarbe (Ma):

$LAB^*LAB^*_{Ma}$: 48 -48 16

$LAB^*LCH^*_{Ma}$: 48 52 162

$lab^*rgb^*_{Ma}$: 0.0 1.0 0.0

$lab^*olv^*_{Ma}$: 0.0 1.0 0.41

Dreiecks-Helligkeit i^*

%Umfang

$u^*_{rel} = 109$

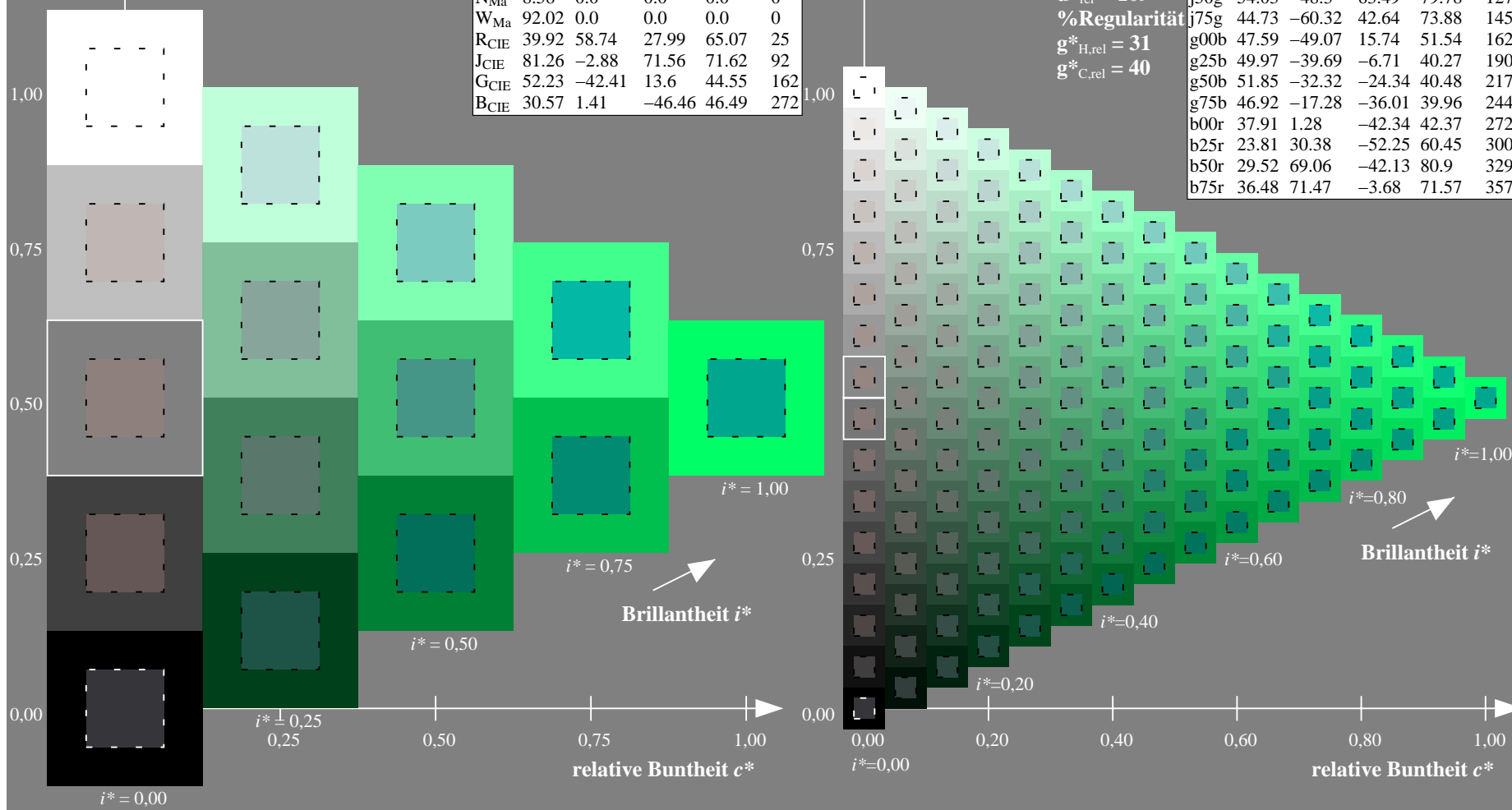
%Regularität

$g^*_{H,rel} = 31$

$g^*_{C,rel} = 40$

FRS09_92a; adaptierte CIELAB-Daten

	$L^*=L^*_a$	a^*_a	b^*_a	$C^*_{ab,a}$	$h^*_{ab,a}$
r00j	35.47	63.32	30.17	70.15	25
r25j	39.12	54.56	49.45	73.64	42
r50j	50.64	39.15	64.89	75.79	59
r75j	64.01	21.26	82.83	85.52	76
j00g	83.18	-4.37	108.53	108.62	92
j25g	66.73	-29.88	83.06	88.28	110
j50g	54.03	-48.3	63.49	79.78	127
j75g	44.73	-60.32	42.64	73.88	145
g00b	47.59	-49.07	15.74	51.54	162
g25b	49.97	-39.69	-6.71	40.27	190
g50b	51.85	-32.32	-24.34	40.48	217
g75b	46.92	-17.28	-36.01	39.96	244
b00r	37.91	1.28	-42.34	42.37	272
b25r	23.81	30.38	-52.25	60.45	300
b50r	29.52	69.06	-42.13	80.9	329
b75r	36.48	71.47	-3.68	71.57	357



Ein und Ausgabe: Farbmetrisches Drucker-Reflektiv-System FRS09_92a für relativen CIELAB-Buntton $h^* = lab^*h^* = h_{ab}/360 = 190/360 = 0.527$ $u^* = g25b$

Daten für jede Farbe:

lab^*ch^* und lab^*icu^*

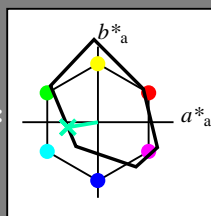
Elementar-Bunttontext:

$u^* = g25b$

Kontrastreduzierungsfaktor:

$c_R = 1.0$

Dreiecks-Helligkeit i^*



FRS09_92a; adaptierte CIELAB-Daten

	$L^*=L^*_a$	a^*_a	b^*_a	$C^*_{ab,a}$	$h^*_{ab,a}$
O _{Ma}	35.06	60.0	44.0	74.4	36
Y _{Ma}	83.77	-5.16	109.32	109.44	93
L _{Ma}	44.13	-62.66	48.24	79.09	142
C _{Ma}	52.66	-29.13	-31.98	43.27	228
V _{Ma}	14.15	50.3	-59.03	77.57	310
M _{Ma}	37.37	78.64	-33.49	85.48	337
N _{Ma}	8.58	0.0	0.0	0.0	0
W _{Ma}	92.02	0.0	0.0	0.0	0
R _{CIE}	39.92	58.74	27.99	65.07	25
J _{CIE}	81.26	-2.88	71.56	71.62	92
G _{CIE}	52.23	-42.41	13.6	44.55	162
B _{CIE}	30.57	1.41	-46.46	46.49	272

Daten für Maximalfarbe (Ma):

$LAB^*LAB^*_{Ma}$: 50 -39 -6

$LAB^*LCH^*_{Ma}$: 50 40 190

$lab^*rgb^*_{Ma}$: 0.0 1.0 0.5

$lab^*olv^*_{Ma}$: 0.0 1.0 0.69

Dreiecks-Helligkeit i^*

%Umfang

$u^*_{rel} = 109$

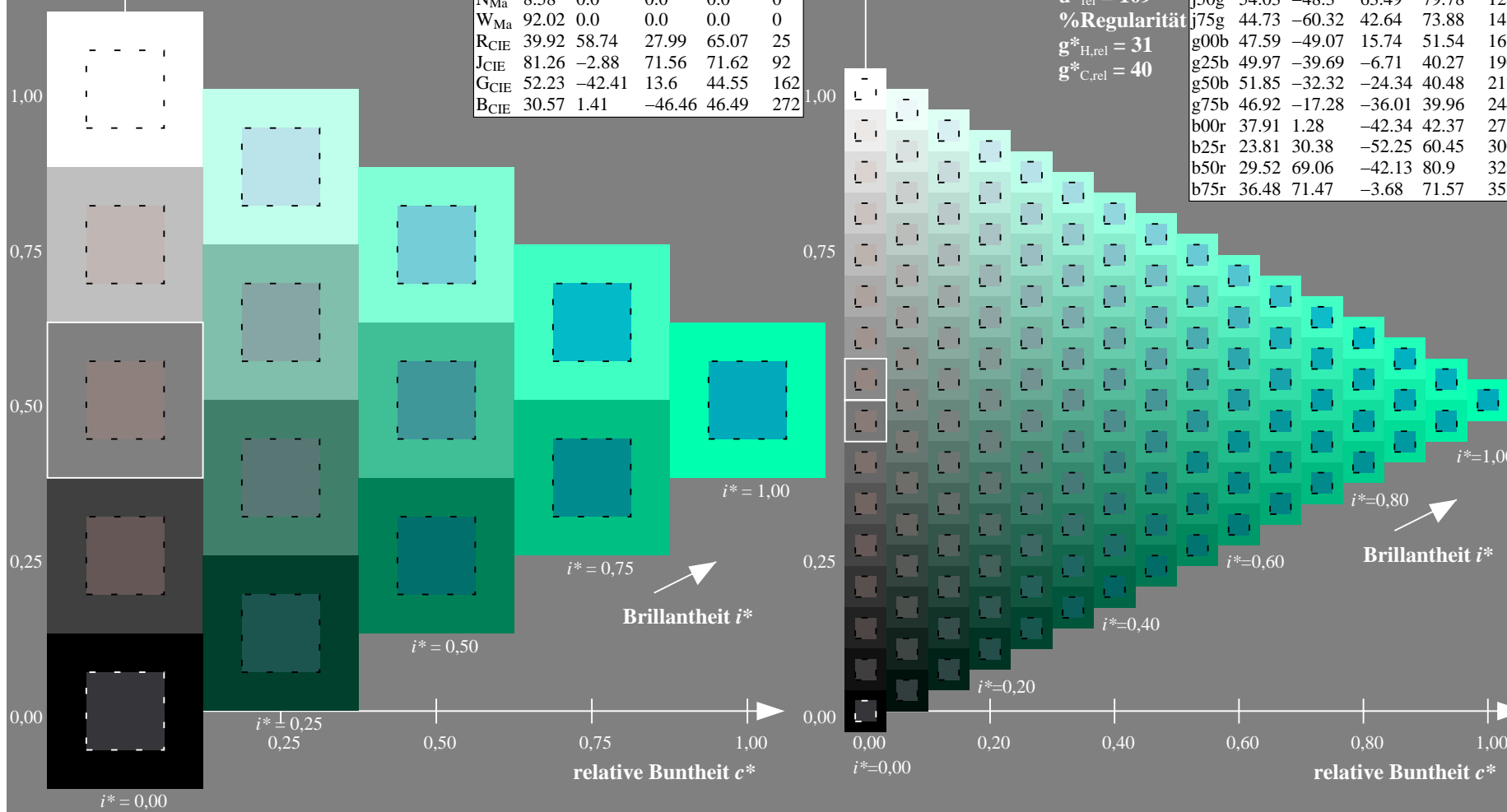
%Regularität

$g^*_{H,rel} = 31$

$g^*_{C,rel} = 40$

FRS09_92a; adaptierte CIELAB-Daten

	$L^*=L^*_a$	a^*_a	b^*_a	$C^*_{ab,a}$	$h^*_{ab,a}$
r00j	35.47	63.32	30.17	70.15	25
r25j	39.12	54.56	49.45	73.64	42
r50j	50.64	39.15	64.89	75.79	59
r75j	64.01	21.26	82.83	85.52	76
j00g	83.18	-4.37	108.53	108.62	92
j25g	66.73	-29.88	83.06	88.28	110
j50g	54.03	-48.3	63.49	79.78	127
j75g	44.73	-60.32	42.64	73.88	145
g00b	47.59	-49.07	15.74	51.54	162
g25b	49.97	-39.69	-6.71	40.27	190
g50b	51.85	-32.32	-24.34	40.48	217
g75b	46.92	-17.28	-36.01	39.96	244
b00r	37.91	1.28	-42.34	42.37	272
b25r	23.81	30.38	-52.25	60.45	300
b50r	29.52	69.06	-42.13	80.9	329
b75r	36.48	71.47	-3.68	71.57	357



Ein und Ausgabe: Farbmetrisches Drucker-Reflektiv-System FRS09_92a für relativen CIELAB-Buntton $h^* = lab^*h^* = h_{ab}/360 = 244/360 = 0.679$ $u^* = g75b$

Daten für jede Farbe:

lab^*ch^* und lab^*icu^*

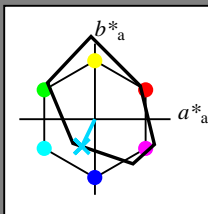
Elementar-Bunttontext:

$u^* = g75b$

Kontrastreduzierungsfaktor:

$c_R = 1.0$

Dreiecks-Helligkeit i^*



FRS09_92a; adaptierte CIELAB-Daten

	$L^*=L^*_a$	a^*_a	b^*_a	$C^*_{ab,a}$	$h^*_{ab,a}$
O _{Ma}	35.06	60.0	44.0	74.4	36
Y _{Ma}	83.77	-5.16	109.32	109.44	93
L _{Ma}	44.13	-62.66	48.24	79.09	142
C _{Ma}	52.66	-29.13	-31.98	43.27	228
V _{Ma}	14.15	50.3	-59.03	77.57	310
M _{Ma}	37.37	78.64	-33.49	85.48	337
N _{Ma}	8.58	0.0	0.0	0.0	0
W _{Ma}	92.02	0.0	0.0	0.0	0
R _{CIE}	39.92	58.74	27.99	65.07	25
J _{CIE}	81.26	-2.88	71.56	71.62	92
G _{CIE}	52.23	-42.41	13.6	44.55	162
B _{CIE}	30.57	1.41	-46.46	46.49	272

Daten für Maximalfarbe (Ma):

$LAB^*LAB^*_{Ma}$: 47 -16 -35

$LAB^*LCH^*_{Ma}$: 47 40 244

$lab^*rgb^*_{Ma}$: 0.0 0.5 1.0

$lab^*olv^*_{Ma}$: 0.0 0.85 1.0

Dreiecks-Helligkeit i^*

%Umfang

$u^*_{rel} = 109$

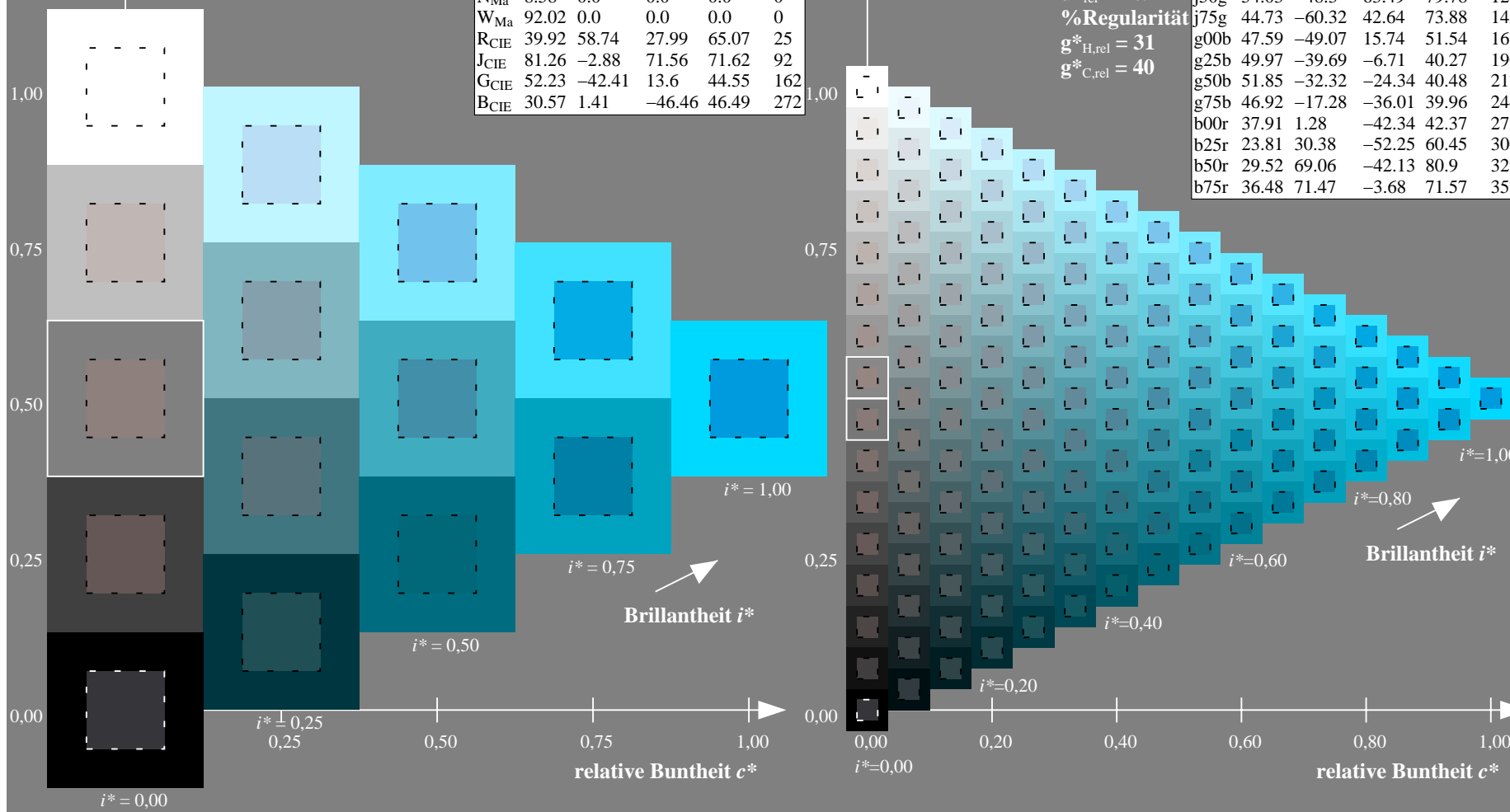
%Regularität




$g^*_{H,rel} = 31$

$g^*_{C,rel} = 40$

FRS09_92a; adaptierte CIELAB-Daten

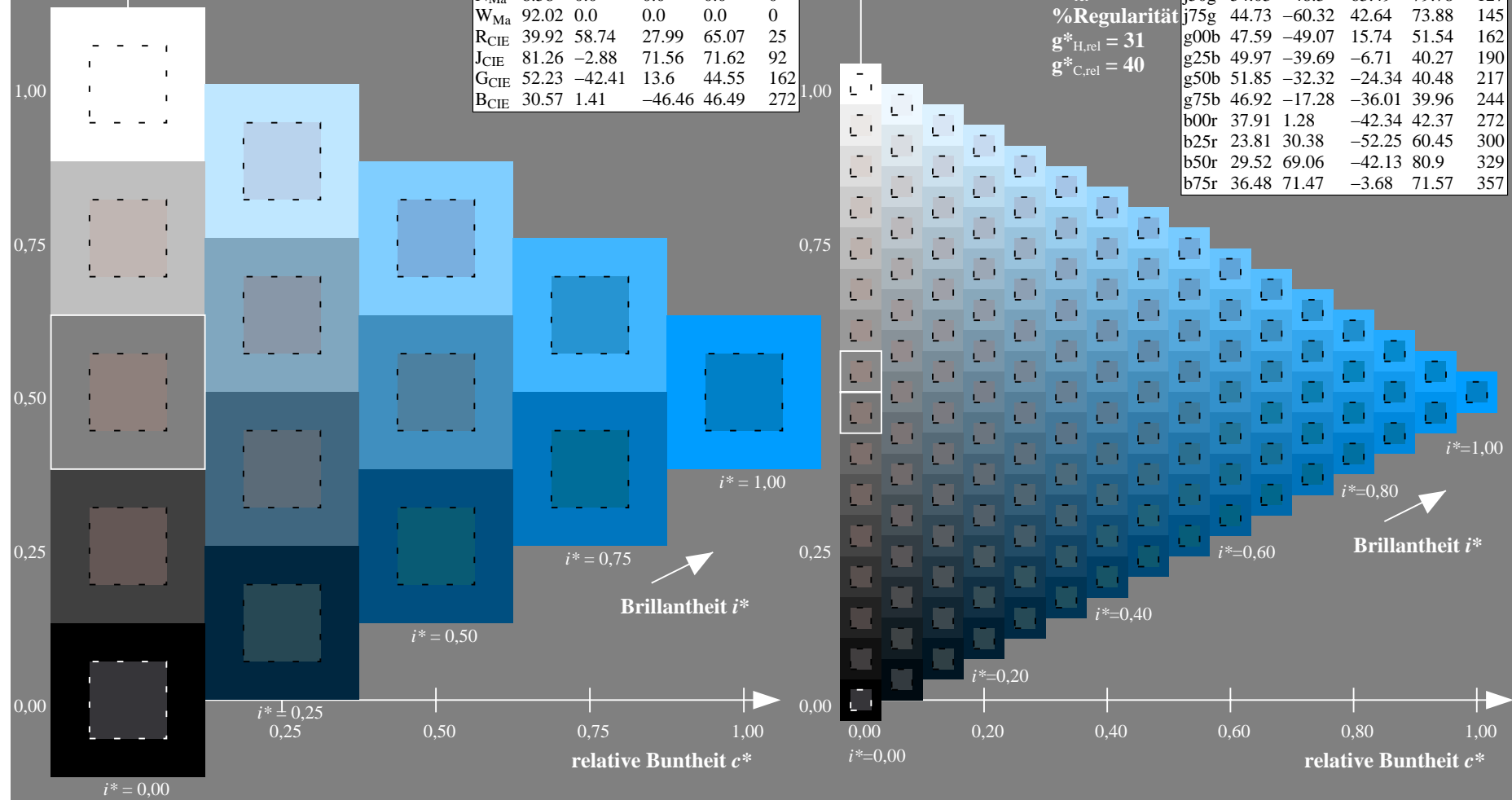
	$L^*=L^*_a$	a^*_a	b^*_a	$C^*_{ab,a}$	$h^*_{ab,a}$
r00j	35.47	63.32	30.17	70.15	25
r25j	39.12	54.56	49.45	73.64	42
r50j	50.64	39.15	64.89	75.79	59
r75j	64.01	21.26	82.83	85.52	76
j00g	83.18	-4.37	108.53	108.62	92
j25g	66.73	-29.88	83.06	88.28	110
j50g	54.03	-48.3	63.49	79.78	127
j75g	44.73	-60.32	42.64	73.88	145
g00b	47.59	-49.07	15.74	51.54	162
g25b	49.97	-39.69	-6.71	40.27	190
g50b	51.85	-32.32	-24.34	40.48	217
g75b	46.92	-17.28	-36.01	39.96	244
b00r	37.91	1.28	-42.34	42.37	272
b25r	23.81	30.38	-52.25	60.45	300
b50r	29.52	69.06	-42.13	80.9	329
b75r	36.48	71.47	-3.68	71.57	357



Ein und Ausgabe: Farbmatisches Drucker-Reflektiv-System FRS09_92a für relativen CIELAB-Buntton $h^* = lab^*h^* = h_{ab}/360 = 272/360 = 0.755$ $u^* = b00r$			Daten für jede Farbe:			Daten für Maximalfarbe (Ma):		
lab^*tch^* und lab^*icu^*			lab^*tch^* und lab^*icu^*			lab^*tch^* und lab^*icu^*		
Elementar-Bunttontext:			Elementar-Bunttontext:			Elementar-Bunttontext:		
$u^* = b00r$			$u^* = b00r$			$u^* = b00r$		
Kontrastreduzierungsfaktor:			Kontrastreduzierungsfaktor:			Kontrastreduzierungsfaktor:		
$c_R = 1.0$			$c_R = 1.0$			$c_R = 1.0$		
Dreiecks-Helligkeit t^*			Dreiecks-Helligkeit t^*			Dreiecks-Helligkeit t^*		
								
FRS09_92a; adaptierte CIELAB-Daten			FRS09_92a; adaptierte CIELAB-Daten			FRS09_92a; adaptierte CIELAB-Daten		
$L^* = L^*_a$ a^*_a b^*_a $C^*_{ab,a}$ $h^*_{ab,a}$			$L^* = L^*_a$ a^*_a b^*_a $C^*_{ab,a}$ $h^*_{ab,a}$			$L^* = L^*_a$ a^*_a b^*_a $C^*_{ab,a}$ $h^*_{ab,a}$		
O _{Ma} 35.06 60.0 44.0 74.4 36			O _{Ma} 35.06 60.0 44.0 74.4 36			O _{Ma} 35.06 60.0 44.0 74.4 36		
Y _{Ma} 83.77 -5.16 109.32 109.44 93			Y _{Ma} 83.77 -5.16 109.32 109.44 93			Y _{Ma} 83.77 -5.16 109.32 109.44 93		
L _{Ma} 44.13 -62.66 48.24 79.09 142			L _{Ma} 44.13 -62.66 48.24 79.09 142			L _{Ma} 44.13 -62.66 48.24 79.09 142		
C _{Ma} 52.66 -29.13 -31.98 43.27 228			C _{Ma} 52.66 -29.13 -31.98 43.27 228			C _{Ma} 52.66 -29.13 -31.98 43.27 228		
V _{Ma} 14.15 50.3 -59.03 77.57 310			V _{Ma} 14.15 50.3 -59.03 77.57 310			V _{Ma} 14.15 50.3 -59.03 77.57 310		
LAB*LAB*Ma: 38 1 -41			LAB*LAB*Ma: 38 1 -41			LAB*LAB*Ma: 38 1 -41		
LAB*LCH*Ma: 38 42 272			LAB*LCH*Ma: 38 42 272			LAB*LCH*Ma: 38 42 272		
lab*rgb*Ma: 0.0 0.0 1.0			lab*rgb*Ma: 0.0 0.0 1.0			lab*rgb*Ma: 0.0 0.0 1.0		
lab*olv*Ma: 0.0 0.62 1.0			lab*olv*Ma: 0.0 0.62 1.0			lab*olv*Ma: 0.0 0.62 1.0		
Dreiecks-Helligkeit t^*			Dreiecks-Helligkeit t^*			Dreiecks-Helligkeit t^*		
%Umfang			%Umfang			%Umfang		
r00j 35.47 63.32 30.17 70.15 2			r00j 35.47 63.32 30.17 70.15 2			r00j 35.47 63.32 30.17 70.15 2		
r25j 39.12 54.56 49.45 73.64 4			r25j 39.12 54.56 49.45 73.64 4			r25j 39.12 54.56 49.45 73.64 4		
r50j 50.64 39.15 64.89 75.79 5			r50j 50.64 39.15 64.89 75.79 5					

FRS09_92a; adaptierte CIELAB-Daten						
	L^*_a	a^*_a	b^*_a	$C^*_{ab,a}$	$h^*_{ab,a}$	
O _{Ma}	35.06	60.0	44.0	74.4	36	
Y _{Ma}	83.77	-5.16	109.32	109.44	93	
L _{Ma}	44.13	-62.66	48.24	79.09	142	
C _{Ma}	52.66	-29.13	-31.98	43.27	228	
V _{Ma}	14.15	50.3	-59.03	77.57	310	
M _{Ma}	37.37	78.64	-33.49	85.48	337	
N _{Ma}	8.58	0.0	0.0	0.0	0	
W _{Ma}	92.02	0.0	0.0	0.0	0	
R _{CIE}	39.92	58.74	27.99	65.07	25	
J _{CIE}	81.26	-2.88	71.56	71.62	92	
G _{CIE}	52.23	-42.41	13.6	44.55	162	
B _{CIE}	30.57	1.41	-46.46	46.49	272	

FRS09_92a; adaptierte CIELAB-Daten						
	L^*_a	a^*_a	b^*_a	$C^*_{ab,a}$	$h^*_{ab,a}$	
r00j	35.47	63.32	30.17	70.15	25	
r25j	39.12	54.56	49.45	73.64	42	
r50j	50.64	39.15	64.89	75.79	59	
r75j	64.01	21.26	82.83	85.52	76	
j00g	83.18	-4.37	108.53	108.62	92	
j25g	66.73	-29.88	83.06	88.28	110	
j50g	54.03	-48.3	63.49	79.78	127	
j75g	44.73	-60.32	42.64	73.88	145	
g00b	47.59	-49.07	15.74	51.54	162	
g25b	49.97	-39.69	-6.71	40.27	190	
g50b	51.85	-32.32	-24.34	40.48	217	
g75b	46.92	-17.28	-36.01	39.96	244	
b00r	37.91	1.28	-42.34	42.37	272	
b25r	23.81	30.38	-52.25	60.45	300	
b50r	29.52	69.06	-42.13	80.9	329	
b75r	36.48	71.47	-3.68	71.57	357	



Ein und Ausgabe: Farbmetrisches Drucker-Reflektiv-System FRS09_92a für relativen CIELAB-Buntton $h^* = lab^*h^* = h_{ab}/360 = 300/360 = 0.834$ $u^* = b25r$

Daten für jede Farbe:

lab^*ch^* und lab^*icu^*

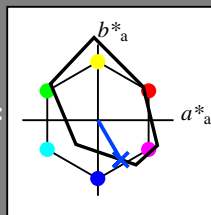
Elementar-Bunttontext:

$u^* = b25r$

Kontrastreduzierungsfaktor:

$c_R = 1.0$

Dreiecks-Helligkeit t^*



FRS09_92a; adaptierte CIELAB-Daten

	$L^*=L_a^*$	a_a^*	b_a^*	$C_{ab,a}^*$	$h_{ab,a}^*$
O _{Ma}	35.06	60.0	44.0	74.4	36
Y _{Ma}	83.77	-5.16	109.32	109.44	93
L _{Ma}	44.13	-62.66	48.24	79.09	142
C _{Ma}	52.66	-29.13	-31.98	43.27	228
V _{Ma}	14.15	50.3	-59.03	77.57	310
M _{Ma}	37.37	78.64	-33.49	85.48	337
N _{Ma}	8.58	0.0	0.0	0.0	0
W _{Ma}	92.02	0.0	0.0	0.0	0
R _{CIE}	39.92	58.74	27.99	65.07	25
J _{CIE}	81.26	-2.88	71.56	71.62	92
G _{CIE}	52.23	-42.41	13.6	44.55	162
B _{CIE}	30.57	1.41	-46.46	46.49	272

Daten für Maximalfarbe (Ma):

$LAB^*LAB^*_{Ma}$: 24 30 -51

$LAB^*LCH^*_{Ma}$: 24 60 300

$lab^*rgb^*_{Ma}$: 0.5 0.0 1.0

$lab^*olv^*_{Ma}$: 0.0 0.25 1.0

Dreiecks-Helligkeit t^*

%Umfang

$u^*_{rel} = 109$

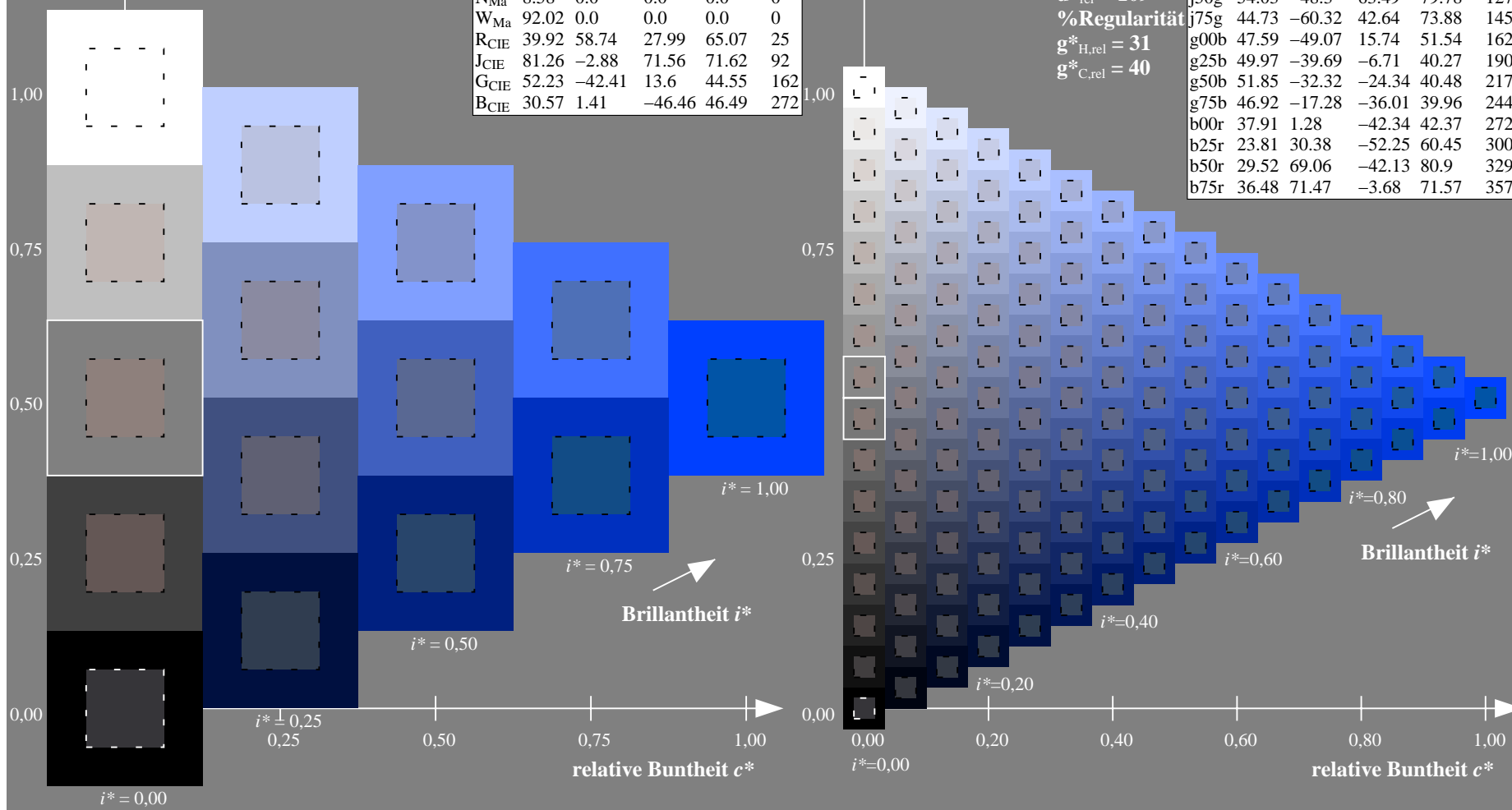
%Regularität

$g^*_{H,rel} = 31$

$g^*_{C,rel} = 40$

FRS09_92a; adaptierte CIELAB-Daten

	$L^*=L_a^*$	a_a^*	b_a^*	$C_{ab,a}^*$	$h_{ab,a}^*$
r00j	35.47	63.32	30.17	70.15	25
r25j	39.12	54.56	49.45	73.64	42
r50j	50.64	39.15	64.89	75.79	59
r75j	64.01	21.26	82.83	85.52	76
j00g	83.18	-4.37	108.53	108.62	92
j25g	66.73	-29.88	83.06	88.28	110
j50g	54.03	-48.3	63.49	79.78	127
j75g	44.73	-60.32	42.64	73.88	145
g00b	47.59	-49.07	15.74	51.54	162
g25b	49.97	-39.69	-6.71	40.27	190
g50b	51.85	-32.32	-24.34	40.48	217
g75b	46.92	-17.28	-36.01	39.96	244
b00r	37.91	1.28	-42.34	42.37	272
b25r	23.81	30.38	-52.25	60.45	300
b50r	29.52	69.06	-42.13	80.9	329
b75r	36.48	71.47	-3.68	71.57	357



Ein und Ausgabe: Farbmetrisches Drucker-Reflektiv-System FRS09_92a für relativen CIELAB-Buntton $h^* = lab^*h^* = h_{ab}/360 = 329/360 = 0.913$ $u^* = b50r$

Daten für jede Farbe:

lab^*ch^* und lab^*icu^*

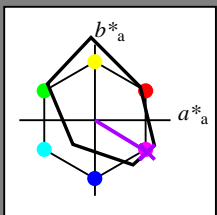
Elementar-Bunttontext:

$u^* = b50r$

Kontrastreduzierungsfaktor:

$c_R = 1.0$

Dreiecks-Helligkeit t^*



FRS09_92a; adaptierte CIELAB-Daten

	$L^*=L_a^*$	a_a^*	b_a^*	$C_{ab,a}^*$	$h_{ab,a}^*$
O _{Ma}	35.06	60.0	44.0	74.4	36
Y _{Ma}	83.77	-5.16	109.32	109.44	93
L _{Ma}	44.13	-62.66	48.24	79.09	142
C _{Ma}	52.66	-29.13	-31.98	43.27	228
V _{Ma}	14.15	50.3	-59.03	77.57	310
M _{Ma}	37.37	78.64	-33.49	85.48	337
N _{Ma}	8.58	0.0	0.0	0.0	0
W _{Ma}	92.02	0.0	0.0	0.0	0
R _{CIE}	39.92	58.74	27.99	65.07	25
J _{CIE}	81.26	-2.88	71.56	71.62	92
G _{CIE}	52.23	-42.41	13.6	44.55	162
B _{CIE}	30.57	1.41	-46.46	46.49	272

Daten für Maximalfarbe (Ma):

$LAB^*LAB^*_{Ma}$: 30 69 -41

$LAB^*LCH^*_{Ma}$: 30 81 329

$lab^*rgb^*_{Ma}$: 1.0 0.0 1.0

$lab^*olv^*_{Ma}$: 0.66 0.0 1.0

Dreiecks-Helligkeit t^*

%Umfang

$u^*_{rel} = 109$

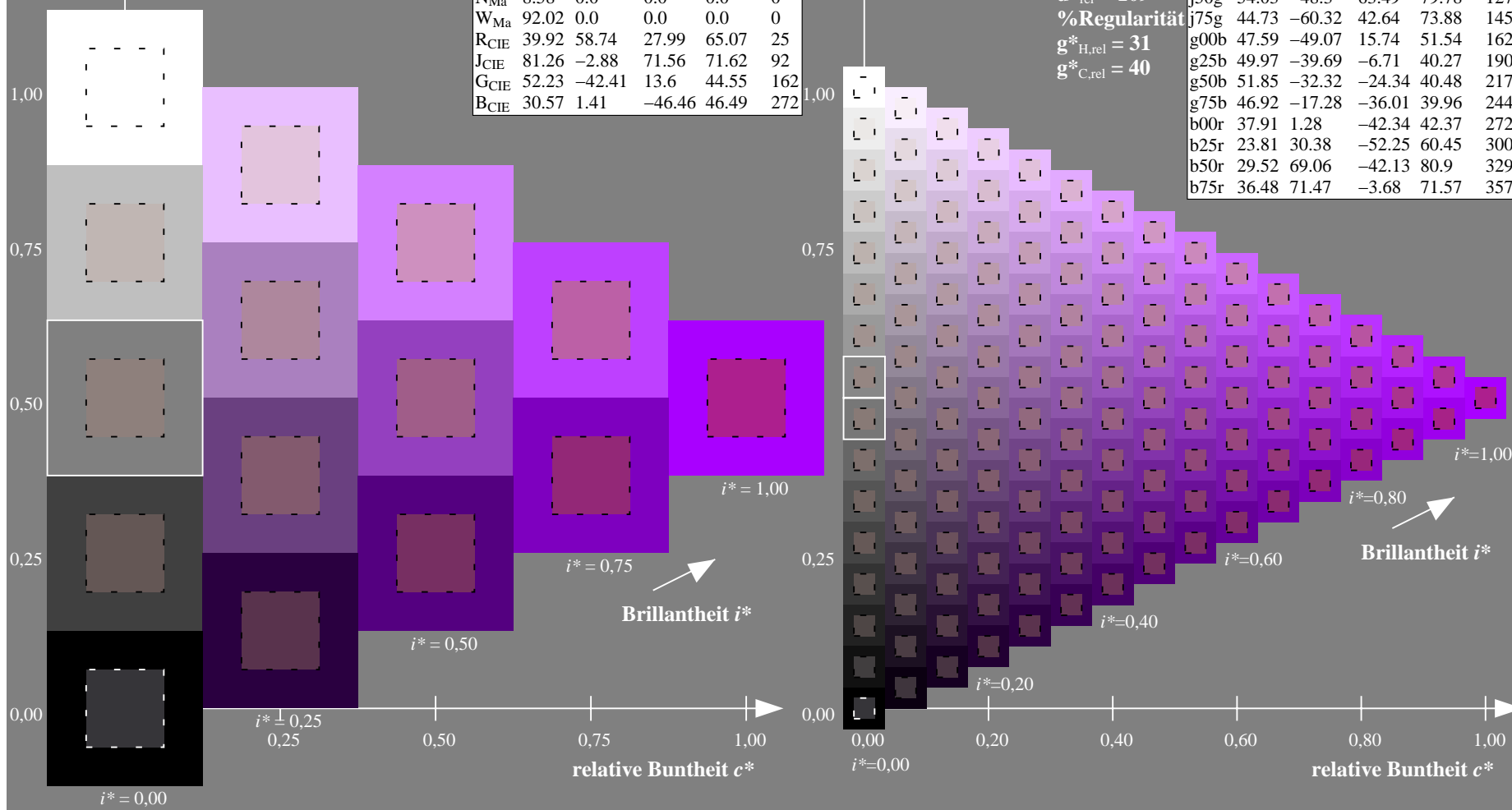
%Regularität

$g^*_{H,rel} = 31$

$g^*_{C,rel} = 40$

FRS09_92a; adaptierte CIELAB-Daten

	$L^*=L_a^*$	a_a^*	b_a^*	$C_{ab,a}^*$	$h_{ab,a}^*$
r00j	35.47	63.32	30.17	70.15	25
r25j	39.12	54.56	49.45	73.64	42
r50j	50.64	39.15	64.89	75.79	59
r75j	64.01	21.26	82.83	85.52	76
j00g	83.18	-4.37	108.53	108.62	92
j25g	66.73	-29.88	83.06	88.28	110
j50g	54.03	-48.3	63.49	79.78	127
j75g	44.73	-60.32	42.64	73.88	145
g00b	47.59	-49.07	15.74	51.54	162
g25b	49.97	-39.69	-6.71	40.27	190
g50b	51.85	-32.32	-24.34	40.48	217
g75b	46.92	-17.28	-36.01	39.96	244
b00r	37.91	1.28	-42.34	42.37	272
b25r	23.81	30.38	-52.25	60.45	300
b50r	29.52	69.06	-42.13	80.9	329
b75r	36.48	71.47	-3.68	71.57	357



Ein und Ausgabe: Farbmetrisches Drucker-Reflektiv-System FRS09_92a für relativen CIELAB-Buntton $h^* = lab^*h^* = h_{ab}/360 = 357/360 = 0.992$ $u^* = b75r$

Daten für jede Farbe:

lab^*ch^* und lab^*icu^*

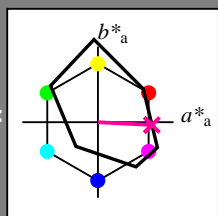
Elementar-Bunttontext:

$u^* = b75r$

Kontrastreduzierungsfaktor:

$c_R = 1.0$

Dreiecks-Helligkeit i^*



FRS09_92a; adaptierte CIELAB-Daten					
	$L^*=L^*_a$	a^*_a	b^*_a	$C^*_{ab,a}$	$h^*_{ab,a}$
O _{Ma}	35.06	60.0	44.0	74.4	36
Y _{Ma}	83.77	-5.16	109.32	109.44	93
L _{Ma}	44.13	-62.66	48.24	79.09	142
C _{Ma}	52.66	-29.13	-31.98	43.27	228
V _{Ma}	14.15	50.3	-59.03	77.57	310
M _{Ma}	37.37	78.64	-33.49	85.48	337
N _{Ma}	8.58	0.0	0.0	0.0	0
W _{Ma}	92.02	0.0	0.0	0.0	0
R _{CIE}	39.92	58.74	27.99	65.07	25
J _{CIE}	81.26	-2.88	71.56	71.62	92
G _{CIE}	52.23	-42.41	13.6	44.55	162
B _{CIE}	30.57	1.41	-46.46	46.49	272

Daten für Maximalfarbe (Ma):

$LAB^*LAB^*_{Ma}$: 36 71 -3

$LAB^*LCH^*_{Ma}$: 36 72 357

$lab^*rgb^*_{Ma}$: 1.0 0.0 0.5

$lab^*olv^*_{Ma}$: 1.0 0.0 0.62

Dreiecks-Helligkeit i^*

%Umfang

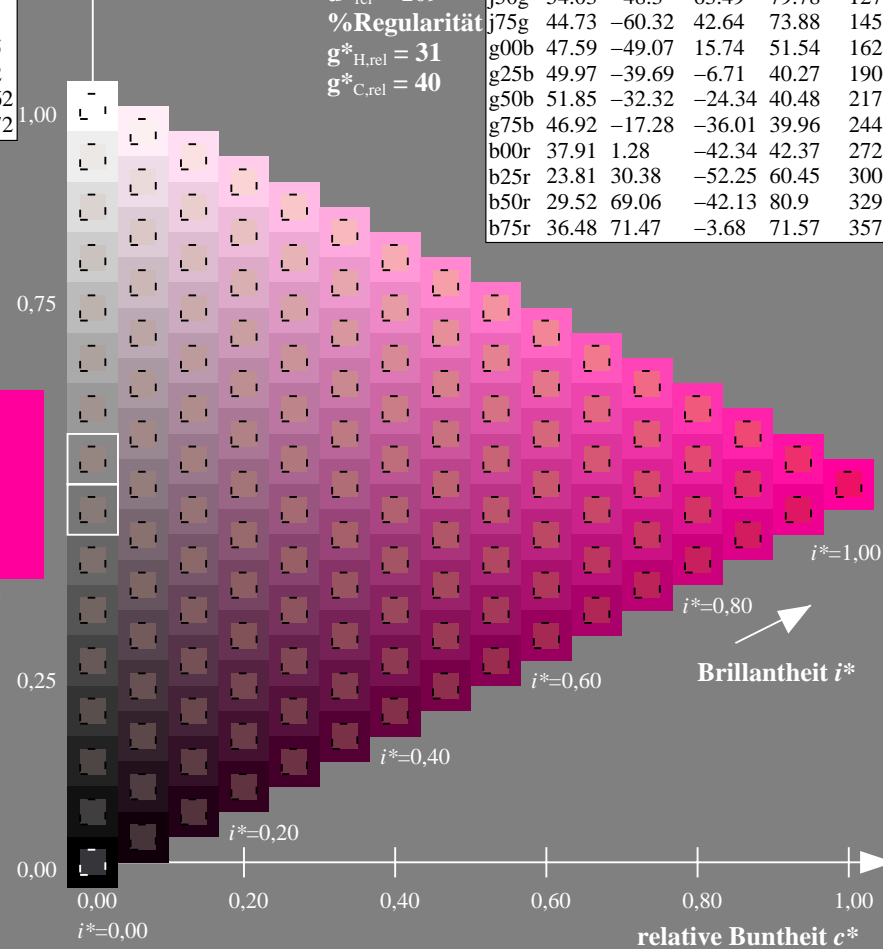
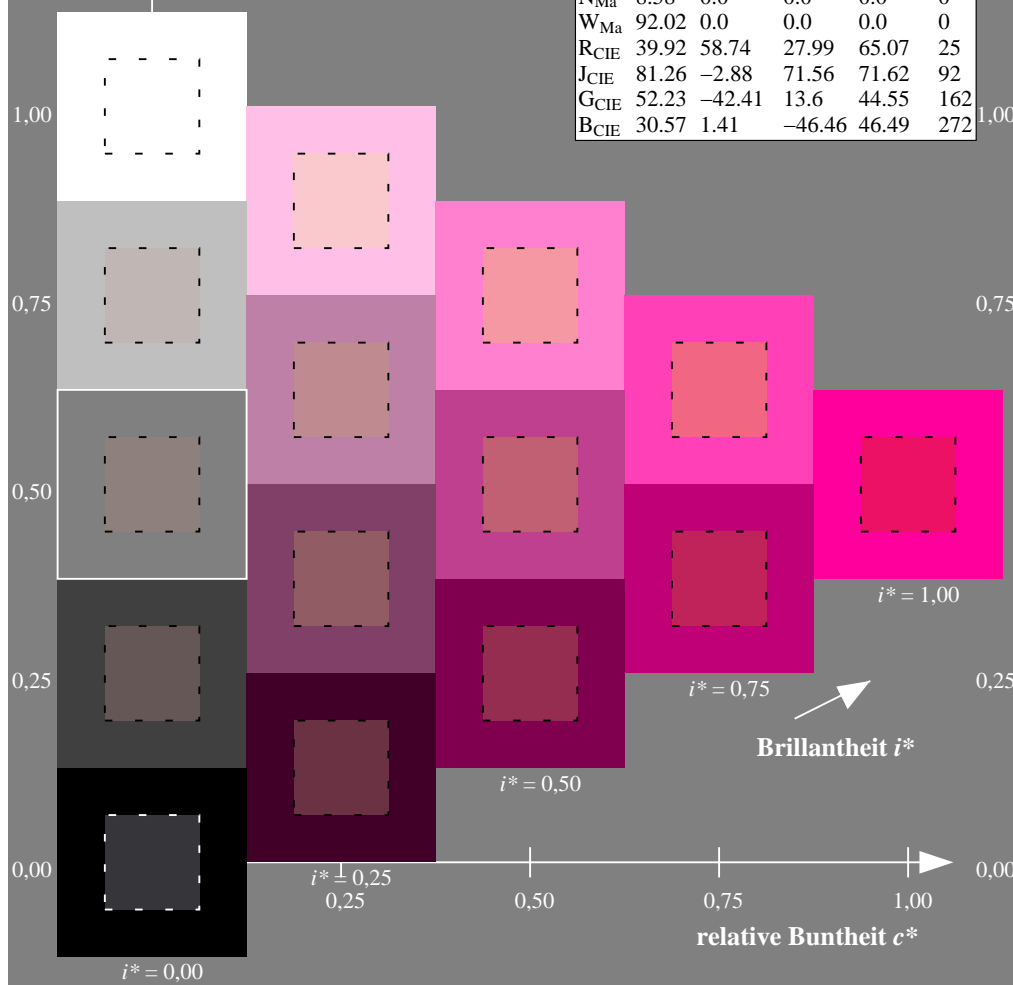
$u^*_{rel} = 109$

%Regularität

$g^*_{H,rel} = 31$

$g^*_{C,rel} = 40$

FRS09_92a; adaptierte CIELAB-Daten					
	$L^*=L^*_a$	a^*_a	b^*_a	$C^*_{ab,a}$	$h^*_{ab,a}$
r00j	35.47	63.32	30.17	70.15	25
r25j	39.12	54.56	49.45	73.64	42
r50j	50.64	39.15	64.89	75.79	59
r75j	64.01	21.26	82.83	85.52	76
j00g	83.18	-4.37	108.53	108.62	92
j25g	66.73	-29.88	83.06	88.28	110
j50g	54.03	-48.3	63.49	79.78	127
j75g	44.73	-60.32	42.64	73.88	145
g00b	47.59	-49.07	15.74	51.54	162
g25b	49.97	-39.69	-6.71	40.27	190
g50b	51.85	-32.32	-24.34	40.48	217
g75b	46.92	-17.28	-36.01	39.96	244
b00r	37.91	1.28	-42.34	42.37	272
b25r	23.81	30.38	-52.25	60.45	300
b50r	29.52	69.06	-42.13	80.9	329
b75r	36.48	71.47	-3.68	71.57	357

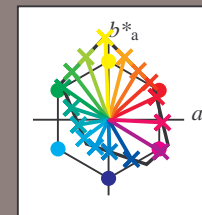


Siehe ähnliche Dateien: <http://www.ps.bam.de/Dg96/>; www.ps.bam.de/Dg96/HTM
Technische Information: <http://www.ps.bam.de> Version 2.1, io=1,1, ColSpx=0



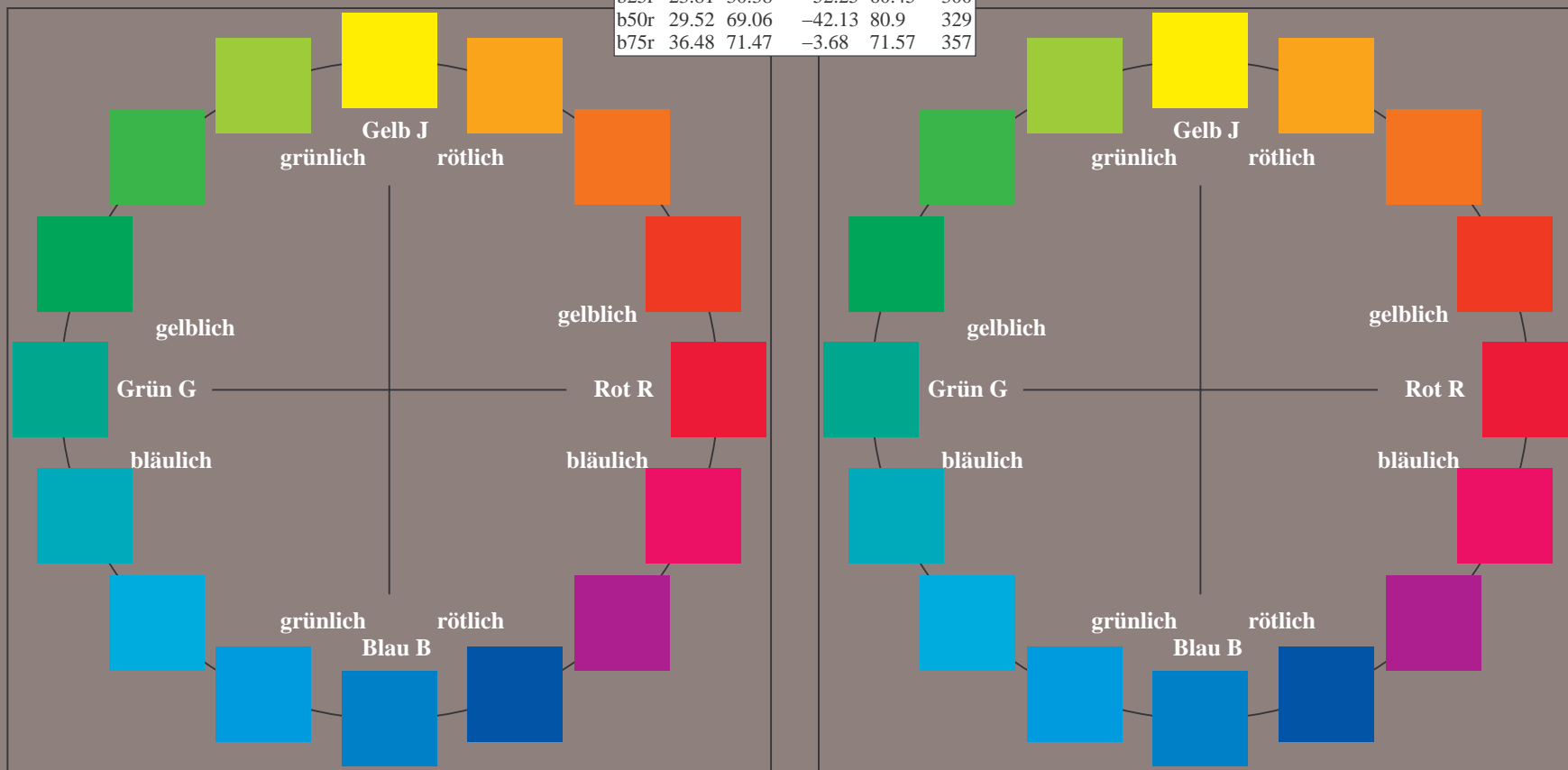
Ein und Ausgabe:
Farbmetrisches Drucker-Reflektiv-System FRS09_92a
Daten für jede Farbe:
*lab*_{ich}** und *lab*_{icu}**
Elementar-Bunttontext:
*u** = 16 Bunttöne *r00j*, *r25j*, ..., *b75r*
Kontrastreduzierungsfaktor:
c_R = 1.0

FRS09_92a; adaptierte CIELAB-Daten					
	<i>L*</i> = <i>L*</i> _a	<i>a*</i> _a	<i>b*</i> _a	<i>C*</i> _{ab,a}	<i>h*</i> _{ab,a}
r00j	35.47	63.32	30.17	70.15	25
r25j	39.12	54.56	49.45	73.64	42
r50j	50.64	39.15	64.89	75.79	59
r75j	64.01	21.26	82.83	85.52	76
j00g	83.18	-4.37	108.53	108.62	92
j25g	66.73	-29.88	83.06	88.28	110
j50g	54.03	-48.3	63.49	79.78	127
j75g	44.73	-60.32	42.64	73.88	145
g00b	47.59	-49.07	15.74	51.54	162
g25b	49.97	-39.69	-6.71	40.27	190
g50b	51.85	-32.32	-24.34	40.48	217
g75b	46.92	-17.28	-36.01	39.96	244
b00r	37.91	1.28	-42.34	42.37	272
b25r	23.81	30.38	-52.25	60.45	300
b50r	29.52	69.06	-42.13	80.9	329
b75r	36.48	71.47	-3.68	71.57	357



%Umfang
*u**_{rel} = 109
%Regularität
*g**_{H,rel} = 31
*g**_{C,rel} = 40

FRS09_92a; adaptierte CIELAB-Daten					
	<i>L*</i> = <i>L*</i> _a	<i>a*</i> _a	<i>b*</i> _a	<i>C*</i> _{ab,a}	<i>h*</i> _{ab,a}
OMa	35.06	60.0	44.0	74.4	36
YMa	83.77	-5.16	109.32	109.44	93
LMa	44.13	-62.66	48.24	79.09	142
CMa	52.66	-29.13	-31.98	43.27	228
VMa	14.15	50.3	-59.03	77.57	310
MMa	37.37	78.64	-33.49	85.48	337
NMa	8.58	0.0	0.0	0.0	0
WMa	92.02	0.0	0.0	0.0	0
RCIE	39.92	58.74	27.99	65.07	25
JCIE	81.26	-2.88	71.56	71.62	92
GCIE	52.23	-42.41	13.6	44.55	162
BCIE	30.57	1.41	-46.46	46.49	272



Ein und Ausgabe: Farbmetrisches Drucker-Reflektiv-System FRS09_92a für relativen CIELAB-Buntton $h^* = lab^*h^* = h_{ab}/360 = 25/360 = 0.071$ $u^* = r00j$

Daten für jede Farbe:

lab^*ch^* und lab^*icu^*

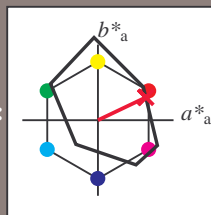
Elementar-Bunttontext:

$u^* = r00j$

Kontrastreduzierungsfaktor:

$c_R = 1.0$

Dreiecks-Helligkeit i^*



FRS09_92a; adaptierte CIELAB-Daten

	$L^*=L_a^*$	a_a^*	b_a^*	$C_{ab,a}^*$	$h_{ab,a}^*$
O _{Ma}	35.06	60.0	44.0	74.4	36
Y _{Ma}	83.77	-5.16	109.32	109.44	93
L _{Ma}	44.13	-62.66	48.24	79.09	142
C _{Ma}	52.66	-29.13	-31.98	43.27	228
V _{Ma}	14.15	50.3	-59.03	77.57	310
M _{Ma}	37.37	78.64	-33.49	85.48	337
N _{Ma}	8.58	0.0	0.0	0.0	0
W _{Ma}	92.02	0.0	0.0	0.0	0
R _{CIE}	39.92	58.74	27.99	65.07	25
J _{CIE}	81.26	-2.88	71.56	71.62	92
G _{CIE}	52.23	-42.41	13.6	44.55	162
B _{CIE}	30.57	1.41	-46.46	46.49	272

Daten für Maximalfarbe (Ma):

LAB^*LAB^*Ma : 35 63 30

LAB^*LCH^*Ma : 35 70 25

lab^*rgb^*Ma : 1.0 0.0 0.0

lab^*olv^*Ma : 1.0 0.0 0.18

Dreiecks-Helligkeit i^*

%Umfang

$u^*_{rel} = 109$

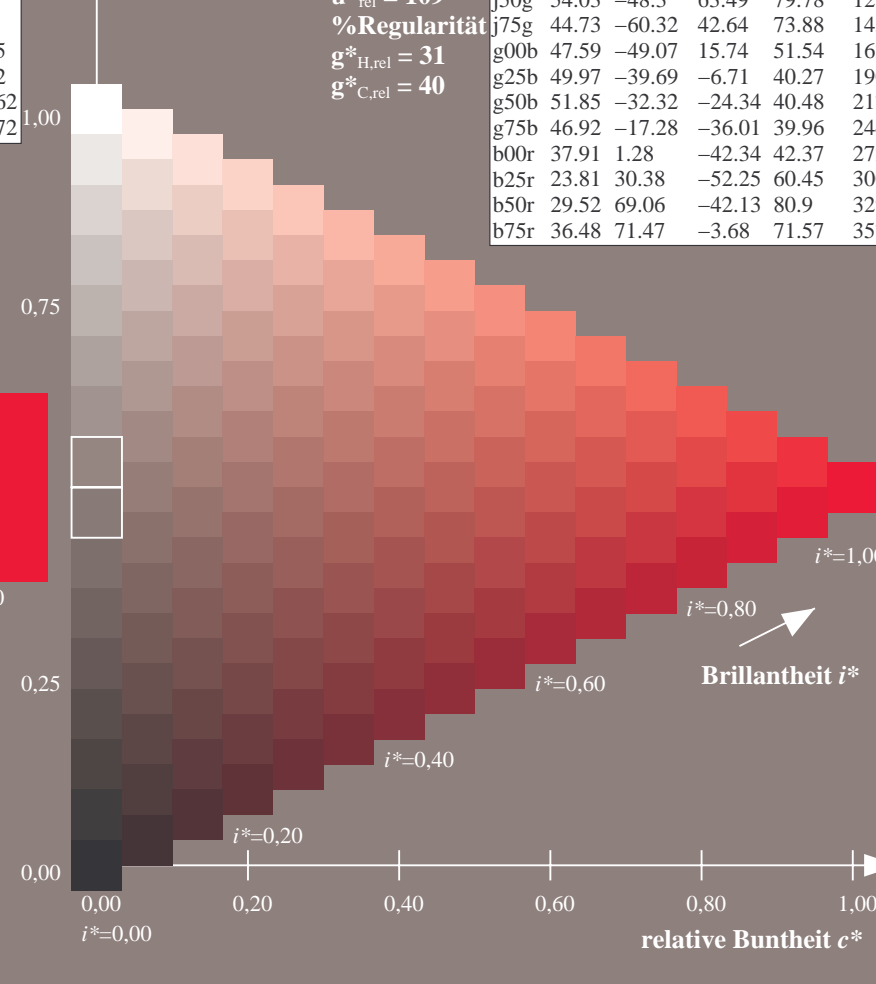
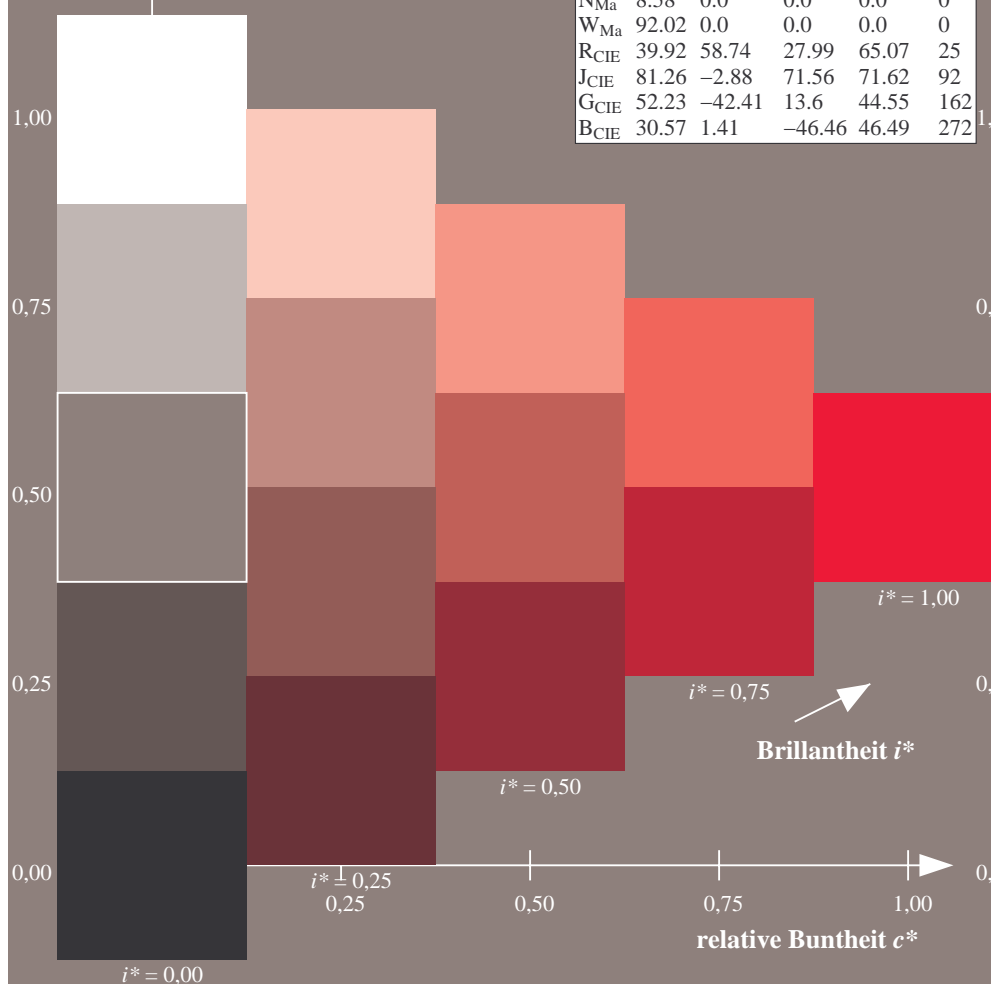
%Regularität

$g^*_{H,rel} = 31$

$g^*_{C,rel} = 40$

FRS09_92a; adaptierte CIELAB-Daten

	$L^*=L_a^*$	a_a^*	b_a^*	$C_{ab,a}^*$	$h_{ab,a}^*$
r00j	35.47	63.32	30.17	70.15	25
r25j	39.12	54.56	49.45	73.64	42
r50j	50.64	39.15	64.89	75.79	59
r75j	64.01	21.26	82.83	85.52	76
j00g	83.18	-4.37	108.53	108.62	92
j25g	66.73	-29.88	83.06	88.28	110
j50g	54.03	-48.3	63.49	79.78	127
j75g	44.73	-60.32	42.64	73.88	145
g00b	47.59	-49.07	15.74	51.54	162
g25b	49.97	-39.69	-6.71	40.27	190
g50b	51.85	-32.32	-24.34	40.48	217
g75b	46.92	-17.28	-36.01	39.96	244
b00r	37.91	1.28	-42.34	42.37	272
b25r	23.81	30.38	-52.25	60.45	300
b50r	29.52	69.06	-42.13	80.9	329
b75r	36.48	71.47	-3.68	71.57	357



Ein und Ausgabe: Farbmetrisches Drucker-Reflektiv-System FRS09_92a für relativen CIELAB-Buntton $h^* = lab^*h^* = h_{ab}/360 = 42/360 = 0.117$ $u^* = r25j$

Daten für jede Farbe:

lab^*ch^* und lab^*icu^*

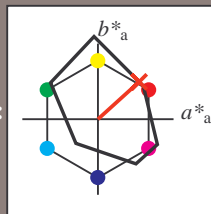
Elementar-Bunttontext:

$u^* = r25j$

Kontrastreduzierungsfaktor:

$c_R = 1.0$

Dreiecks-Helligkeit t^*



FRS09_92a; adaptierte CIELAB-Daten

	$L^*=L_a^*$	a_a^*	b_a^*	$C_{ab,a}^*$	$h_{ab,a}^*$
O _{Ma}	35.06	60.0	44.0	74.4	36
Y _{Ma}	83.77	-5.16	109.32	109.44	93
L _{Ma}	44.13	-62.66	48.24	79.09	142
C _{Ma}	52.66	-29.13	-31.98	43.27	228
V _{Ma}	14.15	50.3	-59.03	77.57	310
M _{Ma}	37.37	78.64	-33.49	85.48	337
N _{Ma}	8.58	0.0	0.0	0.0	0
W _{Ma}	92.02	0.0	0.0	0.0	0
R _{CIE}	39.92	58.74	27.99	65.07	25
J _{CIE}	81.26	-2.88	71.56	71.62	92
G _{CIE}	52.23	-42.41	13.6	44.55	162
B _{CIE}	30.57	1.41	-46.46	46.49	272

Daten für Maximalfarbe (Ma):

LAB^*LAB^*Ma : 39 55 49

LAB^*LCH^*Ma : 39 74 42

lab^*rgb^*Ma : 1.0 0.25 0.0

lab^*olv^*Ma : 1.0 0.08 0.0

Dreiecks-Helligkeit t^*

%Umfang

$u^*_{rel} = 109$

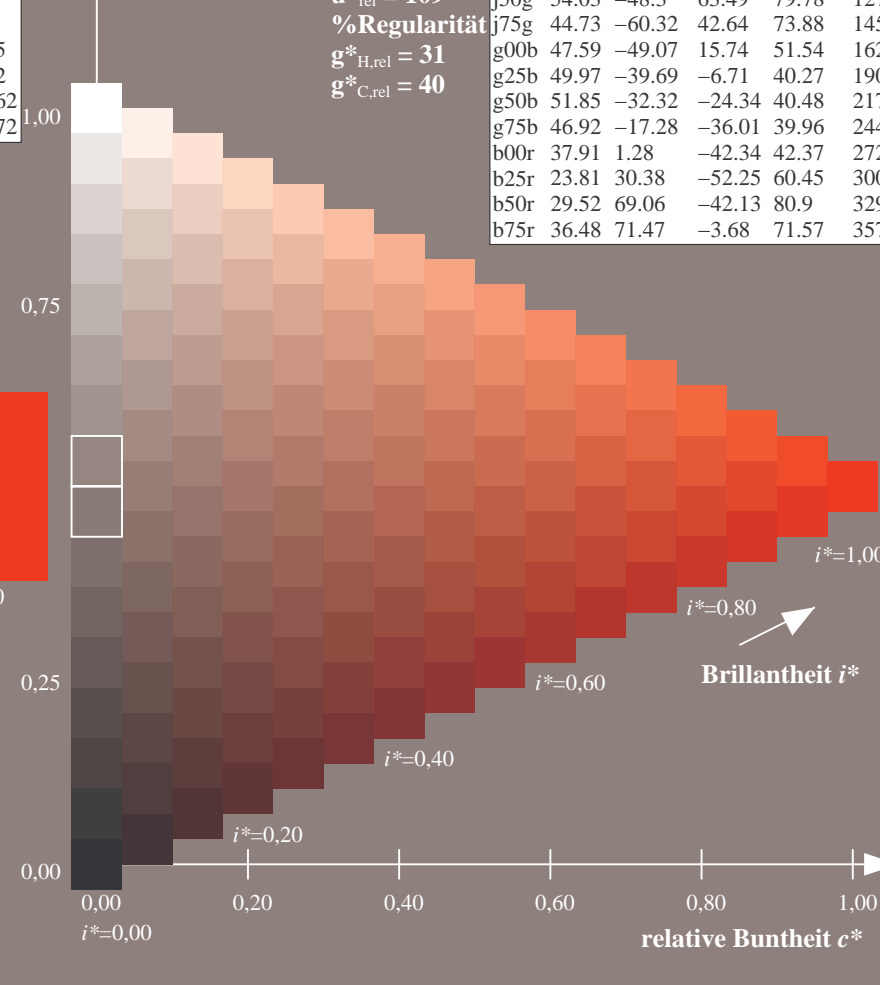
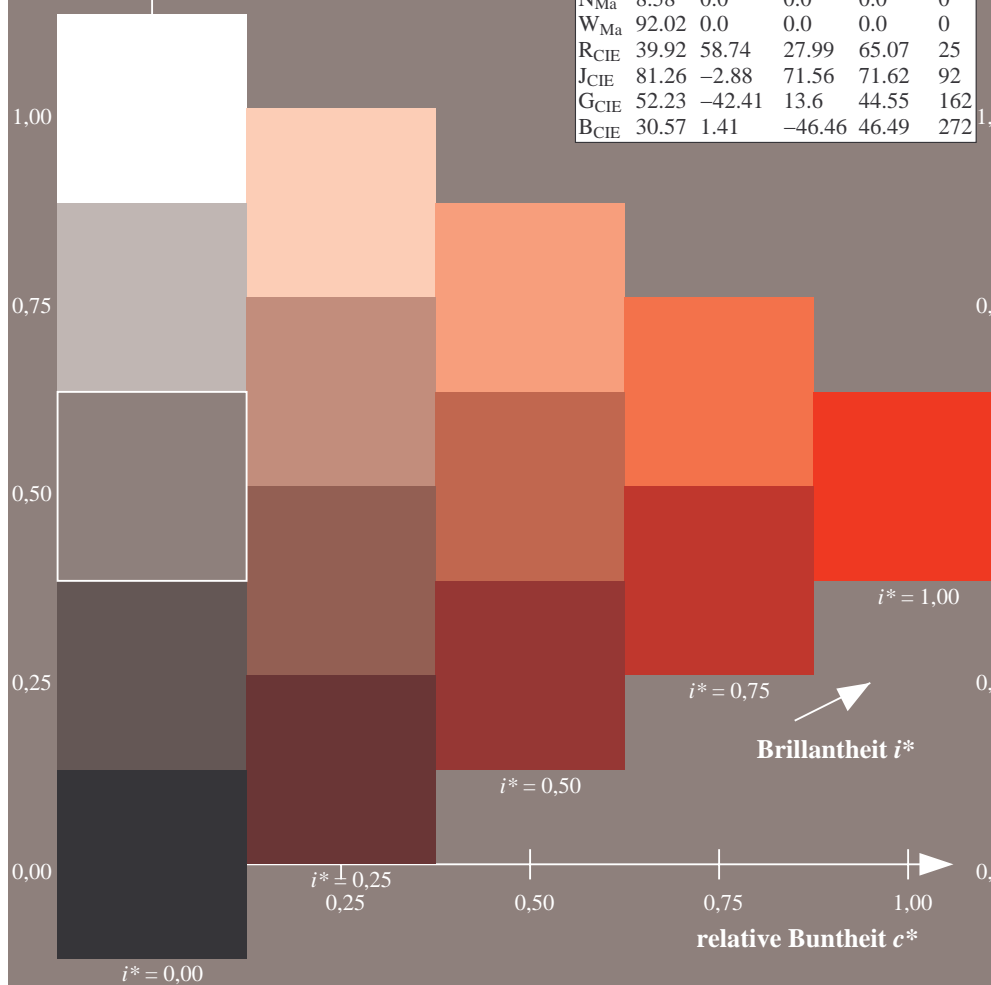
%Regularität

$g^*_{H,rel} = 31$

$g^*_{C,rel} = 40$

FRS09_92a; adaptierte CIELAB-Daten

	$L^*=L_a^*$	a_a^*	b_a^*	$C_{ab,a}^*$	$h_{ab,a}^*$
r00j	35.47	63.32	30.17	70.15	25
r25j	39.12	54.56	49.45	73.64	42
r50j	50.64	39.15	64.89	75.79	59
r75j	64.01	21.26	82.83	85.52	76
j00g	83.18	-4.37	108.53	108.62	92
j25g	66.73	-29.88	83.06	88.28	110
j50g	54.03	-48.3	63.49	79.78	127
j75g	44.73	-60.32	42.64	73.88	145
g00b	47.59	-49.07	15.74	51.54	162
g25b	49.97	-39.69	-6.71	40.27	190
g50b	51.85	-32.32	-24.34	40.48	217
g75b	46.92	-17.28	-36.01	39.96	244
b00r	37.91	1.28	-42.34	42.37	272
b25r	23.81	30.38	-52.25	60.45	300
b50r	29.52	69.06	-42.13	80.9	329
b75r	36.48	71.47	-3.68	71.57	357



Ein und Ausgabe: Farbmetrisches Drucker-Reflektiv-System FRS09_92a für relativen CIELAB-Buntton $h^* = lab^*h^* = h_{ab}/360 = 59/360 = 0.164$ $u^* = r50j$

Daten für jede Farbe:

lab^*tch^* und lab^*icu^*

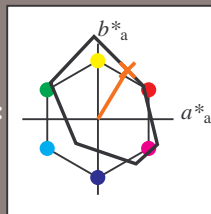
Elementar-Bunttontext:

$u^* = r50j$

Kontrastreduzierungsfaktor:

$c_R = 1.0$

Dreiecks-Helligkeit t^*



FRS09_92a; adaptierte CIELAB-Daten

	$L^*=L^*_a$	a^*_a	b^*_a	$C^*_{ab,a}$	$h^*_{ab,a}$
O _{Ma}	35.06	60.0	44.0	74.4	36
Y _{Ma}	83.77	-5.16	109.32	109.44	93
L _{Ma}	44.13	-62.66	48.24	79.09	142
C _{Ma}	52.66	-29.13	-31.98	43.27	228
V _{Ma}	14.15	50.3	-59.03	77.57	310
M _{Ma}	37.37	78.64	-33.49	85.48	337
N _{Ma}	8.58	0.0	0.0	0.0	0
W _{Ma}	92.02	0.0	0.0	0.0	0
R _{CIE}	39.92	58.74	27.99	65.07	25
J _{CIE}	81.26	-2.88	71.56	71.62	92
G _{CIE}	52.23	-42.41	13.6	44.55	162
B _{CIE}	30.57	1.41	-46.46	46.49	272

Daten für Maximalfarbe (Ma):

$LAB^*LAB^*_{Ma}$: 51 39 65

$LAB^*LCH^*_{Ma}$: 51 76 59

$lab^*rgb^*_{Ma}$: 1.0 0.5 0.0

$lab^*olv^*_{Ma}$: 1.0 0.32 0.0

Dreiecks-Helligkeit t^*

%Umfang

$u^*_{rel} = 109$

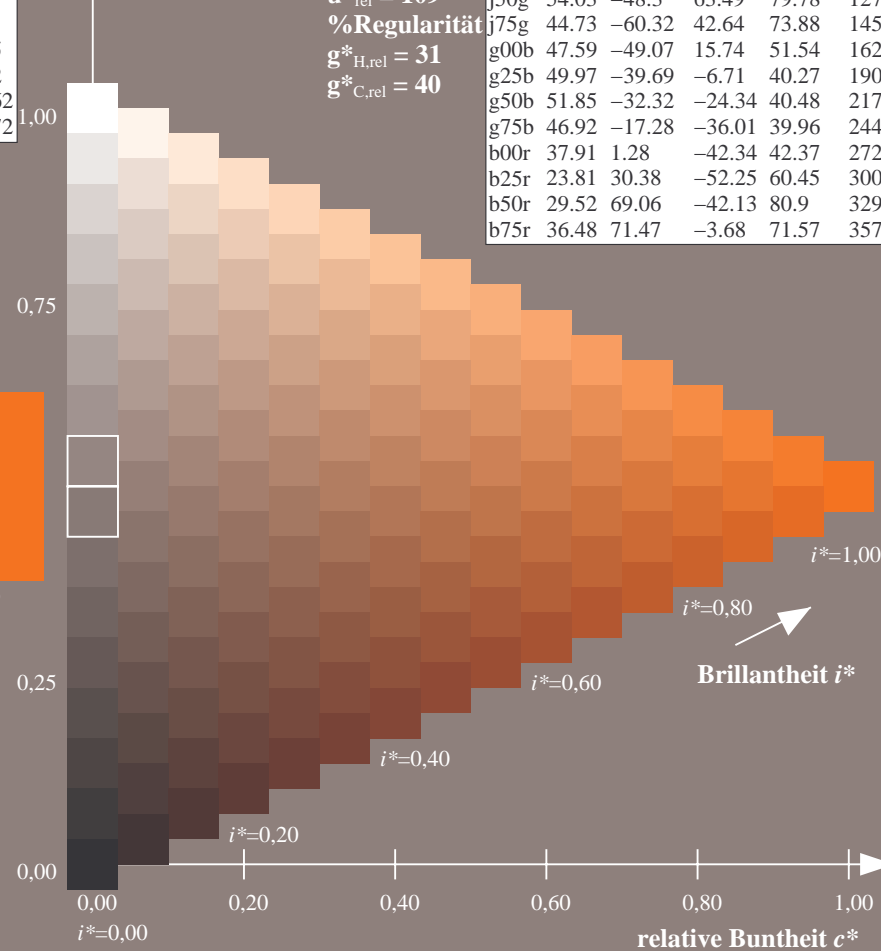
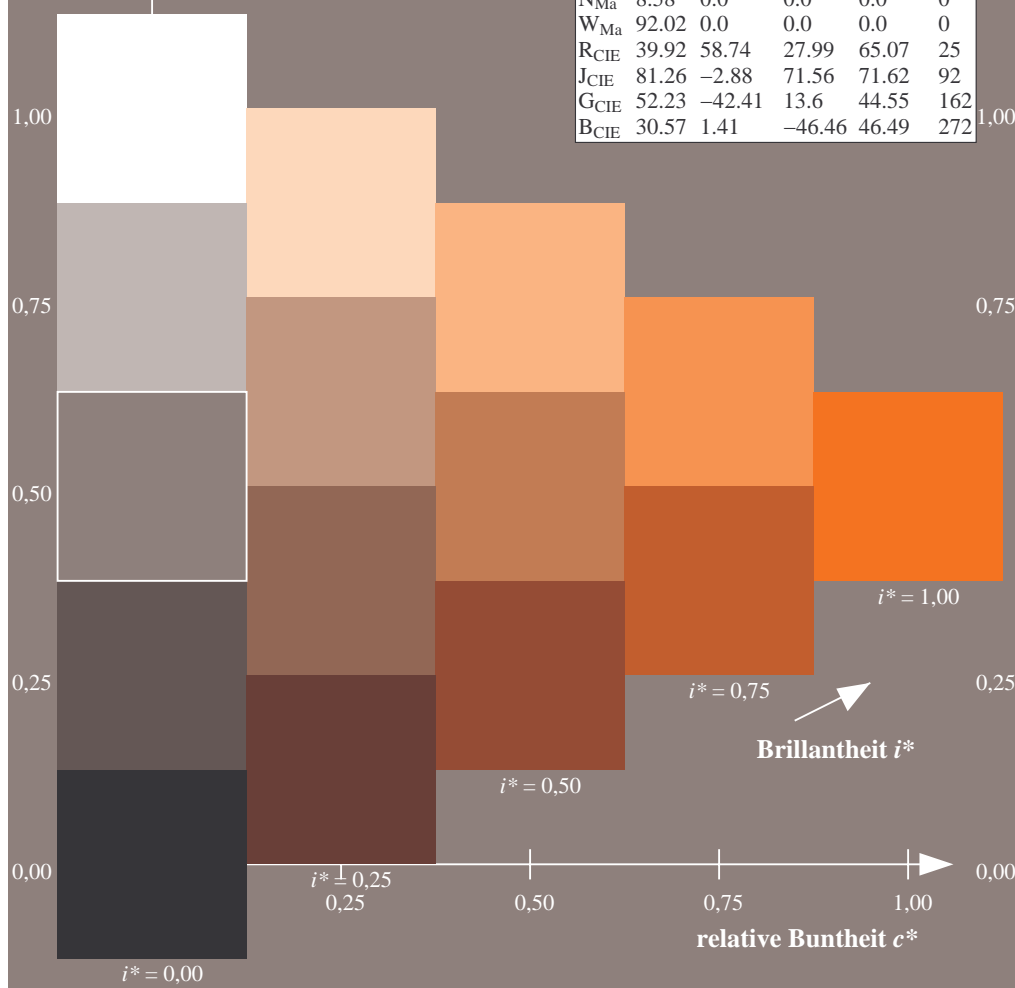
%Regularität

$g^*_{H,rel} = 31$

$g^*_{C,rel} = 40$

FRS09_92a; adaptierte CIELAB-Daten

	$L^*=L^*_a$	a^*_a	b^*_a	$C^*_{ab,a}$	$h^*_{ab,a}$
r00j	35.47	63.32	30.17	70.15	25
r25j	39.12	54.56	49.45	73.64	42
r50j	50.64	39.15	64.89	75.79	59
r75j	64.01	21.26	82.83	85.52	76
j00g	83.18	-4.37	108.53	108.62	92
j25g	66.73	-29.88	83.06	88.28	110
j50g	54.03	-48.3	63.49	79.78	127
j75g	44.73	-60.32	42.64	73.88	145
g00b	47.59	-49.07	15.74	51.54	162
g25b	49.97	-39.69	-6.71	40.27	190
g50b	51.85	-32.32	-24.34	40.48	217
g75b	46.92	-17.28	-36.01	39.96	244
b00r	37.91	1.28	-42.34	42.37	272
b25r	23.81	30.38	-52.25	60.45	300
b50r	29.52	69.06	-42.13	80.9	329
b75r	36.48	71.47	-3.68	71.57	357



Ein und Ausgabe: Farbmetrisches Drucker-Reflektiv-System FRS09_92a für relativen CIELAB-Buntton $h^* = lab^*h^* = h_{ab}/360 = 76/360 = 0.21$ $u^* = r75j$

Daten für jede Farbe:

lab^*ch^* und lab^*icu^*

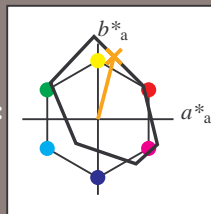
Elementar-Bunttontext:

$u^* = r75j$

Kontrastreduzierungsfaktor:

$c_R = 1.0$

Dreiecks-Helligkeit i^*



FRS09_92a; adaptierte CIELAB-Daten

	$L^*=L_a^*$	a_a^*	b_a^*	$C_{ab,a}^*$	$h_{ab,a}^*$
O _{Ma}	35.06	60.0	44.0	74.4	36
Y _{Ma}	83.77	-5.16	109.32	109.44	93
L _{Ma}	44.13	-62.66	48.24	79.09	142
C _{Ma}	52.66	-29.13	-31.98	43.27	228
V _{Ma}	14.15	50.3	-59.03	77.57	310
M _{Ma}	37.37	78.64	-33.49	85.48	337
N _{Ma}	8.58	0.0	0.0	0.0	0
W _{Ma}	92.02	0.0	0.0	0.0	0
R _{CIE}	39.92	58.74	27.99	65.07	25
J _{CIE}	81.26	-2.88	71.56	71.62	92
G _{CIE}	52.23	-42.41	13.6	44.55	162
B _{CIE}	30.57	1.41	-46.46	46.49	272

Daten für Maximalfarbe (Ma):

$LAB^*LAB^*_{Ma}$: 64 21 83

$LAB^*LCH^*_{Ma}$: 64 86 76

$lab^*rgb^*_{Ma}$: 1.0 0.75 0.0

$lab^*olv^*_{Ma}$: 1.0 0.59 0.0

Dreiecks-Helligkeit i^*

%Umfang

$u^*_{rel} = 109$

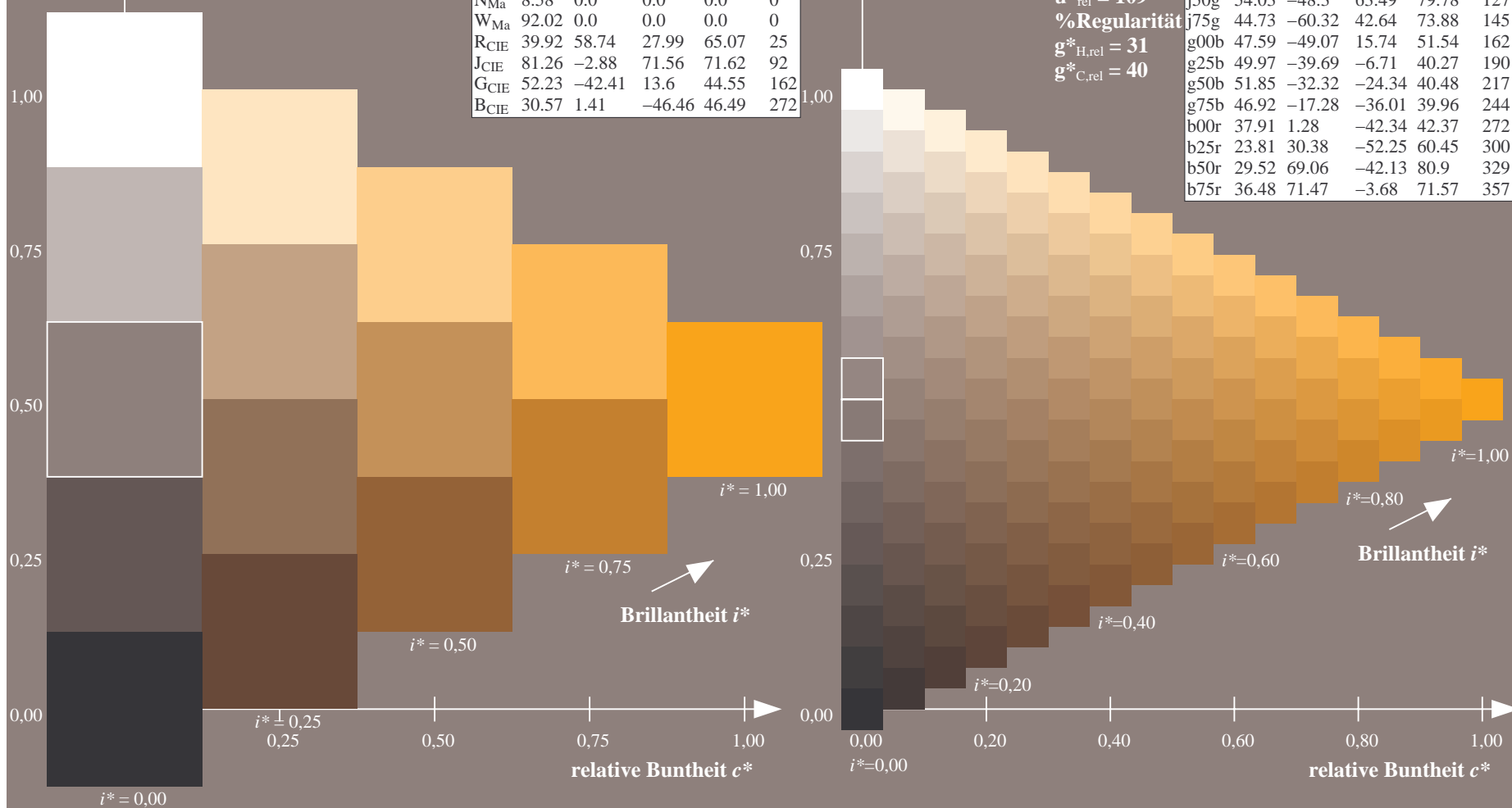
%Regularität

$g^*_{H,rel} = 31$

$g^*_{C,rel} = 40$

FRS09_92a; adaptierte CIELAB-Daten

	$L^*=L_a^*$	a_a^*	b_a^*	$C_{ab,a}^*$	$h_{ab,a}^*$
r00j	35.47	63.32	30.17	70.15	25
r25j	39.12	54.56	49.45	73.64	42
r50j	50.64	39.15	64.89	75.79	59
r75j	64.01	21.26	82.83	85.52	76
j00g	83.18	-4.37	108.53	108.62	92
j25g	66.73	-29.88	83.06	88.28	110
j50g	54.03	-48.3	63.49	79.78	127
j75g	44.73	-60.32	42.64	73.88	145
g00b	47.59	-49.07	15.74	51.54	162
g25b	49.97	-39.69	-6.71	40.27	190
g50b	51.85	-32.32	-24.34	40.48	217
g75b	46.92	-17.28	-36.01	39.96	244
b00r	37.91	1.28	-42.34	42.37	272
b25r	23.81	30.38	-52.25	60.45	300
b50r	29.52	69.06	-42.13	80.9	329
b75r	36.48	71.47	-3.68	71.57	357



Ein und Ausgabe: Farbmetrisches Drucker-Reflektiv-System FRS09_92a für relativen CIELAB-Buntton $h^* = lab^*h^* = h_{ab}/360 = 92/360 = 0.256$ $u^* = j00g$

Daten für jede Farbe:

lab^*ch^* und lab^*icu^*

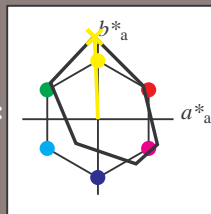
Elementar-Bunttontext:

$u^* = j00g$

Kontrastreduzierungsfaktor:

$c_R = 1.0$

Dreiecks-Helligkeit i^*



FRS09_92a; adaptierte CIELAB-Daten

	$L^*=L^*_a$	a^*_a	b^*_a	$C^*_{ab,a}$	$h^*_{ab,a}$
O _{Ma}	35.06	60.0	44.0	74.4	36
Y _{Ma}	83.77	-5.16	109.32	109.44	93
L _{Ma}	44.13	-62.66	48.24	79.09	142
C _{Ma}	52.66	-29.13	-31.98	43.27	228
V _{Ma}	14.15	50.3	-59.03	77.57	310
M _{Ma}	37.37	78.64	-33.49	85.48	337
N _{Ma}	8.58	0.0	0.0	0.0	0
W _{Ma}	92.02	0.0	0.0	0.0	0
R _{CIE}	39.92	58.74	27.99	65.07	25
J _{CIE}	81.26	-2.88	71.56	71.62	92
G _{CIE}	52.23	-42.41	13.6	44.55	162
B _{CIE}	30.57	1.41	-46.46	46.49	272

Daten für Maximalfarbe (Ma):

$LAB^*LAB^*_{Ma}$: 83 -3 109

$LAB^*LCH^*_{Ma}$: 83 109 92

$lab^*rgb^*_{Ma}$: 1.0 1.0 0.0

$lab^*olv^*_{Ma}$: 1.0 0.99 0.0

Dreiecks-Helligkeit i^*

%Umfang

$u^*_{rel} = 109$

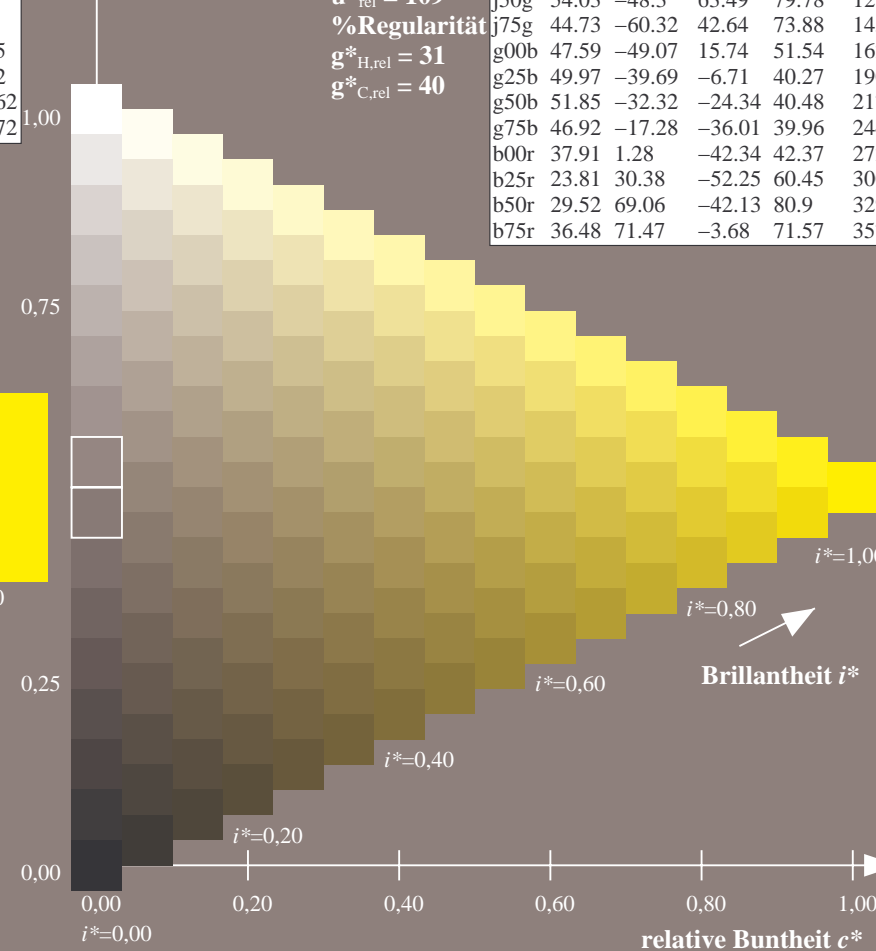
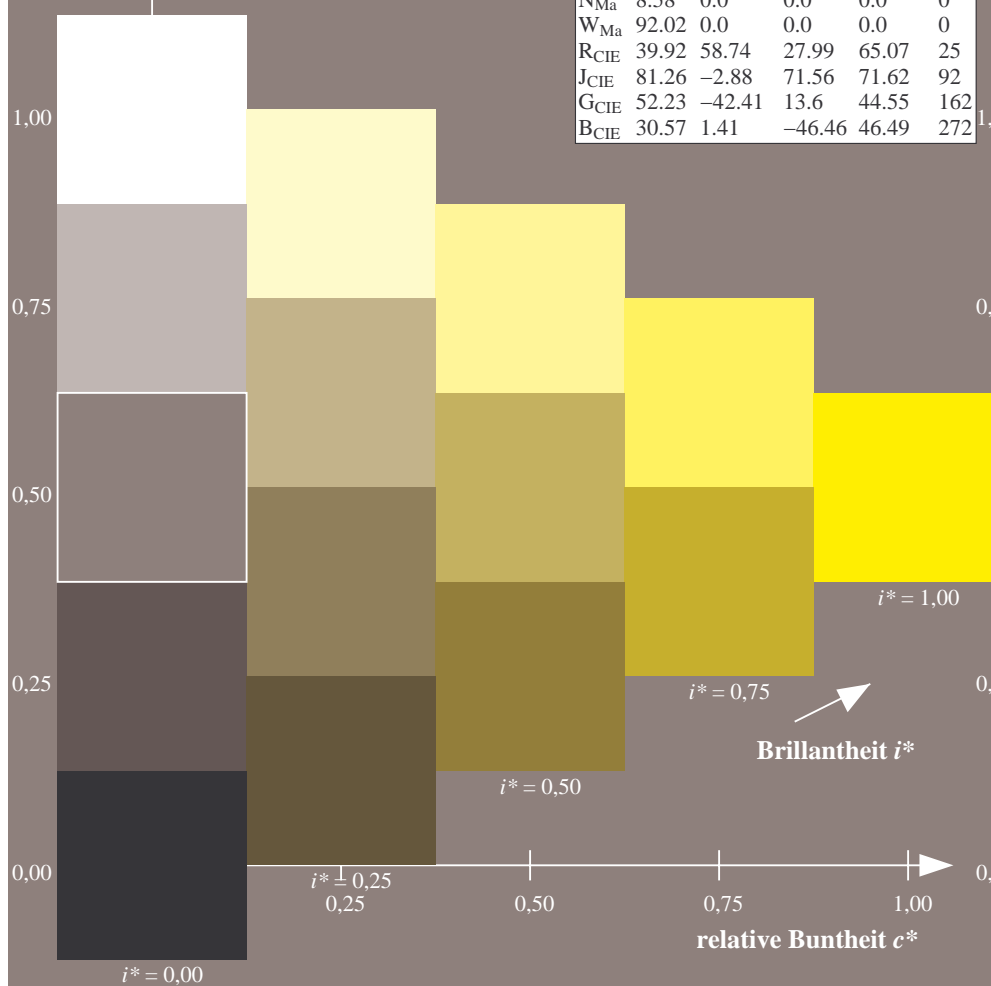
%Regularität

$g^*_{H,rel} = 31$

$g^*_{C,rel} = 40$

FRS09_92a; adaptierte CIELAB-Daten

	$L^*=L^*_a$	a^*_a	b^*_a	$C^*_{ab,a}$	$h^*_{ab,a}$
r00j	35.47	63.32	30.17	70.15	25
r25j	39.12	54.56	49.45	73.64	42
r50j	50.64	39.15	64.89	75.79	59
r75j	64.01	21.26	82.83	85.52	76
j00g	83.18	-4.37	108.53	108.62	92
j25g	66.73	-29.88	83.06	88.28	110
j50g	54.03	-48.3	63.49	79.78	127
j75g	44.73	-60.32	42.64	73.88	145
g00b	47.59	-49.07	15.74	51.54	162
g25b	49.97	-39.69	-6.71	40.27	190
g50b	51.85	-32.32	-24.34	40.48	217
g75b	46.92	-17.28	-36.01	39.96	244
b00r	37.91	1.28	-42.34	42.37	272
b25r	23.81	30.38	-52.25	60.45	300
b50r	29.52	69.06	-42.13	80.9	329
b75r	36.48	71.47	-3.68	71.57	357



Ein und Ausgabe: Farbmetrisches Drucker-Reflektiv-System FRS09_92a für relativen CIELAB-Buntton $h^* = lab^*h^* = h_{ab}/360 = 110/360 = 0.305$ $u^* = j25g$

Daten für jede Farbe:

lab^*ch^* und lab^*icu^*

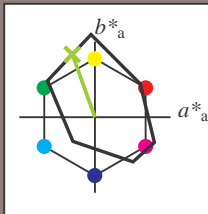
Elementar-Bunttontext:

$u^* = j25g$

Kontrastreduzierungsfaktor:

$c_R = 1.0$

Dreiecks-Helligkeit i^*



FRS09_92a; adaptierte CIELAB-Daten

	$L^*=L^*_a$	a^*_a	b^*_a	$C^*_{ab,a}$	$h^*_{ab,a}$
O _{Ma}	35.06	60.0	44.0	74.4	36
Y _{Ma}	83.77	-5.16	109.32	109.44	93
L _{Ma}	44.13	-62.66	48.24	79.09	142
C _{Ma}	52.66	-29.13	-31.98	43.27	228
V _{Ma}	14.15	50.3	-59.03	77.57	310
M _{Ma}	37.37	78.64	-33.49	85.48	337
N _{Ma}	8.58	0.0	0.0	0.0	0
W _{Ma}	92.02	0.0	0.0	0.0	0
R _{CIE}	39.92	58.74	27.99	65.07	25
J _{CIE}	81.26	-2.88	71.56	71.62	92
G _{CIE}	52.23	-42.41	13.6	44.55	162
B _{CIE}	30.57	1.41	-46.46	46.49	272

Daten für Maximalfarbe (Ma):

$LAB^*LAB^*_{Ma}$: 67 -29 83

$LAB^*LCH^*_{Ma}$: 67 88 110

$lab^*rgb^*_{Ma}$: 0.75 1.0 0.0

$lab^*olv^*_{Ma}$: 0.57 1.0 0.0

Dreiecks-Helligkeit i^*

%Umfang

$u^*_{rel} = 109$

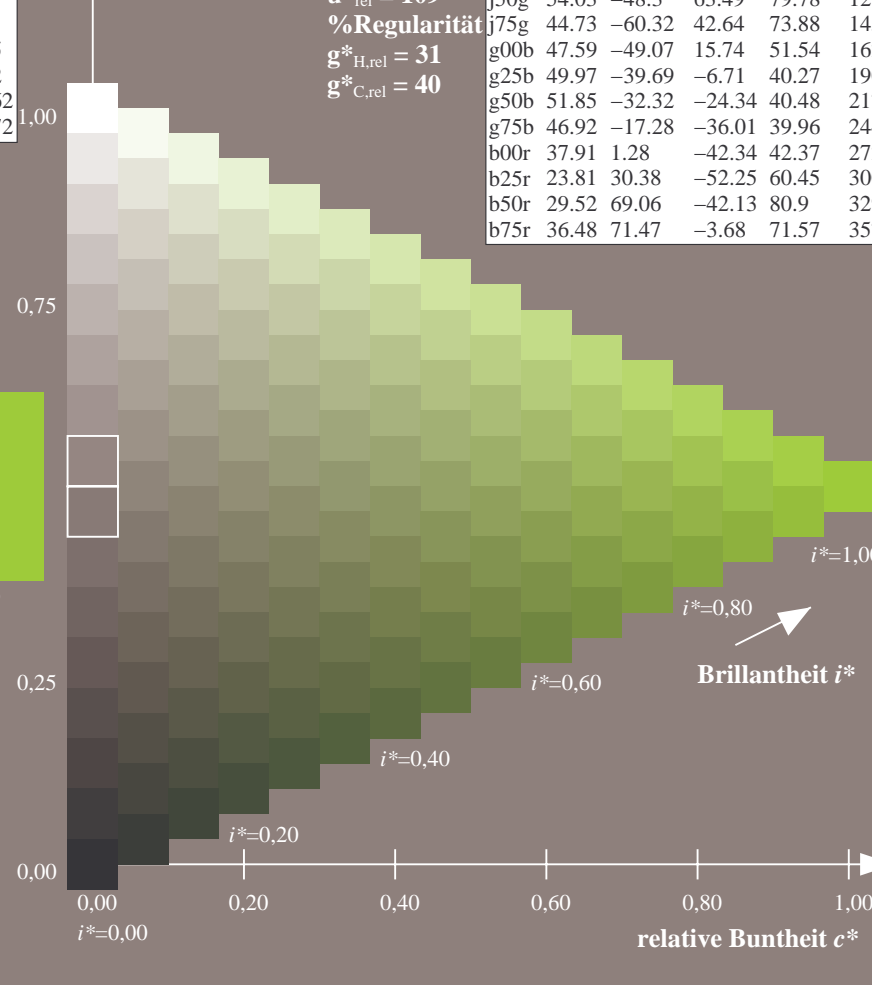
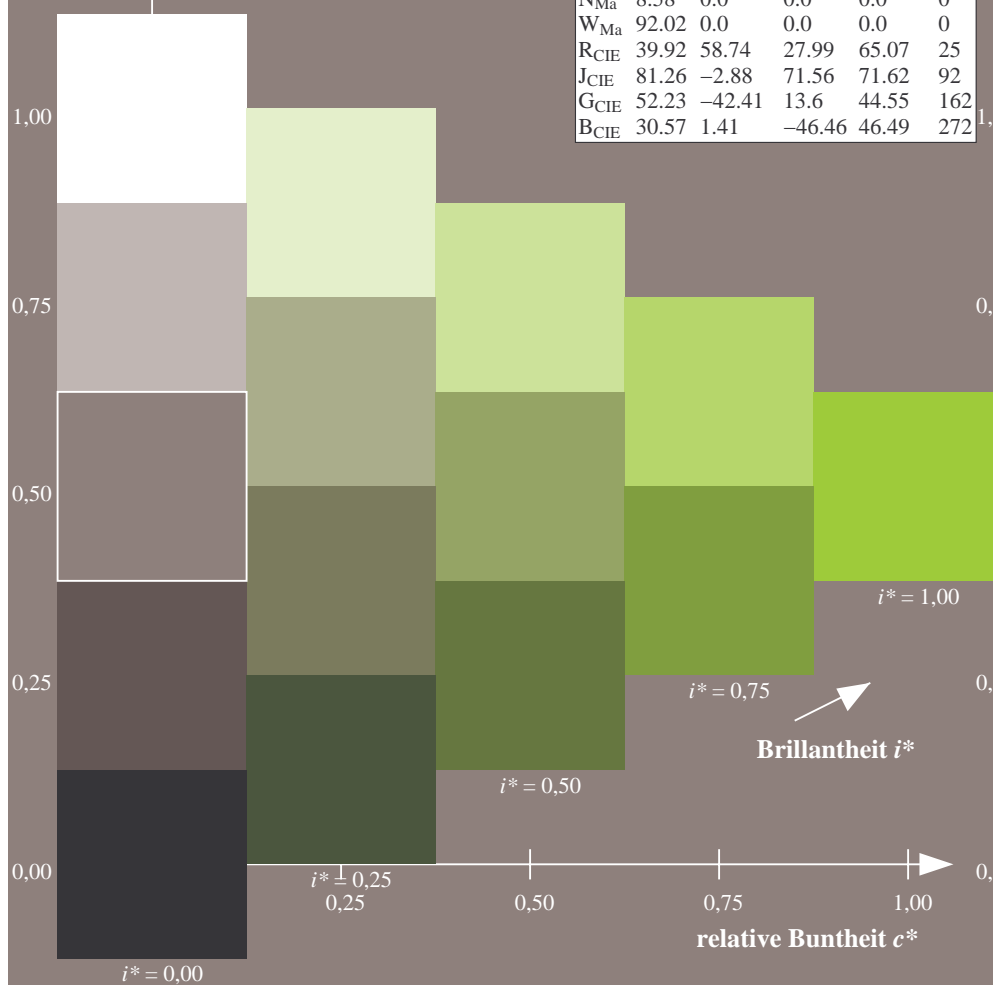
%Regularität

$g^*_{H,rel} = 31$

$g^*_{C,rel} = 40$

FRS09_92a; adaptierte CIELAB-Daten

	$L^*=L^*_a$	a^*_a	b^*_a	$C^*_{ab,a}$	$h^*_{ab,a}$
r00j	35.47	63.32	30.17	70.15	25
r25j	39.12	54.56	49.45	73.64	42
r50j	50.64	39.15	64.89	75.79	59
r75j	64.01	21.26	82.83	85.52	76
j00g	83.18	-4.37	108.53	108.62	92
j25g	66.73	-29.88	83.06	88.28	110
j50g	54.03	-48.3	63.49	79.78	127
j75g	44.73	-60.32	42.64	73.88	145
g00b	47.59	-49.07	15.74	51.54	162
g25b	49.97	-39.69	-6.71	40.27	190
g50b	51.85	-32.32	-24.34	40.48	217
g75b	46.92	-17.28	-36.01	39.96	244
b00r	37.91	1.28	-42.34	42.37	272
b25r	23.81	30.38	-52.25	60.45	300
b50r	29.52	69.06	-42.13	80.9	329
b75r	36.48	71.47	-3.68	71.57	357



Ein und Ausgabe: Farbmetrisches Drucker-Reflektiv-System FRS09_92a für relativen CIELAB-Buntton $h^* = lab^*h^* = h_{ab}/360 = 127/360 = 0.354$ $u^* = j50g$

Daten für jede Farbe:

lab^*ch^* und lab^*icu^*

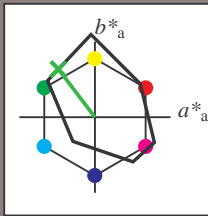
Elementar-Bunttontext:

$u^* = j50g$

Kontrastreduzierungsfaktor:

$c_R = 1.0$

Dreiecks-Helligkeit i^*



FRS09_92a; adaptierte CIELAB-Daten

	$L^*=L_a^*$	a_a^*	b_a^*	$C_{ab,a}^*$	$h_{ab,a}^*$
O _{Ma}	35.06	60.0	44.0	74.4	36
Y _{Ma}	83.77	-5.16	109.32	109.44	93
L _{Ma}	44.13	-62.66	48.24	79.09	142
C _{Ma}	52.66	-29.13	-31.98	43.27	228
V _{Ma}	14.15	50.3	-59.03	77.57	310
M _{Ma}	37.37	78.64	-33.49	85.48	337
N _{Ma}	8.58	0.0	0.0	0.0	0
W _{Ma}	92.02	0.0	0.0	0.0	0
R _{CIE}	39.92	58.74	27.99	65.07	25
J _{CIE}	81.26	-2.88	71.56	71.62	92
G _{CIE}	52.23	-42.41	13.6	44.55	162
B _{CIE}	30.57	1.41	-46.46	46.49	272

Daten für Maximalfarbe (Ma):

$LAB^*LAB^*_{Ma}$: 54 -47 63

$LAB^*LCH^*_{Ma}$: 54 80 127

$lab^*rgb^*_{Ma}$: 0.5 1.0 0.0

$lab^*olv^*_{Ma}$: 0.25 1.0 0.0

Dreiecks-Helligkeit i^*

%Umfang

$u^*_{rel} = 109$

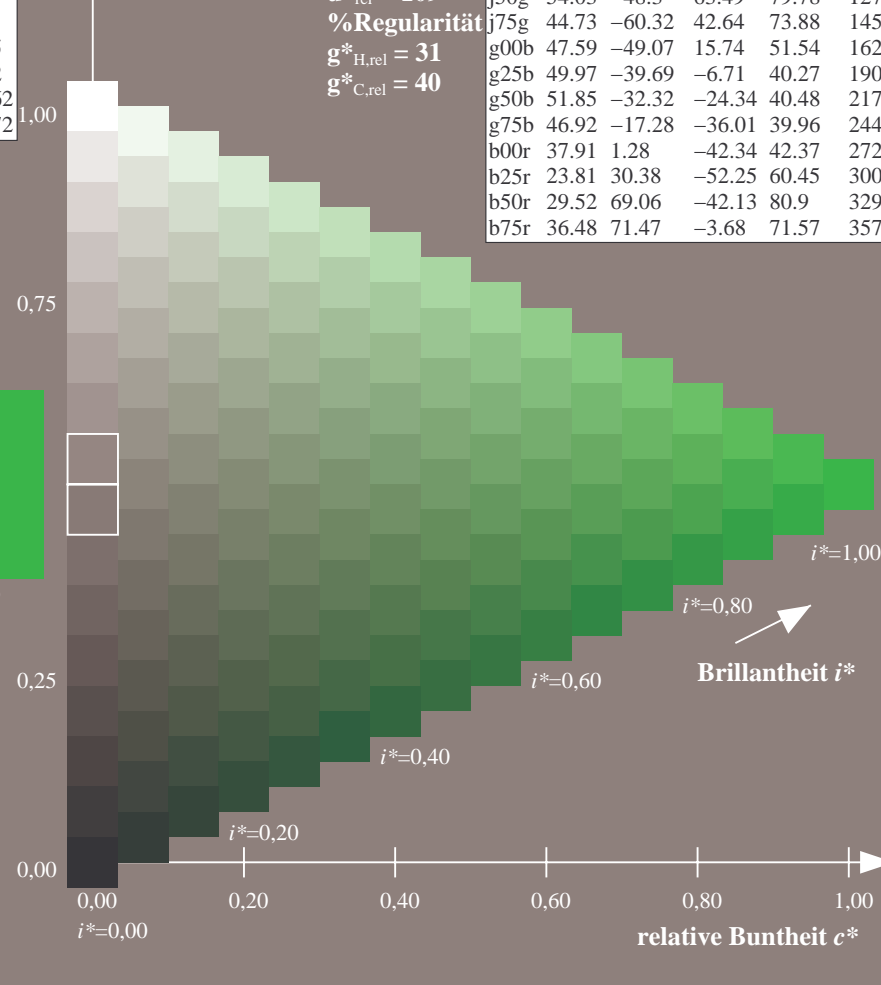
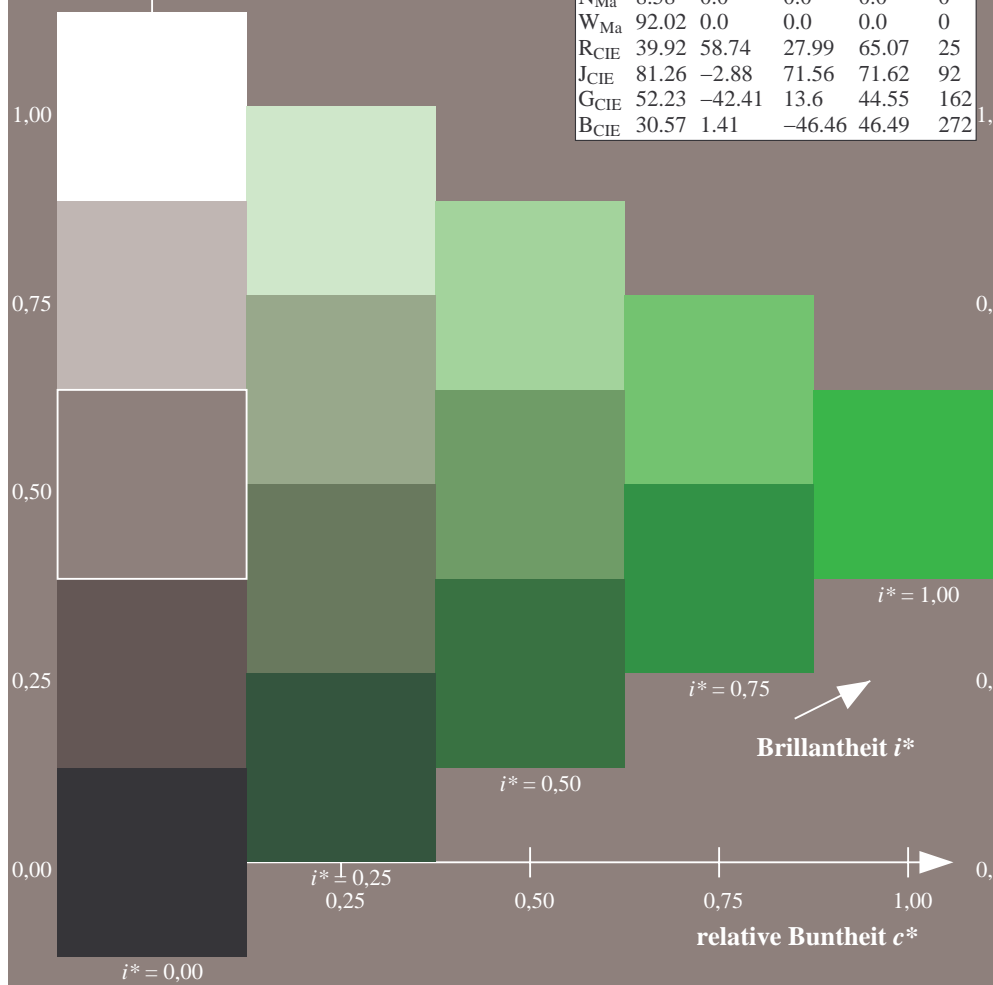
%Regularität

$g^*_{H,rel} = 31$

$g^*_{C,rel} = 40$

FRS09_92a; adaptierte CIELAB-Daten

	$L^*=L_a^*$	a_a^*	b_a^*	$C_{ab,a}^*$	$h_{ab,a}^*$
r00j	35.47	63.32	30.17	70.15	25
r25j	39.12	54.56	49.45	73.64	42
r50j	50.64	39.15	64.89	75.79	59
r75j	64.01	21.26	82.83	85.52	76
j00g	83.18	-4.37	108.53	108.62	92
j25g	66.73	-29.88	83.06	88.28	110
j50g	54.03	-48.3	63.49	79.78	127
j75g	44.73	-60.32	42.64	73.88	145
g00b	47.59	-49.07	15.74	51.54	162
g25b	49.97	-39.69	-6.71	40.27	190
g50b	51.85	-32.32	-24.34	40.48	217
g75b	46.92	-17.28	-36.01	39.96	244
b00r	37.91	1.28	-42.34	42.37	272
b25r	23.81	30.38	-52.25	60.45	300
b50r	29.52	69.06	-42.13	80.9	329
b75r	36.48	71.47	-3.68	71.57	357



Ein und Ausgabe: Farbmetrisches Drucker-Reflektiv-System FRS09_92a für relativen CIELAB-Buntton $h^* = lab^*h^* = h_{ab}/360 = 145/360 = 0.402$ $u^* = j75g$

Daten für jede Farbe:

lab^*ch^* und lab^*icu^*

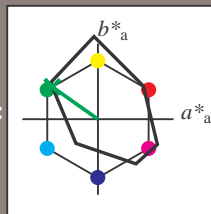
Elementar-Bunttontext:

$u^* = j75g$

Kontrastreduzierungsfaktor:

$c_R = 1.0$

Dreiecks-Helligkeit i^*



FRS09_92a; adaptierte CIELAB-Daten

	$L^*=L_a^*$	a_a^*	b_a^*	$C_{ab,a}^*$	$h_{ab,a}^*$
O _{Ma}	35.06	60.0	44.0	74.4	36
Y _{Ma}	83.77	-5.16	109.32	109.44	93
L _{Ma}	44.13	-62.66	48.24	79.09	142
C _{Ma}	52.66	-29.13	-31.98	43.27	228
V _{Ma}	14.15	50.3	-59.03	77.57	310
M _{Ma}	37.37	78.64	-33.49	85.48	337
N _{Ma}	8.58	0.0	0.0	0.0	0
W _{Ma}	92.02	0.0	0.0	0.0	0
R _{CIE}	39.92	58.74	27.99	65.07	25
J _{CIE}	81.26	-2.88	71.56	71.62	92
G _{CIE}	52.23	-42.41	13.6	44.55	162
B _{CIE}	30.57	1.41	-46.46	46.49	272

Daten für Maximalfarbe (Ma):

$LAB^*LAB^*_{Ma}$: 45 -59 43

$LAB^*LCH^*_{Ma}$: 45 74 145

$lab^*rgb^*_{Ma}$: 0.25 1.0 0.0

$lab^*olv^*_{Ma}$: 0.0 1.0 0.07

Dreiecks-Helligkeit i^*

%Umfang

$u^*_{rel} = 109$

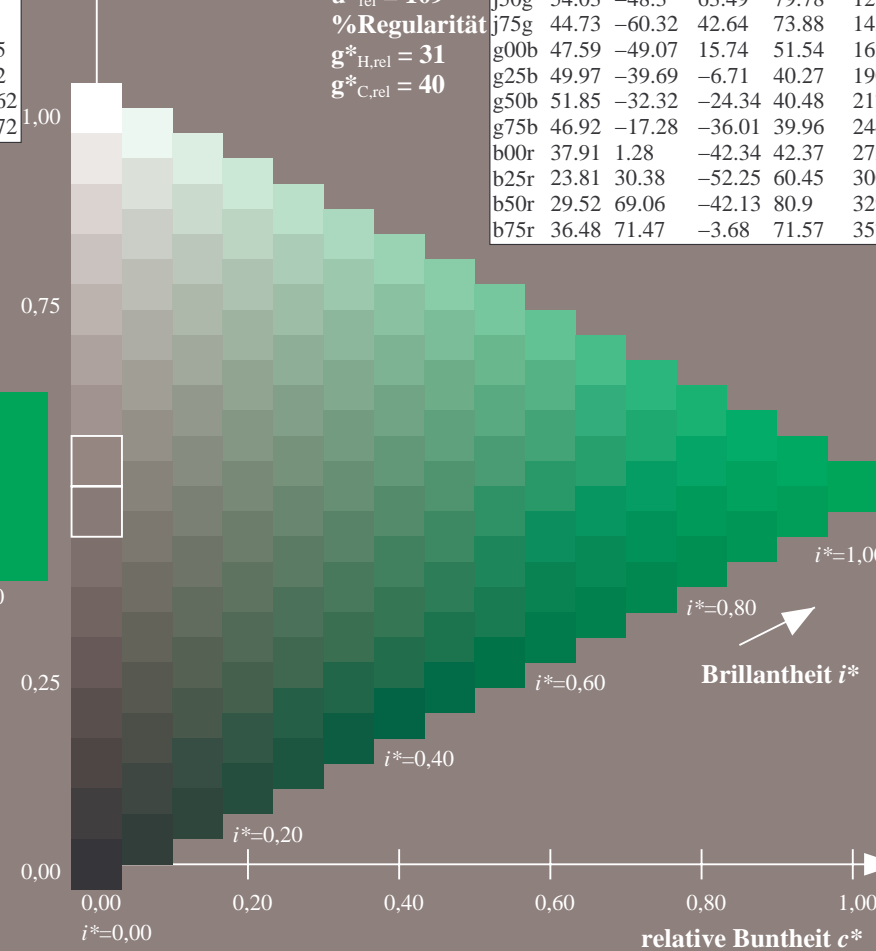
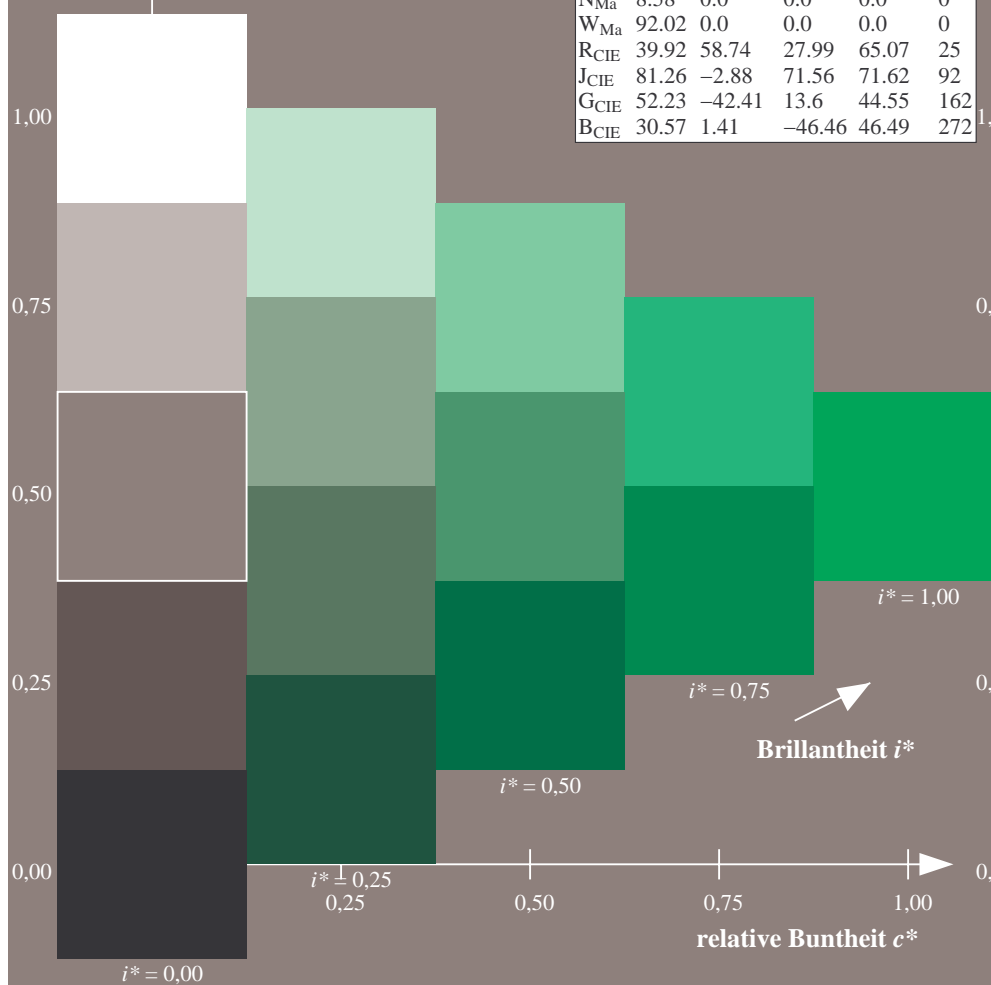
%Regularität

$g^*_{H,rel} = 31$

$g^*_{C,rel} = 40$

FRS09_92a; adaptierte CIELAB-Daten

	$L^*=L_a^*$	a_a^*	b_a^*	$C_{ab,a}^*$	$h_{ab,a}^*$
r00j	35.47	63.32	30.17	70.15	25
r25j	39.12	54.56	49.45	73.64	42
r50j	50.64	39.15	64.89	75.79	59
r75j	64.01	21.26	82.83	85.52	76
j00g	83.18	-4.37	108.53	108.62	92
j25g	66.73	-29.88	83.06	88.28	110
j50g	54.03	-48.3	63.49	79.78	127
j75g	44.73	-60.32	42.64	73.88	145
g00b	47.59	-49.07	15.74	51.54	162
g25b	49.97	-39.69	-6.71	40.27	190
g50b	51.85	-32.32	-24.34	40.48	217
g75b	46.92	-17.28	-36.01	39.96	244
b00r	37.91	1.28	-42.34	42.37	272
b25r	23.81	30.38	-52.25	60.45	300
b50r	29.52	69.06	-42.13	80.9	329
b75r	36.48	71.47	-3.68	71.57	357



Ein und Ausgabe: Farbmetrisches Drucker-Reflektiv-System FRS09_92a für relativen CIELAB-Buntton $h^* = lab^*h^* = h_{ab}/360 = 162/360 = 0.451$ $u^* = g00b$

Daten für jede Farbe:

lab^*ch^* und lab^*icu^*

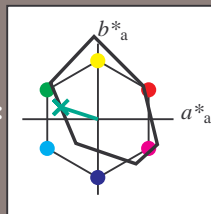
Elementar-Bunttontext:

$u^* = g00b$

Kontrastreduzierungsfaktor:

$c_R = 1.0$

Dreiecks-Helligkeit i^*



FRS09_92a; adaptierte CIELAB-Daten

	$L^*=L_a^*$	a_a^*	b_a^*	$C_{ab,a}^*$	$h_{ab,a}^*$
O _{Ma}	35.06	60.0	44.0	74.4	36
Y _{Ma}	83.77	-5.16	109.32	109.44	93
L _{Ma}	44.13	-62.66	48.24	79.09	142
C _{Ma}	52.66	-29.13	-31.98	43.27	228
V _{Ma}	14.15	50.3	-59.03	77.57	310
M _{Ma}	37.37	78.64	-33.49	85.48	337
N _{Ma}	8.58	0.0	0.0	0.0	0
W _{Ma}	92.02	0.0	0.0	0.0	0
R _{CIE}	39.92	58.74	27.99	65.07	25
J _{CIE}	81.26	-2.88	71.56	71.62	92
G _{CIE}	52.23	-42.41	13.6	44.55	162
B _{CIE}	30.57	1.41	-46.46	46.49	272

Daten für Maximalfarbe (Ma):

$LAB^*LAB^*_{Ma}$: 48 -48 16

$LAB^*LCH^*_{Ma}$: 48 52 162

$lab^*rgb^*_{Ma}$: 0.0 1.0 0.0

$lab^*olv^*_{Ma}$: 0.0 1.0 0.41

Dreiecks-Helligkeit i^*

%Umfang

$u^*_{rel} = 109$

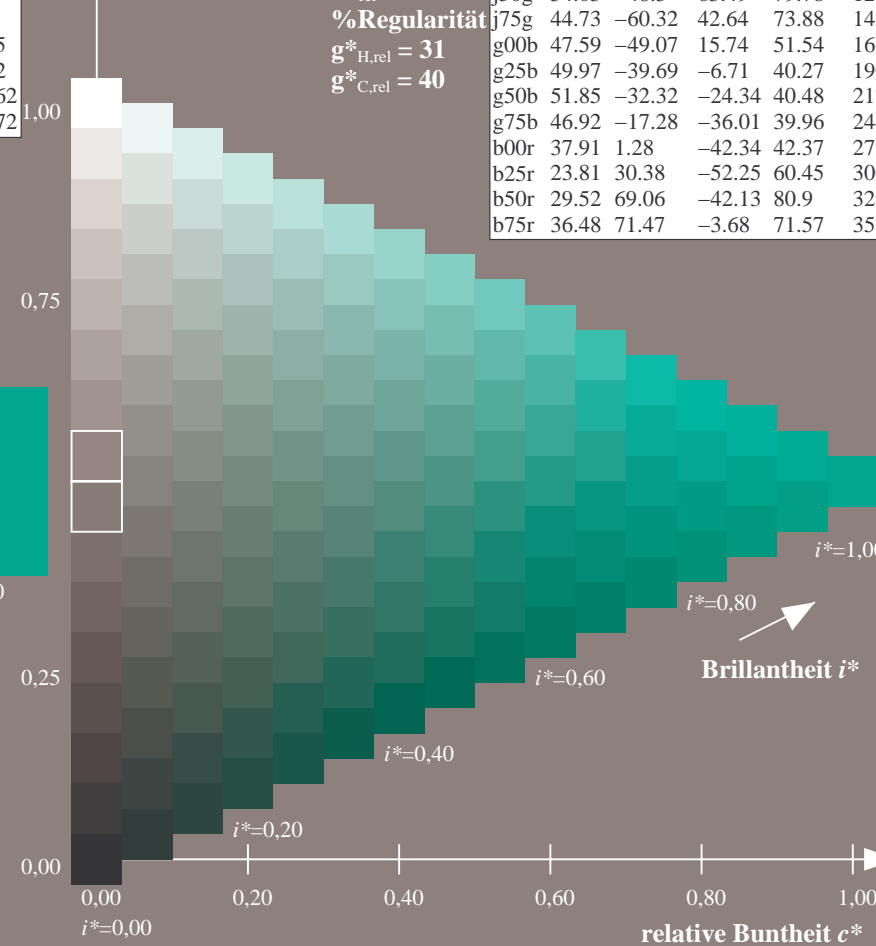
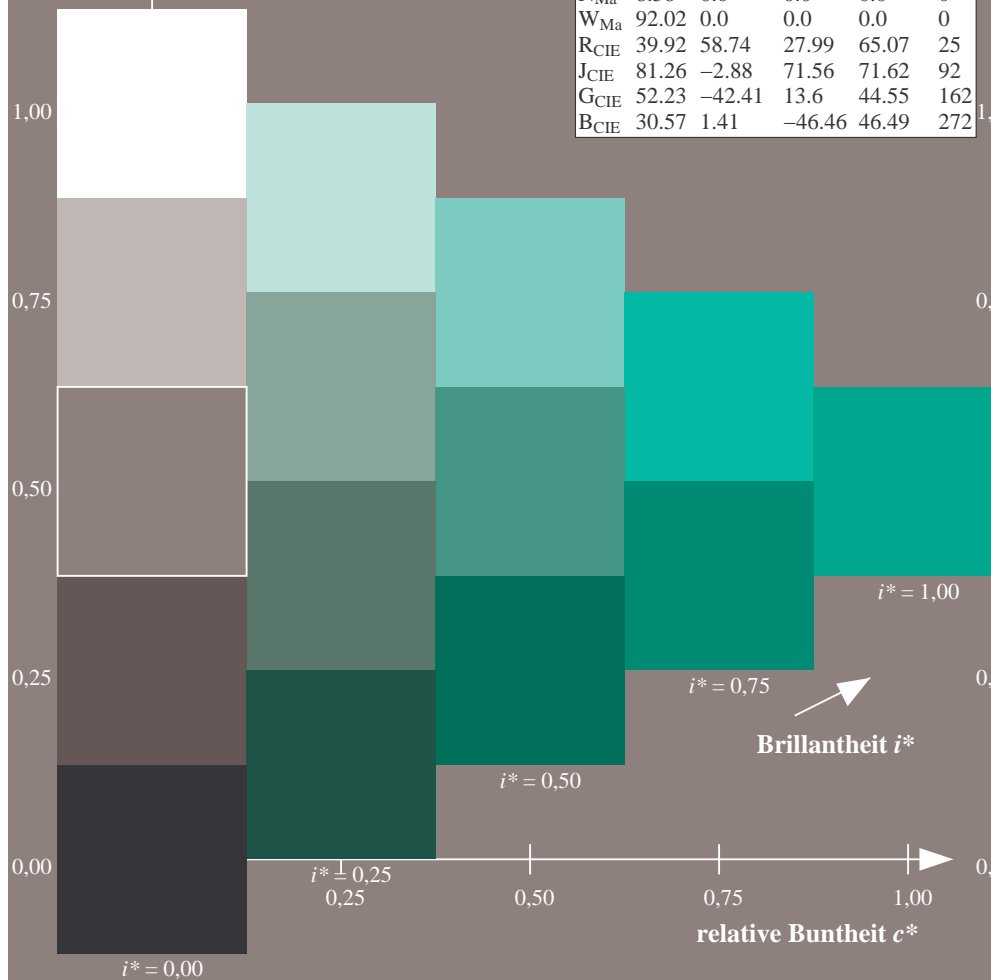
%Regularität

$g^*_{H,rel} = 31$

$g^*_{C,rel} = 40$

FRS09_92a; adaptierte CIELAB-Daten

	$L^*=L_a^*$	a_a^*	b_a^*	$C_{ab,a}^*$	$h_{ab,a}^*$
r00j	35.47	63.32	30.17	70.15	25
r25j	39.12	54.56	49.45	73.64	42
r50j	50.64	39.15	64.89	75.79	59
r75j	64.01	21.26	82.83	85.52	76
j00g	83.18	-4.37	108.53	108.62	92
j25g	66.73	-29.88	83.06	88.28	110
j50g	54.03	-48.3	63.49	79.78	127
j75g	44.73	-60.32	42.64	73.88	145
g00b	47.59	-49.07	15.74	51.54	162
g25b	49.97	-39.69	-6.71	40.27	190
g50b	51.85	-32.32	-24.34	40.48	217
g75b	46.92	-17.28	-36.01	39.96	244
b00r	37.91	1.28	-42.34	42.37	272
b25r	23.81	30.38	-52.25	60.45	300
b50r	29.52	69.06	-42.13	80.9	329
b75r	36.48	71.47	-3.68	71.57	357



Ein und Ausgabe: Farbmetrisches Drucker-Reflektiv-System FRS09_92a für relativen CIELAB-Buntton $h^* = lab^*h^* = h_{ab}/360 = 190/360 = 0.527$ $u^* = g25b$

Daten für jede Farbe:

lab^*ch^* und lab^*icu^*

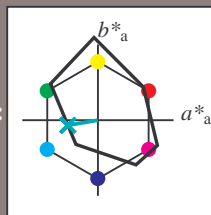
Elementar-Bunttontext:

$u^* = g25b$

Kontrastreduzierungsfaktor:

$c_R = 1.0$

Dreiecks-Helligkeit i^*



FRS09_92a; adaptierte CIELAB-Daten

	$L^*=L_a^*$	a_a^*	b_a^*	$C_{ab,a}^*$	$h_{ab,a}^*$
O _{Ma}	35.06	60.0	44.0	74.4	36
Y _{Ma}	83.77	-5.16	109.32	109.44	93
L _{Ma}	44.13	-62.66	48.24	79.09	142
C _{Ma}	52.66	-29.13	-31.98	43.27	228
V _{Ma}	14.15	50.3	-59.03	77.57	310
M _{Ma}	37.37	78.64	-33.49	85.48	337
N _{Ma}	8.58	0.0	0.0	0.0	0
W _{Ma}	92.02	0.0	0.0	0.0	0
R _{CIE}	39.92	58.74	27.99	65.07	25
J _{CIE}	81.26	-2.88	71.56	71.62	92
G _{CIE}	52.23	-42.41	13.6	44.55	162
B _{CIE}	30.57	1.41	-46.46	46.49	272

Daten für Maximalfarbe (Ma):

LAB^*LAB^*Ma : 50 -39 -6

LAB^*LCH^*Ma : 50 40 190

lab^*rgb^*Ma : 0.0 1.0 0.5

lab^*olv^*Ma : 0.0 1.0 0.69

Dreiecks-Helligkeit i^*

%Umfang

$u^*_{rel} = 109$

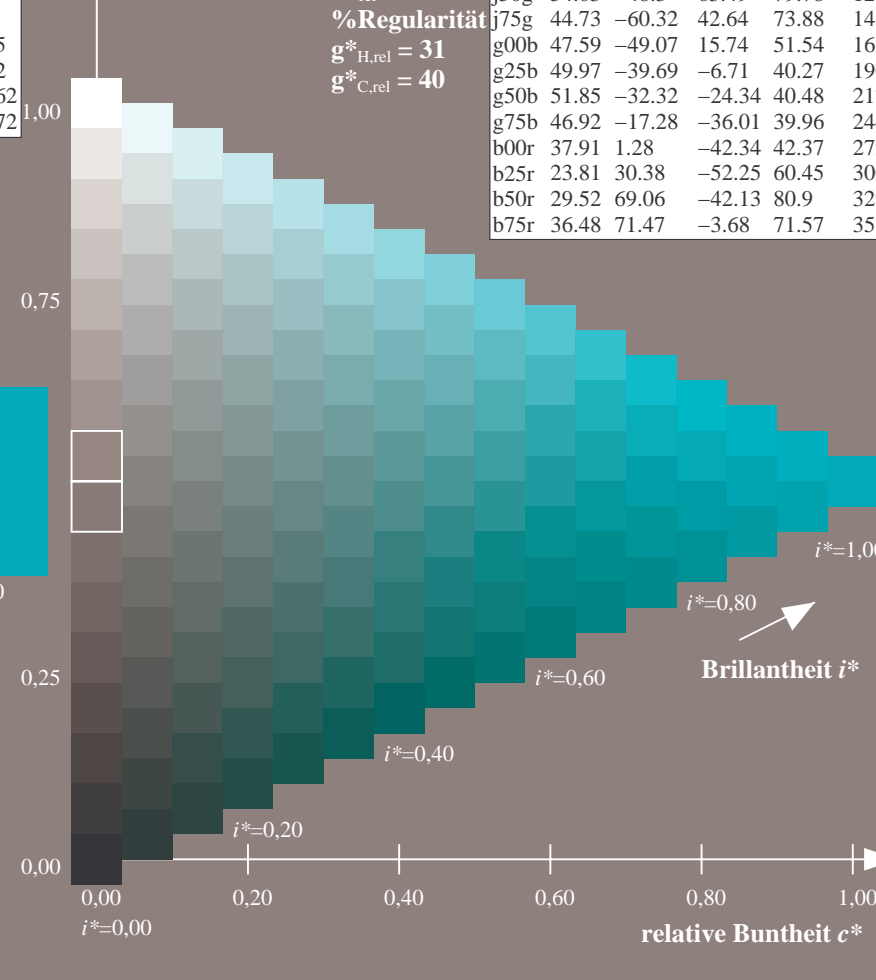
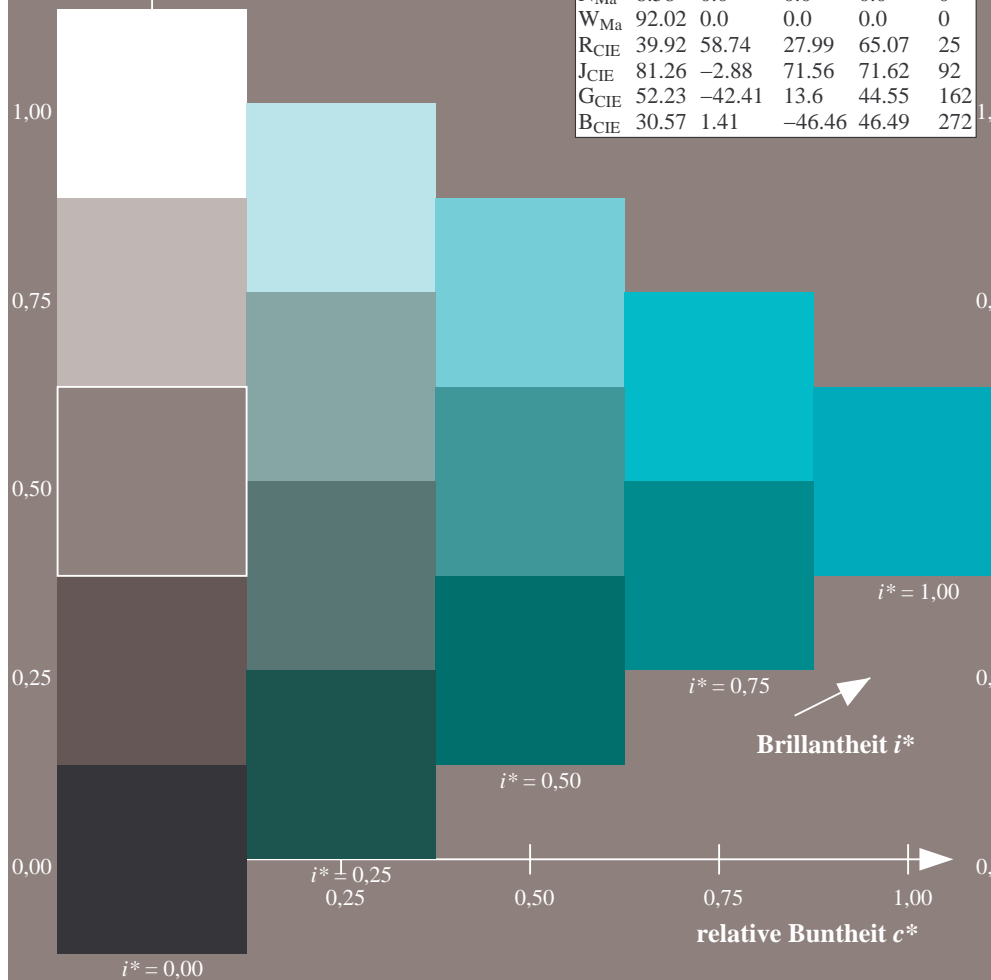
%Regularität

$g^*_{H,rel} = 31$

$g^*_{C,rel} = 40$

FRS09_92a; adaptierte CIELAB-Daten

	$L^*=L_a^*$	a_a^*	b_a^*	$C_{ab,a}^*$	$h_{ab,a}^*$
r00j	35.47	63.32	30.17	70.15	25
r25j	39.12	54.56	49.45	73.64	42
r50j	50.64	39.15	64.89	75.79	59
r75j	64.01	21.26	82.83	85.52	76
j00g	83.18	-4.37	108.53	108.62	92
j25g	66.73	-29.88	83.06	88.28	110
j50g	54.03	-48.3	63.49	79.78	127
j75g	44.73	-60.32	42.64	73.88	145
g00b	47.59	-49.07	15.74	51.54	162
g25b	49.97	-39.69	-6.71	40.27	190
g50b	51.85	-32.32	-24.34	40.48	217
g75b	46.92	-17.28	-36.01	39.96	244
b00r	37.91	1.28	-42.34	42.37	272
b25r	23.81	30.38	-52.25	60.45	300
b50r	29.52	69.06	-42.13	80.9	329
b75r	36.48	71.47	-3.68	71.57	357



Ein und Ausgabe: Farbmetrisches Drucker-Reflektiv-System FRS09_92a für relativen CIELAB-Buntton $h^* = lab^*h^* = h_{ab}/360 = 217/360 = 0.603$ $u^* = g50b$

Daten für jede Farbe:

lab^*ch^* und lab^*icu^*

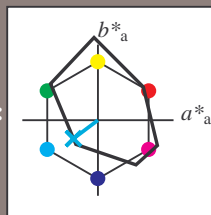
Elementar-Bunttontext:

$u^* = g50b$

Kontrastreduzierungsfaktor:

$c_R = 1.0$

Dreiecks-Helligkeit i^*



FRS09_92a; adaptierte CIELAB-Daten

	$L^*=L_a^*$	a_a^*	b_a^*	$C_{ab,a}^*$	$h_{ab,a}^*$
O _{Ma}	35.06	60.0	44.0	74.4	36
Y _{Ma}	83.77	-5.16	109.32	109.44	93
L _{Ma}	44.13	-62.66	48.24	79.09	142
C _{Ma}	52.66	-29.13	-31.98	43.27	228
V _{Ma}	14.15	50.3	-59.03	77.57	310
M _{Ma}	37.37	78.64	-33.49	85.48	337
N _{Ma}	8.58	0.0	0.0	0.0	0
W _{Ma}	92.02	0.0	0.0	0.0	0
R _{CIE}	39.92	58.74	27.99	65.07	25
J _{CIE}	81.26	-2.88	71.56	71.62	92
G _{CIE}	52.23	-42.41	13.6	44.55	162
B _{CIE}	30.57	1.41	-46.46	46.49	272

Daten für Maximalfarbe (Ma):

$LAB^*LAB^*_{Ma}$: 52 -31 -23

$LAB^*LCH^*_{Ma}$: 52 40 217

$lab^*rgb^*_{Ma}$: 0.0 1.0 1.0

$lab^*olv^*_{Ma}$: 0.0 1.0 0.9

Dreiecks-Helligkeit i^*

%Umfang

$u^*_{rel} = 109$

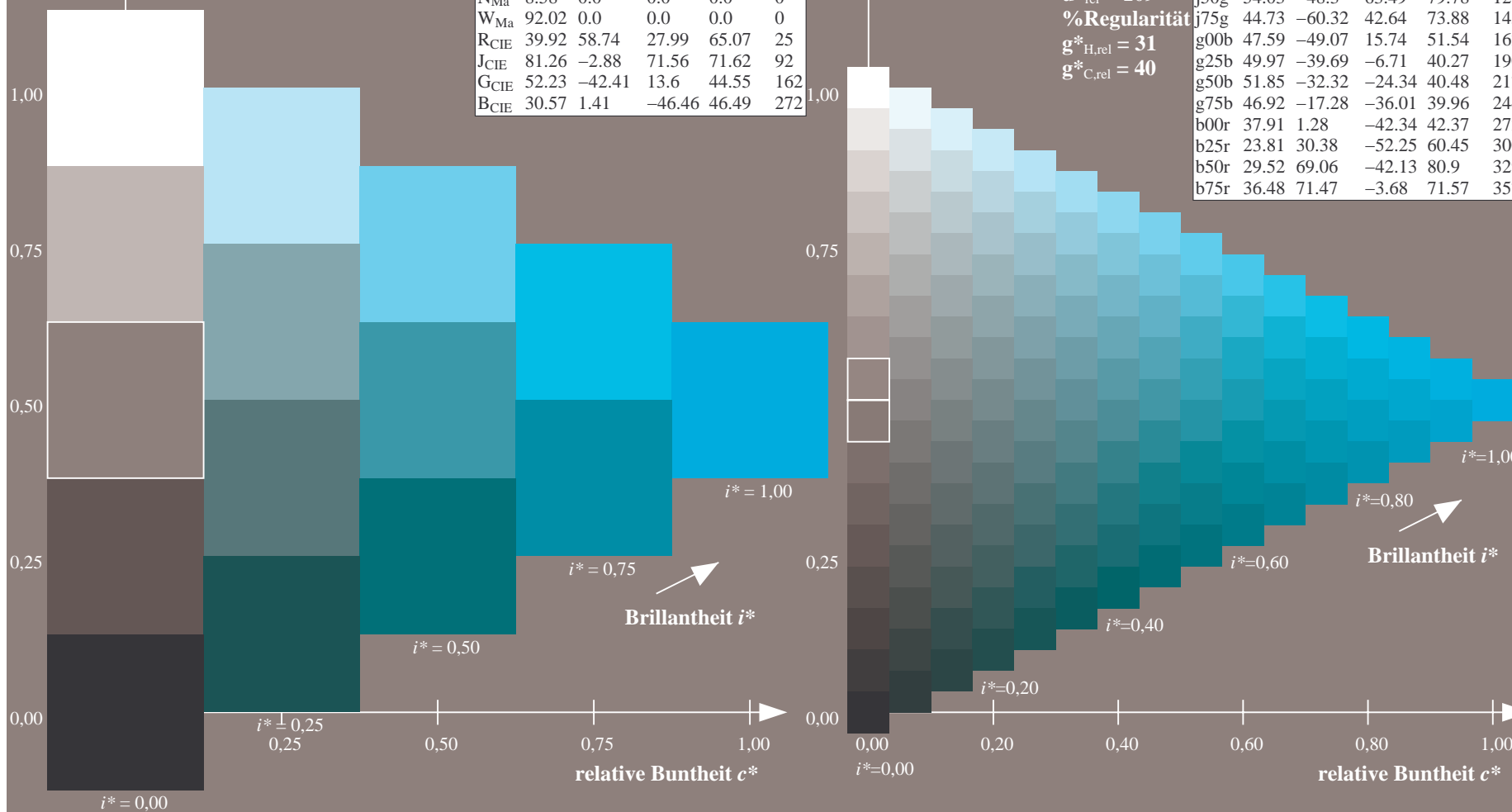
%Regularität

$g^*_{H,rel} = 31$

$g^*_{C,rel} = 40$

FRS09_92a; adaptierte CIELAB-Daten

	$L^*=L_a^*$	a_a^*	b_a^*	$C_{ab,a}^*$	$h_{ab,a}^*$
r00j	35.47	63.32	30.17	70.15	25
r25j	39.12	54.56	49.45	73.64	42
r50j	50.64	39.15	64.89	75.79	59
r75j	64.01	21.26	82.83	85.52	76
j00g	83.18	-4.37	108.53	108.62	92
j25g	66.73	-29.88	83.06	88.28	110
j50g	54.03	-48.3	63.49	79.78	127
j75g	44.73	-60.32	42.64	73.88	145
g00b	47.59	-49.07	15.74	51.54	162
g25b	49.97	-39.69	-6.71	40.27	190
g50b	51.85	-32.32	-24.34	40.48	217
g75b	46.92	-17.28	-36.01	39.96	244
b00r	37.91	1.28	-42.34	42.37	272
b25r	23.81	30.38	-52.25	60.45	300
b50r	29.52	69.06	-42.13	80.9	329
b75r	36.48	71.47	-3.68	71.57	357



Ein und Ausgabe: Farbmétrisches Drucker-Reflektiv-System FRS09_92a für relativen CIELAB-Buntton $h^* = lab^*h^* = h_{ab}/360 = 244/360 = 0.679$ $u^* = g75b$

Daten für jede Farbe:

*lab*tch** und *lab*icu**

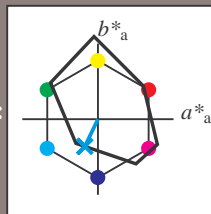
Elementar-Bunttontext:

$$u^* = g75b$$

Kontrastreduzierungsfaktor:

 $c_D = 1.0$

K Dreiecks-Helligkeit t^*



FRS09_92a; adaptierte CIELAB-Daten						
	L^*_a	a^*_a	b^*_a	$C^*_{ab,a}$	$h^*_{ab,a}$	
O _{Ma}	35.06	60.0	44.0	74.4	36	
Y _{Ma}	83.77	-5.16	109.32	109.44	93	
L _{Ma}	44.13	-62.66	48.24	79.09	142	
C _{Ma}	52.66	-29.13	-31.98	43.27	228	
V _{Ma}	14.15	50.3	-59.03	77.57	310	
M _{Ma}	37.37	78.64	-33.49	85.48	337	
N _{Ma}	8.58	0.0	0.0	0.0	0	
W _{Ma}	92.02	0.0	0.0	0.0	0	
R _{CIE}	39.92	58.74	27.99	65.07	25	
J _{CIE}	81.26	-2.88	71.56	71.62	92	
G _{CIE}	52.23	-42.41	13.6	44.55	162	
B _{CIE}	30.57	1.41	-46.46	46.49	272	

Daten für Maximalfarbe (Ma):

*LAB*LAB**_{Mo}: 47 -16 -35

LAD*LGH* 17 10 214

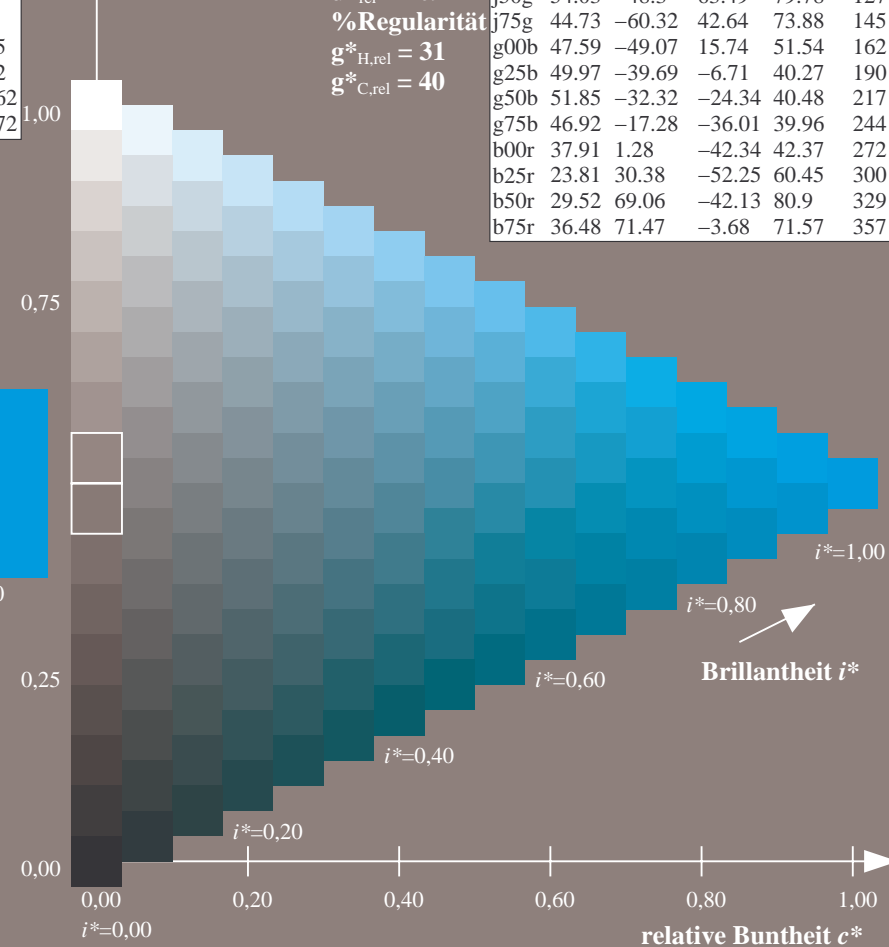
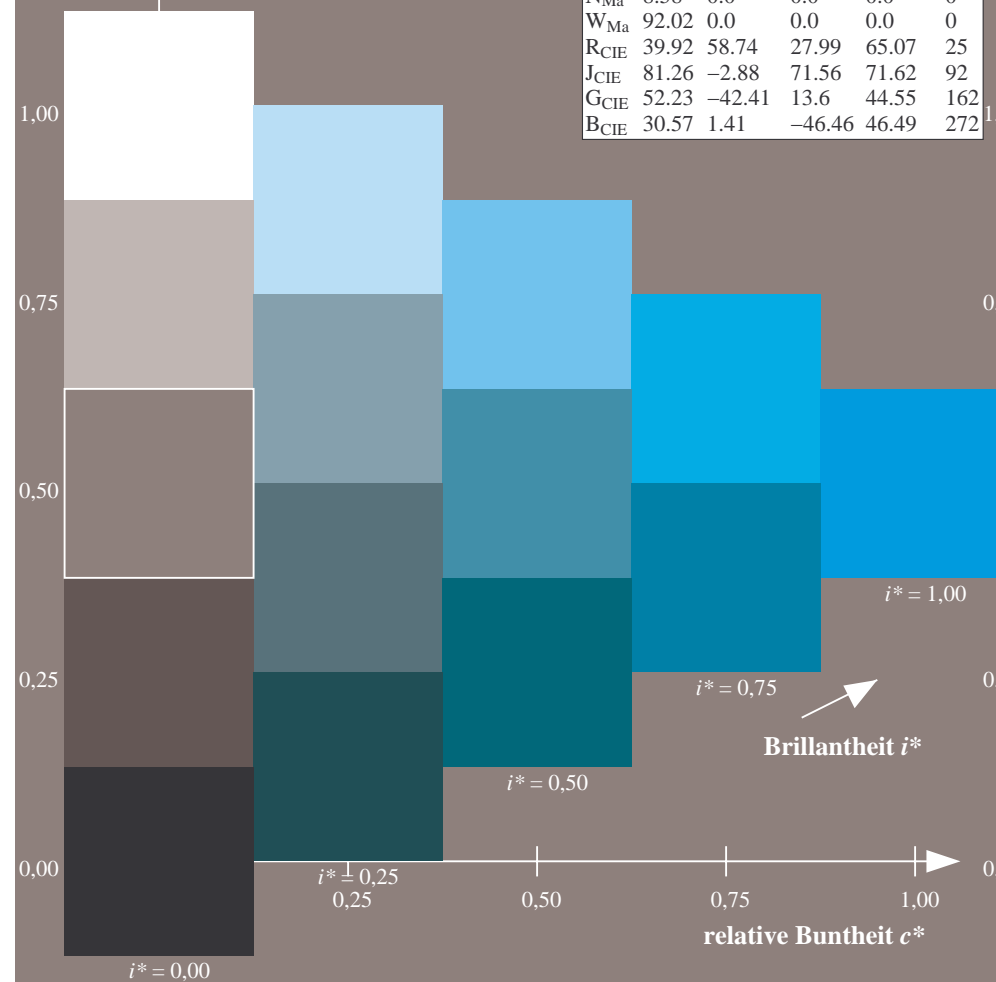
LAB*LCH*Ma: 47 40 2

*lab*rgb*_Ma: 0.0 0.5 1.0*

*lab*olv**M_a: 0.0 0.85 1.0

Dreiecks-Helligkeit t^*

FRS09_92a; adaptierte CIELAB-Daten						
	L^*_a	a^*_a	b^*_a	$C^*_{ab,a}$	$h^*_{ab,a}$	
r00j	35.47	63.32	30.17	70.15	25.1	100
r25j	39.12	54.56	49.45	73.64	42.1	100
r50j	50.64	39.15	64.89	75.79	59.1	100
r75j	64.01	21.26	82.83	85.52	76.1	100
j00g	83.18	-4.37	108.53	108.62	92.1	100
j25g	66.73	-29.88	83.06	88.28	110.1	100
j50g	54.03	-48.3	63.49	79.78	127.1	100
j75g	44.73	-60.32	42.64	73.88	145.1	100
g00b	47.59	-49.07	15.74	51.54	162.1	100
g25b	49.97	-39.69	-6.71	40.27	190.1	100
g50b	51.85	-32.32	-24.34	40.48	217.1	100
g75b	46.92	-17.28	-36.01	39.96	244.1	100
b00r	37.91	1.28	-42.34	42.37	272.1	100
b25r	23.81	30.38	-52.25	60.45	300.1	100
b50r	29.52	69.06	-42.13	80.9	329.1	100
b75r	36.48	71.47	-3.68	71.57	357.1	100



Ein und Ausgabe: Farbmetrisches Drucker-Reflektiv-System FRS09_92a für relativen CIELAB-Buntton $h^* = lab^*h^* = h_{ab}/360 = 272/360 = 0.755$ $u^* = b00r$

Daten für jede Farbe:

lab^*ch^* und lab^*icu^*

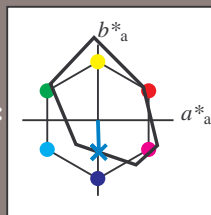
Elementar-Bunttontext:

$u^* = b00r$

Kontrastreduzierungsfaktor:

$c_R = 1.0$

Dreiecks-Helligkeit t^*



FRS09_92a; adaptierte CIELAB-Daten

	$L^*=L_a^*$	a_a^*	b_a^*	$C_{ab,a}^*$	$h_{ab,a}^*$
O _{Ma}	35.06	60.0	44.0	74.4	36
Y _{Ma}	83.77	-5.16	109.32	109.44	93
L _{Ma}	44.13	-62.66	48.24	79.09	142
C _{Ma}	52.66	-29.13	-31.98	43.27	228
V _{Ma}	14.15	50.3	-59.03	77.57	310
M _{Ma}	37.37	78.64	-33.49	85.48	337
N _{Ma}	8.58	0.0	0.0	0.0	0
W _{Ma}	92.02	0.0	0.0	0.0	0
R _{CIE}	39.92	58.74	27.99	65.07	25
J _{CIE}	81.26	-2.88	71.56	71.62	92
G _{CIE}	52.23	-42.41	13.6	44.55	162
B _{CIE}	30.57	1.41	-46.46	46.49	272

Daten für Maximalfarbe (Ma):

LAB^*LAB^*Ma : 38 1 -41

LAB^*LCH^*Ma : 38 42 272

lab^*rgb^*Ma : 0.0 0.0 1.0

lab^*olv^*Ma : 0.0 0.62 1.0

Dreiecks-Helligkeit t^*

%Umfang

$u^*_{rel} = 109$

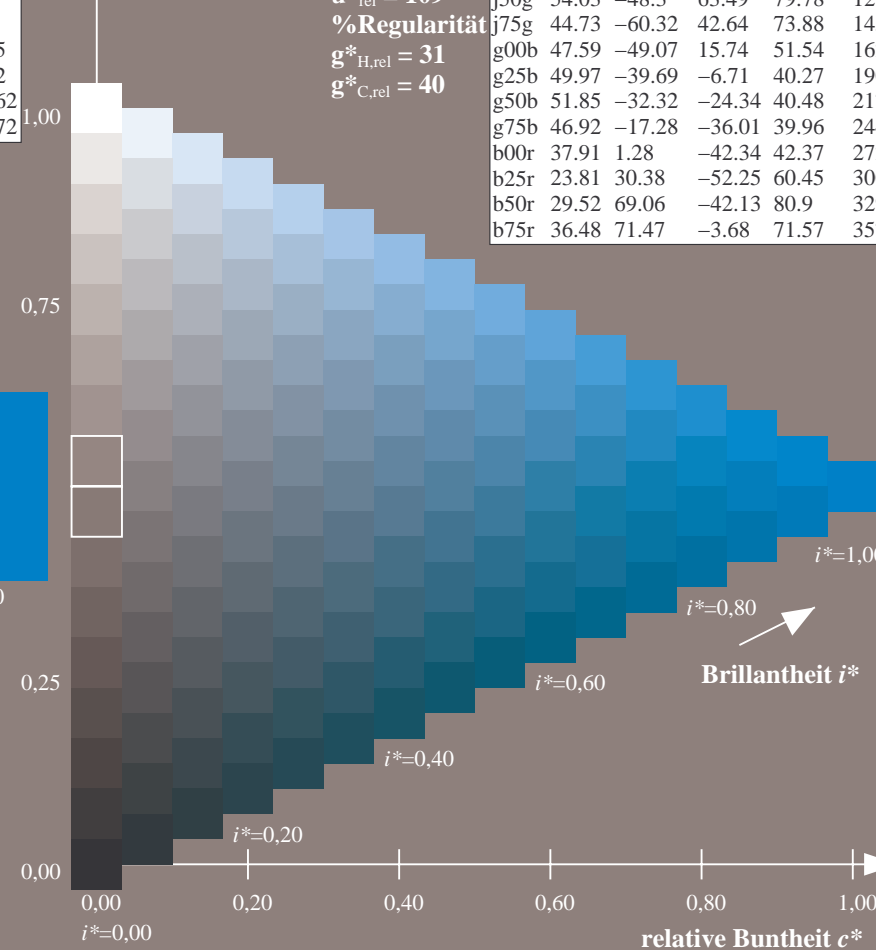
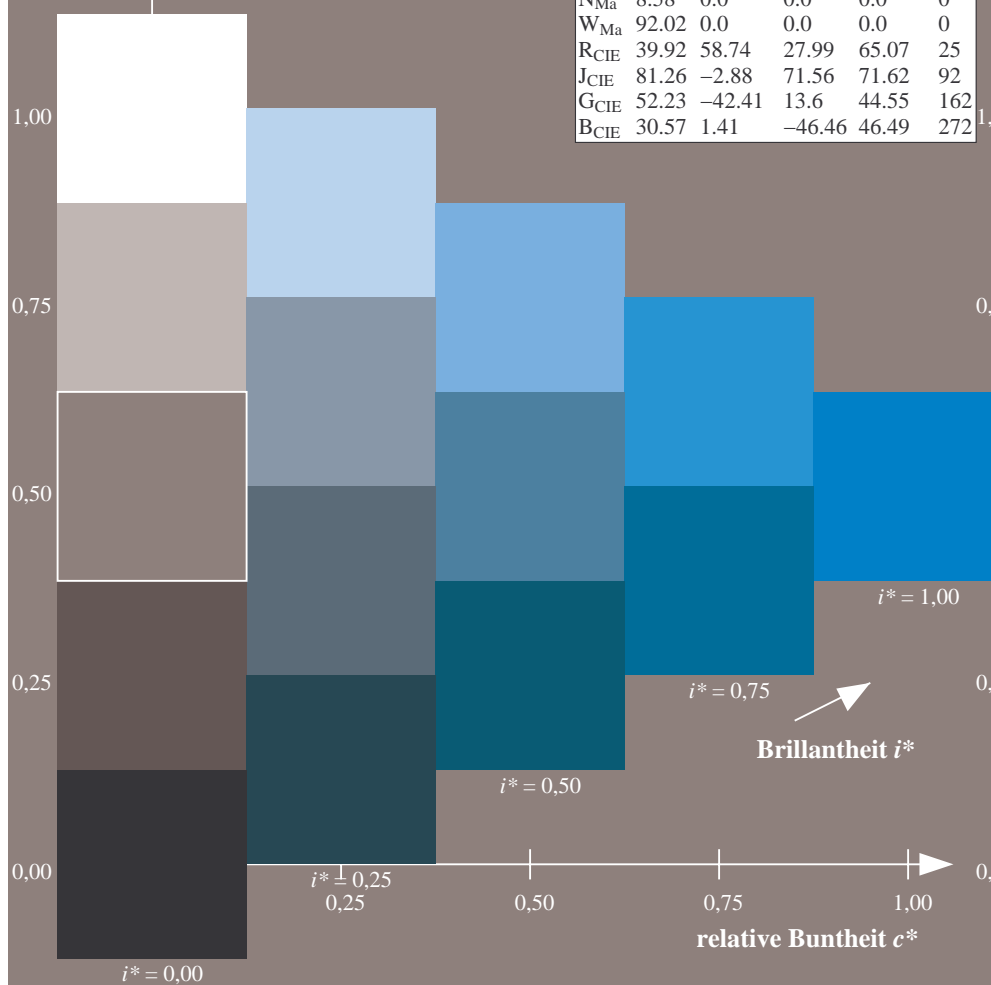
%Regularität

$g^*_{H,rel} = 31$

$g^*_{C,rel} = 40$

FRS09_92a; adaptierte CIELAB-Daten

	$L^*=L_a^*$	a_a^*	b_a^*	$C_{ab,a}^*$	$h_{ab,a}^*$
r00j	35.47	63.32	30.17	70.15	25
r25j	39.12	54.56	49.45	73.64	42
r50j	50.64	39.15	64.89	75.79	59
r75j	64.01	21.26	82.83	85.52	76
j00g	83.18	-4.37	108.53	108.62	92
j25g	66.73	-29.88	83.06	88.28	110
j50g	54.03	-48.3	63.49	79.78	127
j75g	44.73	-60.32	42.64	73.88	145
g00b	47.59	-49.07	15.74	51.54	162
g25b	49.97	-39.69	-6.71	40.27	190
g50b	51.85	-32.32	-24.34	40.48	217
g75b	46.92	-17.28	-36.01	39.96	244
b00r	37.91	1.28	-42.34	42.37	272
b25r	23.81	30.38	-52.25	60.45	300
b50r	29.52	69.06	-42.13	80.9	329
b75r	36.48	71.47	-3.68	71.57	357



Ein und Ausgabe: Farbmetrisches Drucker-Reflektiv-System FRS09_92a für relativen CIELAB-Buntton $h^* = lab^*h^* = h_{ab}/360 = 300/360 = 0.834$ $u^* = b25r$

Daten für jede Farbe:

lab^*ch^* und lab^*icu^*

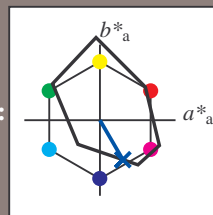
Elementar-Bunttontext:

$u^* = b25r$

Kontrastreduzierungsfaktor:

$c_R = 1.0$

Dreiecks-Helligkeit i^*



FRS09_92a; adaptierte CIELAB-Daten

	$L^*=L_a^*$	a_a^*	b_a^*	$C_{ab,a}^*$	$h_{ab,a}^*$
O _{Ma}	35.06	60.0	44.0	74.4	36
Y _{Ma}	83.77	-5.16	109.32	109.44	93
L _{Ma}	44.13	-62.66	48.24	79.09	142
C _{Ma}	52.66	-29.13	-31.98	43.27	228
V _{Ma}	14.15	50.3	-59.03	77.57	310
M _{Ma}	37.37	78.64	-33.49	85.48	337
N _{Ma}	8.58	0.0	0.0	0.0	0
W _{Ma}	92.02	0.0	0.0	0.0	0
R _{CIE}	39.92	58.74	27.99	65.07	25
J _{CIE}	81.26	-2.88	71.56	71.62	92
G _{CIE}	52.23	-42.41	13.6	44.55	162
B _{CIE}	30.57	1.41	-46.46	46.49	272

Daten für Maximalfarbe (Ma):

LAB^*LAB^*Ma : 24 30 -51

LAB^*LCH^*Ma : 24 60 300

lab^*rgb^*Ma : 0.5 0.0 1.0

lab^*olv^*Ma : 0.0 0.25 1.0

Dreiecks-Helligkeit i^*

%Umfang

$u^*_{rel} = 109$

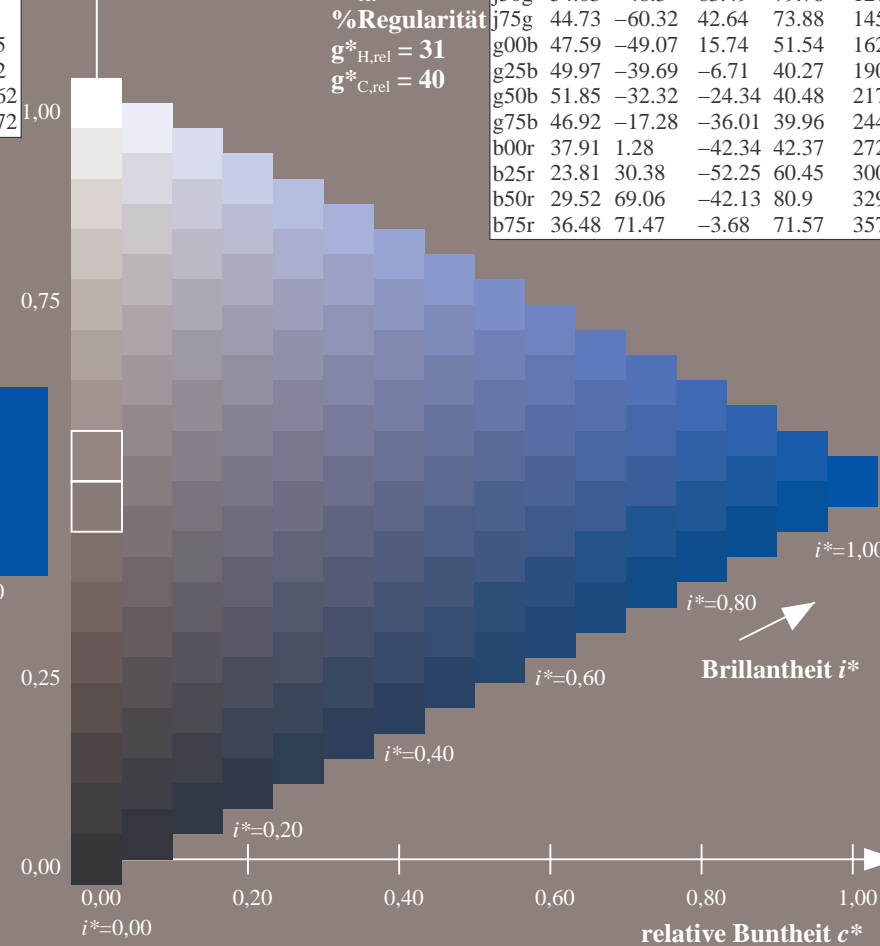
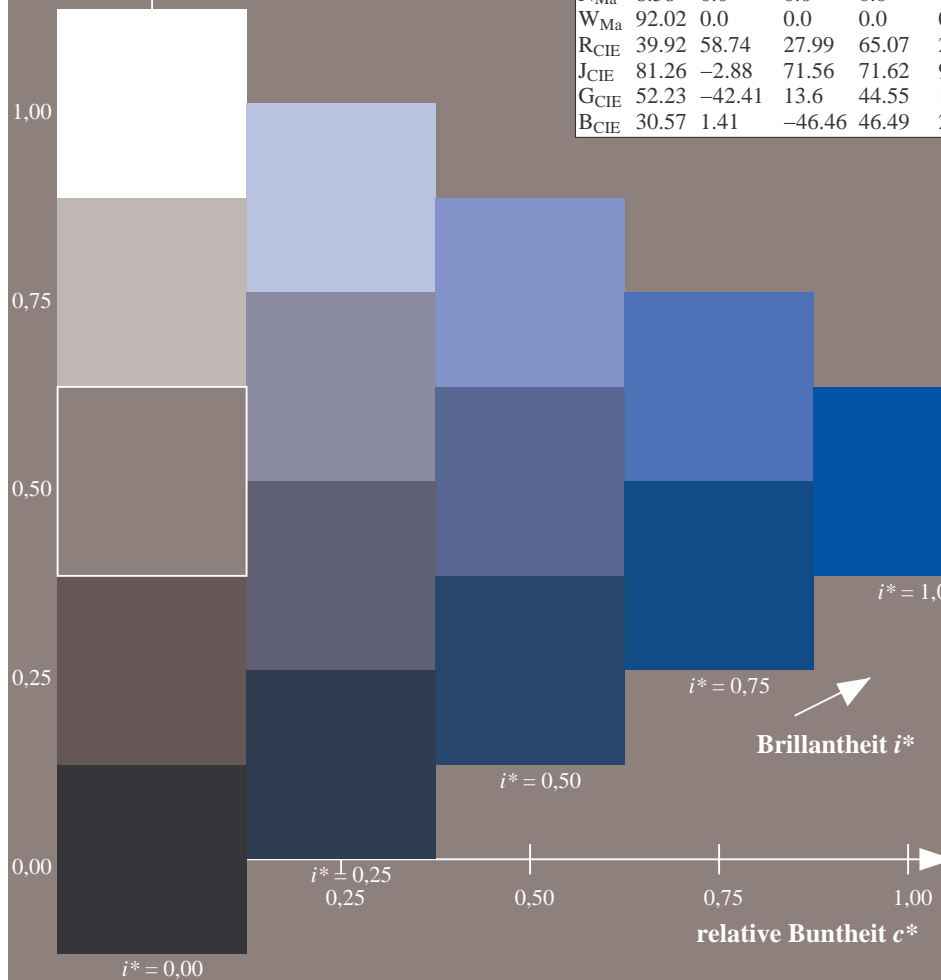
%Regularität

$g^*_{H,rel} = 31$

$g^*_{C,rel} = 40$

FRS09_92a; adaptierte CIELAB-Daten

	$L^*=L_a^*$	a_a^*	b_a^*	$C_{ab,a}^*$	$h_{ab,a}^*$
r00j	35.47	63.32	30.17	70.15	25
r25j	39.12	54.56	49.45	73.64	42
r50j	50.64	39.15	64.89	75.79	59
r75j	64.01	21.26	82.83	85.52	76
j00g	83.18	-4.37	108.53	108.62	92
j25g	66.73	-29.88	83.06	88.28	110
j50g	54.03	-48.3	63.49	79.78	127
j75g	44.73	-60.32	42.64	73.88	145
g00b	47.59	-49.07	15.74	51.54	162
g25b	49.97	-39.69	-6.71	40.27	190
g50b	51.85	-32.32	-24.34	40.48	217
g75b	46.92	-17.28	-36.01	39.96	244
b00r	37.91	1.28	-42.34	42.37	272
b25r	23.81	30.38	-52.25	60.45	300
b50r	29.52	69.06	-42.13	80.9	329
b75r	36.48	71.47	-3.68	71.57	357



Ein und Ausgabe: Farbmetrisches Drucker-Reflektiv-System FRS09_92a für relativen CIELAB-Buntton $h^* = lab^*h^* = h_{ab}/360 = 329/360 = 0.913$ $u^* = b50r$

Daten für jede Farbe:

lab^*ch^* und lab^*icu^*

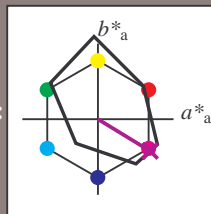
Elementar-Bunttontext:

$u^* = b50r$

Kontrastreduzierungsfaktor:

$c_R = 1.0$

Dreiecks-Helligkeit i^*



FRS09_92a; adaptierte CIELAB-Daten

	$L^*=L_a^*$	a_a^*	b_a^*	$C_{ab,a}^*$	$h_{ab,a}^*$
O _{Ma}	35.06	60.0	44.0	74.4	36
Y _{Ma}	83.77	-5.16	109.32	109.44	93
L _{Ma}	44.13	-62.66	48.24	79.09	142
C _{Ma}	52.66	-29.13	-31.98	43.27	228
V _{Ma}	14.15	50.3	-59.03	77.57	310
M _{Ma}	37.37	78.64	-33.49	85.48	337
N _{Ma}	8.58	0.0	0.0	0.0	0
W _{Ma}	92.02	0.0	0.0	0.0	0
R _{CIE}	39.92	58.74	27.99	65.07	25
J _{CIE}	81.26	-2.88	71.56	71.62	92
G _{CIE}	52.23	-42.41	13.6	44.55	162
B _{CIE}	30.57	1.41	-46.46	46.49	272

Daten für Maximalfarbe (Ma):

LAB^*LAB^*Ma : 30 69 -41

LAB^*LCH^*Ma : 30 81 329

lab^*rgb^*Ma : 1.0 0.0 1.0

lab^*olv^*Ma : 0.66 0.0 1.0

Dreiecks-Helligkeit i^*

%Umfang

$u^*_{rel} = 109$

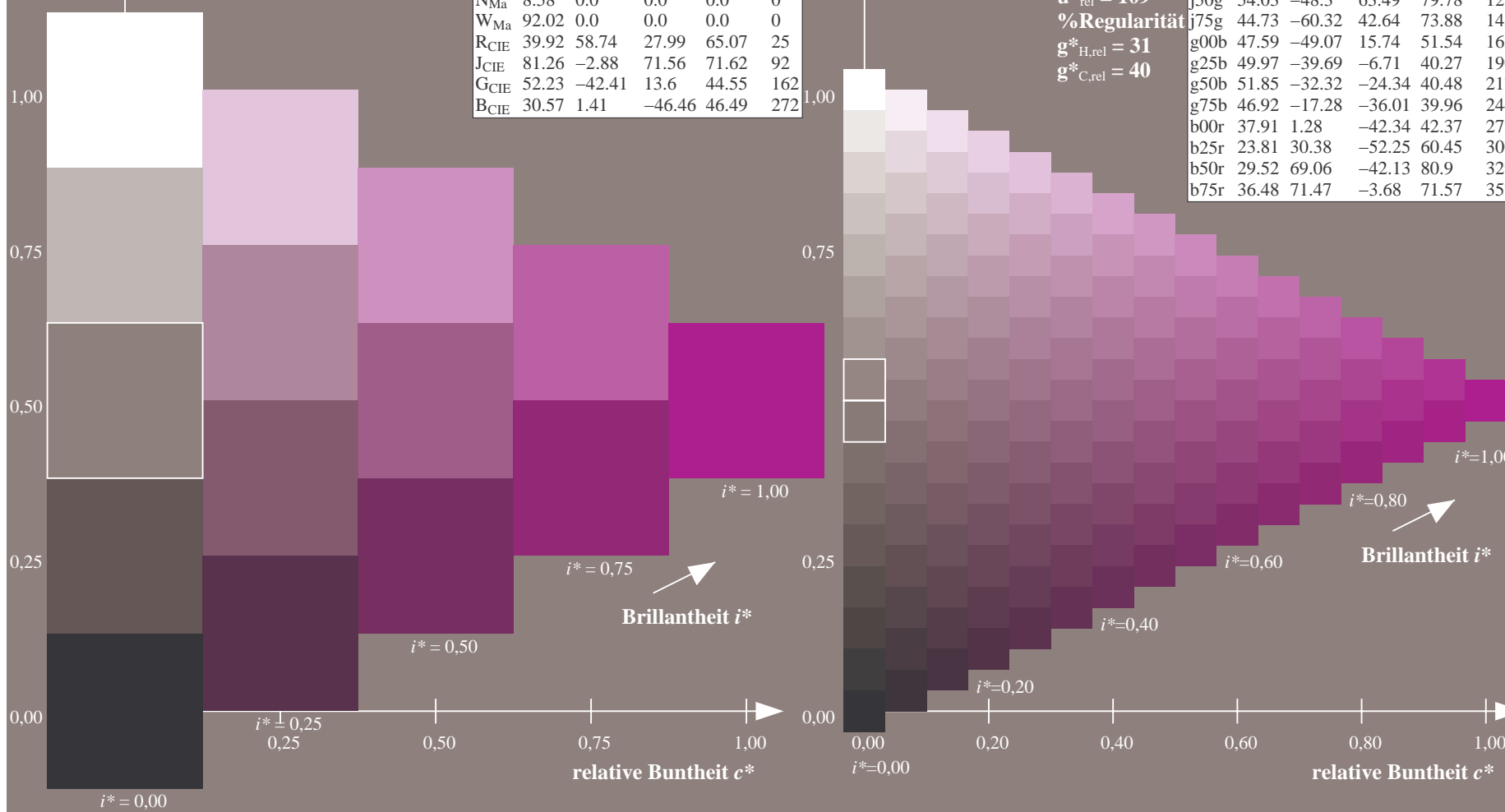
%Regularität

$g^*_{H,rel} = 31$

$g^*_{C,rel} = 40$

FRS09_92a; adaptierte CIELAB-Daten

	$L^*=L_a^*$	a_a^*	b_a^*	$C_{ab,a}^*$	$h_{ab,a}^*$
r00j	35.47	63.32	30.17	70.15	25
r25j	39.12	54.56	49.45	73.64	42
r50j	50.64	39.15	64.89	75.79	59
r75j	64.01	21.26	82.83	85.52	76
j00g	83.18	-4.37	108.53	108.62	92
j25g	66.73	-29.88	83.06	88.28	110
j50g	54.03	-48.3	63.49	79.78	127
j75g	44.73	-60.32	42.64	73.88	145
g00b	47.59	-49.07	15.74	51.54	162
g25b	49.97	-39.69	-6.71	40.27	190
g50b	51.85	-32.32	-24.34	40.48	217
g75b	46.92	-17.28	-36.01	39.96	244
b00r	37.91	1.28	-42.34	42.37	272
b25r	23.81	30.38	-52.25	60.45	300
b50r	29.52	69.06	-42.13	80.9	329
b75r	36.48	71.47	-3.68	71.57	357



Ein und Ausgabe: Farbmetrisches Drucker-Reflektiv-System FRS09_92a für relativen CIELAB-Buntton $h^* = lab^*h^* = h_{ab}/360 = 357/360 = 0.992$ $u^* = b75r$

Daten für jede Farbe:

lab^*ch^* und lab^*icu^*

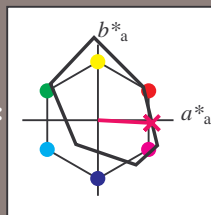
Elementar-Bunttontext:

$u^* = b75r$

Kontrastreduzierungsfaktor:

$c_R = 1.0$

Dreiecks-Helligkeit i^*



FRS09_92a; adaptierte CIELAB-Daten

	$L^*=L_a^*$	a_a^*	b_a^*	$C_{ab,a}^*$	$h_{ab,a}^*$
O _{Ma}	35.06	60.0	44.0	74.4	36
Y _{Ma}	83.77	-5.16	109.32	109.44	93
L _{Ma}	44.13	-62.66	48.24	79.09	142
C _{Ma}	52.66	-29.13	-31.98	43.27	228
V _{Ma}	14.15	50.3	-59.03	77.57	310
M _{Ma}	37.37	78.64	-33.49	85.48	337
N _{Ma}	8.58	0.0	0.0	0.0	0
W _{Ma}	92.02	0.0	0.0	0.0	0
R _{CIE}	39.92	58.74	27.99	65.07	25
J _{CIE}	81.26	-2.88	71.56	71.62	92
G _{CIE}	52.23	-42.41	13.6	44.55	162
B _{CIE}	30.57	1.41	-46.46	46.49	272

Daten für Maximalfarbe (Ma):

LAB^*LAB^*Ma : 36 71 -3

LAB^*LCH^*Ma : 36 72 357

lab^*rgb^*Ma : 1.0 0.0 0.5

lab^*olv^*Ma : 1.0 0.0 0.62

Dreiecks-Helligkeit i^*

%Umfang

$u^*_{rel} = 109$

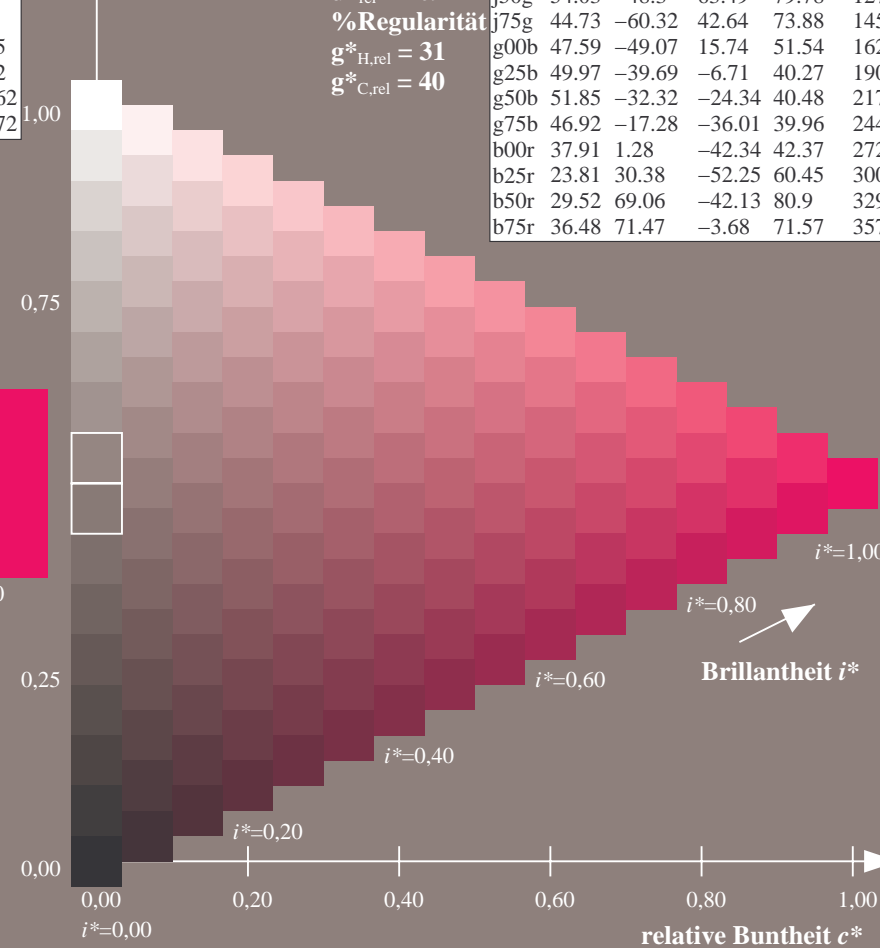
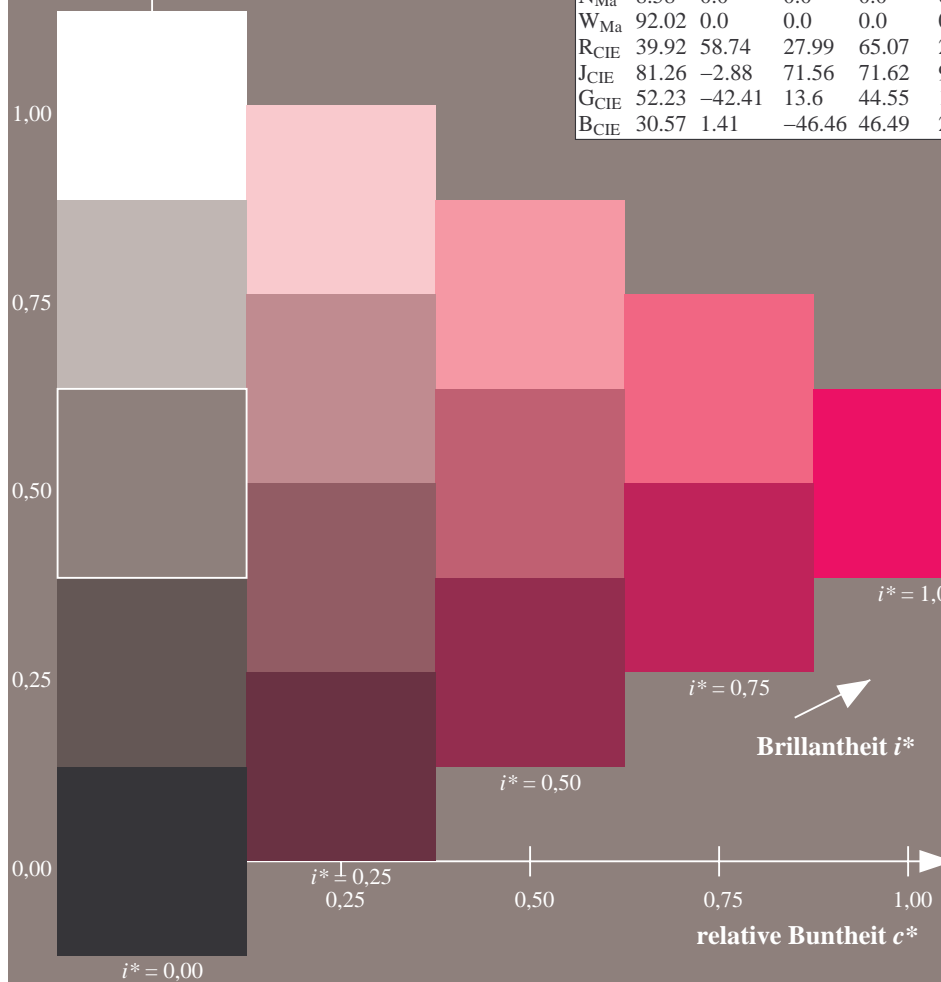
%Regularität

$g^*_{H,rel} = 31$

$g^*_{C,rel} = 40$

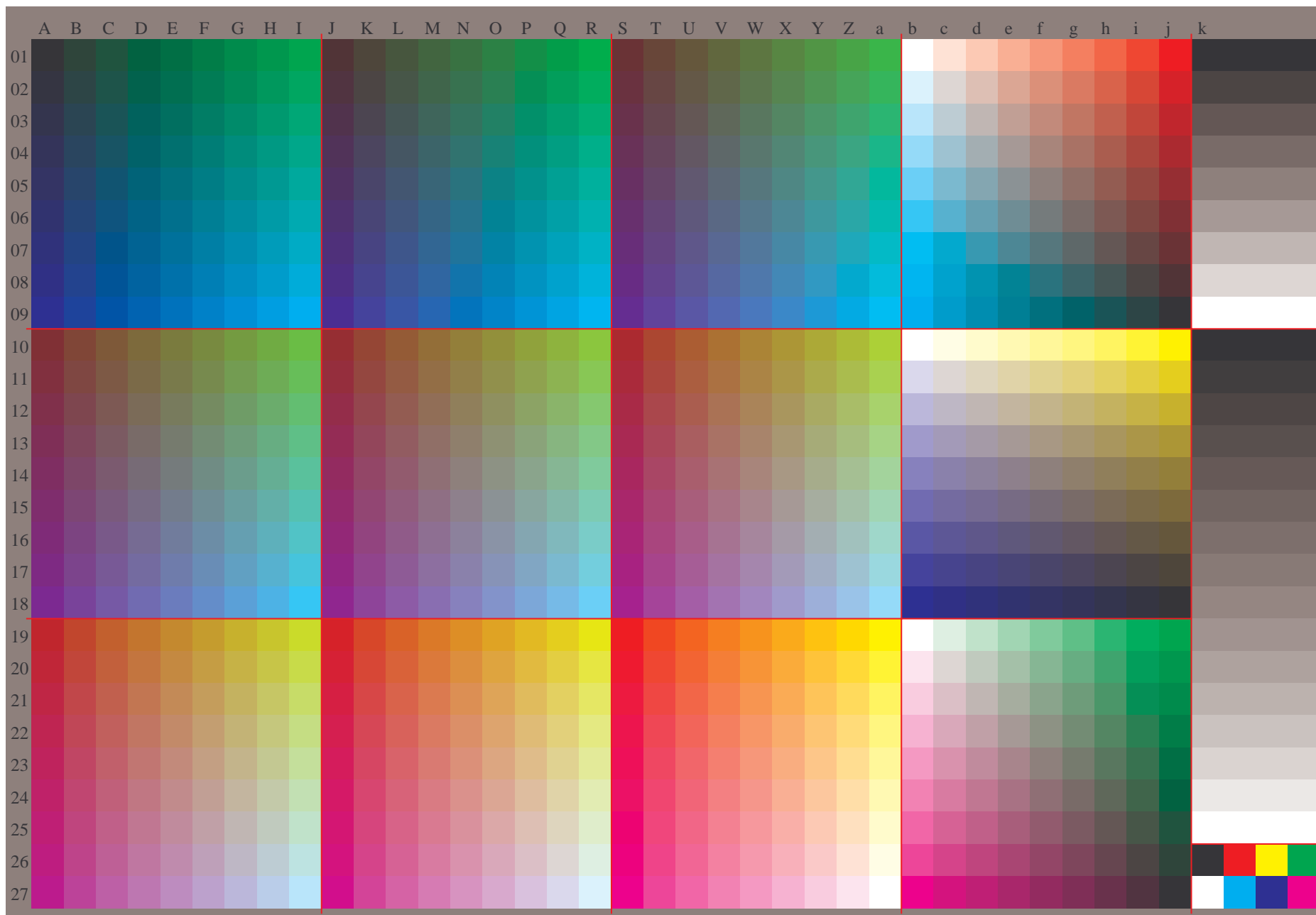
FRS09_92a; adaptierte CIELAB-Daten

	$L^*=L_a^*$	a_a^*	b_a^*	$C_{ab,a}^*$	$h_{ab,a}^*$
r00j	35.47	63.32	30.17	70.15	25
r25j	39.12	54.56	49.45	73.64	42
r50j	50.64	39.15	64.89	75.79	59
r75j	64.01	21.26	82.83	85.52	76
j00g	83.18	-4.37	108.53	108.62	92
j25g	66.73	-29.88	83.06	88.28	110
j50g	54.03	-48.3	63.49	79.78	127
j75g	44.73	-60.32	42.64	73.88	145
g00b	47.59	-49.07	15.74	51.54	162
g25b	49.97	-39.69	-6.71	40.27	190
g50b	51.85	-32.32	-24.34	40.48	217
g75b	46.92	-17.28	-36.01	39.96	244
b00r	37.91	1.28	-42.34	42.37	272
b25r	23.81	30.38	-52.25	60.45	300
b50r	29.52	69.06	-42.13	80.9	329
b75r	36.48	71.47	-3.68	71.57	357



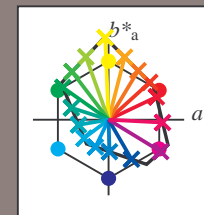
Siehe ähnliche Dateien: <http://www.ps.bam.de/Dg96/>; [www.ps.bam.de/Dg96/Version 2.1, ColSpX=0](http://www.ps.bam.de/Dg96/Version%202.1%2C%20ColSpX%3D0)
Technische Information: [http://www.ps.bam.de/Version 2.1, ColSpX=0](http://www.ps.bam.de/Version%202.1%2C%20ColSpX%3D0)

BAM-Registrierung: 20080701-Dg96/10L/L96G00NP.PS/.PDF BAM-Material: Code=rh4ta
Anwendung für Beurteilung und Messung von Drucker- oder Monitorsystemen



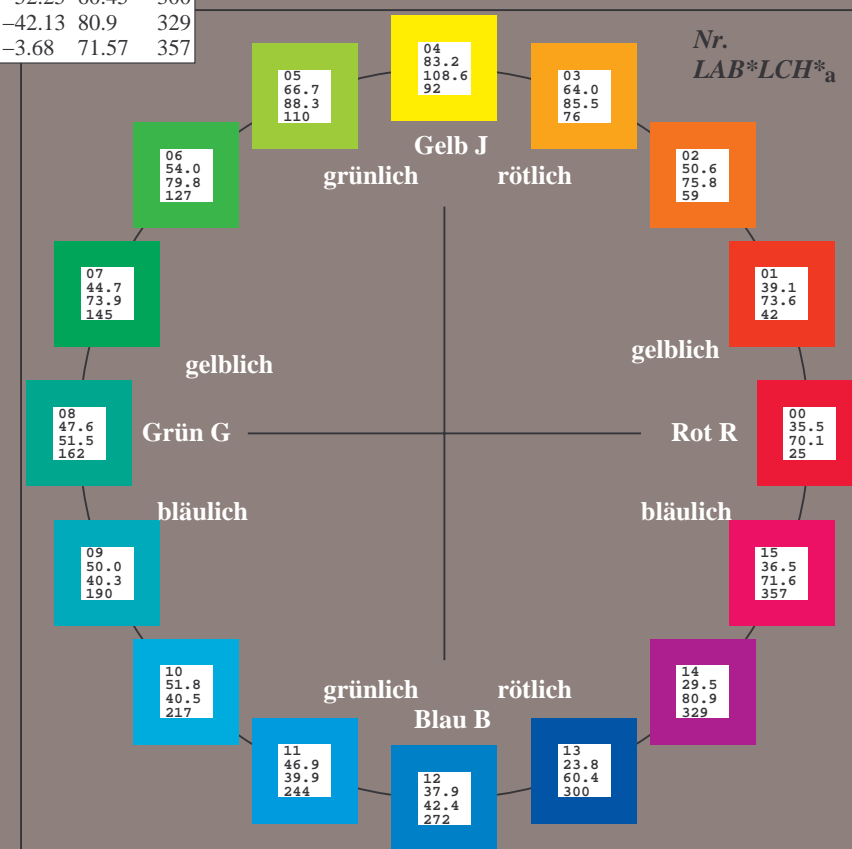
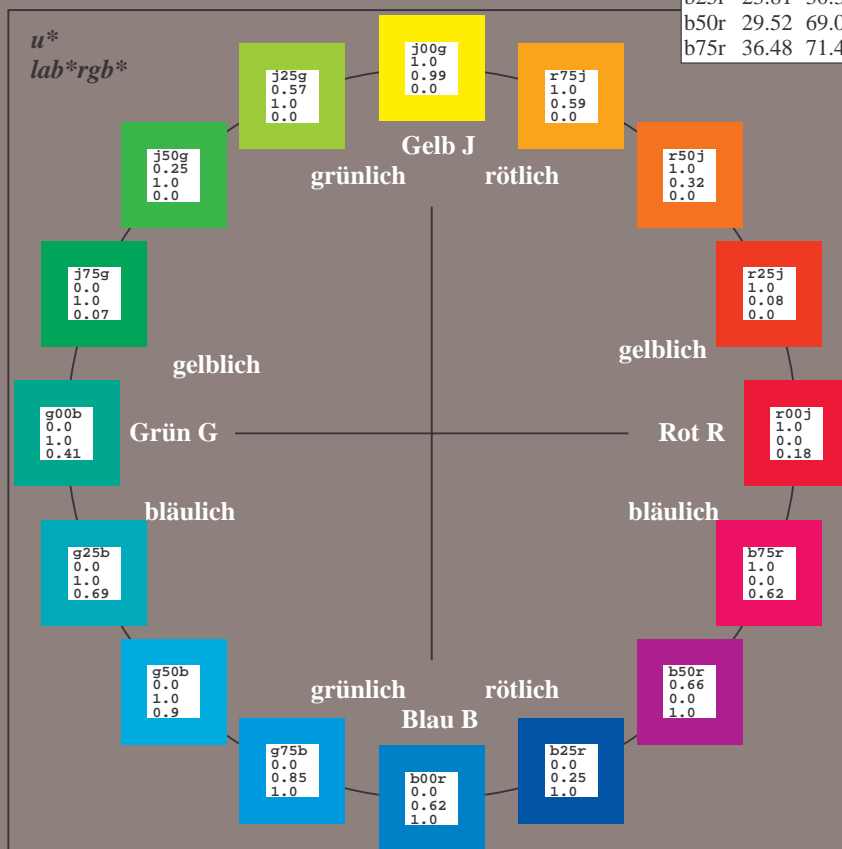
Ein und Ausgabe:
Farbmetrisches Drucker-Reflektiv-System FRS09_92a
Daten für jede Farbe:
*lab*_{rch}** und *lab*_{icu}**
Elementar-Bunttontext:
u = 16 Buntttöne r00j, r25j, ..., b75r*
Kontrastreduzierungsfaktor:
 $c_R = 1.0$

FRS09_92a; adaptierte CIELAB-Daten					
	$L^*=L^*_a$	a^*_a	b^*_a	$C^*_{ab,a}$	$h^*_{ab,a}$
r00j	35.47	63.32	30.17	70.15	25
r25j	39.12	54.56	49.45	73.64	42
r50j	50.64	39.15	64.89	75.79	59
r75j	64.01	21.26	82.83	85.52	76
j00g	83.18	-4.37	108.53	108.62	92
j25g	66.73	-29.88	83.06	88.28	110
j50g	54.03	-48.3	63.49	79.78	127
j75g	44.73	-60.32	42.64	73.88	145
g00b	47.59	-49.07	15.74	51.54	162
g25b	49.97	-39.69	-6.71	40.27	190
g50b	51.85	-32.32	-24.34	40.48	217
g75b	46.92	-17.28	-36.01	39.96	244
b00r	37.91	1.28	-42.34	42.37	272
b25r	23.81	30.38	-52.25	60.45	300
b50r	29.52	69.06	-42.13	80.9	329
b75r	36.48	71.47	-3.68	71.57	357



%Umfang
 $u^*_{rel} = 109$
%Regularität
 $g^*_{H,rel} = 31$
 $g^*_{C,rel} = 40$

FRS09_92a; adaptierte CIELAB-Daten					
	$L^*=L^*_a$	a^*_a	b^*_a	$C^*_{ab,a}$	$h^*_{ab,a}$
OMa	35.06	60.0	44.0	74.4	36
YMa	83.77	-5.16	109.32	109.44	93
LMa	44.13	-62.66	48.24	79.09	142
CMa	52.66	-29.13	-31.98	43.27	228
VMa	14.15	50.3	-59.03	77.57	310
MMa	37.37	78.64	-33.49	85.48	337
NMa	8.58	0.0	0.0	0.0	0
WMa	92.02	0.0	0.0	0.0	0
RCIE	39.92	58.74	27.99	65.07	25
JCIE	81.26	-2.88	71.56	71.62	92
GCIE	52.23	-42.41	13.6	44.55	162
BCIE	30.57	1.41	-46.46	46.49	272



Ein und Ausgabe: Farbmetrisches Drucker-Reflektiv-System FRS09_92a für relativen CIELAB-Buntton $h^* = lab^*h^* = h_{ab}/360 = 25/360 = 0.071$ $u^* = r00j$ lab^*rgb^*

Daten für jede Farbe:

lab^*ch^* und lab^*icu^*

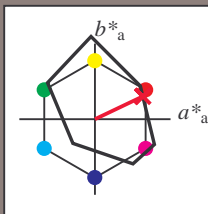
Elementar-Bunttontext:

$u^* = r00j$

Kontrastreduzierungsfaktor:

$c_R = 1.0$

Dreiecks-Helligkeit i^*



FRS09_92a; adaptierte CIELAB-Daten

	$L^*=L_a^*$	a^*_a	b^*_a	$C^*_{ab,a}$	$h^*_{ab,a}$
O _{Ma}	35.06	60.0	44.0	74.4	36
Y _{Ma}	83.77	-5.16	109.32	109.44	93
L _{Ma}	44.13	-62.66	48.24	79.09	142
C _{Ma}	52.66	-29.13	-31.98	43.27	228
V _{Ma}	14.15	50.3	-59.03	77.57	310
M _{Ma}	37.37	78.64	-33.49	85.48	337
N _{Ma}	8.58	0.0	0.0	0.0	0
W _{Ma}	92.02	0.0	0.0	0.0	0
R _{CIE}	39.92	58.74	27.99	65.07	25
J _{CIE}	81.26	-2.88	71.56	71.62	92
G _{CIE}	52.23	-42.41	13.6	44.55	162
B _{CIE}	30.57	1.41	-46.46	46.49	272

Daten für Maximalfarbe (Ma):

$LAB^*LAB^*_{Ma}$: 35 63 30

$LAB^*LCH^*_{Ma}$: 35 70 25

$lab^*rgb^*_{Ma}$: 1.0 0.0 0.0

$lab^*olv^*_{Ma}$: 1.0 0.0 0.18

Dreiecks-Helligkeit i^*

%Umfang

$u^*_{rel} = 109$

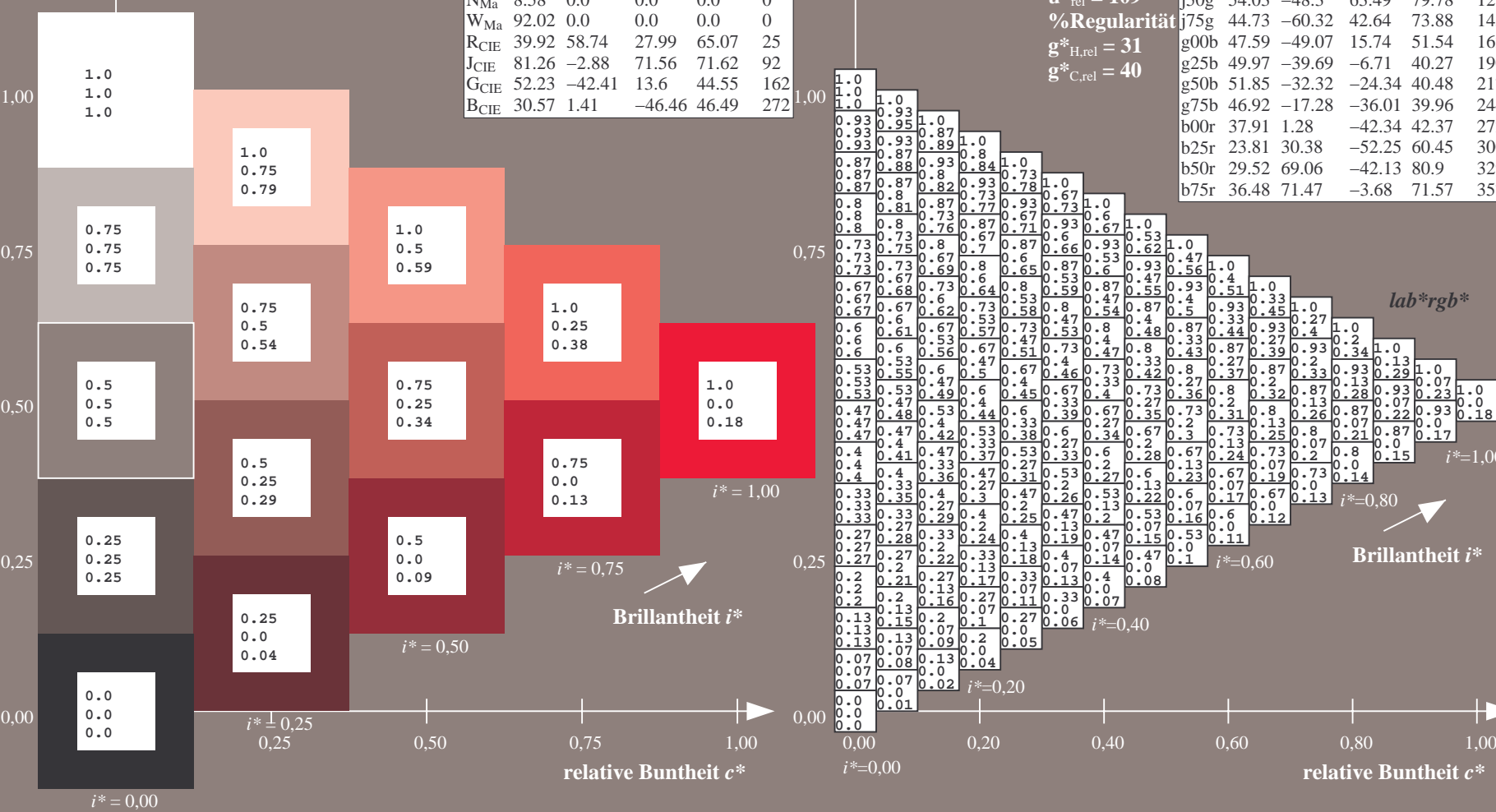
%Regularität

$g^*_{H,rel} = 31$

$g^*_{C,rel} = 40$

FRS09_92a; adaptierte CIELAB-Daten

	$L^*=L_a^*$	a^*_a	b^*_a	$C^*_{ab,a}$	$h^*_{ab,a}$
r00j	35.47	63.32	30.17	70.15	25
r25j	39.12	54.56	49.45	73.64	42
r50j	50.64	39.15	64.89	75.79	59
r75j	64.01	21.26	82.83	85.52	76
j00g	83.18	-4.37	108.53	108.62	92
j25g	66.73	-29.88	83.06	88.28	110
j50g	54.03	-48.3	63.49	79.78	127
j75g	44.73	-60.32	42.64	73.88	145
g00b	47.59	-49.07	15.74	51.54	162
g25b	49.97	-39.69	-6.71	40.27	190
g50b	51.85	-32.32	-24.34	40.48	217
g75b	46.92	-17.28	-36.01	39.96	244
b00r	37.91	1.28	-42.34	42.37	272
b25r	23.81	30.38	-52.25	60.45	300
b50r	29.52	69.06	-42.13	80.9	329
b75r	36.48	71.47	-3.68	71.57	357



Ein und Ausgabe: Farbmetrisches Drucker-Reflektiv-System FRS09_92a für relativen CIELAB-Buntton $h^* = \text{lab}^*h^* = h_{ab}/360 = 42/360 = 0.117$ $u^* = r25j$

Daten für jede Farbe:

lab^*ch^* und lab^*icu^*

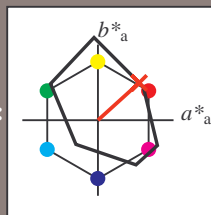
Elementar-Bunttontext:

$u^* = r25j$

Kontrastreduzierungsfaktor:

$c_R = 1.0$

Dreiecks-Helligkeit i^*



FRS09_92a; adaptierte CIELAB-Daten					
	$L^*=L^*_a$	a^*_a	b^*_a	$C^*_{ab,a}$	$h^*_{ab,a}$
O _{Ma}	35.06	60.0	44.0	74.4	36
Y _{Ma}	83.77	-5.16	109.32	109.44	93
L _{Ma}	44.13	-62.66	48.24	79.09	142
C _{Ma}	52.66	-29.13	-31.98	43.27	228
V _{Ma}	14.15	50.3	-59.03	77.57	310
M _{Ma}	37.37	78.64	-33.49	85.48	337
N _{Ma}	8.58	0.0	0.0	0.0	0
W _{Ma}	92.02	0.0	0.0	0.0	0
R _{CIE}	39.92	58.74	27.99	65.07	25
J _{CIE}	81.26	-2.88	71.56	71.62	92
G _{CIE}	52.23	-42.41	13.6	44.55	162
B _{CIE}	30.57	1.41	-46.46	46.49	272

Daten für Maximalfarbe (Ma):

$\text{LAB}^*\text{LAB}^*_{\text{Ma}}$: 39 55 49

$\text{LAB}^*\text{LCH}^*_{\text{Ma}}$: 39 74 42

$\text{lab}^*\text{rgb}^*_{\text{Ma}}$: 1.0 0.25 0.0

$\text{lab}^*\text{olv}^*_{\text{Ma}}$: 1.0 0.08 0.0

Dreiecks-Helligkeit i^*

%Umfang

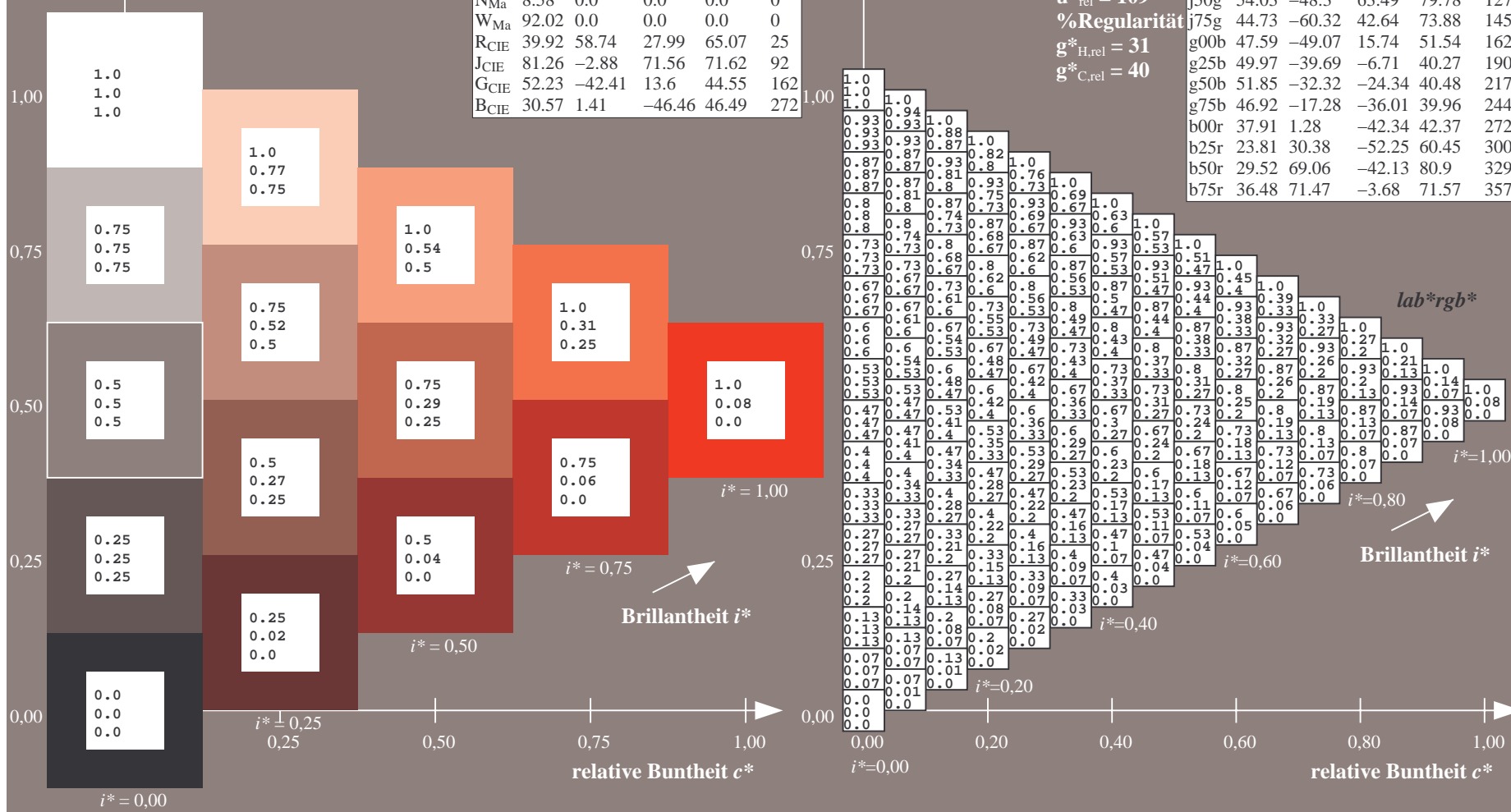
$u^*_{\text{rel}} = 109$

%Regularität

$g^*_{H,\text{rel}} = 31$

$g^*_{C,\text{rel}} = 40$

FRS09_92a; adaptierte CIELAB-Daten					
	$L^*=L^*_a$	a^*_a	b^*_a	$C^*_{ab,a}$	$h^*_{ab,a}$
r00j	35.47	63.32	30.17	70.15	25
r25j	39.12	54.56	49.45	73.64	42
r50j	50.64	39.15	64.89	75.79	59
r75j	64.01	21.26	82.83	85.52	76
j00g	83.18	-4.37	108.53	108.62	92
j25g	66.73	-29.88	83.06	88.28	110
j50g	54.03	-48.3	63.49	79.78	127
j75g	44.73	-60.32	42.64	73.88	145
g00b	47.59	-49.07	15.74	51.54	162
g25b	49.97	-39.69	-6.71	40.27	190
g50b	51.85	-32.32	-24.34	40.48	217
g75b	46.92	-17.28	-36.01	39.96	244
b00r	37.91	1.28	-42.34	42.37	272
b25r	23.81	30.38	-52.25	60.45	300
b50r	29.52	69.06	-42.13	80.9	329
b75r	36.48	71.47	-3.68	71.57	357



100



Figure 1 is a 3D bar chart illustrating the distribution of Brillantheit (i^*) scores for various countries. The x-axis represents the Brillantheit score, ranging from 0.60 to 1.00. The y-axis represents the number of countries, ranging from 0 to 10. The z-axis represents the Brillantheit score. The chart shows that the majority of countries have a Brillantheit score between 0.60 and 0.80, with a peak of 10 countries at a score of 0.70. A few countries have scores above 0.80, with the highest score being 1.00 for 1 country.

A horizontal line with three vertical tick marks. The first tick mark is at the left end, the second is in the middle, and the third is at the right end.

0,80 1,00

Relative Buntheit c^*

Eingabe: 000n / w / nnn0 / www set...
Ausgabe: ->cmyn5* setcmykcolor

Ausgabe: $\rightarrow cmyn5^* setcmykcolor$

7 Anwendung für Beurteilung und Messung von Drucker- oder Monitorsystemen

Ein und Ausgabe: Farbmetrisches Drucker-Reflektiv-System FRS09_92a für relativen CIELAB-Buntton $h^* = lab^*h^* = h_{ab}/360 = 76/360 = 0.21$

Daten für jede Farbe:

lab^*ch^* und lab^*icu^*

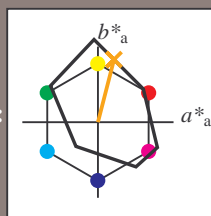
Elementar-Bunttontext:

$u^* = r75j$

Kontrastreduzierungsfaktor:

$c_R = 1.0$

Dreiecks-Helligkeit i^*



FRS09_92a; adaptierte CIELAB-Daten

	$L^*=L^*_a$	a^*_a	b^*_a	$C^*_{ab,a}$	$h^*_{ab,a}$
O _{Ma}	35.06	60.0	44.0	74.4	36
Y _{Ma}	83.77	-5.16	109.32	109.44	93
L _{Ma}	44.13	-62.66	48.24	79.09	142
C _{Ma}	52.66	-29.13	-31.98	43.27	228
V _{Ma}	14.15	50.3	-59.03	77.57	310
M _{Ma}	37.37	78.64	-33.49	85.48	337
N _{Ma}	8.58	0.0	0.0	0.0	0
W _{Ma}	92.02	0.0	0.0	0.0	0
R _{CIE}	39.92	58.74	27.99	65.07	25
J _{CIE}	81.26	-2.88	71.56	71.62	92
G _{CIE}	52.23	-42.41	13.6	44.55	162
B _{CIE}	30.57	1.41	-46.46	46.49	272

Daten für Maximalfarbe (Ma):

$LAB^*LAB^*_{Ma}$: 64 21 83

$LAB^*LCH^*_{Ma}$: 64 86 76

$lab^*rgb^*_{Ma}$: 1.0 0.75 0.0

$lab^*olv^*_{Ma}$: 1.0 0.59 0.0

Dreiecks-Helligkeit i^*

%Umfang

$u^*_{rel} = 109$

%Regularität

$g^*_{H,rel} = 31$

$g^*_{C,rel} = 40$

FRS09_92a; adaptierte CIELAB-Daten

	$L^*=L^*_a$	a^*_a	b^*_a	$C^*_{ab,a}$	$h^*_{ab,a}$
r00j	35.47	63.32	30.17	70.15	25
r25j	39.12	54.56	49.45	73.64	42
r50j	50.64	39.15	64.89	75.79	59
r75j	64.01	21.26	82.83	85.52	76
j00g	83.18	-4.37	108.53	108.62	92
j25g	66.73	-29.88	83.06	88.28	110
j50g	54.03	-48.3	63.49	79.78	127
j75g	44.73	-60.32	42.64	73.88	145
g00b	47.59	-49.07	15.74	51.54	162
g25b	49.97	-39.69	-6.71	40.27	190
g50b	51.85	-32.32	-24.34	40.48	217
g75b	46.92	-17.28	-36.01	39.96	244
b00r	37.91	1.28	-42.34	42.37	272
b25r	23.81	30.38	-52.25	60.45	300
b50r	29.52	69.06	-42.13	80.9	329
b75r	36.48	71.47	-3.68	71.57	357

lab^*rgb^*

$i^* = 1.00$

Brillantheit i^*

$i^* = 0.80$

$i^* = 0.60$

$i^* = 0.40$

$i^* = 0.20$

$i^* = 0.00$

relative Bunttheit c^*

relative Bunttheit c^*

Ein und Ausgabe: Farbmetrisches Drucker-Reflektiv-System FRS09_92a für relativen CIELAB-Buntton $h^* = lab^*h^* = h_{ab}/360 = 92/360 = 0.256$ $u^* = j00g$

Daten für jede Farbe:

lab^*ch^* und lab^*icu^*

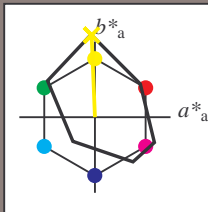
Elementar-Bunttontext:

$u^* = j00g$

Kontrastreduzierungsfaktor:

$c_R = 1.0$

Dreiecks-Helligkeit t^*



FRS09_92a; adaptierte CIELAB-Daten

	$L^*=L^*_a$	a^*_a	b^*_a	$C^*_{ab,a}$	$h^*_{ab,a}$
O _{Ma}	35.06	60.0	44.0	74.4	36
Y _{Ma}	83.77	-5.16	109.32	109.44	93
L _{Ma}	44.13	-62.66	48.24	79.09	142
C _{Ma}	52.66	-29.13	-31.98	43.27	228
V _{Ma}	14.15	50.3	-59.03	77.57	310
M _{Ma}	37.37	78.64	-33.49	85.48	337
N _{Ma}	8.58	0.0	0.0	0.0	0
W _{Ma}	92.02	0.0	0.0	0.0	0
R _{CIE}	39.92	58.74	27.99	65.07	25
J _{CIE}	81.26	-2.88	71.56	71.62	92
G _{CIE}	52.23	-42.41	13.6	44.55	162
B _{CIE}	30.57	1.41	-46.46	46.49	272

Daten für Maximalfarbe (Ma):

$LAB^*LAB^*_{Ma}$: 83 -3 109

$LAB^*LCH^*_{Ma}$: 83 109 92

$lab^*rgb^*_{Ma}$: 1.0 1.0 0.0

$lab^*olv^*_{Ma}$: 1.0 0.99 0.0

Dreiecks-Helligkeit t^*

%Umfang

$u^*_{rel} = 109$

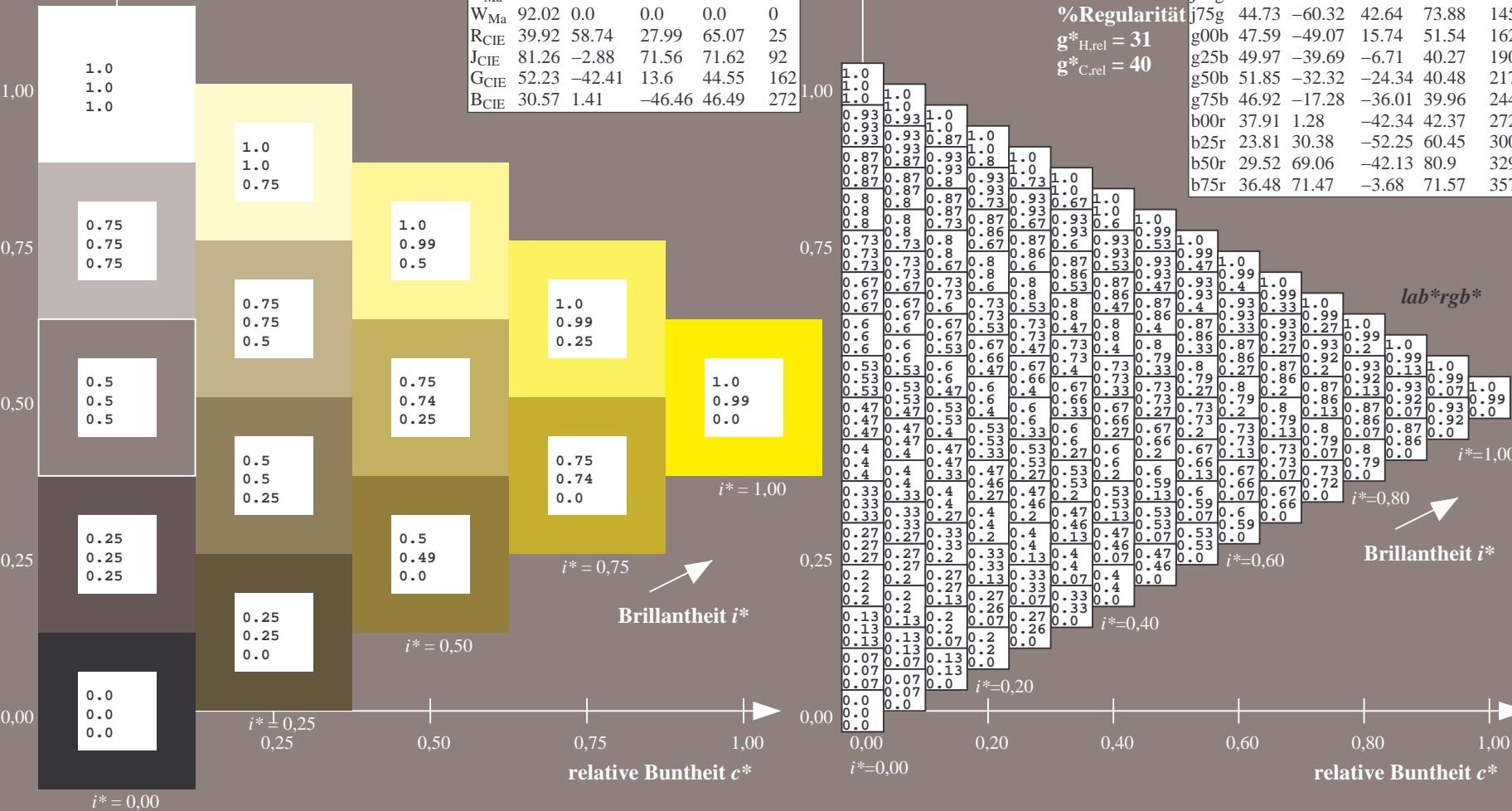
%Regularität

$g^*_{H,rel} = 31$

$g^*_{C,rel} = 40$

FRS09_92a; adaptierte CIELAB-Daten

	$L^*=L^*_a$	a^*_a	b^*_a	$C^*_{ab,a}$	$h^*_{ab,a}$
r00j	35.47	63.32	30.17	70.15	25
r25j	39.12	54.56	49.45	73.64	42
r50j	50.64	39.15	64.89	75.79	59
r75j	64.01	21.26	82.83	85.52	76
j00g	83.18	-4.37	108.53	108.62	92
j25g	66.73	-29.88	83.06	88.28	110
j50g	54.03	-48.3	63.49	79.78	127
j75g	44.73	-60.32	42.64	73.88	145
g00b	47.59	-49.07	15.74	51.54	162
g25b	49.97	-39.69	-6.71	40.27	190
g50b	51.85	-32.32	-24.34	40.48	217
g75b	46.92	-17.28	-36.01	39.96	244
b00r	37.91	1.28	-42.34	42.37	272
b25r	23.81	30.38	-52.25	60.45	300
b50r	29.52	69.06	-42.13	80.9	329
b75r	36.48	71.47	-3.68	71.57	357



Ein und Ausgabe: Farbmetrisches Drucker-Reflektiv-System FRS09_92a für relativen CIELAB-Buntton $h^* = lab^*h^* = h_{ab}/360 = 110/360 = 0.305$ $u^* = j25g$

Daten für jede Farbe:

lab^*ch^* und lab^*icu^*

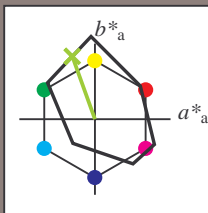
Elementar-Bunttontext:

$u^* = j25g$

Kontrastreduzierungsfaktor:

$c_R = 1.0$

Dreiecks-Helligkeit i^*



FRS09_92a; adaptierte CIELAB-Daten

	$L^*=L^*_a$	a^*_a	b^*_a	$C^*_{ab,a}$	$h^*_{ab,a}$
O _{Ma}	35.06	60.0	44.0	74.4	36
Y _{Ma}	83.77	-5.16	109.32	109.44	93
L _{Ma}	44.13	-62.66	48.24	79.09	142
C _{Ma}	52.66	-29.13	-31.98	43.27	228
V _{Ma}	14.15	50.3	-59.03	77.57	310
M _{Ma}	37.37	78.64	-33.49	85.48	337
N _{Ma}	8.58	0.0	0.0	0.0	0
W _{Ma}	92.02	0.0	0.0	0.0	0
R _{CIE}	39.92	58.74	27.99	65.07	25
J _{CIE}	81.26	-2.88	71.56	71.62	92
G _{CIE}	52.23	-42.41	13.6	44.55	162
B _{CIE}	30.57	1.41	-46.46	46.49	272

Daten für Maximalfarbe (Ma):

$LAB^*LAB^*_{Ma}$: 67 -29 83

$LAB^*LCH^*_{Ma}$: 67 88 110

$lab^*rgb^*_{Ma}$: 0.75 1.0 0.0

$lab^*olv^*_{Ma}$: 0.57 1.0 0.0

Dreiecks-Helligkeit i^*

%Umfang

$u^*_{rel} = 109$

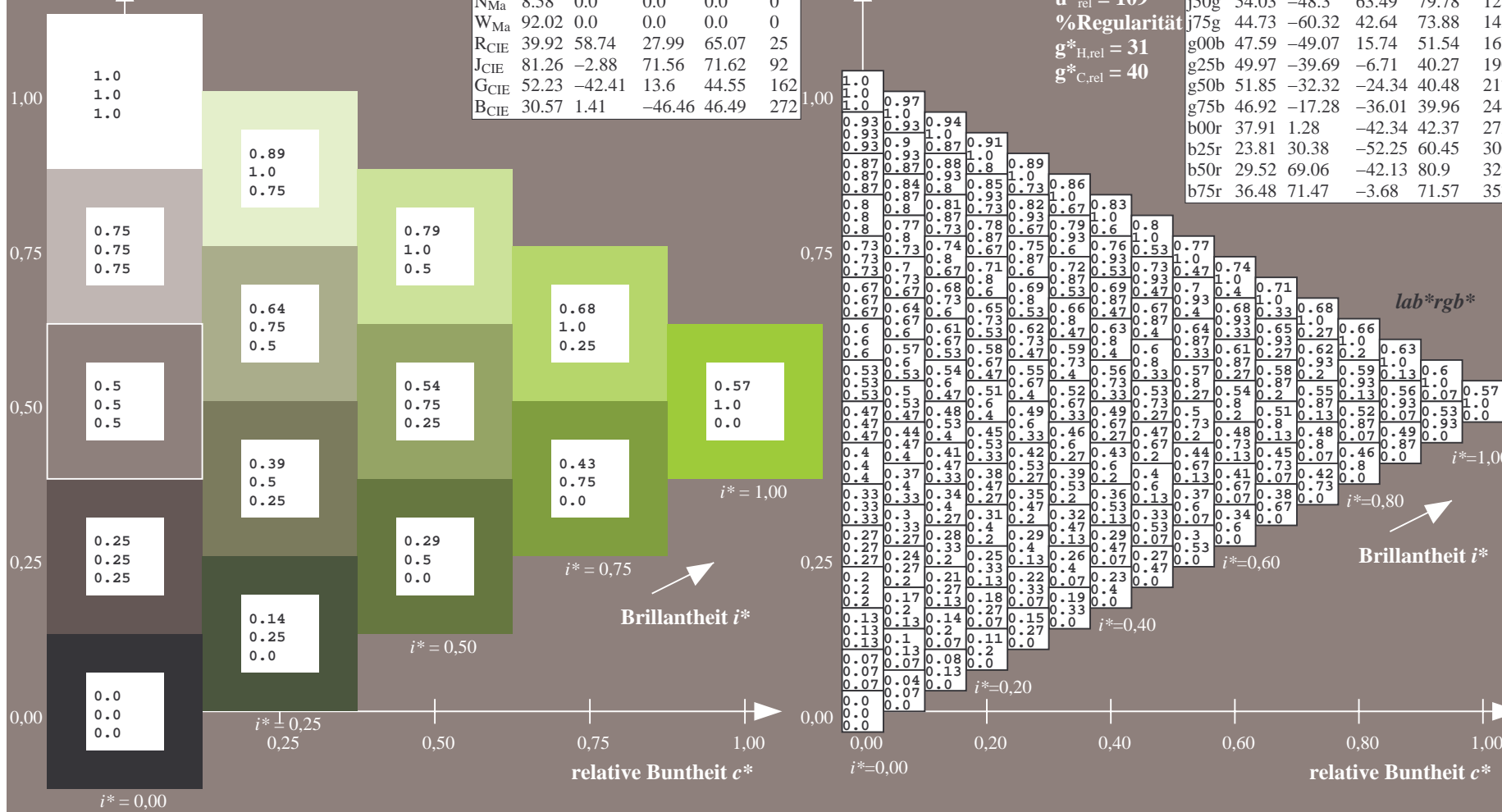
%Regularität

$g^*_{H,rel} = 31$

$g^*_{C,rel} = 40$

FRS09_92a; adaptierte CIELAB-Daten

	$L^*=L^*_a$	a^*_a	b^*_a	$C^*_{ab,a}$	$h^*_{ab,a}$
r00j	35.47	63.32	30.17	70.15	25
r25j	39.12	54.56	49.45	73.64	42
r50j	50.64	39.15	64.89	75.79	59
r75j	64.01	21.26	82.83	85.52	76
j00g	83.18	-4.37	108.53	108.62	92
j25g	66.73	-29.88	83.06	88.28	110
j50g	54.03	-48.3	63.49	79.78	127
j75g	44.73	-60.32	42.64	73.88	145
g00b	47.59	-49.07	15.74	51.54	162
g25b	49.97	-39.69	-6.71	40.27	190
g50b	51.85	-32.32	-24.34	40.48	217
g75b	46.92	-17.28	-36.01	39.96	244
b00r	37.91	1.28	-42.34	42.37	272
b25r	23.81	30.38	-52.25	60.45	300
b50r	29.52	69.06	-42.13	80.9	329
b75r	36.48	71.47	-3.68	71.57	357



Ein und Ausgabe: Farbmetrisches Drucker-Reflektiv-System FRS09_92a für relativen CIELAB-Buntton $h^* = lab^*h^* = h_{ab}/360 = 127/360 = 0.354$ $u^* = j50g$

Daten für jede Farbe:

lab^*ch^* und lab^*icu^*

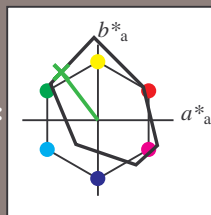
Elementar-Bunttontext:

$u^* = j50g$

Kontrastreduzierungsfaktor:

$c_R = 1.0$

Dreiecks-Helligkeit i^*



FRS09_92a; adaptierte CIELAB-Daten

	$L^*=L^*_a$	a^*_a	b^*_a	$C^*_{ab,a}$	$h^*_{ab,a}$
O _{Ma}	35.06	60.0	44.0	74.4	36
Y _{Ma}	83.77	-5.16	109.32	109.44	93
L _{Ma}	44.13	-62.66	48.24	79.09	142
C _{Ma}	52.66	-29.13	-31.98	43.27	228
V _{Ma}	14.15	50.3	-59.03	77.57	310
M _{Ma}	37.37	78.64	-33.49	85.48	337
N _{Ma}	8.58	0.0	0.0	0.0	0
W _{Ma}	92.02	0.0	0.0	0.0	0
R _{CIE}	39.92	58.74	27.99	65.07	25
J _{CIE}	81.26	-2.88	71.56	71.62	92
G _{CIE}	52.23	-42.41	13.6	44.55	162
B _{CIE}	30.57	1.41	-46.46	46.49	272

Daten für Maximalfarbe (Ma):

$LAB^*LAB^*_{Ma}$: 54 -47 63

$LAB^*LCH^*_{Ma}$: 54 80 127

$lab^*rgb^*_{Ma}$: 0.5 1.0 0.0

$lab^*olv^*_{Ma}$: 0.25 1.0 0.0

Dreiecks-Helligkeit i^*

%Umfang

$u^*_{rel} = 109$

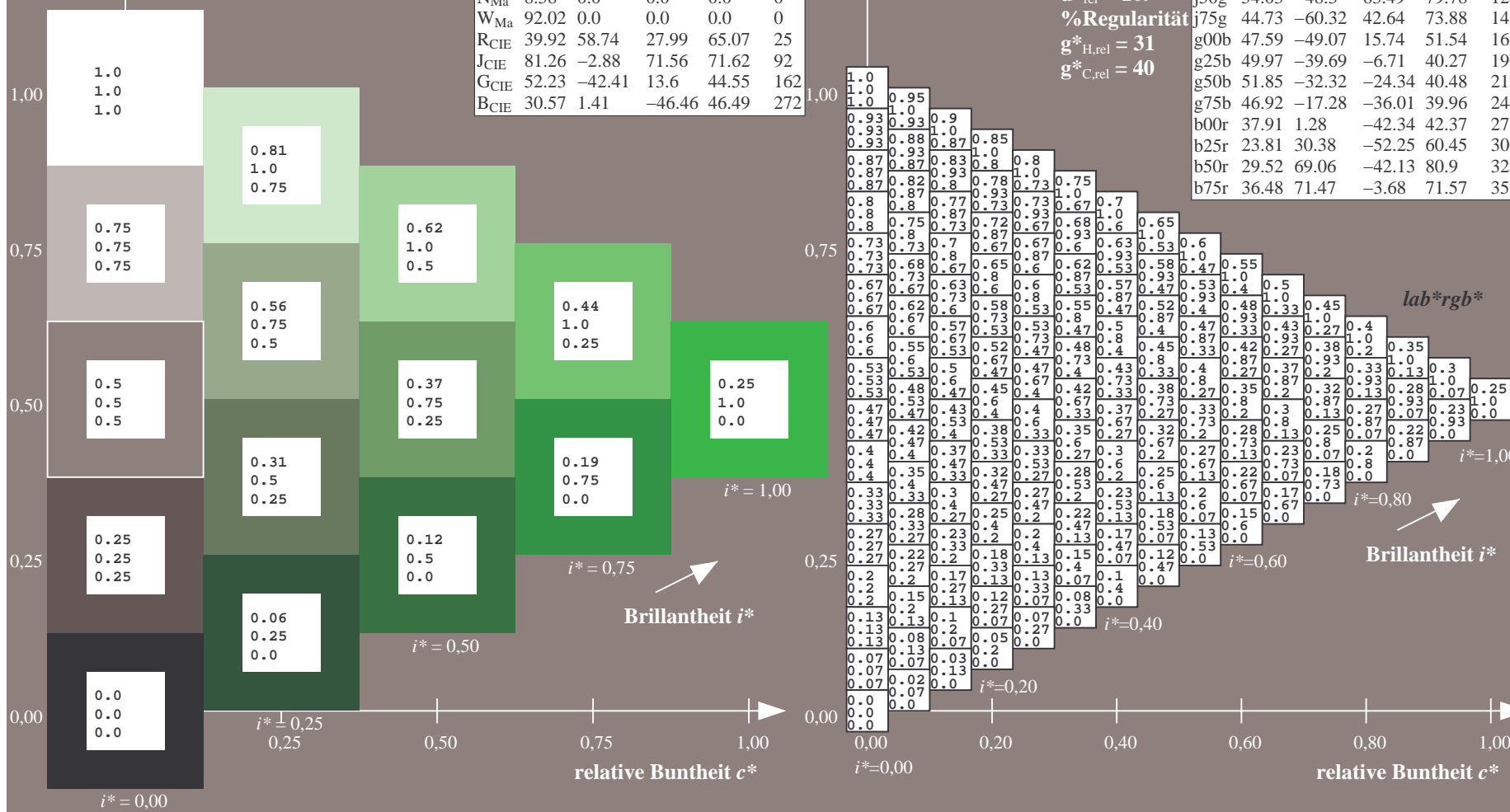
%Regularität

$g^*_{H,rel} = 31$

$g^*_{C,rel} = 40$

FRS09_92a; adaptierte CIELAB-Daten

	$L^*=L^*_a$	a^*_a	b^*_a	$C^*_{ab,a}$	$h^*_{ab,a}$
r00j	35.47	63.32	30.17	70.15	25
r25j	39.12	54.56	49.45	73.64	42
r50j	50.64	39.15	64.89	75.79	59
r75j	64.01	21.26	82.83	85.52	76
j00g	83.18	-4.37	108.53	108.62	92
j25g	66.73	-29.88	83.06	88.28	110
j50g	54.03	-48.3	63.49	79.78	127
j75g	44.73	-60.32	42.64	73.88	145
g00b	47.59	-49.07	15.74	51.54	162
g25b	49.97	-39.69	-6.71	40.27	190
g50b	51.85	-32.32	-24.34	40.48	217
g75b	46.92	-17.28	-36.01	39.96	244
b00r	37.91	1.28	-42.34	42.37	272
b25r	23.81	30.38	-52.25	60.45	300
b50r	29.52	69.06	-42.13	80.9	329
b75r	36.48	71.47	-3.68	71.57	357

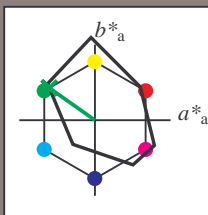


Ein und Ausgabe: Farbmetrisches Drucker-Reflektiv-System FRS09_92a für relativen CIELAB-Buntton $h^* = lab^*h^* = h_{ab}/360 = 145/360 = 0.402$ $u^* = j75g$
Daten für jede Farbe:
 lab^*ch^* und lab^*icu^*

Elementar-Bunttontext:
 $u^* = j75g$

Kontrastreduzierungsfaktor:
 $c_R = 1.0$

Dreiecks-Helligkeit t^*



FRS09_92a; adaptierte CIELAB-Daten					
	$L^*=L^*_a$	a^*_a	b^*_a	$C^*_{ab,a}$	$h^*_{ab,a}$
O _{Ma}	35.06	60.0	44.0	74.4	36
Y _{Ma}	83.77	-5.16	109.32	109.44	93
L _{Ma}	44.13	-62.66	48.24	79.09	142
C _{Ma}	52.66	-29.13	-31.98	43.27	228
V _{Ma}	14.15	50.3	-59.03	77.57	310
M _{Ma}	37.37	78.64	-33.49	85.48	337
N _{Ma}	8.58	0.0	0.0	0.0	0
W _{Ma}	92.02	0.0	0.0	0.0	0
R _{CIE}	39.92	58.74	27.99	65.07	25
J _{CIE}	81.26	-2.88	71.56	71.62	92
G _{CIE}	52.23	-42.41	13.6	44.55	162
B _{CIE}	30.57	1.41	-46.46	46.49	272

Daten für Maximalfarbe (Ma):

$LAB^*LAB^*_{Ma}$: 45 -59 43

$LAB^*LCH^*_{Ma}$: 45 74 145

$lab^*rgb^*_{Ma}$: 0.25 1.0 0.0

$lab^*olv^*_{Ma}$: 0.0 1.0 0.07

Dreiecks-Helligkeit t^*

%Umfang

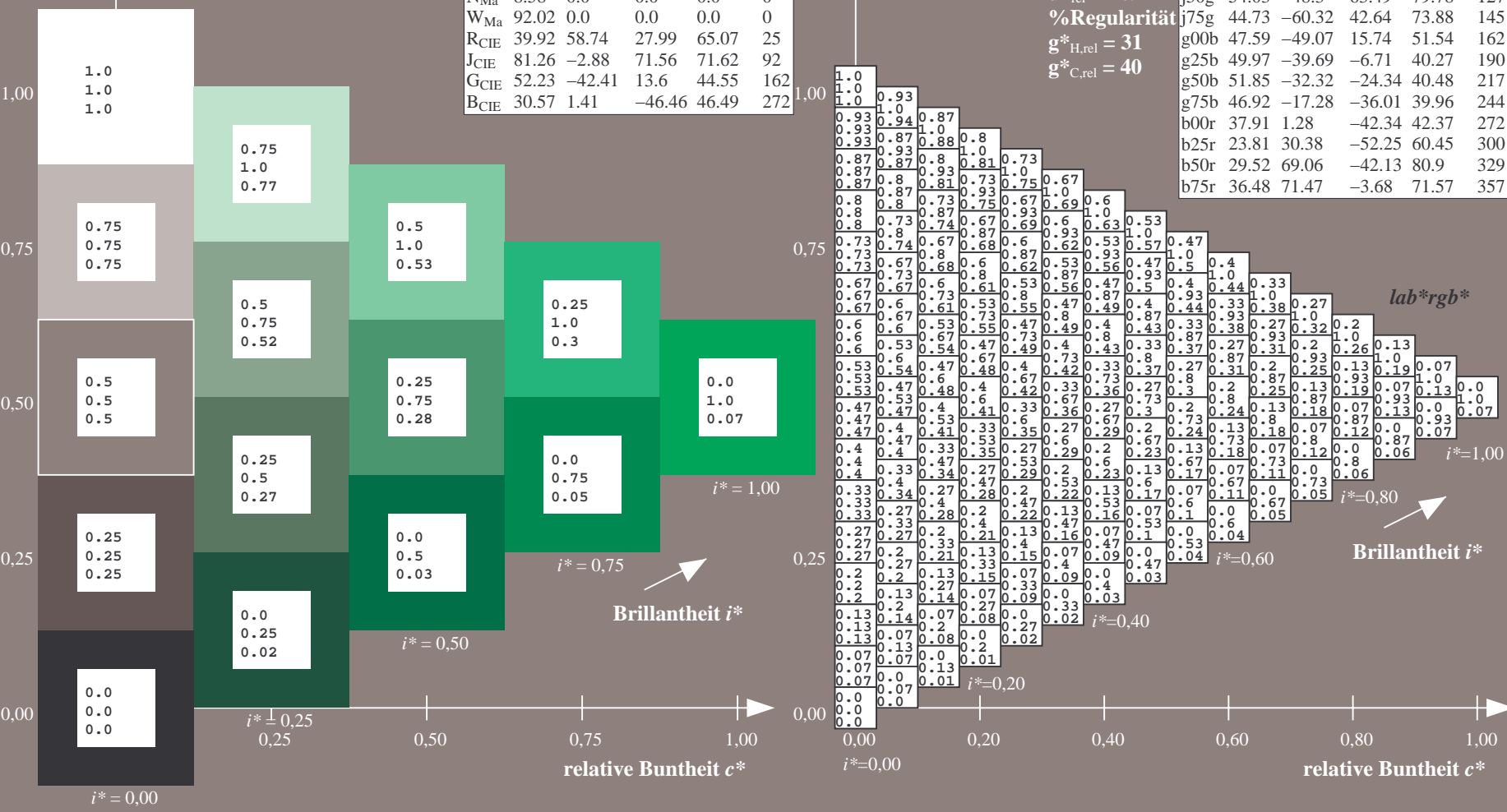
$u^*_{rel} = 109$

%Regularität

$g^*_{H,rel} = 31$

$g^*_{C,rel} = 40$

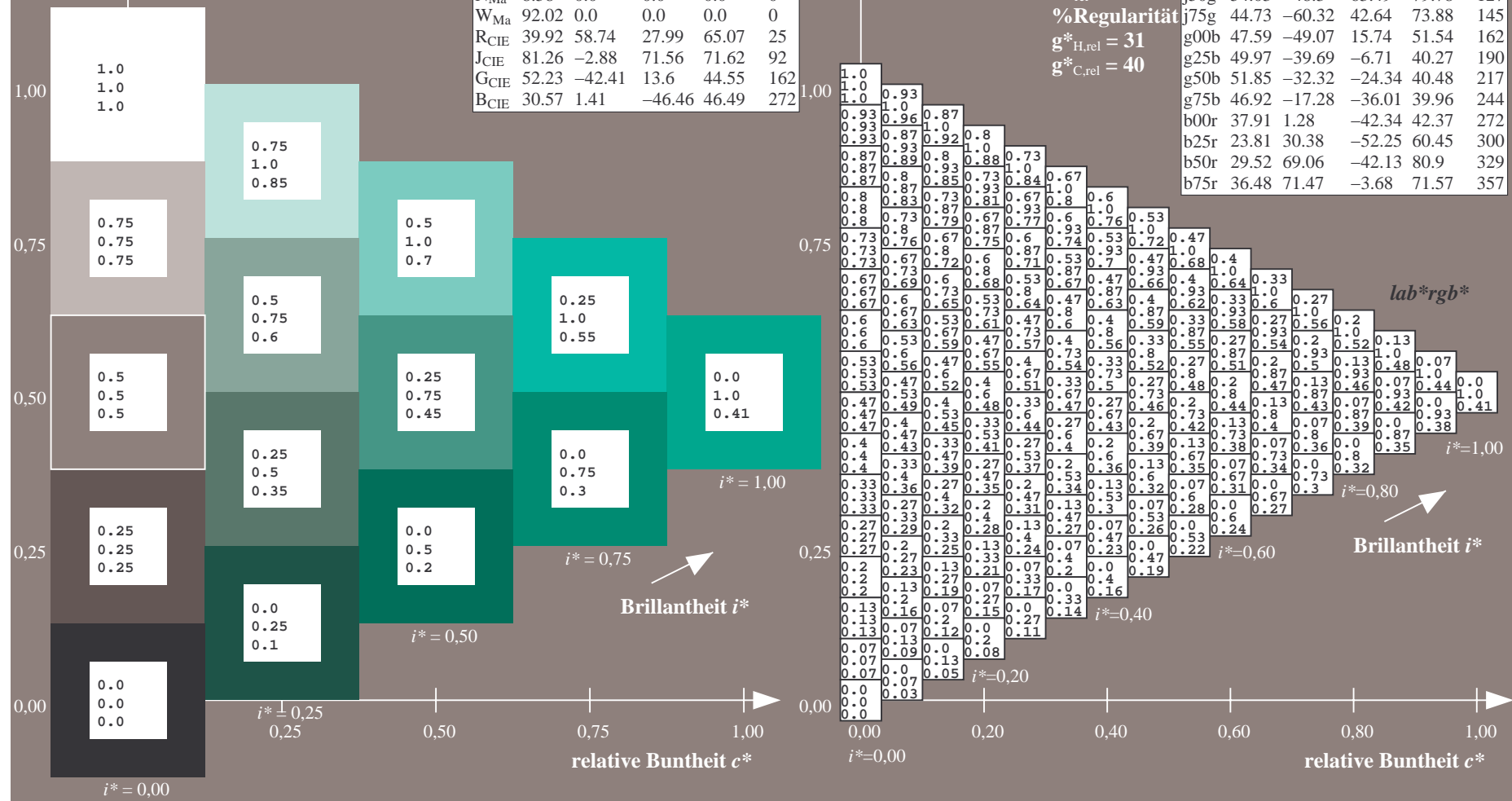
FRS09_92a; adaptierte CIELAB-Daten					
	$L^*=L^*_a$	a^*_a	b^*_a	$C^*_{ab,a}$	$h^*_{ab,a}$
r00j	35.47	63.32	30.17	70.15	25
r25j	39.12	54.56	49.45	73.64	42
r50j	50.64	39.15	64.89	75.79	59
r75j	64.01	21.26	82.83	85.52	76
j00g	83.18	-4.37	108.53	108.62	92
j25g	66.73	-29.88	83.06	88.28	110
j50g	54.03	-48.3	63.49	79.78	127
j75g	44.73	-60.32	42.64	73.88	145
g00b	47.59	-49.07	15.74	51.54	162
g25b	49.97	-39.69	-6.71	40.27	190
g50b	51.85	-32.32	-24.34	40.48	217
g75b	46.92	-17.28	-36.01	39.96	244
b00r	37.91	1.28	-42.34	42.37	272
b25r	23.81	30.38	-52.25	60.45	300
b50r	29.52	69.06	-42.13	80.9	329
b75r	36.48	71.47	-3.68	71.57	357



100



r00j	35.47	63.32	30.17	70.15	25
r25j	39.12	54.56	49.45	73.64	42
r50j	50.64	39.15	64.89	75.79	59
r75j	64.01	21.26	82.83	85.52	76
j00g	83.18	-4.37	108.53	108.62	92
j25g	66.73	-29.88	83.06	88.28	110
j50g	54.03	-48.3	63.49	79.78	127
j75g	44.73	-60.32	42.64	73.88	145
g00b	47.59	-49.07	15.74	51.54	162
g25b	49.97	-39.69	-6.71	40.27	190
g50b	51.85	-32.32	-24.34	40.48	217
g75b	46.92	-17.28	-36.01	39.96	244
b00r	37.91	1.28	-42.34	42.37	272
b25r	23.81	30.38	-52.25	60.45	300
b50r	29.52	69.06	-42.13	80.9	329
b75r	36.48	71.47	-3.68	71.57	357



BAM-Prüfvorlage Dg96; Farbmatrik-Systeme, Seite 46/180
Farbreihen, 8 Datentabellen für 16 Bunttöne *r00j* bis *b75r*

Eingabe: 000n / w / nnn0 / www set...
Ausgabe: ->cmyn5* setcmykcolor

BAM-Registrierung: 20080701-Dg96/10L/L96G00NP.PS/.PDF BAM-Material: Code=rh4ta4ta
Anwendung für Beurteilung und Messung von Drucker- oder Monitorsystemen

Ein und Ausgabe: Farbmetrisches Drucker-Reflektiv-System FRS09_92a für relativen CIELAB-Buntton $h^* = lab^*h^* = h_{ab}/360 = 190/360 = 0.527$ $u^* = g25b$

Daten für jede Farbe:

lab^*ch^* und lab^*icu^*

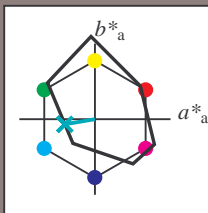
Elementar-Bunttontext:

$u^* = g25b$

Kontrastreduzierungsfaktor:

$c_R = 1.0$

Dreiecks-Helligkeit i^*



FRS09_92a; adaptierte CIELAB-Daten

	$L^*=L_a^*$	a_a^*	b_a^*	$C^*_{ab,a}$	$h^*_{ab,a}$
O _{Ma}	35.06	60.0	44.0	74.4	36
Y _{Ma}	83.77	-5.16	109.32	109.44	93
L _{Ma}	44.13	-62.66	48.24	79.09	142
C _{Ma}	52.66	-29.13	-31.98	43.27	228
V _{Ma}	14.15	50.3	-59.03	77.57	310
M _{Ma}	37.37	78.64	-33.49	85.48	337
N _{Ma}	8.58	0.0	0.0	0.0	0
W _{Ma}	92.02	0.0	0.0	0.0	0
R _{CIE}	39.92	58.74	27.99	65.07	25
J _{CIE}	81.26	-2.88	71.56	71.62	92
G _{CIE}	52.23	-42.41	13.6	44.55	162
B _{CIE}	30.57	1.41	-46.46	46.49	272

Daten für Maximalfarbe (Ma):

$LAB^*LAB^*_{Ma}$: 50 -39 -6

$LAB^*LCH^*_{Ma}$: 50 40 190

$lab^*rgb^*_{Ma}$: 0.0 1.0 0.5

$lab^*olv^*_{Ma}$: 0.0 1.0 0.69

Dreiecks-Helligkeit i^*

%Umfang

$u^*_{rel} = 109$

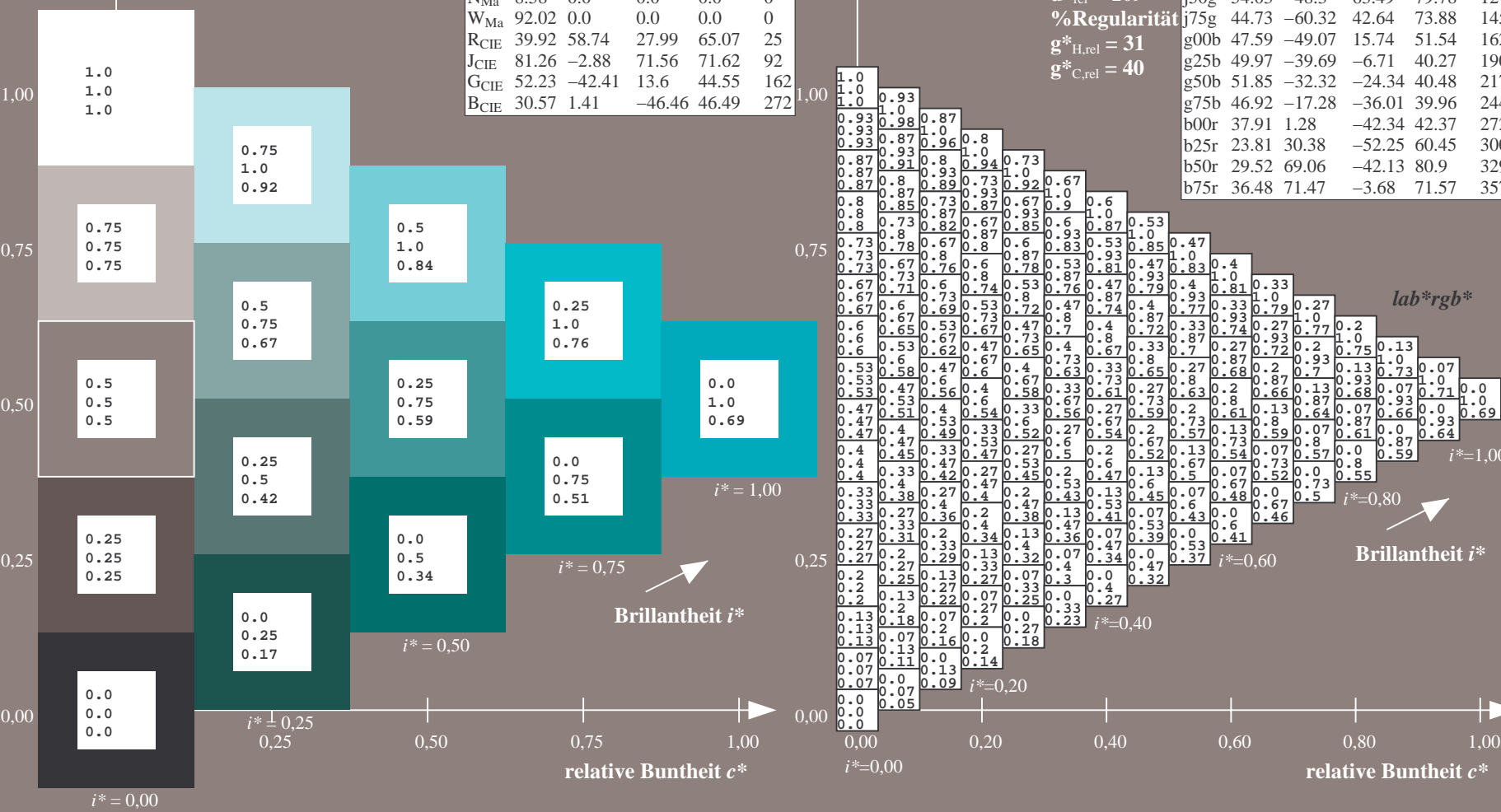
%Regularität

$g^*_{H,rel} = 31$

$g^*_{C,rel} = 40$

FRS09_92a; adaptierte CIELAB-Daten

	$L^*=L_a^*$	a_a^*	b_a^*	$C^*_{ab,a}$	$h^*_{ab,a}$
r00j	35.47	63.32	30.17	70.15	25
r25j	39.12	54.56	49.45	73.64	42
r50j	50.64	39.15	64.89	75.79	59
r75j	64.01	21.26	82.83	85.52	76
j00g	83.18	-4.37	108.53	108.62	92
j25g	66.73	-29.88	83.06	88.28	110
j50g	54.03	-48.3	63.49	79.78	127
j75g	44.73	-60.32	42.64	73.88	145
g00b	47.59	-49.07	15.74	51.54	162
g25b	49.97	-39.69	-6.71	40.27	190
g50b	51.85	-32.32	-24.34	40.48	217
g75b	46.92	-17.28	-36.01	39.96	244
b00r	37.91	1.28	-42.34	42.37	272
b25r	23.81	30.38	-52.25	60.45	300
b50r	29.52	69.06	-42.13	80.9	329
b75r	36.48	71.47	-3.68	71.57	357



Ein und Ausgabe: Farbmetrisches Drucker-Reflektiv-System FRS09_92a für relativen CIELAB-Buntton $h^* = \text{lab}^*h^* = h_{ab}/360 = 217/360 = 0.603$ $u^* = g50b$

Daten für jede Farbe:

lab^*ch^* und lab^*icu^*

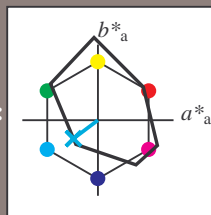
Elementar-Bunttontext:

$u^* = g50b$

Kontrastreduzierungsfaktor:

$c_R = 1.0$

Dreiecks-Helligkeit i^*



FRS09_92a; adaptierte CIELAB-Daten

	$L^*=L_a^*$	a^*_a	b^*_a	$C^*_{ab,a}$	$h^*_{ab,a}$
O _{Ma}	35.06	60.0	44.0	74.4	36
Y _{Ma}	83.77	-5.16	109.32	109.44	93
L _{Ma}	44.13	-62.66	48.24	79.09	142
C _{Ma}	52.66	-29.13	-31.98	43.27	228
V _{Ma}	14.15	50.3	-59.03	77.57	310
M _{Ma}	37.37	78.64	-33.49	85.48	337
N _{Ma}	8.58	0.0	0.0	0.0	0
W _{Ma}	92.02	0.0	0.0	0.0	0
R _{CIE}	39.92	58.74	27.99	65.07	25
J _{CIE}	81.26	-2.88	71.56	71.62	92
G _{CIE}	52.23	-42.41	13.6	44.55	162
B _{CIE}	30.57	1.41	-46.46	46.49	272

Daten für Maximalfarbe (Ma):

$\text{LAB}^*\text{LAB}^*_{\text{Ma}}$: 52 -31 -23

$\text{LAB}^*\text{LCH}^*_{\text{Ma}}$: 52 40 217

$\text{lab}^*\text{rgb}^*_{\text{Ma}}$: 0.0 1.0 1.0

$\text{lab}^*\text{olv}^*_{\text{Ma}}$: 0.0 1.0 0.9

Dreiecks-Helligkeit i^*

%Umfang

$u^*_{\text{rel}} = 109$

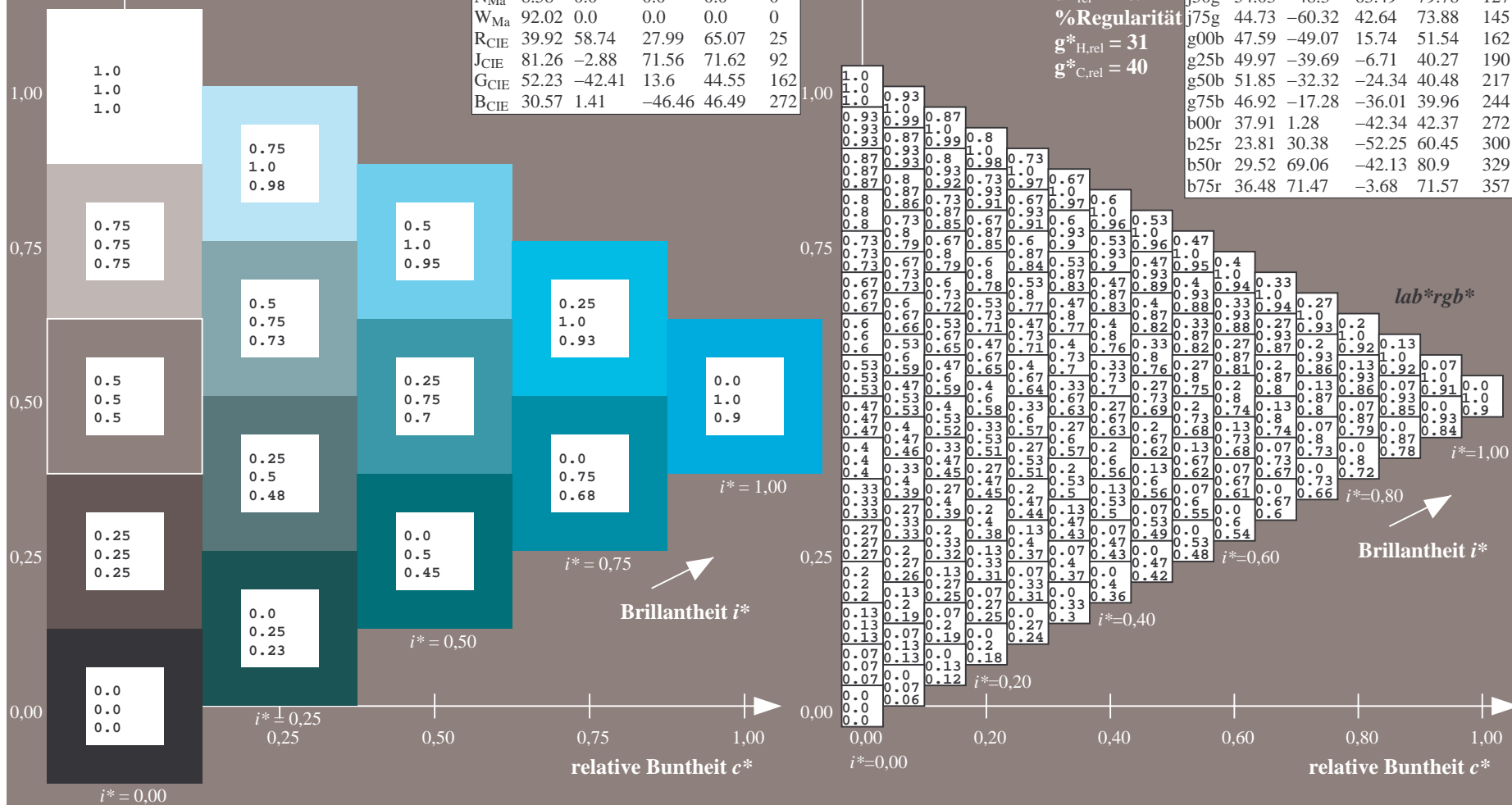
%Regularität

$g^*_{H,\text{rel}} = 31$

$g^*_{C,\text{rel}} = 40$

FRS09_92a; adaptierte CIELAB-Daten

	$L^*=L_a^*$	a^*_a	b^*_a	$C^*_{ab,a}$	$h^*_{ab,a}$
r00j	35.47	63.32	30.17	70.15	25
r25j	39.12	54.56	49.45	73.64	42
r50j	50.64	39.15	64.89	75.79	59
r75j	64.01	21.26	82.83	85.52	76
j00g	83.18	-4.37	108.53	108.62	92
j25g	66.73	-29.88	83.06	88.28	110
j50g	54.03	-48.3	63.49	79.78	127
j75g	44.73	-60.32	42.64	73.88	145
g00b	47.59	-49.07	15.74	51.54	162
g25b	49.97	-39.69	-6.71	40.27	190
g50b	51.85	-32.32	-24.34	40.48	217
g75b	46.92	-17.28	-36.01	39.96	244
b00r	37.91	1.28	-42.34	42.37	272
b25r	23.81	30.38	-52.25	60.45	300
b50r	29.52	69.06	-42.13	80.9	329
b75r	36.48	71.47	-3.68	71.57	357



Ein und Ausgabe: Farbmetrisches Drucker-Reflektiv-System FRS09_92a für relativen CIELAB-Buntton $h^* = lab^*h^* = h_{ab}/360 = 244/360 = 0.679$ $u^* = g75b$

Daten für jede Farbe:

lab^*ch^* und lab^*icu^*

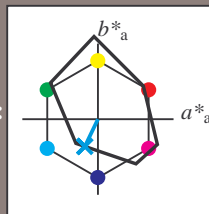
Elementar-Bunttontext:

$u^* = g75b$

Kontrastreduzierungsfaktor:

$c_R = 1.0$

Dreiecks-Helligkeit i^*



FRS09_92a; adaptierte CIELAB-Daten

	$L^*=L_a^*$	a_a^*	b_a^*	$C_{ab,a}^*$	$h_{ab,a}^*$
O _{Ma}	35.06	60.0	44.0	74.4	36
Y _{Ma}	83.77	-5.16	109.32	109.44	93
L _{Ma}	44.13	-62.66	48.24	79.09	142
C _{Ma}	52.66	-29.13	-31.98	43.27	228
V _{Ma}	14.15	50.3	-59.03	77.57	310
M _{Ma}	37.37	78.64	-33.49	85.48	337
N _{Ma}	8.58	0.0	0.0	0.0	0
W _{Ma}	92.02	0.0	0.0	0.0	0
R _{CIE}	39.92	58.74	27.99	65.07	25
J _{CIE}	81.26	-2.88	71.56	71.62	92
G _{CIE}	52.23	-42.41	13.6	44.55	162
B _{CIE}	30.57	1.41	-46.46	46.49	272

Daten für Maximalfarbe (Ma):

$LAB^*LAB^*_{Ma}$: 47 -16 -35

$LAB^*LCH^*_{Ma}$: 47 40 244

$lab^*rgb^*_{Ma}$: 0.0 0.5 1.0

$lab^*olv^*_{Ma}$: 0.0 0.85 1.0

Dreiecks-Helligkeit i^*

%Umfang

$u^*_{rel} = 109$

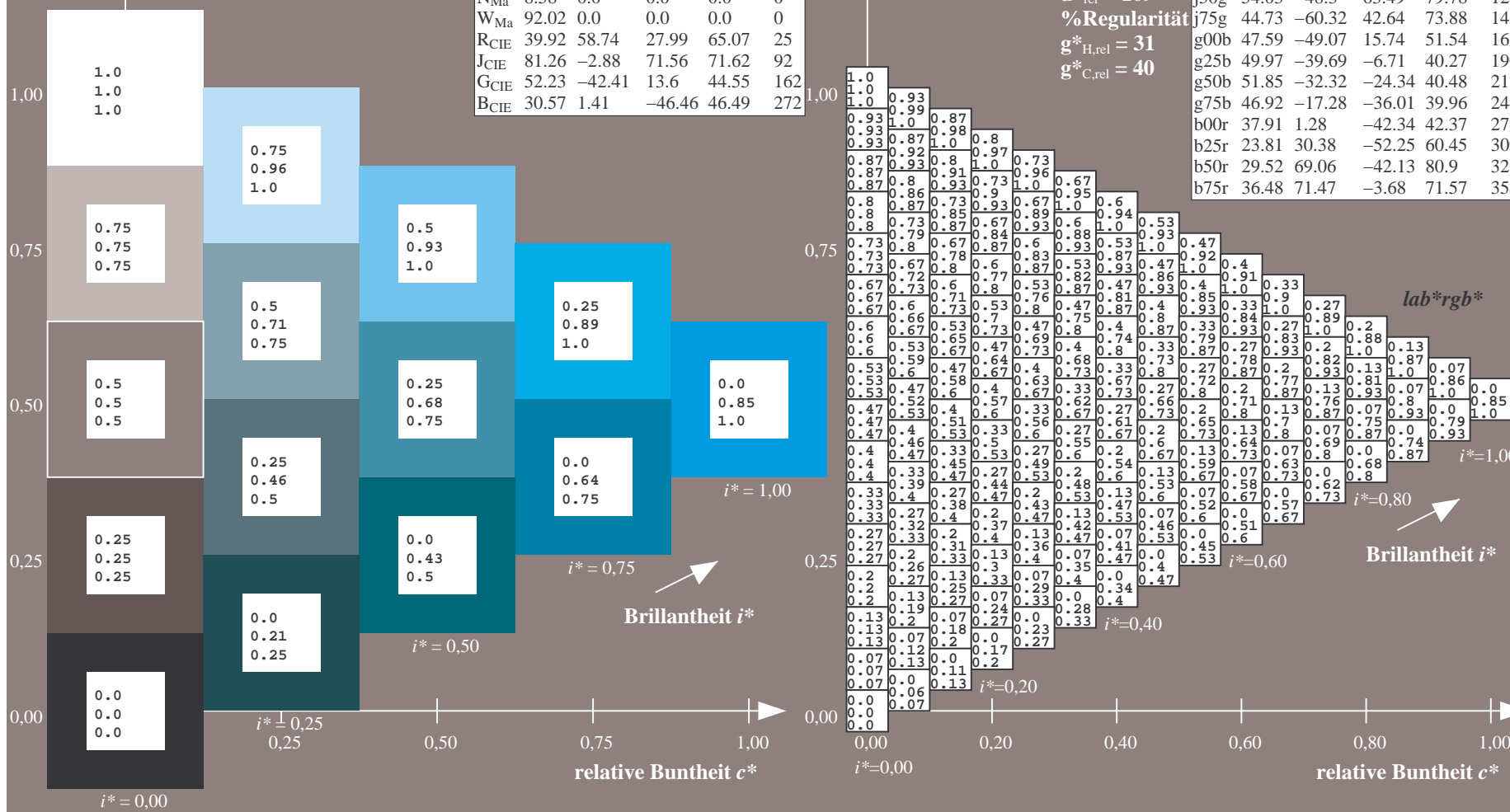
%Regularität

$g^*_{H,rel} = 31$

$g^*_{C,rel} = 40$

FRS09_92a; adaptierte CIELAB-Daten

	$L^*=L_a^*$	a_a^*	b_a^*	$C_{ab,a}^*$	$h_{ab,a}^*$
r00j	35.47	63.32	30.17	70.15	25
r25j	39.12	54.56	49.45	73.64	42
r50j	50.64	39.15	64.89	75.79	59
r75j	64.01	21.26	82.83	85.52	76
j00g	83.18	-4.37	108.53	108.62	92
j25g	66.73	-29.88	83.06	88.28	110
j50g	54.03	-48.3	63.49	79.78	127
j75g	44.73	-60.32	42.64	73.88	145
g00b	47.59	-49.07	15.74	51.54	162
g25b	49.97	-39.69	-6.71	40.27	190
g50b	51.85	-32.32	-24.34	40.48	217
g75b	46.92	-17.28	-36.01	39.96	244
b00r	37.91	1.28	-42.34	42.37	272
b25r	23.81	30.38	-52.25	60.45	300
b50r	29.52	69.06	-42.13	80.9	329
b75r	36.48	71.47	-3.68	71.57	357



Ein und Ausgabe: Farbmetrisches Drucker-Reflektiv-System FRS09_92a für relativen CIELAB-Buntton $h^* = lab^*h^* = h_{ab}/360 = 272/360 = 0.755$ $u^* = b00r$

Daten für jede Farbe:

lab^*ch^* und lab^*icu^*

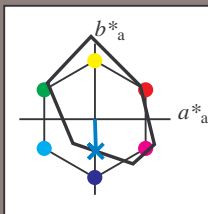
Elementar-Bunttontext:

$u^* = b00r$

Kontrastreduzierungsfaktor:

$c_R = 1.0$

Dreiecks-Helligkeit i^*



FRS09_92a; adaptierte CIELAB-Daten

	$L^*=L_a^*$	a^*_a	b^*_a	$C^*_{ab,a}$	$h^*_{ab,a}$
O _{Ma}	35.06	60.0	44.0	74.4	36
Y _{Ma}	83.77	-5.16	109.32	109.44	93
L _{Ma}	44.13	-62.66	48.24	79.09	142
C _{Ma}	52.66	-29.13	-31.98	43.27	228
V _{Ma}	14.15	50.3	-59.03	77.57	310
M _{Ma}	37.37	78.64	-33.49	85.48	337
N _{Ma}	8.58	0.0	0.0	0.0	0
W _{Ma}	92.02	0.0	0.0	0.0	0
R _{CIE}	39.92	58.74	27.99	65.07	25
J _{CIE}	81.26	-2.88	71.56	71.62	92
G _{CIE}	52.23	-42.41	13.6	44.55	162
B _{CIE}	30.57	1.41	-46.46	46.49	272

Daten für Maximalfarbe (Ma):

$LAB^*LAB^*_{Ma}$: 38 1 -41

$LAB^*LCH^*_{Ma}$: 38 42 272

$lab^*rgb^*_{Ma}$: 0.0 0.0 1.0

$lab^*olv^*_{Ma}$: 0.0 0.62 1.0

Dreiecks-Helligkeit i^*

%Umfang

$u^*_{rel} = 109$

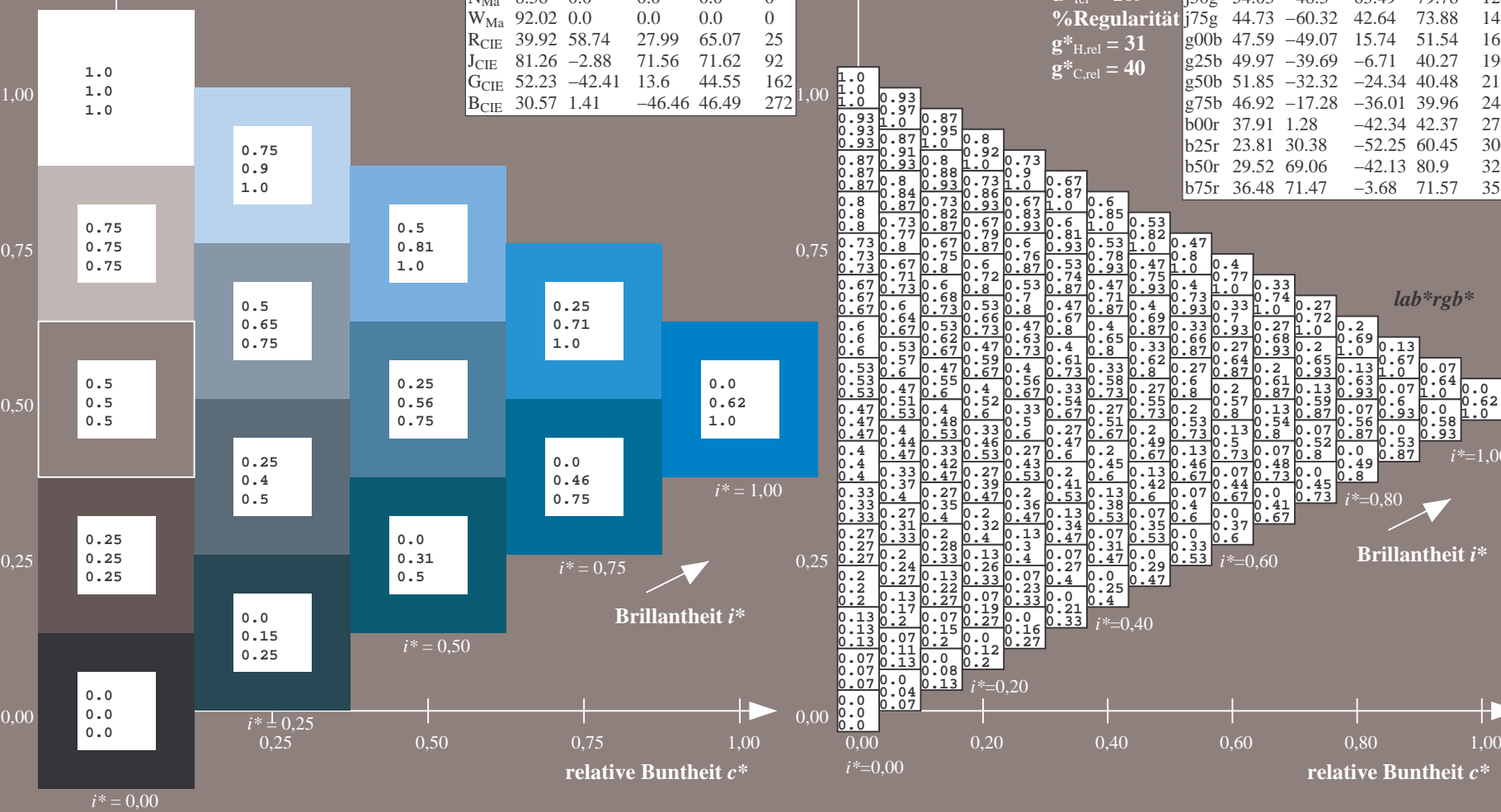
%Regularität

$g^*_{H,rel} = 31$

$g^*_{C,rel} = 40$

FRS09_92a; adaptierte CIELAB-Daten

	$L^*=L_a^*$	a^*_a	b^*_a	$C^*_{ab,a}$	$h^*_{ab,a}$
r00j	35.47	63.32	30.17	70.15	25
r25j	39.12	54.56	49.45	73.64	42
r50j	50.64	39.15	64.89	75.79	59
r75j	64.01	21.26	82.83	85.52	76
j00g	83.18	-4.37	108.53	108.62	92
j25g	66.73	-29.88	83.06	88.28	110
j50g	54.03	-48.3	63.49	79.78	127
j75g	44.73	-60.32	42.64	73.88	145
g00b	47.59	-49.07	15.74	51.54	162
g25b	49.97	-39.69	-6.71	40.27	190
g50b	51.85	-32.32	-24.34	40.48	217
g75b	46.92	-17.28	-36.01	39.96	244
b00r	37.91	1.28	-42.34	42.37	272
b25r	23.81	30.38	-52.25	60.45	300
b50r	29.52	69.06	-42.13	80.9	329
b75r	36.48	71.47	-3.68	71.57	357



Ein und Ausgabe: Farbmetrisches Drucker-Reflektiv-System FRS09_92a für relativen CIELAB-Buntton $h^* = lab^*h^* = h_{ab}/360 = 300/360 = 0.834$ $u^* = b25r$

Daten für jede Farbe:

lab^*ch^* und lab^*icu^*

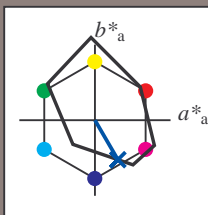
Elementar-Bunttontext:

$u^* = b25r$

Kontrastreduzierungsfaktor:

$c_R = 1.0$

Dreiecks-Helligkeit i^*



FRS09_92a; adaptierte CIELAB-Daten

	$L^*=L_a^*$	a_a^*	b_a^*	$C^*_{ab,a}$	$h^*_{ab,a}$
O _{Ma}	35.06	60.0	44.0	74.4	36
Y _{Ma}	83.77	-5.16	109.32	109.44	93
L _{Ma}	44.13	-62.66	48.24	79.09	142
C _{Ma}	52.66	-29.13	-31.98	43.27	228
V _{Ma}	14.15	50.3	-59.03	77.57	310
M _{Ma}	37.37	78.64	-33.49	85.48	337
N _{Ma}	8.58	0.0	0.0	0.0	0
W _{Ma}	92.02	0.0	0.0	0.0	0
R _{CIE}	39.92	58.74	27.99	65.07	25
J _{CIE}	81.26	-2.88	71.56	71.62	92
G _{CIE}	52.23	-42.41	13.6	44.55	162
B _{CIE}	30.57	1.41	-46.46	46.49	272

Daten für Maximalfarbe (Ma):

$LAB^*LAB^*_{Ma}$: 24 30 -51

$LAB^*LCH^*_{Ma}$: 24 60 300

$lab^*rgb^*_{Ma}$: 0.5 0.0 1.0

$lab^*olv^*_{Ma}$: 0.0 0.25 1.0

Dreiecks-Helligkeit i^*

%Umfang

$u^*_{rel} = 109$

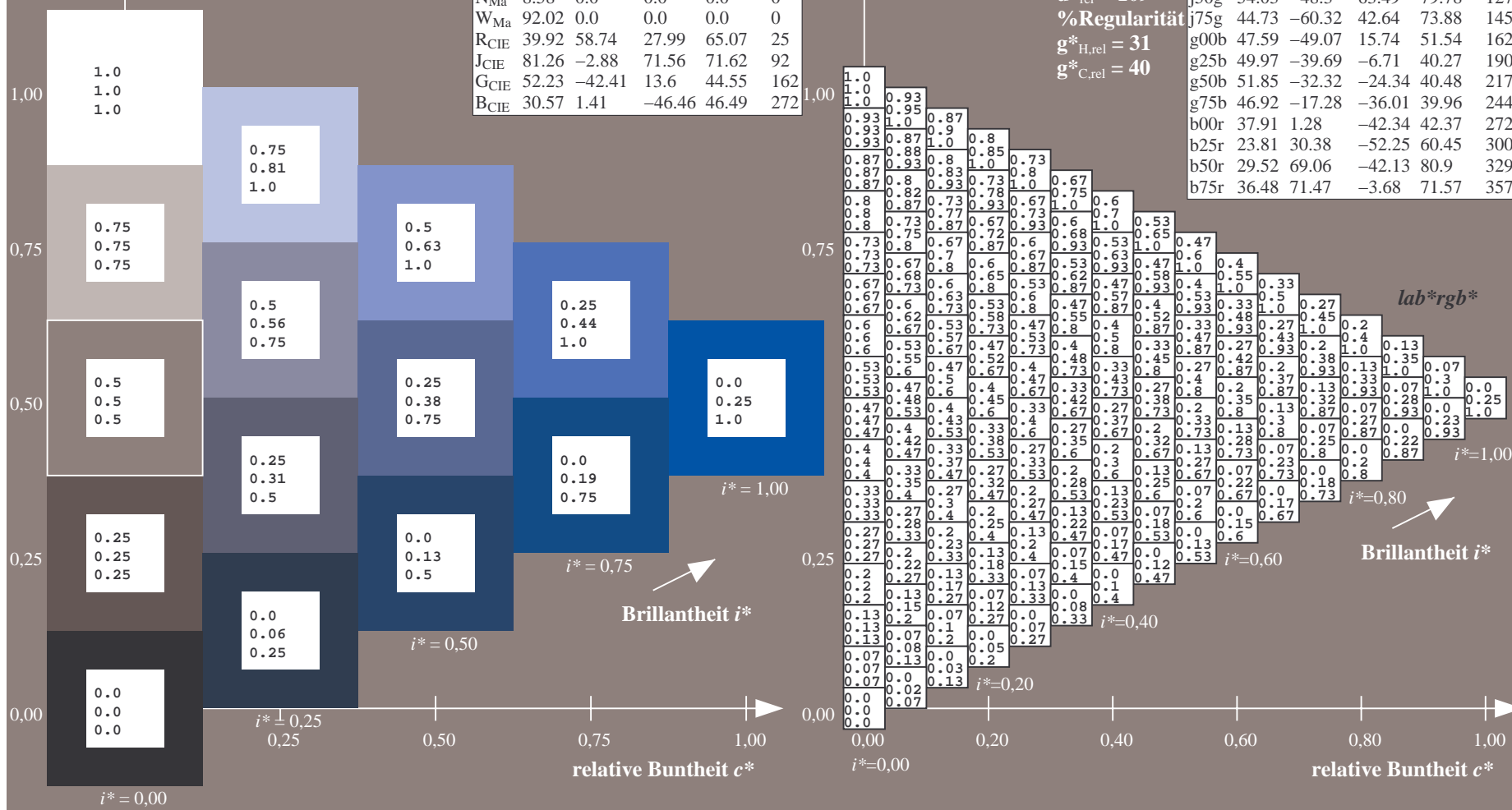
%Regularität

$g^*_{H,rel} = 31$

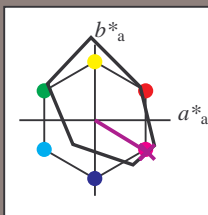
$g^*_{C,rel} = 40$

FRS09_92a; adaptierte CIELAB-Daten

	$L^*=L_a^*$	a_a^*	b_a^*	$C^*_{ab,a}$	$h^*_{ab,a}$
r00j	35.47	63.32	30.17	70.15	25
r25j	39.12	54.56	49.45	73.64	42
r50j	50.64	39.15	64.89	75.79	59
r75j	64.01	21.26	82.83	85.52	76
j00g	83.18	-4.37	108.53	108.62	92
j25g	66.73	-29.88	83.06	88.28	110
j50g	54.03	-48.3	63.49	79.78	127
j75g	44.73	-60.32	42.64	73.88	145
g00b	47.59	-49.07	15.74	51.54	162
g25b	49.97	-39.69	-6.71	40.27	190
g50b	51.85	-32.32	-24.34	40.48	217
g75b	46.92	-17.28	-36.01	39.96	244
b00r	37.91	1.28	-42.34	42.37	272
b25r	23.81	30.38	-52.25	60.45	300
b50r	29.52	69.06	-42.13	80.9	329
b75r	36.48	71.47	-3.68	71.57	357



Ein und Ausgabe: Farbmetrisches Drucker-Reflektiv-System FRS09_92a für relativen CIELAB-Buntton $h^* = lab^*h^* = h_{ab}/360 = 329/360 = 0.913$ $u^* = b50r$
Daten für jede Farbe: lab^*ch^* und lab^*icu^*
Elementar-Bunttontext: $u^* = b50r$
Kontrastreduzierungsfaktor: $c_R = 1.0$
Dreiecks-Helligkeit i^*



FRS09_92a; adaptierte CIELAB-Daten					
	$L^*=L^*_a$	a^*_a	b^*_a	$C^*_{ab,a}$	$h^*_{ab,a}$
O _{Ma}	35.06	60.0	44.0	74.4	36
Y _{Ma}	83.77	-5.16	109.32	109.44	93
L _{Ma}	44.13	-62.66	48.24	79.09	142
C _{Ma}	52.66	-29.13	-31.98	43.27	228
V _{Ma}	14.15	50.3	-59.03	77.57	310
M _{Ma}	37.37	78.64	-33.49	85.48	337
N _{Ma}	8.58	0.0	0.0	0.0	0
W _{Ma}	92.02	0.0	0.0	0.0	0
R _{CIE}	39.92	58.74	27.99	65.07	25
J _{CIE}	81.26	-2.88	71.56	71.62	92
G _{CIE}	52.23	-42.41	13.6	44.55	162
B _{CIE}	30.57	1.41	-46.46	46.49	272

Daten für Maximalfarbe (Ma):

$LAB^*LAB^*_{Ma}$: 30 69 -41

$LAB^*LCH^*_{Ma}$: 30 81 329

$lab^*rgb^*_{Ma}$: 1.0 0.0 1.0

$lab^*olv^*_{Ma}$: 0.66 0.0 1.0

Dreiecks-Helligkeit i^*

%Umfang

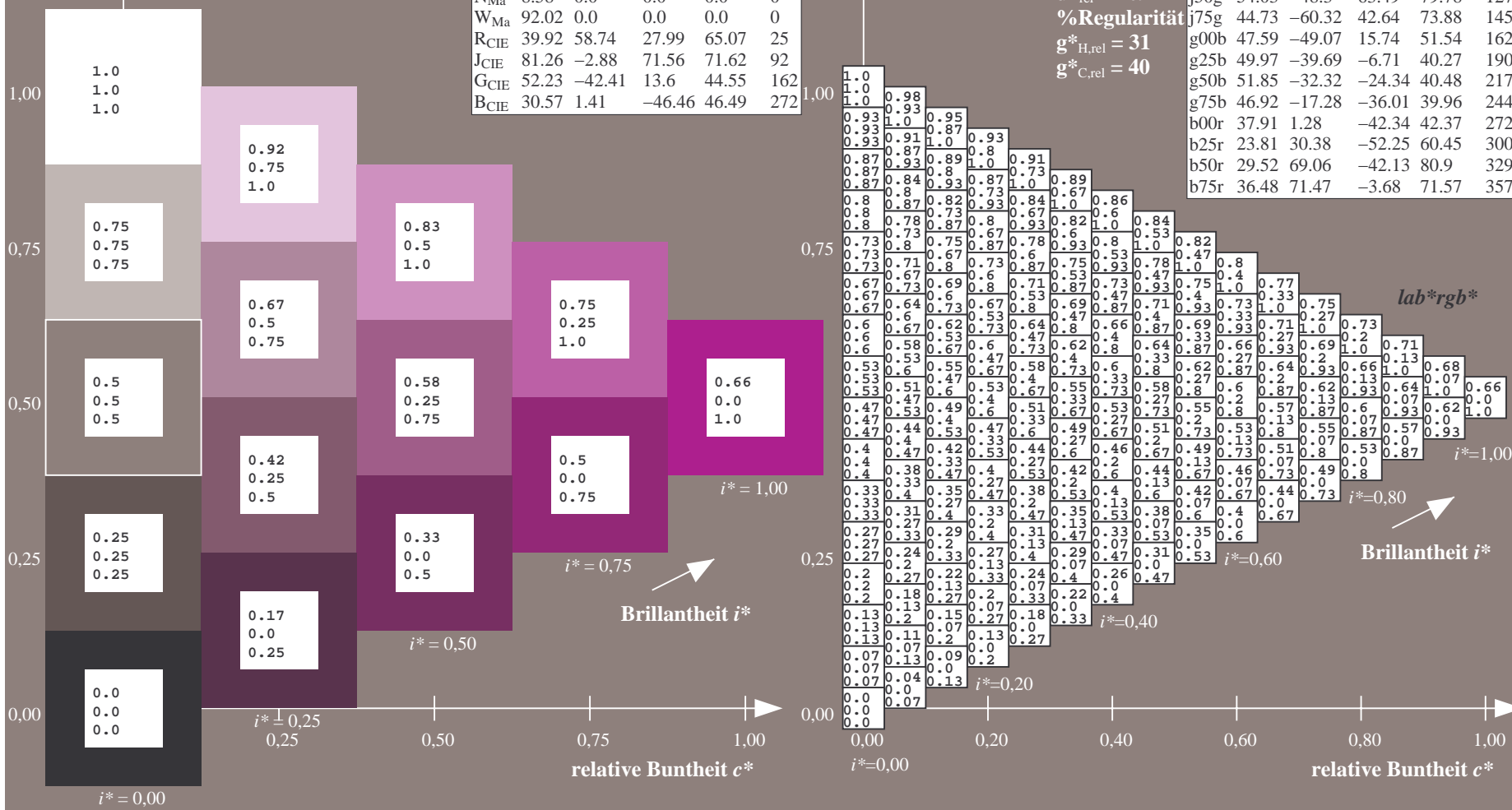
$u^*_{rel} = 109$

%Regularität

$g^*_{H,rel} = 31$

$g^*_{C,rel} = 40$

FRS09_92a; adaptierte CIELAB-Daten					
	$L^*=L^*_a$	a^*_a	b^*_a	$C^*_{ab,a}$	$h^*_{ab,a}$
r00j	35.47	63.32	30.17	70.15	25
r25j	39.12	54.56	49.45	73.64	42
r50j	50.64	39.15	64.89	75.79	59
r75j	64.01	21.26	82.83	85.52	76
j00g	83.18	-4.37	108.53	108.62	92
j25g	66.73	-29.88	83.06	88.28	110
j50g	54.03	-48.3	63.49	79.78	127
j75g	44.73	-60.32	42.64	73.88	145
g00b	47.59	-49.07	15.74	51.54	162
g25b	49.97	-39.69	-6.71	40.27	190
g50b	51.85	-32.32	-24.34	40.48	217
g75b	46.92	-17.28	-36.01	39.96	244
b00r	37.91	1.28	-42.34	42.37	272
b25r	23.81	30.38	-52.25	60.45	300
b50r	29.52	69.06	-42.13	80.9	329
b75r	36.48	71.47	-3.68	71.57	357



Ein und Ausgabe: Farbmetrisches Drucker-Reflektiv-System FRS09_92a für relativen CIELAB-Buntton $h^* = lab^*h^* = h_{ab}/360 = 357/360 = 0.992$ $u^* = b75r$

Daten für jede Farbe:

lab^*ch^* und lab^*icu^*

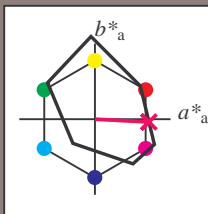
Elementar-Bunttontext:

$u^* = b75r$

Kontrastreduzierungsfaktor:

$c_R = 1.0$

Dreiecks-Helligkeit i^*



FRS09_92a; adaptierte CIELAB-Daten

	$L^*=L_a^*$	a^*_a	b^*_a	$C^*_{ab,a}$	$h^*_{ab,a}$
O _{Ma}	35.06	60.0	44.0	74.4	36
Y _{Ma}	83.77	-5.16	109.32	109.44	93
L _{Ma}	44.13	-62.66	48.24	79.09	142
C _{Ma}	52.66	-29.13	-31.98	43.27	228
V _{Ma}	14.15	50.3	-59.03	77.57	310
M _{Ma}	37.37	78.64	-33.49	85.48	337
N _{Ma}	8.58	0.0	0.0	0.0	0
W _{Ma}	92.02	0.0	0.0	0.0	0
R _{CIE}	39.92	58.74	27.99	65.07	25
J _{CIE}	81.26	-2.88	71.56	71.62	92
G _{CIE}	52.23	-42.41	13.6	44.55	162
B _{CIE}	30.57	1.41	-46.46	46.49	272

Daten für Maximalfarbe (Ma):

$LAB^*LAB^*_{Ma}$: 36 71 -3

$LAB^*LCH^*_{Ma}$: 36 72 357

$lab^*rgb^*_{Ma}$: 1.0 0.0 0.5

$lab^*olv^*_{Ma}$: 1.0 0.0 0.62

Dreiecks-Helligkeit i^*

%Umfang

$u^*_{rel} = 109$

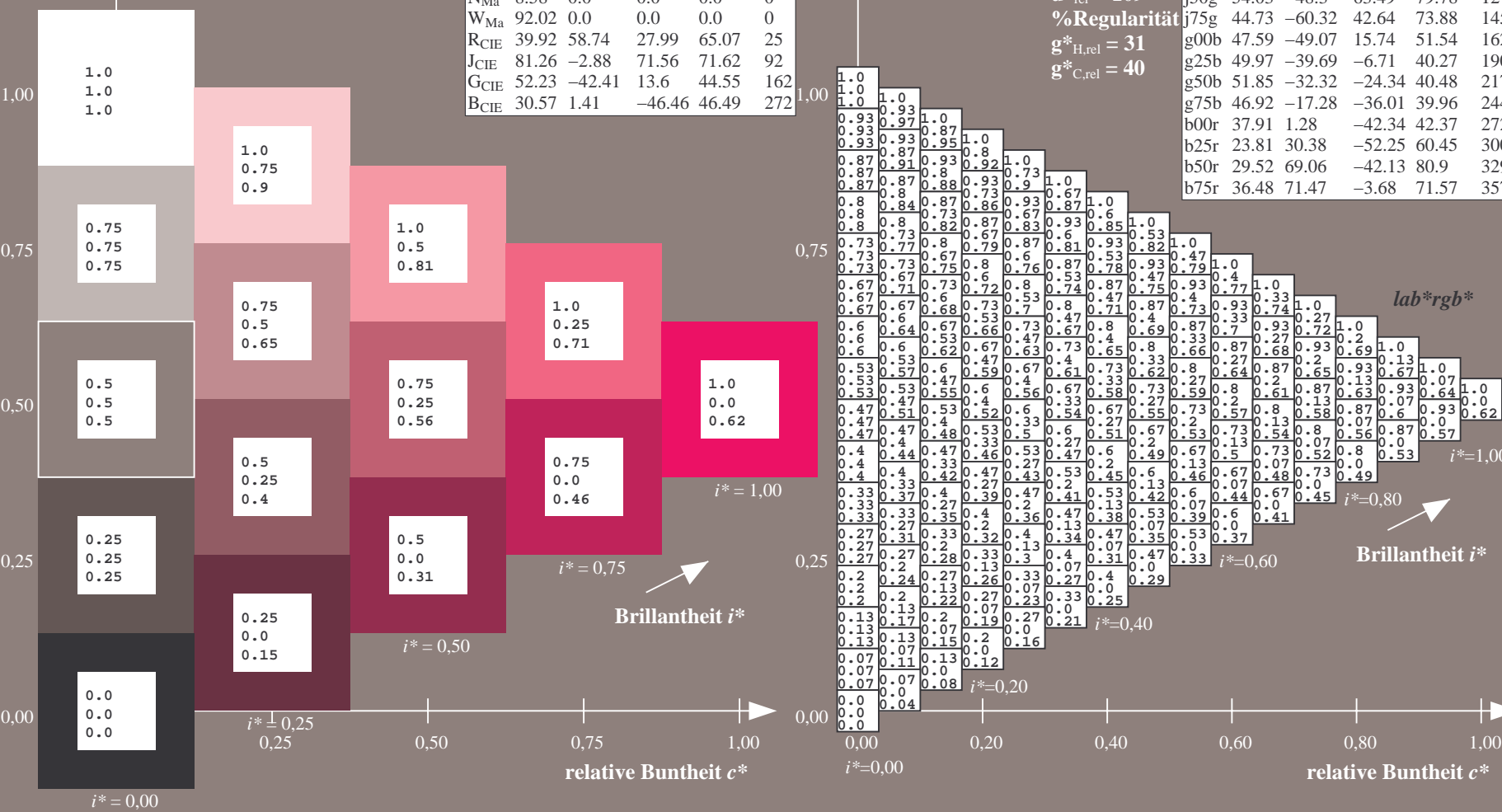
%Regularität

$g^*_{H,rel} = 31$

$g^*_{C,rel} = 40$

FRS09_92a; adaptierte CIELAB-Daten

	$L^*=L_a^*$	a^*_a	b^*_a	$C^*_{ab,a}$	$h^*_{ab,a}$
r00j	35.47	63.32	30.17	70.15	25
r25j	39.12	54.56	49.45	73.64	42
r50j	50.64	39.15	64.89	75.79	59
r75j	64.01	21.26	82.83	85.52	76
j00g	83.18	-4.37	108.53	108.62	92
j25g	66.73	-29.88	83.06	88.28	110
j50g	54.03	-48.3	63.49	79.78	127
j75g	44.73	-60.32	42.64	73.88	145
g00b	47.59	-49.07	15.74	51.54	162
g25b	49.97	-39.69	-6.71	40.27	190
g50b	51.85	-32.32	-24.34	40.48	217
g75b	46.92	-17.28	-36.01	39.96	244
b00r	37.91	1.28	-42.34	42.37	272
b25r	23.81	30.38	-52.25	60.45	300
b50r	29.52	69.06	-42.13	80.9	329
b75r	36.48	71.47	-3.68	71.57	357



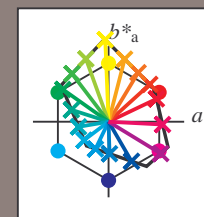
Siehe ähnliche Dateien: <http://www.ps.bam.de/Dg96/>; www.ps.bam.de/Dg.HTM
Technische Information: <http://www.ps.bam.de> Version 2.1, io=1.1, ColSp=0

ANwendung für Beurteilung und Messung von Drucker- oder Monitorsystemen
 BAM-Registrierung: 20080/01-Dg96/10/L96G00NP.PS/.PDF BAM-Material:

	A	B	C	D	E	F	G	H	I	J	K	L	M	N	O	P	Q	R	S	T	U	V	W	X	Y	Z	a	b	c	d	e	f	g	h	i	j	k	lab*rgb*			
01	0.0	0.0	0.0	0.0	0.0	0.0	0.0	0.0	0.0	0.13	0.13	0.13	0.13	0.13	0.13	0.13	0.13	0.13	0.25	0.25	0.25	0.25	0.25	0.25	0.25	0.25	0.25	1.0	1.0	1.0	1.0	1.0	1.0	1.0	1.0	1.0	1.0	0.0	0.0	0.0	
	0.0	0.13	0.25	0.38	0.5	0.63	0.75	0.88	1.0	0.0	0.13	0.25	0.38	0.5	0.63	0.75	0.88	1.0	0.0	0.13	0.25	0.38	0.5	0.63	0.75	0.88	1.0	1.0	0.88	0.75	0.63	0.5	0.38	0.25	0.13	0.0	0.0	0.0	0.0	0.0	
	0.0	0.0	0.0	0.0	0.0	0.0	0.0	0.0	0.0	0.0	0.0	0.0	0.0	0.0	0.0	0.0	0.0	0.0	0.0	0.0	0.0	0.0	0.0	0.0	0.0	0.0	0.0	1.0	0.88	0.75	0.63	0.5	0.38	0.25	0.13	0.0	0.0	0.0	0.0	0.0	
02	0.0	0.0	0.0	0.0	0.0	0.0	0.0	0.0	0.0	0.13	0.13	0.13	0.13	0.13	0.13	0.13	0.13	0.13	0.25	0.25	0.25	0.25	0.25	0.25	0.25	0.25	0.25	0.88	0.88	0.88	0.88	0.88	0.88	0.88	0.88	0.88	0.88	0.13	0.13	0.13	0.13
	0.0	0.13	0.25	0.38	0.5	0.63	0.75	0.88	1.0	0.0	0.13	0.25	0.38	0.5	0.63	0.75	0.88	1.0	0.0	0.13	0.25	0.38	0.5	0.63	0.75	0.88	1.0	1.0	0.88	0.75	0.63	0.5	0.38	0.25	0.13	0.0	0.13	0.13	0.13	0.13	
	0.13	0.13	0.13	0.13	0.13	0.13	0.13	0.13	0.13	0.13	0.13	0.13	0.13	0.13	0.13	0.13	0.13	0.13	0.13	0.13	0.13	0.13	0.13	0.13	0.13	0.13	0.13	1.0	0.88	0.75	0.63	0.5	0.38	0.25	0.13	0.0	0.13	0.13	0.13	0.13	
03	0.0	0.0	0.0	0.0	0.0	0.0	0.0	0.0	0.0	0.13	0.13	0.13	0.13	0.13	0.13	0.13	0.13	0.13	0.25	0.25	0.25	0.25	0.25	0.25	0.25	0.25	0.25	0.75	0.75	0.75	0.75	0.75	0.75	0.75	0.75	0.75	0.75	0.25	0.25	0.25	0.25
	0.0	0.13	0.25	0.38	0.5	0.63	0.75	0.88	1.0	0.0	0.13	0.25	0.38	0.5	0.63	0.75	0.88	1.0	0.0	0.13	0.25	0.38	0.5	0.63	0.75	0.88	1.0	1.0	0.88	0.75	0.63	0.5	0.38	0.25	0.13	0.0	0.25	0.25	0.25	0.25	
	0.25	0.25	0.25	0.25	0.25	0.25	0.25	0.25	0.25	0.25	0.25	0.25	0.25	0.25	0.25	0.25	0.25	0.25	0.25	0.25	0.25	0.25	0.25	0.25	0.25	0.25	0.25	1.0	0.88	0.75	0.63	0.5	0.38	0.25	0.13	0.0	0.25	0.25	0.25	0.25	
04	0.0	0.0	0.0	0.0	0.0	0.0	0.0	0.0	0.0	0.13	0.13	0.13	0.13	0.13	0.13	0.13	0.13	0.13	0.25	0.25	0.25	0.25	0.25	0.25	0.25	0.25	0.25	0.63	0.63	0.63	0.63	0.63	0.63	0.63	0.63	0.63	0.63	0.38	0.38	0.38	0.38
	0.0	0.13	0.25	0.38	0.5	0.63	0.75	0.88	1.0	0.0	0.13	0.25	0.38	0.5	0.63	0.75	0.88	1.0	0.0	0.13	0.25	0.38	0.5	0.63	0.75	0.88	1.0	1.0	0.88	0.75	0.63	0.5	0.38	0.25	0.13	0.0	0.38	0.38	0.38	0.38	
	0.38	0.38	0.38	0.38	0.38	0.38	0.38	0.38	0.38	0.13	0.13	0.13	0.13	0.13	0.13	0.13	0.13	0.13	0.38	0.38	0.38	0.38	0.38	0.38	0.38	0.38	0.38	1.0	0.88	0.75	0.63	0.5	0.38	0.25	0.13	0.0	0.38	0.38	0.38	0.38	
05	0.0	0.0	0.0	0.0	0.0	0.0	0.0	0.0	0.0	0.13	0.13	0.13	0.13	0.13	0.13	0.13	0.13	0.13	0.25	0.25	0.25	0.25	0.25	0.25	0.25	0.25	0.25	0.5	0.5	0.5	0.5	0.5	0.5	0.5	0.5	0.5	0.5	0.5	0.5	0.5	
	0.0	0.13	0.25	0.38	0.5	0.63	0.75	0.88	1.0	0.0	0.13	0.25	0.38	0.5	0.63	0.75	0.88	1.0	0.0	0.13	0.25	0.38	0.5	0.63	0.75	0.88	1.0	1.0	0.88	0.75	0.63	0.5	0.38	0.25	0.13	0.0	0.5	0.5	0.5	0.5	
	0.5	0.5	0.5	0.5	0.5	0.5	0.5	0.5	0.5	0.5	0.5	0.5	0.5	0.5	0.5	0.5	0.5	0.5	0.5	0.5	0.5	0.5	0.5	0.5	0.5	0.5	0.5	1.0	0.88	0.75	0.63	0.5	0.38	0.25	0.13	0.0	0.5	0.5	0.5	0.5	
06	0.0	0.0	0.0	0.0	0.0	0.0	0.0	0.0	0.0	0.13	0.13	0.13	0.13	0.13	0.13	0.13	0.13	0.13	0.25	0.25	0.25	0.25	0.25	0.25	0.25	0.25	0.25	0.38	0.38	0.38	0.38	0.38	0.38	0.38	0.38	0.38	0.38	0.63	0.63	0.63	0.63
	0.0	0.13	0.25	0.38	0.5	0.63	0.75	0.88	1.0	0.0	0.13	0.25	0.38	0.5	0.63	0.75	0.88	1.0	0.0	0.13	0.25	0.38	0.5	0.63	0.75	0.88	1.0	1.0	0.88	0.75	0.63	0.5	0.38	0.25	0.13	0.0	0.63	0.63	0.63	0.63	
	0.63	0.63	0.63	0.63	0.63	0.63	0.63	0.63	0.63	0.13	0.13	0.13	0.13	0.13	0.13	0.13	0.13	0.13	0.63	0.63	0.63	0.63	0.63	0.63	0.63	0.63	0.63	1.0	0.88	0.75	0.63	0.5	0.38	0.25	0.13	0.0	0.63	0.63	0.63	0.63	
07	0.0	0.0	0.0	0.0	0.0	0.0	0.0	0.0	0.0	0.13	0.13	0.13	0.13	0.13	0.13	0.13	0.13	0.13	0.25	0.25	0.25	0.25	0.25	0.25	0.25	0.25	0.25	0.25	0.25	0.25	0.25	0.25	0.25	0.25	0.25	0.25	0.25	0.75	0.75	0.75	0.75
	0.0	0.13	0.25	0.38	0.5	0.63	0.75	0.88	1.0	0.0	0.13	0.25	0.38	0.5	0.63	0.75	0.88	1.0	0.0	0.13	0.25	0.38	0.5	0.63	0.75	0.88	1.0	1.0	0.88	0.75	0.63	0.5	0.38	0.25	0.13	0.0	0.75	0.75	0.75	0.75	
	0.75	0.75	0.75	0.75	0.75	0.75	0.75	0.75	0.75	0.75	0.75	0.75	0.75	0.75	0.75	0.75	0.75	0.75	0.75	0.75	0.75	0.75	0.75	0.75	0.75	0.75	0.75	1.0	0.88	0.75	0.63	0.5	0.38	0.25	0.13	0.0	0.75	0.75	0.75	0.75	
08	0.0	0.0	0.0	0.0	0.0	0.0	0.0	0.0	0.0	0.13	0.13	0.13	0.13	0.13	0.13	0.13	0.13	0.13	0.25	0.25	0.25	0.25	0.25	0.25	0.25	0.25	0.25	0.25	0.25	0.25	0.25	0.25	0.25	0.25	0.25	0.25	0.25	0.88	0.88	0.88	0.88
	0.0	0.13	0.25	0.38	0.5	0.63	0.75	0.88	1.0	0.0	0.13	0.25	0.38	0.5	0.63	0.75	0.88	1.0	0.0	0.13	0.25	0.38	0.5	0.63	0.75	0.88	1.0	1.0	0.88	0.75	0.63	0.5	0.38	0.25	0.13	0.0	0.88	0.88	0.88	0.88	
	0.88	0.88	0.88	0.88	0.88	0.88	0.88	0.88	0.88	0.88	0.88	0.88	0.88	0.88	0.88	0.88	0.88	0.88	0.88	0.88	0.88	0.88	0.88	0.88	0.88	0.88	0.88	1.0	0.88	0.75	0.63	0.5	0.38	0.25	0.13	0.0	0.88	0.88	0.88	0.88	
09	0.0	0.0	0.0	0.0	0.0	0.0	0.0	0.0	0.0	0.13	0.13	0.13	0.13	0.13	0.13	0.13	0.13	0.13	0.25	0.25	0.25	0.25	0.25	0.25	0.25	0.25	0.25	0.25	0.25	0.25	0.25	0.25	0.25	0.25	0.25	0.25	0.25	1.0	1.0	1.0	1.0
	0.0	0.13	0.25	0.38	0.5	0.63	0.75	0.88	1.0	0.0	0.13	0.25	0.38	0.5	0.63	0.75	0.88	1.0	0.0	0.13	0.25	0.38	0.5	0.63	0.75	0.88	1.0	1.0	0.88	0.75	0.63	0.5	0.38	0.25	0.13	0.0	1.0	1.0	1.0	1.0	
	1.0	1.0	1.0	1.0	1.0	1.0	1.0	1.0	1.0	1.0	1.0	1.0	1.0	1.0	1.0	1.0	1.0	1.0	1.0	1.0	1.0	1.0	1.0	1.0	1.0	1.0	1.0	1.0	1.0	1.0	1.0	1.0	1.0	1.0	1.0	1.0	1.0	1.0	1.0		
10	0.38	0.38	0.38	0.38	0.38	0.38	0.38	0.38	0.38	0.5	0.5	0.5	0.5	0.5	0.5	0.5	0.5	0.5	0.63	0.63	0.63	0.63	0.63	0.63	0.63	0.63	0.63	1.0	1.0	1.0	1.0	1.0	1.0	1.0	1.0	1.0	1.0	0.0	0.0	0.0	
	0.13	0.25	0.38	0.5	0.63	0.75	0.88	1.0	0.0	0.13	0.25	0.38	0.5	0.63	0.75	0.88	1.0	0.0	0.13	0.25	0.38	0.5	0.63	0.75	0.88	1.0	1.0	1.0	1.0	1.0	1.0	1.0	1.0	1.0	1.0	1.0	1.0	0.0	0.0	0.0	
	0.0	0.0	0.0	0.0	0.0	0.0	0.0	0.0	0.0	0.0	0.0	0.0	0.0	0.0	0.0	0.0	0.0	0.0	0.0	0.0	0.0	0.0	0.0	0.0	0.0	0.0	0.0	1.0	0.88	0.75	0.63	0.5	0.38	0.25	0.13	0.0	0.0	0.0	0.0		
11	0.38	0.38	0.38	0.38	0.38	0.38	0.38	0.38	0.38	0.5	0.5	0.5	0.5	0.5	0.5	0.5	0.5	0.5	0.63	0.63	0.63	0.63	0.63	0.63	0.63	0.63	0.63	0.88	0.88	0.88	0.88	0.88	0.88	0.88	0.88	0.88	0.88	0.07	0.07	0.07	0.07
	0.13	0.25	0.38	0.5	0.63	0.75	0.88	1.0	0.0	0.13	0.25	0.38	0.5	0.63	0.75	0.88	1.0	0.0	0.13	0.25	0.38	0.5	0.63	0.75	0.88	1.0	1.0	0.88	0.88	0.88	0.88	0.88	0.88	0.88	0.88	0.88	0.88	0.07	0.07	0.07	0.07
	0.13	0.13	0.13	0.13	0.13	0.13	0.13	0.13	0.13	0.13	0.13	0.13	0.13	0.13	0.13	0.13	0.13	0.13	0.13	0.13	0.13	0.13	0.13	0.13	0.13	0.13	1.0	0.88	0.75	0.63	0.5	0.38	0.25	0.13	0.0	0.07	0.07	0.07	0.07		
12	0.38	0.38	0.38	0.38	0.38	0.38	0.38	0.38	0.38	0.5	0.5	0.5	0.5	0.5	0.5	0.5	0.5	0.5	0.63	0.63	0.63	0.63	0.63	0.63	0.63	0.63	0.63	0.75	0.75	0.75	0.75	0.75	0.75	0.75	0.75	0.75	0.75	0.13	0.13	0.13	0.13
	0.13	0.25	0																																						

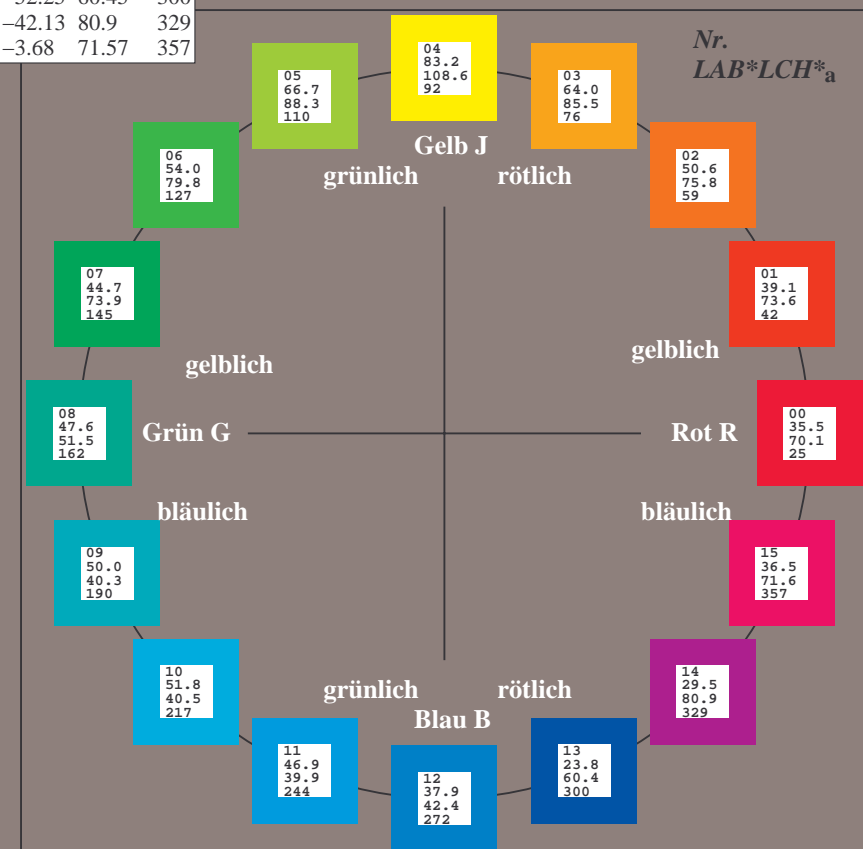
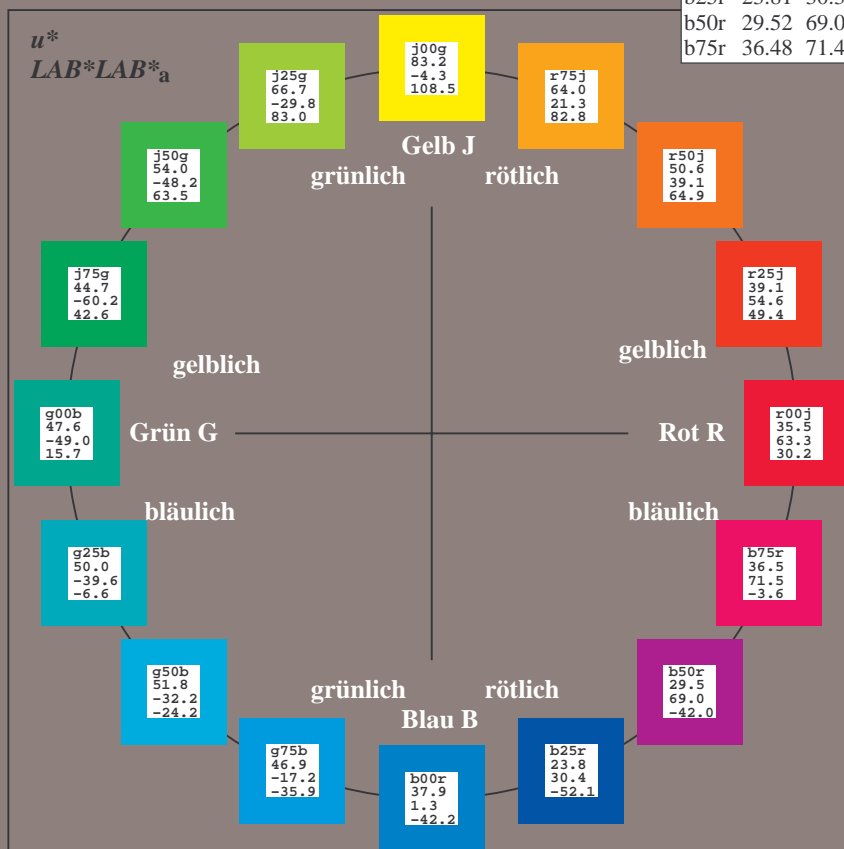
Ein und Ausgabe:
Farbmetrisches Drucker-Reflektiv-System FRS09_92a
Daten für jede Farbe:
*lab*_{rch}** und *lab*_{icu}**
Elementar-Bunttontext:
*u** = 16 Bunttöne *r00j*, *r25j*, ..., *b75r*
Kontrastreduzierungsfaktor:
 $c_R = 1.0$

FRS09_92a; adaptierte CIELAB-Daten					
	$L^*=L^*_a$	a^*_a	b^*_a	$C^*_{ab,a}$	$h^*_{ab,a}$
r00j	35.47	63.32	30.17	70.15	25
r25j	39.12	54.56	49.45	73.64	42
r50j	50.64	39.15	64.89	75.79	59
r75j	64.01	21.26	82.83	85.52	76
j00g	83.18	-4.37	108.53	108.62	92
j25g	66.73	-29.88	83.06	88.28	110
j50g	54.03	-48.3	63.49	79.78	127
j75g	44.73	-60.32	42.64	73.88	145
g00b	47.59	-49.07	15.74	51.54	162
g25b	49.97	-39.69	-6.71	40.27	190
g50b	51.85	-32.32	-24.34	40.48	217
g75b	46.92	-17.28	-36.01	39.96	244
b00r	37.91	1.28	-42.34	42.37	272
b25r	23.81	30.38	-52.25	60.45	300
b50r	29.52	69.06	-42.13	80.9	329
b75r	36.48	71.47	-3.68	71.57	357



%Umfang
 $u^*_{rel} = 109$
%Regularität
 $g^*_{H,rel} = 31$
 $g^*_{C,rel} = 40$

FRS09_92a; adaptierte CIELAB-Daten					
	$L^*=L^*_a$	a^*_a	b^*_a	$C^*_{ab,a}$	$h^*_{ab,a}$
OMa	35.06	60.0	44.0	74.4	36
YMa	83.77	-5.16	109.32	109.44	93
LMa	44.13	-62.66	48.24	79.09	142
CMa	52.66	-29.13	-31.98	43.27	228
VMa	14.15	50.3	-59.03	77.57	310
MMa	37.37	78.64	-33.49	85.48	337
NMa	8.58	0.0	0.0	0.0	0
WMa	92.02	0.0	0.0	0.0	0
RCIE	39.92	58.74	27.99	65.07	25
JCIE	81.26	-2.88	71.56	71.62	92
GCIE	52.23	-42.41	13.6	44.55	162
BCIE	30.57	1.41	-46.46	46.49	272



► **Stress Management:**



b75r	36.48	71.47	-3.68	71.57	357
------	-------	-------	-------	-------	-----



Ein und Ausgabe: Farbmetrisches Drucker-Reflektiv-System FRS09_92a für relativen CIELAB-Buntton $h^* = lab^*h^* = h_{ab}/360 = 42/360 = 0.117$ $u^* = r25j$

Daten für jede Farbe:

lab^*ch^* und lab^*icu^*

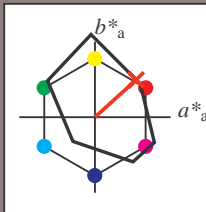
Elementar-Bunttontext:

$u^* = r25j$

Kontrastreduzierungsfaktor:

$c_R = 1.0$

Dreiecks-Helligkeit i^*



FRS09_92a; adaptierte CIELAB-Daten

	$L^*=L_a^*$	a_a^*	b_a^*	$C^*_{ab,a}$	$h^*_{ab,a}$
O _{Ma}	35.06	60.0	44.0	74.4	36
Y _{Ma}	83.77	-5.16	109.32	109.44	93
L _{Ma}	44.13	-62.66	48.24	79.09	142
C _{Ma}	52.66	-29.13	-31.98	43.27	228
V _{Ma}	14.15	50.3	-59.03	77.57	310
M _{Ma}	37.37	78.64	-33.49	85.48	337
N _{Ma}	8.58	0.0	0.0	0.0	0
W _{Ma}	92.02	0.0	0.0	0.0	0
R _{CIE}	39.92	58.74	27.99	65.07	25
J _{CIE}	81.26	-2.88	71.56	71.62	92
G _{CIE}	52.23	-42.41	13.6	44.55	162
B _{CIE}	30.57	1.41	-46.46	46.49	272

Daten für Maximalfarbe (Ma):

$LAB^*LAB^*_{Ma}$: 39 55 49

$LAB^*LCH^*_{Ma}$: 39 74 42

$lab^*rgb^*_{Ma}$: 1.0 0.25 0.0

$lab^*olv^*_{Ma}$: 1.0 0.08 0.0

Dreiecks-Helligkeit i^*

%Umfang

$u^*_{rel} = 109$

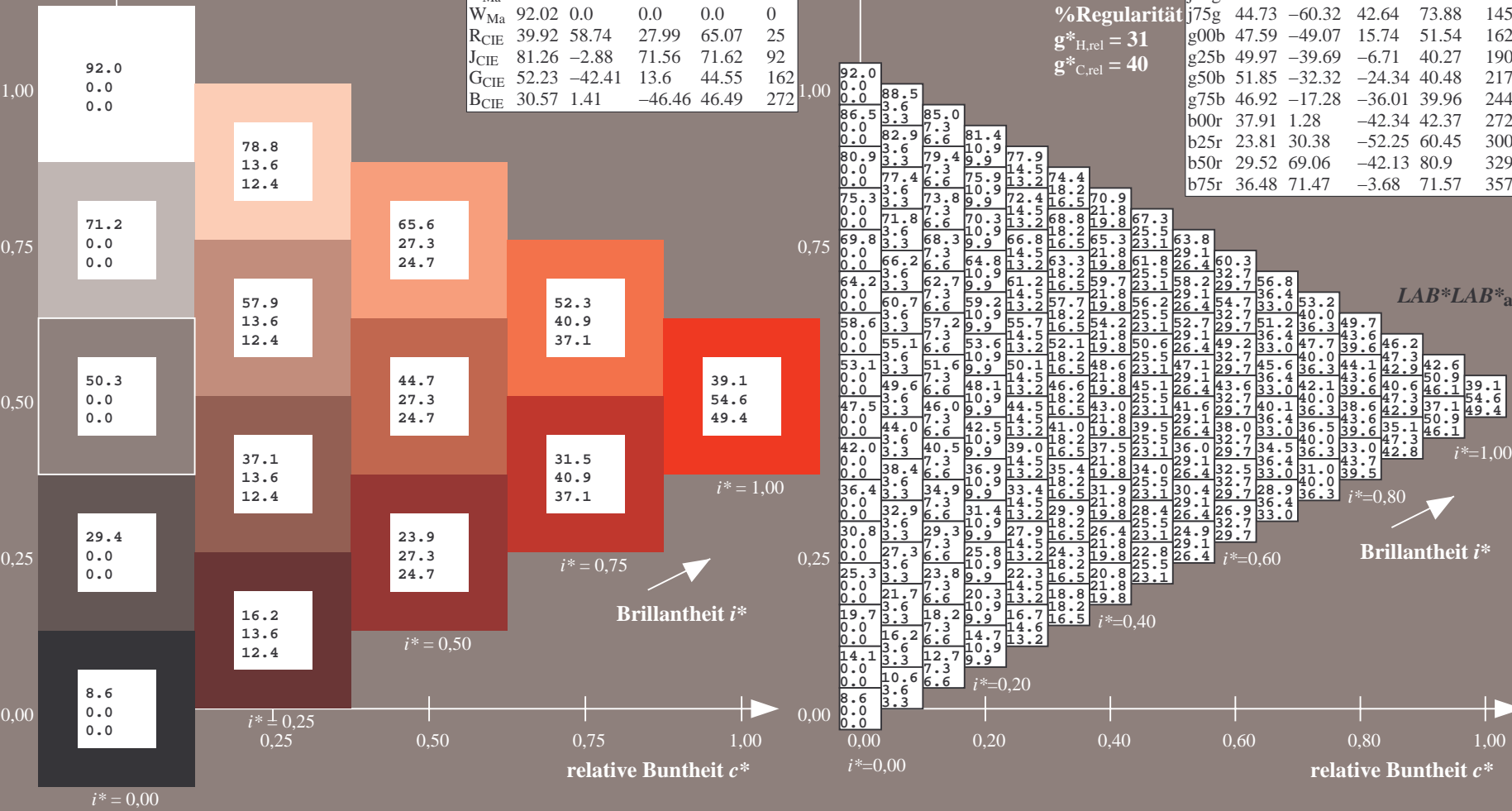
%Regularität

$g^*_{H,rel} = 31$

$g^*_{C,rel} = 40$

FRS09_92a; adaptierte CIELAB-Daten

	$L^*=L_a^*$	a_a^*	b_a^*	$C^*_{ab,a}$	$h^*_{ab,a}$
r00j	35.47	63.32	30.17	70.15	25
r25j	39.12	54.56	49.45	73.64	42
r50j	50.64	39.15	64.89	75.79	59
r75j	64.01	21.26	82.83	85.52	76
j00g	83.18	-4.37	108.53	108.62	92
j25g	66.73	-29.88	83.06	88.28	110
j50g	54.03	-48.3	63.49	79.78	127
j75g	44.73	-60.32	42.64	73.88	145
g00b	47.59	-49.07	15.74	51.54	162
g25b	49.97	-39.69	-6.71	40.27	190
g50b	51.85	-32.32	-24.34	40.48	217
g75b	46.92	-17.28	-36.01	39.96	244
b00r	37.91	1.28	-42.34	42.37	272
b25r	23.81	30.38	-52.25	60.45	300
b50r	29.52	69.06	-42.13	80.9	329
b75r	36.48	71.47	-3.68	71.57	357



Ein und Ausgabe: Farbmetrisches Drucker-Reflektiv-System FRS09_92a für relativen CIELAB-Buntton $h^* = lab^*h^* = h_{ab}/360 = 59/360 = 0.164$ $u^* = r50j$

Daten für jede Farbe:

lab^*ch^* und lab^*icu^*

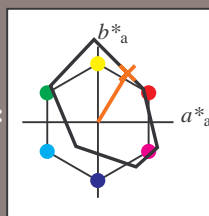
Elementar-Bunttontext:

$u^* = r50j$

Kontrastreduzierungsfaktor:

$c_R = 1.0$

Dreiecks-Helligkeit i^*



FRS09_92a; adaptierte CIELAB-Daten					
	$L^*=L^*_a$	a^*_a	b^*_a	$C^*_{ab,a}$	$h^*_{ab,a}$
O _{Ma}	35.06	60.0	44.0	74.4	36
Y _{Ma}	83.77	-5.16	109.32	109.44	93
L _{Ma}	44.13	-62.66	48.24	79.09	142
C _{Ma}	52.66	-29.13	-31.98	43.27	228
V _{Ma}	14.15	50.3	-59.03	77.57	310
M _{Ma}	37.37	78.64	-33.49	85.48	337
N _{Ma}	8.58	0.0	0.0	0.0	0
W _{Ma}	92.02	0.0	0.0	0.0	0
R _{CIE}	39.92	58.74	27.99	65.07	25
J _{CIE}	81.26	-2.88	71.56	71.62	92
G _{CIE}	52.23	-42.41	13.6	44.55	162
B _{CIE}	30.57	1.41	-46.46	46.49	272

Daten für Maximalfarbe (Ma):

$LAB^*LAB^*_{Ma}$: 51 39 65

$LAB^*LCH^*_{Ma}$: 51 76 59

$lab^*rgb^*_{Ma}$: 1.0 0.5 0.0

$lab^*olv^*_{Ma}$: 1.0 0.32 0.0

Dreiecks-Helligkeit i^*

%Umfang

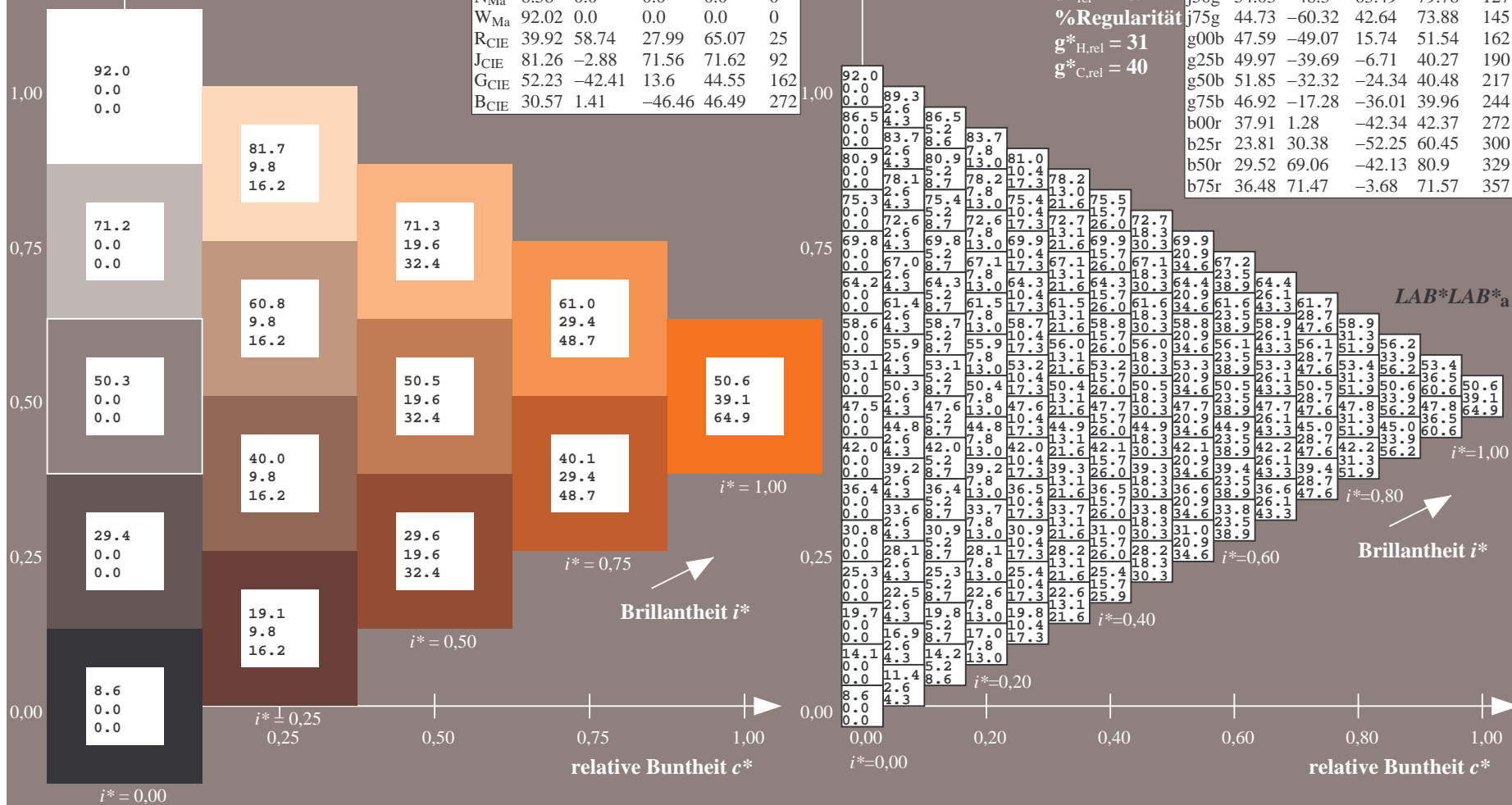
$u^*_{rel} = 109$

%Regularität

$g^*_{H,rel} = 31$

$g^*_{C,rel} = 40$

FRS09_92a; adaptierte CIELAB-Daten					
	$L^*=L^*_a$	a^*_a	b^*_a	$C^*_{ab,a}$	$h^*_{ab,a}$
r00j	35.47	63.32	30.17	70.15	25
r25j	39.12	54.56	49.45	73.64	42
r50j	50.64	39.15	64.89	75.79	59
r75j	64.01	21.26	82.83	85.52	76
j00g	83.18	-4.37	108.53	108.62	92
j25g	66.73	-29.88	83.06	88.28	110
j50g	54.03	-48.3	63.49	79.78	127
j75g	44.73	-60.32	42.64	73.88	145
g00b	47.59	-49.07	15.74	51.54	162
g25b	49.97	-39.69	-6.71	40.27	190
g50b	51.85	-32.32	-24.34	40.48	217
g75b	46.92	-17.28	-36.01	39.96	244
b00r	37.91	1.28	-42.34	42.37	272
b25r	23.81	30.38	-52.25	60.45	300
b50r	29.52	69.06	-42.13	80.9	329
b75r	36.48	71.47	-3.68	71.57	357



Ein und Ausgabe: Farbmetrisches Drucker-Reflektiv-System FRS09_92a für relativen CIELAB-Buntton $h^* = lab^*h^* = h_{ab}/360 = 76/360 = 0.21$

Daten für jede Farbe:

lab^*ch^* und lab^*icu^*

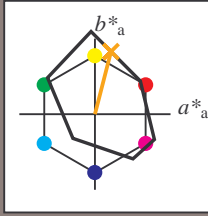
Elementar-Bunttontext:

$u^* = r75j$

Kontrastreduzierungsfaktor:

$c_R = 1.0$

Dreiecks-Helligkeit i^*



FRS09_92a; adaptierte CIELAB-Daten					
	$L^*=L^*_a$	a^*_a	b^*_a	$C^*_{ab,a}$	$h^*_{ab,a}$
O _{Ma}	35.06	60.0	44.0	74.4	36
Y _{Ma}	83.77	-5.16	109.32	109.44	93
L _{Ma}	44.13	-62.66	48.24	79.09	142
C _{Ma}	52.66	-29.13	-31.98	43.27	228
V _{Ma}	14.15	50.3	-59.03	77.57	310
M _{Ma}	37.37	78.64	-33.49	85.48	337
N _{Ma}	8.58	0.0	0.0	0.0	0
W _{Ma}	92.02	0.0	0.0	0.0	0
R _{CIE}	39.92	58.74	27.99	65.07	25
J _{CIE}	81.26	-2.88	71.56	71.62	92
G _{CIE}	52.23	-42.41	13.6	44.55	162
B _{CIE}	30.57	1.41	-46.46	46.49	272

Daten für Maximalfarbe (Ma):

$LAB^*LAB^*_{Ma}$: 64 21 83

$LAB^*LCH^*_{Ma}$: 64 86 76

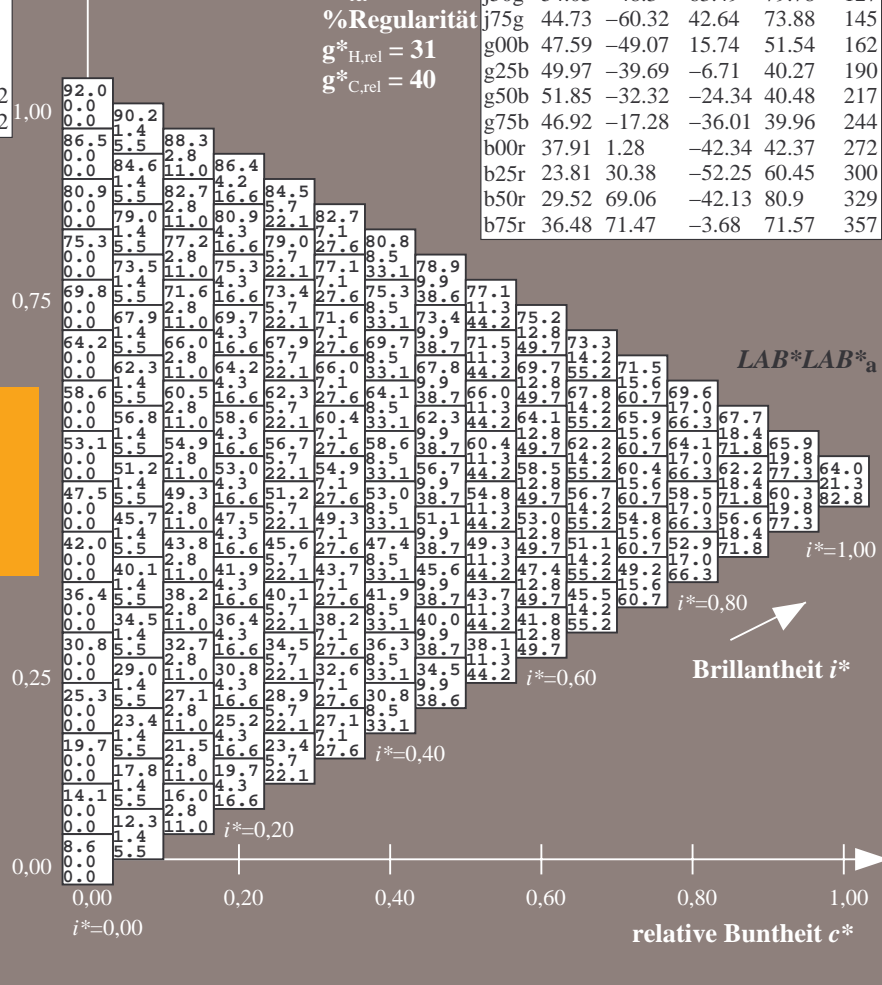
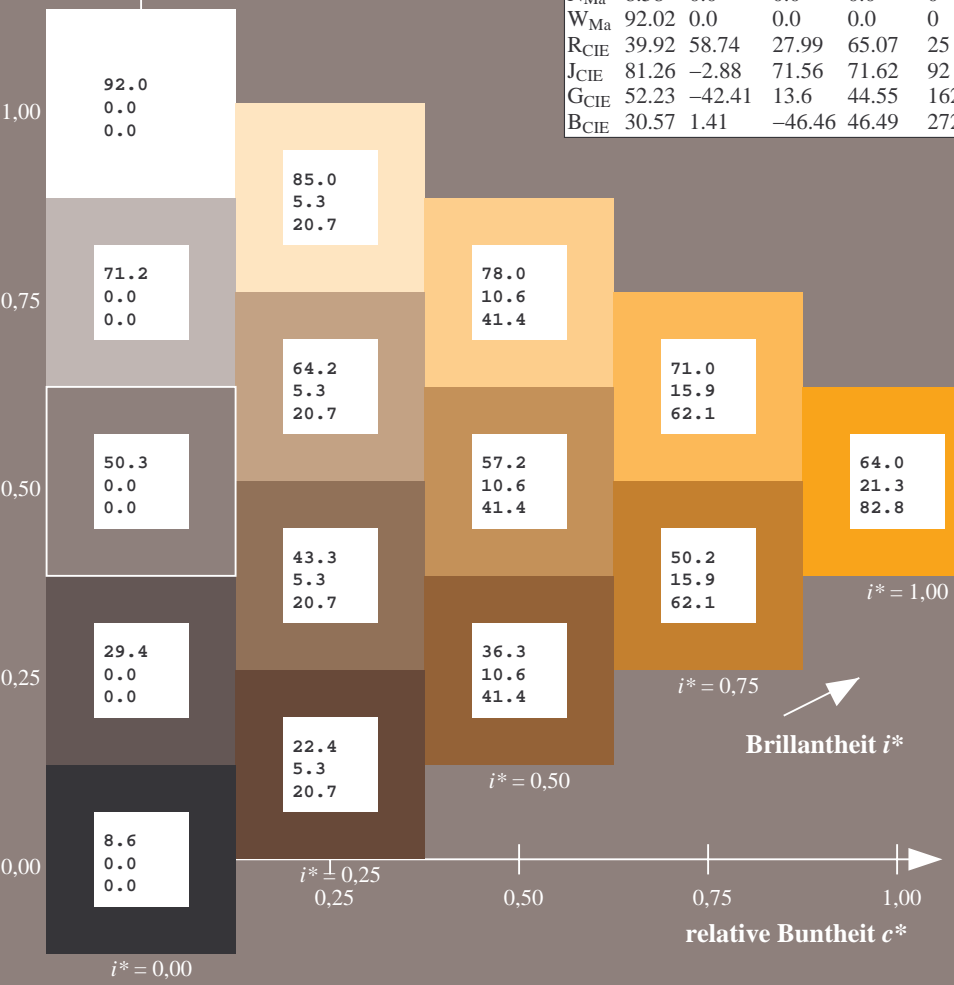
$lab^*rgb^*_{Ma}$: 1.0 0.75 0.0

$lab^*olv^*_{Ma}$: 1.0 0.59 0.0

Dreiecks-Helligkeit i^*

%Umfang
 $u^*_{rel} = 109$
%Regularität
 $j^*_{75g} = 31$
 $g^*_{H,rel} = 40$
 $g^*_{C,rel} = 40$

FRS09_92a; adaptierte CIELAB-Daten					
	$L^*=L^*_a$	a^*_a	b^*_a	$C^*_{ab,a}$	$h^*_{ab,a}$
r00j	35.47	63.32	30.17	70.15	25
r25j	39.12	54.56	49.45	73.64	42
r50j	50.64	39.15	64.89	75.79	59
r75j	64.01	21.26	82.83	85.52	76
j00g	83.18	-4.37	108.53	108.62	92
j25g	66.73	-29.88	83.06	88.28	110
j50g	54.03	-48.3	63.49	79.78	127
j75g	44.73	-60.32	42.64	73.88	145
g00b	47.59	-49.07	15.74	51.54	162
g25b	49.97	-39.69	-6.71	40.27	190
g50b	51.85	-32.32	-24.34	40.48	217
g75b	46.92	-17.28	-36.01	39.96	244
b00r	37.91	1.28	-42.34	42.37	272
b25r	23.81	30.38	-52.25	60.45	300
b50r	29.52	69.06	-42.13	80.9	329
b75r	36.48	71.47	-3.68	71.57	357



100



Ausgabe: $\rightarrow cmyn5^* setcmykcolor$

BAM-Registrierung: 20080701-Dg96/10L/L96G00NP.PS/.PDF BAM-Material: Code=rhata
Anwendung für Beurteilung und Messung von Drucker- oder Monitorsystemen

Ein und Ausgabe: Farbmetrisches Drucker-Reflektiv-System FRS09_92a für relativen CIELAB-Buntton $h^* = \text{lab}^*h^* = h_{ab}/360 = 110/360 = 0.305$ $u^* = j25g$

Daten für jede Farbe:

lab^*ch^* und lab^*icu^*

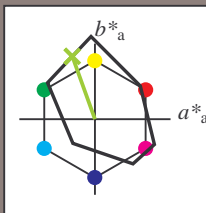
Elementar-Bunttontext:

$u^* = j25g$

Kontrastreduzierungsfaktor:

$c_R = 1.0$

Dreiecks-Helligkeit i^*



FRS09_92a; adaptierte CIELAB-Daten

	$L^*=L^*_a$	a^*_a	b^*_a	$C^*_{ab,a}$	$h^*_{ab,a}$
O _{Ma}	35.06	60.0	44.0	74.4	36
Y _{Ma}	83.77	-5.16	109.32	109.44	93
L _{Ma}	44.13	-62.66	48.24	79.09	142
C _{Ma}	52.66	-29.13	-31.98	43.27	228
V _{Ma}	14.15	50.3	-59.03	77.57	310
M _{Ma}	37.37	78.64	-33.49	85.48	337
N _{Ma}	8.58	0.0	0.0	0.0	0
W _{Ma}	92.02	0.0	0.0	0.0	0
R _{CIE}	39.92	58.74	27.99	65.07	25
J _{CIE}	81.26	-2.88	71.56	71.62	92
G _{CIE}	52.23	-42.41	13.6	44.55	162
B _{CIE}	30.57	1.41	-46.46	46.49	272

Daten für Maximalfarbe (Ma):

$\text{LAB}^*\text{LAB}^*_{\text{Ma}}$: 67 -29 83

$\text{LAB}^*\text{LCH}^*_{\text{Ma}}$: 67 88 110

$\text{lab}^*\text{rgb}^*_{\text{Ma}}$: 0.75 1.0 0.0

$\text{lab}^*\text{olv}^*_{\text{Ma}}$: 0.57 1.0 0.0

Dreiecks-Helligkeit i^*

%Umfang

$u^*_{\text{rel}} = 109$

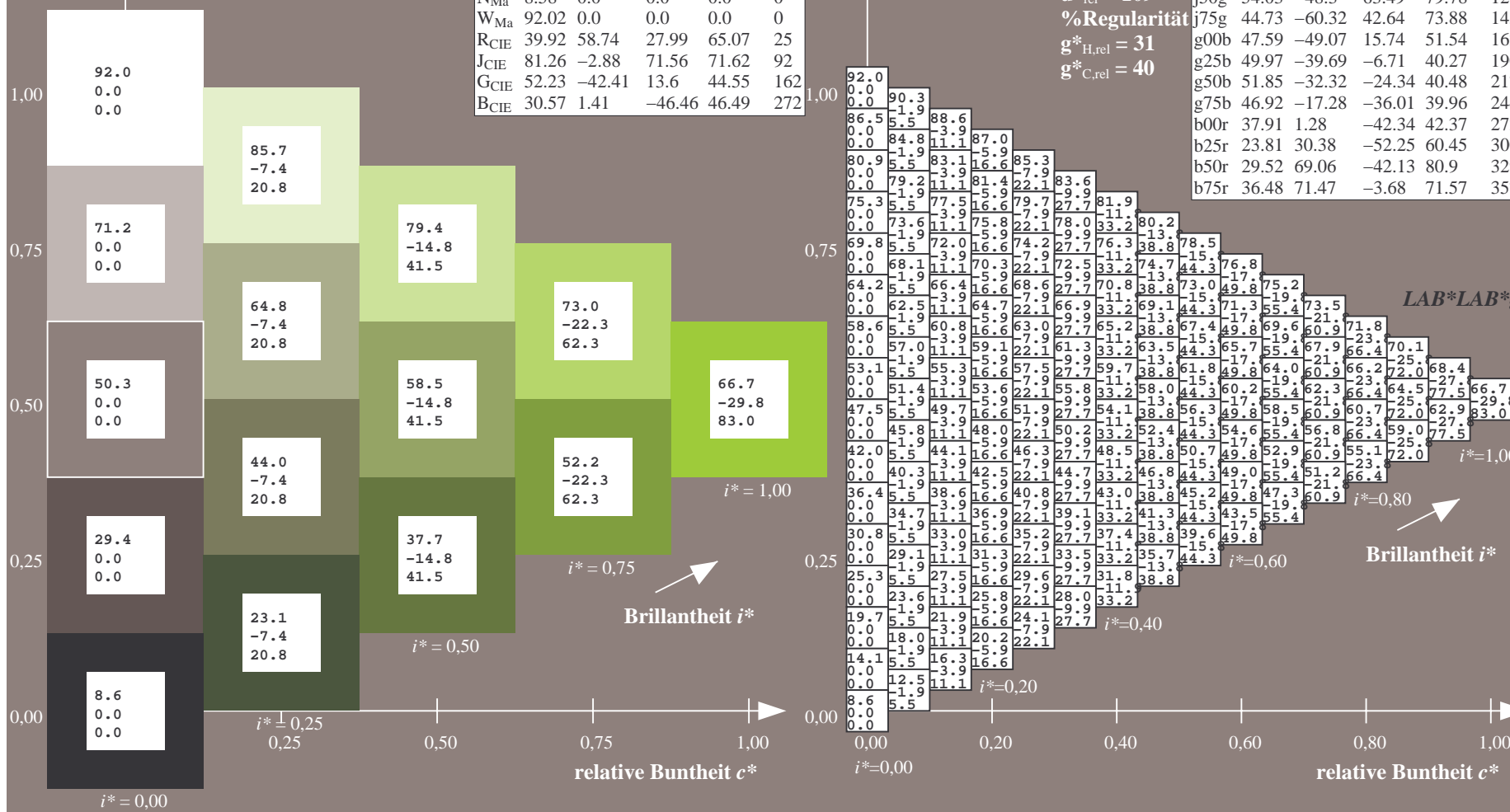
%Regularität

$g^*_{H,\text{rel}} = 31$

$g^*_{C,\text{rel}} = 40$

FRS09_92a; adaptierte CIELAB-Daten

	$L^*=L^*_a$	a^*_a	b^*_a	$C^*_{ab,a}$	$h^*_{ab,a}$
r00j	35.47	63.32	30.17	70.15	25
r25j	39.12	54.56	49.45	73.64	42
r50j	50.64	39.15	64.89	75.79	59
r75j	64.01	21.26	82.83	85.52	76
j00g	83.18	-4.37	108.53	108.62	92
j25g	66.73	-29.88	83.06	88.28	110
j50g	54.03	-48.3	63.49	79.78	127
j75g	44.73	-60.32	42.64	73.88	145
g00b	47.59	-49.07	15.74	51.54	162
g25b	49.97	-39.69	-6.71	40.27	190
g50b	51.85	-32.32	-24.34	40.48	217
g75b	46.92	-17.28	-36.01	39.96	244
b00r	37.91	1.28	-42.34	42.37	272
b25r	23.81	30.38	-52.25	60.45	300
b50r	29.52	69.06	-42.13	80.9	329
b75r	36.48	71.47	-3.68	71.57	357



Ein und Ausgabe: Farbmetrisches Drucker-Reflektiv-System FRS09_92a für relativen CIELAB-Buntton $h^* = lab^*h^* = h_{ab}/360 = 127/360 = 0.354$ $u^* = j50g$

Daten für jede Farbe:

lab^*ch^* und lab^*icu^*

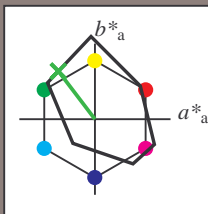
Elementar-Bunttontext:

$u^* = j50g$

Kontrastreduzierungsfaktor:

$c_R = 1.0$

Dreiecks-Helligkeit i^*



FRS09_92a; adaptierte CIELAB-Daten

	$L^*=L^*_a$	a^*_a	b^*_a	$C^*_{ab,a}$	$h^*_{ab,a}$
O _{Ma}	35.06	60.0	44.0	74.4	36
Y _{Ma}	83.77	-5.16	109.32	109.44	93
L _{Ma}	44.13	-62.66	48.24	79.09	142
C _{Ma}	52.66	-29.13	-31.98	43.27	228
V _{Ma}	14.15	50.3	-59.03	77.57	310
M _{Ma}	37.37	78.64	-33.49	85.48	337
N _{Ma}	8.58	0.0	0.0	0.0	0
W _{Ma}	92.02	0.0	0.0	0.0	0
R _{CIE}	39.92	58.74	27.99	65.07	25
J _{CIE}	81.26	-2.88	71.56	71.62	92
G _{CIE}	52.23	-42.41	13.6	44.55	162
B _{CIE}	30.57	1.41	-46.46	46.49	272

Daten für Maximalfarbe (Ma):

$LAB^*LAB^*_{Ma}$: 54 -47 63

$LAB^*LCH^*_{Ma}$: 54 80 127

$lab^*rgb^*_{Ma}$: 0.5 1.0 0.0

$lab^*olv^*_{Ma}$: 0.25 1.0 0.0

Dreiecks-Helligkeit i^*

%Umfang

$u^*_{rel} = 109$

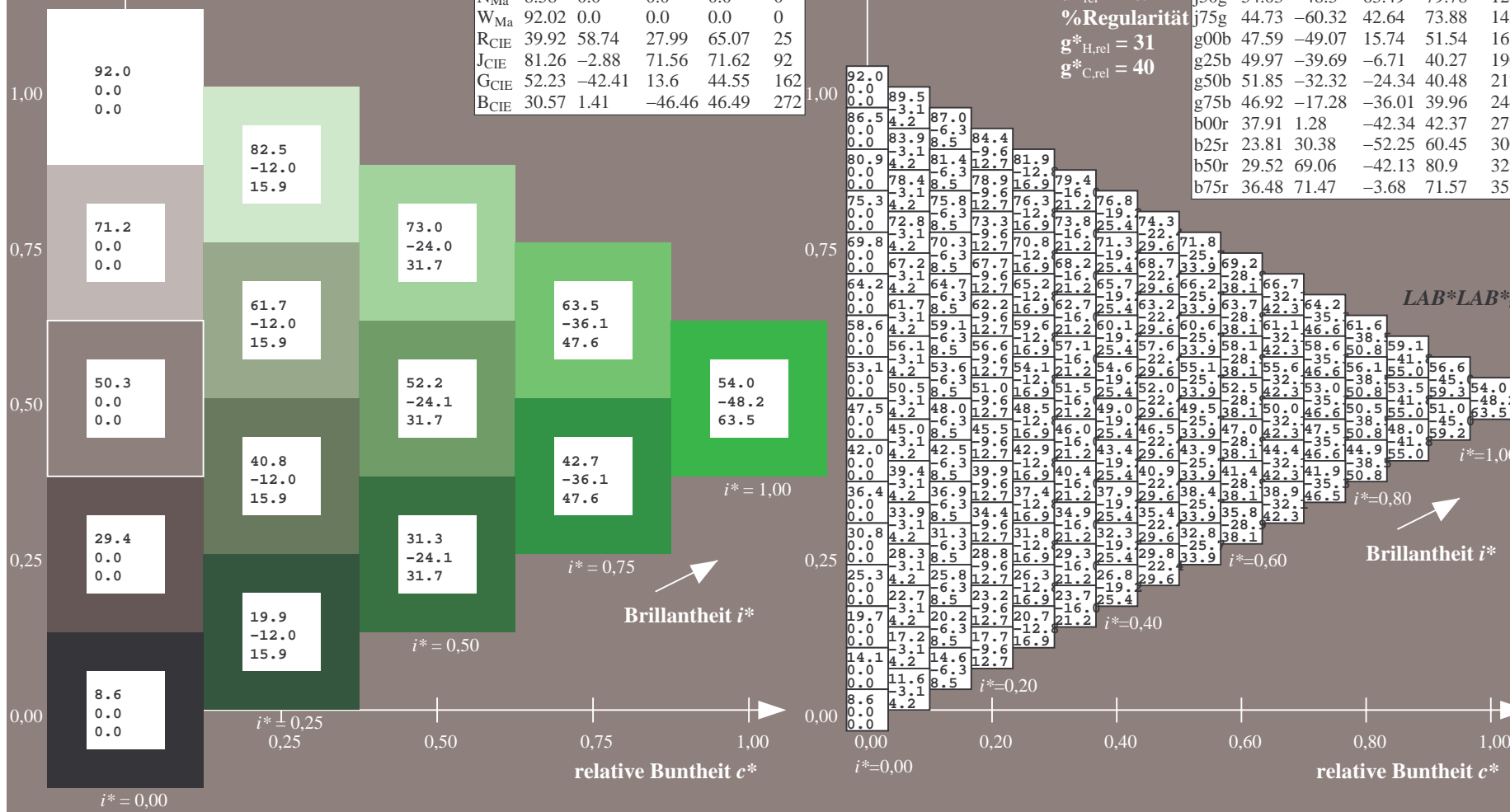
%Regularität

$g^*_{H,rel} = 31$

$g^*_{C,rel} = 40$

FRS09_92a; adaptierte CIELAB-Daten

	$L^*=L^*_a$	a^*_a	b^*_a	$C^*_{ab,a}$	$h^*_{ab,a}$
r00j	35.47	63.32	30.17	70.15	25
r25j	39.12	54.56	49.45	73.64	42
r50j	50.64	39.15	64.89	75.79	59
r75j	64.01	21.26	82.83	85.52	76
j00g	83.18	-4.37	108.53	108.62	92
j25g	66.73	-29.88	83.06	88.28	110
j50g	54.03	-48.3	63.49	79.78	127
j75g	44.73	-60.32	42.64	73.88	145
g00b	47.59	-49.07	15.74	51.54	162
g25b	49.97	-39.69	-6.71	40.27	190
g50b	51.85	-32.32	-24.34	40.48	217
g75b	46.92	-17.28	-36.01	39.96	244
b00r	37.91	1.28	-42.34	42.37	272
b25r	23.81	30.38	-52.25	60.45	300
b50r	29.52	69.06	-42.13	80.9	329
b75r	36.48	71.47	-3.68	71.57	357



Ein und Ausgabe: Farbmetrisches Drucker-Reflektiv-System FRS09_92a für relativen CIELAB-Buntton $h^* = lab^*h^* = h_{ab}/360 = 145/360 = 0.402$ $u^* = j75g$

Daten für jede Farbe:

lab^*ch^* und lab^*icu^*

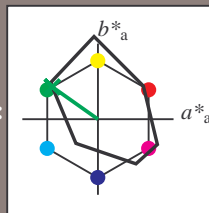
Elementar-Bunttontext:

$u^* = j75g$

Kontrastreduzierungsfaktor:

$c_R = 1.0$

Dreiecks-Helligkeit i^*



FRS09_92a; adaptierte CIELAB-Daten

	$L^*=L^*_a$	a^*_a	b^*_a	$C^*_{ab,a}$	$h^*_{ab,a}$
O _{Ma}	35.06	60.0	44.0	74.4	36
Y _{Ma}	83.77	-5.16	109.32	109.44	93
L _{Ma}	44.13	-62.66	48.24	79.09	142
C _{Ma}	52.66	-29.13	-31.98	43.27	228
V _{Ma}	14.15	50.3	-59.03	77.57	310
M _{Ma}	37.37	78.64	-33.49	85.48	337
N _{Ma}	8.58	0.0	0.0	0.0	0
W _{Ma}	92.02	0.0	0.0	0.0	0
R _{CIE}	39.92	58.74	27.99	65.07	25
J _{CIE}	81.26	-2.88	71.56	71.62	92
G _{CIE}	52.23	-42.41	13.6	44.55	162
B _{CIE}	30.57	1.41	-46.46	46.49	272

Daten für Maximalfarbe (Ma):

$LAB^*LAB^*_{Ma}$: 45 -59 43

$LAB^*LCH^*_{Ma}$: 45 74 145

$lab^*rgb^*_{Ma}$: 0.25 1.0 0.0

$lab^*olv^*_{Ma}$: 0.0 1.0 0.07

Dreiecks-Helligkeit i^*

%Umfang

$u^*_{rel} = 109$

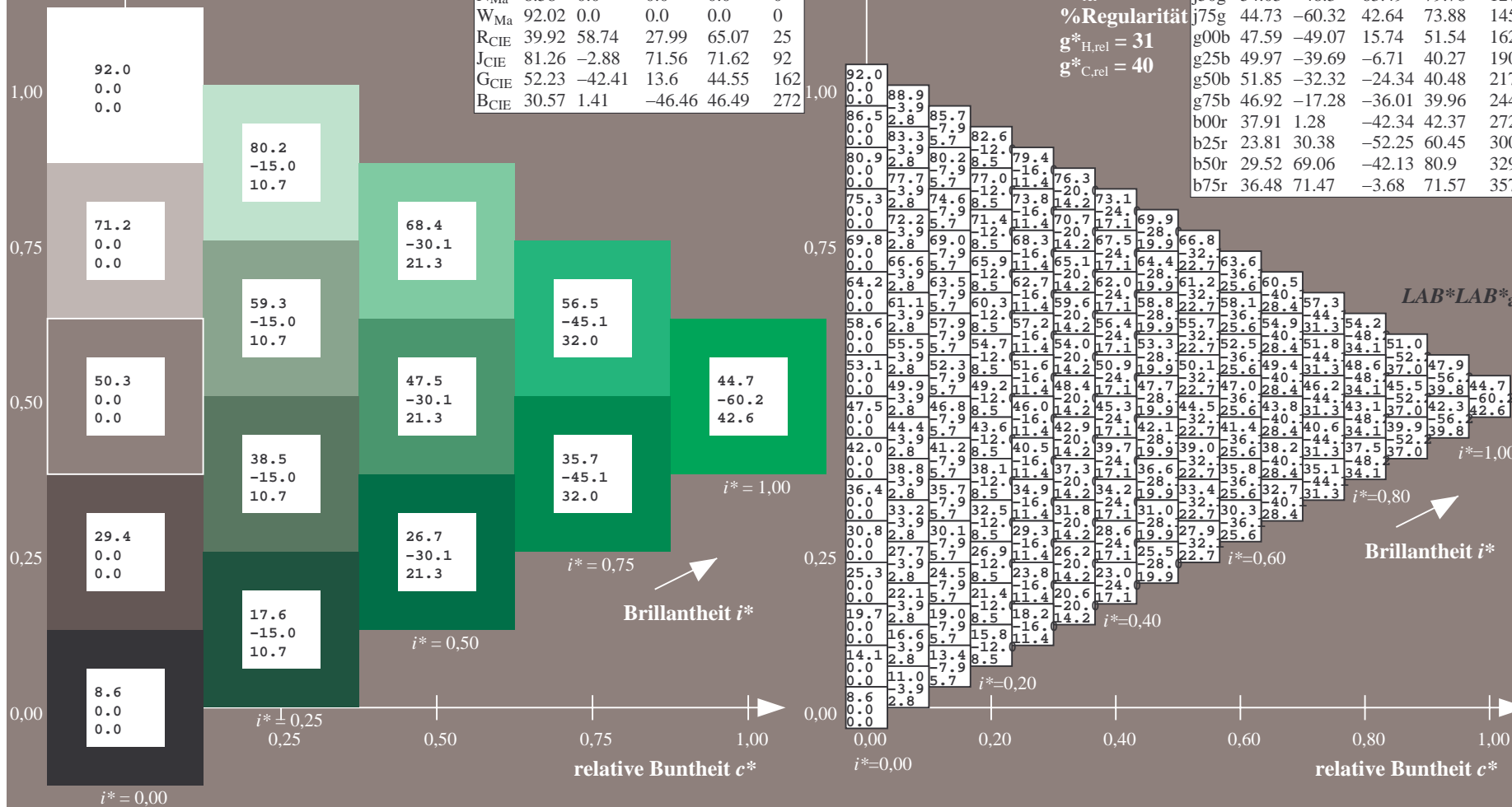
%Regularität

$g^*_{H,rel} = 31$

$g^*_{C,rel} = 40$

FRS09_92a; adaptierte CIELAB-Daten

	$L^*=L^*_a$	a^*_a	b^*_a	$C^*_{ab,a}$	$h^*_{ab,a}$
r00j	35.47	63.32	30.17	70.15	25
r25j	39.12	54.56	49.45	73.64	42
r50j	50.64	39.15	64.89	75.79	59
r75j	64.01	21.26	82.83	85.52	76
j00g	83.18	-4.37	108.53	108.62	92
j25g	66.73	-29.88	83.06	88.28	110
j50g	54.03	-48.3	63.49	79.78	127
j75g	44.73	-60.32	42.64	73.88	145
g00b	47.59	-49.07	15.74	51.54	162
g25b	49.97	-39.69	-6.71	40.27	190
g50b	51.85	-32.32	-24.34	40.48	217
g75b	46.92	-17.28	-36.01	39.96	244
b00r	37.91	1.28	-42.34	42.37	272
b25r	23.81	30.38	-52.25	60.45	300
b50r	29.52	69.06	-42.13	80.9	329
b75r	36.48	71.47	-3.68	71.57	357



Ein und Ausgabe: Farbmetrisches Drucker-Reflektiv-System FRS09_92a für relativen CIELAB-Buntton $h^* = \text{lab}^*h^* = h_{ab}/360 = 162/360 = 0.451$ $u^* = g00b$

Daten für jede Farbe:

lab^*ch^* und lab^*icu^*

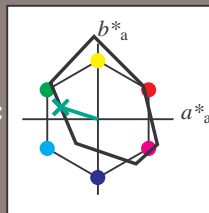
Elementar-Bunttontext:

$u^* = g00b$

Kontrastreduzierungsfaktor:

$c_R = 1.0$

Dreiecks-Helligkeit i^*



FRS09_92a; adaptierte CIELAB-Daten

	$L^*=L^*_a$	a^*_a	b^*_a	$C^*_{ab,a}$	$h^*_{ab,a}$
O _{Ma}	35.06	60.0	44.0	74.4	36
Y _{Ma}	83.77	-5.16	109.32	109.44	93
L _{Ma}	44.13	-62.66	48.24	79.09	142
C _{Ma}	52.66	-29.13	-31.98	43.27	228
V _{Ma}	14.15	50.3	-59.03	77.57	310
M _{Ma}	37.37	78.64	-33.49	85.48	337
N _{Ma}	8.58	0.0	0.0	0.0	0
W _{Ma}	92.02	0.0	0.0	0.0	0
R _{CIE}	39.92	58.74	27.99	65.07	25
J _{CIE}	81.26	-2.88	71.56	71.62	92
G _{CIE}	52.23	-42.41	13.6	44.55	162
B _{CIE}	30.57	1.41	-46.46	46.49	272

Daten für Maximalfarbe (Ma):

$\text{LAB}^*\text{LAB}^*_{Ma}$: 48 -48 16

$\text{LAB}^*\text{LCH}^*_{Ma}$: 48 52 162

$\text{lab}^*\text{rgb}^*_{Ma}$: 0.0 1.0 0.0

$\text{lab}^*\text{olv}^*_{Ma}$: 0.0 1.0 0.41

Dreiecks-Helligkeit i^*

%Umfang

$u^*_{rel} = 109$

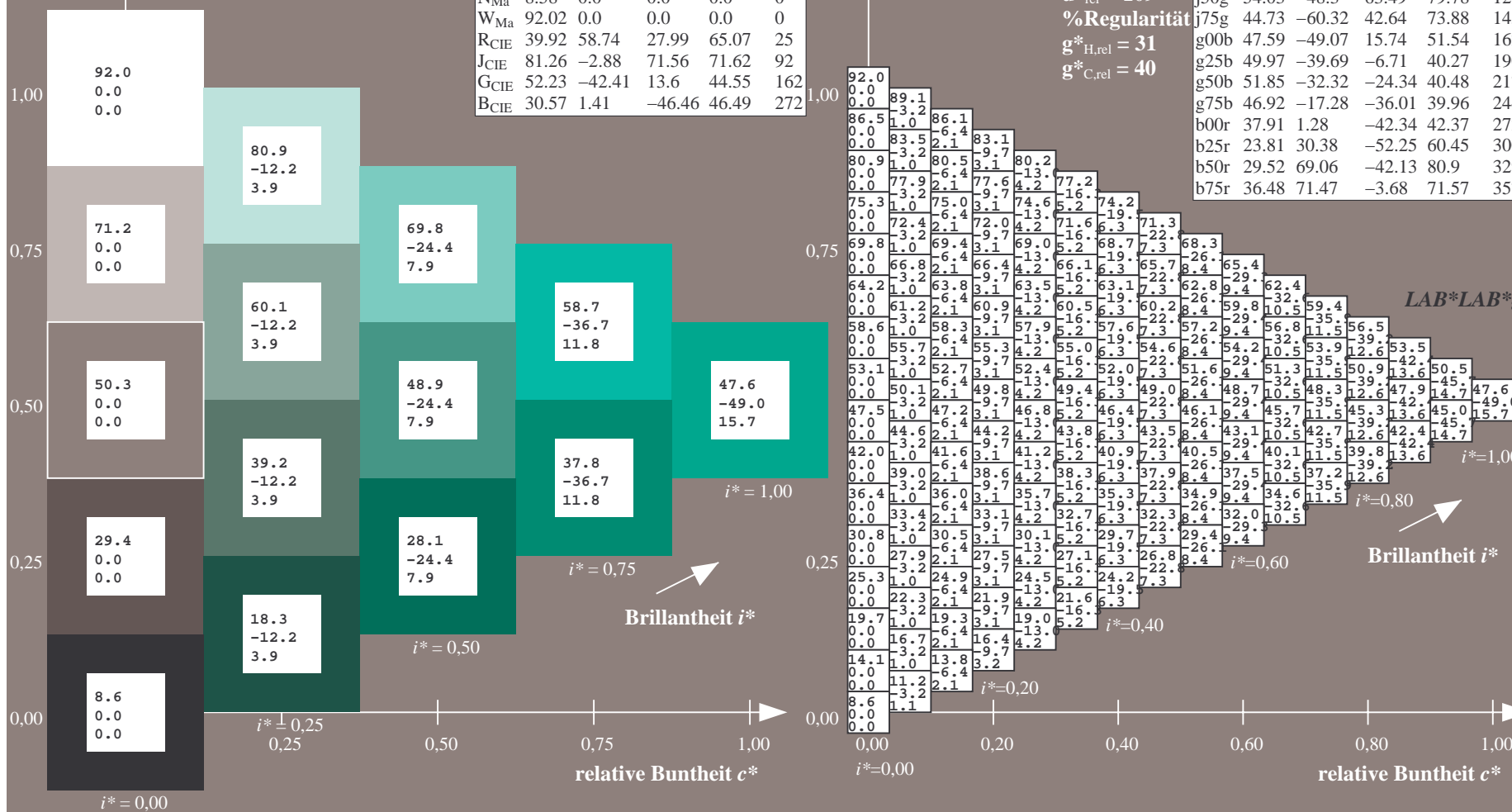
%Regularität

$g^*_{H,rel} = 31$

$g^*_{C,rel} = 40$

FRS09_92a; adaptierte CIELAB-Daten

	$L^*=L^*_a$	a^*_a	b^*_a	$C^*_{ab,a}$	$h^*_{ab,a}$
r00j	35.47	63.32	30.17	70.15	25
r25j	39.12	54.56	49.45	73.64	42
r50j	50.64	39.15	64.89	75.79	59
r75j	64.01	21.26	82.83	85.52	76
j00g	83.18	-4.37	108.53	108.62	92
j25g	66.73	-29.88	83.06	88.28	110
j50g	54.03	-48.3	63.49	79.78	127
j75g	44.73	-60.32	42.64	73.88	145
g00b	47.59	-49.07	15.74	51.54	162
g25b	49.97	-39.69	-6.71	40.27	190
g50b	51.85	-32.32	-24.34	40.48	217
g75b	46.92	-17.28	-36.01	39.96	244
b00r	37.91	1.28	-42.34	42.37	272
b25r	23.81	30.38	-52.25	60.45	300
b50r	29.52	69.06	-42.13	80.9	329
b75r	36.48	71.47	-3.68	71.57	357



Ein und Ausgabe: Farbmetrisches Drucker-Reflektiv-System FRS09_92a für relativen CIELAB-Buntton $h^* = lab^*h^* = h_{ab}/360 = 190/360 = 0.527$ $u^* = g25b$

Daten für jede Farbe:

lab^*ch^* und lab^*icu^*

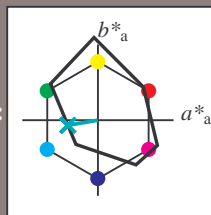
Elementar-Bunttontext:

$u^* = g25b$

Kontrastreduzierungsfaktor:

$c_R = 1.0$

Dreiecks-Helligkeit i^*



FRS09_92a; adaptierte CIELAB-Daten

	$L^*=L^*_a$	a^*_a	b^*_a	$C^*_{ab,a}$	$h^*_{ab,a}$
O _{Ma}	35.06	60.0	44.0	74.4	36
Y _{Ma}	83.77	-5.16	109.32	109.44	93
L _{Ma}	44.13	-62.66	48.24	79.09	142
C _{Ma}	52.66	-29.13	-31.98	43.27	228
V _{Ma}	14.15	50.3	-59.03	77.57	310
M _{Ma}	37.37	78.64	-33.49	85.48	337
N _{Ma}	8.58	0.0	0.0	0.0	0
W _{Ma}	92.02	0.0	0.0	0.0	0
R _{CIE}	39.92	58.74	27.99	65.07	25
J _{CIE}	81.26	-2.88	71.56	71.62	92
G _{CIE}	52.23	-42.41	13.6	44.55	162
B _{CIE}	30.57	1.41	-46.46	46.49	272

Daten für Maximalfarbe (Ma):

$LAB^*LAB^*_{Ma}$: 50 -39 -6

$LAB^*LCH^*_{Ma}$: 50 40 190

$lab^*rgb^*_{Ma}$: 0.0 1.0 0.5

$lab^*olv^*_{Ma}$: 0.0 1.0 0.69

Dreiecks-Helligkeit i^*

%Umfang

$u^*_{rel} = 109$

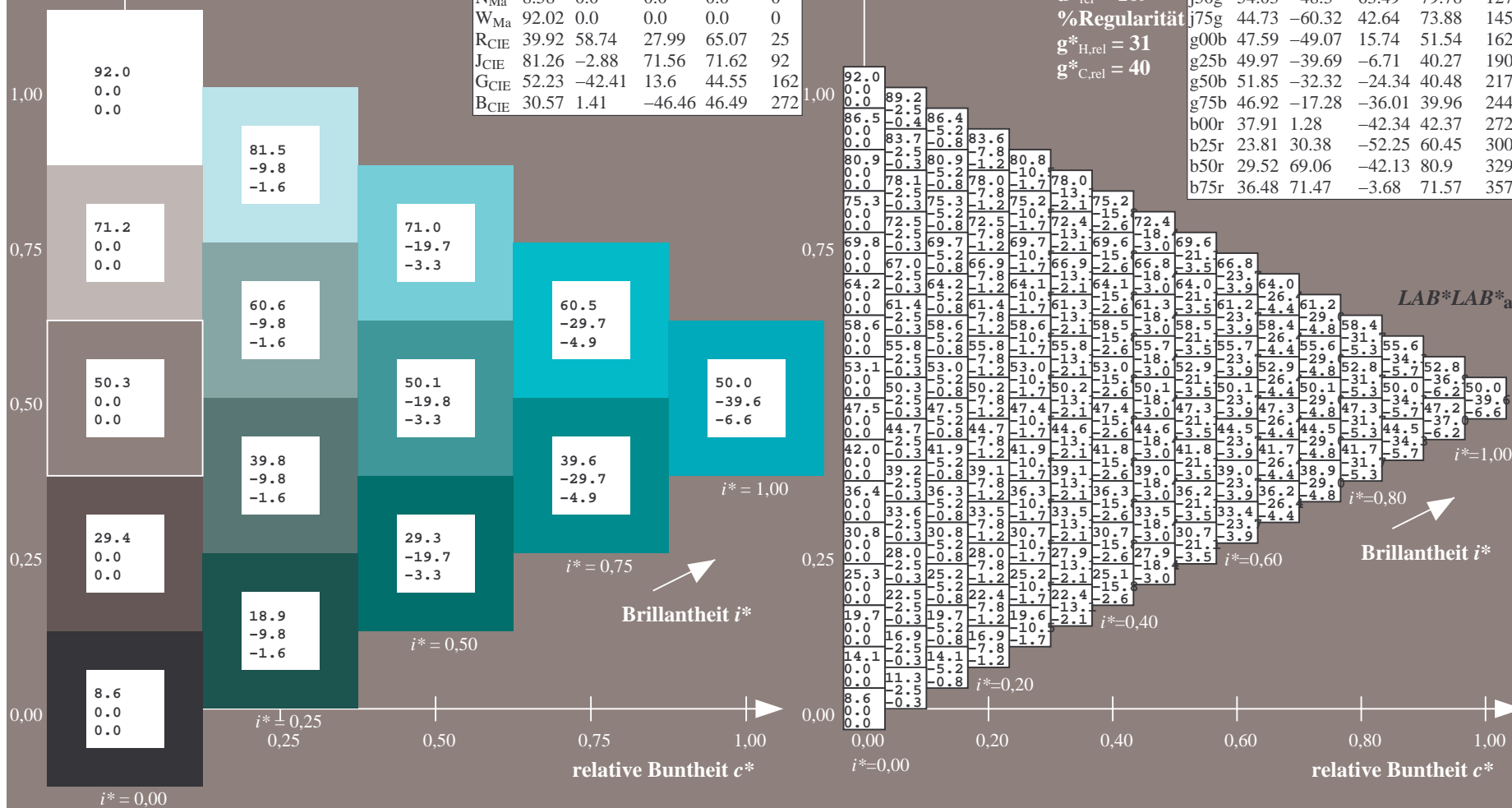
%Regularität

$g^*_{H,rel} = 31$

$g^*_{C,rel} = 40$

FRS09_92a; adaptierte CIELAB-Daten

	$L^*=L^*_a$	a^*_a	b^*_a	$C^*_{ab,a}$	$h^*_{ab,a}$
r00j	35.47	63.32	30.17	70.15	25
r25j	39.12	54.56	49.45	73.64	42
r50j	50.64	39.15	64.89	75.79	59
r75j	64.01	21.26	82.83	85.52	76
j00g	83.18	-4.37	108.53	108.62	92
j25g	66.73	-29.88	83.06	88.28	110
j50g	54.03	-48.3	63.49	79.78	127
j75g	44.73	-60.32	42.64	73.88	145
g00b	47.59	-49.07	15.74	51.54	162
g25b	49.97	-39.69	-6.71	40.27	190
g50b	51.85	-32.32	-24.34	40.48	217
g75b	46.92	-17.28	-36.01	39.96	244
b00r	37.91	1.28	-42.34	42.37	272
b25r	23.81	30.38	-52.25	60.45	300
b50r	29.52	69.06	-42.13	80.9	329
b75r	36.48	71.47	-3.68	71.57	357



Ein und Ausgabe: Farbmetrisches Drucker-Reflektiv-System FRS09_92a für relativen CIELAB-Buntton $h^* = lab^*h^* = h_{ab}/360 = 217/360 = 0.603$ $u^* = g50b$

Daten für jede Farbe:

lab^*ch^* und lab^*icu^*

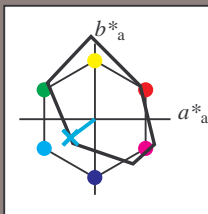
Elementar-Bunttontext:

$u^* = g50b$

Kontrastreduzierungsfaktor:

$c_R = 1.0$

Dreiecks-Helligkeit t^*



FRS09_92a; adaptierte CIELAB-Daten

	$L^*=L_a^*$	a_a^*	b_a^*	$C^*_{ab,a}$	$h^*_{ab,a}$
O _{Ma}	35.06	60.0	44.0	74.4	36
Y _{Ma}	83.77	-5.16	109.32	109.44	93
L _{Ma}	44.13	-62.66	48.24	79.09	142
C _{Ma}	52.66	-29.13	-31.98	43.27	228
V _{Ma}	14.15	50.3	-59.03	77.57	310
M _{Ma}	37.37	78.64	-33.49	85.48	337
N _{Ma}	8.58	0.0	0.0	0.0	0
W _{Ma}	92.02	0.0	0.0	0.0	0
R _{CIE}	39.92	58.74	27.99	65.07	25
J _{CIE}	81.26	-2.88	71.56	71.62	92
G _{CIE}	52.23	-42.41	13.6	44.55	162
B _{CIE}	30.57	1.41	-46.46	46.49	272

Daten für Maximalfarbe (Ma):

$LAB^*LAB^*_{Ma}$: 52 -31 -23

$LAB^*LCH^*_{Ma}$: 52 40 217

$lab^*rgb^*_{Ma}$: 0.0 1.0 1.0

$lab^*olv^*_{Ma}$: 0.0 1.0 0.9

Dreiecks-Helligkeit t^*

%Umfang

$u^*_{rel} = 109$

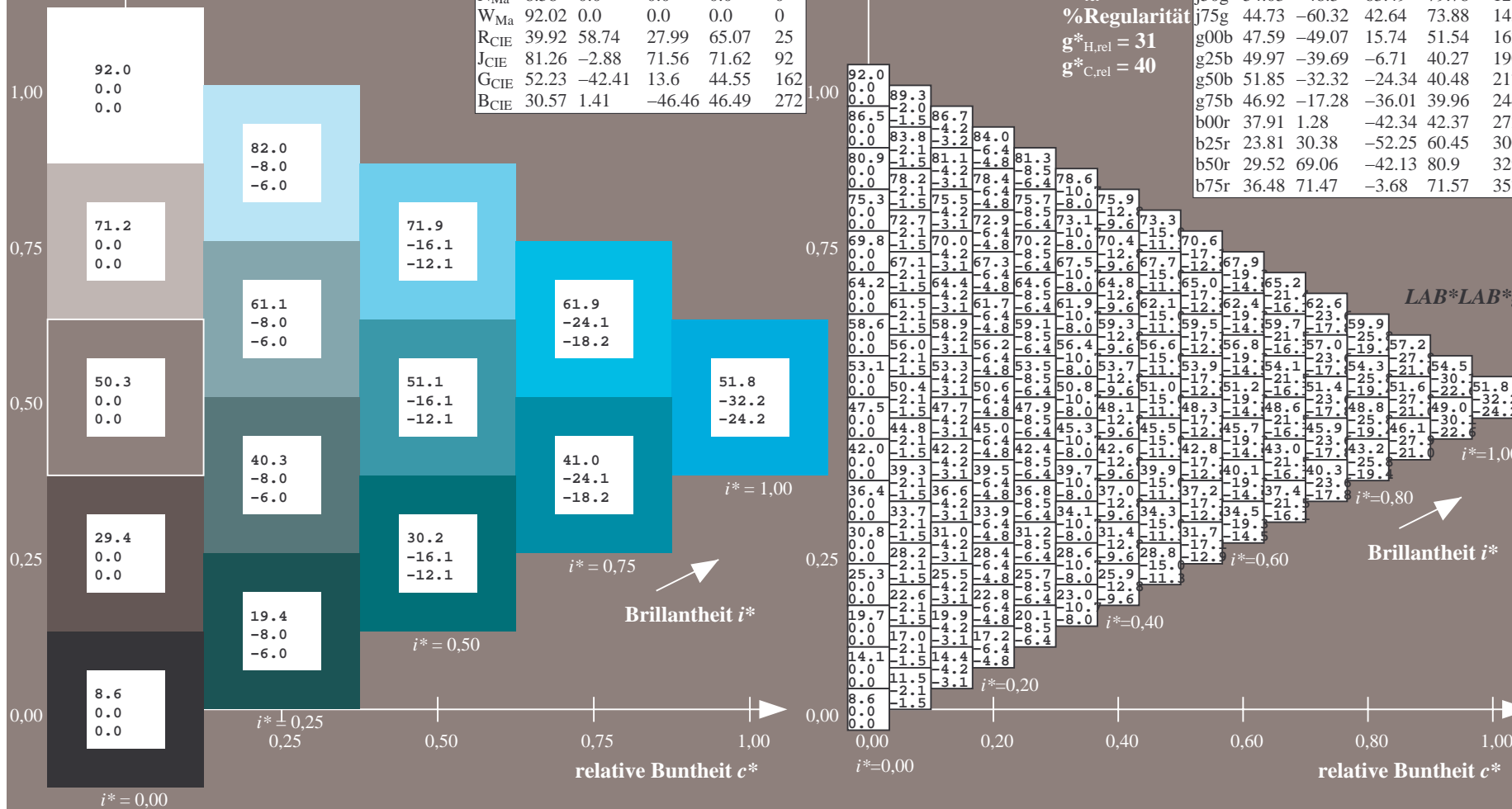
%Regularität

$g^*_{H,rel} = 31$

$g^*_{C,rel} = 40$

FRS09_92a; adaptierte CIELAB-Daten

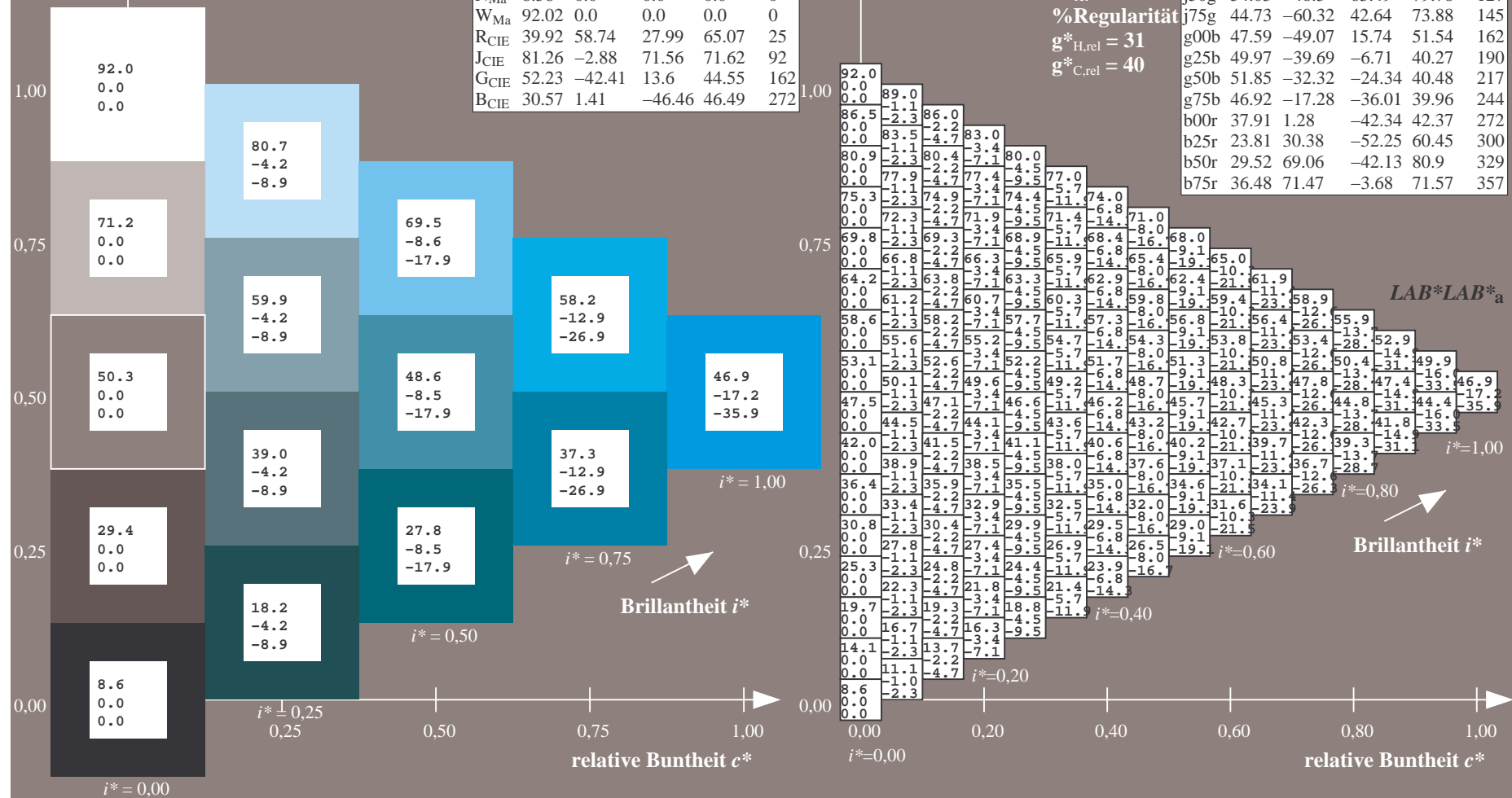
	$L^*=L_a^*$	a_a^*	b_a^*	$C^*_{ab,a}$	$h^*_{ab,a}$
r00j	35.47	63.32	30.17	70.15	25
r25j	39.12	54.56	49.45	73.64	42
r50j	50.64	39.15	64.89	75.79	59
r75j	64.01	21.26	82.83	85.52	76
j00g	83.18	-4.37	108.53	108.62	92
j25g	66.73	-29.88	83.06	88.28	110
j50g	54.03	-48.3	63.49	79.78	127
j75g	44.73	-60.32	42.64	73.88	145
g00b	47.59	-49.07	15.74	51.54	162
g25b	49.97	-39.69	-6.71	40.27	190
g50b	51.85	-32.32	-24.34	40.48	217
g75b	46.92	-17.28	-36.01	39.96	244
b00r	37.91	1.28	-42.34	42.37	272
b25r	23.81	30.38	-52.25	60.45	300
b50r	29.52	69.06	-42.13	80.9	329
b75r	36.48	71.47	-3.68	71.57	357



100



r00j	35.47	63.32	30.17	70.15	25
r25j	39.12	54.56	49.45	73.64	42
r50j	50.64	39.15	64.89	75.79	59
r75j	64.01	21.26	82.83	85.52	76
j00g	83.18	-4.37	108.53	108.62	92
j25g	66.73	-29.88	83.06	88.28	110
j50g	54.03	-48.3	63.49	79.78	127
j75g	44.73	-60.32	42.64	73.88	145
g00b	47.59	-49.07	15.74	51.54	162
g25b	49.97	-39.69	-6.71	40.27	190
g50b	51.85	-32.32	-24.34	40.48	217
g75b	46.92	-17.28	-36.01	39.96	244
b00r	37.91	1.28	-42.34	42.37	272
b25r	23.81	30.38	-52.25	60.45	300
b50r	29.52	69.06	-42.13	80.9	329
b75r	36.48	71.47	-3.68	71.57	357



Ein und Ausgabe: Farbmetrisches Drucker-Reflektiv-System FRS09_92a für relativen CIELAB-Buntton $h^* = lab^*h^* = h_{ab}/360 = 272/360 = 0.755$ $u^* = b00r$

Daten für jede Farbe:

lab^*ch^* und lab^*icu^*

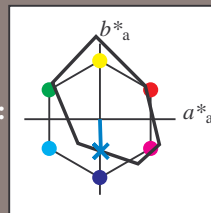
Elementar-Bunttontext:

$u^* = b00r$

Kontrastreduzierungsfaktor:

$c_R = 1.0$

Dreiecks-Helligkeit t^*



FRS09_92a; adaptierte CIELAB-Daten

	$L^*=L^*_a$	a^*_a	b^*_a	$C^*_{ab,a}$	$h^*_{ab,a}$
O _{Ma}	35.06	60.0	44.0	74.4	36
Y _{Ma}	83.77	-5.16	109.32	109.44	93
L _{Ma}	44.13	-62.66	48.24	79.09	142
C _{Ma}	52.66	-29.13	-31.98	43.27	228
V _{Ma}	14.15	50.3	-59.03	77.57	310
M _{Ma}	37.37	78.64	-33.49	85.48	337
N _{Ma}	8.58	0.0	0.0	0.0	0
W _{Ma}	92.02	0.0	0.0	0.0	0
R _{CIE}	39.92	58.74	27.99	65.07	25
J _{CIE}	81.26	-2.88	71.56	71.62	92
G _{CIE}	52.23	-42.41	13.6	44.55	162
B _{CIE}	30.57	1.41	-46.46	46.49	272

Daten für Maximalfarbe (Ma):

$LAB^*LAB^*_{Ma}$: 38 1 -41

$LAB^*LCH^*_{Ma}$: 38 42 272

$lab^*rgb^*_{Ma}$: 0.0 0.0 1.0

$lab^*olv^*_{Ma}$: 0.0 0.62 1.0

Dreiecks-Helligkeit t^*

%Umfang

$u^*_{rel} = 109$

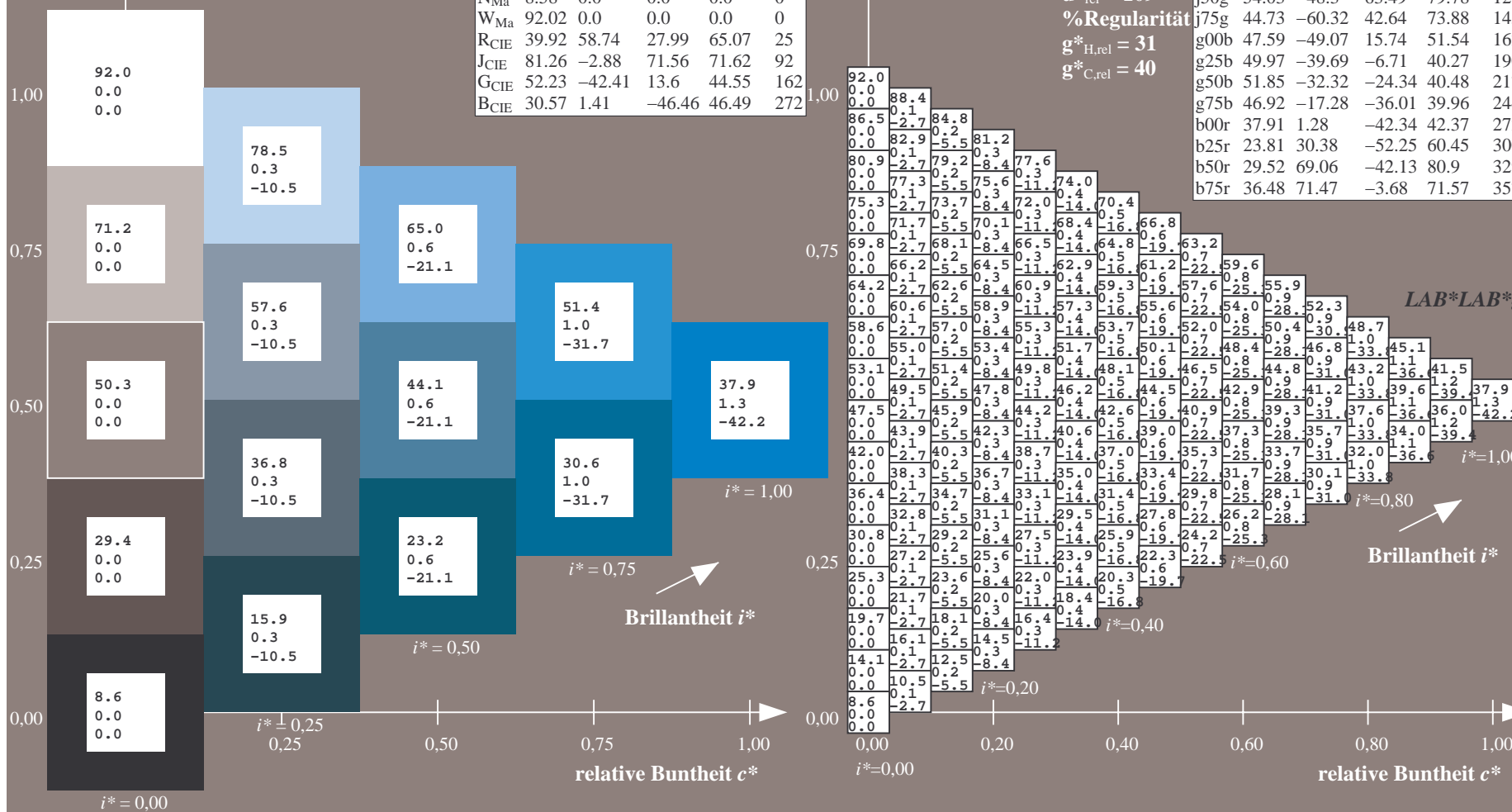
%Regularität

$g^*_{H,rel} = 31$

$g^*_{C,rel} = 40$

FRS09_92a; adaptierte CIELAB-Daten

	$L^*=L^*_a$	a^*_a	b^*_a	$C^*_{ab,a}$	$h^*_{ab,a}$
r00j	35.47	63.32	30.17	70.15	25
r25j	39.12	54.56	49.45	73.64	42
r50j	50.64	39.15	64.89	75.79	59
r75j	64.01	21.26	82.83	85.52	76
j00g	83.18	-4.37	108.53	108.62	92
j25g	66.73	-29.88	83.06	88.28	110
j50g	54.03	-48.3	63.49	79.78	127
j75g	44.73	-60.32	42.64	73.88	145
g00b	47.59	-49.07	15.74	51.54	162
g25b	49.97	-39.69	-6.71	40.27	190
g50b	51.85	-32.32	-24.34	40.48	217
g75b	46.92	-17.28	-36.01	39.96	244
b00r	37.91	1.28	-42.34	42.37	272
b25r	23.81	30.38	-52.25	60.45	300
b50r	29.52	69.06	-42.13	80.9	329
b75r	36.48	71.47	-3.68	71.57	357



Ein und Ausgabe: Farbmetrisches Drucker-Reflektiv-System FRS09_92a für relativen CIELAB-Buntton $h^* = lab^*h^* = h_{ab}/360 = 300/360 = 0.834$ $u^* = b25r$

Daten für jede Farbe:

lab^*ch^* und lab^*icu^*

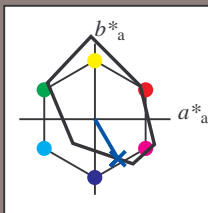
Elementar-Bunttontext:

$u^* = b25r$

Kontrastreduzierungsfaktor:

$c_R = 1.0$

Dreiecks-Helligkeit i^*



FRS09_92a; adaptierte CIELAB-Daten

	$L^*=L_a^*$	a_a^*	b_a^*	$C^*_{ab,a}$	$h^*_{ab,a}$
O _{Ma}	35.06	60.0	44.0	74.4	36
Y _{Ma}	83.77	-5.16	109.32	109.44	93
L _{Ma}	44.13	-62.66	48.24	79.09	142
C _{Ma}	52.66	-29.13	-31.98	43.27	228
V _{Ma}	14.15	50.3	-59.03	77.57	310
M _{Ma}	37.37	78.64	-33.49	85.48	337
N _{Ma}	8.58	0.0	0.0	0.0	0
W _{Ma}	92.02	0.0	0.0	0.0	0
R _{CIE}	39.92	58.74	27.99	65.07	25
J _{CIE}	81.26	-2.88	71.56	71.62	92
G _{CIE}	52.23	-42.41	13.6	44.55	162
B _{CIE}	30.57	1.41	-46.46	46.49	272

Daten für Maximalfarbe (Ma):

$LAB^*LAB^*_{Ma}$: 24 30 -51

$LAB^*LCH^*_{Ma}$: 24 60 300

$lab^*rgb^*_{Ma}$: 0.5 0.0 1.0

$lab^*olv^*_{Ma}$: 0.0 0.25 1.0

Dreiecks-Helligkeit i^*

%Umfang

$u^*_{rel} = 109$

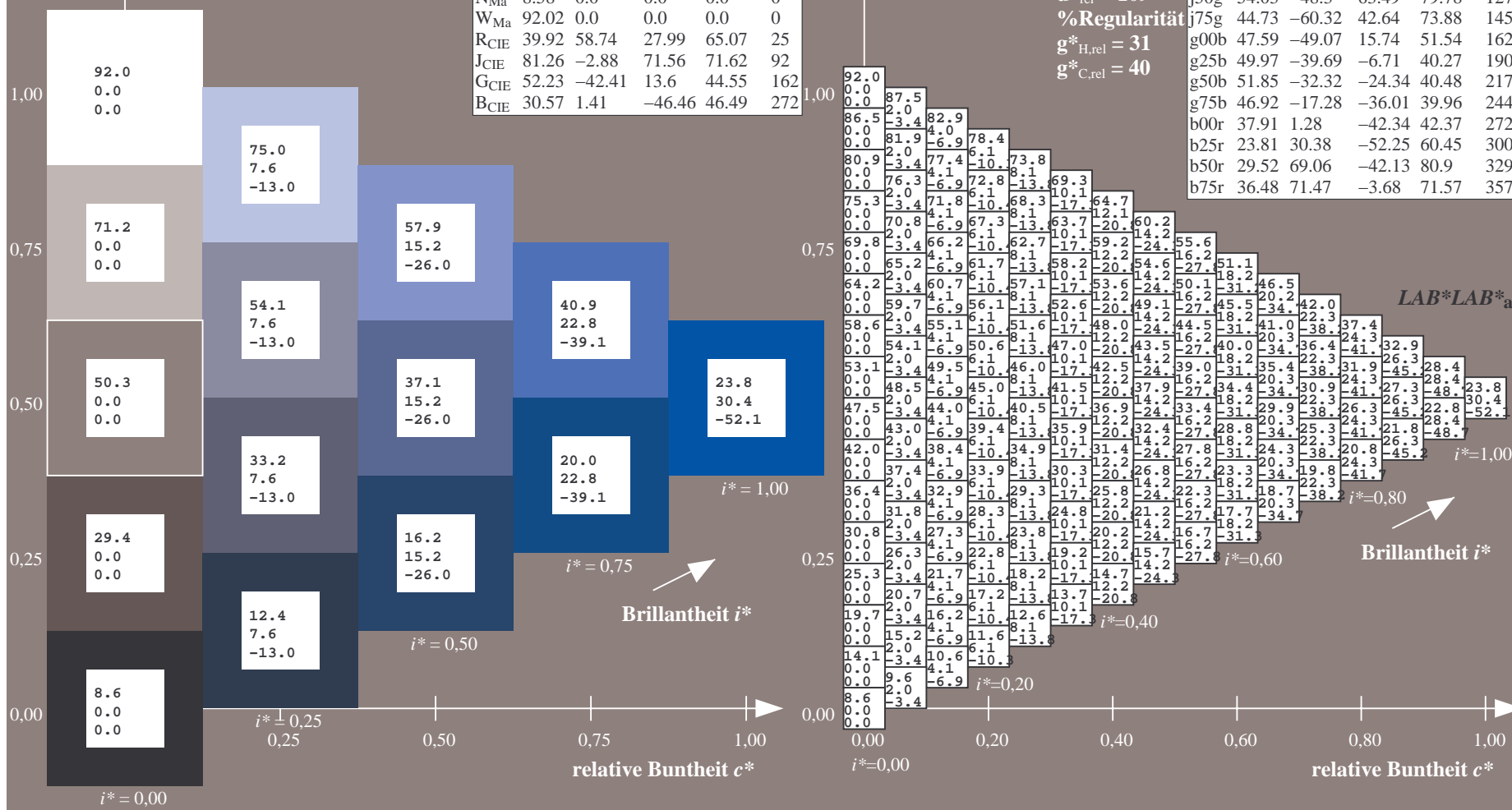
%Regularität

$g^*_{H,rel} = 31$

$g^*_{C,rel} = 40$

FRS09_92a; adaptierte CIELAB-Daten

	$L^*=L_a^*$	a_a^*	b_a^*	$C^*_{ab,a}$	$h^*_{ab,a}$
r00j	35.47	63.32	30.17	70.15	25
r25j	39.12	54.56	49.45	73.64	42
r50j	50.64	39.15	64.89	75.79	59
r75j	64.01	21.26	82.83	85.52	76
j00g	83.18	-4.37	108.53	108.62	92
j25g	66.73	-29.88	83.06	88.28	110
j50g	54.03	-48.3	63.49	79.78	127
j75g	44.73	-60.32	42.64	73.88	145
g00b	47.59	-49.07	15.74	51.54	162
g25b	49.97	-39.69	-6.71	40.27	190
g50b	51.85	-32.32	-24.34	40.48	217
g75b	46.92	-17.28	-36.01	39.96	244
b00r	37.91	1.28	-42.34	42.37	272
b25r	23.81	30.38	-52.25	60.45	300
b50r	29.52	69.06	-42.13	80.9	329
b75r	36.48	71.47	-3.68	71.57	357



Ein und Ausgabe: Farbmetrisches Drucker-Reflektiv-System FRS09_92a für relativen CIELAB-Buntton $h^* = lab^*h^* = h_{ab}/360 = 329/360 = 0.913$ $u^* = b50r$

Daten für jede Farbe:

lab^*ch^* und lab^*icu^*

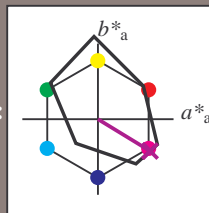
Elementar-Bunttontext:

$u^* = b50r$

Kontrastreduzierungsfaktor:

$c_R = 1.0$

Dreiecks-Helligkeit t^*



FRS09_92a; adaptierte CIELAB-Daten

	$L^*=L_a^*$	a_a^*	b_a^*	$C^*_{ab,a}$	$h^*_{ab,a}$
O _{Ma}	35.06	60.0	44.0	74.4	36
Y _{Ma}	83.77	-5.16	109.32	109.44	93
L _{Ma}	44.13	-62.66	48.24	79.09	142
C _{Ma}	52.66	-29.13	-31.98	43.27	228
V _{Ma}	14.15	50.3	-59.03	77.57	310
M _{Ma}	37.37	78.64	-33.49	85.48	337
N _{Ma}	8.58	0.0	0.0	0.0	0
W _{Ma}	92.02	0.0	0.0	0.0	0
R _{CIE}	39.92	58.74	27.99	65.07	25
J _{CIE}	81.26	-2.88	71.56	71.62	92
G _{CIE}	52.23	-42.41	13.6	44.55	162
B _{CIE}	30.57	1.41	-46.46	46.49	272

Daten für Maximalfarbe (Ma):

$LAB^*LAB^*_{Ma}$: 30 69 -41

$LAB^*LCH^*_{Ma}$: 30 81 329

$lab^*rgb^*_{Ma}$: 1.0 0.0 1.0

$lab^*olv^*_{Ma}$: 0.66 0.0 1.0

Dreiecks-Helligkeit t^*

%Umfang

$u^*_{rel} = 109$

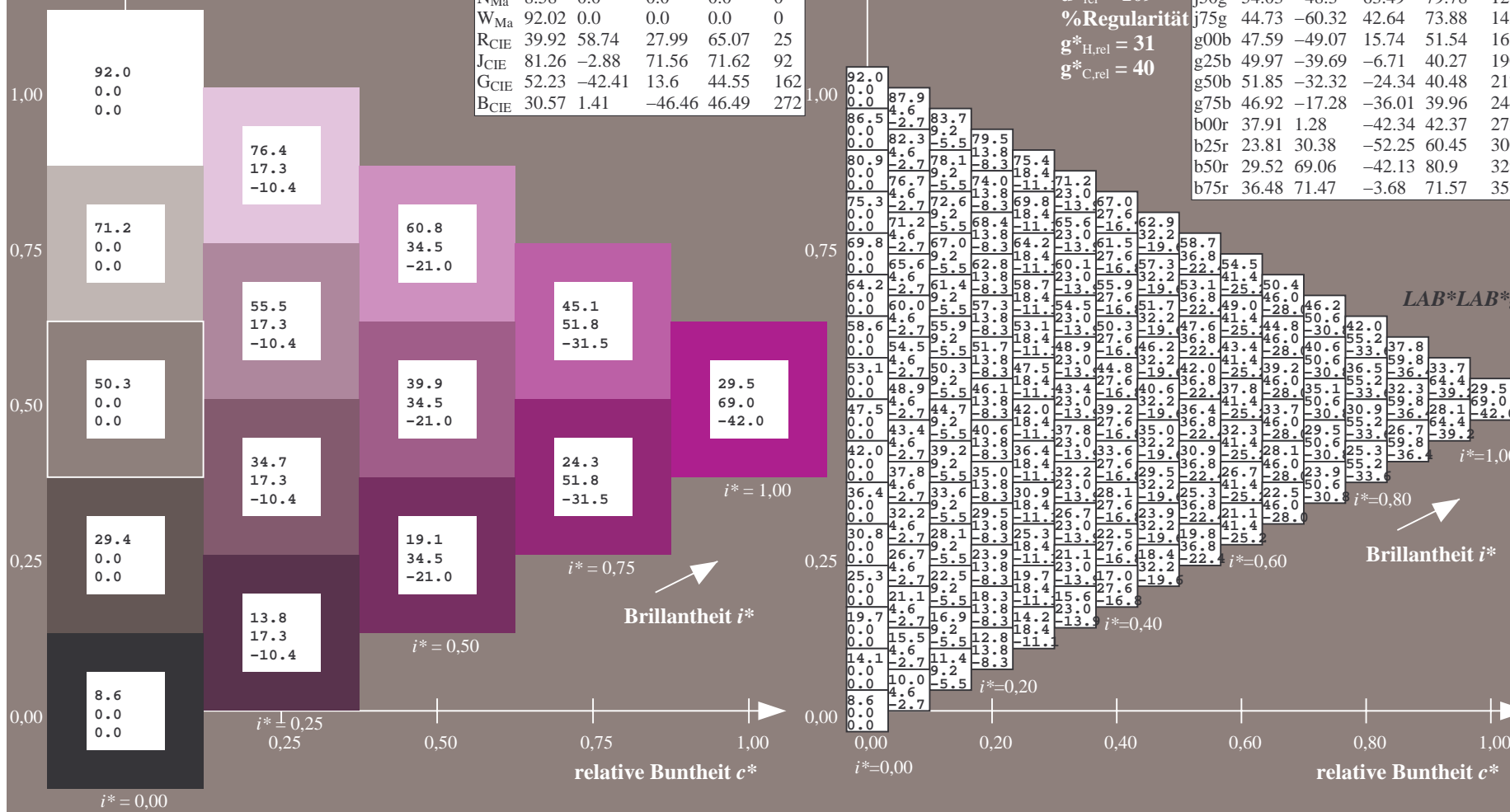
%Regularität

$g^*_{H,rel} = 31$

$g^*_{C,rel} = 40$

FRS09_92a; adaptierte CIELAB-Daten

	$L^*=L_a^*$	a_a^*	b_a^*	$C^*_{ab,a}$	$h^*_{ab,a}$
r00j	35.47	63.32	30.17	70.15	25
r25j	39.12	54.56	49.45	73.64	42
r50j	50.64	39.15	64.89	75.79	59
r75j	64.01	21.26	82.83	85.52	76
j00g	83.18	-4.37	108.53	108.62	92
j25g	66.73	-29.88	83.06	88.28	110
j50g	54.03	-48.3	63.49	79.78	127
j75g	44.73	-60.32	42.64	73.88	145
g00b	47.59	-49.07	15.74	51.54	162
g25b	49.97	-39.69	-6.71	40.27	190
g50b	51.85	-32.32	-24.34	40.48	217
g75b	46.92	-17.28	-36.01	39.96	244
b00r	37.91	1.28	-42.34	42.37	272
b25r	23.81	30.38	-52.25	60.45	300
b50r	29.52	69.06	-42.13	80.9	329
b75r	36.48	71.47	-3.68	71.57	357



Ein und Ausgabe: Farbmetrisches Drucker-Reflektiv-System FRS09_92a für relativen CIELAB-Buntton $h^* = \text{lab}^*h^* = h_{ab}/360 = 357/360 = 0.992$ $u^* = b75r$

Daten für jede Farbe:

lab^*ch^* und lab^*icu^*

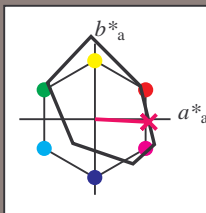
Elementar-Bunttontext:

$u^* = b75r$

Kontrastreduzierungsfaktor:

$c_R = 1.0$

Dreiecks-Helligkeit i^*



FRS09_92a; adaptierte CIELAB-Daten

	$L^*=L_a^*$	a_a^*	b_a^*	$C^*_{ab,a}$	$h^*_{ab,a}$
O _{Ma}	35.06	60.0	44.0	74.4	36
Y _{Ma}	83.77	-5.16	109.32	109.44	93
L _{Ma}	44.13	-62.66	48.24	79.09	142
C _{Ma}	52.66	-29.13	-31.98	43.27	228
V _{Ma}	14.15	50.3	-59.03	77.57	310
M _{Ma}	37.37	78.64	-33.49	85.48	337
N _{Ma}	8.58	0.0	0.0	0.0	0
W _{Ma}	92.02	0.0	0.0	0.0	0
R _{CIE}	39.92	58.74	27.99	65.07	25
J _{CIE}	81.26	-2.88	71.56	71.62	92
G _{CIE}	52.23	-42.41	13.6	44.55	162
B _{CIE}	30.57	1.41	-46.46	46.49	272

Daten für Maximalfarbe (Ma):

$\text{LAB}^*\text{LAB}^*_{Ma}$: 36 71 -3

$\text{LAB}^*\text{LCH}^*_{Ma}$: 36 72 357

$\text{lab}^*rgb^*_{Ma}$: 1.0 0.0 0.5

$\text{lab}^*olv^*_{Ma}$: 1.0 0.0 0.62

Dreiecks-Helligkeit i^*

%Umfang

$u^*_{rel} = 109$

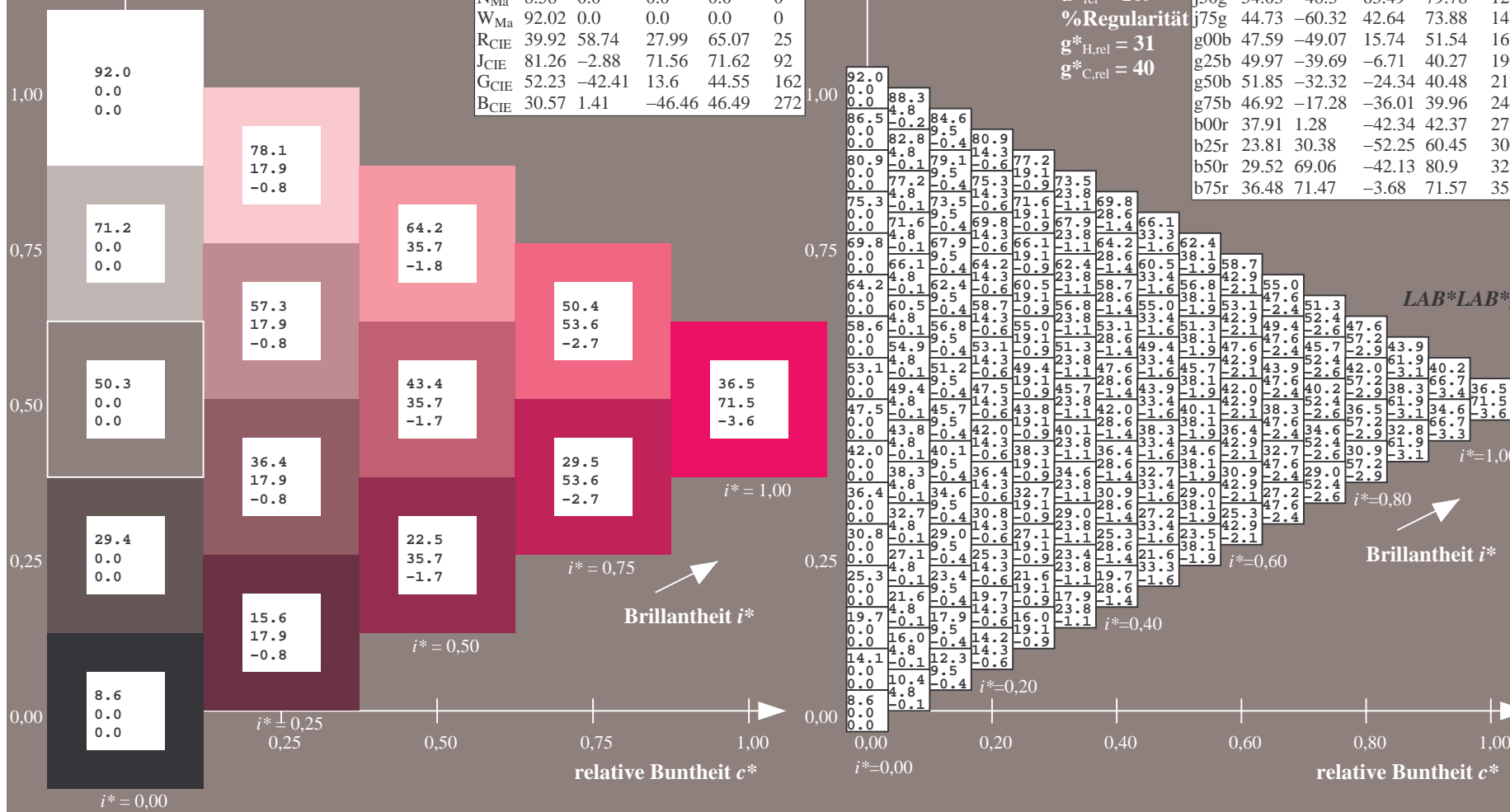
%Regularität

$g^*_{H,rel} = 31$

$g^*_{C,rel} = 40$

FRS09_92a; adaptierte CIELAB-Daten

	$L^*=L_a^*$	a_a^*	b_a^*	$C^*_{ab,a}$	$h^*_{ab,a}$
r00j	35.47	63.32	30.17	70.15	25
r25j	39.12	54.56	49.45	73.64	42
r50j	50.64	39.15	64.89	75.79	59
r75j	64.01	21.26	82.83	85.52	76
j00g	83.18	-4.37	108.53	108.62	92
j25g	66.73	-29.88	83.06	88.28	110
j50g	54.03	-48.3	63.49	79.78	127
j75g	44.73	-60.32	42.64	73.88	145
g00b	47.59	-49.07	15.74	51.54	162
g25b	49.97	-39.69	-6.71	40.27	190
g50b	51.85	-32.32	-24.34	40.48	217
g75b	46.92	-17.28	-36.01	39.96	244
b00r	37.91	1.28	-42.34	42.37	272
b25r	23.81	30.38	-52.25	60.45	300
b50r	29.52	69.06	-42.13	80.9	329
b75r	36.48	71.47	-3.68	71.57	357

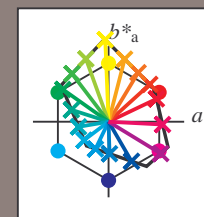


Siehe ähnliche Dateien: <http://www.ps.bam.de/Dg96/>; www.ps.bam.de/Dg96/10L/L96G00NP.PS/.PDF BAM-Material: Code=th4ta
Technische Information: <http://www.ps.bam.de/Version 2.1, io=1.1, ColSpX=0>

	A	B	C	D	E	F	G	H	I	J	K	L	M	N	O	P	Q	R	S	T	U	V	W	X	Y	Z	a	b	c	d	e	f	g	h	i	j	k	LAB*	LAB*		
01	8.6	13.0	17.5	21.9	26.4	30.8	35.2	39.7	44.1	11.9	18.0	22.4	26.9	31.3	35.8	40.2	44.6	49.1	15.2	21.3	27.4	31.8	36.3	40.7	45.2	49.6	54.0	58.4	62.8	67.2	71.7	76.1	80.5	84.9	89.3	93.7	98.1	8.6	8.6	8.6	8.6
02	0.0	-7.7	-15.6	-23.4	-31.2	-39.1	-46.9	-54.7	-62.5	-0.5	-8.4	-16.2	-24.0	-31.9	-39.7	-47.5	-55.4	-63.2	6.9	-1.2	-9.0	-16.8	-24.7	-32.5	-40.4	-48.2	-56.0	-63.8	-71.6	-79.4	-87.2	-95.0	-102.8	-110.6	-118.4	-126.2	0.0	0.0	0.0	0.0	
03	9.3	14.1	18.5	23.0	27.4	31.9	36.3	40.8	45.2	12.2	19.0	24.5	29.0	33.4	37.9	42.3	46.7	51.2	15.5	22.2	28.3	32.7	37.1	41.5	45.9	50.3	54.7	59.1	63.5	67.9	72.3	76.7	81.1	85.5	89.9	94.3	98.7	103.1	107.5	111.9	116.3
04	6.3	-3.5	-11.4	-19.2	-27.0	-34.9	-42.7	-50.5	-58.4	0.0	-7.7	-15.6	-23.4	-31.2	-39.1	-46.9	-54.7	-62.5	7.5	-0.5	-8.4	-16.2	-24.0	-31.9	-39.7	-47.5	-55.4	-63.2	-71.0	-78.8	-86.6	-94.4	-102.2	-110.0	-117.8	-125.6	-133.4	-141.2	-149.0	-156.8	
05	-7.3	-3.9	2.0	8.1	14.1	20.1	26.2	32.2	38.2	-4.1	0.0	6.0	12.1	18.1	24.1	30.1	36.2	42.2	1.3	5.5	13.7	19.7	25.7	31.7	37.7	43.8	49.8	55.9	61.9	67.9	73.9	79.9	85.9	91.9	97.9	103.9	109.9	115.9	121.9		
06	10.0	14.8	19.6	24.4	28.5	32.9	37.4	41.8	46.3	12.9	19.7	24.5	29.0	33.4	37.9	42.3	46.7	51.2	15.8	22.2	28.3	32.7	37.1	41.5	45.9	50.3	54.7	59.1	63.5	67.9	72.3	76.7	81.1	85.5	89.9	94.3	98.7	103.1	107.5	111.9	
07	12.6	16.2	-7.2	-15.0	-22.8	-30.7	-38.5	-46.3	-54.1	6.3	-3.5	-11.4	-19.2	-27.0	-34.9	-42.7	-50.5	-58.4	-66.2	9.8	0.0	-7.7	-15.6	-23.4	-31.2	-39.1	-46.9	-54.7	-62.5	-70.3	-78.1	-85.9	-93.7	-101.5	-109.3	-117.1	-124.9	-132.7	-140.5		
08	-14.7	-11.3	-7.9	-1.9	4.1	10.1	16.1	22.2	28.2	-11.5	-7.3	-3.9	2.0	8.1	14.1	20.1	26.2	32.2	-8.3	-4.1	0.0	6.0	12.1	18.1	24.1	30.1	36.2	42.2	48.2	54.2	60.2	66.2	72.2	78.2	84.2	90.2	96.2	102.2	108.2		
09	10.7	15.5	20.3	25.1	29.6	34.0	38.4	42.9	47.3	13.6	20.4	25.2	30.0	34.5	38.9	43.4	47.8	52.2	56.6	23.3	30.1	34.9	39.8	44.8	49.8	54.8	59.8	64.8	69.8	74.8	79.8	84.8	89.8	94.8	99.8	104.8	109.8	114.8	119.8		
10	18.9	8.9	-0.9	-10.8	-18.7	-26.5	-34.3	-42.2	-50.2	12.6	2.6	-7.2	-15.0	-22.9	-30.7	-38.5	-46.3	-54.2	-62.1	16.1	6.3	-3.5	-11.4	-19.2	-27.0	-34.9	-42.7	-50.5	-58.4	-66.2	-74.0	-81.8	-89.6	-97.4	-105.2	-113.0	-120.8	-128.6	-136.4		
11	-22.0	-18.7	-15.3	-11.9	-5.9	0.1	6.1	12.1	18.2	-18.8	-14.7	-11.3	-7.9	-1.9	4.1	10.1	16.1	22.2	-15.7	-11.5	-7.3	-3.9	2.0	8.1	14.1	20.1	26.1	32.1	38.1	44.1	50.1	56.1	62.1	68.1	74.1	80.1	86.1	92.1	98.1		
12	11.4	16.2	21.0	25.8	30.6	35.1	39.5	44.0	48.4	14.3	21.1	25.9	30.7	35.5	40.0	44.4	48.8	53.3	57.7	17.2	24.0	30.8	35.6	40.5	45.4	50.3	55.2	60.1	65.0	69.9	74.8	79.7	84.6	89.5	94.4	99.3	104.2	109.1	114.0		
13	25.1	15.2	5.3	-4.5	-14.5	-22.3	-30.1	-38.0	-45.8	28.7	18.9	8.9	-0.9	-10.8	-18.7	-26.5	-34.3	-42.2	-50.1	32.2	24.0	16.2	8.4	-0.5	-10.8	-18.7	-26.5	-34.3	-42.1	-50.0	-57.8	-65.6	-73.4	-81.2	-89.0	-96.8	-104.6	-112.4	-120.2		
14	-29.4	-26.0	-22.7	-19.3	-15.9	-9.9	-3.8	2.1	8.1	-26.2	-22.0	-18.7	-15.3	-11.9	-5.9	0.1	6.1	12.1	18.1	-23.0	-18.8	-14.7	-11.3	-7.9	-1.9	4.1	10.1	16.1	22.1	28.1	34.1	40.1	46.1	52.1	58.1	64.1	70.1	76.1	82.1		
15	12.1	16.9	21.7	26.5	31.3	36.1	40.9	45.7	50.5	15.0	21.8	26.6	31.4	36.2	41.1	45.9	50.7	55.4	60.2	17.9	24.7	31.5	36.3	41.2	46.0	50.8	55.6	60.4	65.2	70.0	74.8	79.6	84.4	89.2	94.0	98.8	103.6	108.4	113.2		
16	31.4	21.5	11.6	1.7	-8.2	-18.1	-25.9	-33.8	-41.6	25.2	15.2	5.3	-4.5	-14.5	-22.3	-30.1	-37.9	-45.7	-53.5	38.0	28.7	18.9	8.9	-0.9	-10.8	-18.7	-26.5	-34.3	-42.1	-50.0	-57.8	-65.6	-73.4	-81.2	-89.0	-96.8	-104.6	-112.4	-120.2		
17	-36.8	-33.4	-30.0	-26.7	-23.3	-19.9	-13.9	-7.8	-1.8	33.6	29.4	26.0	22.7	19.3	15.9	12.5	9.1	5.7	2.3	-30.4	-26.2	-22.0	-18.7	-15.3	-11.9	-5.9	0.1	6.1	12.1	18.1	24.1	30.1	36.1	42.1	48.1	54.1	60.1	66.1	72.1		
18	12.8	17.6	22.4	27.2	32.0	36.8	41.6	46.4	51.2	15.7	22.5	27.3	32.1	36.9	41.7	46.5	51.3	56.1	60.9	18.6	25.4	32.2	37.0	41.8	46.6	51.4	56.2	61.0	65.8	70.6	75.4	80.2	85.0	89.8	94.6	99.4	104.2	109.0	113.8		
19	37.7	27.8	17.9	7.9	-2.0	-11.8	-21.8	-29.6	-37.4	44.3	34.4	24.5	14.6	4.7	-5.2	-11.8	-19.6	-27.4	-35.2	48.8	35.0	25.1	15.2	5.3	-4.5	-14.5	-22.3	-30.1	-37.9	-45.7	-53.5	-61.3	-69.1	-76.9	-84.7	-92.5	-100.3	-108.1	-115.9		
20	-44.2	-40.8	-37.4	-34.0	-30.7	-27.3	-23.9	-17.9	-11.8	-41.0	-36.8	-33.4	-30.0	-26.7	-23.3	-19.9	-13.9	-7.8	-1.8	-37.8	-33.6	-29.4	-26.0	-22.7	-19.3	-15.9	-12.5	-9.1	-5.7	-2.3	33.6	29.4	26.0	22.6	19.2	15.8	12.4	9.0	5.6		
21	13.5	18.3	23.1	27.9	32.7	37.5	42.3	47.1	51.9	16.4	23.2	28.0	32.8	37.6	42.4	47.2	52.0	56.8	61.6	19.3	26.1	32.9	37.7	42.5	47.3	52.1	56.9	61.7	66.5	71.3	76.1	80.9	85.7	90.5	95.3	100.1	104.9	109.7	114.5		
22	14.2	19.0	23.8	28.6	33.4	38.2	43.0	47.8	52.7	17.1	23.9	28.7	33.5	38.3	43.1	48.0	52.8	57.6	62.4	20.0	26.8	33.6	40.4	47.2	54.0	60.8	67.6	74.4	81.2	88.0	94.8	101.6	108.4	115.2	122.0	128.8	135.6	142.4			
23	50.3	40.4	30.4	20.5	10.6	0.6	-9.2	-19.1	-29.0	53.8	44.0	34.1	24.1	14.2	4.3	-5.5	-15.5	-25.5	-35.4	47.4	37.7	27.8	17.9	7.9	-1.9	-11.8	-21.8	-29.6	-37.4	-45.2	-53.0	-60.8	-68.6	-76.4	-84.2	-92.0	-99.8	-107.6	-115.4		
24	-58.9	-55.6	-52.2	-48.8	-45.4	-42.0	-38.6	-35.3	-31.9	-55.7	-51.6	-48.2	-44.8	-41.4	-38.0	-34.6	-31.2	-27.9	-24.5	-52.5	-48.4	-44.2	-40.0	-37.4	-34.0	-30.6	-27.2	-23.8	-20.4	-17.0	-13.6	-10.2	-6.8	-3.4	0.0	6.6	13.2	19.8			
25	18.5	24.6	30.7	36.8	41.9	47.0	52.1	57.2	62.3	17.1	23.9	34.0	40.1	46.2	50.3	55.1	59.5	63.9	68.3	25.1	31.2	37.3	43.4	49.5	55.6	60.4	65.2	69.9	74.7	79.5	84.3	89.1	93.9	98.7	103.5	108.3	113.1	117.9			
26	22.5	14.4	6.2	-1.8	-9.7	-17.5	-25.3	-33.2	-41.0	20.9	21.9	13.7	5.6	-2.5	-10.3	-18.2	-26.0	-33.8	-41.7	32.4	21.2	13.1	4.9	-3.1	-11.0	-18.8	-26.6	-34.4	-42.2	-50.0	-57.8	-65.6	-73.4	-81.2	-89.0	-96.8	-104.6	-112.4	-120.2		
27	16.5	24.7	32.8	41.0	47.0	53.0	59.1	65.1	71.1	22.0	30.2	38.3	46.5	54.6	60.7	66.7	72.7	78.8	84.9	35.7	43.8	52.0	60.1	68.3	74.3	80.4	86.4	92.5	98.5	104.6	110.6	116.7	122.7	128.8	134.8	140.9	146.9	152.9			
28	18.1	25.6	31.7	37.8	42.3	46.7	51.1	55.6</																																	

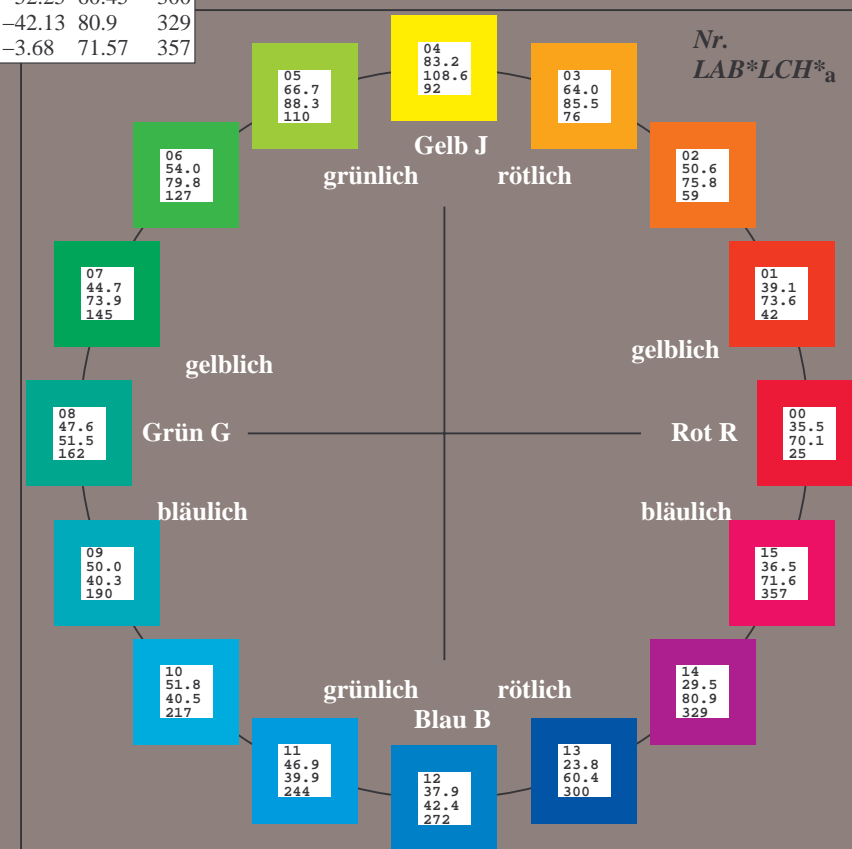
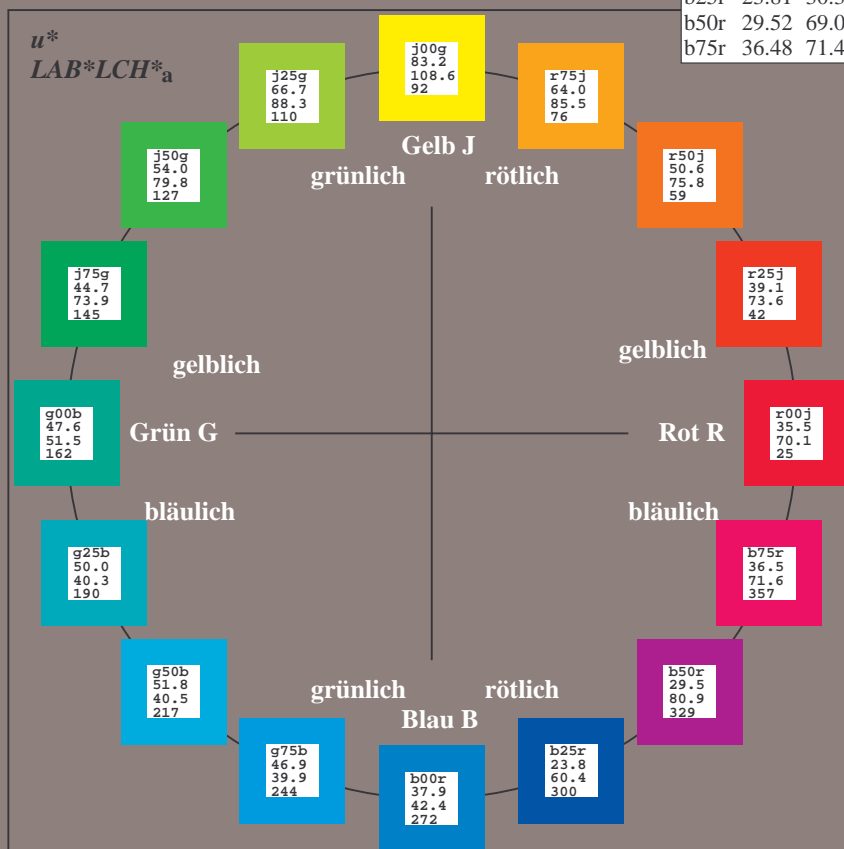
Ein und Ausgabe:
Farbmetrisches Drucker-Reflektiv-System FRS09_92a
Daten für jede Farbe:
*lab*₁ch* und lab*₁icu**
Elementar-Bunttontext:
u = 16 Buntttöne r00j, r25j, ..., b75r*
Kontrastreduzierungsfaktor:
 $c_R = 1.0$

FRS09_92a; adaptierte CIELAB-Daten					
	$L^*=L^*_a$	a^*_a	b^*_a	$C^*_{ab,a}$	$h^*_{ab,a}$
r00j	35.47	63.32	30.17	70.15	25
r25j	39.12	54.56	49.45	73.64	42
r50j	50.64	39.15	64.89	75.79	59
r75j	64.01	21.26	82.83	85.52	76
j00g	83.18	-4.37	108.53	108.62	92
j25g	66.73	-29.88	83.06	88.28	110
j50g	54.03	-48.3	63.49	79.78	127
j75g	44.73	-60.32	42.64	73.88	145
g00b	47.59	-49.07	15.74	51.54	162
g25b	49.97	-39.69	-6.71	40.27	190
g50b	51.85	-32.32	-24.34	40.48	217
g75b	46.92	-17.28	-36.01	39.96	244
b00r	37.91	1.28	-42.34	42.37	272
b25r	23.81	30.38	-52.25	60.45	300
b50r	29.52	69.06	-42.13	80.9	329
b75r	36.48	71.47	-3.68	71.57	357



%Umfang
 $u^*_{rel} = 109$
%Regularität
 $g^*_{H,rel} = 31$
 $g^*_{C,rel} = 40$

FRS09_92a; adaptierte CIELAB-Daten					
	$L^*=L^*_a$	a^*_a	b^*_a	$C^*_{ab,a}$	$h^*_{ab,a}$
OMa	35.06	60.0	44.0	74.4	36
YMa	83.77	-5.16	109.32	109.44	93
LMa	44.13	-62.66	48.24	79.09	142
CMa	52.66	-29.13	-31.98	43.27	228
VMa	14.15	50.3	-59.03	77.57	310
MMa	37.37	78.64	-33.49	85.48	337
NMa	8.58	0.0	0.0	0.0	0
WMa	92.02	0.0	0.0	0.0	0
RCIE	39.92	58.74	27.99	65.07	25
JCIE	81.26	-2.88	71.56	71.62	92
GCIE	52.23	-42.41	13.6	44.55	162
BCIE	30.57	1.41	-46.46	46.49	272



Ein und Ausgabe: Farbmetrisches Drucker-Reflektiv-System FRS09_92a für relativen CIELAB-Buntton $h^* = lab^*h^* = h_{ab}/360 = 25/360 = 0.071$

Daten für jede Farbe:

lab^*ch^* und lab^*icu^*

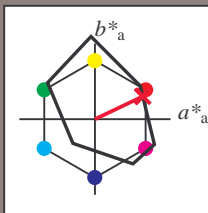
Elementar-Bunttontext:

$u^* = r00j$

Kontrastreduzierungsfaktor:

$c_R = 1.0$

Dreiecks-Helligkeit t^*



FRS09_92a; adaptierte CIELAB-Daten

	$L^*=L_a^*$	a_a^*	b_a^*	$C_{ab,a}^*$	$h_{ab,a}^*$
O _{Ma}	35.06	60.0	44.0	74.4	36
Y _{Ma}	83.77	-5.16	109.32	109.44	93
L _{Ma}	44.13	-62.66	48.24	79.09	142
C _{Ma}	52.66	-29.13	-31.98	43.27	228
V _{Ma}	14.15	50.3	-59.03	77.57	310
M _{Ma}	37.37	78.64	-33.49	85.48	337
N _{Ma}	8.58	0.0	0.0	0.0	0
W _{Ma}	92.02	0.0	0.0	0.0	0
R _{CIE}	39.92	58.74	27.99	65.07	25
J _{CIE}	81.26	-2.88	71.56	71.62	92
G _{CIE}	52.23	-42.41	13.6	44.55	162
B _{CIE}	30.57	1.41	-46.46	46.49	272

Daten für Maximalfarbe (Ma):

$LAB^*LAB^*_{Ma}$: 35 63 30

$LAB^*LCH^*_{Ma}$: 35 70 25

$lab^*rgb^*_{Ma}$: 1.0 0.0 0.0

$lab^*olv^*_{Ma}$: 1.0 0.0 0.18

Dreiecks-Helligkeit t^*

%Umfang

$u^*_{rel} = 109$

%Regularität

$g^*_{H,rel} = 31$

$g^*_{C,rel} = 40$

FRS09_92a; adaptierte CIELAB-Daten

	$L^*=L_a^*$	a_a^*	b_a^*	$C_{ab,a}^*$	$h_{ab,a}^*$
r00j	35.47	63.32	30.17	70.15	25
r25j	39.12	54.56	49.45	73.64	42
r50j	50.64	39.15	64.89	75.79	59
r75j	64.01	21.26	82.83	85.52	76
j00g	83.18	-4.37	108.53	108.62	92
j25g	66.73	-29.88	83.06	88.28	110
j50g	54.03	-48.3	63.49	79.78	127
j75g	44.73	-60.32	42.64	73.88	145
g00b	47.59	-49.07	15.74	51.54	162
g25b	49.97	-39.69	-6.71	40.27	190
g50b	51.85	-32.32	-24.34	40.48	217
g75b	46.92	-17.28	-36.01	39.96	244
b00r	37.91	1.28	-42.34	42.37	272
b25r	23.81	30.38	-52.25	60.45	300
b50r	29.52	69.06	-42.13	80.9	329
b75r	36.48	71.47	-3.68	71.57	357

$LAB^*LCH^*_{Ma}$

$i^* = 1.00$

Brillantheit i^*

$i^* = 0.80$

$i^* = 0.60$

$i^* = 0.40$

$i^* = 0.20$

$i^* = 0.00$

relative Buntheit c^*

relative Buntheit c^*

Ein und Ausgabe: Farbmetrisches Drucker-Reflektiv-System FRS09_92a für relativen CIELAB-Buntton $h^* = lab^*h^* = h_{ab}/360 = 42/360 = 0.117$ $u^* = r25j$

Daten für jede Farbe:

lab^*ch^* und lab^*icu^*

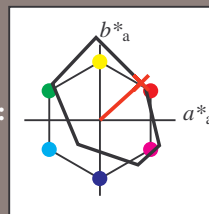
Elementar-Bunttontext:

$u^* = r25j$

Kontrastreduzierungsfaktor:

$c_R = 1.0$

Dreiecks-Helligkeit i^*



FRS09_92a; adaptierte CIELAB-Daten

	$L^*=L_a^*$	a_a^*	b_a^*	$C^*_{ab,a}$	$h^*_{ab,a}$
O _{Ma}	35.06	60.0	44.0	74.4	36
Y _{Ma}	83.77	-5.16	109.32	109.44	93
L _{Ma}	44.13	-62.66	48.24	79.09	142
C _{Ma}	52.66	-29.13	-31.98	43.27	228
V _{Ma}	14.15	50.3	-59.03	77.57	310
M _{Ma}	37.37	78.64	-33.49	85.48	337
N _{Ma}	8.58	0.0	0.0	0.0	0
W _{Ma}	92.02	0.0	0.0	0.0	0
R _{CIE}	39.92	58.74	27.99	65.07	25
J _{CIE}	81.26	-2.88	71.56	71.62	92
G _{CIE}	52.23	-42.41	13.6	44.55	162
B _{CIE}	30.57	1.41	-46.46	46.49	272

Daten für Maximalfarbe (Ma):

$LAB^*LAB^*_{Ma}$: 39 55 49

$LAB^*LCH^*_{Ma}$: 39 74 42

$lab^*rgb^*_{Ma}$: 1.0 0.25 0.0

$lab^*olv^*_{Ma}$: 1.0 0.08 0.0

Dreiecks-Helligkeit i^*

%Umfang

$u^*_{rel} = 109$

%Regularität

$g^*_{H,rel} = 31$

$g^*_{C,rel} = 40$

FRS09_92a; adaptierte CIELAB-Daten

	$L^*=L_a^*$	a_a^*	b_a^*	$C^*_{ab,a}$	$h^*_{ab,a}$
r00j	35.47	63.32	30.17	70.15	25
r25j	39.12	54.56	49.45	73.64	42
r50j	50.64	39.15	64.89	75.79	59
r75j	64.01	21.26	82.83	85.52	76
j00g	83.18	-4.37	108.53	108.62	92
j25g	66.73	-29.88	83.06	88.28	110
j50g	54.03	-48.83	63.49	79.78	127
j75g	44.73	-60.32	42.64	73.88	145
g00b	47.59	-49.07	15.74	51.54	162
g25b	49.97	-39.69	-6.71	40.27	190
g50b	51.85	-32.32	-24.34	40.48	217
g75b	46.92	-17.28	-36.01	39.96	244
b00r	37.91	1.28	-42.34	42.37	272
b25r	23.81	30.38	-52.25	60.45	300
b50r	29.52	69.06	-42.13	80.9	329
b75r	36.48	71.47	-3.68	71.57	357

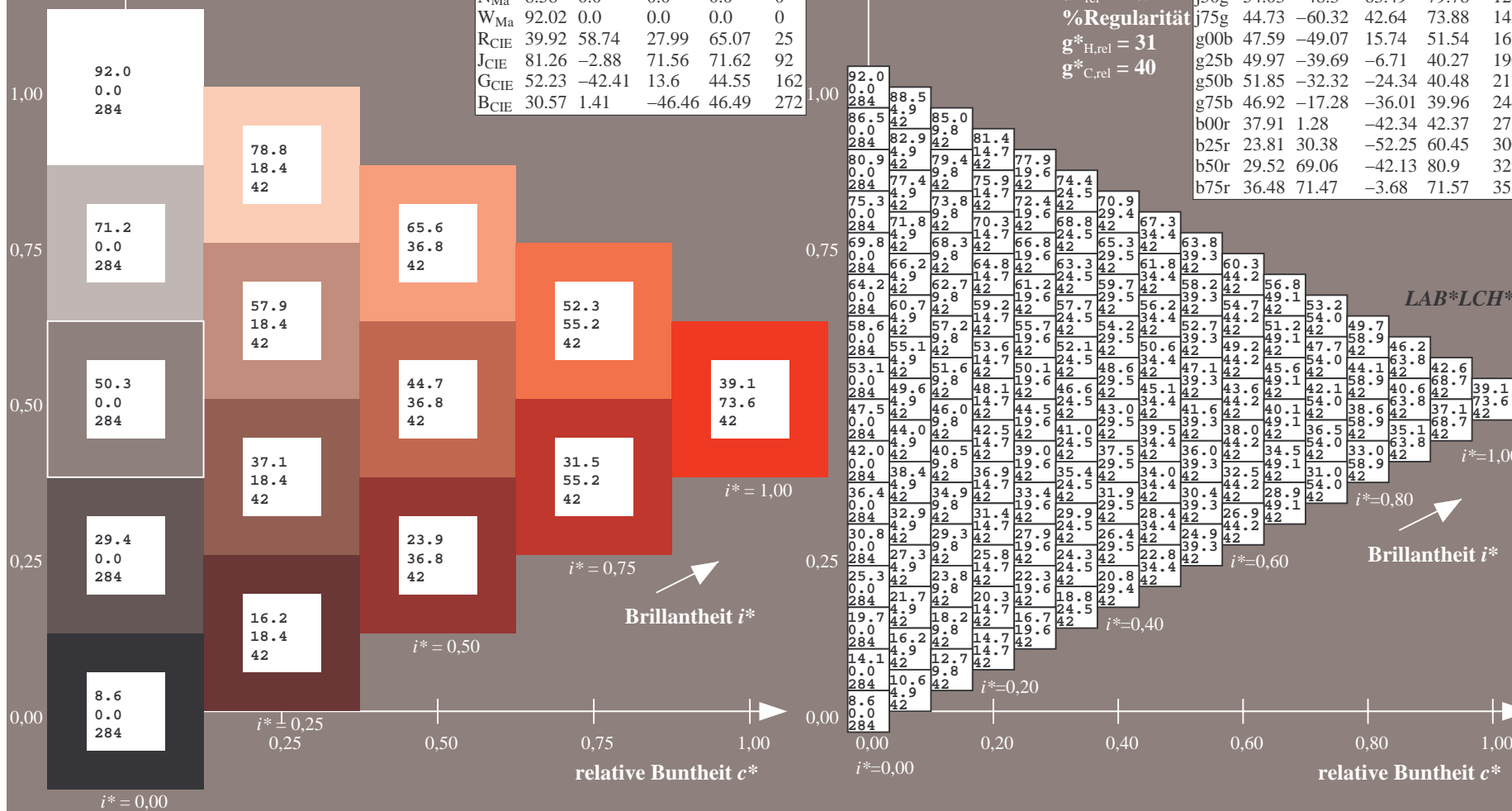


Figure 1



relative Buntheit c^*



Ausgabe: $\rightarrow cmy\mathbf{n}5^* setcmykcolor$

BAM-Registrierung: 20080701-Dg96/10L/L96G00NP.PS/.PDF BAM-Material: Code=rh44a
Anwendung für Beurteilung und Messung von Drucker- oder Monitorsystemen

Ein und Ausgabe: Farbmetrisches Drucker-Reflektiv-System FRS09_92a für relativen CIELAB-Buntton $h^* = lab^*h^* = h_{ab}/360 = 76/360 = 0.21$

Daten für jede Farbe:

lab^*ch^* und lab^*icu^*

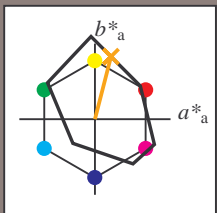
Elementar-Bunttontext:

$u^* = r75j$

Kontrastreduzierungsfaktor:

$c_R = 1.0$

Dreiecks-Helligkeit i^*



FRS09_92a; adaptierte CIELAB-Daten

	$L^*=L^*_a$	a^*_a	b^*_a	$C^*_{ab,a}$	$h^*_{ab,a}$
O _{Ma}	35.06	60.0	44.0	74.4	36
Y _{Ma}	83.77	-5.16	109.32	109.44	93
L _{Ma}	44.13	-62.66	48.24	79.09	142
C _{Ma}	52.66	-29.13	-31.98	43.27	228
V _{Ma}	14.15	50.3	-59.03	77.57	310
M _{Ma}	37.37	78.64	-33.49	85.48	337
N _{Ma}	8.58	0.0	0.0	0.0	0
W _{Ma}	92.02	0.0	0.0	0.0	0
R _{CIE}	39.92	58.74	27.99	65.07	25
J _{CIE}	81.26	-2.88	71.56	71.62	92
G _{CIE}	52.23	-42.41	13.6	44.55	162
B _{CIE}	30.57	1.41	-46.46	46.49	272

Daten für Maximalfarbe (Ma):

$LAB^*LAB^*_{Ma}$: 64 21 83

$LAB^*LCH^*_{Ma}$: 64 86 76

$lab^*rgb^*_{Ma}$: 1.0 0.75 0.0

$lab^*olv^*_{Ma}$: 1.0 0.59 0.0

Dreiecks-Helligkeit i^*

%Umfang

$u^*_{rel} = 109$

%Regularität

$g^*_{H,rel} = 31$

$g^*_{C,rel} = 40$

FRS09_92a; adaptierte CIELAB-Daten

	$L^*=L^*_a$	a^*_a	b^*_a	$C^*_{ab,a}$	$h^*_{ab,a}$
r00j	35.47	63.32	30.17	70.15	25
r25j	39.12	54.56	49.45	73.64	42
r50j	50.64	39.15	64.89	75.79	59
r75j	64.01	21.26	82.83	85.52	76
j00g	83.18	-4.37	108.53	108.62	92
j25g	66.73	-29.88	83.06	88.28	110
j50g	54.03	-48.3	63.49	79.78	127
j75g	44.73	-60.32	42.64	73.88	145
g00b	47.59	-49.07	15.74	51.54	162
g25b	49.97	-39.69	-6.71	40.27	190
g50b	51.85	-32.32	-24.34	40.48	217
g75b	46.92	-17.28	-36.01	39.96	244
b00r	37.91	1.28	-42.34	42.37	272
b25r	23.81	30.38	-52.25	60.45	300
b50r	29.52	69.06	-42.13	80.9	329
b75r	36.48	71.47	-3.68	71.57	357

$LAB^*LCH^*_{Ma}$

$i^* = 1.00$

Brillantheit i^*

$i^* = 0.80$

$i^* = 0.60$

$i^* = 0.40$

$i^* = 0.20$

$i^* = 0.00$

relative Buntheit c^*

relative Buntheit c^*

Ein und Ausgabe: Farbmetrisches Drucker-Reflektiv-System FRS09_92a für relativen CIELAB-Buntton $h^* = lab^*h^* = h_{ab}/360 = 92/360 = 0.256$ $u^* = j00g$

Daten für jede Farbe:

lab^*ch^* und lab^*icu^*

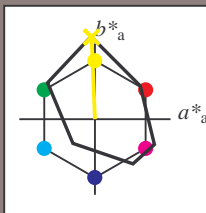
Elementar-Bunttontext:

$u^* = j00g$

Kontrastreduzierungsfaktor:

$c_R = 1.0$

Dreiecks-Helligkeit i^*



FRS09_92a; adaptierte CIELAB-Daten

	$L^*=L^*_a$	a^*_a	b^*_a	$C^*_{ab,a}$	$h^*_{ab,a}$
O _{Ma}	35.06	60.0	44.0	74.4	36
Y _{Ma}	83.77	-5.16	109.32	109.44	93
L _{Ma}	44.13	-62.66	48.24	79.09	142
C _{Ma}	52.66	-29.13	-31.98	43.27	228
V _{Ma}	14.15	50.3	-59.03	77.57	310
M _{Ma}	37.37	78.64	-33.49	85.48	337
N _{Ma}	8.58	0.0	0.0	0.0	0
W _{Ma}	92.02	0.0	0.0	0.0	0
R _{CIE}	39.92	58.74	27.99	65.07	25
J _{CIE}	81.26	-2.88	71.56	71.62	92
G _{CIE}	52.23	-42.41	13.6	44.55	162
B _{CIE}	30.57	1.41	-46.46	46.49	272

Daten für Maximalfarbe (Ma):

$LAB^*LAB^*_{Ma}$: 83 -3 109

$LAB^*LCH^*_{Ma}$: 83 109 92

$lab^*rgb^*_{Ma}$: 1.0 1.0 0.0

$lab^*olv^*_{Ma}$: 1.0 0.99 0.0

Dreiecks-Helligkeit i^*

%Umfang

$u^*_{rel} = 109$

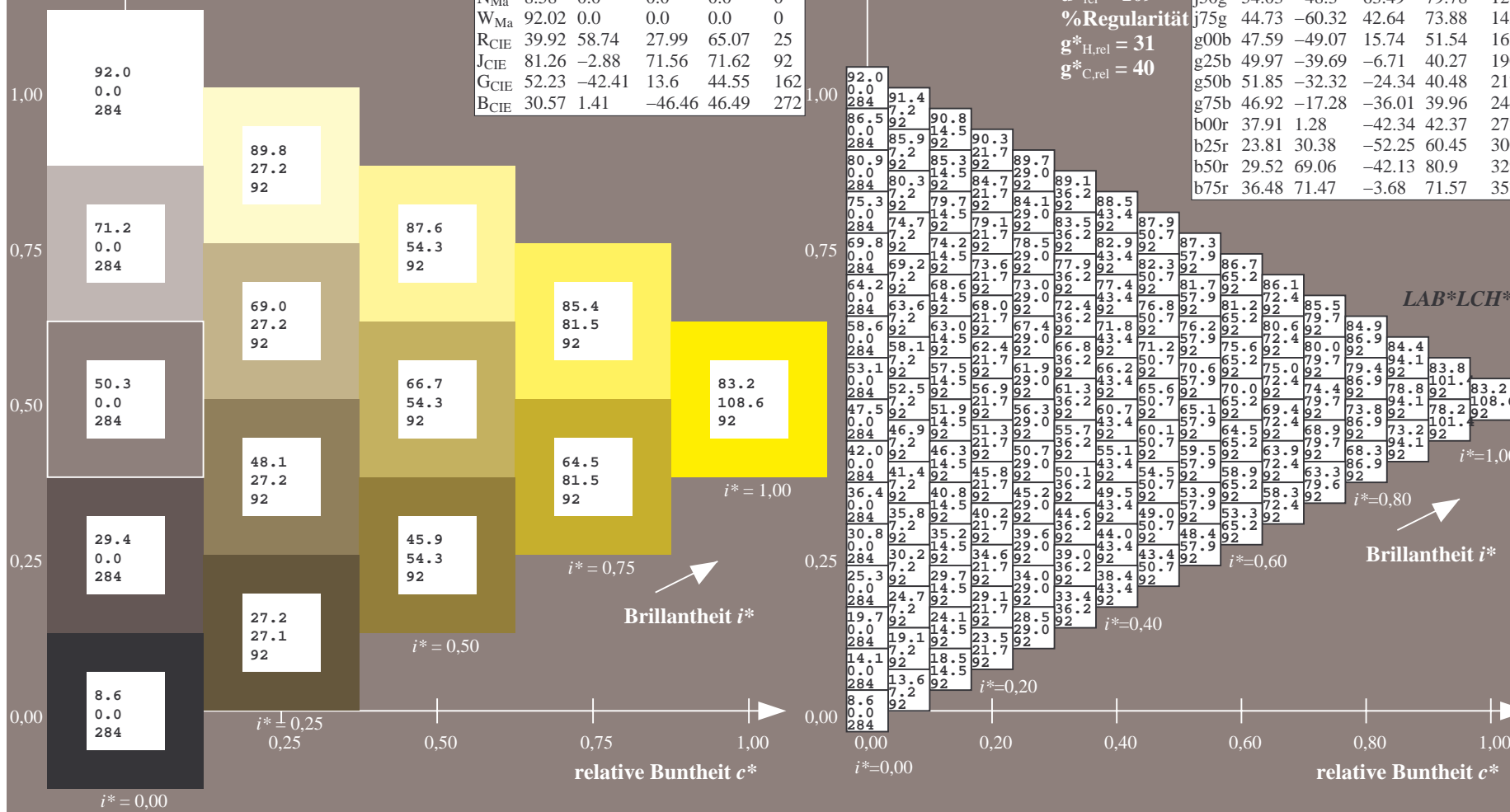
%Regularität

$g^*_{H,rel} = 31$

$g^*_{C,rel} = 40$

FRS09_92a; adaptierte CIELAB-Daten

	$L^*=L^*_a$	a^*_a	b^*_a	$C^*_{ab,a}$	$h^*_{ab,a}$
r00j	35.47	63.32	30.17	70.15	25
r25j	39.12	54.56	49.45	73.64	42
r50j	50.64	39.15	64.89	75.79	59
r75j	64.01	21.26	82.83	85.52	76
j00g	83.18	-4.37	108.53	108.62	92
j25g	66.73	-29.88	83.06	88.28	110
j50g	54.03	-48.3	63.49	79.78	127
j75g	44.73	-60.32	42.64	73.88	145
g00b	47.59	-49.07	15.74	51.54	162
g25b	49.97	-39.69	-6.71	40.27	190
g50b	51.85	-32.32	-24.34	40.48	217
g75b	46.92	-17.28	-36.01	39.96	244
b00r	37.91	1.28	-42.34	42.37	272
b25r	23.81	30.38	-52.25	60.45	300
b50r	29.52	69.06	-42.13	80.9	329
b75r	36.48	71.47	-3.68	71.57	357



Ein und Ausgabe: Farbmetrisches Drucker-Reflektiv-System FRS09_92a für relativen CIELAB-Buntton $h^* = lab^*h^* = h_{ab}/360 = 110/360 = 0.305$ $u^* = j25g$

Daten für jede Farbe:

lab^*ch^* und lab^*icu^*

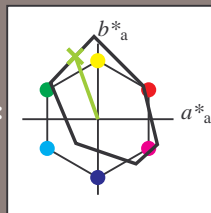
Elementar-Bunttontext:

$u^* = j25g$

Kontrastreduzierungsfaktor:

$c_R = 1.0$

Dreiecks-Helligkeit i^*



FRS09_92a; adaptierte CIELAB-Daten					
	$L^*=L^*_a$	a^*_a	b^*_a	$C^*_{ab,a}$	$h^*_{ab,a}$
O _{Ma}	35.06	60.0	44.0	74.4	36
Y _{Ma}	83.77	-5.16	109.32	109.44	93
L _{Ma}	44.13	-62.66	48.24	79.09	142
C _{Ma}	52.66	-29.13	-31.98	43.27	228
V _{Ma}	14.15	50.3	-59.03	77.57	310
M _{Ma}	37.37	78.64	-33.49	85.48	337
N _{Ma}	8.58	0.0	0.0	0.0	0
W _{Ma}	92.02	0.0	0.0	0.0	0
R _{CIE}	39.92	58.74	27.99	65.07	25
J _{CIE}	81.26	-2.88	71.56	71.62	92
G _{CIE}	52.23	-42.41	13.6	44.55	162
B _{CIE}	30.57	1.41	-46.46	46.49	272

Daten für Maximalfarbe (Ma):

$LAB^*LAB^*_{Ma}$: 67 -29 83

$LAB^*LCH^*_{Ma}$: 67 88 110

$lab^*rgb^*_{Ma}$: 0.75 1.0 0.0

$lab^*olv^*_{Ma}$: 0.57 1.0 0.0

Dreiecks-Helligkeit i^*

%Umfang

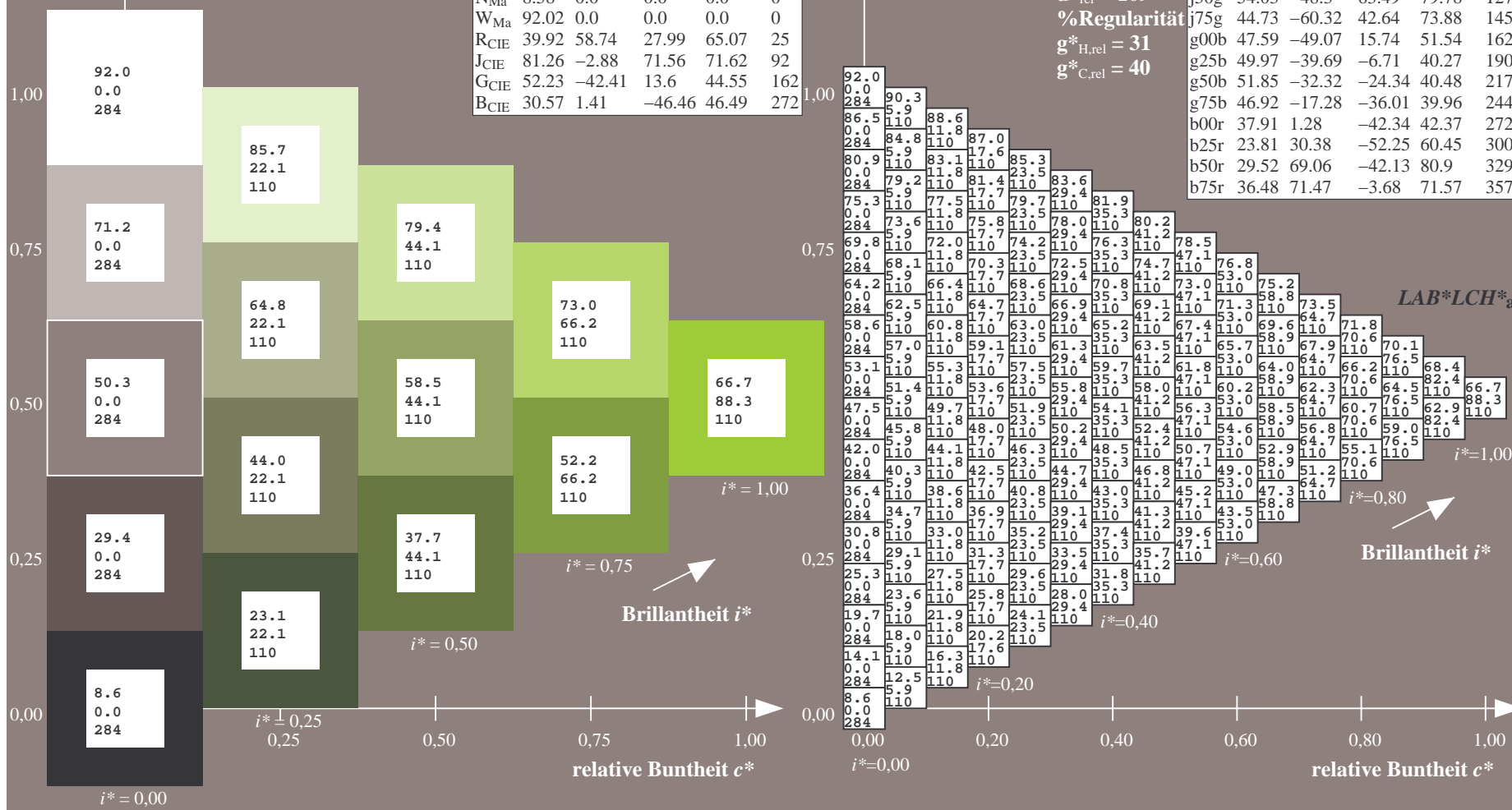
$u^*_{rel} = 109$

%Regularität

$g^*_{H,rel} = 31$

$g^*_{C,rel} = 40$

FRS09_92a; adaptierte CIELAB-Daten					
	$L^*=L^*_a$	a^*_a	b^*_a	$C^*_{ab,a}$	$h^*_{ab,a}$
r00j	35.47	63.32	30.17	70.15	25
r25j	39.12	54.56	49.45	73.64	42
r50j	50.64	39.15	64.89	75.79	59
r75j	64.01	21.26	82.83	85.52	76
j00g	83.18	-4.37	108.53	108.62	92
j25g	66.73	-29.88	83.06	88.28	110
j50g	54.03	-48.3	63.49	79.78	127
j75g	44.73	-60.32	42.64	73.88	145
g00b	47.59	-49.07	15.74	51.54	162
g25b	49.97	-39.69	-6.71	40.27	190
g50b	51.85	-32.32	-24.34	40.48	217
g75b	46.92	-17.28	-36.01	39.96	244
b00r	37.91	1.28	-42.34	42.37	272
b25r	23.81	30.38	-52.25	60.45	300
b50r	29.52	69.06	-42.13	80.9	329
b75r	36.48	71.47	-3.68	71.57	357



Ein und Ausgabe: Farbmetrisches Drucker-Reflektiv-System FRS09_92a für relativen CIELAB-Buntton $h^* = lab^*h^* = h_{ab}/360 = 127/360 = 0.354$ $u^* = j50g$

Daten für jede Farbe:

lab^*ch^* und lab^*icu^*

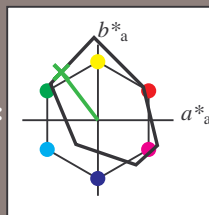
Elementar-Bunttontext:

$u^* = j50g$

Kontrastreduzierungsfaktor:

$c_R = 1.0$

Dreiecks-Helligkeit i^*



FRS09_92a; adaptierte CIELAB-Daten

	$L^*=L^*_a$	a^*_a	b^*_a	$C^*_{ab,a}$	$h^*_{ab,a}$
O _{Ma}	35.06	60.0	44.0	74.4	36
Y _{Ma}	83.77	-5.16	109.32	109.44	93
L _{Ma}	44.13	-62.66	48.24	79.09	142
C _{Ma}	52.66	-29.13	-31.98	43.27	228
V _{Ma}	14.15	50.3	-59.03	77.57	310
M _{Ma}	37.37	78.64	-33.49	85.48	337
N _{Ma}	8.58	0.0	0.0	0.0	0
W _{Ma}	92.02	0.0	0.0	0.0	0
R _{CIE}	39.92	58.74	27.99	65.07	25
J _{CIE}	81.26	-2.88	71.56	71.62	92
G _{CIE}	52.23	-42.41	13.6	44.55	162
B _{CIE}	30.57	1.41	-46.46	46.49	272

Daten für Maximalfarbe (Ma):

$LAB^*LAB^*_{Ma}$: 54 -47 63

$LAB^*LCH^*_{Ma}$: 54 80 127

$lab^*rgb^*_{Ma}$: 0.5 1.0 0.0

$lab^*olv^*_{Ma}$: 0.25 1.0 0.0

Dreiecks-Helligkeit i^*

%Umfang

$u^*_{rel} = 109$

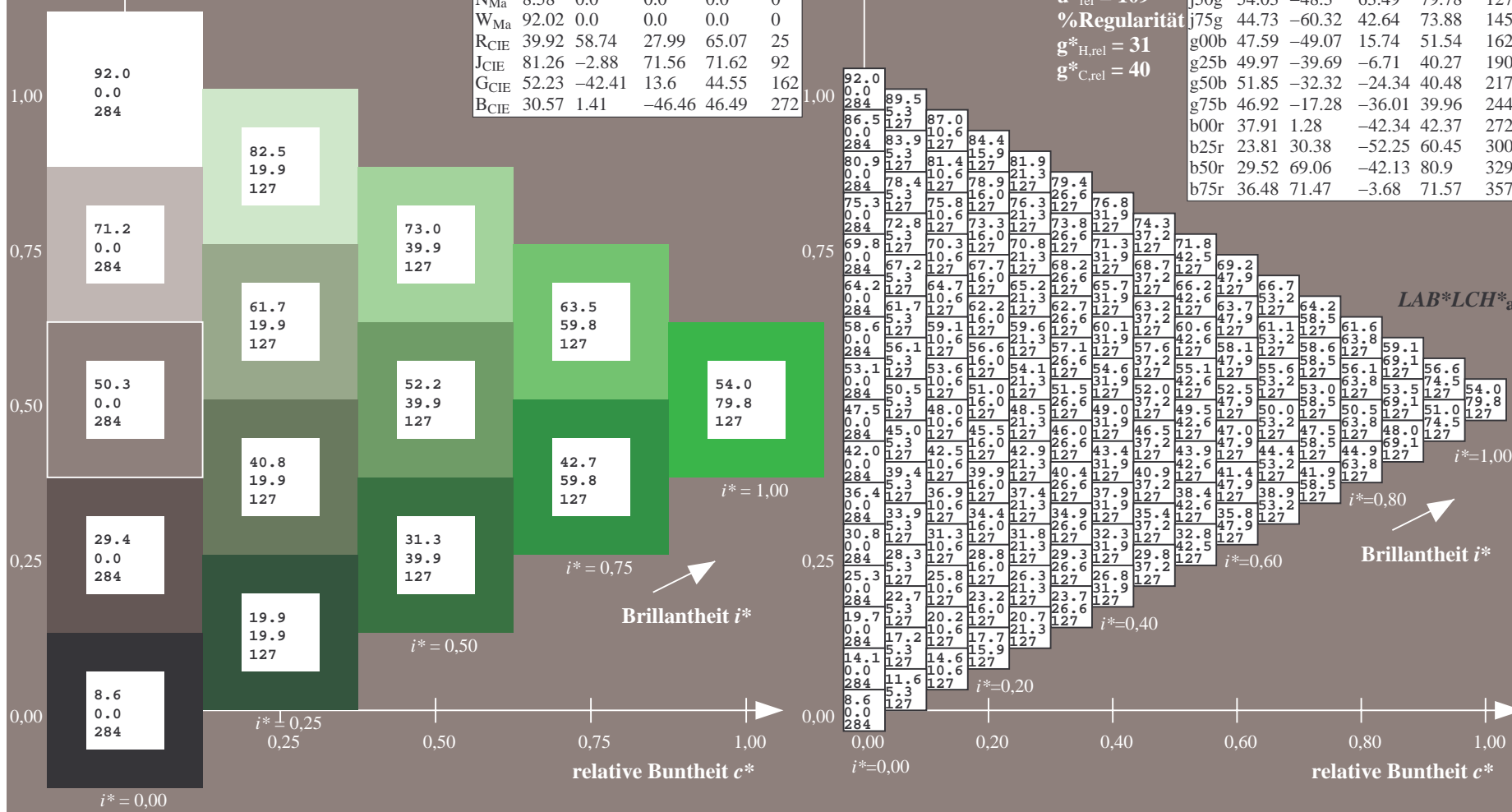
%Regularität

$g^*_{H,rel} = 31$

$g^*_{C,rel} = 40$

FRS09_92a; adaptierte CIELAB-Daten

	$L^*=L^*_a$	a^*_a	b^*_a	$C^*_{ab,a}$	$h^*_{ab,a}$
r00j	35.47	63.32	30.17	70.15	25
r25j	39.12	54.56	49.45	73.64	42
r50j	50.64	39.15	64.89	75.79	59
r75j	64.01	21.26	82.83	85.52	76
j00g	83.18	-4.37	108.53	108.62	92
j25g	66.73	-29.88	83.06	88.28	110
j50g	54.03	-48.3	63.49	79.78	127
j75g	44.73	-60.32	42.64	73.88	145
g00b	47.59	-49.07	15.74	51.54	162
g25b	49.97	-39.69	-6.71	40.27	190
g50b	51.85	-32.32	-24.34	40.48	217
g75b	46.92	-17.28	-36.01	39.96	244
b00r	37.91	1.28	-42.34	42.37	272
b25r	23.81	30.38	-52.25	60.45	300
b50r	29.52	69.06	-42.13	80.9	329
b75r	36.48	71.47	-3.68	71.57	357



Dreiecks-Helligkeit t^*



100



BAM-Registrierung: 20080701-Dg96/10L/L96G00NP.PS/.PDF BAM-Material: Code=rhdata
- Anwendung für Beurteilung und Messung von Drucker- oder Monitorsystemen

Ein und Ausgabe: Farbmetrisches Drucker-Reflektiv-System FRS09_92a für relativen CIELAB-Buntton $h^* = lab^*h^* = h_{ab}/360 = 190/360 = 0.527$ $u^* = g25b$

Daten für jede Farbe:

lab^*ch^* und lab^*icu^*

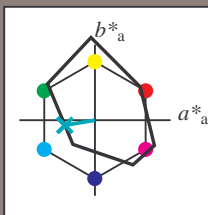
Elementar-Bunttontext:

$u^* = g25b$

Kontrastreduzierungsfaktor:

$c_R = 1.0$

Dreiecks-Helligkeit i^*



FRS09_92a; adaptierte CIELAB-Daten

	$L^*=L^*_a$	a^*_a	b^*_a	$C^*_{ab,a}$	$h^*_{ab,a}$
O _{Ma}	35.06	60.0	44.0	74.4	36
Y _{Ma}	83.77	-5.16	109.32	109.44	93
L _{Ma}	44.13	-62.66	48.24	79.09	142
C _{Ma}	52.66	-29.13	-31.98	43.27	228
V _{Ma}	14.15	50.3	-59.03	77.57	310
M _{Ma}	37.37	78.64	-33.49	85.48	337
N _{Ma}	8.58	0.0	0.0	0.0	0
W _{Ma}	92.02	0.0	0.0	0.0	0
R _{CIE}	39.92	58.74	27.99	65.07	25
J _{CIE}	81.26	-2.88	71.56	71.62	92
G _{CIE}	52.23	-42.41	13.6	44.55	162
B _{CIE}	30.57	1.41	-46.46	46.49	272

Daten für Maximalfarbe (Ma):

$LAB^*LAB^*_{Ma}$: 50 -39 -6

$LAB^*LCH^*_{Ma}$: 50 40 190

$lab^*rgb^*_{Ma}$: 0.0 1.0 0.5

$lab^*olv^*_{Ma}$: 0.0 1.0 0.69

Dreiecks-Helligkeit i^*

%Umfang

$u^*_{rel} = 109$

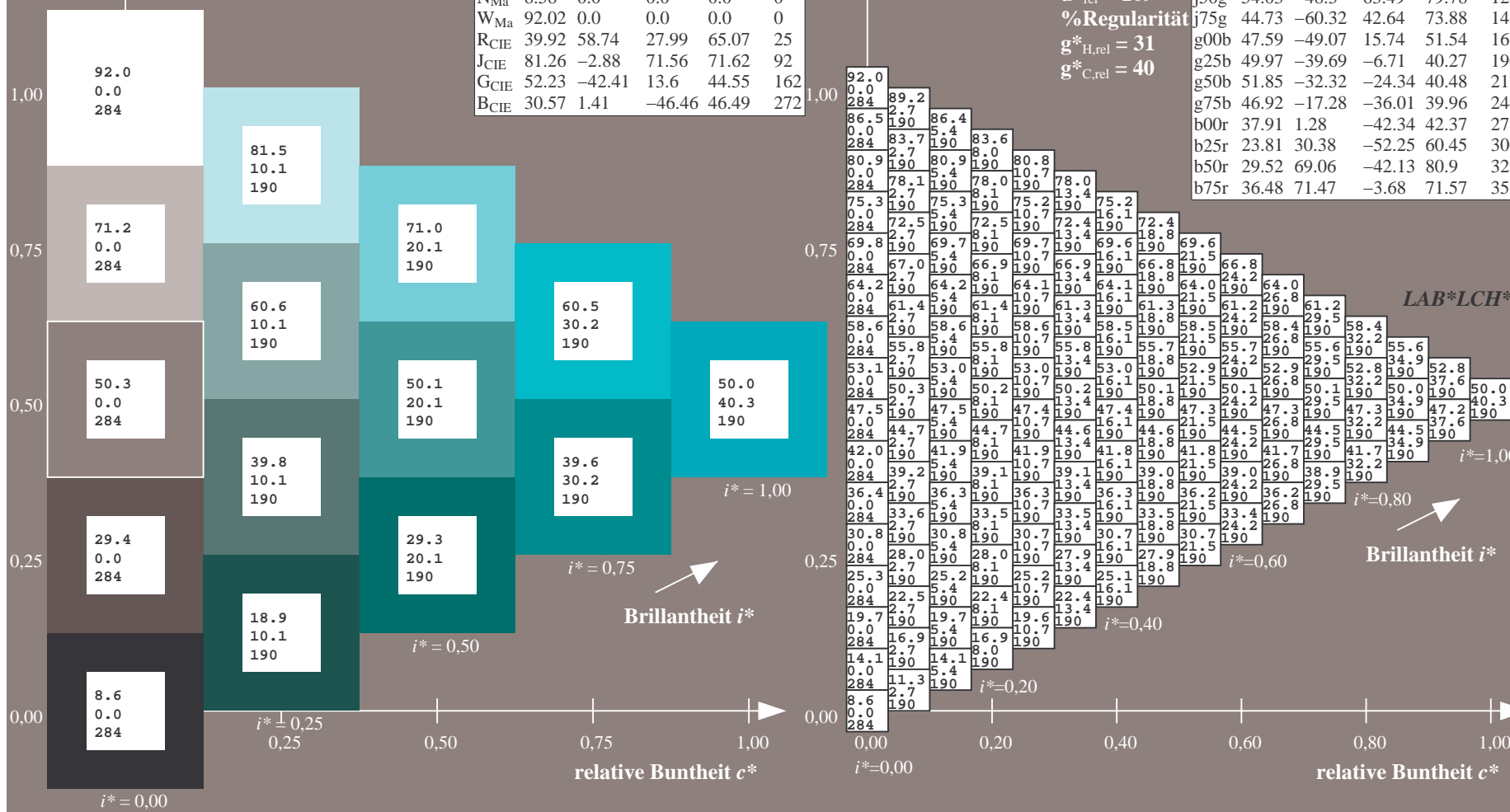
%Regularität

$g^*_{H,rel} = 31$

$g^*_{C,rel} = 40$

FRS09_92a; adaptierte CIELAB-Daten

	$L^*=L^*_a$	a^*_a	b^*_a	$C^*_{ab,a}$	$h^*_{ab,a}$
r00j	35.47	63.32	30.17	70.15	25
r25j	39.12	54.56	49.45	73.64	42
r50j	50.64	39.15	64.89	75.79	59
r75j	64.01	21.26	82.83	85.52	76
j00g	83.18	-4.37	108.53	108.62	92
j25g	66.73	-29.88	83.06	88.28	110
j50g	54.03	-48.3	63.49	79.78	127
j75g	44.73	-60.32	42.64	73.88	145
g00b	47.59	-49.07	15.74	51.54	162
g25b	49.97	-39.69	-6.71	40.27	190
g50b	51.85	-32.32	-24.34	40.48	217
g75b	46.92	-17.28	-36.01	39.96	244
b00r	37.91	1.28	-42.34	42.37	272
b25r	23.81	30.38	-52.25	60.45	300
b50r	29.52	69.06	-42.13	80.9	329
b75r	36.48	71.47	-3.68	71.57	357



Ein und Ausgabe: Farbmetrisches Drucker-Reflektiv-System FRS09_92a für relativen CIELAB-Buntton $h^* = lab^*h^* = h_{ab}/360 = 217/360 = 0.603$ $u^* = g50b$

Daten für jede Farbe:

lab^*ch^* und lab^*icu^*

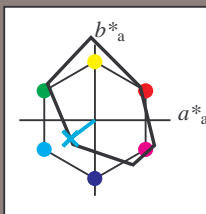
Elementar-Bunttontext:

$u^* = g50b$

Kontrastreduzierungsfaktor:

$c_R = 1.0$

Dreiecks-Helligkeit i^*



FRS09_92a; adaptierte CIELAB-Daten

	$L^*=L^*_a$	a^*_a	b^*_a	$C^*_{ab,a}$	$h^*_{ab,a}$
O _{Ma}	35.06	60.0	44.0	74.4	36
Y _{Ma}	83.77	-5.16	109.32	109.44	93
L _{Ma}	44.13	-62.66	48.24	79.09	142
C _{Ma}	52.66	-29.13	-31.98	43.27	228
V _{Ma}	14.15	50.3	-59.03	77.57	310
M _{Ma}	37.37	78.64	-33.49	85.48	337
N _{Ma}	8.58	0.0	0.0	0.0	0
W _{Ma}	92.02	0.0	0.0	0.0	0
R _{CIE}	39.92	58.74	27.99	65.07	25
J _{CIE}	81.26	-2.88	71.56	71.62	92
G _{CIE}	52.23	-42.41	13.6	44.55	162
B _{CIE}	30.57	1.41	-46.46	46.49	272

Daten für Maximalfarbe (Ma):

$LAB^*LAB^*_{Ma}$: 52 -31 -23

$LAB^*LCH^*_{Ma}$: 52 40 217

$lab^*rgb^*_{Ma}$: 0.0 1.0 1.0

$lab^*olv^*_{Ma}$: 0.0 1.0 0.9

Dreiecks-Helligkeit i^*

%Umfang

$u^*_{rel} = 109$

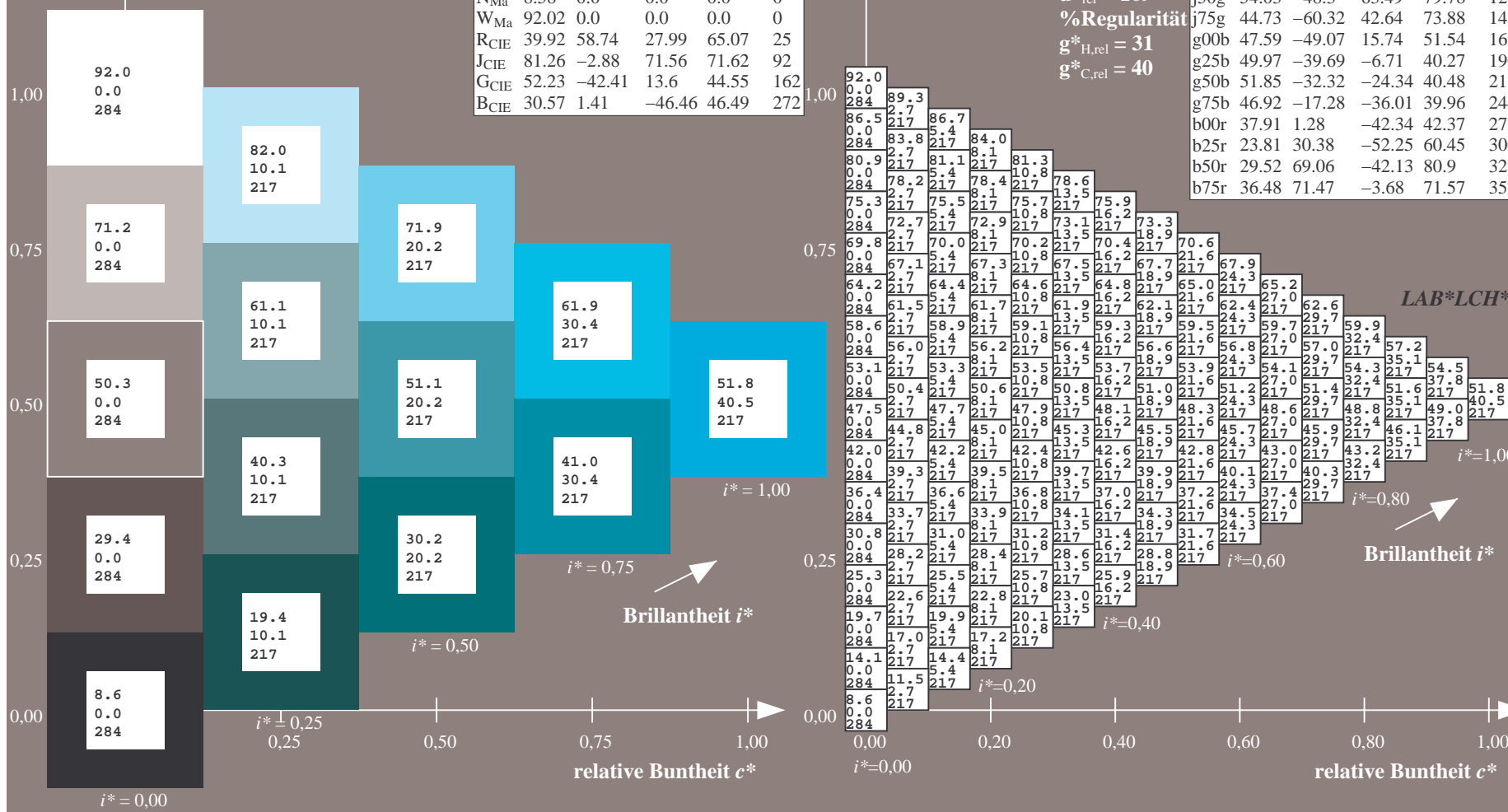
%Regularität

$g^*_{H,rel} = 31$

$g^*_{C,rel} = 40$

FRS09_92a; adaptierte CIELAB-Daten

	$L^*=L^*_a$	a^*_a	b^*_a	$C^*_{ab,a}$	$h^*_{ab,a}$
r00j	35.47	63.32	30.17	70.15	25
r25j	39.12	54.56	49.45	73.64	42
r50j	50.64	39.15	64.89	75.79	59
r75j	64.01	21.26	82.83	85.52	76
j00g	83.18	-4.37	108.53	108.62	92
j25g	66.73	-29.88	83.06	88.28	110
j50g	54.03	-48.3	63.49	79.78	127
j75g	44.73	-60.32	42.64	73.88	145
g00b	47.59	-49.07	15.74	51.54	162
g25b	49.97	-39.69	-6.71	40.27	190
g50b	51.85	-32.32	-24.34	40.48	217
g75b	46.92	-17.28	-36.01	39.96	244
b00r	37.91	1.28	-42.34	42.37	272
b25r	23.81	30.38	-52.25	60.45	300
b50r	29.52	69.06	-42.13	80.9	329
b75r	36.48	71.47	-3.68	71.57	357



Ein und Ausgabe: Farbmetrisches Drucker-Reflektiv-System FRS09_92a für relativen CIELAB-Buntton $h^* = lab^*h^* = h_{ab}/360 = 244/360 = 0.679$ $u^* = g75b$

Daten für jede Farbe:

lab^*ch^* und lab^*icu^*

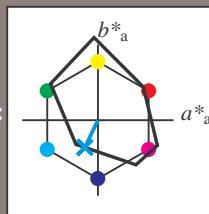
Elementar-Bunttontext:

$u^* = g75b$

Kontrastreduzierungsfaktor:

$c_R = 1.0$

Dreiecks-Helligkeit i^*



FRS09_92a; adaptierte CIELAB-Daten

	$L^*=L^*_a$	a^*_a	b^*_a	$C^*_{ab,a}$	$h^*_{ab,a}$
O _{Ma}	35.06	60.0	44.0	74.4	36
Y _{Ma}	83.77	-5.16	109.32	109.44	93
L _{Ma}	44.13	-62.66	48.24	79.09	142
C _{Ma}	52.66	-29.13	-31.98	43.27	228
V _{Ma}	14.15	50.3	-59.03	77.57	310
M _{Ma}	37.37	78.64	-33.49	85.48	337
N _{Ma}	8.58	0.0	0.0	0.0	0
W _{Ma}	92.02	0.0	0.0	0.0	0
R _{CIE}	39.92	58.74	27.99	65.07	25
J _{CIE}	81.26	-2.88	71.56	71.62	92
G _{CIE}	52.23	-42.41	13.6	44.55	162
B _{CIE}	30.57	1.41	-46.46	46.49	272

Daten für Maximalfarbe (Ma):

$LAB^*LAB^*_{Ma}$: 47 -16 -35

$LAB^*LCH^*_{Ma}$: 47 40 244

$lab^*rgb^*_{Ma}$: 0.0 0.5 1.0

$lab^*olv^*_{Ma}$: 0.0 0.85 1.0

Dreiecks-Helligkeit i^*

%Umfang

$u^*_{rel} = 109$

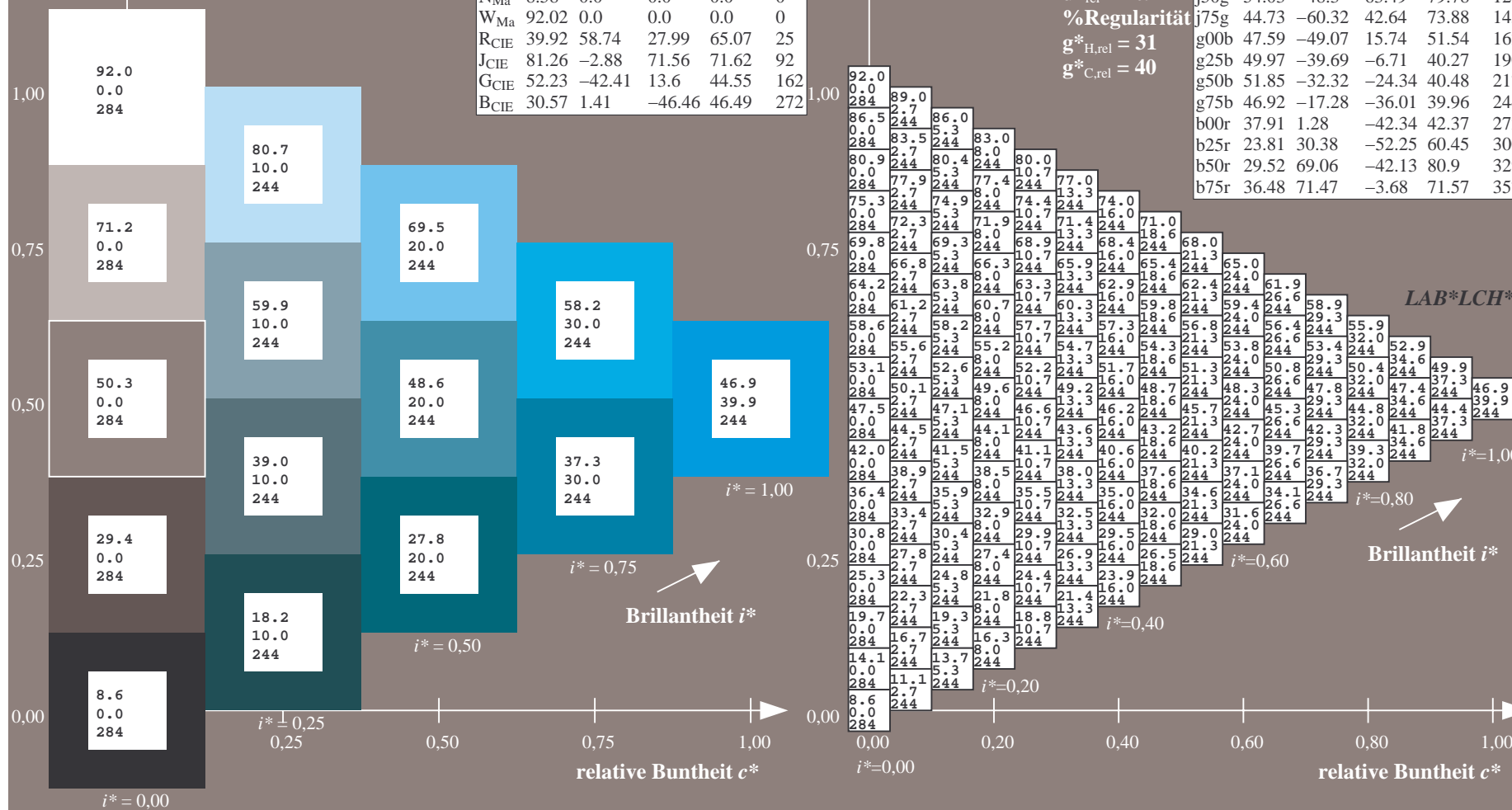
%Regularität

$g^*_{H,rel} = 31$

$g^*_{C,rel} = 40$

FRS09_92a; adaptierte CIELAB-Daten

	$L^*=L^*_a$	a^*_a	b^*_a	$C^*_{ab,a}$	$h^*_{ab,a}$
r00j	35.47	63.32	30.17	70.15	25
r25j	39.12	54.56	49.45	73.64	42
r50j	50.64	39.15	64.89	75.79	59
r75j	64.01	21.26	82.83	85.52	76
j00g	83.18	-4.37	108.53	108.62	92
j25g	66.73	-29.88	83.06	88.28	110
j50g	54.03	-48.3	63.49	79.78	127
j75g	44.73	-60.32	42.64	73.88	145
g00b	47.59	-49.07	15.74	51.54	162
g25b	49.97	-39.69	-6.71	40.27	190
g50b	51.85	-32.32	-24.34	40.48	217
g75b	46.92	-17.28	-36.01	39.96	244
b00r	37.91	1.28	-42.34	42.37	272
b25r	23.81	30.38	-52.25	60.45	300
b50r	29.52	69.06	-42.13	80.9	329
b75r	36.48	71.47	-3.68	71.57	357



Ein und Ausgabe: Farbmetrisches Drucker-Reflektiv-System FRS09_92a für relativen CIELAB-Buntton $h^* = lab^*h^* = h_{ab}/360 = 272/360 = 0.755$ $u^* = b00r$

Daten für jede Farbe:

lab^*ch^* und lab^*icu^*

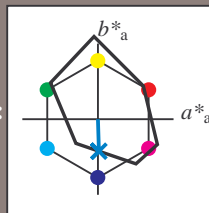
Elementar-Bunttontext:

$u^* = b00r$

Kontrastreduzierungsfaktor:

$c_R = 1.0$

Dreiecks-Helligkeit i^*



FRS09_92a; adaptierte CIELAB-Daten

	$L^*=L^*_a$	a^*_a	b^*_a	$C^*_{ab,a}$	$h^*_{ab,a}$
O _{Ma}	35.06	60.0	44.0	74.4	36
Y _{Ma}	83.77	-5.16	109.32	109.44	93
L _{Ma}	44.13	-62.66	48.24	79.09	142
C _{Ma}	52.66	-29.13	-31.98	43.27	228
V _{Ma}	14.15	50.3	-59.03	77.57	310
M _{Ma}	37.37	78.64	-33.49	85.48	337
N _{Ma}	8.58	0.0	0.0	0.0	0
W _{Ma}	92.02	0.0	0.0	0.0	0
R _{CIE}	39.92	58.74	27.99	65.07	25
J _{CIE}	81.26	-2.88	71.56	71.62	92
G _{CIE}	52.23	-42.41	13.6	44.55	162
B _{CIE}	30.57	1.41	-46.46	46.49	272

Daten für Maximalfarbe (Ma):

$LAB^*LAB^*_{Ma}$: 38 1 -41

$LAB^*LCH^*_{Ma}$: 38 42 272

$lab^*rgb^*_{Ma}$: 0.0 0.0 1.0

$lab^*olv^*_{Ma}$: 0.0 0.62 1.0

Dreiecks-Helligkeit i^*

%Umfang

$u^*_{rel} = 109$

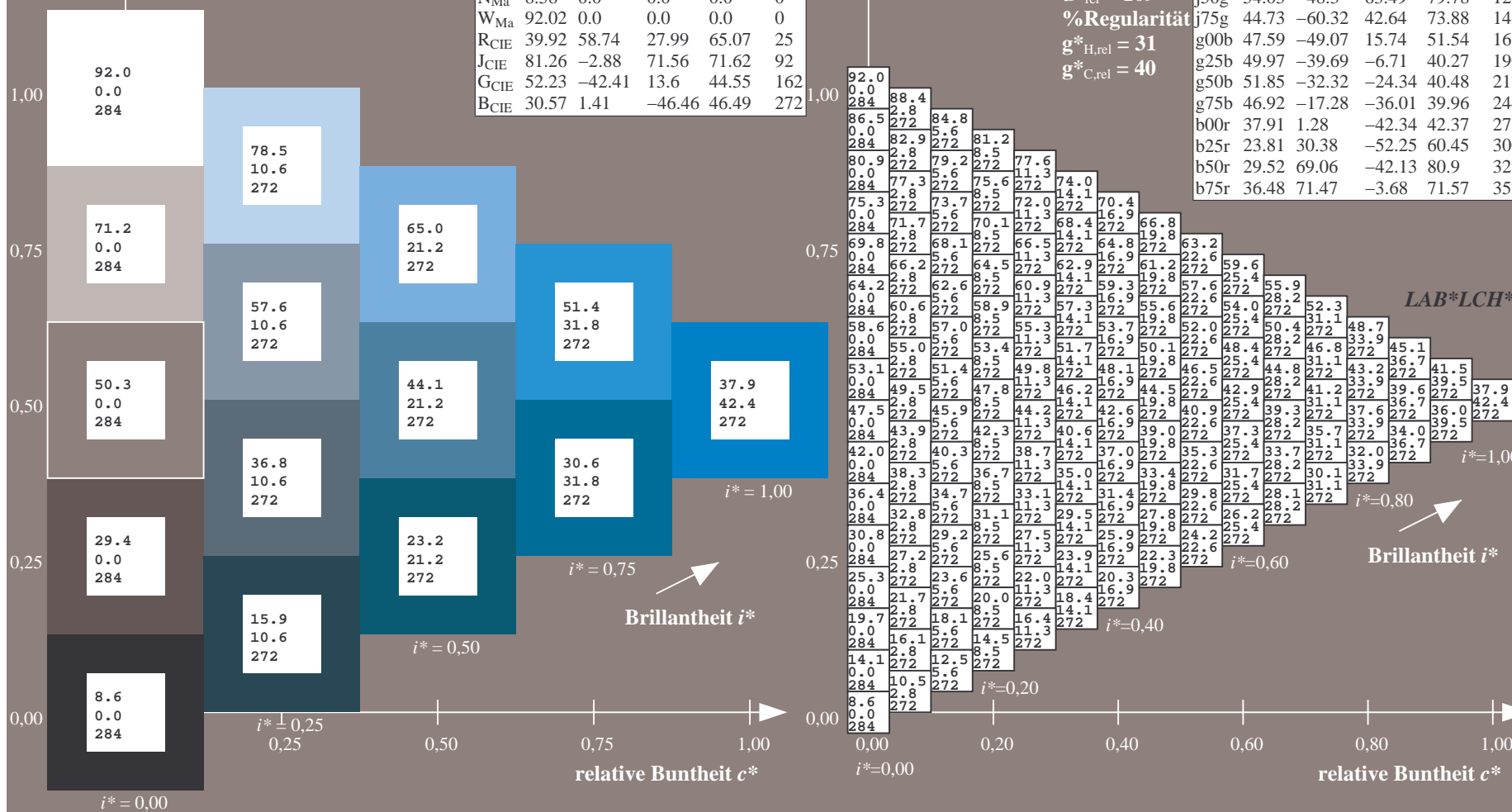
%Regularität

$g^*_{H,rel} = 31$

$g^*_{C,rel} = 40$

FRS09_92a; adaptierte CIELAB-Daten

	$L^*=L^*_a$	a^*_a	b^*_a	$C^*_{ab,a}$	$h^*_{ab,a}$
r00j	35.47	63.32	30.17	70.15	25
r25j	39.12	54.56	49.45	73.64	42
r50j	50.64	39.15	64.89	75.79	59
r75j	64.01	21.26	82.83	85.52	76
j00g	83.18	-4.37	108.53	108.62	92
j25g	66.73	-29.88	83.06	88.28	110
j50g	54.03	-48.3	63.49	79.78	127
j75g	44.73	-60.32	42.64	73.88	145
g00b	47.59	-49.07	15.74	51.54	162
g25b	49.97	-39.69	-6.71	40.27	190
g50b	51.85	-32.32	-24.34	40.48	217
g75b	46.92	-17.28	-36.01	39.96	244
b00r	37.91	1.28	-42.34	42.37	272
b25r	23.81	30.38	-52.25	60.45	300
b50r	29.52	69.06	-42.13	80.9	329
b75r	36.48	71.47	-3.68	71.57	357



Ein und Ausgabe: Farbmetrisches Drucker-Reflektiv-System FRS09_92a für relativen CIELAB-Buntton $h^* = \text{lab}^*h^* = h_{ab}/360 = 300/360 = 0.834$ $u^* = b25r$

Daten für jede Farbe:

lab^*ch^* und lab^*icu^*

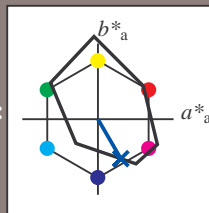
Elementar-Bunttontext:

$u^* = b25r$

Kontrastreduzierungsfaktor:

$c_R = 1.0$

Dreiecks-Helligkeit i^*



FRS09_92a; adaptierte CIELAB-Daten

	$L^*=L^*_a$	a^*_a	b^*_a	$C^*_{ab,a}$	$h^*_{ab,a}$
O _{Ma}	35.06	60.0	44.0	74.4	36
Y _{Ma}	83.77	-5.16	109.32	109.44	93
L _{Ma}	44.13	-62.66	48.24	79.09	142
C _{Ma}	52.66	-29.13	-31.98	43.27	228
V _{Ma}	14.15	50.3	-59.03	77.57	310
M _{Ma}	37.37	78.64	-33.49	85.48	337
N _{Ma}	8.58	0.0	0.0	0.0	0
W _{Ma}	92.02	0.0	0.0	0.0	0
R _{CIE}	39.92	58.74	27.99	65.07	25
J _{CIE}	81.26	-2.88	71.56	71.62	92
G _{CIE}	52.23	-42.41	13.6	44.55	162
B _{CIE}	30.57	1.41	-46.46	46.49	272

Daten für Maximalfarbe (Ma):

$\text{LAB}^*\text{LAB}^*_{Ma}$: 24 30 -51

$\text{LAB}^*\text{LCH}^*_{Ma}$: 24 60 300

$\text{lab}^*\text{rgb}^*_{Ma}$: 0.5 0.0 1.0

$\text{lab}^*\text{olv}^*_{Ma}$: 0.0 0.25 1.0

Dreiecks-Helligkeit i^*

%Umfang

$u^*_{rel} = 109$

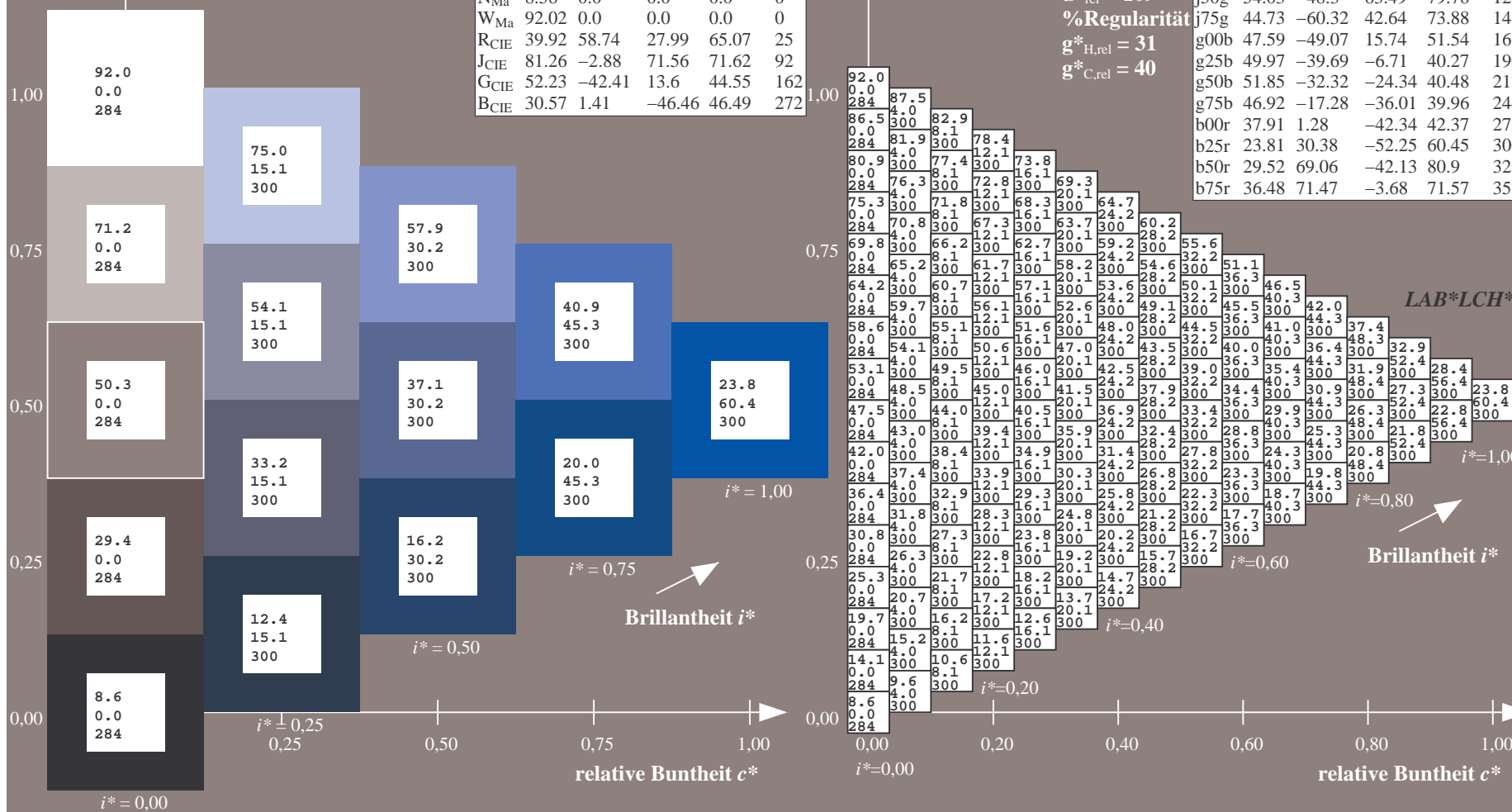
%Regularität

$g^*_{H,rel} = 31$

$g^*_{C,rel} = 40$

FRS09_92a; adaptierte CIELAB-Daten

	$L^*=L^*_a$	a^*_a	b^*_a	$C^*_{ab,a}$	$h^*_{ab,a}$
r00j	35.47	63.32	30.17	70.15	25
r25j	39.12	54.56	49.45	73.64	42
r50j	50.64	39.15	64.89	75.79	59
r75j	64.01	21.26	82.83	85.52	76
j00g	83.18	-4.37	108.53	108.62	92
j25g	66.73	-29.88	83.06	88.28	110
j50g	54.03	-48.3	63.49	79.78	127
j75g	44.73	-60.32	42.64	73.88	145
g00b	47.59	-49.07	15.74	51.54	162
g25b	49.97	-39.69	-6.71	40.27	190
g50b	51.85	-32.32	-24.34	40.48	217
g75b	46.92	-17.28	-36.01	39.96	244
b00r	37.91	1.28	-42.34	42.37	272
b25r	23.81	30.38	-52.25	60.45	300
b50r	29.52	69.06	-42.13	80.9	329
b75r	36.48	71.47	-3.68	71.57	357



Ein und Ausgabe: Farbmetrisches Drucker-Reflektiv-System FRS09_92a für relativen CIELAB-Buntton $h^* = lab^*h^* = h_{ab}/360 = 329/360 = 0.913$ $u^* = b50r$

Daten für jede Farbe:

lab^*tch^* und lab^*icu^*

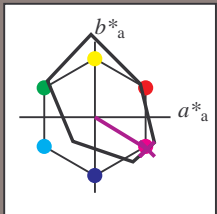
Elementar-Bunttontext:

$u^* = b50r$

Kontrastreduzierungsfaktor:

$c_R = 1.0$

Dreiecks-Helligkeit t^*



FRS09_92a; adaptierte CIELAB-Daten

	$L^*=L^*_a$	a^*_a	b^*_a	$C^*_{ab,a}$	$h^*_{ab,a}$
O _{Ma}	35.06	60.0	44.0	74.4	36
Y _{Ma}	83.77	-5.16	109.32	109.44	93
L _{Ma}	44.13	-62.66	48.24	79.09	142
C _{Ma}	52.66	-29.13	-31.98	43.27	228
V _{Ma}	14.15	50.3	-59.03	77.57	310
M _{Ma}	37.37	78.64	-33.49	85.48	337
N _{Ma}	8.58	0.0	0.0	0.0	0
W _{Ma}	92.02	0.0	0.0	0.0	0
R _{CIE}	39.92	58.74	27.99	65.07	25
J _{CIE}	81.26	-2.88	71.56	71.62	92
G _{CIE}	52.23	-42.41	13.6	44.55	162
B _{CIE}	30.57	1.41	-46.46	46.49	272

Daten für Maximalfarbe (Ma):

$LAB^*LAB^*_{Ma}$: 30 69 -41

$LAB^*LCH^*_{Ma}$: 30 81 329

$lab^*rgb^*_{Ma}$: 1.0 0.0 1.0

$lab^*olv^*_{Ma}$: 0.66 0.0 1.0

Dreiecks-Helligkeit t^*

%Umfang

$u^*_{rel} = 109$

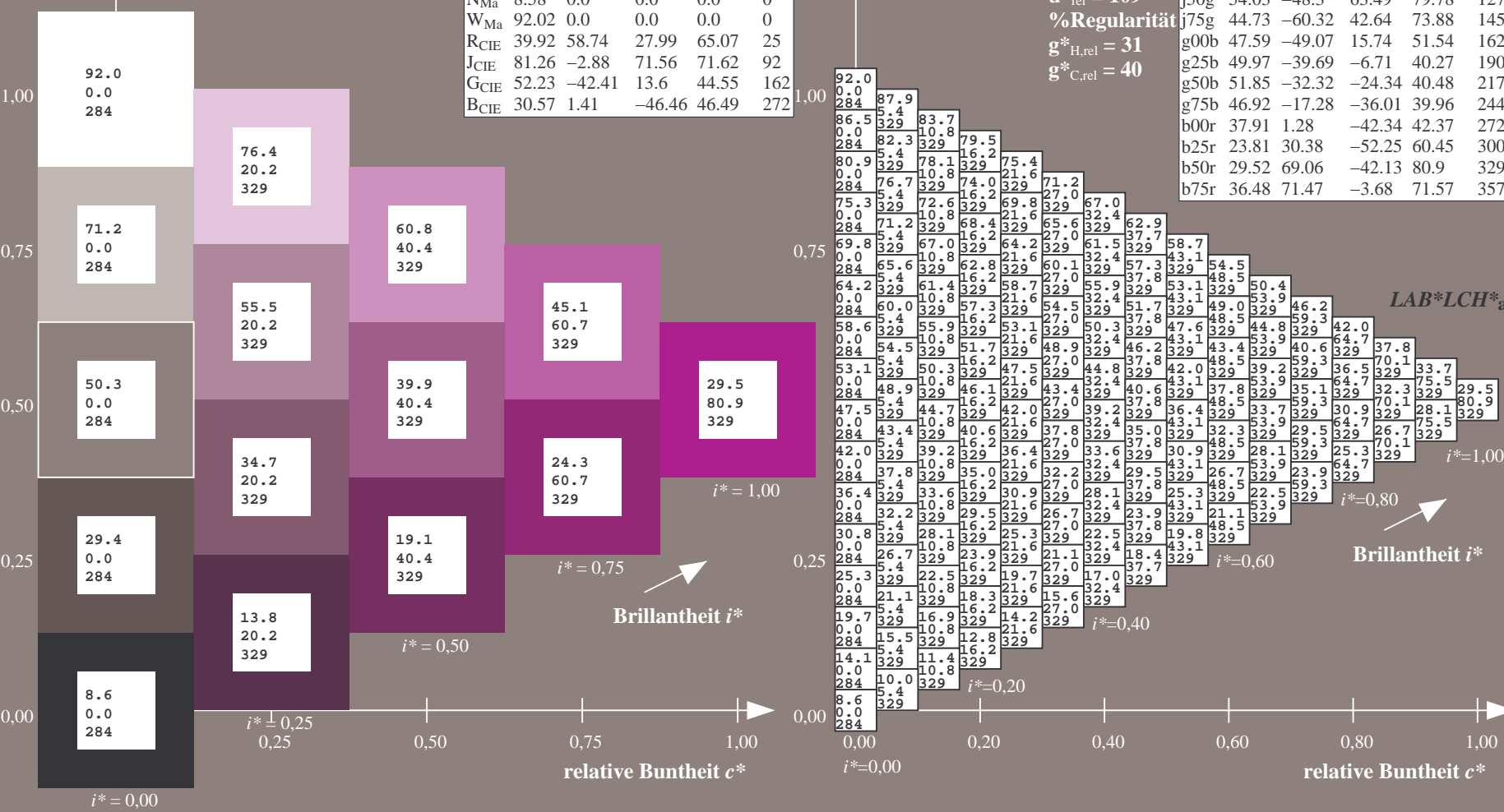
%Regularität

$g^*_{H,rel} = 31$

$g^*_{C,rel} = 40$

FRS09_92a; adaptierte CIELAB-Daten

	$L^*=L^*_a$	a^*_a	b^*_a	$C^*_{ab,a}$	$h^*_{ab,a}$
r00j	35.47	63.32	30.17	70.15	25
r25j	39.12	54.56	49.45	73.64	42
r50j	50.64	39.15	64.89	75.79	59
r75j	64.01	21.26	82.83	85.52	76
j00g	83.18	-4.37	108.53	108.62	92
j25g	66.73	-29.88	83.06	88.28	110
j50g	54.03	-48.3	63.49	79.78	127
j75g	44.73	-60.32	42.64	73.88	145
g00b	47.59	-49.07	15.74	51.54	162
g25b	49.97	-39.69	-6.71	40.27	190
g50b	51.85	-32.32	-24.34	40.48	217
g75b	46.92	-17.28	-36.01	39.96	244
b00r	37.91	1.28	-42.34	42.37	272
b25r	23.81	30.38	-52.25	60.45	300
b50r	29.52	69.06	-42.13	80.9	329
b75r	36.48	71.47	-3.68	71.57	357



Ein und Ausgabe: Farbmetrisches Drucker-Reflektiv-System FRS09_92a für relativen CIELAB-Buntton $h^* = lab^*h^* = h_{ab}/360 = 357/360 = 0.992$ $u^* = b75r$

Daten für jede Farbe:

lab^*tch^* und lab^*icu^*

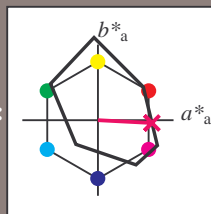
Elementar-Bunttontext:

$u^* = b75r$

Kontrastreduzierungsfaktor:

$c_R = 1.0$

Dreiecks-Helligkeit i^*



FRS09_92a; adaptierte CIELAB-Daten

	$L^*=L^*_a$	a^*_a	b^*_a	$C^*_{ab,a}$	$h^*_{ab,a}$
O _{Ma}	35.06	60.0	44.0	74.4	36
Y _{Ma}	83.77	-5.16	109.32	109.44	93
L _{Ma}	44.13	-62.66	48.24	79.09	142
C _{Ma}	52.66	-29.13	-31.98	43.27	228
V _{Ma}	14.15	50.3	-59.03	77.57	310
M _{Ma}	37.37	78.64	-33.49	85.48	337
N _{Ma}	8.58	0.0	0.0	0.0	0
W _{Ma}	92.02	0.0	0.0	0.0	0
R _{CIE}	39.92	58.74	27.99	65.07	25
J _{CIE}	81.26	-2.88	71.56	71.62	92
G _{CIE}	52.23	-42.41	13.6	44.55	162
B _{CIE}	30.57	1.41	-46.46	46.49	272

Daten für Maximalfarbe (Ma):

$LAB^*LAB^*_{Ma}$: 36 71 -3

$LAB^*LCH^*_{Ma}$: 36 72 357

$lab^*rgb^*_{Ma}$: 1.0 0.0 0.5

$lab^*olv^*_{Ma}$: 1.0 0.0 0.62

Dreiecks-Helligkeit i^*

%Umfang

$u^*_{rel} = 109$

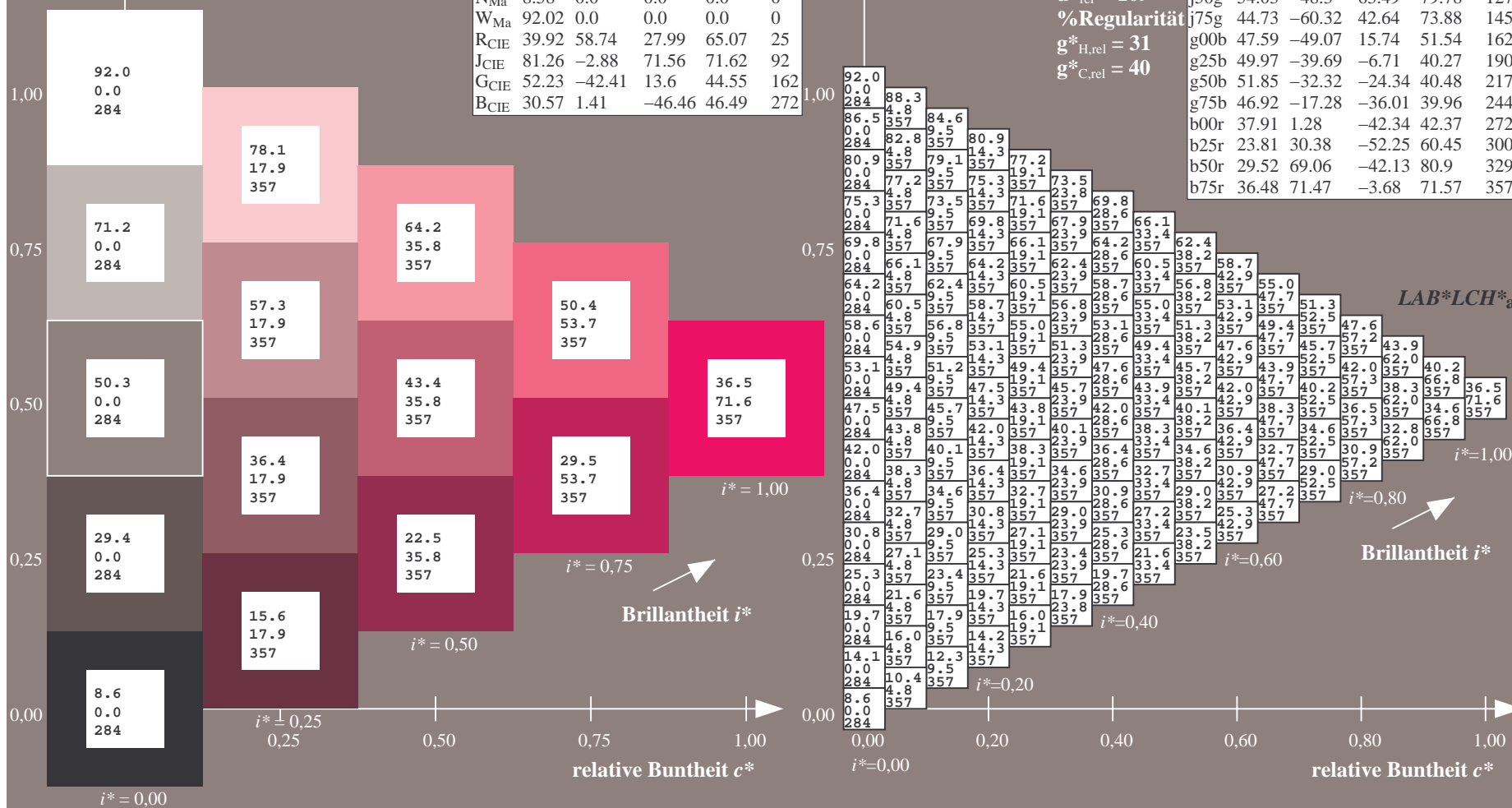
%Regularität

$g^*_{H,rel} = 31$

$g^*_{C,rel} = 40$

FRS09_92a; adaptierte CIELAB-Daten

	$L^*=L^*_a$	a^*_a	b^*_a	$C^*_{ab,a}$	$h^*_{ab,a}$
r00j	35.47	63.32	30.17	70.15	25
r25j	39.12	54.56	49.45	73.64	42
r50j	50.64	39.15	64.89	75.79	59
r75j	64.01	21.26	82.83	85.52	76
j00g	83.18	-4.37	108.53	108.62	92
j25g	66.73	-29.88	83.06	88.28	110
j50g	54.03	-48.3	63.49	79.78	127
j75g	44.73	-60.32	42.64	73.88	145
g00b	47.59	-49.07	15.74	51.54	162
g25b	49.97	-39.69	-6.71	40.27	190
g50b	51.85	-32.32	-24.34	40.48	217
g75b	46.92	-17.28	-36.01	39.96	244
b00r	37.91	1.28	-42.34	42.37	272
b25r	23.81	30.38	-52.25	60.45	300
b50r	29.52	69.06	-42.13	80.9	329
b75r	36.48	71.47	-3.68	71.57	357



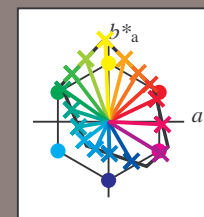
Siehe ähnliche Dateien: <http://www.ps.bam.de/Dg96/>; www.ps.bam.de/Dg96/10L/L96G00NP.PS/.PDF BAM-Material: Code=th4ta
Technische Information: <http://www.ps.bam.de/Version 2.1, io=1.1, ColSpX=0>

	A	B	C	D	E	F	G	H	I	J	K	L	M	N	O	P	Q	R	S	T	U	V	W	X	Y	Z	a	b	c	d	e	f	g	h	i	j	k	LAB*LCH*		
01	8.6	13.0	17.5	21.9	26.4	30.8	35.2	39.7	44.1	48.5	52.9	57.3	61.7	66.1	70.5	74.9	79.3	83.7	88.1	92.5	96.9	101.3	105.7	110.1	114.5	118.9	123.3	127.7	132.1	136.5	140.9	145.3	149.7	154.1	158.5	162.9	167.3	171.7	176.1	180.5
	0.0	9.9	19.8	29.6	39.5	49.4	59.3	69.2	79.1	89.0	98.9	108.8	118.7	128.6	138.5	148.4	158.3	168.2	178.1	188.0	197.9	207.8	217.7	227.6	237.5	247.4	257.3	267.2	277.1	287.0	296.9	306.8	316.7	326.6	336.5	346.4	356.3	366.2	376.1	386.0
02	284	142	142	142	142	142	142	142	142	142	142	142	142	142	142	142	142	142	142	142	142	142	142	142	142	142	142	142	142	142	142	142	142	142	142	142	142	142	142	
03	9.3	14.1	18.5	23.0	27.4	31.9	36.3	40.8	45.2	49.7	54.1	58.5	62.9	67.3	71.7	76.1	80.5	84.9	89.3	93.7	98.1	102.5	106.9	111.3	115.7	120.1	124.5	128.9	133.3	137.7	142.1	146.5	150.9	155.3	159.7	164.1	168.5	172.9	177.3	
	9.7	5.4	11.7	20.9	30.6	40.4	50.2	60.0	69.8	79.6	89.4	99.2	109.0	118.8	128.6	138.4	148.2	158.0	167.8	177.6	187.4	197.2	207.0	216.8	226.6	236.4	246.2	256.0	265.8	275.6	285.4	295.2	305.0	314.8	324.6	334.4	344.2	354.0	363.8	
04	310	228	170	157	153	150	149	148	147	337	284	142	142	142	142	142	142	142	142	142	142	142	142	142	142	142	142	142	142	142	142	142	142	142	142	142	142	142	142	
05	10.0	14.8	19.6	24.0	28.5	32.9	37.4	41.8	46.3	50.7	55.1	59.5	63.9	68.3	72.7	77.1	81.5	85.9	90.3	94.7	99.1	103.5	107.9	112.3	116.7	121.1	125.5	129.9	134.3	138.7	143.1	147.5	151.9	156.3	160.7	165.1	169.5	173.9		
	19.4	11.7	10.8	15.2	23.3	32.4	41.8	51.5	61.2	70.9	80.7	90.4	100.1	109.8	119.5	129.2	138.9	148.6	158.3	168.0	177.7	187.4	197.1	206.8	216.5	226.2	235.9	245.6	255.3	265.0	274.7	284.4	294.1	303.8	313.5	323.2	332.9	342.6	352.3	
06	310	283	228	187	170	162	157	154	151	324	310	228	170	162	157	154	151	148	145	142	142	142	142	142	142	142	142	142	142	142	142	142	142	142	142	142	142	142	142	
07	10.7	15.5	20.3	25.1	29.6	34.0	38.4	42.9	47.3	51.7	56.1	60.5	64.9	69.3	73.7	78.1	82.5	86.9	91.3	95.7	100.1	104.5	108.9	113.3	117.7	122.1	126.5	130.9	135.3	139.7	144.1	148.5	152.9	157.3	161.7	166.1	170.5	174.9		
	20.1	12.8	15.4	16.2	19.7	26.6	35.0	44.0	53.3	62.3	71.4	80.5	89.6	98.7	107.8	116.9	126.0	135.1	144.2	153.2	162.3	171.4	180.5	189.6	198.7	207.8	216.9	226.0	235.1	244.2	253.3	262.4	271.5	280.6	289.7	298.8	307.9	317.0		
08	290	236	228	228	228	228	228	228	228	228	228	228	228	228	228	228	228	228	228	228	228	228	228	228	228	228	228	228	228	228	228	228	228	228	228	228	228	228		
09	11.4	16.2	21.0	25.8	30.6	35.1	39.5	44.0	48.4	52.8	57.2	61.6	66.0	70.4	74.8	79.2	83.6	88.0	92.4	96.8	101.2	105.6	110.0	114.4	118.8	123.2	127.6	132.0	136.4	140.8	145.2	149.6	154.0	158.4	162.8	167.2	171.6	176.0		
	38.8	30.2	23.4	19.9	21.6	24.5	30.5	38.1	46.6	56.9	68.3	80.7	93.1	105.5	117.9	130.3	142.7	155.1	167.5	179.9	192.3	204.7	217.1	229.5	241.9	254.3	266.7	279.1	291.5	303.9	316.3	328.7	341.1	353.5	365.9	378.3	390.7	403.1		
10	310	300	283	257	228	204	187	177	170	317	310	295	266	228	198	180	170	164	154	144	134	124	114	104	94	84	74	64	54	44	34	24	14	4	0	0	0	0		
11	12.1	16.9	21.7	26.5	31.3	36.1	40.6	45.0	49.5	54.0	58.5	62.9	67.3	71.7	76.1	80.5	84.9	89.3	93.7	98.1	102.5	106.9	111.3	115.7	120.1	124.5	128.9	133.3	137.7	142.1	146.5	150.9	155.3	159.7	164.1	168.5	172.9			
	48.5	39.8	32.3	26.8	24.8	27.0	29.5	34.8	41.7	48.6	55.5	62.4	69.3	76.2	83.1	90.0	96.9	103.8	110.7	117.6	124.5	131.4	138.3	145.2	152.1	159.0	165.9	172.8	179.7	186.6	193.5	200.4	207.3	214.2	221.1	228.0	234.9			
12	310	303	291	274	250	228	208	193	183	316	310	300	283	257	228	204	187	170	154	138	122	106	90	74	58	42	26	10	0	0	0	0	0	0	0	0	0	0		
13	12.8	17.6	22.4	27.2	32.0	36.5	40.9	45.3	49.7	54.1	58.5	62.9	67.3	71.7	76.1	80.5	84.9	89.3	93.7	98.1	102.5	106.9	111.3	115.7	120.1	124.5	128.9	133.3	137.7	142.1	146.5	150.9	155.3	159.7	164.1	168.5	172.9			
	58.2	49.5	41.6	35.0	30.8	29.9	32.4	34.7	39.5	50.5	57.4	64.3	71.2	78.1	85.0	91.9	98.8	105.7	112.6	119.5	126.4	133.3	140.2	147.1	154.0	160.9	167.8	174.7	181.6	188.5	195.4	202.3	209.2	216.1	223.0	229.9	236.8			
14	310	304	295	283	266	246	228	211	198	315	310	303	291	274	250	228	208	193	180	167	154	141	128	115	102	89	76	63	50	37	24	11	0	0	0	0	0	0		
15	13.5	18.3	23.1	27.9	32.7	37.5	42.3	47.2	52.1	56.9	61.8	66.7	71.6	76.5	81.4	86.3	91.2	96.1	101.0	105.9	110.8	115.7	120.6	125.5	130.4	135.3	140.2	145.1	150.0	154.9	159.8	164.7	169.6	174.5	179.4	184.3	189.2			
	67.9	59.1	51.0	43.9	38.4	35.2	35.0	37.9	39.9	67.9	58.2	49.5	41.6	35.0	30.8	29.9	32.5	34.7	36.8	38.5	40.2	41.9	43.6	45.3	47.0	48.7	50.4	52.1	53.8	55.5	57.2	58.9	60.6	62.3	64.0	65.7	67.4			
16	310	305	298	289	276	261	244	228	213	314	310	304	295	283	266	246	228	211	198	185	172	159	146	133	120	107	94	81	68	55	42	29	16	3	0	0	0	0		
17	14.2	19.0	23.8	28.6	33.4	38.2	43.0	47.8	52.6	57.4	62.2	67.0	71.8	76.6	81.4	86.2	91.0	95.8	100.6	105.4	110.2	115.0	119.8	124.6	129.4	134.2	139.0	143.8	148.6	153.4	158.2	163.0	167.8	172.6	177.4	182.2	187.0			
	77.5	68.0	60.5	53.0	46.7	42.1	39.8	40.2	43.3	77.6	67.9	59.1	51.0	43.9	38.8	35.2	35.0	37.9	39.9	41.9	43.9	45.9	47.9	49.9	51.9	53.9	55.9	57.9	59.9	61.9	63.9	65.9	67.9	69.9	71.9	73.9	75.9			
18	310	306	300	293	283	271	257	241	228	314	310	305	298	289	276	261	244	228	217	204	191	178	165	152	139	126	113	100	87	74	61	48	35	22	9	0	0	0		
19	18.5	24.6	30.7	36.8	41.2	45.7	50.1	54.6	59.0	63.4	67.8	72.2	76.6	81.0	85.4	89.8	94.2	98.6	103.0	107.4	111.8	116.2	120.6	125.0	129.4	133.8	138.2	142.6	147.0	151.4	155.8	160.2	164.6	169.0	173.4	177.8	182.2			
	20.9	26.8	33.4	41.0	48.0	55.9	64.3	73.1	82.2	90.7	99.2	107.7	116.2	124.7	133.2	141.7	150.2	158.7	167.2	175.7	184.2	192.7	201.2	209.7	218.2	226.7	235.2	243.7	252.2	260.7	269.2	277.7	286.2	294.7	303.2	311.7	320.2			
20	310	308	301	294	287	280	273	266	259	306	301	294	287	280	273	266	259	252	245	238	231	224	217	210	203	196	189	182	175	168	161	154	147	140	133	126	119	112		
21	18.8	25.6	31.7	37.8	42.3	46.7	51.1	55.6	60.0	64.4	68.8	73.2	77.6	82.0	86.4	90.8	95.2	99.6	104.0	108.4	112.8	117.2	121.6	126.0	130.4	134.8	139.2	143.6	148.0	152.4	156.8	161.2	165.6	170.0	174.4	178.8	183.2			
	25.7	18.6	20.4	27.4	34.6	42.9	51.7	60.9	70.3	79.6	88.9	98.2	107.5	116.8	126.1	135.4	144.7	154.0	163.3	172.6	181.9	191.2	200.5	209.8	219.1	228.4	237.7	247.0	256.3	265.6	274.9	284.2	293.5	302.8	312.1	321.4	330.7			
22																																								

BAM-Registrierung: 20080701-Dg96/10L/L96G00NP.PS/.PDF BAM-Material: Code=th4ta
Anwendung für Beurteilung und Messung von Drucker- oder Monitorsystemen

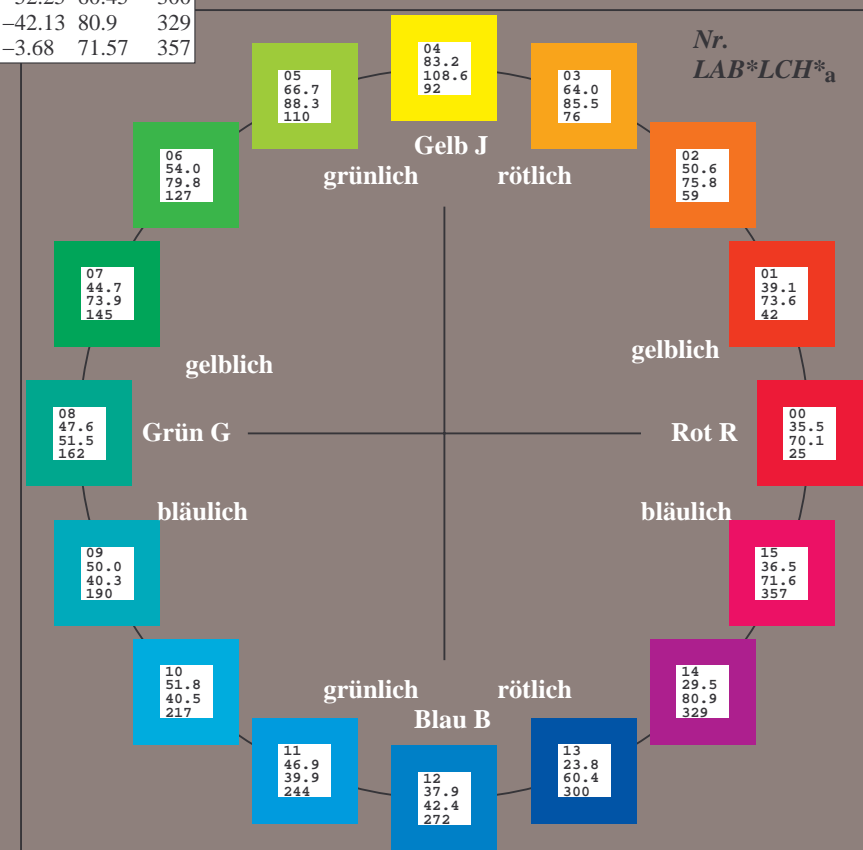
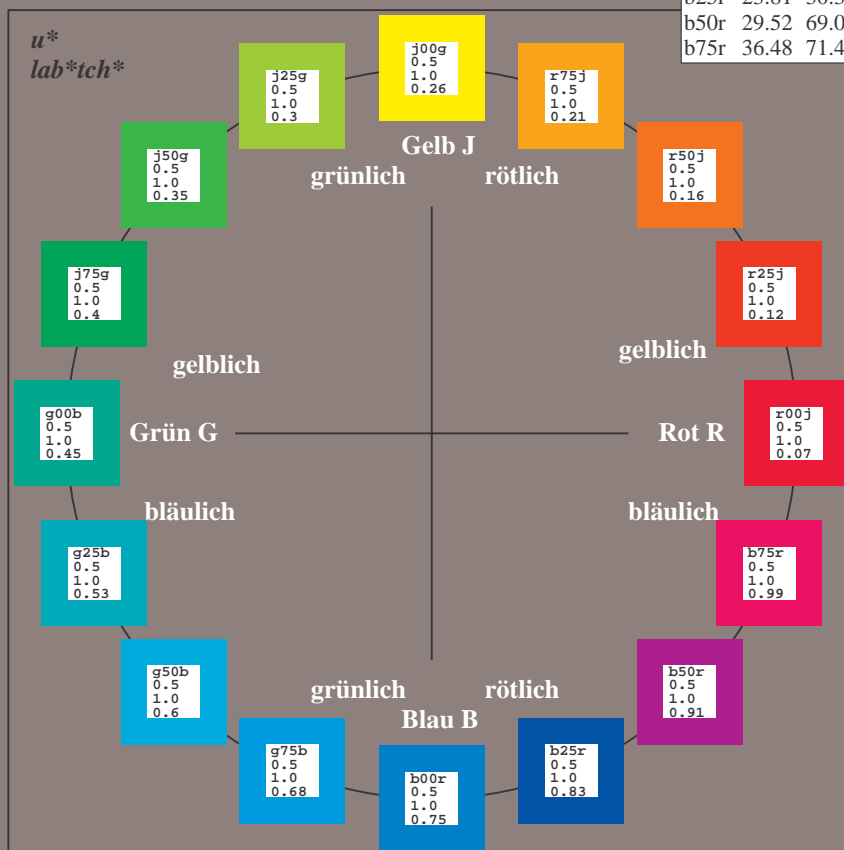
Ein und Ausgabe:
Farbmetrisches Drucker-Reflektiv-System FRS09_92a
Daten für jede Farbe:
*lab*tch** und *lab*icu**
Elementar-Bunttontext:
*u** = 16 Buntttöne *r00j*, *r25j*, ..., *b75r*
Kontrastreduzierungsfaktor:
 $c_R = 1.0$

FRS09_92a; adaptierte CIELAB-Daten					
	$L^*=L^*_a$	a^*_a	b^*_a	$C^*_{ab,a}$	$h^*_{ab,a}$
r00j	35.47	63.32	30.17	70.15	25
r25j	39.12	54.56	49.45	73.64	42
r50j	50.64	39.15	64.89	75.79	59
r75j	64.01	21.26	82.83	85.52	76
j00g	83.18	-4.37	108.53	108.62	92
j25g	66.73	-29.88	83.06	88.28	110
j50g	54.03	-48.3	63.49	79.78	127
j75g	44.73	-60.32	42.64	73.88	145
g00b	47.59	-49.07	15.74	51.54	162
g25b	49.97	-39.69	-6.71	40.27	190
g50b	51.85	-32.32	-24.34	40.48	217
g75b	46.92	-17.28	-36.01	39.96	244
b00r	37.91	1.28	-42.34	42.37	272
b25r	23.81	30.38	-52.25	60.45	300
b50r	29.52	69.06	-42.13	80.9	329
b75r	36.48	71.47	-3.68	71.57	357



%Umfang
 $u^*_{rel} = 109$
%Regularität
 $g^*_{H,rel} = 31$
 $g^*_{C,rel} = 40$

FRS09_92a; adaptierte CIELAB-Daten					
	$L^*=L^*_a$	a^*_a	b^*_a	$C^*_{ab,a}$	$h^*_{ab,a}$
OMa	35.06	60.0	44.0	74.4	36
YMa	83.77	-5.16	109.32	109.44	93
LMa	44.13	-62.66	48.24	79.09	142
CMa	52.66	-29.13	-31.98	43.27	228
VMa	14.15	50.3	-59.03	77.57	310
MMa	37.37	78.64	-33.49	85.48	337
NMa	8.58	0.0	0.0	0.0	0
WMa	92.02	0.0	0.0	0.0	0
RCIE	39.92	58.74	27.99	65.07	25
JCIE	81.26	-2.88	71.56	71.62	92
GCIE	52.23	-42.41	13.6	44.55	162
BCIE	30.57	1.41	-46.46	46.49	272



Ein und Ausgabe: Farbmetrisches Drucker-Reflektiv-System FRS09_92a für relativen CIELAB-Buntton $h^* = lab^*h^* = h_{ab}/360 = 25/360 = 0.071$ $u^* = r00j$

Daten für jede Farbe:

lab^*tch^* und lab^*icu^*

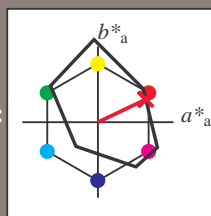
Elementar-Bunttontext:

$u^* = r00j$

Kontrastreduzierungsfaktor:

$c_R = 1.0$

Dreiecks-Helligkeit i^*



FRS09_92a; adaptierte CIELAB-Daten					
	$L^*=L_a^*$	a_a^*	b_a^*	$C_{ab,a}^*$	$h_{ab,a}^*$
O _{Ma}	35.06	60.0	44.0	74.4	36
Y _{Ma}	83.77	-5.16	109.32	109.44	93
L _{Ma}	44.13	-62.66	48.24	79.09	142
C _{Ma}	52.66	-29.13	-31.98	43.27	228
V _{Ma}	14.15	50.3	-59.03	77.57	310
M _{Ma}	37.37	78.64	-33.49	85.48	337
N _{Ma}	8.58	0.0	0.0	0.0	0
W _{Ma}	92.02	0.0	0.0	0.0	0
R _{CIE}	39.92	58.74	27.99	65.07	25
J _{CIE}	81.26	-2.88	71.56	71.62	92
G _{CIE}	52.23	-42.41	13.6	44.55	162
B _{CIE}	30.57	1.41	-46.46	46.49	272

Daten für Maximalfarbe (Ma):

$LAB^*LAB^*_{Ma}$: 35 63 30

$LAB^*LCH^*_{Ma}$: 35 70 25

$lab^*rgb^*_{Ma}$: 1.0 0.0 0.0

$lab^*olv^*_{Ma}$: 1.0 0.0 0.18

Dreiecks-Helligkeit i^*

%Umfang

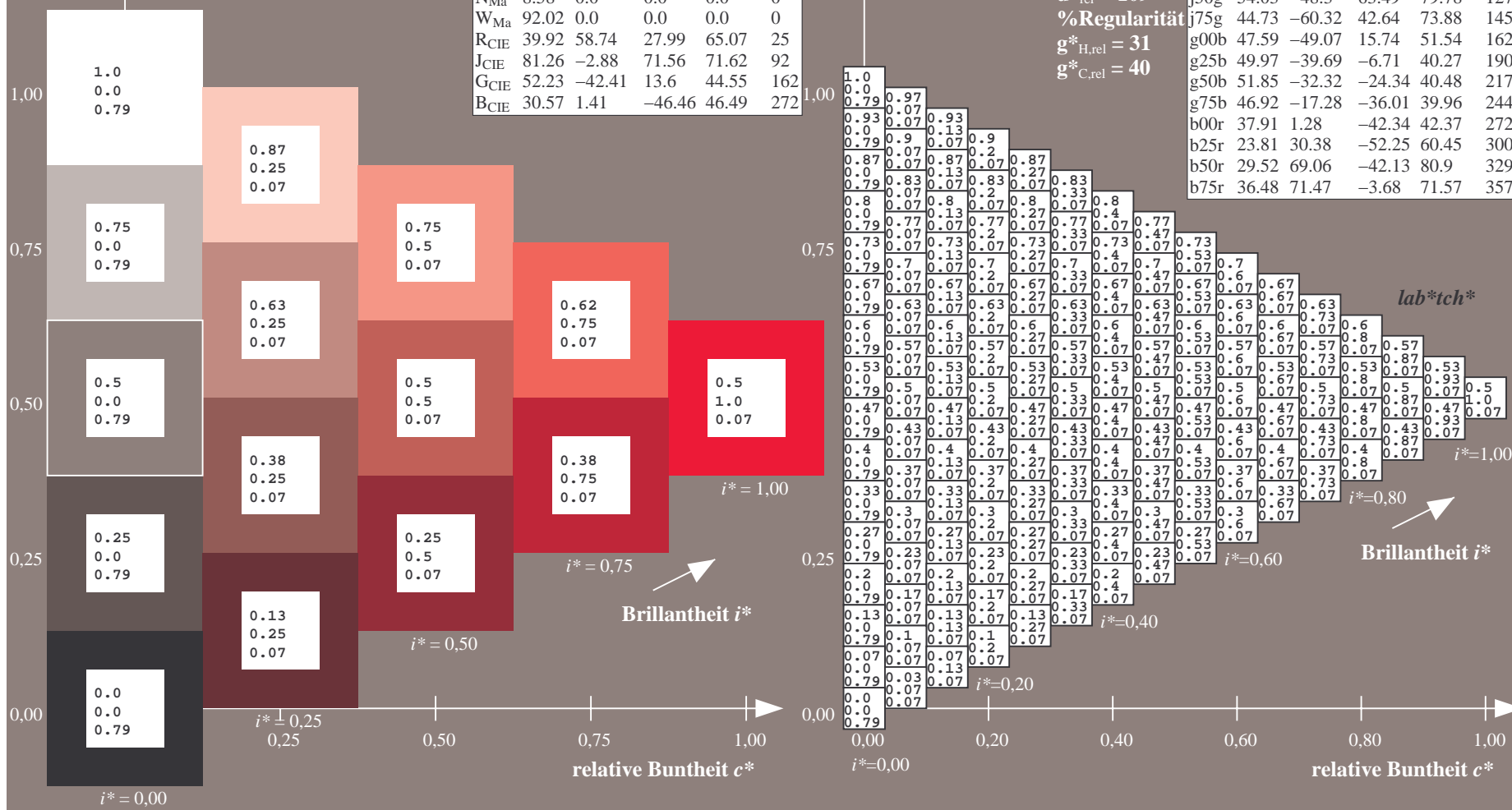
$u^*_{rel} = 109$

%Regularität

$g^*_{H,rel} = 31$

$g^*_{C,rel} = 40$

FRS09_92a; adaptierte CIELAB-Daten					
	$L^*=L_a^*$	a_a^*	b_a^*	$C_{ab,a}^*$	$h_{ab,a}^*$
r00j	35.47	63.32	30.17	70.15	25
r25j	39.12	54.56	49.45	73.64	42
r50j	50.64	39.15	64.89	75.79	59
r75j	64.01	21.26	82.83	85.52	76
j00g	83.18	-4.37	108.53	108.62	92
j25g	66.73	-29.88	83.06	88.28	110
j50g	54.03	-48.3	63.49	79.78	127
j75g	44.73	-60.32	42.64	73.88	145
g00b	47.59	-49.07	15.74	51.54	162
g25b	49.97	-39.69	-6.71	40.27	190
g50b	51.85	-32.32	-24.34	40.48	217
g75b	46.92	-17.28	-36.01	39.96	244
b00r	37.91	1.28	-42.34	42.37	272
b25r	23.81	30.38	-52.25	60.45	300
b50r	29.52	69.06	-42.13	80.9	329
b75r	36.48	71.47	-3.68	71.57	357



Ein und Ausgabe: Farbmetrisches Drucker-Reflektiv-System FRS09_92a für relativen CIELAB-Buntton $h^* = lab^*h^* = h_{ab}/360 = 42/360 = 0.117$ $u^* = r25j$

Daten für jede Farbe:

lab^*tch^* und lab^*icu^*

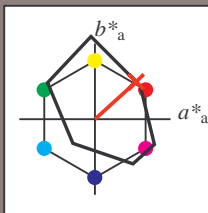
Elementar-Bunttontext:

$u^* = r25j$

Kontrastreduzierungsfaktor:

$c_R = 1.0$

Dreiecks-Helligkeit t^*



FRS09_92a; adaptierte CIELAB-Daten

	$L^*=L_a^*$	a_a^*	b_a^*	$C_{ab,a}^*$	$h_{ab,a}^*$
O _{Ma}	35.06	60.0	44.0	74.4	36
Y _{Ma}	83.77	-5.16	109.32	109.44	93
L _{Ma}	44.13	-62.66	48.24	79.09	142
C _{Ma}	52.66	-29.13	-31.98	43.27	228
V _{Ma}	14.15	50.3	-59.03	77.57	310
M _{Ma}	37.37	78.64	-33.49	85.48	337
N _{Ma}	8.58	0.0	0.0	0.0	0
W _{Ma}	92.02	0.0	0.0	0.0	0
R _{CIE}	39.92	58.74	27.99	65.07	25
J _{CIE}	81.26	-2.88	71.56	71.62	92
G _{CIE}	52.23	-42.41	13.6	44.55	162
B _{CIE}	30.57	1.41	-46.46	46.49	272

Daten für Maximalfarbe (Ma):

$LAB^*LAB^*_{Ma}$: 39 55 49

$LAB^*LCH^*_{Ma}$: 39 74 42

$lab^*rgb^*_{Ma}$: 1.0 0.25 0.0

$lab^*olv^*_{Ma}$: 1.0 0.08 0.0

Dreiecks-Helligkeit t^*

%Umfang

$u^*_{rel} = 109$

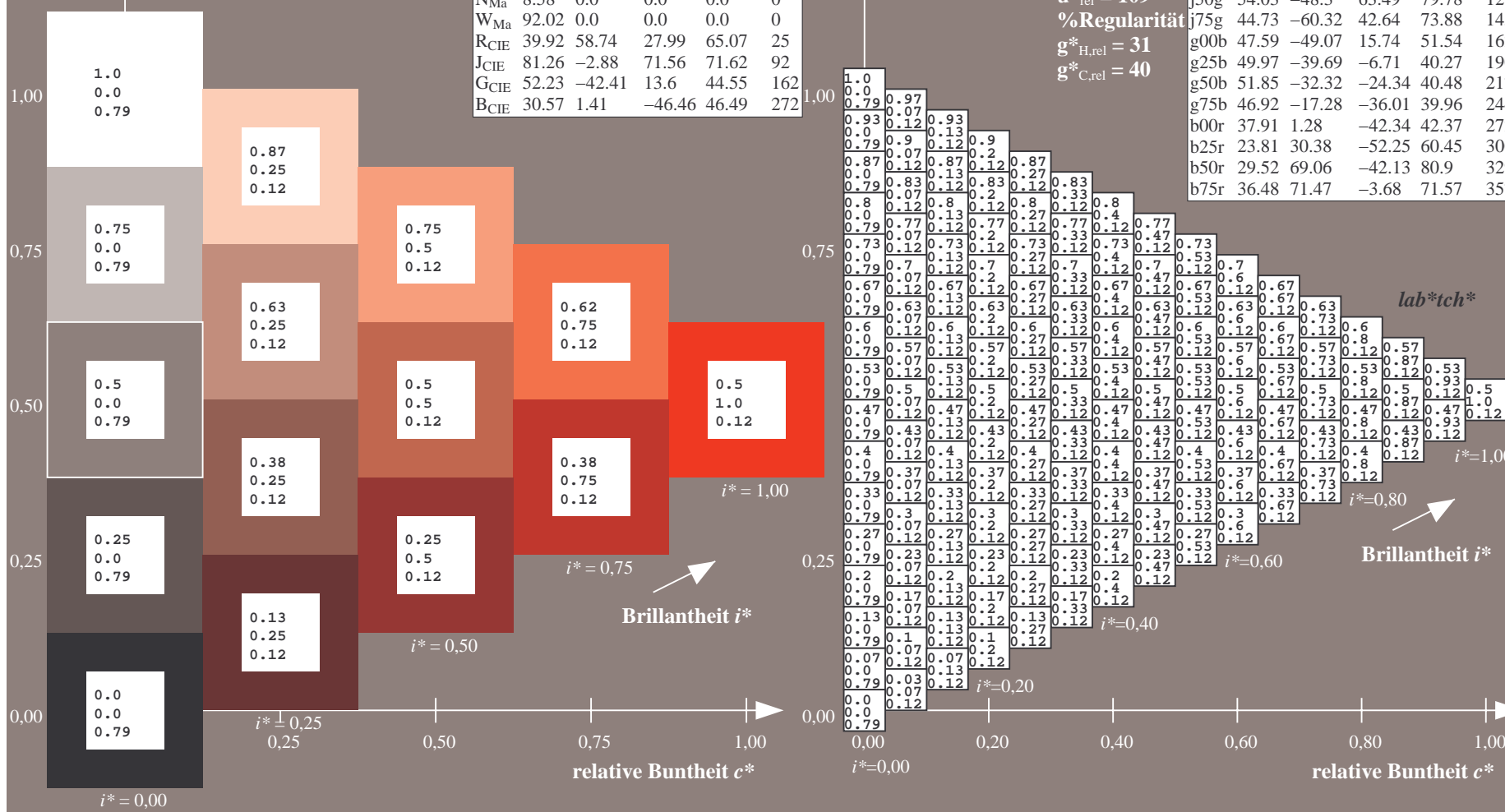
%Regularität

$g^*_{H,rel} = 31$

$g^*_{C,rel} = 40$

FRS09_92a; adaptierte CIELAB-Daten

	$L^*=L_a^*$	a_a^*	b_a^*	$C_{ab,a}^*$	$h_{ab,a}^*$
r00j	35.47	63.32	30.17	70.15	25
r25j	39.12	54.56	49.45	73.64	42
r50j	50.64	39.15	64.89	75.79	59
r75j	64.01	21.26	82.83	85.52	76
j00g	83.18	-4.37	108.53	108.62	92
j25g	66.73	-29.88	83.06	88.28	110
j50g	54.03	-48.3	63.49	79.78	127
j75g	44.73	-60.32	42.64	73.88	145
g00b	47.59	-49.07	15.74	51.54	162
g25b	49.97	-39.69	-6.71	40.27	190
g50b	51.85	-32.32	-24.34	40.48	217
g75b	46.92	-17.28	-36.01	39.96	244
b00r	37.91	1.28	-42.34	42.37	272
b25r	23.81	30.38	-52.25	60.45	300
b50r	29.52	69.06	-42.13	80.9	329
b75r	36.48	71.47	-3.68	71.57	357



100



Figure 1 is a 3D visualization of the Brillouin space for the color space defined by the 1931 CIE colorimetric system. The vertical axis represents the relative luminance Y (0.00 to 1.00). The horizontal axes represent the relative chromaticities x and y (0.00 to 1.00). The surface is a complex, multi-faceted shape representing the range of colors visible to the human eye. The top surface is labeled lab^*tch^* and the bottom surface is labeled $Brillantheit\ i^*$. The vertical axis is labeled $relative\ Buntheit\ c^*$.

Eingabe: 000n / w / nnn0 / www set...
Ausgabe: ->cmyn5* setcmykcolor

BAM-Registrierung: 20080701-Dg96/10L/L96G00NP.PS/.PDF BAM-Material: Code=rha4ta
Anwendung für Beurteilung und Messung von Drucker- oder Monitorsystemen

Ein und Ausgabe: Farbmetrisches Drucker-Reflektiv-System FRS09_92a für relativen CIELAB-Buntton $h^* = lab^*h^* = h_{ab}/360 = 76/360 = 0.21$

Daten für jede Farbe:

lab^*tch^* und lab^*icu^*

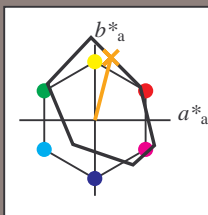
Elementar-Bunttontext:

$u^* = r75j$

Kontrastreduzierungsfaktor:

$c_R = 1.0$

Dreiecks-Helligkeit i^*



FRS09_92a; adaptierte CIELAB-Daten

	$L^*=L_a^*$	a_a^*	b_a^*	$C_{ab,a}^*$	$h_{ab,a}^*$
O _{Ma}	35.06	60.0	44.0	74.4	36
Y _{Ma}	83.77	-5.16	109.32	109.44	93
L _{Ma}	44.13	-62.66	48.24	79.09	142
C _{Ma}	52.66	-29.13	-31.98	43.27	228
V _{Ma}	14.15	50.3	-59.03	77.57	310
M _{Ma}	37.37	78.64	-33.49	85.48	337
N _{Ma}	8.58	0.0	0.0	0.0	0
W _{Ma}	92.02	0.0	0.0	0.0	0
R _{CIE}	39.92	58.74	27.99	65.07	25
J _{CIE}	81.26	-2.88	71.56	71.62	92
G _{CIE}	52.23	-42.41	13.6	44.55	162
B _{CIE}	30.57	1.41	-46.46	46.49	272

Daten für Maximalfarbe (Ma):

$LAB^*LAB^*_{Ma}$: 64 21 83

$LAB^*LCH^*_{Ma}$: 64 86 76

$lab^*rgb^*_{Ma}$: 1.0 0.75 0.0

$lab^*olv^*_{Ma}$: 1.0 0.59 0.0

Dreiecks-Helligkeit i^*

%Umfang

$u^*_{rel} = 109$

%Regularität

$g^*_{H,rel} = 31$

$g^*_{C,rel} = 40$

FRS09_92a; adaptierte CIELAB-Daten

	$L^*=L_a^*$	a_a^*	b_a^*	$C_{ab,a}^*$	$h_{ab,a}^*$
r00j	35.47	63.32	30.17	70.15	25
r25j	39.12	54.56	49.45	73.64	42
r50j	50.64	39.15	64.89	75.79	59
r75j	64.01	21.26	82.83	85.52	76
j00g	83.18	-4.37	108.53	108.62	92
j25g	66.73	-29.88	83.06	88.28	110
j50g	54.03	-48.3	63.49	79.78	127
j75g	44.73	-60.32	42.64	73.88	145
g00b	47.59	-49.07	15.74	51.54	162
g25b	49.97	-39.69	-6.71	40.27	190
g50b	51.85	-32.32	-24.34	40.48	217
g75b	46.92	-17.28	-36.01	39.96	244
b00r	37.91	1.28	-42.34	42.37	272
b25r	23.81	30.38	-52.25	60.45	300
b50r	29.52	69.06	-42.13	80.9	329
b75r	36.48	71.47	-3.68	71.57	357

lab^*tch^*

$i^* = 1.00$

Brillantheit i^*

$i^* = 0.80$

$i^* = 0.60$

$i^* = 0.40$

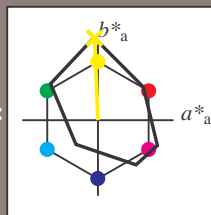
$i^* = 0.20$

$i^* = 0.00$

relative Buntheit c^*

relative Buntheit c^*

Ein und Ausgabe: Farbmetrisches Drucker-Reflektiv-System FRS09_92a für relativen CIELAB-Buntton $h^* = lab^*h^* = h_{ab}/360 = 92/360 = 0.256$ $u^* = j00g$
Daten für jede Farbe: lab^*tch^* und lab^*icu^*
Elementar-Bunttonstext: $u^* = j00g$
Kontrastreduzierungsfaktor: $c_R = 1.0$
Dreiecks-Helligkeit t^*



FRS09_92a; adaptierte CIELAB-Daten					
	$L^*=L_a^*$	a_a^*	b_a^*	$C_{ab,a}^*$	$h_{ab,a}^*$
O _{Ma}	35.06	60.0	44.0	74.4	36
Y _{Ma}	83.77	-5.16	109.32	109.44	93
L _{Ma}	44.13	-62.66	48.24	79.09	142
C _{Ma}	52.66	-29.13	-31.98	43.27	228
V _{Ma}	14.15	50.3	-59.03	77.57	310
M _{Ma}	37.37	78.64	-33.49	85.48	337
N _{Ma}	8.58	0.0	0.0	0.0	0
W _{Ma}	92.02	0.0	0.0	0.0	0
R _{CIE}	39.92	58.74	27.99	65.07	25
J _{CIE}	81.26	-2.88	71.56	71.62	92
G _{CIE}	52.23	-42.41	13.6	44.55	162
B _{CIE}	30.57	1.41	-46.46	46.49	272

Daten für Maximalfarbe (Ma):

$LAB^*LAB^*_{Ma}$: 83 -3 109

$LAB^*LCH^*_{Ma}$: 83 109 92

$lab^*rgb^*_{Ma}$: 1.0 1.0 0.0

$lab^*olv^*_{Ma}$: 1.0 0.99 0.0

Dreiecks-Helligkeit t^*

%Umfang

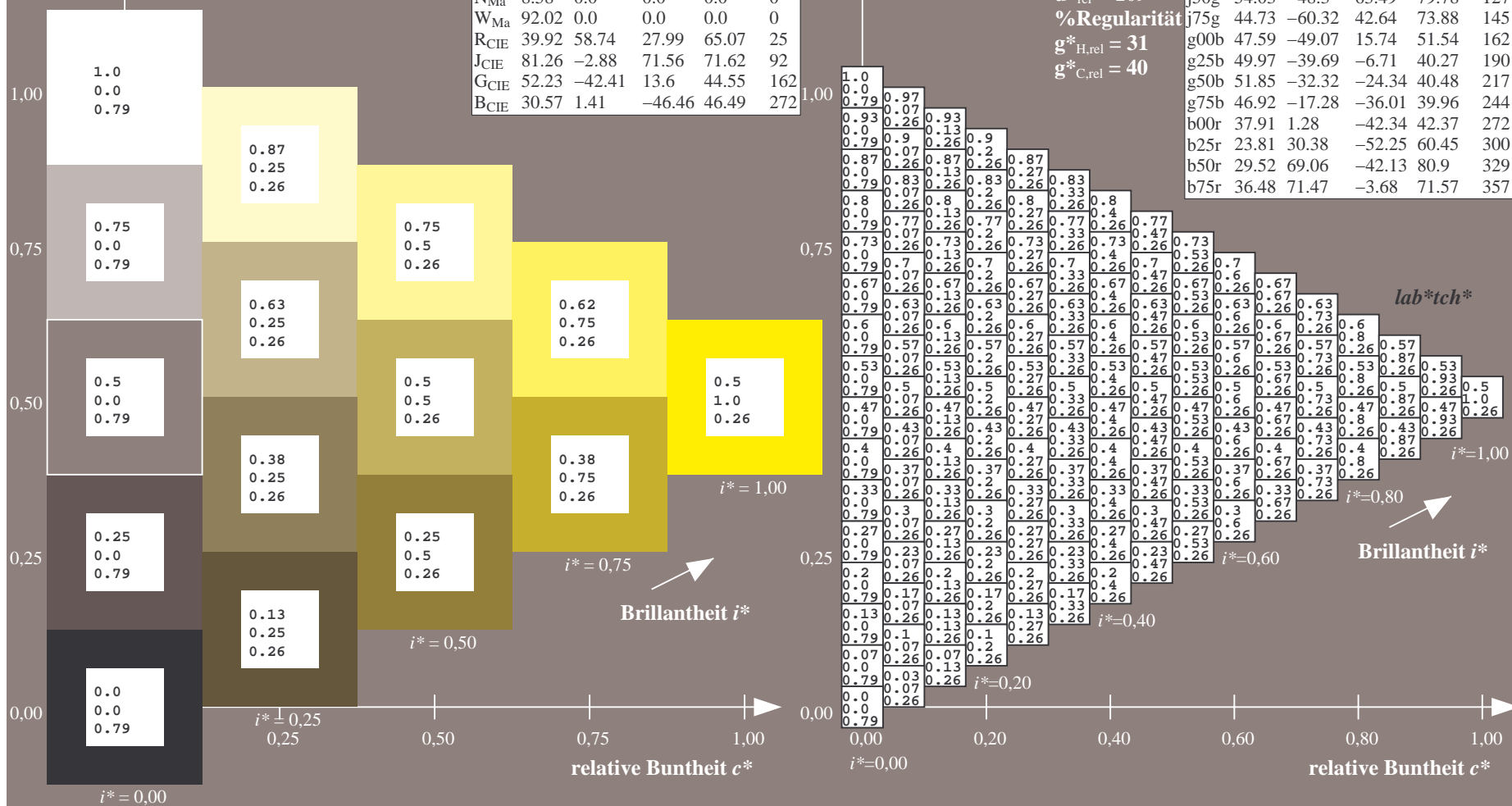
$u^*_{rel} = 109$

%Regularität

$g^*_{H,rel} = 31$

$g^*_{C,rel} = 40$

FRS09_92a; adaptierte CIELAB-Daten					
	$L^*=L_a^*$	a_a^*	b_a^*	$C_{ab,a}^*$	$h_{ab,a}^*$
r00j	35.47	63.32	30.17	70.15	25
r25j	39.12	54.56	49.45	73.64	42
r50j	50.64	39.15	64.89	75.79	59
r75j	64.01	21.26	82.83	85.52	76
j00g	83.18	-4.37	108.53	108.62	92
j25g	66.73	-29.88	83.06	88.28	110
j50g	54.03	-48.3	63.49	79.78	127
j75g	44.73	-60.32	42.64	73.88	145
g00b	47.59	-49.07	15.74	51.54	162
g25b	49.97	-39.69	-6.71	40.27	190
g50b	51.85	-32.32	-24.34	40.48	217
g75b	46.92	-17.28	-36.01	39.96	244
b00r	37.91	1.28	-42.34	42.37	272
b25r	23.81	30.38	-52.25	60.45	300
b50r	29.52	69.06	-42.13	80.9	329
b75r	36.48	71.47	-3.68	71.57	357



Ein und Ausgabe: Farbmetrisches Drucker-Reflektiv-System FRS09_92a für relativen CIELAB-Buntton $h^* = lab^*h^* = h_{ab}/360 = 110/360 = 0.305$ $u^* = j25g$

Daten für jede Farbe:

lab^*tch^* und lab^*icu^*

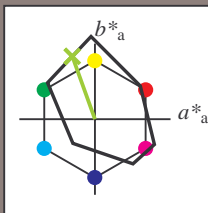
Elementar-Bunttontext:

$u^* = j25g$

Kontrastreduzierungsfaktor:

$c_R = 1.0$

Dreiecks-Helligkeit i^*



FRS09_92a; adaptierte CIELAB-Daten

	$L^*=L^*_a$	a^*_a	b^*_a	$C^*_{ab,a}$	$h^*_{ab,a}$
O _{Ma}	35.06	60.0	44.0	74.4	36
Y _{Ma}	83.77	-5.16	109.32	109.44	93
L _{Ma}	44.13	-62.66	48.24	79.09	142
C _{Ma}	52.66	-29.13	-31.98	43.27	228
V _{Ma}	14.15	50.3	-59.03	77.57	310
M _{Ma}	37.37	78.64	-33.49	85.48	337
N _{Ma}	8.58	0.0	0.0	0.0	0
W _{Ma}	92.02	0.0	0.0	0.0	0
R _{CIE}	39.92	58.74	27.99	65.07	25
J _{CIE}	81.26	-2.88	71.56	71.62	92
G _{CIE}	52.23	-42.41	13.6	44.55	162
B _{CIE}	30.57	1.41	-46.46	46.49	272

Daten für Maximalfarbe (Ma):

$LAB^*LAB^*_{Ma}$: 67 -29 83

$LAB^*LCH^*_{Ma}$: 67 88 110

$lab^*rgb^*_{Ma}$: 0.75 1.0 0.0

$lab^*olv^*_{Ma}$: 0.57 1.0 0.0

Dreiecks-Helligkeit i^*

%Umfang

$u^*_{rel} = 109$

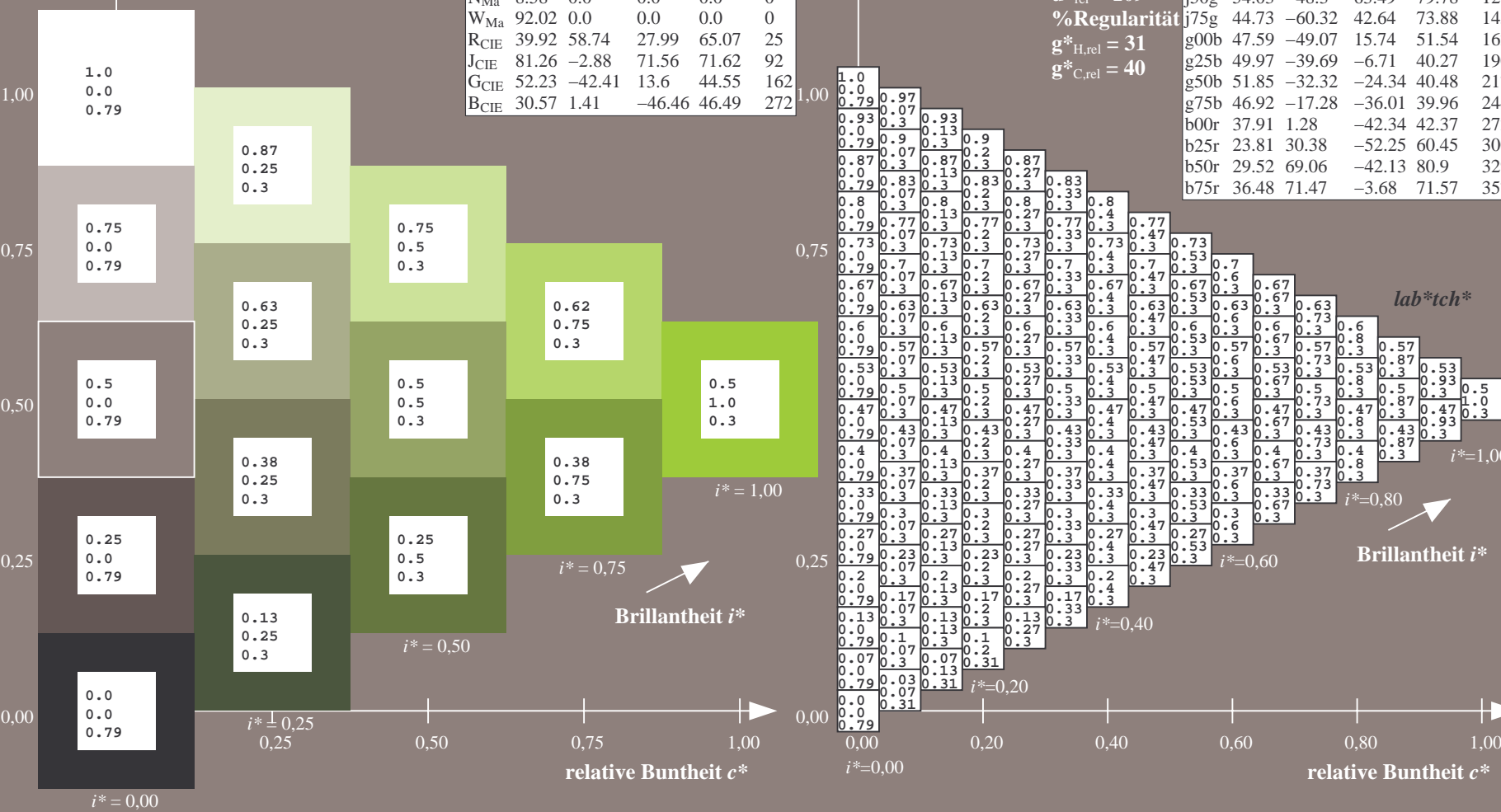
%Regularität

$g^*_{H,rel} = 31$

$g^*_{C,rel} = 40$

FRS09_92a; adaptierte CIELAB-Daten

	$L^*=L^*_a$	a^*_a	b^*_a	$C^*_{ab,a}$	$h^*_{ab,a}$
r00j	35.47	63.32	30.17	70.15	25
r25j	39.12	54.56	49.45	73.64	42
r50j	50.64	39.15	64.89	75.79	59
r75j	64.01	21.26	82.83	85.52	76
j00g	83.18	-4.37	108.53	108.62	92
j25g	66.73	-29.88	83.06	88.28	110
j50g	54.03	-48.3	63.49	79.78	127
j75g	44.73	-60.32	42.64	73.88	145
g00b	47.59	-49.07	15.74	51.54	162
g25b	49.97	-39.69	-6.71	40.27	190
g50b	51.85	-32.32	-24.34	40.48	217
g75b	46.92	-17.28	-36.01	39.96	244
b00r	37.91	1.28	-42.34	42.37	272
b25r	23.81	30.38	-52.25	60.45	300
b50r	29.52	69.06	-42.13	80.9	329
b75r	36.48	71.47	-3.68	71.57	357



Ein und Ausgabe: Farbmetrisches Drucker-Reflektiv-System FRS09_92a für relativen CIELAB-Buntton $h^* = lab^*h^* = h_{ab}/360 = 127/360 = 0.354$ $u^* = j50g$
Daten für jede Farbe: lab^*ch^* und lab^*icu^*

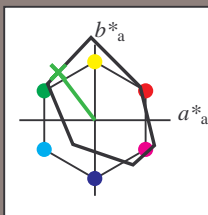
Elementar-Bunttontext:

$u^* = j50g$

Kontrastreduzierungsfaktor:

$c_R = 1.0$

Dreiecks-Helligkeit t^*



FRS09_92a; adaptierte CIELAB-Daten					
	$L^*=L^*_a$	a^*_a	b^*_a	$C^*_{ab,a}$	$h^*_{ab,a}$
O _{Ma}	35.06	60.0	44.0	74.4	36
Y _{Ma}	83.77	-5.16	109.32	109.44	93
L _{Ma}	44.13	-62.66	48.24	79.09	142
C _{Ma}	52.66	-29.13	-31.98	43.27	228
V _{Ma}	14.15	50.3	-59.03	77.57	310
M _{Ma}	37.37	78.64	-33.49	85.48	337
N _{Ma}	8.58	0.0	0.0	0.0	0
W _{Ma}	92.02	0.0	0.0	0.0	0
R _{CIE}	39.92	58.74	27.99	65.07	25
J _{CIE}	81.26	-2.88	71.56	71.62	92
G _{CIE}	52.23	-42.41	13.6	44.55	162
B _{CIE}	30.57	1.41	-46.46	46.49	272

Daten für Maximalfarbe (Ma):

$LAB^*LAB^*_{Ma}$: 54 -47 63

$LAB^*LCH^*_{Ma}$: 54 80 127

$lab^*rgb^*_{Ma}$: 0.5 1.0 0.0

$lab^*olv^*_{Ma}$: 0.25 1.0 0.0

Dreiecks-Helligkeit t^*

%Umfang

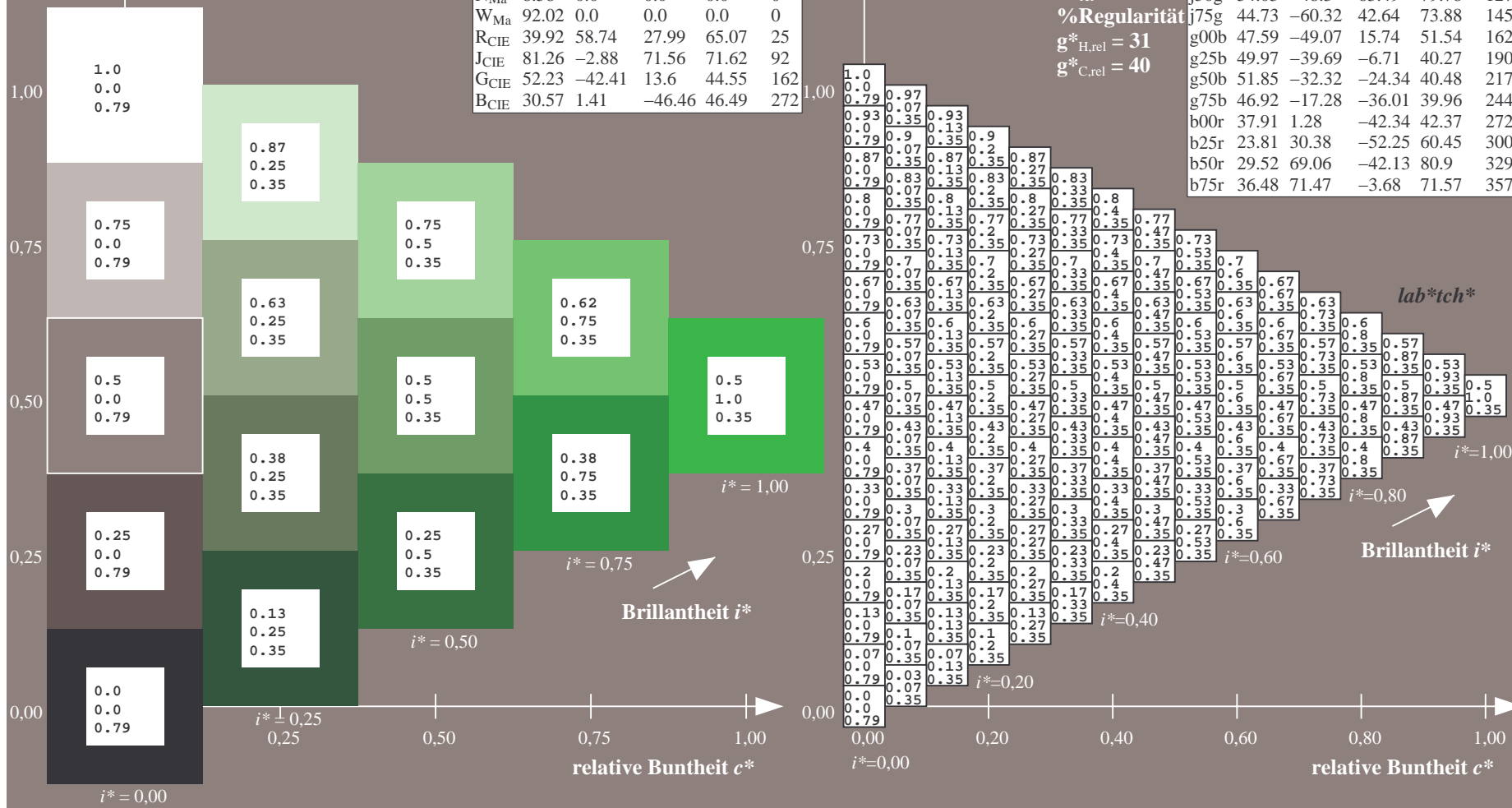
$u^*_{rel} = 109$

%Regularität

$g^*_{H,rel} = 31$

$g^*_{C,rel} = 40$

FRS09_92a; adaptierte CIELAB-Daten					
	$L^*=L^*_a$	a^*_a	b^*_a	$C^*_{ab,a}$	$h^*_{ab,a}$
r00j	35.47	63.32	30.17	70.15	25
r25j	39.12	54.56	49.45	73.64	42
r50j	50.64	39.15	64.89	75.79	59
r75j	64.01	21.26	82.83	85.52	76
j00g	83.18	-4.37	108.53	108.62	92
j25g	66.73	-29.88	83.06	88.28	110
j50g	54.03	-48.3	63.49	79.78	127
j75g	44.73	-60.32	42.64	73.88	145
g00b	47.59	-49.07	15.74	51.54	162
g25b	49.97	-39.69	-6.71	40.27	190
g50b	51.85	-32.32	-24.34	40.48	217
g75b	46.92	-17.28	-36.01	39.96	244
b00r	37.91	1.28	-42.34	42.37	272
b25r	23.81	30.38	-52.25	60.45	300
b50r	29.52	69.06	-42.13	80.9	329
b75r	36.48	71.47	-3.68	71.57	357



Ein und Ausgabe: Farbmetrisches Drucker-Reflektiv-System FRS09_92a für relativen CIELAB-Buntton $h^* = lab^*h^* = h_{ab}/360 = 145/360 = 0.402$ $u^* = j75g$

Daten für jede Farbe:

lab^*tch^* und lab^*icu^*

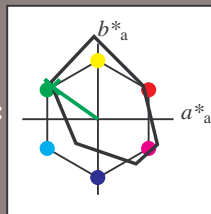
Elementar-Bunttontext:

$u^* = j75g$

Kontrastreduzierungsfaktor:

$c_R = 1.0$

Dreiecks-Helligkeit t^*



FRS09_92a; adaptierte CIELAB-Daten					
	$L^*=L_a^*$	a^*_a	b^*_a	$C^*_{ab,a}$	$h^*_{ab,a}$
O _{Ma}	35.06	60.0	44.0	74.4	36
Y _{Ma}	83.77	-5.16	109.32	109.44	93
L _{Ma}	44.13	-62.66	48.24	79.09	142
C _{Ma}	52.66	-29.13	-31.98	43.27	228
V _{Ma}	14.15	50.3	-59.03	77.57	310
M _{Ma}	37.37	78.64	-33.49	85.48	337
N _{Ma}	8.58	0.0	0.0	0.0	0
W _{Ma}	92.02	0.0	0.0	0.0	0
R _{CIE}	39.92	58.74	27.99	65.07	25
J _{CIE}	81.26	-2.88	71.56	71.62	92
G _{CIE}	52.23	-42.41	13.6	44.55	162
B _{CIE}	30.57	1.41	-46.46	46.49	272

Daten für Maximalfarbe (Ma):

$LAB^*LAB^*_{Ma}$: 45 -59 43

$LAB^*LCH^*_{Ma}$: 45 74 145

$lab^*rgb^*_{Ma}$: 0.25 1.0 0.0

$lab^*olv^*_{Ma}$: 0.0 1.0 0.07

Dreiecks-Helligkeit t^*

%Umfang

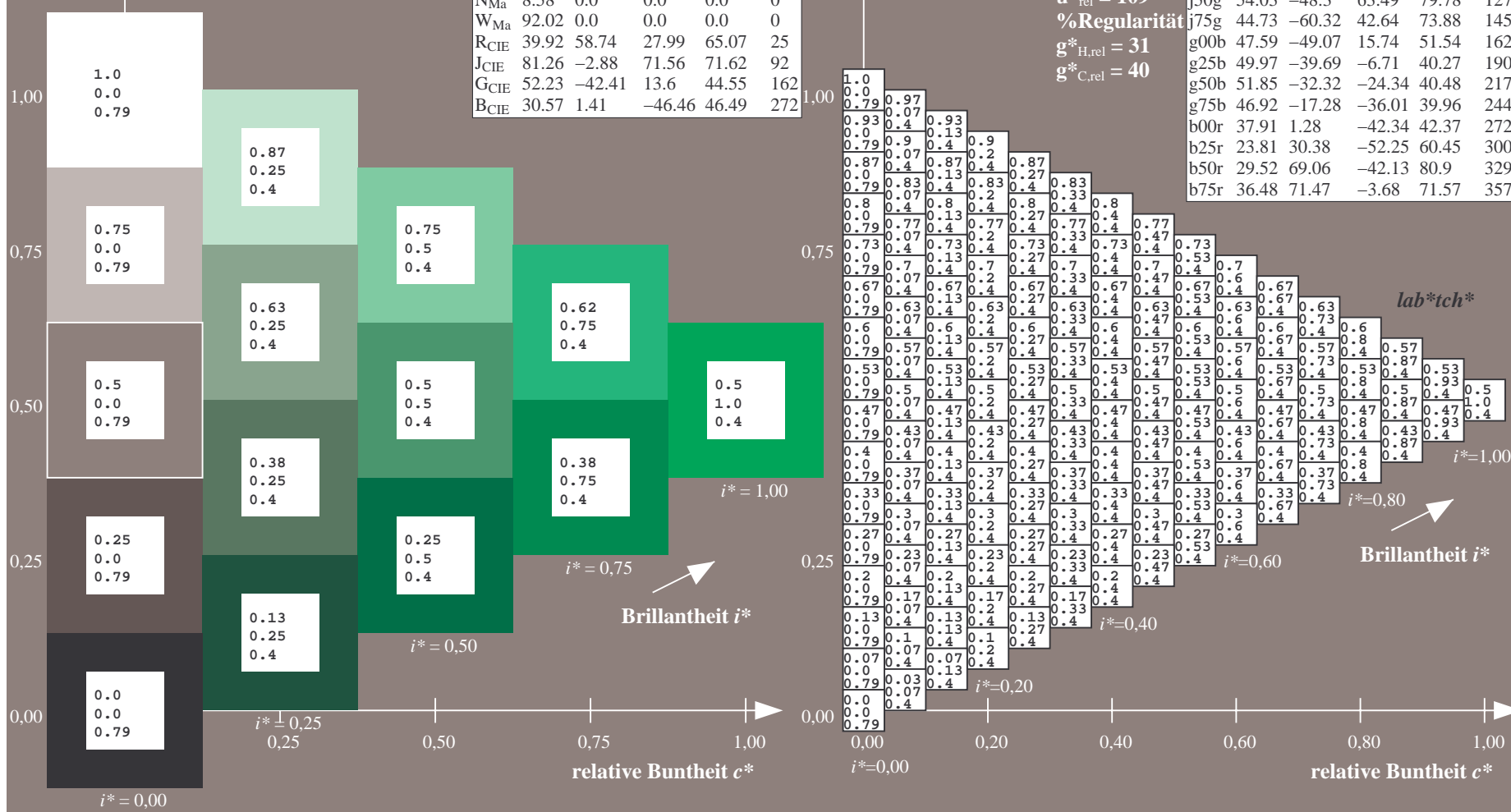
$u^*_{rel} = 109$

%Regularität

$g^*_{H,rel} = 31$

$g^*_{C,rel} = 40$

FRS09_92a; adaptierte CIELAB-Daten					
	$L^*=L_a^*$	a^*_a	b^*_a	$C^*_{ab,a}$	$h^*_{ab,a}$
r00j	35.47	63.32	30.17	70.15	25
r25j	39.12	54.56	49.45	73.64	42
r50j	50.64	39.15	64.89	75.79	59
r75j	64.01	21.26	82.83	85.52	76
j00g	83.18	-4.37	108.53	108.62	92
j25g	66.73	-29.88	83.06	88.28	110
j50g	54.03	-68.3	63.49	79.78	127
j75g	44.73	-40.32	42.64	73.88	145
g00b	47.59	-49.07	15.74	51.54	162
g25b	49.97	-39.69	-6.71	40.27	190
g50b	51.85	-32.32	-24.34	40.48	217
g75b	46.92	-17.28	-36.01	39.96	244
b00r	37.91	1.28	-42.34	42.37	272
b25r	23.81	30.38	-52.25	60.45	300
b50r	29.52	69.06	-42.13	80.9	329
b75r	36.48	71.47	-3.68	71.57	357



Ein und Ausgabe: Farbmetrisches Drucker-Reflektiv-System FRS09_92a für relativen CIELAB-Buntton $h^* = lab^*h^* = h_{ab}/360 = 162/360 = 0.451$ $u^* = g00b$

Daten für jede Farbe:

lab^*tch^* und lab^*icu^*

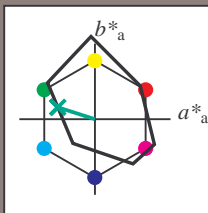
Elementar-Bunttontext:

$u^* = g00b$

Kontrastreduzierungsfaktor:

$c_R = 1.0$

Dreiecks-Helligkeit t^*



FRS09_92a; adaptierte CIELAB-Daten

	$L^*=L_a^*$	a^*_a	b^*_a	$C^*_{ab,a}$	$h^*_{ab,a}$
O _{Ma}	35.06	60.0	44.0	74.4	36
Y _{Ma}	83.77	-5.16	109.32	109.44	93
L _{Ma}	44.13	-62.66	48.24	79.09	142
C _{Ma}	52.66	-29.13	-31.98	43.27	228
V _{Ma}	14.15	50.3	-59.03	77.57	310
M _{Ma}	37.37	78.64	-33.49	85.48	337
N _{Ma}	8.58	0.0	0.0	0.0	0
W _{Ma}	92.02	0.0	0.0	0.0	0
R _{CIE}	39.92	58.74	27.99	65.07	25
J _{CIE}	81.26	-2.88	71.56	71.62	92
G _{CIE}	52.23	-42.41	13.6	44.55	162
B _{CIE}	30.57	1.41	-46.46	46.49	272

Daten für Maximalfarbe (Ma):

$LAB^*LAB^*_{Ma}$: 48 -48 16

$LAB^*LCH^*_{Ma}$: 48 52 162

$lab^*rgb^*_{Ma}$: 0.0 1.0 0.0

$lab^*olv^*_{Ma}$: 0.0 1.0 0.41

Dreiecks-Helligkeit t^*

%Umfang

$u^*_{rel} = 109$

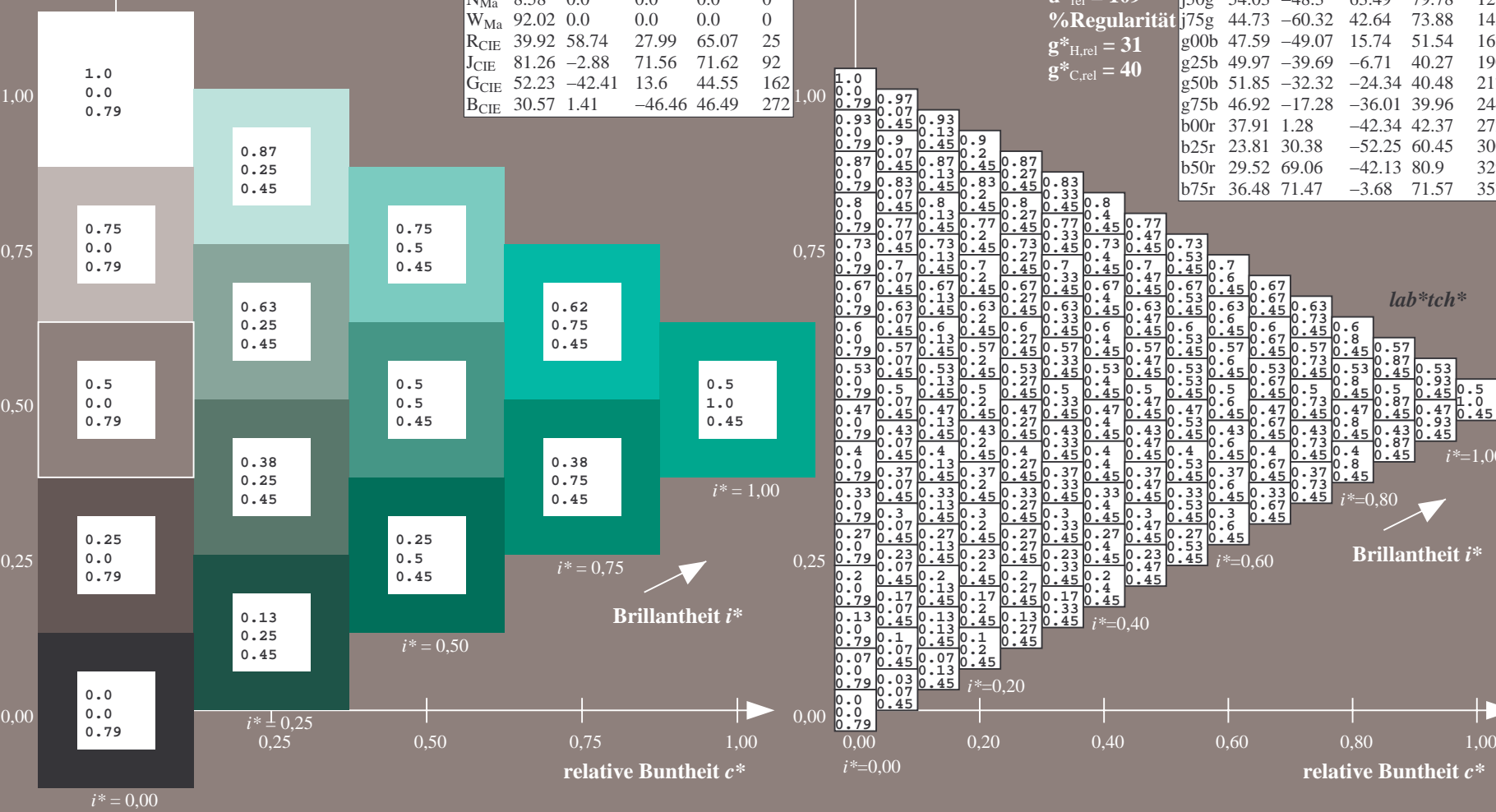
%Regularität

$g^*_{H,rel} = 31$

$g^*_{C,rel} = 40$

FRS09_92a; adaptierte CIELAB-Daten

	$L^*=L_a^*$	a^*_a	b^*_a	$C^*_{ab,a}$	$h^*_{ab,a}$
r00j	35.47	63.32	30.17	70.15	25
r25j	39.12	54.56	49.45	73.64	42
r50j	50.64	39.15	64.89	75.79	59
r75j	64.01	21.26	82.83	85.52	76
j00g	83.18	-4.37	108.53	108.62	92
j25g	66.73	-29.88	83.06	88.28	110
j50g	54.03	-48.3	63.49	79.78	127
j75g	44.73	-60.32	42.64	73.88	145
g00b	47.59	-49.07	15.74	51.54	162
g25b	49.97	-39.69	-6.71	40.27	190
g50b	51.85	-32.32	-24.34	40.48	217
g75b	46.92	-17.28	-36.01	39.96	244
b00r	37.91	1.28	-42.34	42.37	272
b25r	23.81	30.38	-52.25	60.45	300
b50r	29.52	69.06	-42.13	80.9	329
b75r	36.48	71.47	-3.68	71.57	357



Ein und Ausgabe: Farbmetrisches Drucker-Reflektiv-System FRS09_92a für relativen CIELAB-Buntton $h^* = lab^*h^* = h_{ab}/360 = 190/360 = 0.527$ $u^* = g25b$ lab^*tch^*

Daten für jede Farbe:

lab^*tch^* und lab^*icu^*

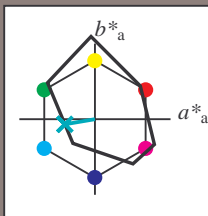
Elementar-Bunttontext:

$u^* = g25b$

Kontrastreduzierungsfaktor:

$c_R = 1.0$

Dreiecks-Helligkeit t^*



FRS09_92a; adaptierte CIELAB-Daten

	$L^*=L^*_a$	a^*_a	b^*_a	$C^*_{ab,a}$	$h^*_{ab,a}$
O _{Ma}	35.06	60.0	44.0	74.4	36
Y _{Ma}	83.77	-5.16	109.32	109.44	93
L _{Ma}	44.13	-62.66	48.24	79.09	142
C _{Ma}	52.66	-29.13	-31.98	43.27	228
V _{Ma}	14.15	50.3	-59.03	77.57	310
M _{Ma}	37.37	78.64	-33.49	85.48	337
N _{Ma}	8.58	0.0	0.0	0.0	0
W _{Ma}	92.02	0.0	0.0	0.0	0
R _{CIE}	39.92	58.74	27.99	65.07	25
J _{CIE}	81.26	-2.88	71.56	71.62	92
G _{CIE}	52.23	-42.41	13.6	44.55	162
B _{CIE}	30.57	1.41	-46.46	46.49	272

Daten für Maximalfarbe (Ma):

$LAB^*LAB^*_{Ma}$: 50 -39 -6

$LAB^*LCH^*_{Ma}$: 50 40 190

$lab^*rgb^*_{Ma}$: 0.0 1.0 0.5

$lab^*olv^*_{Ma}$: 0.0 1.0 0.69

Dreiecks-Helligkeit t^*

%Umfang

$u^*_{rel} = 109$

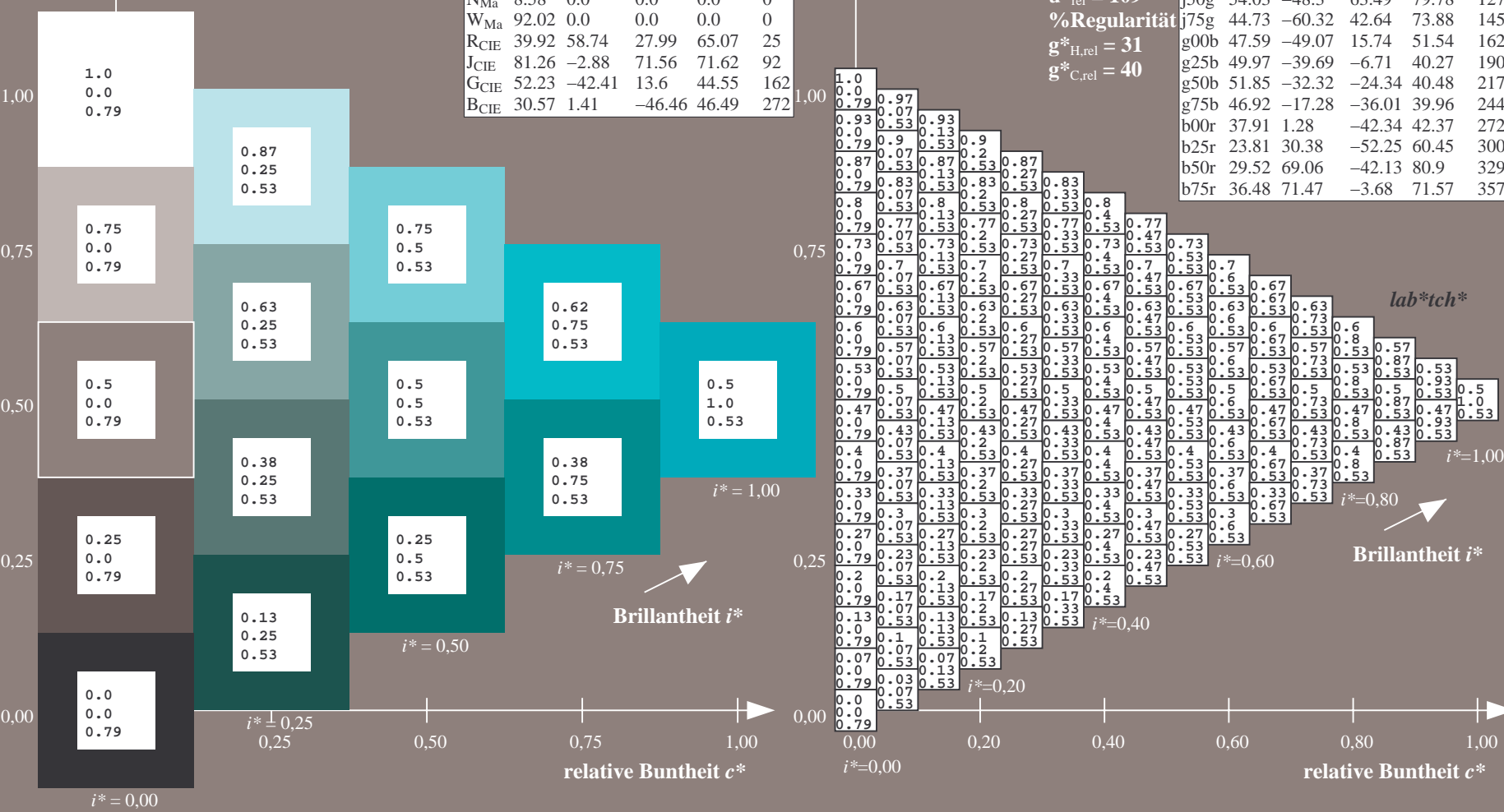
%Regularität

$g^*_{H,rel} = 31$

$g^*_{C,rel} = 40$

FRS09_92a; adaptierte CIELAB-Daten

	$L^*=L^*_a$	a^*_a	b^*_a	$C^*_{ab,a}$	$h^*_{ab,a}$
r00j	35.47	63.32	30.17	70.15	25
r25j	39.12	54.56	49.45	73.64	42
r50j	50.64	39.15	64.89	75.79	59
r75j	64.01	21.26	82.83	85.52	76
j00g	83.18	-4.37	108.53	108.62	92
j25g	66.73	-29.88	83.06	88.28	110
j50g	54.03	-48.3	63.49	79.78	127
j75g	44.73	-60.32	42.64	73.88	145
g00b	47.59	-49.07	15.74	51.54	162
g25b	49.97	-39.69	-6.71	40.27	190
g50b	51.85	-32.32	-24.34	40.48	217
g75b	46.92	-17.28	-36.01	39.96	244
b00r	37.91	1.28	-42.34	42.37	272
b25r	23.81	30.38	-52.25	60.45	300
b50r	29.52	69.06	-42.13	80.9	329
b75r	36.48	71.47	-3.68	71.57	357



Ein und Ausgabe: Farbmetrisches Drucker-Reflektiv-System FRS09_92a für relativen CIELAB-Buntton $h^* = lab^*h^* = h_{ab}/360 = 217/360 = 0.603$ $u^* = g50b$

Daten für jede Farbe:

lab^*ch^* und lab^*icu^*

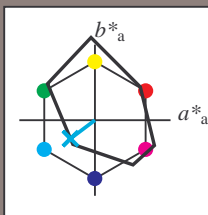
Elementar-Bunttontext:

$u^* = g50b$

Kontrastreduzierungsfaktor:

$c_R = 1.0$

Dreiecks-Helligkeit i^*



FRS09_92a; adaptierte CIELAB-Daten					
	$L^*=L^*_a$	a^*_a	b^*_a	$C^*_{ab,a}$	$h^*_{ab,a}$
O _{Ma}	35.06	60.0	44.0	74.4	36
Y _{Ma}	83.77	-5.16	109.32	109.44	93
L _{Ma}	44.13	-62.66	48.24	79.09	142
C _{Ma}	52.66	-29.13	-31.98	43.27	228
V _{Ma}	14.15	50.3	-59.03	77.57	310
M _{Ma}	37.37	78.64	-33.49	85.48	337
N _{Ma}	8.58	0.0	0.0	0.0	0
W _{Ma}	92.02	0.0	0.0	0.0	0
R _{CIE}	39.92	58.74	27.99	65.07	25
J _{CIE}	81.26	-2.88	71.56	71.62	92
G _{CIE}	52.23	-42.41	13.6	44.55	162
B _{CIE}	30.57	1.41	-46.46	46.49	272

Daten für Maximalfarbe (Ma):

$LAB^*LAB^*_{Ma}$: 52 -31 -23

$LAB^*LCH^*_{Ma}$: 52 40 217

$lab^*rgb^*_{Ma}$: 0.0 1.0 1.0

$lab^*olv^*_{Ma}$: 0.0 1.0 0.9

Dreiecks-Helligkeit i^*

%Umfang

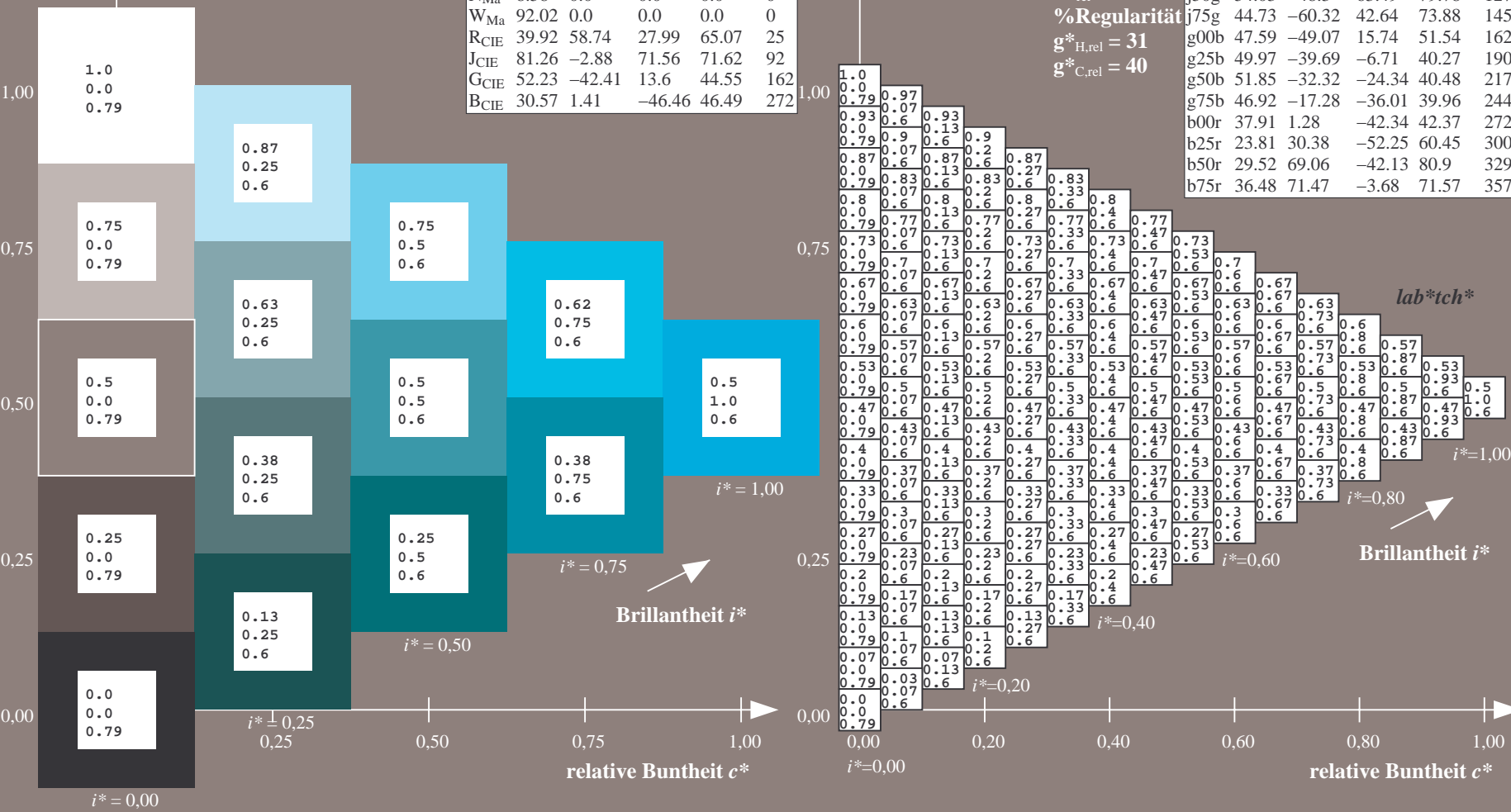
$u^*_{rel} = 109$

%Regularität

$g^*_{H,rel} = 31$

$g^*_{C,rel} = 40$

FRS09_92a; adaptierte CIELAB-Daten					
	$L^*=L^*_a$	a^*_a	b^*_a	$C^*_{ab,a}$	$h^*_{ab,a}$
r00j	35.47	63.32	30.17	70.15	25
r25j	39.12	54.56	49.45	73.64	42
r50j	50.64	39.15	64.89	75.79	59
r75j	64.01	21.26	82.83	85.52	76
j00g	83.18	-4.37	108.53	108.62	92
j25g	66.73	-29.88	83.06	88.28	110
j50g	54.03	-48.3	63.49	79.78	127
j75g	44.73	-60.32	42.64	73.88	145
g00b	47.59	-49.07	15.74	51.54	162
g25b	49.97	-39.69	-6.71	40.27	190
g50b	51.85	-32.32	-24.34	40.48	217
g75b	46.92	-17.28	-36.01	39.96	244
b00r	37.91	1.28	-42.34	42.37	272
b25r	23.81	30.38	-52.25	60.45	300
b50r	29.52	69.06	-42.13	80.9	329
b75r	36.48	71.47	-3.68	71.57	357



100



Ausgabe: $\rightarrow cmy\mathbf{n}5^* setcmykcolor$

BAM-Registrierung: 20080701-Dg96/10L/L96G00NP.PS/.PDF BAM-Material: Code=rh4ta
Anwendung für Beurteilung und Messung von Drucker- oder Monitorsystemen

Ein und Ausgabe: Farbmetrisches Drucker-Reflektiv-System FRS09_92a für relativen CIELAB-Buntton $h^* = lab^*h^* = h_{ab}/360 = 272/360 = 0.755$ $u^* = b00r$

Daten für jede Farbe:

lab^*tch^* und lab^*icu^*

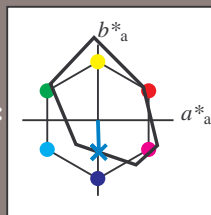
Elementar-Bunttontext:

$u^* = b00r$

Kontrastreduzierungsfaktor:

$c_R = 1.0$

Dreiecks-Helligkeit t^*



FRS09_92a; adaptierte CIELAB-Daten					
	$L^*=L^*_a$	a^*_a	b^*_a	$C^*_{ab,a}$	$h^*_{ab,a}$
O _{Ma}	35.06	60.0	44.0	74.4	36
Y _{Ma}	83.77	-5.16	109.32	109.44	93
L _{Ma}	44.13	-62.66	48.24	79.09	142
C _{Ma}	52.66	-29.13	-31.98	43.27	228
V _{Ma}	14.15	50.3	-59.03	77.57	310
M _{Ma}	37.37	78.64	-33.49	85.48	337
N _{Ma}	8.58	0.0	0.0	0.0	0
W _{Ma}	92.02	0.0	0.0	0.0	0
R _{CIE}	39.92	58.74	27.99	65.07	25
J _{CIE}	81.26	-2.88	71.56	71.62	92
G _{CIE}	52.23	-42.41	13.6	44.55	162
B _{CIE}	30.57	1.41	-46.46	46.49	272

Daten für Maximalfarbe (Ma):

$LAB^*LAB^*_{Ma}$: 38 1 -41

$LAB^*LCH^*_{Ma}$: 38 42 272

$lab^*rgb^*_{Ma}$: 0.0 0.0 1.0

$lab^*olv^*_{Ma}$: 0.0 0.62 1.0

Dreiecks-Helligkeit t^*

%Umfang

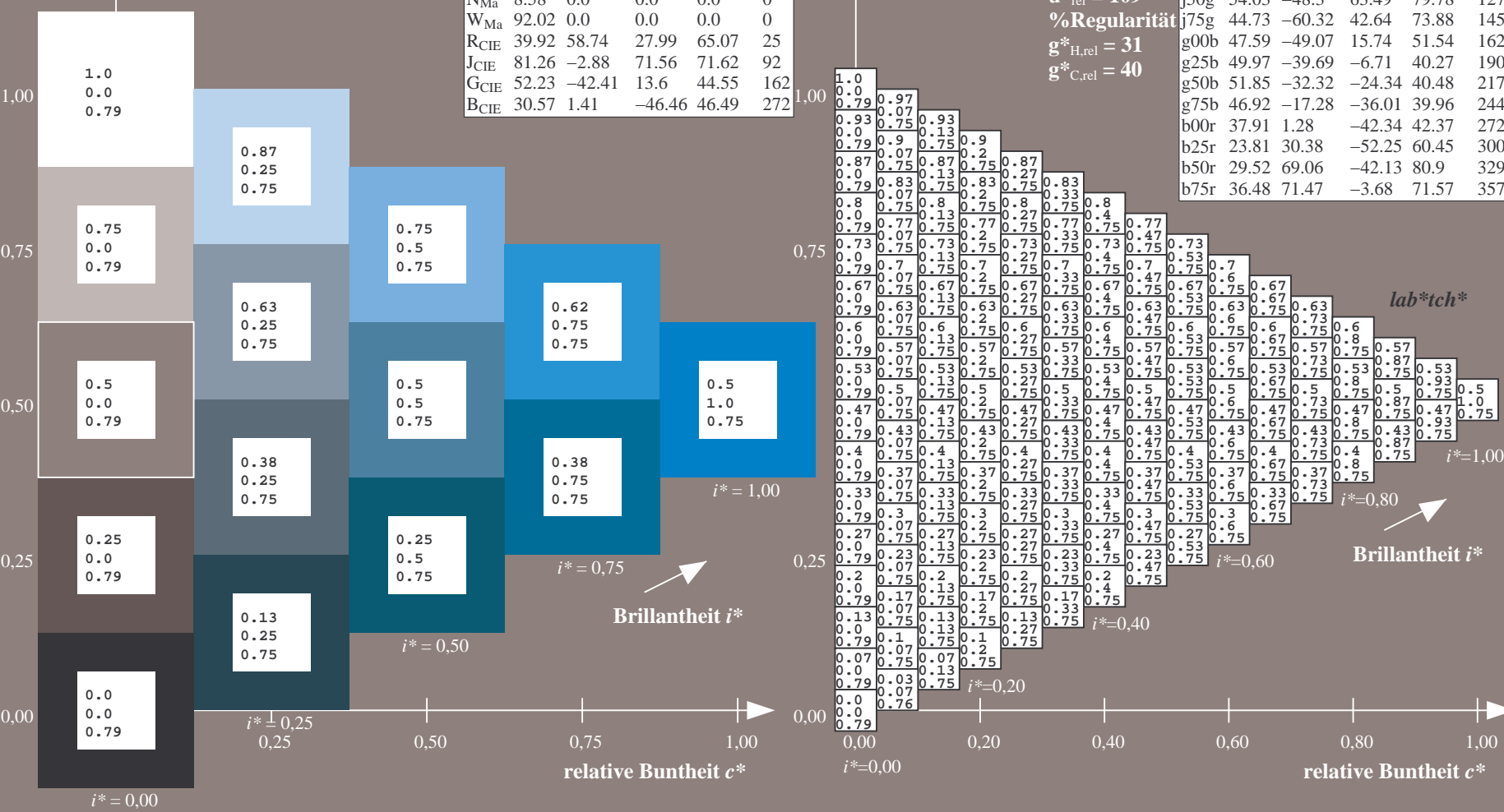
$u^*_{rel} = 109$

%Regularität

$g^*_{H,rel} = 31$

$g^*_{C,rel} = 40$

FRS09_92a; adaptierte CIELAB-Daten					
	$L^*=L^*_a$	a^*_a	b^*_a	$C^*_{ab,a}$	$h^*_{ab,a}$
r00j	35.47	63.32	30.17	70.15	25
r25j	39.12	54.56	49.45	73.64	42
r50j	50.64	39.15	64.89	75.79	59
r75j	64.01	21.26	82.83	85.52	76
j00g	83.18	-4.37	108.53	108.62	92
j25g	66.73	-29.88	83.06	88.28	110
j50g	54.03	-48.3	63.49	79.78	127
j75g	44.73	-60.32	42.64	73.88	145
g00b	47.59	-49.07	15.74	51.54	162
g25b	49.97	-39.69	-6.71	40.27	190
g50b	51.85	-32.32	-24.34	40.48	217
g75b	46.92	-17.28	-36.01	39.96	244
b00r	37.91	1.28	-42.34	42.37	272
b25r	23.81	30.38	-52.25	60.45	300
b50r	29.52	69.06	-42.13	80.9	329
b75r	36.48	71.47	-3.68	71.57	357



100



Ausgabe: $\rightarrow cmyn5^* setcmykcolor$

BAM-Registrierung: 20080701-Dg96/10L/L96G00NP.PS/.PDF BAM-Material: Code=rha4ta
- Anwendung für Beurteilung und Messung von Drucker- oder Monitorsystemen

Ein und Ausgabe: Farbmetrisches Drucker-Reflektiv-System FRS09_92a für relativen CIELAB-Buntton $h^* = lab^*h^* = h_{ab}/360 = 329/360 = 0.913$ $u^* = b50r$

Daten für jede Farbe:

lab^*tch^* und lab^*icu^*

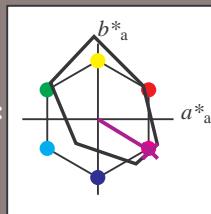
Elementar-Bunttontext:

$u^* = b50r$

Kontrastreduzierungsfaktor:

$c_R = 1.0$

Dreiecks-Helligkeit t^*



FRS09_92a; adaptierte CIELAB-Daten

	$L^*=L_a^*$	a_a^*	b_a^*	$C^*_{ab,a}$	$h^*_{ab,a}$
O _{Ma}	35.06	60.0	44.0	74.4	36
Y _{Ma}	83.77	-5.16	109.32	109.44	93
L _{Ma}	44.13	-62.66	48.24	79.09	142
C _{Ma}	52.66	-29.13	-31.98	43.27	228
V _{Ma}	14.15	50.3	-59.03	77.57	310
M _{Ma}	37.37	78.64	-33.49	85.48	337
N _{Ma}	8.58	0.0	0.0	0.0	0
W _{Ma}	92.02	0.0	0.0	0.0	0
R _{CIE}	39.92	58.74	27.99	65.07	25
J _{CIE}	81.26	-2.88	71.56	71.62	92
G _{CIE}	52.23	-42.41	13.6	44.55	162
B _{CIE}	30.57	1.41	-46.46	46.49	272

Daten für Maximalfarbe (Ma):

$LAB^*LAB^*_{Ma}$: 30 69 -41

$LAB^*LCH^*_{Ma}$: 30 81 329

$lab^*rgb^*_{Ma}$: 1.0 0.0 1.0

$lab^*olv^*_{Ma}$: 0.66 0.0 1.0

Dreiecks-Helligkeit t^*

%Umfang

$u^*_{rel} = 109$

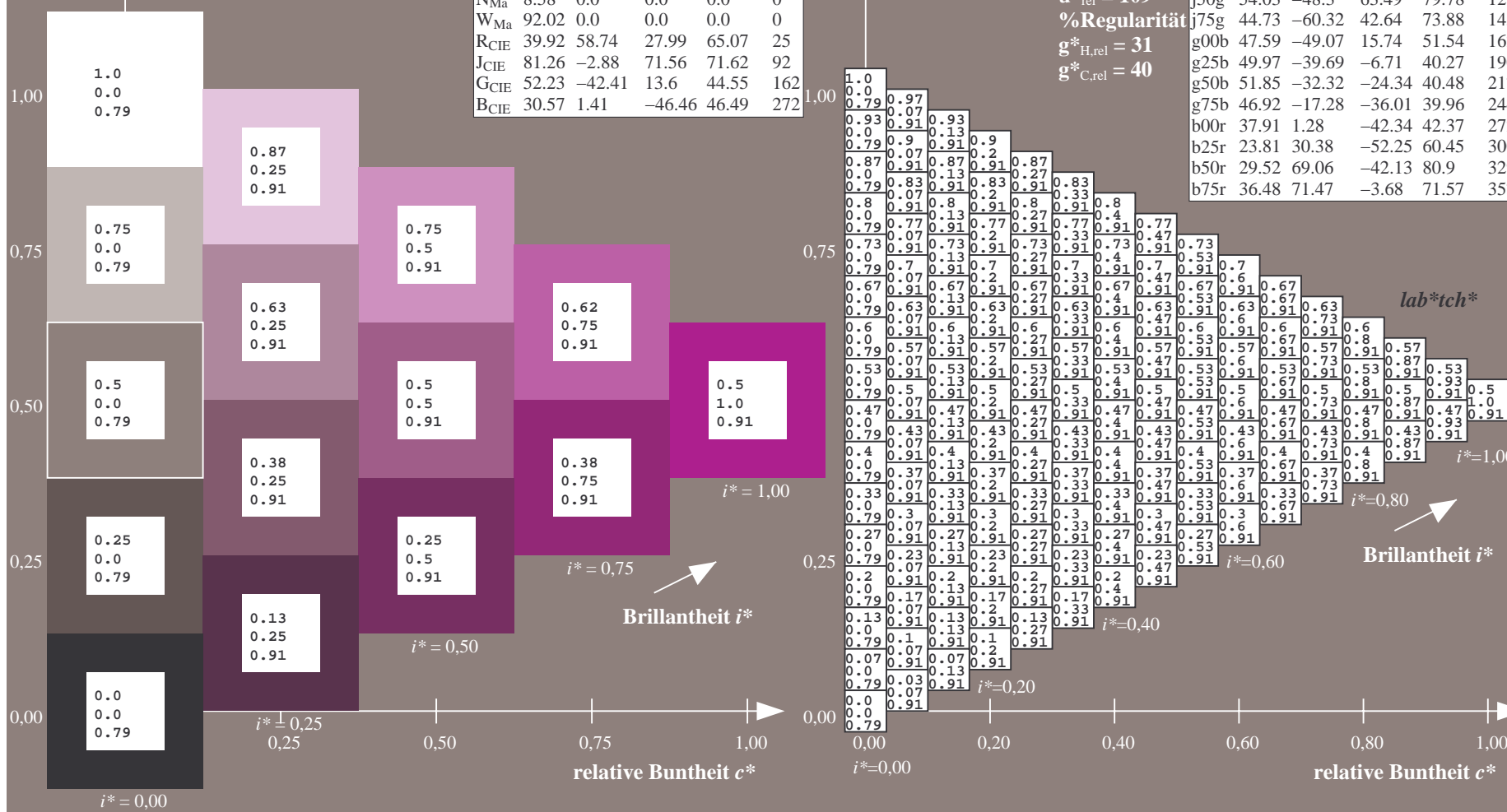
%Regularität

$g^*_{H,rel} = 31$

$g^*_{C,rel} = 40$

FRS09_92a; adaptierte CIELAB-Daten

	$L^*=L_a^*$	a_a^*	b_a^*	$C^*_{ab,a}$	$h^*_{ab,a}$
r00j	35.47	63.32	30.17	70.15	25
r25j	39.12	54.56	49.45	73.64	42
r50j	50.64	39.15	64.89	75.79	59
r75j	64.01	21.26	82.83	85.52	76
j00g	83.18	-4.37	108.53	108.62	92
j25g	66.73	-29.88	83.06	88.28	110
j50g	54.03	-48.3	63.49	79.78	127
j75g	44.73	-60.32	42.64	73.88	145
g00b	47.59	-49.07	15.74	51.54	162
g25b	49.97	-39.69	-6.71	40.27	190
g50b	51.85	-32.32	-24.34	40.48	217
g75b	46.92	-17.28	-36.01	39.96	244
b00r	37.91	1.28	-42.34	42.37	272
b25r	23.81	30.38	-52.25	60.45	300
b50r	29.52	69.06	-42.13	80.9	329
b75r	36.48	71.47	-3.68	71.57	357

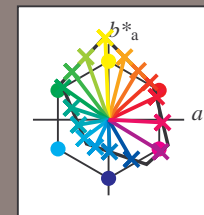


Siehe ähnliche Dateien: <http://www.ps.bam.de/Dg96/>; www.ps.bam.de/Dg.HTM
Technische Information: <http://www.ps.bam.de> Version 2.1, io=1, ColSp=0

	A	B	C	D	E	F	G	H	I	J	K	L	M	N	O	P	Q	R	S	T	U	V	W	X	Y	Z	a	b	c	d	e	f	g	h	i	j	k	lab* <i>tch*</i>			
0.0	0.0	0.06	0.13	0.19	0.25	0.31	0.38	0.44	0.5	0.06	0.06	0.13	0.19	0.25	0.31	0.38	0.44	0.5	0.13	0.13	0.13	0.19	0.25	0.31	0.38	0.44	0.5	1.0	0.94	0.87	0.81	0.75	0.69	0.62	0.56	0.5	0.0	0.0	0.0	0.0	
0.0	0.12	0.25	0.37	0.5	0.62	0.75	0.87	1.0	0.12	0.12	0.25	0.37	0.5	0.62	0.75	0.87	1.0	0.25	0.25	0.25	0.37	0.5	0.62	0.75	0.87	1.0	0.25	1.0	0.12	0.25	0.37	0.5	0.62	0.75	0.87	1.0	0.0	0.0	0.0	0.0	
0.79	0.4	0.4	0.4	0.4	0.4	0.4	0.4	0.4	0.1	0.26	0.31	0.34	0.35	0.36	0.37	0.37	0.37	0.1	0.2	0.26	0.29	0.31	0.33	0.34	0.35	0.36	0.79	0.1	0.1	0.1	0.1	0.1	0.1	0.1	0.1	0.1	0.1	0.79	0.79	0.79	0.79
0.06	0.06	0.13	0.19	0.25	0.31	0.38	0.44	0.5	0.06	0.13	0.19	0.25	0.31	0.38	0.44	0.5	0.06	0.13	0.19	0.25	0.31	0.38	0.44	0.5	0.06	0.13	0.19	0.25	0.31	0.38	0.44	0.5	0.06	0.13	0.19	0.25	0.31	0.38	0.44	0.5	
0.12	0.12	0.25	0.37	0.5	0.62	0.75	0.87	1.0	0.12	0.12	0.25	0.37	0.5	0.62	0.75	0.87	1.0	0.25	0.25	0.25	0.37	0.5	0.62	0.75	0.87	1.0	0.25	1.0	0.12	0.25	0.37	0.5	0.62	0.75	0.87	1.0	0.0	0.0	0.0	0.0	
0.86	0.63	0.47	0.44	0.42	0.42	0.41	0.41	0.41	0.79	0.4	0.4	0.4	0.4	0.4	0.4	0.4	0.4	0.01	0.1	0.26	0.31	0.34	0.35	0.36	0.37	0.37	0.63	0.79	0.1	0.1	0.1	0.1	0.1	0.1	0.1	0.1	0.79	0.79	0.79	0.79	
0.25	0.25	0.37	0.5	0.62	0.75	0.87	1.0	0.25	0.25	0.37	0.5	0.62	0.75	0.87	1.0	0.25	0.25	0.25	0.37	0.5	0.62	0.75	0.87	1.0	0.25	1.0	0.25	1.0	0.25	0.37	0.5	0.62	0.75	0.87	1.0	0.25	0.25	0.25	0.25		
0.86	0.79	0.63	0.52	0.47	0.45	0.44	0.43	0.42	0.9	0.86	0.63	0.47	0.44	0.42	0.41	0.4	0.94	0.94	0.94	0.94	0.94	0.94	0.94	0.94	0.94	0.94	0.94	0.94	0.94	0.94	0.94	0.94	0.94	0.94	0.94	0.94	0.94	0.94	0.94		
0.19	0.19	0.19	0.19	0.25	0.31	0.38	0.44	0.5	0.19	0.25	0.25	0.25	0.25	0.31	0.38	0.44	0.5	0.56	0.19	0.25	0.31	0.31	0.38	0.44	0.5	0.56	0.62	0.81	0.75	0.69	0.63	0.56	0.5	0.44	0.38	0.31	0.38	0.38	0.38		
0.37	0.37	0.37	0.37	0.5	0.62	0.75	0.87	1.0	0.37	0.25	0.25	0.25	0.25	0.38	0.5	0.63	0.75	0.87	0.37	0.25	0.13	0.25	0.38	0.5	0.63	0.75	0.37	0.37	0.25	0.13	0.0	0.13	0.25	0.38	0.5	0.62	0.0	0.0	0.0		
0.86	0.82	0.74	0.63	0.55	0.5	0.47	0.46	0.44	0.89	0.86	0.79	0.63	0.52	0.47	0.45	0.44	0.43	0.91	0.9	0.86	0.63	0.47	0.44	0.42	0.42	0.41	0.63	0.63	0.63	0.63	0.79										
0.25	0.25	0.25	0.25	0.25	0.31	0.38	0.44	0.5	0.25	0.31	0.31	0.31	0.31	0.38	0.44	0.5	0.56	0.25	0.31	0.38	0.44	0.5	0.56	0.62	0.75	0.69	0.63	0.56	0.5	0.44	0.38	0.31	0.25	0.5	0.5	0.5	0.5				
0.5	0.5	0.5	0.5	0.5	0.62	0.75	0.87	1.0	0.5	0.38	0.38	0.38	0.38	0.5	0.63	0.75	0.87	0.5	0.38	0.25	0.25	0.38	0.5	0.63	0.75	0.5	0.38	0.25	0.13	0.0	0.13	0.25	0.38	0.5	0.0	0.0	0.0	0.0			
0.86	0.83	0.79	0.71	0.63	0.57	0.52	0.49	0.47	0.88	0.86	0.82	0.74	0.63	0.55	0.5	0.47	0.46	0.9	0.89	0.86	0.79	0.63	0.52	0.47	0.45	0.44	0.63	0.63	0.63	0.63	0.79										
0.31	0.31	0.31	0.31	0.31	0.31	0.38	0.44	0.5	0.31	0.38	0.38	0.38	0.38	0.38	0.44	0.5	0.56	0.31	0.38	0.44	0.44	0.44	0.44	0.44	0.44	0.44	0.44	0.44	0.44	0.44	0.44	0.44	0.44	0.44	0.44	0.44	0.44	0.44			
0.62	0.62	0.62	0.62	0.62	0.62	0.75	0.87	1.0	0.62	0.5	0.5	0.5	0.5	0.5	0.63	0.75	0.87	0.62	0.5	0.38	0.38	0.38	0.38	0.5	0.63	0.75	0.62	0.5	0.38	0.38	0.38	0.38	0.38	0.38	0.38	0.38	0.38	0.38			
0.86	0.84	0.81	0.76	0.7	0.63	0.58	0.54	0.51	0.88	0.86	0.83	0.79	0.71	0.63	0.57	0.52	0.49	0.89	0.88	0.86	0.82	0.74	0.63	0.55	0.5	0.47	0.63	0.63	0.63	0.63	0.79										
0.38	0.38	0.38	0.38	0.38	0.38	0.38	0.44	0.5	0.38	0.44	0.44	0.44	0.44	0.44	0.44	0.5	0.56	0.38	0.44	0.44	0.44	0.44	0.44	0.44	0.44	0.44	0.44	0.44	0.44	0.44	0.44	0.44	0.44	0.44	0.44	0.44	0.44	0.44			
0.75	0.75	0.75	0.75	0.75	0.75	0.75	0.87	1.0	0.75	0.63	0.63	0.63	0.63	0.63	0.63	0.63	0.63	0.75	0.87	0.75	0.63	0.5	0.5	0.5	0.5	0.5	0.5	0.5	0.5	0.5	0.5	0.5	0.5	0.5	0.5	0.5	0.5	0.5			
0.86	0.85	0.82	0.79	0.74	0.68	0.63	0.59	0.55	0.88	0.86	0.84	0.81	0.76	0.7	0.63	0.58	0.54	0.89	0.88	0.86	0.83	0.79	0.71	0.63	0.55	0.5	0.47	0.63	0.63	0.63	0.63	0.79									
0.44	0.44	0.44	0.44	0.44	0.44	0.44	0.44	0.5	0.44	0.5	0.5	0.5	0.5	0.5	0.5	0.56	0.44	0.5	0.56	0.44	0.5	0.56	0.56	0.56	0.56	0.56	0.56	0.56	0.56	0.56	0.56	0.56	0.56	0.56	0.56	0.56	0.56	0.56			
0.86	0.85	0.83	0.8	0.77	0.72	0.68	0.63	0.59	0.87	0.86	0.85	0.82	0.79	0.74	0.68	0.63	0.59	0.88	0.88	0.86	0.84	0.81	0.76	0.7	0.63	0.55	0.47	0.63	0.63	0.63	0.63	0.79									
0.5	0.5	0.5	0.5	0.5	0.5	0.5	0.5	0.5	0.5	0.56	0.56	0.56	0.56	0.56	0.56	0.56	0.56	0.56	0.56	0.56	0.56	0.56	0.56	0.56	0.56	0.56	0.56	0.56	0.56	0.56	0.56	0.56	0.56	0.56	0.56	0.56	0.56				
1.0	1.0	1.0	1.0	1.0	1.0	1.0	1.0	1.0	1.0	1.0	1.0	1.0	1.0	1.0	1.0	1.0	1.0	1.0	1.0	1.0	1.0	1.0	1.0	1.0	1.0	1.0	1.0	1.0	1.0	1.0	1.0	1.0	1.0	1.0	1.0	1.0	1.0				
0.86	0.85	0.83	0.81	0.79	0.75	0.71	0.67	0.63	0.87	0.86	0.85	0.83	0.8	0.77	0.72	0.68	0.63	0.88	0.87	0.86	0.85	0.82	0.79	0.74	0.68	0.63	0.63	0.63	0.63	0.63	0.63	0.63	0.63	0.63	0.63	0.63	0.63	0.63			
0.19	0.19	0.19	0.19	0.25	0.31	0.38	0.44	0.5	0.19	0.25	0.25	0.25	0.25	0.31	0.38	0.44	0.5	0.56	0.19	0.25	0.31	0.31	0.38	0.44	0.5	0.56	0.62	0.81	0.75	0.69	0.63	0.56	0.5	0.44	0.38	0.31	0.38	0.38	0.38		
0.37	0.37	0.37	0.37	0.5	0.62	0.75	0.87	1.0	0.37	0.25	0.25	0.25	0.25	0.38	0.5	0.63	0.75	0.87	0.37	0.25	0.13	0.25	0.38	0.5	0.63	0.75	0.37	0.37	0.25	0.13	0.0	0.13	0.25	0.38	0.5	0.62	0.0	0.0	0.0		
0.1	0.17	0.22	0.26	0.28	0.3	0.31	0.33	0.33	0.1	0.15	0.2	0.23	0.26	0.28	0.29	0.3	0.31	0.1	0.14	0.18	0.21	0.24	0.26	0.27	0.29	0.3	0.79	0.26	0.26	0.26	0.26	0.26	0.26	0.26	0.26	0.26	0.26	0.26	0.26		
0.19	0.25	0.25	0.25	0.31	0.38	0.44	0.5	0.56	0.25	0.31	0.31	0.31	0.31	0.38	0.44	0.5	0.56	0.31	0.38	0.44	0.44	0.44	0.44	0.44	0.44	0.44	0.44	0.44	0.44	0.44	0.44	0.44	0.44	0.44	0.44	0.44	0.44	0.44			
0.37	0.25	0.25	0.25	0.38	0.5	0.63	0.75	0.87	0.5	0.38	0.38	0.38	0.38	0.5	0.63	0.75	0.87	0.62	0.5	0.5	0.5	0.5	0.5	0.5	0.5	0.5	0.5	0.5	0.5	0.5	0.5	0.5	0.5	0.5	0.5	0.5	0.5				
0.04	0.1	0.2	0.26	0.29	0.31	0.33	0.34	0.35	0.06	0.1	0.17	0.22	0.26	0.28	0.3	0.31	0.33	0.07	0.1	0.15	0.2	0.23	0.26	0.28	0.29	0.3	0.86	0.79	0.26	0.26	0.26	0.26	0.26	0.26	0.26	0.26	0.26	0.26			
0.19	0.25	0.31	0.31	0.38	0.44	0.5	0.56	0.62	0.25	0.31	0.38	0.38	0.38	0.44	0.5	0.56	0.62	0.31	0.38	0.44	0.44	0.44	0.44	0.44	0.44	0.44	0.44	0.44	0.44	0.44	0.44	0.44	0.44	0.44	0.44	0.44	0.44				
0.37	0.25	0.13	0.13	0.25	0.38	0.5	0.63	0.75	0.5	0.38	0.25	0.25	0.25	0.38	0.5	0.63	0.75	0.62	0.5	0.38	0.38	0.38	0.38	0.5	0.63	0.75	0.62	0.5	0.38	0.38	0.38	0.38	0.38	0.38	0.38	0.38	0.38				
0.98	0.01	0.1	0.26	0.31	0.34	0.35	0.36	0.37	0.01	0.04	0.1	0.2	0.26	0.29	0.31	0.33	0.34	0.03	0.06	0.1	0.17	0.22	0.26	0.28	0.3	0.31	0.86	0.86	0.79	0.26	0.26	0.26	0.26	0.26	0.26	0.26	0.26				
0.19	0.25	0.31	0.38	0.44	0.5	0.56	0.63	0.69	0.25	0.31	0.38	0.44	0.44	0.5	0.56	0.63	0.69	0.31	0.38	0.44	0.44	0.44	0.44	0.44	0.44	0.44	0.44	0.44	0.44	0.44	0.44	0.44	0.44	0.44	0.44	0.44	0.44				
0.37	0.25	0.13	0.13	0.25	0.38	0.5	0.63	0.75	0.5	0.38	0.25	0.25	0.25	0.38	0.5	0.63	0.75	0.62	0.5	0.38	0.38	0.38	0.38	0.5	0.63																

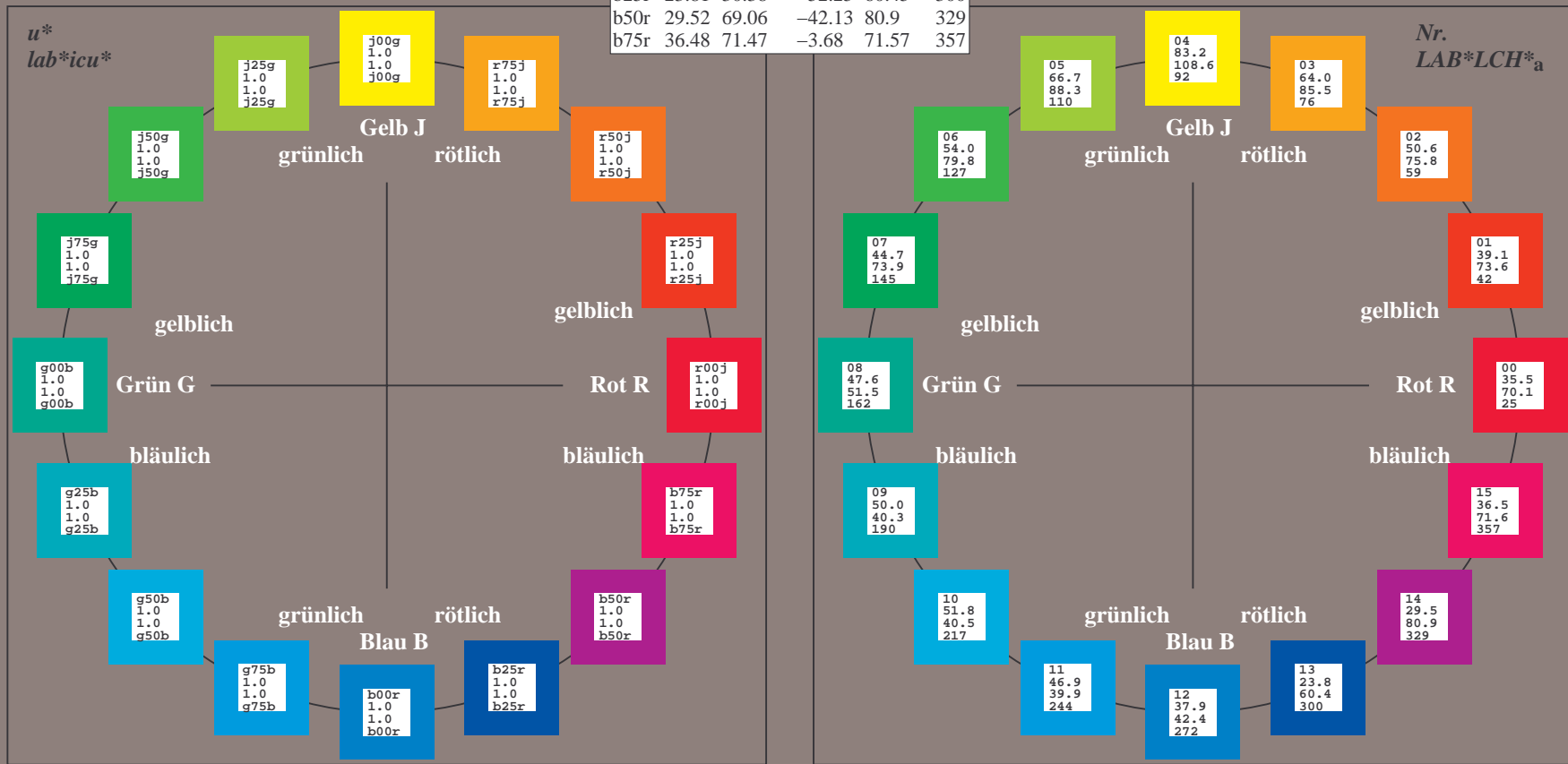
Ein und Ausgabe:
Farbmetrisches Drucker-Reflektiv-System FRS09_92a
Daten für jede Farbe:
*lab*_{ich}** und *lab*_{icu}**
Elementar-Bunttontext:
*u** = 16 Bunttöne *r00j*, *r25j*, ..., *b75r*
Kontrastreduzierungsfaktor:
c_R = 1.0

FRS09_92a; adaptierte CIELAB-Daten					
	<i>L*</i> = <i>L*</i> _a	<i>a*</i> _a	<i>b*</i> _a	<i>C*</i> _{ab,a}	<i>h*</i> _{ab,a}
r00j	35.47	63.32	30.17	70.15	25
r25j	39.12	54.56	49.45	73.64	42
r50j	50.64	39.15	64.89	75.79	59
r75j	64.01	21.26	82.83	85.52	76
j00g	83.18	-4.37	108.53	108.62	92
j25g	66.73	-29.88	83.06	88.28	110
j50g	54.03	-48.3	63.49	79.78	127
j75g	44.73	-60.32	42.64	73.88	145
g00b	47.59	-49.07	15.74	51.54	162
g25b	49.97	-39.69	-6.71	40.27	190
g50b	51.85	-32.32	-24.34	40.48	217
g75b	46.92	-17.28	-36.01	39.96	244
b00r	37.91	1.28	-42.34	42.37	272
b25r	23.81	30.38	-52.25	60.45	300
b50r	29.52	69.06	-42.13	80.9	329
b75r	36.48	71.47	-3.68	71.57	357



%Umfang
*u**_{rel} = 109
%Regularität
*g**_{H,rel} = 31
*g**_{C,rel} = 40

FRS09_92a; adaptierte CIELAB-Daten					
	<i>L*</i> = <i>L*</i> _a	<i>a*</i> _a	<i>b*</i> _a	<i>C*</i> _{ab,a}	<i>h*</i> _{ab,a}
OMa	35.06	60.0	44.0	74.4	36
YMa	83.77	-5.16	109.32	109.44	93
LMa	44.13	-62.66	48.24	79.09	142
CMa	52.66	-29.13	-31.98	43.27	228
VMa	14.15	50.3	-59.03	77.57	310
MMa	37.37	78.64	-33.49	85.48	337
NMa	8.58	0.0	0.0	0.0	0
WMa	92.02	0.0	0.0	0.0	0
RCIE	39.92	58.74	27.99	65.07	25
JCIE	81.26	-2.88	71.56	71.62	92
GCIE	52.23	-42.41	13.6	44.55	162
BCIE	30.57	1.41	-46.46	46.49	272



Ein und Ausgabe: Farbmetrisches Drucker-Reflektiv-System FRS09_92a für relativen CIELAB-Buntton $h^* = \text{lab}^*h^* = h_{ab}/360 = 25/360 = 0.071$ $u^* = r00j$

Daten für jede Farbe:

lab^*ch^* und lab^*icu^*

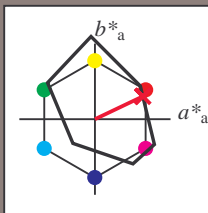
Elementar-Bunttontext:

$u^* = r00j$

Kontrastreduzierungsfaktor:

$c_R = 1.0$

Dreiecks-Helligkeit t^*



FRS09_92a; adaptierte CIELAB-Daten

	$L^*=L_a^*$	a_a^*	b_a^*	$C_{ab,a}^*$	$h_{ab,a}^*$
O _{Ma}	35.06	60.0	44.0	74.4	36
Y _{Ma}	83.77	-5.16	109.32	109.44	93
L _{Ma}	44.13	-62.66	48.24	79.09	142
C _{Ma}	52.66	-29.13	-31.98	43.27	228
V _{Ma}	14.15	50.3	-59.03	77.57	310
M _{Ma}	37.37	78.64	-33.49	85.48	337
N _{Ma}	8.58	0.0	0.0	0.0	0
W _{Ma}	92.02	0.0	0.0	0.0	0
R _{CIE}	39.92	58.74	27.99	65.07	25
J _{CIE}	81.26	-2.88	71.56	71.62	92
G _{CIE}	52.23	-42.41	13.6	44.55	162
B _{CIE}	30.57	1.41	-46.46	46.49	272

Daten für Maximalfarbe (Ma):

$\text{LAB}^*\text{LAB}^*_{\text{Ma}}$: 35 63 30

$\text{LAB}^*\text{LCH}^*_{\text{Ma}}$: 35 70 25

$\text{lab}^*\text{rgb}^*_{\text{Ma}}$: 1.0 0.0 0.0

$\text{lab}^*\text{olv}^*_{\text{Ma}}$: 1.0 0.0 0.18

Dreiecks-Helligkeit t^*

%Umfang

$u^*_{\text{rel}} = 109$

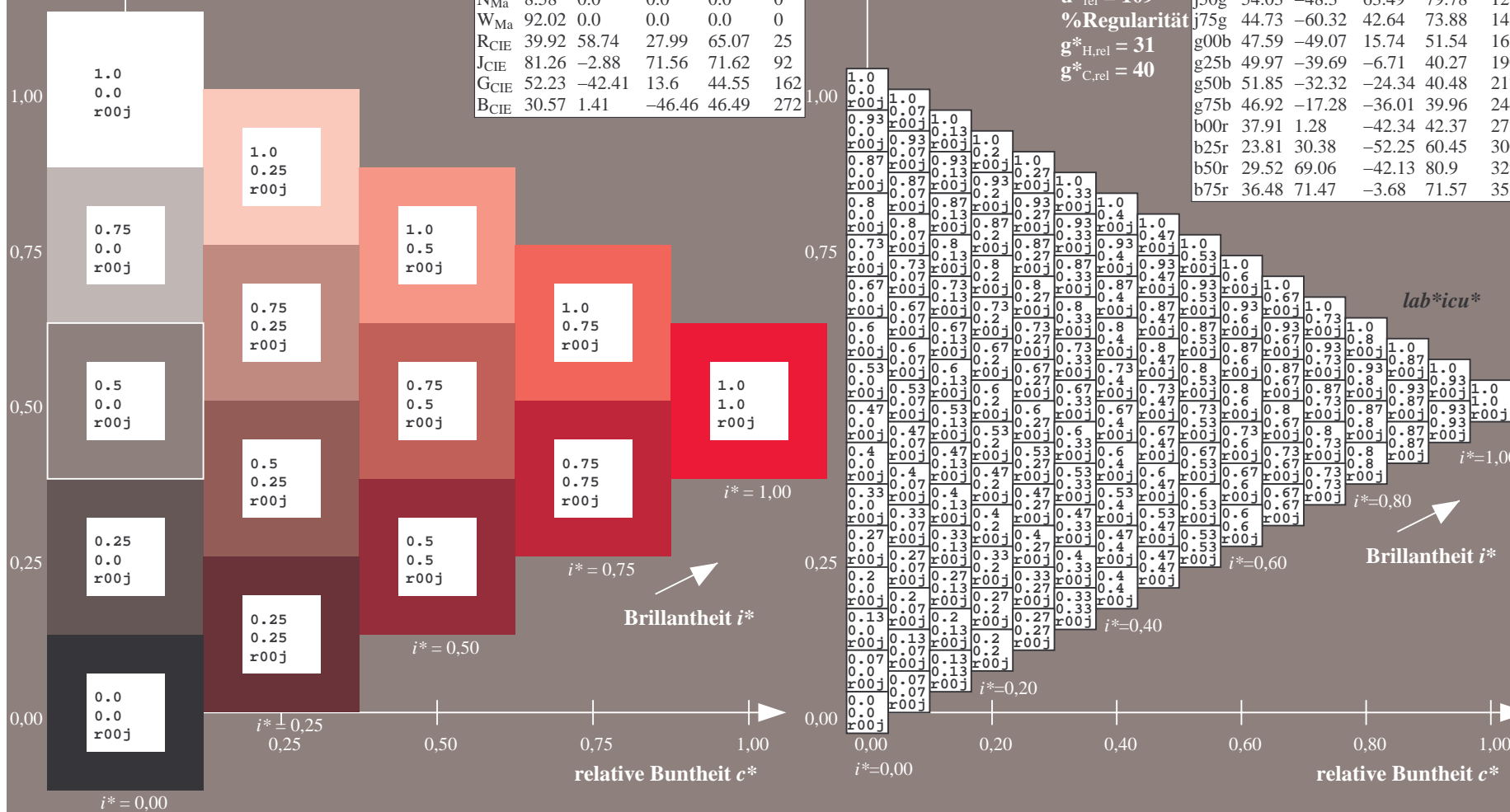
%Regularität

$g^*_{H,\text{rel}} = 31$

$g^*_{C,\text{rel}} = 40$

FRS09_92a; adaptierte CIELAB-Daten

	$L^*=L_a^*$	a_a^*	b_a^*	$C_{ab,a}^*$	$h_{ab,a}^*$
r00j	35.47	63.32	30.17	70.15	25
r25j	39.12	54.56	49.45	73.64	42
r50j	50.64	39.15	64.89	75.79	59
r75j	64.01	21.26	82.83	85.52	76
j00g	83.18	-4.37	108.53	108.62	92
j25g	66.73	-29.88	83.06	88.28	110
j50g	54.03	-48.3	63.49	79.78	127
j75g	44.73	-60.32	42.64	73.88	145
g00b	47.59	-49.07	15.74	51.54	162
g25b	49.97	-39.69	-6.71	40.27	190
g50b	51.85	-32.32	-24.34	40.48	217
g75b	46.92	-17.28	-36.01	39.96	244
b00r	37.91	1.28	-42.34	42.37	272
b25r	23.81	30.38	-52.25	60.45	300
b50r	29.52	69.06	-42.13	80.9	329
b75r	36.48	71.47	-3.68	71.57	357



Ein und Ausgabe: Farbmetrisches Drucker-Reflektiv-System FRS09_92a für relativen CIELAB-Buntton $h^* = lab^*h^* = h_{ab}/360 = 42/360 = 0.117$ $u^* = r25j$

Daten für jede Farbe:

lab^*ch^* und lab^*icu^*

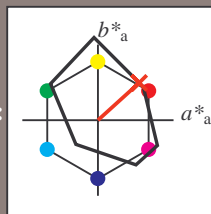
Elementar-Bunttontext:

$u^* = r25j$

Kontrastreduzierungsfaktor:

$c_R = 1.0$

Dreiecks-Helligkeit i^*



FRS09_92a; adaptierte CIELAB-Daten					
	$L^*=L^*_a$	a^*_a	b^*_a	$C^*_{ab,a}$	$h^*_{ab,a}$
O _{Ma}	35.06	60.0	44.0	74.4	36
Y _{Ma}	83.77	-5.16	109.32	109.44	93
L _{Ma}	44.13	-62.66	48.24	79.09	142
C _{Ma}	52.66	-29.13	-31.98	43.27	228
V _{Ma}	14.15	50.3	-59.03	77.57	310
M _{Ma}	37.37	78.64	-33.49	85.48	337
N _{Ma}	8.58	0.0	0.0	0.0	0
W _{Ma}	92.02	0.0	0.0	0.0	0
R _{CIE}	39.92	58.74	27.99	65.07	25
J _{CIE}	81.26	-2.88	71.56	71.62	92
G _{CIE}	52.23	-42.41	13.6	44.55	162
B _{CIE}	30.57	1.41	-46.46	46.49	272

Daten für Maximalfarbe (Ma):

$LAB^*LAB^*_{Ma}$: 39 55 49

$LAB^*LCH^*_{Ma}$: 39 74 42

$lab^*rgb^*_{Ma}$: 1.0 0.25 0.0

$lab^*olv^*_{Ma}$: 1.0 0.08 0.0

Dreiecks-Helligkeit i^*

%Umfang

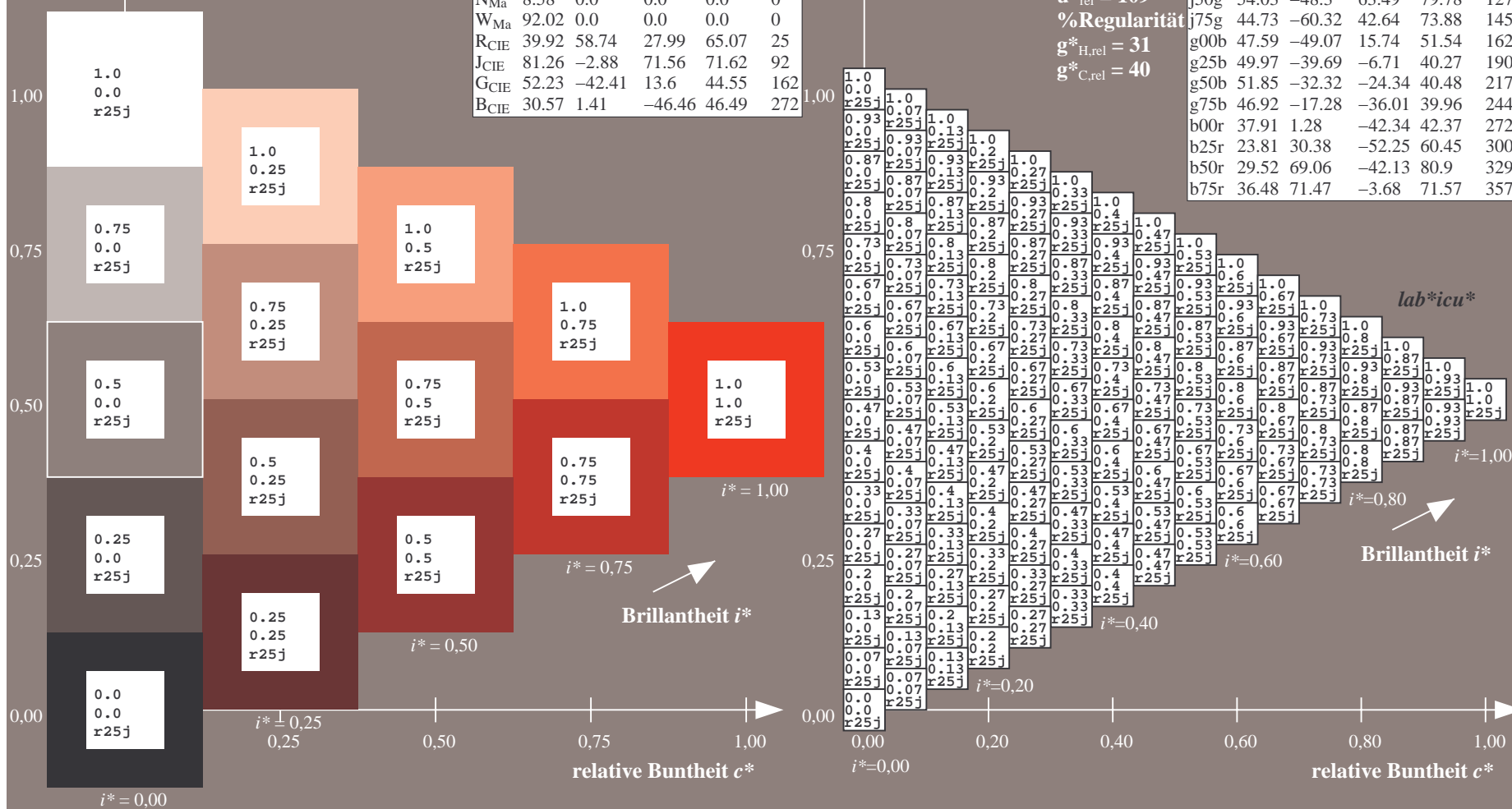
$u^*_{rel} = 109$

%Regularität

$g^*_{H,rel} = 31$

$g^*_{C,rel} = 40$

FRS09_92a; adaptierte CIELAB-Daten					
	$L^*=L^*_a$	a^*_a	b^*_a	$C^*_{ab,a}$	$h^*_{ab,a}$
r00j	35.47	63.32	30.17	70.15	25
r25j	39.12	54.56	49.45	73.64	42
r50j	50.64	39.15	64.89	75.79	59
r75j	64.01	21.26	82.83	85.52	76
j00g	83.18	-4.37	108.53	108.62	92
j25g	66.73	-29.88	83.06	88.28	110
j50g	54.03	-48.3	63.49	79.78	127
j75g	44.73	-60.32	42.64	73.88	145
g00b	47.59	-49.07	15.74	51.54	162
g25b	49.97	-39.69	-6.71	40.27	190
g50b	51.85	-32.32	-24.34	40.48	217
g75b	46.92	-17.28	-36.01	39.96	244
b00r	37.91	1.28	-42.34	42.37	272
b25r	23.81	30.38	-52.25	60.45	300
b50r	29.52	69.06	-42.13	80.9	329
b75r	36.48	71.47	-3.68	71.57	357



Ein und Ausgabe: Farbmetrisches Drucker-Reflektiv-System FRS09_92a für relativen CIELAB-Buntton $h^* = lab^*h^* = h_{ab}/360 = 59/360 = 0.164$ $u^* = r50j$
Daten für jede Farbe: lab^*ch^* und lab^*icu^*

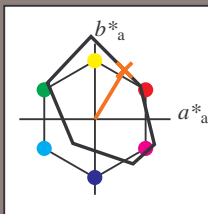
Elementar-Bunttontext:

$u^* = r50j$

Kontrastreduzierungsfaktor:

$c_R = 1.0$

Dreiecks-Helligkeit t^*



FRS09_92a; adaptierte CIELAB-Daten					
	$L^*=L_a^*$	a_a^*	b_a^*	$C^*_{ab,a}$	$h^*_{ab,a}$
O _{Ma}	35.06	60.0	44.0	74.4	36
Y _{Ma}	83.77	-5.16	109.32	109.44	93
L _{Ma}	44.13	-62.66	48.24	79.09	142
C _{Ma}	52.66	-29.13	-31.98	43.27	228
V _{Ma}	14.15	50.3	-59.03	77.57	310
M _{Ma}	37.37	78.64	-33.49	85.48	337
N _{Ma}	8.58	0.0	0.0	0.0	0
W _{Ma}	92.02	0.0	0.0	0.0	0
R _{CIE}	39.92	58.74	27.99	65.07	25
J _{CIE}	81.26	-2.88	71.56	71.62	92
G _{CIE}	52.23	-42.41	13.6	44.55	162
B _{CIE}	30.57	1.41	-46.46	46.49	272

Daten für Maximalfarbe (Ma):

$LAB^*LAB^*_{Ma}$: 51 39 65

$LAB^*LCH^*_{Ma}$: 51 76 59

$lab^*rgb^*_{Ma}$: 1.0 0.5 0.0

$lab^*olv^*_{Ma}$: 1.0 0.32 0.0

Dreiecks-Helligkeit t^*

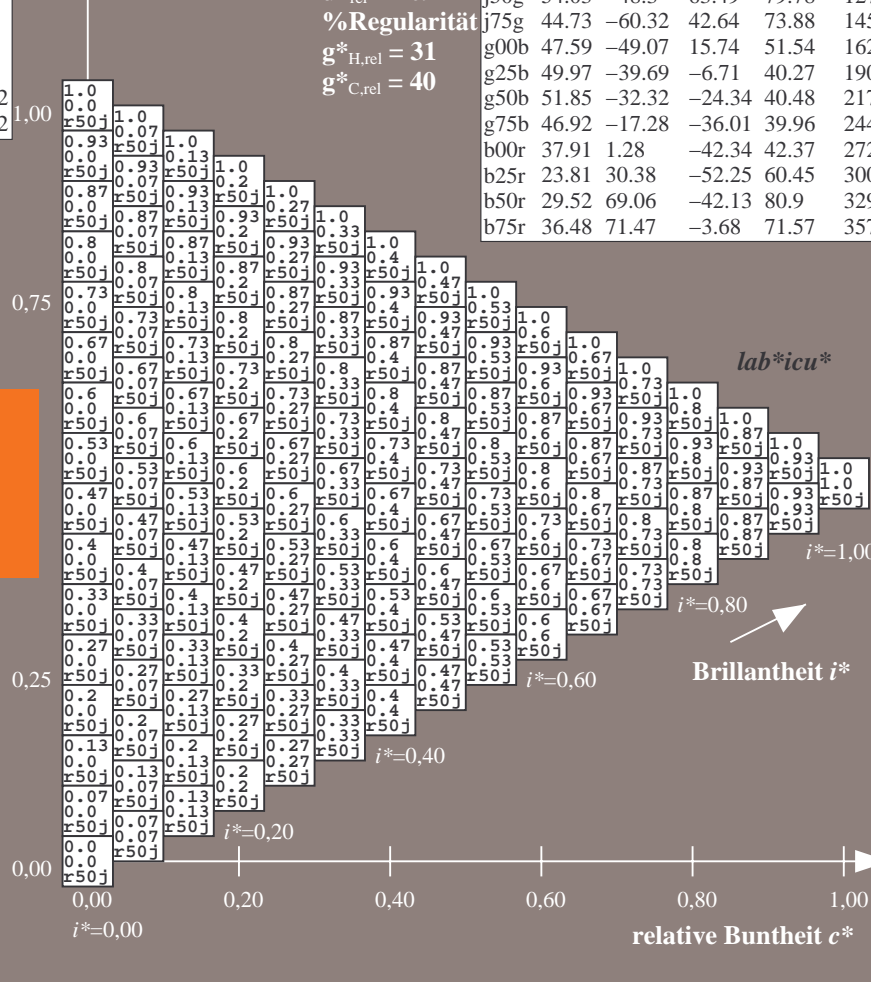
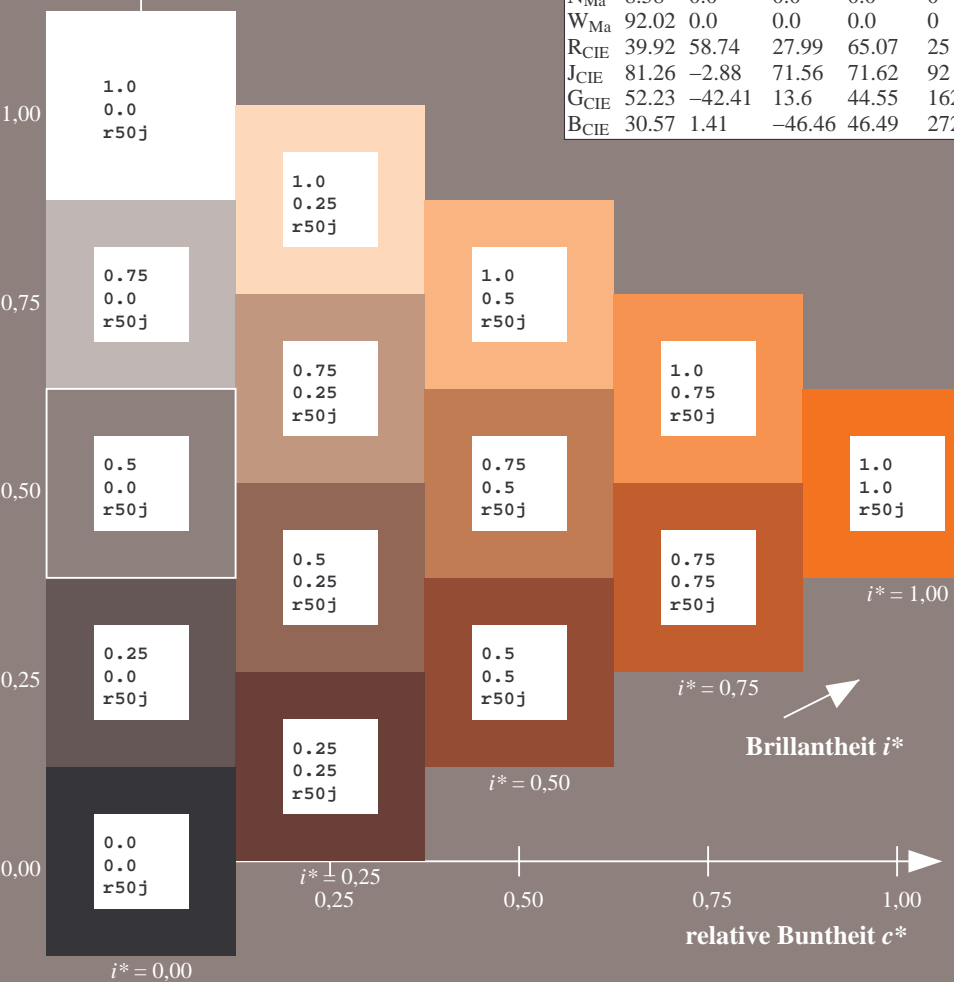
%Umfang

$u^*_{rel} = 109$

%Regularität

$g^*_{H,rel} = 31$

$g^*_{C,rel} = 40$



Ein und Ausgabe: Farbmetrisches Drucker-Reflektiv-System FRS09_92a für relativen CIELAB-Buntton $h^* = lab^*h^* = h_{ab}/360 = 76/360 = 0.21$

Daten für jede Farbe:

lab^*ch^* und lab^*icu^*

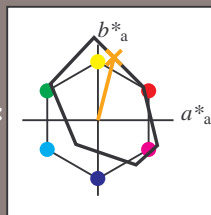
Elementar-Bunttontext:

$u^* = r75j$

Kontrastreduzierungsfaktor:

$c_R = 1.0$

Dreiecks-Helligkeit t^*



FRS09_92a; adaptierte CIELAB-Daten

	$L^*=L_a^*$	a_a^*	b_a^*	$C_{ab,a}^*$	$h_{ab,a}^*$
O _{Ma}	35.06	60.0	44.0	74.4	36
Y _{Ma}	83.77	-5.16	109.32	109.44	93
L _{Ma}	44.13	-62.66	48.24	79.09	142
C _{Ma}	52.66	-29.13	-31.98	43.27	228
V _{Ma}	14.15	50.3	-59.03	77.57	310
M _{Ma}	37.37	78.64	-33.49	85.48	337
N _{Ma}	8.58	0.0	0.0	0.0	0
W _{Ma}	92.02	0.0	0.0	0.0	0
R _{CIE}	39.92	58.74	27.99	65.07	25
J _{CIE}	81.26	-2.88	71.56	71.62	92
G _{CIE}	52.23	-42.41	13.6	44.55	162
B _{CIE}	30.57	1.41	-46.46	46.49	272

Daten für Maximalfarbe (Ma):

$LAB^*LAB^*_{Ma}$: 64 21 83

$LAB^*LCH^*_{Ma}$: 64 86 76

$lab^*rgb^*_{Ma}$: 1.0 0.75 0.0

$lab^*olv^*_{Ma}$: 1.0 0.59 0.0

Dreiecks-Helligkeit t^*

%Umfang

$u^*_{rel} = 109$

%Regularität

$g^*_{H,rel} = 31$

$g^*_{C,rel} = 40$

FRS09_92a; adaptierte CIELAB-Daten

	$L^*=L_a^*$	a_a^*	b_a^*	$C_{ab,a}^*$	$h_{ab,a}^*$
r00j	35.47	63.32	30.17	70.15	25
r25j	39.12	54.56	49.45	73.64	42
r50j	50.64	39.15	64.89	75.79	59
r75j	64.01	21.26	82.83	85.52	76
j00g	83.18	-4.37	108.53	108.62	92
j25g	66.73	-29.88	83.06	88.28	110
j50g	54.03	-48.3	63.49	79.78	127
j75g	44.73	-60.32	42.64	73.88	145
g00b	47.59	-49.07	15.74	51.54	162
g25b	49.97	-39.69	-6.71	40.27	190
g50b	51.85	-32.32	-24.34	40.48	217
g75b	46.92	-17.28	-36.01	39.96	244
b00r	37.91	1.28	-42.34	42.37	272
b25r	23.81	30.38	-52.25	60.45	300
b50r	29.52	69.06	-42.13	80.9	329
b75r	36.48	71.47	-3.68	71.57	357

Ein und Ausgabe: Farbmetrisches Drucker-Reflektiv-System FRS09_92a für relativen CIELAB-Buntton $h^* = \text{lab}^*h^* = h_{ab}/360 = 92/360 = 0.256$ $u^* = j00g$
Daten für jede Farbe:
 lab^*ch^* und lab^*icu^*

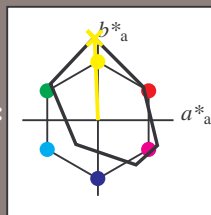
Elementar-Bunttontext:

$u^* = j00g$

Kontrastreduzierungsfaktor:

$c_R = 1.0$

Dreiecks-Helligkeit i^*



FRS09_92a; adaptierte CIELAB-Daten					
	$L^*=L^*_a$	a^*_a	b^*_a	$C^*_{ab,a}$	$h^*_{ab,a}$
O _{Ma}	35.06	60.0	44.0	74.4	36
Y _{Ma}	83.77	-5.16	109.32	109.44	93
L _{Ma}	44.13	-62.66	48.24	79.09	142
C _{Ma}	52.66	-29.13	-31.98	43.27	228
V _{Ma}	14.15	50.3	-59.03	77.57	310
M _{Ma}	37.37	78.64	-33.49	85.48	337
N _{Ma}	8.58	0.0	0.0	0.0	0
W _{Ma}	92.02	0.0	0.0	0.0	0
R _{CIE}	39.92	58.74	27.99	65.07	25
J _{CIE}	81.26	-2.88	71.56	71.62	92
G _{CIE}	52.23	-42.41	13.6	44.55	162
B _{CIE}	30.57	1.41	-46.46	46.49	272

Daten für Maximalfarbe (Ma):

$\text{LAB}^*\text{LAB}^*_{Ma}$: 83 -3 109

$\text{LAB}^*\text{LCH}^*_{Ma}$: 83 109 92

$\text{lab}^*\text{rgb}^*_{Ma}$: 1.0 1.0 0.0

$\text{lab}^*\text{olv}^*_{Ma}$: 1.0 0.99 0.0

Dreiecks-Helligkeit i^*

%Umfang

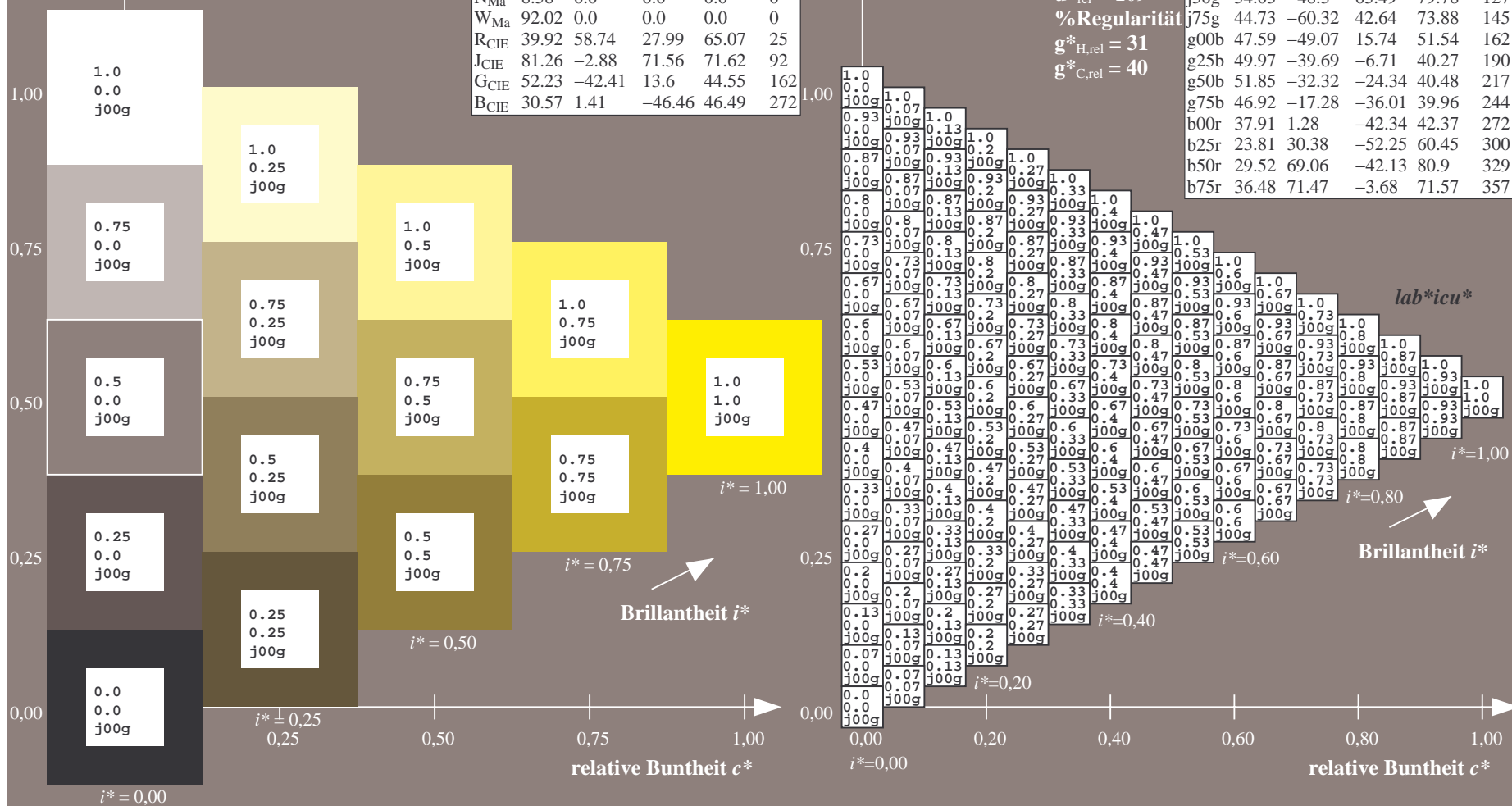
$u^*_{rel} = 109$

%Regularität

$g^*_{H,rel} = 31$

$g^*_{C,rel} = 40$

FRS09_92a; adaptierte CIELAB-Daten					
	$L^*=L^*_a$	a^*_a	b^*_a	$C^*_{ab,a}$	$h^*_{ab,a}$
r00j	35.47	63.32	30.17	70.15	25
r25j	39.12	54.56	49.45	73.64	42
r50j	50.64	39.15	64.89	75.79	59
r75j	64.01	21.26	82.83	85.52	76
j00g	83.18	-4.37	108.53	108.62	92
j25g	66.73	-29.88	83.06	88.28	110
j50g	54.03	-48.3	63.49	79.78	127
j75g	44.73	-60.32	42.64	73.88	145
g00b	47.59	-49.07	15.74	51.54	162
g25b	49.97	-39.69	-6.71	40.27	190
g50b	51.85	-32.32	-24.34	40.48	217
g75b	46.92	-17.28	-36.01	39.96	244
b00r	37.91	1.28	-42.34	42.37	272
b25r	23.81	30.38	-52.25	60.45	300
b50r	29.52	69.06	-42.13	80.9	329
b75r	36.48	71.47	-3.68	71.57	357



Ein und Ausgabe: Farbmetrisches Drucker-Reflektiv-System FRS09_92a für relativen CIELAB-Buntton $h^* = lab^*h^* = h_{ab}/360 = 110/360 = 0.305$ $u^* = j25g$

Daten für jede Farbe:

lab^*ch^* und lab^*icu^*

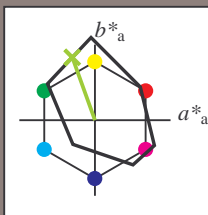
Elementar-Bunttontext:

$u^* = j25g$

Kontrastreduzierungsfaktor:

$c_R = 1.0$

Dreiecks-Helligkeit i^*



FRS09_92a; adaptierte CIELAB-Daten

	$L^*=L_a^*$	a_a^*	b_a^*	$C^*_{ab,a}$	$h^*_{ab,a}$
O _{Ma}	35.06	60.0	44.0	74.4	36
Y _{Ma}	83.77	-5.16	109.32	109.44	93
L _{Ma}	44.13	-62.66	48.24	79.09	142
C _{Ma}	52.66	-29.13	-31.98	43.27	228
V _{Ma}	14.15	50.3	-59.03	77.57	310
M _{Ma}	37.37	78.64	-33.49	85.48	337
N _{Ma}	8.58	0.0	0.0	0.0	0
W _{Ma}	92.02	0.0	0.0	0.0	0
R _{CIE}	39.92	58.74	27.99	65.07	25
J _{CIE}	81.26	-2.88	71.56	71.62	92
G _{CIE}	52.23	-42.41	13.6	44.55	162
B _{CIE}	30.57	1.41	-46.46	46.49	272

Daten für Maximalfarbe (Ma):

$LAB^*LAB^*_{Ma}$: 67 -29 83

$LAB^*LCH^*_{Ma}$: 67 88 110

$lab^*rgb^*_{Ma}$: 0.75 1.0 0.0

$lab^*olv^*_{Ma}$: 0.57 1.0 0.0

Dreiecks-Helligkeit i^*

%Umfang

$u^*_{rel} = 109$

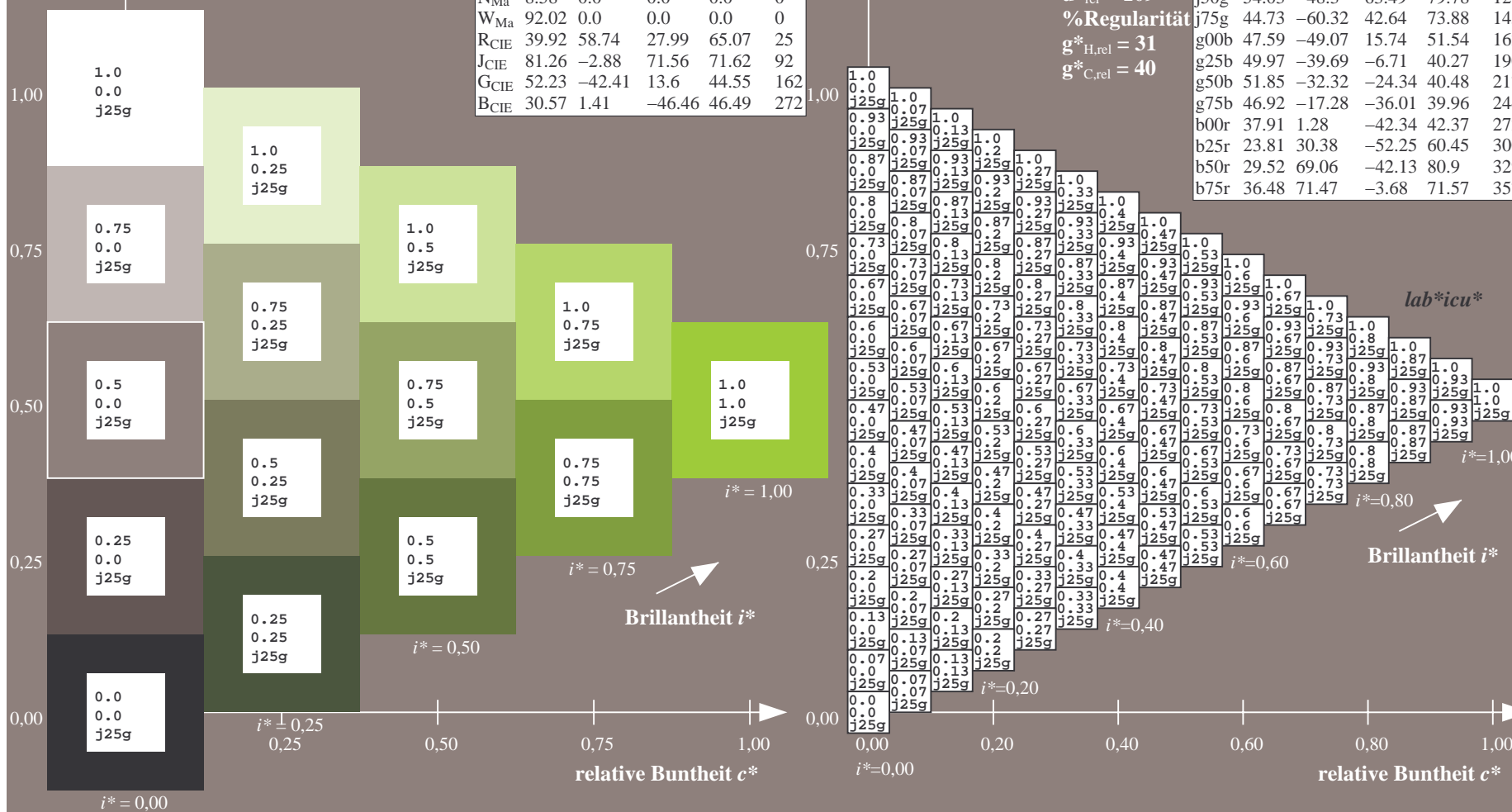
%Regularität

$g^*_{H,rel} = 31$

$g^*_{C,rel} = 40$

FRS09_92a; adaptierte CIELAB-Daten

	$L^*=L_a^*$	a_a^*	b_a^*	$C^*_{ab,a}$	$h^*_{ab,a}$
r00j	35.47	63.32	30.17	70.15	25
r25j	39.12	54.56	49.45	73.64	42
r50j	50.64	39.15	64.89	75.79	59
r75j	64.01	21.26	82.83	85.52	76
j00g	83.18	-4.37	108.53	108.62	92
j25g	66.73	-29.88	83.06	88.28	110
j50g	54.03	-48.3	63.49	79.78	127
j75g	44.73	-60.32	42.64	73.88	145
g00b	47.59	-49.07	15.74	51.54	162
g25b	49.97	-39.69	-6.71	40.27	190
g50b	51.85	-32.32	-24.34	40.48	217
g75b	46.92	-17.28	-36.01	39.96	244
b00r	37.91	1.28	-42.34	42.37	272
b25r	23.81	30.38	-52.25	60.45	300
b50r	29.52	69.06	-42.13	80.9	329
b75r	36.48	71.47	-3.68	71.57	357



Ein und Ausgabe: Farbmetrisches Drucker-Reflektiv-System FRS09_92a für relativen CIELAB-Buntton $h^* = lab^*h^* = h_{ab}/360 = 127/360 = 0.354$ $u^* = j50g$

Daten für jede Farbe:

lab^*ch^* und lab^*icu^*

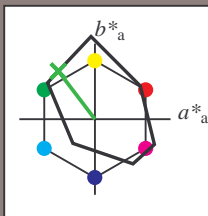
Elementar-Bunttontext:

$u^* = j50g$

Kontrastreduzierungsfaktor:

$c_R = 1.0$

Dreiecks-Helligkeit i^*



FRS09_92a; adaptierte CIELAB-Daten					
	$L^*=L^*_a$	a^*_a	b^*_a	$C^*_{ab,a}$	$h^*_{ab,a}$
O _{Ma}	35.06	60.0	44.0	74.4	36
Y _{Ma}	83.77	-5.16	109.32	109.44	93
L _{Ma}	44.13	-62.66	48.24	79.09	142
C _{Ma}	52.66	-29.13	-31.98	43.27	228
V _{Ma}	14.15	50.3	-59.03	77.57	310
M _{Ma}	37.37	78.64	-33.49	85.48	337
N _{Ma}	8.58	0.0	0.0	0.0	0
W _{Ma}	92.02	0.0	0.0	0.0	0
R _{CIE}	39.92	58.74	27.99	65.07	25
J _{CIE}	81.26	-2.88	71.56	71.62	92
G _{CIE}	52.23	-42.41	13.6	44.55	162
B _{CIE}	30.57	1.41	-46.46	46.49	272

Daten für Maximalfarbe (Ma):

$LAB^*LAB^*_{Ma}$: 54 -47 63

$LAB^*LCH^*_{Ma}$: 54 80 127

$lab^*rgb^*_{Ma}$: 0.5 1.0 0.0

$lab^*olv^*_{Ma}$: 0.25 1.0 0.0

Dreiecks-Helligkeit i^*

%Umfang

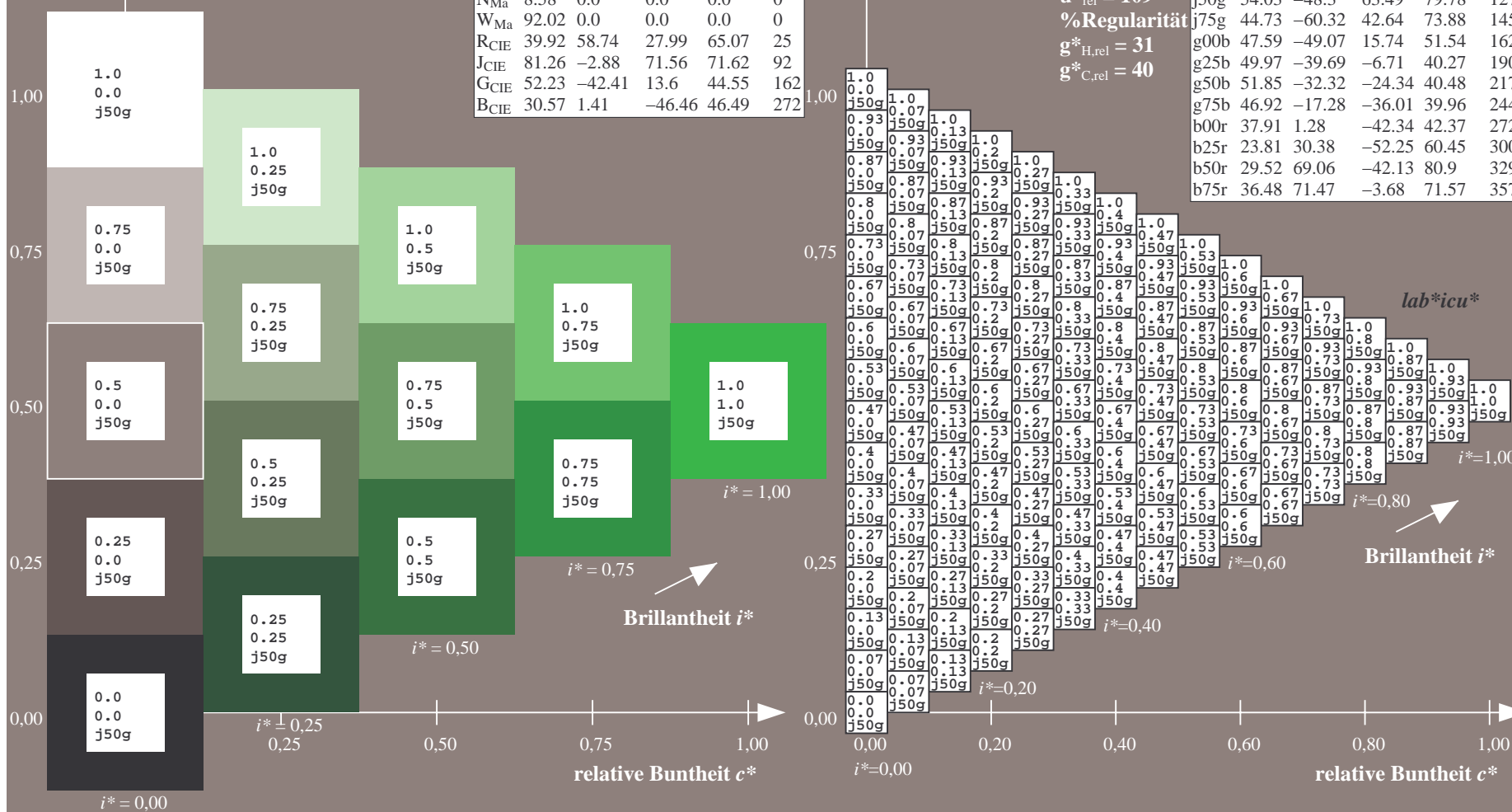
$u^*_{rel} = 109$

%Regularität

$g^*_{H,rel} = 31$

$g^*_{C,rel} = 40$

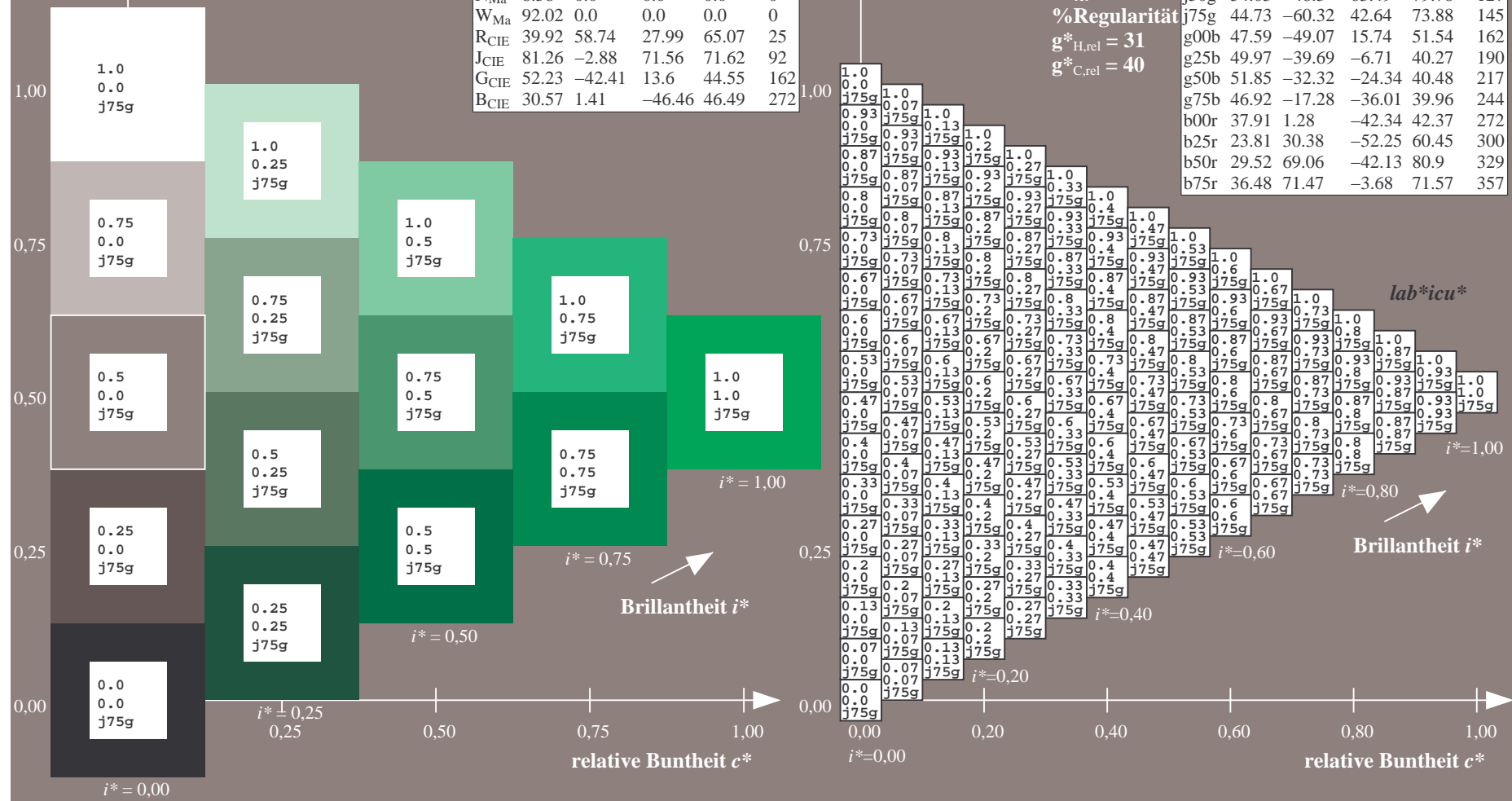
FRS09_92a; adaptierte CIELAB-Daten					
	$L^*=L^*_a$	a^*_a	b^*_a	$C^*_{ab,a}$	$h^*_{ab,a}$
r00j	35.47	63.32	30.17	70.15	25
r25j	39.12	54.56	49.45	73.64	42
r50j	50.64	39.15	64.89	75.79	59
r75j	64.01	21.26	82.83	85.52	76
j00g	83.18	-4.37	108.53	108.62	92
j25g	66.73	-29.88	83.06	88.28	110
j50g	54.03	-48.3	63.49	79.78	127
j75g	44.73	-60.32	42.64	73.88	145
g00b	47.59	-49.07	15.74	51.54	162
g25b	49.97	-39.69	-6.71	40.27	190
g50b	51.85	-32.32	-24.34	40.48	217
g75b	46.92	-17.28	-36.01	39.96	244
b00r	37.91	1.28	-42.34	42.37	272
b25r	23.81	30.38	-52.25	60.45	300
b50r	29.52	69.06	-42.13	80.9	329
b75r	36.48	71.47	-3.68	71.57	357



100



r00j	35.47	63.32	30.17	70.15	25
r25j	39.12	54.56	49.45	73.64	42
r50j	50.64	39.15	64.89	75.79	59
r75j	64.01	21.26	82.83	85.52	76
j00g	83.18	-4.37	108.53	108.62	92
j25g	66.73	-29.88	83.06	88.28	110
j50g	54.03	-48.3	63.49	79.78	127
j75g	44.73	-60.32	42.64	73.88	145
g00b	47.59	-49.07	15.74	51.54	162
g25b	49.97	-39.69	-6.71	40.27	190
g50b	51.85	-32.32	-24.34	40.48	217
g75b	46.92	-17.28	-36.01	39.96	244
b00r	37.91	1.28	-42.34	42.37	272
b25r	23.81	30.38	-52.25	60.45	300
b50r	29.52	69.06	-42.13	80.9	329
b75r	36.48	71.47	-3.68	71.57	357



Farbreihen, 8 Datentabellen für 16 Bunttöne *r00j* bis *b75r*

Ausgabe: $\rightarrow cmy\mathbf{n}5^* setcmykcolor$

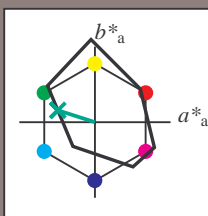
BAM-Registrierung: 20080701-Dg96/10L/L96G00NP.PS/.PDF BAM-Material: Code=rh4ta4ta
Anwendung für Beurteilung und Messung von Drucker- oder Monitorsystemen

Ein und Ausgabe: Farbmetrisches Drucker-Reflektiv-System FRS09_92a für relativen CIELAB-Buntton $h^* = lab^*h^* = h_{ab}/360 = 162/360 = 0.451$ $u^* = g00b$
Daten für jede Farbe:
 lab^*ch^* und lab^*icu^*

Elementar-Bunttontext:
 $u^* = g00b$

Kontrastreduzierungsfaktor:
 $c_R = 1.0$

Dreiecks-Helligkeit t^*



FRS09_92a; adaptierte CIELAB-Daten					
	$L^*=L_a^*$	a_a^*	b_a^*	$C^*_{ab,a}$	$h^*_{ab,a}$
O _{Ma}	35.06	60.0	44.0	74.4	36
Y _{Ma}	83.77	-5.16	109.32	109.44	93
L _{Ma}	44.13	-62.66	48.24	79.09	142
C _{Ma}	52.66	-29.13	-31.98	43.27	228
V _{Ma}	14.15	50.3	-59.03	77.57	310
M _{Ma}	37.37	78.64	-33.49	85.48	337
N _{Ma}	8.58	0.0	0.0	0.0	0
W _{Ma}	92.02	0.0	0.0	0.0	0
R _{CIE}	39.92	58.74	27.99	65.07	25
J _{CIE}	81.26	-2.88	71.56	71.62	92
G _{CIE}	52.23	-42.41	13.6	44.55	162
B _{CIE}	30.57	1.41	-46.46	46.49	272

Daten für Maximalfarbe (Ma):

$LAB^*LAB^*_{Ma}$: 48 -48 16

$LAB^*LCH^*_{Ma}$: 48 52 162

$lab^*rgb^*_{Ma}$: 0.0 1.0 0.0

$lab^*olv^*_{Ma}$: 0.0 1.0 0.41

Dreiecks-Helligkeit t^*

%Umfang

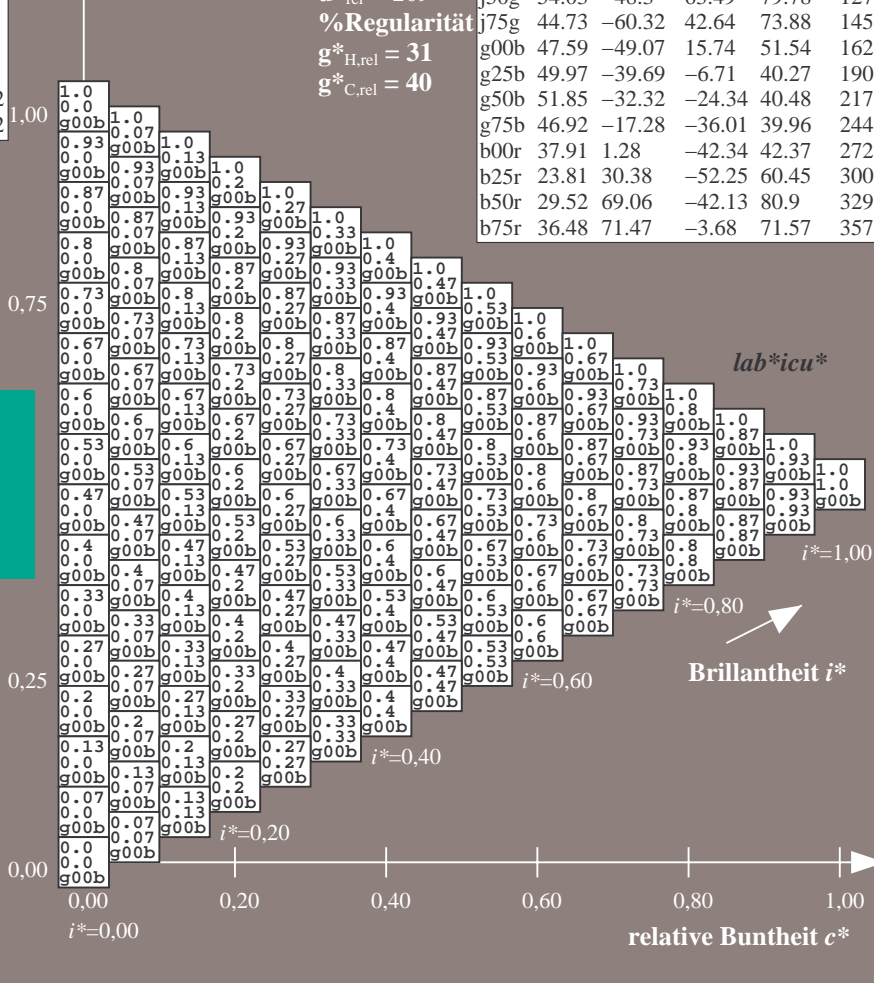
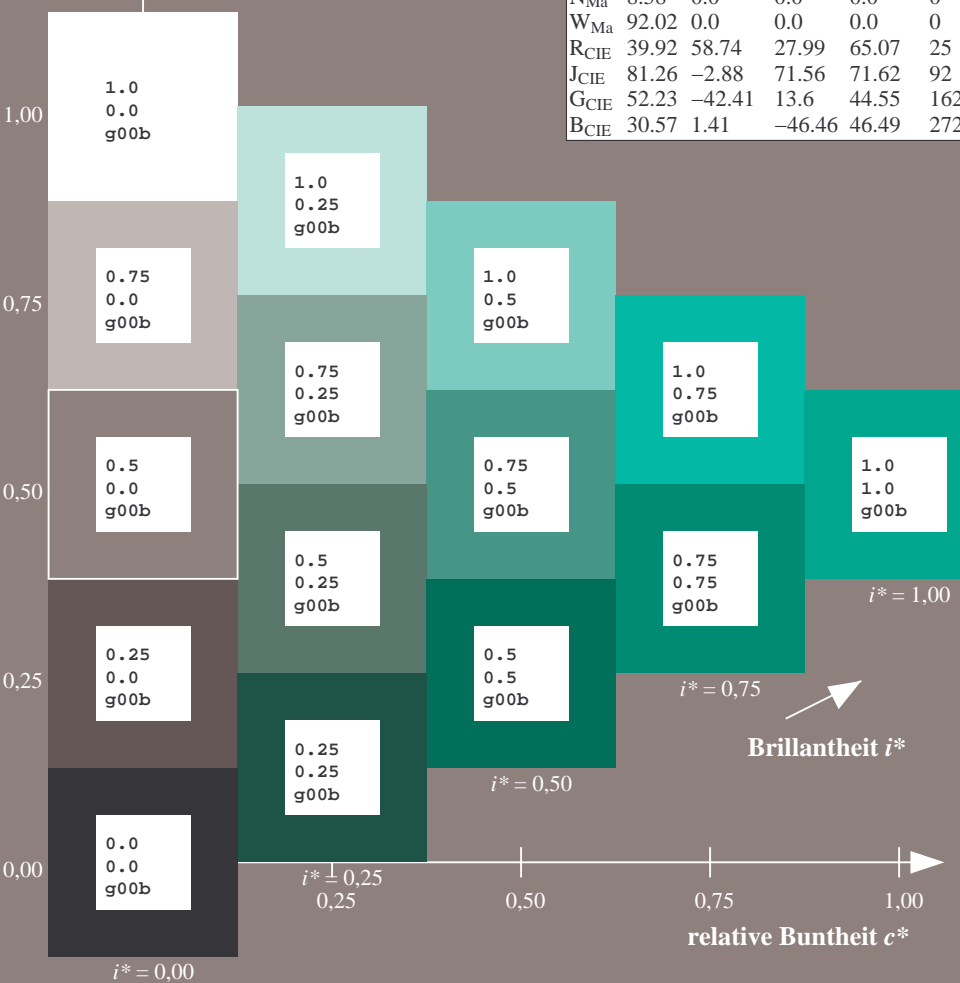
$u^*_{rel} = 109$

%Regularität

$g^*_{H,rel} = 31$

$g^*_{C,rel} = 40$

FRS09_92a; adaptierte CIELAB-Daten					
	$L^*=L_a^*$	a_a^*	b_a^*	$C^*_{ab,a}$	$h^*_{ab,a}$
r00j	35.47	63.32	30.17	70.15	25
r25j	39.12	54.56	49.45	73.64	42
r50j	50.64	39.15	64.89	75.79	59
r75j	64.01	21.26	82.83	85.52	76
j00g	83.18	-4.37	108.53	108.62	92
j25g	66.73	-29.88	83.06	88.28	110
j50g	54.03	-48.3	63.49	79.78	127
j75g	44.73	-60.32	42.64	73.88	145
g00b	47.59	-49.07	15.74	51.54	162
g25b	49.97	-39.69	-6.71	40.27	190
g50b	51.85	-32.32	-24.34	40.48	217
g75b	46.92	-17.28	-36.01	39.96	244
b00r	37.91	1.28	-42.34	42.37	272
b25r	23.81	30.38	-52.25	60.45	300
b50r	29.52	69.06	-42.13	80.9	329
b75r	36.48	71.47	-3.68	71.57	357



Ein und Ausgabe: Farbmetrisches Drucker-Reflektiv-System FRS09_92a für relativen CIELAB-Buntton $h^* = lab^*h^* = h_{ab}/360 = 190/360 = 0.527$ $u^* = g25b$ lab^*icu^*

Daten für jede Farbe:

lab^*ch^* und lab^*icu^*

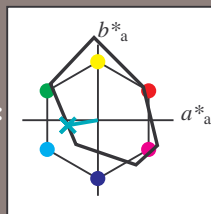
Elementar-Bunttontext:

$u^* = g25b$

Kontrastreduzierungsfaktor:

$c_R = 1.0$

Dreiecks-Helligkeit i^*



FRS09_92a; adaptierte CIELAB-Daten

	$L^*=L_a^*$	a^*_a	b^*_a	$C^*_{ab,a}$	$h^*_{ab,a}$
O _{Ma}	35.06	60.0	44.0	74.4	36
Y _{Ma}	83.77	-5.16	109.32	109.44	93
L _{Ma}	44.13	-62.66	48.24	79.09	142
C _{Ma}	52.66	-29.13	-31.98	43.27	228
V _{Ma}	14.15	50.3	-59.03	77.57	310
M _{Ma}	37.37	78.64	-33.49	85.48	337
N _{Ma}	8.58	0.0	0.0	0.0	0
W _{Ma}	92.02	0.0	0.0	0.0	0
R _{CIE}	39.92	58.74	27.99	65.07	25
J _{CIE}	81.26	-2.88	71.56	71.62	92
G _{CIE}	52.23	-42.41	13.6	44.55	162
B _{CIE}	30.57	1.41	-46.46	46.49	272

Daten für Maximalfarbe (Ma):

$LAB^*LAB^*_{Ma}$: 50 -39 -6

$LAB^*LCH^*_{Ma}$: 50 40 190

$lab^*rgb^*_{Ma}$: 0.0 1.0 0.5

$lab^*olv^*_{Ma}$: 0.0 1.0 0.69

Dreiecks-Helligkeit i^*

%Umfang

$u^*_{rel} = 109$

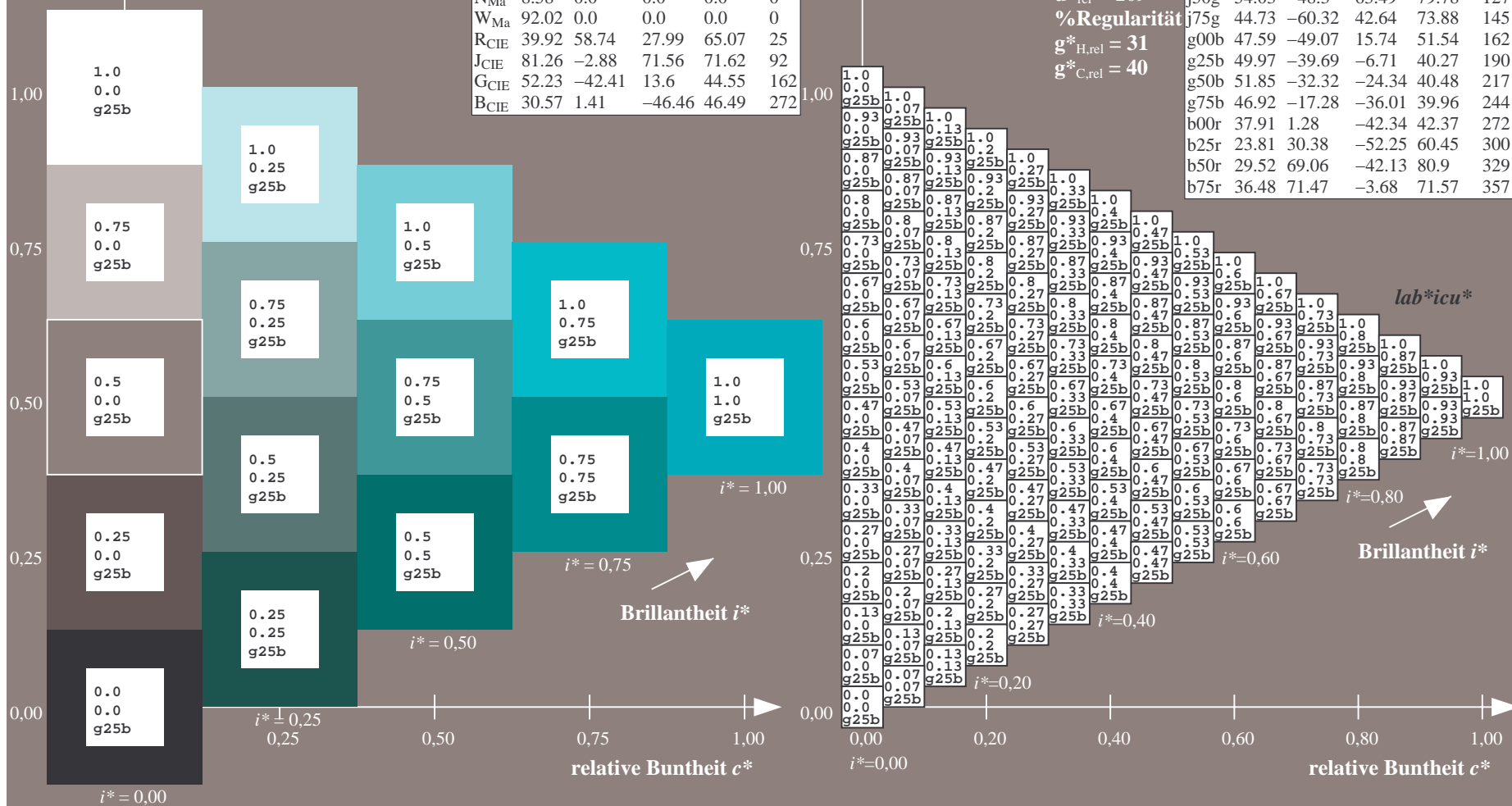
%Regularität

$g^*_{H,rel} = 31$

$g^*_{C,rel} = 40$

FRS09_92a; adaptierte CIELAB-Daten

	$L^*=L_a^*$	a^*_a	b^*_a	$C^*_{ab,a}$	$h^*_{ab,a}$
r00j	35.47	63.32	30.17	70.15	25
r25j	39.12	54.56	49.45	73.64	42
r50j	50.64	39.15	64.89	75.79	59
r75j	64.01	21.26	82.83	85.52	76
j00g	83.18	-4.37	108.53	108.62	92
j25g	66.73	-29.88	83.06	88.28	110
j50g	54.03	-48.3	63.49	79.78	127
j75g	44.73	-60.32	42.64	73.88	145
g00b	47.59	-49.07	15.74	51.54	162
g25b	49.97	-39.69	-6.71	40.27	190
g50b	51.85	-32.32	-24.34	40.48	217
g75b	46.92	-17.28	-36.01	39.96	244
b00r	37.91	1.28	-42.34	42.37	272
b25r	23.81	30.38	-52.25	60.45	300
b50r	29.52	69.06	-42.13	80.9	329
b75r	36.48	71.47	-3.68	71.57	357



Ein und Ausgabe: Farbmetrisches Drucker-Reflektiv-System FRS09_92a für relativen CIELAB-Buntton $h^* = lab^*h^* = h_{ab}/360 = 217/360 = 0.603$ $u^* = g50b$

Daten für jede Farbe:

lab^*ch^* und lab^*icu^*

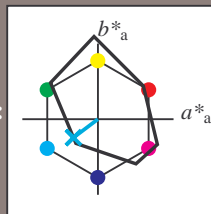
Elementar-Bunttontext:

$u^* = g50b$

Kontrastreduzierungsfaktor:

$c_R = 1.0$

Dreiecks-Helligkeit i^*



FRS09_92a; adaptierte CIELAB-Daten					
	$L^*=L_a^*$	a_a^*	b_a^*	$C_{ab,a}^*$	$h_{ab,a}^*$
O _{Ma}	35.06	60.0	44.0	74.4	36
Y _{Ma}	83.77	-5.16	109.32	109.44	93
L _{Ma}	44.13	-62.66	48.24	79.09	142
C _{Ma}	52.66	-29.13	-31.98	43.27	228
V _{Ma}	14.15	50.3	-59.03	77.57	310
M _{Ma}	37.37	78.64	-33.49	85.48	337
N _{Ma}	8.58	0.0	0.0	0.0	0
W _{Ma}	92.02	0.0	0.0	0.0	0
R _{CIE}	39.92	58.74	27.99	65.07	25
J _{CIE}	81.26	-2.88	71.56	71.62	92
G _{CIE}	52.23	-42.41	13.6	44.55	162
B _{CIE}	30.57	1.41	-46.46	46.49	272

Daten für Maximalfarbe (Ma):

$LAB^*LAB^*_{Ma}$: 52 -31 -23

$LAB^*LCH^*_{Ma}$: 52 40 217

$lab^*rgb^*_{Ma}$: 0.0 1.0 1.0

$lab^*olv^*_{Ma}$: 0.0 1.0 0.9

Dreiecks-Helligkeit i^*

%Umfang

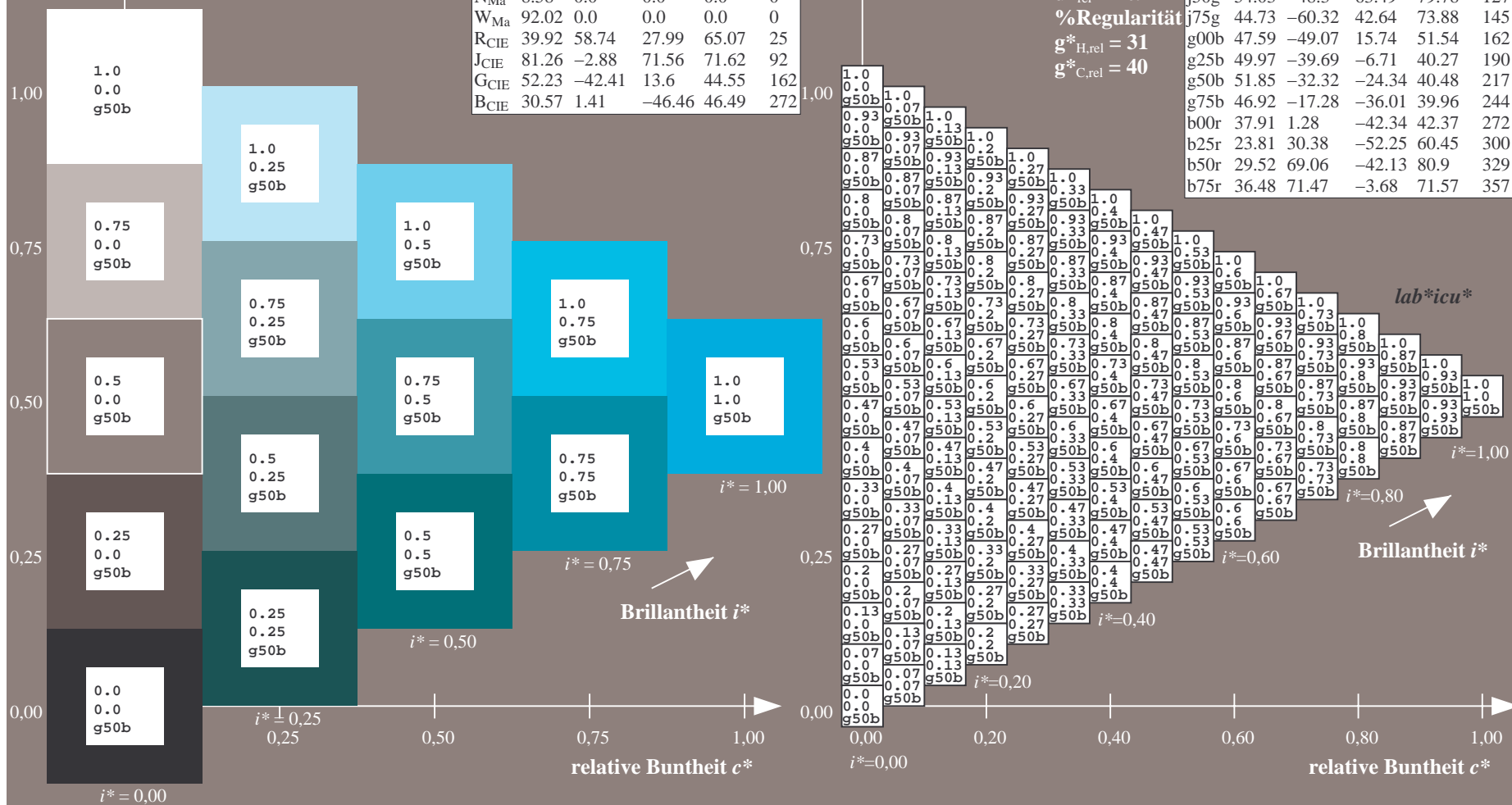
$u^*_{rel} = 109$

%Regularität

$g^*_{H,rel} = 31$

$g^*_{C,rel} = 40$

FRS09_92a; adaptierte CIELAB-Daten					
	$L^*=L_a^*$	a_a^*	b_a^*	$C_{ab,a}^*$	$h_{ab,a}^*$
r00j	35.47	63.32	30.17	70.15	25
r25j	39.12	54.56	49.45	73.64	42
r50j	50.64	39.15	64.89	75.79	59
r75j	64.01	21.26	82.83	85.52	76
j00g	83.18	-4.37	108.53	108.62	92
j25g	66.73	-29.88	83.06	88.28	110
j50g	54.03	-48.3	63.49	79.78	127
j75g	44.73	-60.32	42.64	73.88	145
g00b	47.59	-49.07	15.74	51.54	162
g25b	49.97	-39.69	-6.71	40.27	190
g50b	51.85	-32.32	-24.34	40.48	217
g75b	46.92	-17.28	-36.01	39.96	244
b00r	37.91	1.28	-42.34	42.37	272
b25r	23.81	30.38	-52.25	60.45	300
b50r	29.52	69.06	-42.13	80.9	329
b75r	36.48	71.47	-3.68	71.57	357



Ein und Ausgabe: Farbmetrisches Drucker-Reflektiv-System FRS09_92a für relativen CIELAB-Buntton $h^* = lab^*h^* = h_{ab}/360 = 244/360 = 0.679$ $u^* = g75b$ lab^*icu^*

Daten für jede Farbe:

lab^*ch^* und lab^*icu^*

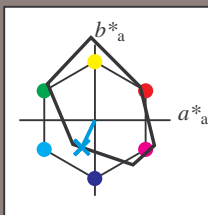
Elementar-Bunttontext:

$u^* = g75b$

Kontrastreduzierungsfaktor:

$c_R = 1.0$

Dreiecks-Helligkeit t^*



FRS09_92a; adaptierte CIELAB-Daten

	$L^*=L_a^*$	a_a^*	b_a^*	$C^*_{ab,a}$	$h^*_{ab,a}$
O _{Ma}	35.06	60.0	44.0	74.4	36
Y _{Ma}	83.77	-5.16	109.32	109.44	93
L _{Ma}	44.13	-62.66	48.24	79.09	142
C _{Ma}	52.66	-29.13	-31.98	43.27	228
V _{Ma}	14.15	50.3	-59.03	77.57	310
M _{Ma}	37.37	78.64	-33.49	85.48	337
N _{Ma}	8.58	0.0	0.0	0.0	0
W _{Ma}	92.02	0.0	0.0	0.0	0
R _{CIE}	39.92	58.74	27.99	65.07	25
J _{CIE}	81.26	-2.88	71.56	71.62	92
G _{CIE}	52.23	-42.41	13.6	44.55	162
B _{CIE}	30.57	1.41	-46.46	46.49	272

Daten für Maximalfarbe (Ma):

$LAB^*LAB^*_{Ma}$: 47 -16 -35

$LAB^*LCH^*_{Ma}$: 47 40 244

$lab^*rgb^*_{Ma}$: 0.0 0.5 1.0

$lab^*olv^*_{Ma}$: 0.0 0.85 1.0

Dreiecks-Helligkeit t^*

%Umfang

$u^*_{rel} = 109$

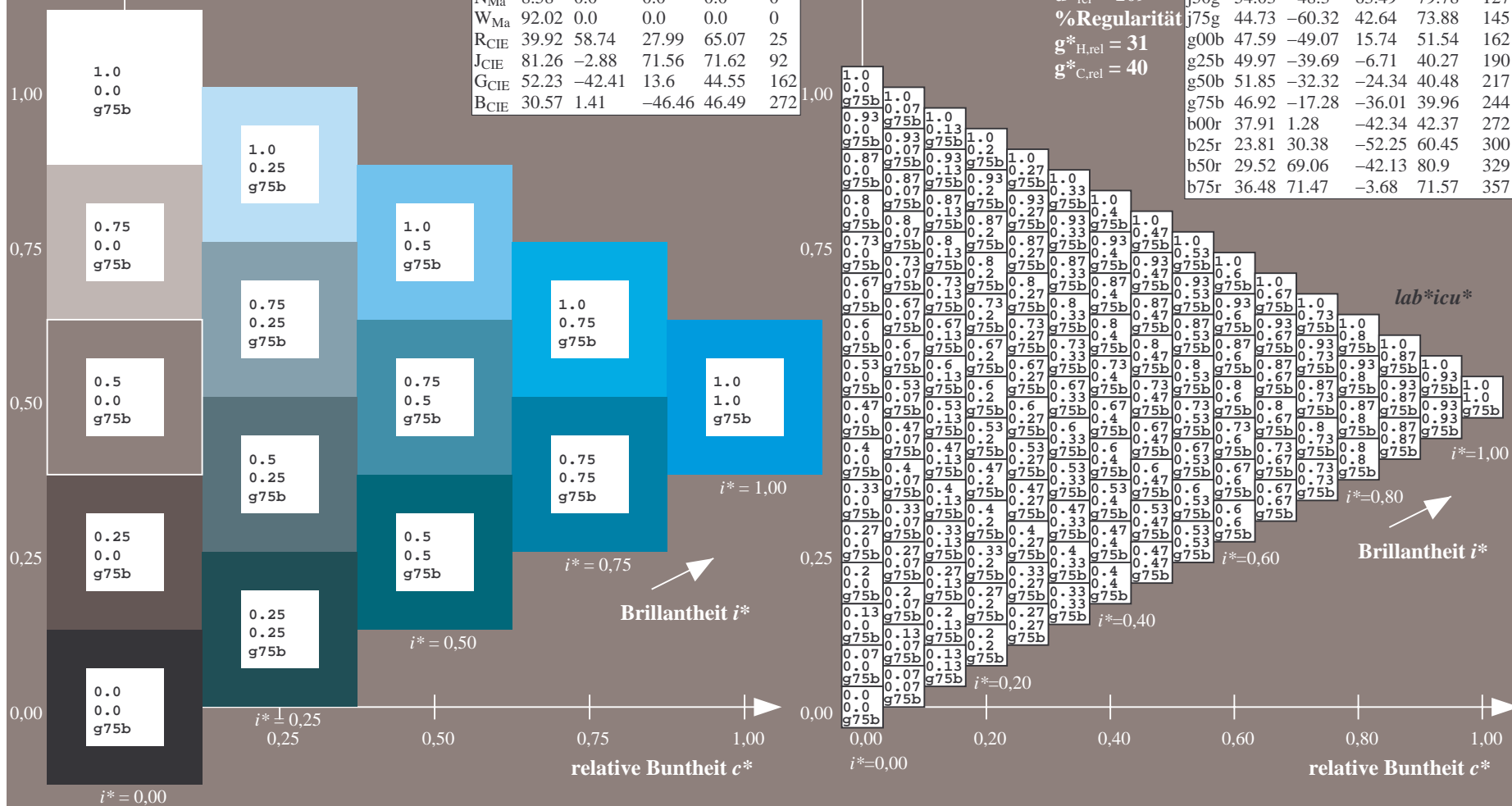
%Regularität

$g^*_{H,rel} = 31$

$g^*_{C,rel} = 40$

FRS09_92a; adaptierte CIELAB-Daten

	$L^*=L_a^*$	a_a^*	b_a^*	$C^*_{ab,a}$	$h^*_{ab,a}$
r00j	35.47	63.32	30.17	70.15	25
r25j	39.12	54.56	49.45	73.64	42
r50j	50.64	39.15	64.89	75.79	59
r75j	64.01	21.26	82.83	85.52	76
j00g	83.18	-4.37	108.53	108.62	92
j25g	66.73	-29.88	83.06	88.28	110
j50g	54.03	-48.3	63.49	79.78	127
j75g	44.73	-60.32	42.64	73.88	145
g00b	47.59	-49.07	15.74	51.54	162
g25b	49.97	-39.69	-6.71	40.27	190
g50b	51.85	-32.32	-24.34	40.48	217
g75b	46.92	-17.28	-36.01	39.96	244
b00r	37.91	1.28	-42.34	42.37	272
b25r	23.81	30.38	-52.25	60.45	300
b50r	29.52	69.06	-42.13	80.9	329
b75r	36.48	71.47	-3.68	71.57	357



Ein und Ausgabe: Farbmetrisches Drucker-Reflektiv-System FRS09_92a für relativen CIELAB-Buntton $h^* = lab^*h^* = h_{ab}/360 = 272/360 = 0.755$ $u^* = b00r$

Daten für jede Farbe:

lab^*ch^* und lab^*icu^*

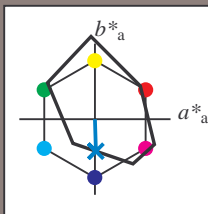
Elementar-Bunttontext:

$u^* = b00r$

Kontrastreduzierungsfaktor:

$c_R = 1.0$

Dreiecks-Helligkeit i^*



FRS09_92a; adaptierte CIELAB-Daten

	$L^*=L_a^*$	a_a^*	b_a^*	$C_{ab,a}^*$	$h_{ab,a}^*$
OMa	35.06	60.0	44.0	74.4	36
YMa	83.77	-5.16	109.32	109.44	93
LMa	44.13	-62.66	48.24	79.09	142
CMa	52.66	-29.13	-31.98	43.27	228
VMa	14.15	50.3	-59.03	77.57	310
MMa	37.37	78.64	-33.49	85.48	337
NMa	8.58	0.0	0.0	0.0	0
WMa	92.02	0.0	0.0	0.0	0
R_CIE	39.92	58.74	27.99	65.07	25
J_CIE	81.26	-2.88	71.56	71.62	92
G_CIE	52.23	-42.41	13.6	44.55	162
B_CIE	30.57	1.41	-46.46	46.49	272

Daten für Maximalfarbe (Ma):

LAB^*LAB^*Ma : 38 1 -41

LAB^*LCH^*Ma : 38 42 272

lab^*rgb^*Ma : 0.0 0.0 1.0

lab^*olv^*Ma : 0.0 0.62 1.0

Dreiecks-Helligkeit i^*

%Umfang

$u^*_{rel} = 109$

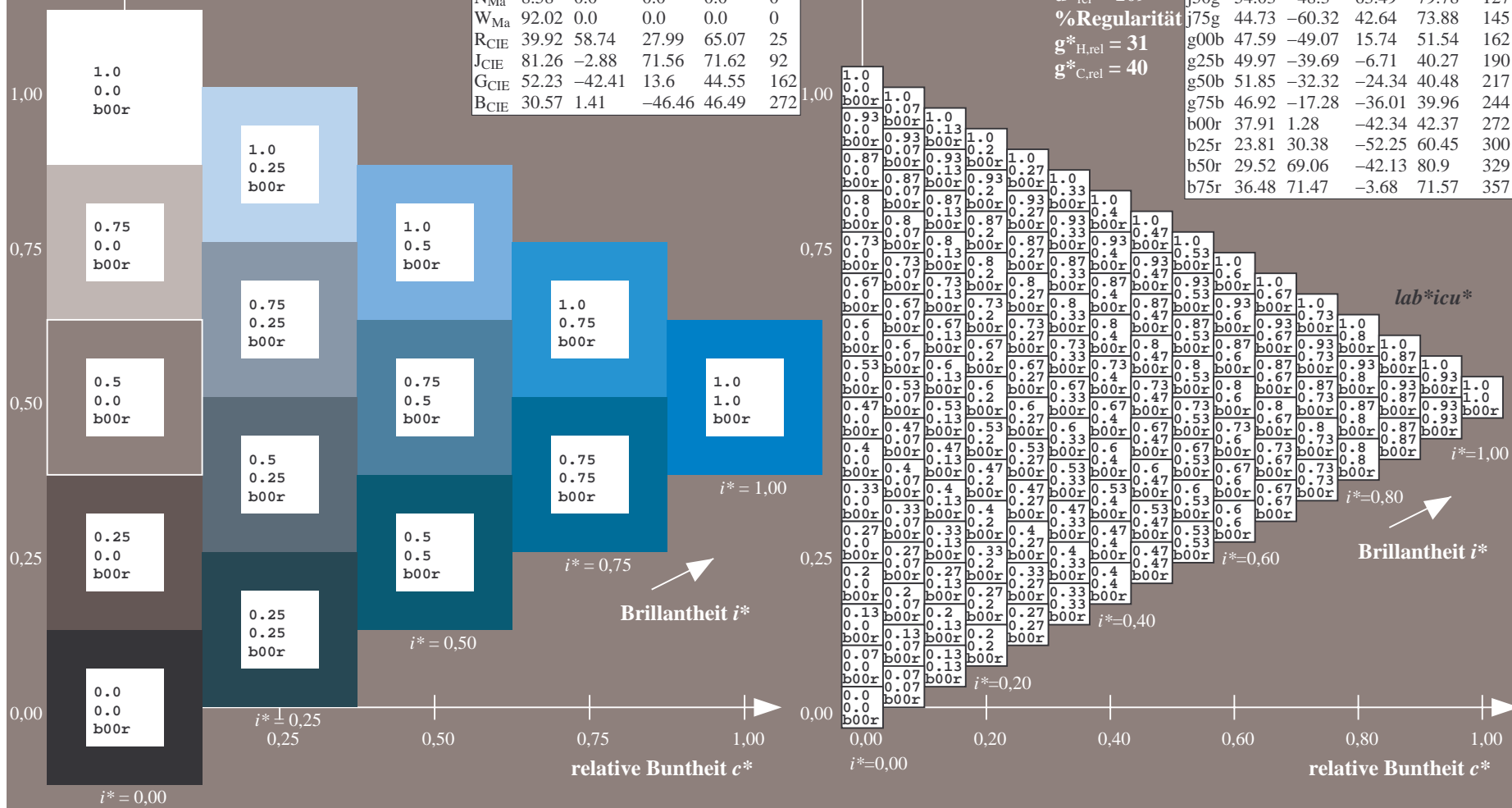
%Regularität

$g^*_{H,rel} = 31$

$g^*_{C,rel} = 40$

FRS09_92a; adaptierte CIELAB-Daten

	$L^*=L_a^*$	a_a^*	b_a^*	$C_{ab,a}^*$	$h_{ab,a}^*$
r00j	35.47	63.32	30.17	70.15	25
r25j	39.12	54.56	49.45	73.64	42
r50j	50.64	39.15	64.89	75.79	59
r75j	64.01	21.26	82.83	85.52	76
j00g	83.18	-4.37	108.53	108.62	92
j25g	66.73	-29.88	83.06	88.28	110
j50g	54.03	-48.3	63.49	79.78	127
j75g	44.73	-60.32	42.64	73.88	145
g00b	47.59	-49.07	15.74	51.54	162
g25b	49.97	-39.69	-6.71	40.27	190
g50b	51.85	-32.32	-24.34	40.48	217
g75b	46.92	-17.28	-36.01	39.96	244
b00r	37.91	1.28	-42.34	42.37	272
b25r	23.81	30.38	-52.25	60.45	300
b50r	29.52	69.06	-42.13	80.9	329
b75r	36.48	71.47	-3.68	71.57	357



Ein und Ausgabe: Farbmetrisches Drucker-Reflektiv-System FRS09_92a für relativen CIELAB-Buntton $h^* = lab^*h^* = h_{ab}/360 = 300/360 = 0.834$ $u^* = b25r$

Daten für jede Farbe:

lab^*ch^* und lab^*icu^*

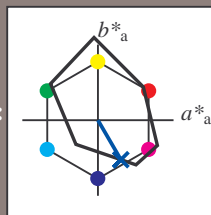
Elementar-Bunttontext:

$u^* = b25r$

Kontrastreduzierungsfaktor:

$c_R = 1.0$

Dreiecks-Helligkeit i^*



FRS09_92a; adaptierte CIELAB-Daten					
	$L^*=L_a^*$	a_a^*	b_a^*	$C_{ab,a}^*$	$h_{ab,a}^*$
OMa	35.06	60.0	44.0	74.4	36
YMa	83.77	-5.16	109.32	109.44	93
LMa	44.13	-62.66	48.24	79.09	142
CMa	52.66	-29.13	-31.98	43.27	228
VMa	14.15	50.3	-59.03	77.57	310
MMa	37.37	78.64	-33.49	85.48	337
NMa	8.58	0.0	0.0	0.0	0
WMa	92.02	0.0	0.0	0.0	0
R_CIE	39.92	58.74	27.99	65.07	25
J_CIE	81.26	-2.88	71.56	71.62	92
G_CIE	52.23	-42.41	13.6	44.55	162
B_CIE	30.57	1.41	-46.46	46.49	272

Daten für Maximalfarbe (Ma):

LAB^*LAB^*Ma : 24 30 -51

LAB^*LCH^*Ma : 24 60 300

lab^*rgb^*Ma : 0.5 0.0 1.0

lab^*olv^*Ma : 0.0 0.25 1.0

Dreiecks-Helligkeit i^*

%Umfang

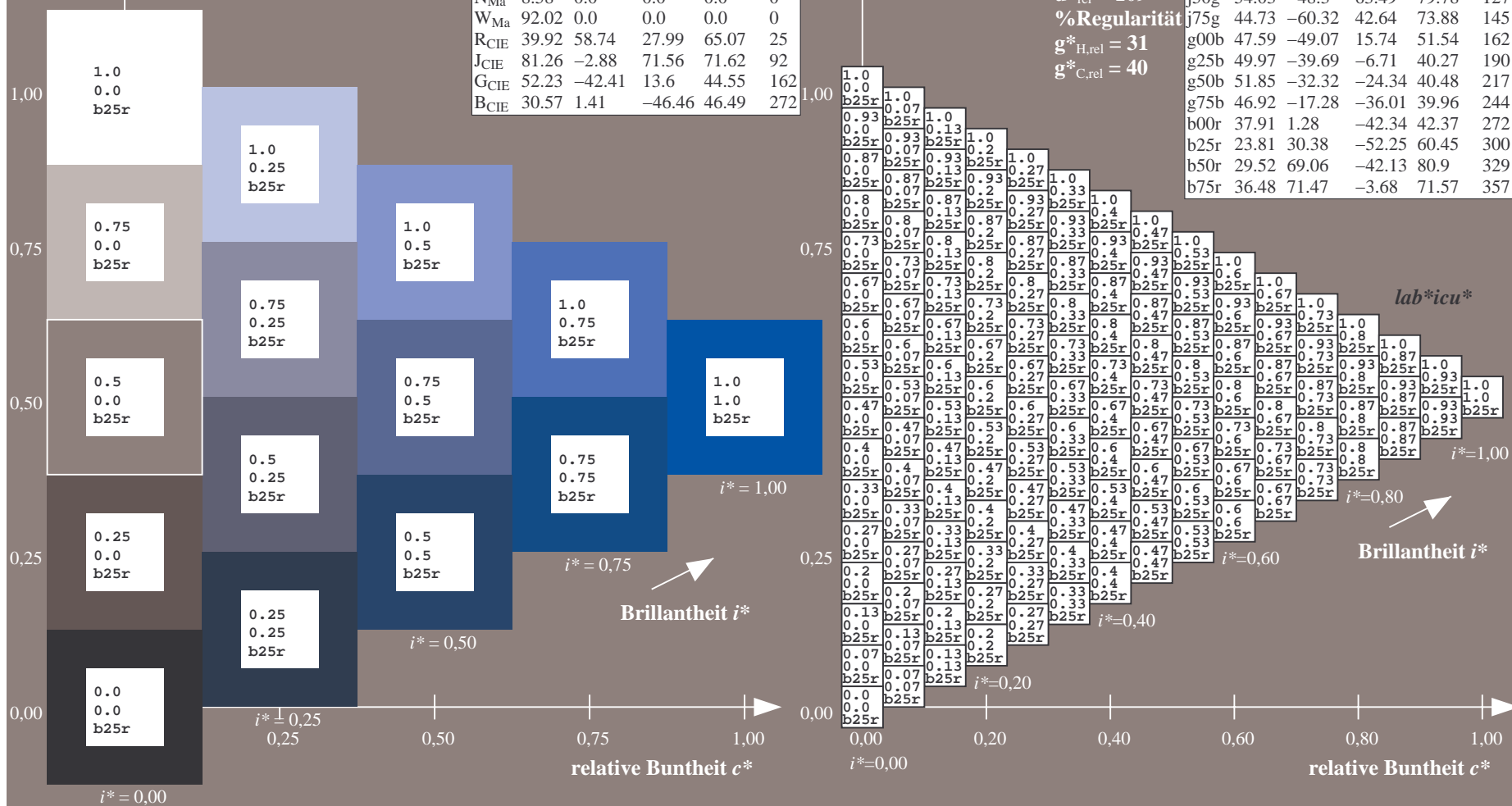
$u^*_{rel} = 109$

%Regularität

$g^*_{H,rel} = 31$

$g^*_{C,rel} = 40$

FRS09_92a; adaptierte CIELAB-Daten					
	$L^*=L_a^*$	a_a^*	b_a^*	$C_{ab,a}^*$	$h_{ab,a}^*$
r00j	35.47	63.32	30.17	70.15	25
r25j	39.12	54.56	49.45	73.64	42
r50j	50.64	39.15	64.89	75.79	59
r75j	64.01	21.26	82.83	85.52	76
j00g	83.18	-4.37	108.53	108.62	92
j25g	66.73	-29.88	83.06	88.28	110
j50g	54.03	-48.3	63.49	79.78	127
j75g	44.73	-60.32	42.64	73.88	145
g00b	47.59	-49.07	15.74	51.54	162
g25b	49.97	-39.69	-6.71	40.27	190
g50b	51.85	-32.32	-24.34	40.48	217
g75b	46.92	-17.28	-36.01	39.96	244
b00r	37.91	1.28	-42.34	42.37	272
b25r	23.81	30.38	-52.25	60.45	300
b50r	29.52	69.06	-42.13	80.9	329
b75r	36.48	71.47	-3.68	71.57	357



Ein und Ausgabe: Farbmimetrisches Drucker-Reflektiv-System FRS09_92a für relativen CIELAB-Buntton $h^* = lab^*h^* = h_{ab}/360 = 329/360 = 0.913$ $u^* = b50r$

Daten für jede Farbe:

lab^*ch^* und lab^*icu^*

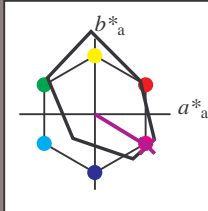
Elementar-Bunttontext:

$u^* = b50r$

Kontrastreduzierungsfaktor:

$c_R = 1.0$

Dreiecks-Helligkeit i^*



FRS09_92a; adaptierte CIELAB-Daten					
	$L^*=L_a^*$	a_a^*	b_a^*	$C^*_{ab,a}$	$h^*_{ab,a}$
O _{Ma}	35.06	60.0	44.0	74.4	36
Y _{Ma}	83.77	-5.16	109.32	109.44	93
L _{Ma}	44.13	-62.66	48.24	79.09	142
C _{Ma}	52.66	-29.13	-31.98	43.27	228
V _{Ma}	14.15	50.3	-59.03	77.57	310
M _{Ma}	37.37	78.64	-33.49	85.48	337
N _{Ma}	8.58	0.0	0.0	0.0	0
W _{Ma}	92.02	0.0	0.0	0.0	0
R _{CIE}	39.92	58.74	27.99	65.07	25
J _{CIE}	81.26	-2.88	71.56	71.62	92
G _{CIE}	52.23	-42.41	13.6	44.55	162
B _{CIE}	30.57	1.41	-46.46	46.49	272

Daten für Maximalfarbe (Ma):

$LAB^*LAB^*_{Ma}$: 30 69 -41

$LAB^*LCH^*_{Ma}$: 30 81 329

$lab^*rgb^*_{Ma}$: 1.0 0.0 1.0

$lab^*olv^*_{Ma}$: 0.66 0.0 1.0

Dreiecks-Helligkeit i^*

%Umfang

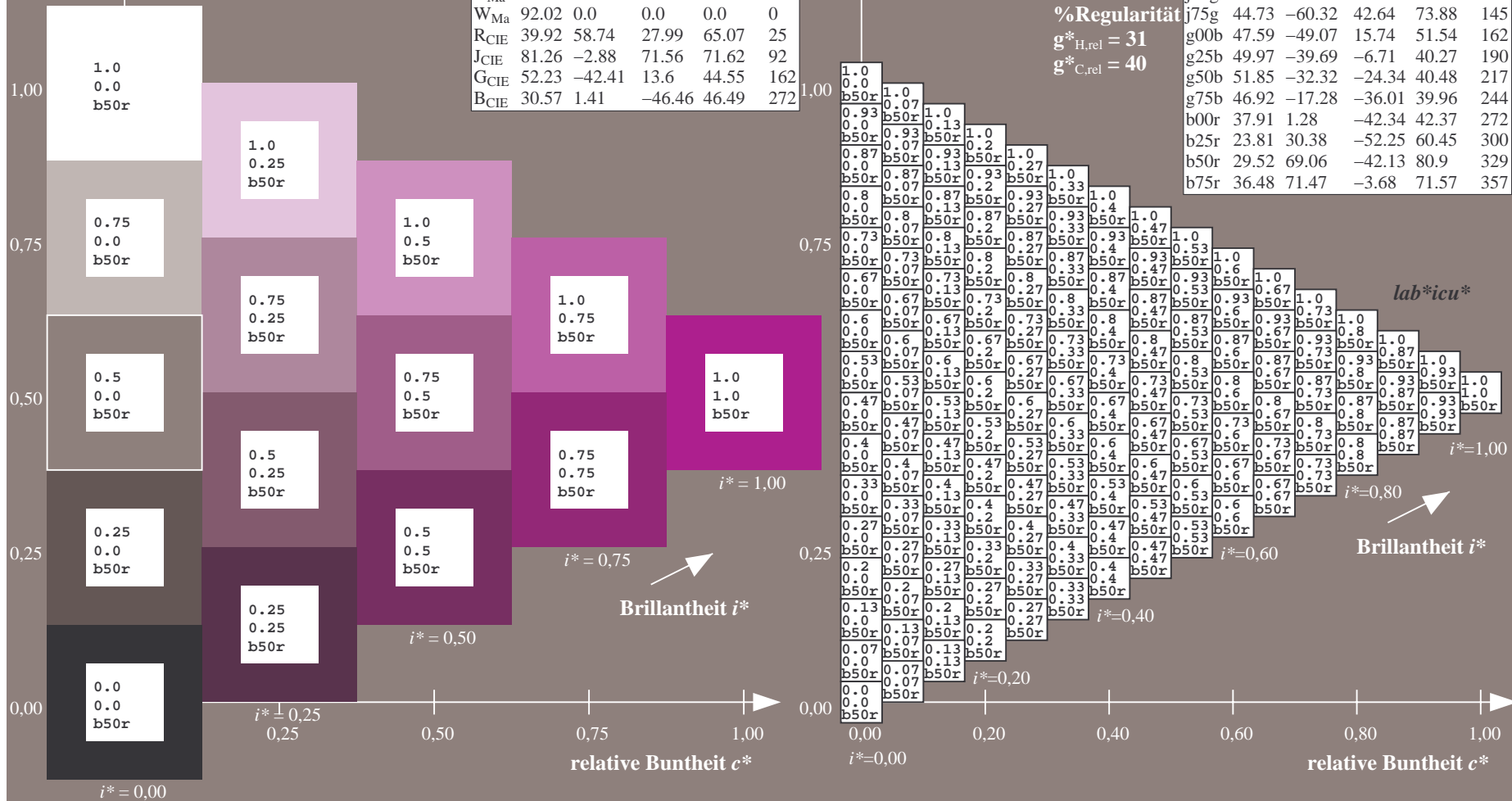
$u^*_{rel} = 109$

%Regularität

$g^*_{H,rel} = 31$

$g^*_{C,rel} = 40$

FRS09_92a; adaptierte CIELAB-Daten					
	$L^*=L_a^*$	a_a^*	b_a^*	$C^*_{ab,a}$	$h^*_{ab,a}$
r00j	35.47	63.32	30.17	70.15	25
r25j	39.12	54.56	49.45	73.64	42
r50j	50.64	39.15	64.89	75.79	59
r75j	64.01	21.26	82.83	85.52	76
j00g	83.18	-4.37	108.53	108.62	92
j25g	66.73	-29.88	83.06	88.28	110
j50g	54.03	-48.3	63.49	79.78	127
j75g	44.73	-60.32	42.64	73.88	145
g00b	47.59	-49.07	15.74	51.54	162
g25b	49.97	-39.69	-6.71	40.27	190
g50b	51.85	-32.32	-24.34	40.48	217
g75b	46.92	-17.28	-36.01	39.96	244
b00r	37.91	1.28	-42.34	42.37	272
b25r	23.81	30.38	-52.25	60.45	300
b50r	29.52	69.06	-42.13	80.9	329
b75r	36.48	71.47	-3.68	71.57	357



Ein und Ausgabe: Farbmetrisches Drucker-Reflektiv-System FRS09_92a für relativen CIELAB-Buntton $h^* = lab^*h^* = h_{ab}/360 = 357/360 = 0.992$ $u^* = b75r$

Daten für jede Farbe:

lab^*ch^* und lab^*icu^*

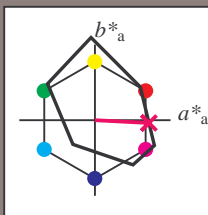
Elementar-Bunttontext:

$u^* = b75r$

Kontrastreduzierungsfaktor:

$c_R = 1.0$

Dreiecks-Helligkeit i^*



FRS09_92a; adaptierte CIELAB-Daten

	$L^*=L_a^*$	a_a^*	b_a^*	$C_{ab,a}^*$	$h_{ab,a}^*$
O _{Ma}	35.06	60.0	44.0	74.4	36
Y _{Ma}	83.77	-5.16	109.32	109.44	93
L _{Ma}	44.13	-62.66	48.24	79.09	142
C _{Ma}	52.66	-29.13	-31.98	43.27	228
V _{Ma}	14.15	50.3	-59.03	77.57	310
M _{Ma}	37.37	78.64	-33.49	85.48	337
N _{Ma}	8.58	0.0	0.0	0.0	0
W _{Ma}	92.02	0.0	0.0	0.0	0
R _{CIE}	39.92	58.74	27.99	65.07	25
J _{CIE}	81.26	-2.88	71.56	71.62	92
G _{CIE}	52.23	-42.41	13.6	44.55	162
B _{CIE}	30.57	1.41	-46.46	46.49	272

Daten für Maximalfarbe (Ma):

$LAB^*LAB^*_{Ma}$: 36 71 -3

$LAB^*LCH^*_{Ma}$: 36 72 357

$lab^*rgb^*_{Ma}$: 1.0 0.0 0.5

$lab^*olv^*_{Ma}$: 1.0 0.0 0.62

Dreiecks-Helligkeit i^*

%Umfang

$u^*_{rel} = 109$

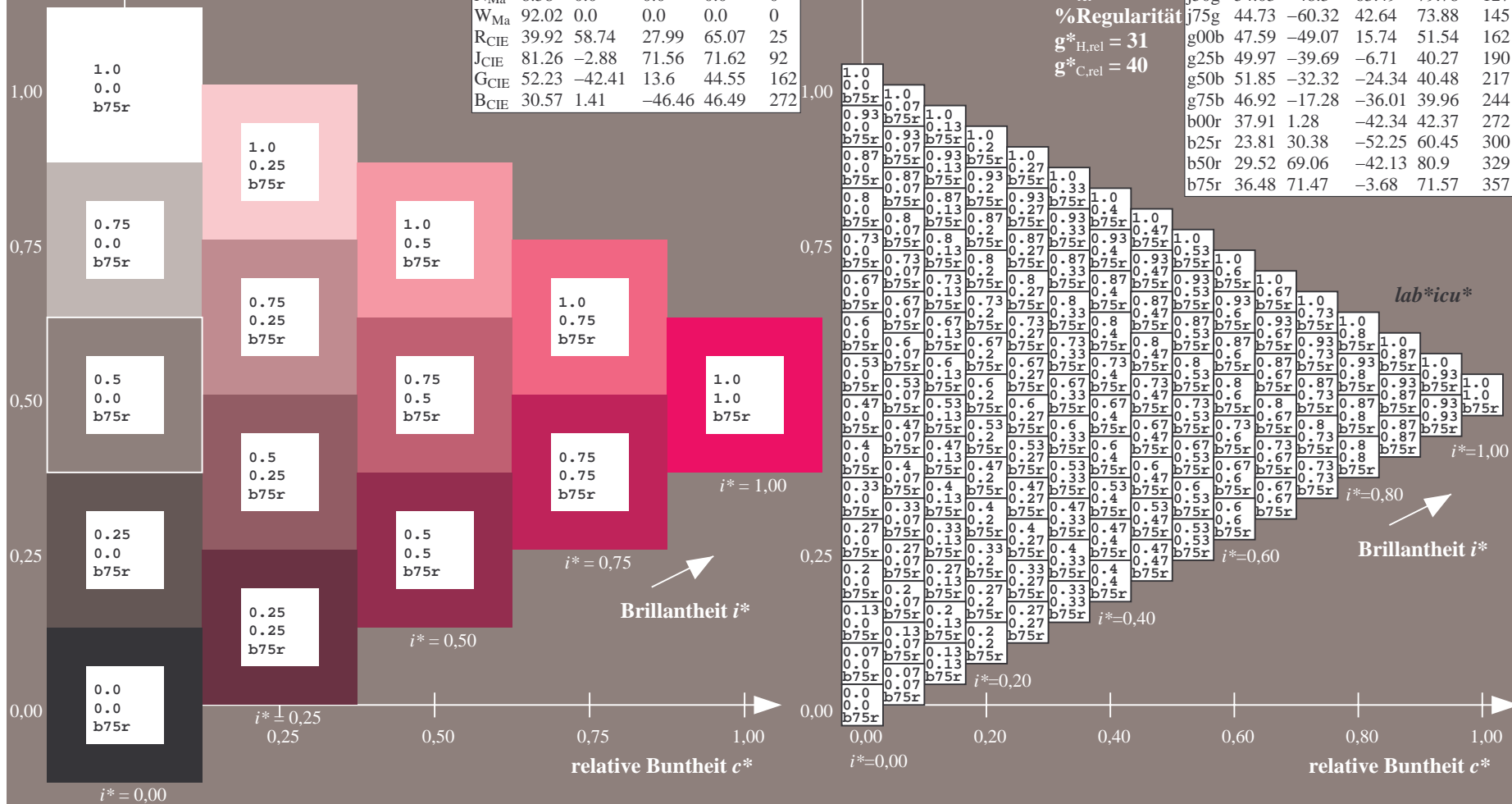
%Regularität

$g^*_{H,rel} = 31$

$g^*_{C,rel} = 40$

FRS09_92a; adaptierte CIELAB-Daten

	$L^*=L_a^*$	a_a^*	b_a^*	$C_{ab,a}^*$	$h_{ab,a}^*$
r00j	35.47	63.32	30.17	70.15	25
r25j	39.12	54.56	49.45	73.64	42
r50j	50.64	39.15	64.89	75.79	59
r75j	64.01	21.26	82.83	85.52	76
j00g	83.18	-4.37	108.53	108.62	92
j25g	66.73	-29.88	83.06	88.28	110
j50g	54.03	-48.3	63.49	79.78	127
j75g	44.73	-60.32	42.64	73.88	145
g00b	47.59	-49.07	15.74	51.54	162
g25b	49.97	-39.69	-6.71	40.27	190
g50b	51.85	-32.32	-24.34	40.48	217
g75b	46.92	-17.28	-36.01	39.96	244
b00r	37.91	1.28	-42.34	42.37	272
b25r	23.81	30.38	-52.25	60.45	300
b50r	29.52	69.06	-42.13	80.9	329
b75r	36.48	71.47	-3.68	71.57	357

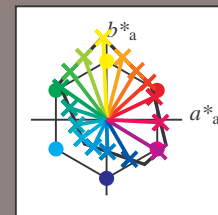


Siehe ähnliche Dateien: <http://www.ps.bam.de/Dg96/>; www.ps.bam.de/Dg96/10L/L96G00NP.PS/.PDF BAM-Material: Code=thata
Technische Information: <http://www.ps.bam.de> Version 2.1, io=1,1, ColSpX=0

	A	B	C	D	E	F	G	H	I	J	K	L	M	N	O	P	Q	R	S	T	U	V	W	X	Y	Z	a	b	c	d	e	f	g	h	i	j	k	lab*icu*						
01	0.0	0.13	0.25	0.38	0.5	0.63	0.75	0.88	1.0	0.13	0.13	0.25	0.38	0.5	0.63	0.75	0.88	1.0	0.25	0.25	0.25	0.38	0.5	0.63	0.75	0.88	1.0	1.0	1.0	1.0	1.0	1.0	1.0	1.0	1.0	1.0	1.0	0.0	0.0	0.0	0.0			
	b10r	170g	170g	170g	170g	170g	170g	170g	170g	r15j	100g	129g	142g	149g	153g	156g	158g	160g	r15j	r66j	100g	118g	129g	137g	142g	146g	149g	b10r	r15j	r15j	r15j	r15j	r15j	r15j	r15j	r15j	r15j	r15j	b10r	b10r	b10r	b10r		
02	0.13	0.13	0.25	0.38	0.5	0.63	0.75	0.88	1.0	0.13	0.13	0.25	0.38	0.5	0.63	0.75	0.88	1.0	0.25	0.25	0.25	0.38	0.5	0.63	0.75	0.88	1.0	1.0	0.88	0.88	0.88	0.88	0.88	0.88	0.88	0.88	0.88	0.88	0.13	0.13	0.13	0.13		
	b33r	g59b	g06b	192g	185g	181g	179g	178g	177g	b56r	b10r	170g	170g	170g	170g	170g	170g	170g	b20r	r15j	100g	129g	142g	149g	153g	156g	158g	g59b	b10r	r15j	r15j	r15j	r15j	r15j	r15j	r15j	r15j	r15j	b10r	b10r	b10r	b10r		
03	0.25	0.25	0.25	0.38	0.5	0.63	0.75	0.88	1.0	0.25	0.25	0.38	0.5	0.63	0.75	0.88	1.0	0.25	0.25	0.25	0.38	0.5	0.63	0.75	0.88	1.0	1.0	0.88	0.75	0.75	0.75	0.75	0.75	0.75	0.75	0.75	0.75	0.25	0.25	0.25	0.25			
	b33r	b05r	025r	077g	062g	062g	062g	062g	062g	b33r	b33r	g59b	192g	185g	181g	179g	178g	177g	b20r	r15j	100g	129g	142g	149g	153g	156g	158g	b10r	r15j	r15j	r15j	r15j	r15j	r15j	r15j	r15j	r15j	r15j	b10r	b10r	b10r	b10r		
04	0.38	0.38	0.38	0.38	0.5	0.63	0.75	0.88	1.0	0.38	0.38	0.38	0.38	0.5	0.63	0.75	0.88	1.0	0.38	0.38	0.38	0.38	0.5	0.63	0.75	0.88	1.0	1.0	0.88	0.75	0.63	0.63	0.63	0.63	0.63	0.63	0.63	0.38	0.38	0.38	0.38			
	b33r	b20r	g94b	g59b	g32b	g15b	g06b	g01b	195g	b41r	b33r	b09r	g59b	g22b	g06b	198g	192g	187g	b87r	b49r	b45r	b33r	g59b	g06b	192g	185g	181g	179g	g59b	g59b	g59b	g59b	g59b	g59b	g59b	g59b	g59b	g59b	g59b	g59b	b10r	b10r	b10r	b10r
05	0.5	0.5	0.5	0.5	0.5	0.63	0.75	0.88	1.0	0.5	0.5	0.5	0.5	0.5	0.63	0.75	0.88	1.0	0.5	0.5	0.5	0.5	0.5	0.63	0.75	0.88	1.0	1.0	0.88	0.75	0.63	0.5	0.5	0.5	0.5	0.5	0.5	0.5	0.5	0.5	0.5	0.5	0.5	
	b33r	b24r	b09r	g85b	g59b	g37b	g22b	g13b	g06b	b39r	b33r	b20r	g94b	g59b	g32b	g15b	g06b	g01b	b45r	b41r	b33r	b09r	g59b	g22b	g06b	198g	192g	g59b	g59b	g59b	g59b	g59b	b10r	r15j	r15j	r15j	r15j	r15j	b10r	b10r	b10r	b10r		
06	0.63	0.63	0.63	0.63	0.63	0.63	0.75	0.88	1.0	0.63	0.63	0.63	0.63	0.63	0.63	0.75	0.88	1.0	0.63	0.63	0.63	0.63	0.63	0.63	0.75	0.88	1.0	1.0	0.88	0.75	0.63	0.5	0.38	0.38	0.38	0.38	0.63	0.63	0.63	0.63				
	b33r	b26r	b16r	b02r	b02r	062r	062r	075r	087r	1.0	0.62r	0.5	0.5	0.5	0.5	0.63	0.75	0.87r	0.62r	0.5	0.38	0.38	0.38	0.38	0.38	0.38	0.38	0.38	0.38	0.38	0.38	0.25	0.13	0.0	0.13	0.25	0.37	0.0	0.0	0.0	0.0			
07	0.75	0.75	0.75	0.75	0.75	0.75	0.75	0.88	1.0	0.75	0.75	0.75	0.75	0.75	0.75	0.75	0.88	1.0	0.75	0.75	0.75	0.75	0.75	0.75	0.75	0.88	1.0	1.0	0.88	0.75	0.63	0.5	0.38	0.25	0.25	0.25	0.75	0.75	0.75	0.75				
	b33r	b28r	b20r	b09r	g94b	g76b	g59b	g44b	g32b	b37r	b33r	b26r	b16r	b01r	g79b	g59b	g41b	g27b	b14r	b38r	b33r	b24r	b09r	g85b	g59b	g37b	g22b	g59b	g59b	g59b	g59b	g59b	g59b	g59b	b10r	r15j	r15j	r15j	b10r	b10r	b10r	b10r		
08	0.88	0.88	0.88	0.88	0.88	0.88	0.88	0.88	1.0	0.88	0.88	0.88	0.88	0.88	0.88	0.88	0.88	1.0	0.88	0.88	0.88	0.88	0.88	0.88	0.88	0.88	0.88	0.88	0.88	0.88	0.88	0.88	0.88	0.88	0.88	0.88	0.88	0.88	0.88	0.88	0.88	0.88		
	b33r	b29r	b23r	b14r	b07r	g84b	g69b	g73b	g59b	g46b	b37r	b33r	b28r	b20r	b09r	g94b	g76b	g59b	g44b	b40r	b37r	b33r	b26r	b16r	b01r	g79b	g59b	g41b	g59b	g59b	g59b	g59b	g59b	g59b	g59b	g59b	g59b	g59b	g59b	g59b	g59b	g59b		
09	1.0	1.0	1.0	1.0	1.0	1.0	1.0	1.0	1.0	1.0	1.0	1.0	1.0	1.0	1.0	1.0	1.0	1.0	1.0	1.0	1.0	1.0	1.0	1.0	1.0	1.0	1.0	1.0	1.0	1.0	1.0	1.0	1.0	1.0	1.0	1.0	1.0	1.0	1.0	1.0	1.0	1.0		
	b33r	b10r	b10r	b10r	b10r	b10r	b10r	b10r	b10r	b10r	b10r	b10r	b10r	b10r	b10r	b10r	b10r	b10r	b10r	b10r	b10r	b10r	b10r	b10r	b10r	b10r	b10r	b10r	b10r	b10r	b10r	b10r	b10r	b10r	b10r	b10r	b10r	b10r	b10r	b10r	b10r	b10r		
10	0.38	0.38	0.38	0.38	0.5	0.63	0.75	0.88	1.0	0.5	0.5	0.5	0.5	0.5	0.63	0.75	0.88	1.0	0.63	0.63	0.63	0.63	0.63	0.63	0.75	0.88	1.0	1.0	1.0	1.0	1.0	1.0	1.0	1.0	1.0	1.0	1.0	1.0	1.0	1.0	1.0	1.0	1.0	
	r15j	r50j	r79j	100g	113g	122g	129g	135g	139g	r15j	r42j	r66j	r85j	100g	110g	118g	124g	129g	r15j	r37j	r57j	r74j	r88j	100g	108g	115g	121g	b10r	100g	100g	100g	100g	100g	100g	100g	100g	100g	100g	100g	100g	100g	100g	100g	
11	0.38	0.38	0.38	0.38	0.5	0.63	0.75	0.88	1.0	0.5	0.5	0.5	0.5	0.5	0.63	0.75	0.88	1.0	0.63	0.63	0.63	0.63	0.63	0.63	0.75	0.88	1.0	1.0	0.88	0.88	0.88	0.88	0.88	0.88	0.88	0.88	0.88	0.88	0.88	0.88	0.88	0.88	0.88	
	b90r	r15j	r66j	100g	118g	129g	137g	142g	146g	b94r	r15j	r50j	r79j	100g	113g	122g	129g	135g	b97r	r15j	r42j	r66j	r85j	100g	110g	118g	124g	b33r	b10r	100g	100g	100g	100g	100g	100g	100g	100g	100g	100g	100g	100g	100g	100g	
12	0.38	0.38	0.38	0.38	0.5	0.63	0.75	0.88	1.0	0.5	0.5	0.5	0.5	0.5	0.63	0.75	0.88	1.0	0.63	0.63	0.63	0.63	0.63	0.63	0.75	0.88	1.0	1.0	0.88	0.75	0.63	0.5	0.38	0.25	0.25	0.75	0.75	0.75	0.75					
	b71r	b80r	r15j	100g	129g	142g	149g	153g	156g	b80r	b90r	r15j	r66j	100g	118g	129g	137g	142g	b86r	b94r	r15j	r50j	r79j	100g	113g	122g	129g	b33r	b33r	b10r	100g	100g	100g	100g	100g	100g	100g	100g	100g	100g	100g	100g		
13	0.38	0.38	0.38	0.38	0.5	0.63	0.75	0.88	1.0	0.5	0.5	0.5	0.5	0.5	0.63	0.75	0.88	1.0	0.63	0.63	0.63	0.63	0.63	0.63	0.75	0.88	1.0	1.0	0.88	0.75	0.63	0.5	0.38	0.25	0.25	0.75	0.75	0.75	0.75					
	b56r	b56r	b56r	b10r	170g	170g	170g	170g	170g	b67r	b71r	b80r	r15j	100g	129g	142g	149g	153g	b72r	b57r	b80r	b90r	r15j	r66j	100g	118g	129g	137g	b33r	b33r	b10r	100g	100g	100g	100g	100g	100g	100g	100g	100g	100g	100g		
14	0.5	0.5	0.5	0.5	0.5	0.63	0.75	0.88	1.0	0.5	0.5	0.5	0.5	0.5	0.63	0.75	0.88	1.0	0.5	0.5	0.5	0.5	0.5	0.63	0.75	0.88	1.0	1.0	0.88	0.75	0.63	0.5	0.5	0.5	0.5	0.5	0.5	0.5	0.5	0.5	0.5	0.5		
	b51r	b49r	b45r	b33r	g59b	g06b	192g	185g	181g	b56r	b56r	b56r	b10r	170g	170g	170g	170g	170g	b65r	b67r	b71r	b80r	r15j	100g	129g	142g	149g	b33r	b33r	b33r	b33r	b33r	b10r	100g	100g	100g	100g	100g	100g	100g	100g	100g		
15	0.63	0.63	0.63	0.63	0.63	0.63	0.75	0.88	1.0	0.63	0.63	0.63	0.63	0.63	0.63	0.75	0.88	1.0	0.63	0.63	0.63	0.63	0.63	0.63	0.75	0.88	1.0	1.0	0.88	0.75	0.63	0.5	0.38	0.38	0.38	0.38	0.63	0.63	0.63	0.63				

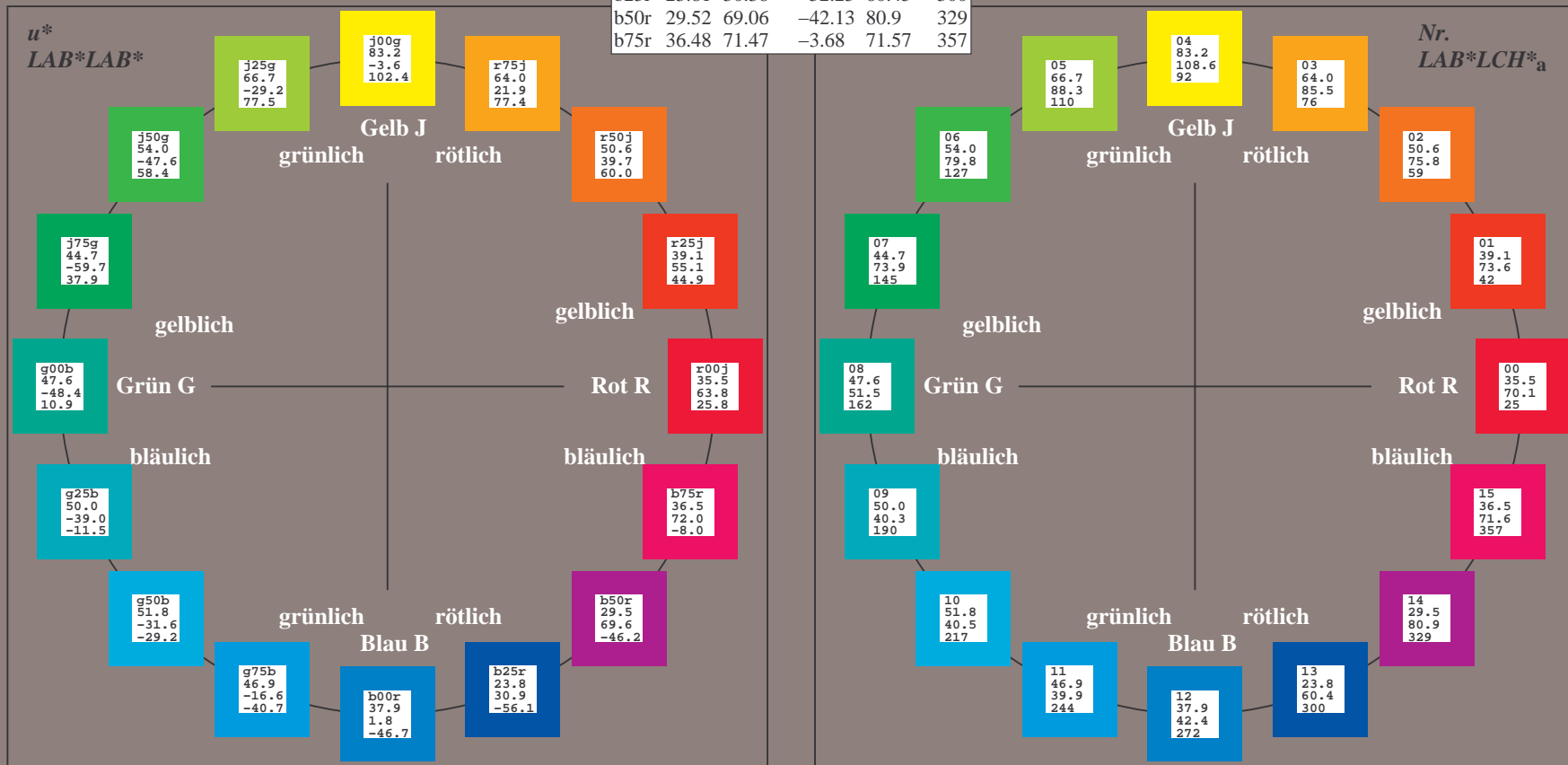
Ein und Ausgabe:
Farbmetrisches Drucker-Reflektiv-System FRS09_92a
Daten für jede Farbe:
*lab*_{tch}** und *lab*_{icu}**
Elementar-Bunttontext:
u = 16* Bunttöne *r00j*, *r25j*, ..., *b75r*
Kontrastreduzierungsfaktor:
 $c_R = 1.0$

FRS09_92a; adaptierte CIELAB-Daten					
	$L^*=L^*_a$	a^*_a	b^*_a	$C^*_{ab,a}$	$h^*_{ab,a}$
r00j	35.47	63.32	30.17	70.15	25
r25j	39.12	54.56	49.45	73.64	42
r50j	50.64	39.15	64.89	75.79	59
r75j	64.01	21.26	82.83	85.52	76
j00g	83.18	-4.37	108.53	108.62	92
j25g	66.73	-29.88	83.06	88.28	110
j50g	54.03	-48.3	63.49	79.78	127
j75g	44.73	-60.32	42.64	73.88	145
g00b	47.59	-49.07	15.74	51.54	162
g25b	49.97	-39.69	-6.71	40.27	190
g50b	51.85	-32.32	-24.34	40.48	217
g75b	46.92	-17.28	-36.01	39.96	244
b00r	37.91	1.28	-42.34	42.37	272
b25r	23.81	30.38	-52.25	60.45	300
b50r	29.52	69.06	-42.13	80.9	329
b75r	36.48	71.47	-3.68	71.57	357



%Umfang
 $u^*_{rel} = 109$
%Regularität
 $g^*_{H,rel} = 31$
 $g^*_{C,rel} = 40$

FRS09_92; CIELAB-Daten					
	$L^*=L^*_a$	a^*_a	b^*_a	C^*_{ab}	h^*_{ab}
O _M	35.06	60.53	39.66	72.37	33
Y _M	83.77	-4.49	103.15	103.25	92
L _M	44.13	-62.1	43.56	75.86	145
C _M	52.66	-28.55	-36.98	46.73	232
V _M	14.15	50.78	-62.59	80.61	309
M _M	37.37	79.18	-37.92	87.8	334
N _M	8.58	0.46	-3.34	3.38	278
W _M	92.02	0.69	-6.47	6.52	276
R _{CIE}	39.92	58.74	27.99	65.07	25
J _{CIE}	81.26	-2.88	71.56	71.62	92
G _{CIE}	52.23	-42.41	13.6	44.55	162
B _{CIE}	30.57	1.41	-46.46	46.49	272



Ein und Ausgabe: Farbmimetrisches Drucker-Reflektiv-System FRS09_92a für relativen CIELAB-Buntton $h^* = lab^*h^* = h_{ab}/360 = 25/360 = 0.071$

Daten für jede Farbe:

lab^*ch^* und lab^*icu^*

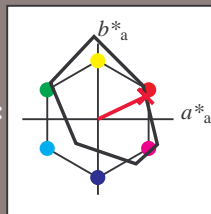
Elementar-Bunttonstext:

$u^* = r00j$

Kontrastreduzierungsfaktor:

$c_R = 1.0$

Dreiecks-Helligkeit i^*



FRS09_92; CIELAB-Daten

	$L^*=L^*$	a^*	b^*	C^*_{ab}	h^*_{ab}
O _M	35.06	60.53	39.66	72.37	33
Y _M	83.77	-4.49	103.15	103.25	92
L _M	44.13	-62.1	43.56	75.86	145
C _M	52.66	-28.55	-36.98	46.73	232
V _M	14.15	50.78	-62.59	80.61	309
M _M	37.37	79.18	-37.92	87.8	334
N _M	8.58	0.46	-3.34	3.38	278
W _M	92.02	0.69	-6.47	6.52	276
R _{CIE}	39.92	58.74	27.99	65.07	25
J _{CIE}	81.26	-2.88	71.56	71.62	92
G _{CIE}	52.23	-42.41	13.6	44.55	162
B _{CIE}	30.57	1.41	-46.46	46.49	272

Daten für Maximalfarbe (Ma):

$LAB^*LAB^*_{Ma}$: 35 63 30

$LAB^*LCH^*_{Ma}$: 35 70 25

$lab^*rgb^*_{Ma}$: 1.0 0.0 0.0

$lab^*olv^*_{Ma}$: 1.0 0.0 0.18

Dreiecks-Helligkeit i^*

%Umfang

$u^*_{rel} = 109$

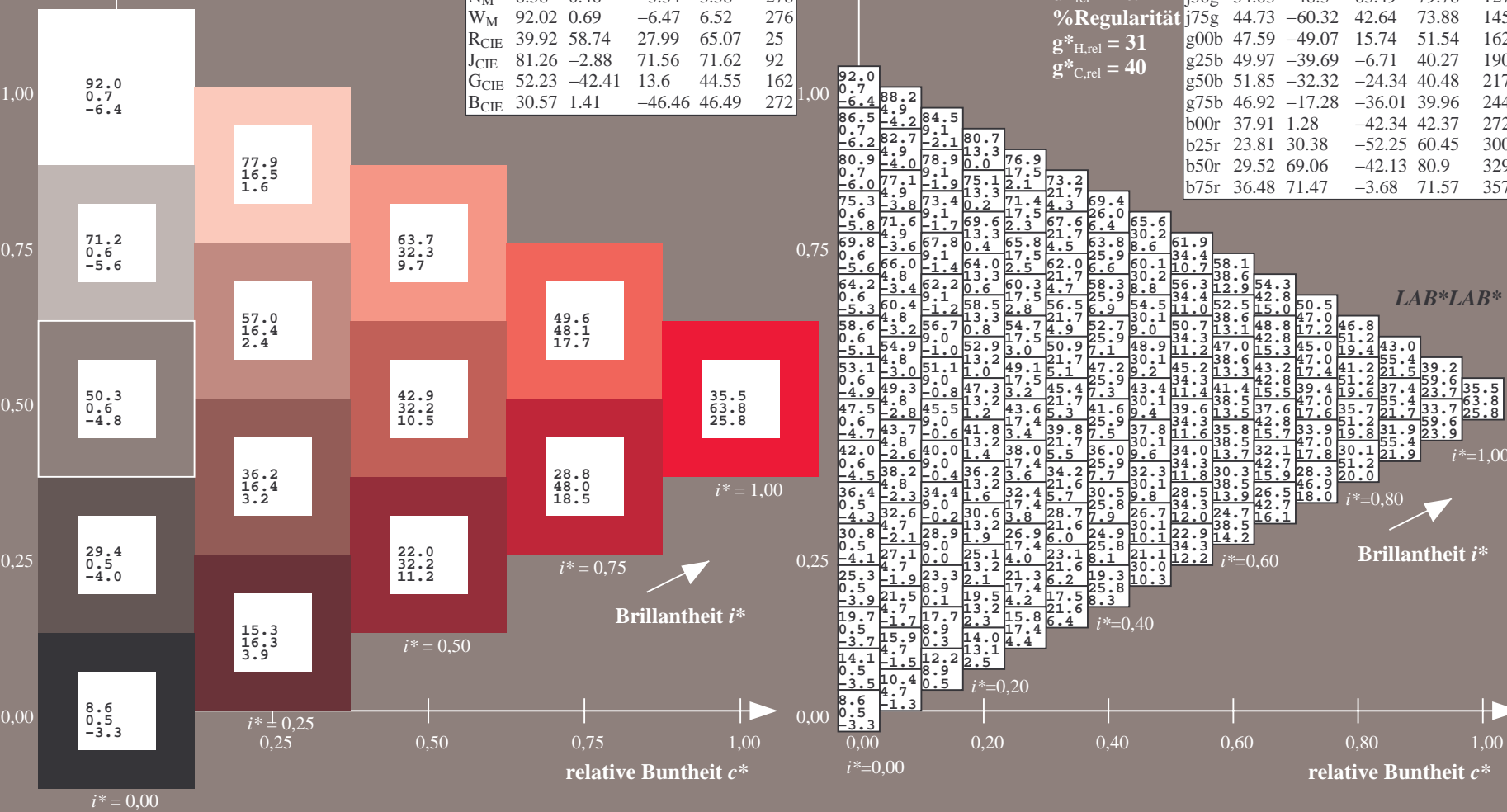
%Regularität

$g^*_{H,rel} = 31$

$g^*_{C,rel} = 40$

FRS09_92a; adaptierte CIELAB-Daten

	$L^*=L^*_a$	a^*_a	b^*_a	$C^*_{ab,a}$	$h^*_{ab,a}$
r00j	35.47	63.32	30.17	70.15	25
r25j	39.12	54.56	49.45	73.64	42
r50j	50.64	39.15	64.89	75.79	59
r75j	64.01	21.26	82.83	85.52	76
j00g	83.18	-4.37	108.53	108.62	92
j25g	66.73	-29.88	83.06	88.28	110
j50g	54.03	-48.3	63.49	79.78	127
j75g	44.73	-60.32	42.64	73.88	145
g00b	47.59	-49.07	15.74	51.54	162
g25b	49.97	-39.69	-6.71	40.27	190
g50b	51.85	-32.32	-24.34	40.48	217
g75b	46.92	-17.28	-36.01	39.96	244
b00r	37.91	1.28	-42.34	42.37	272
b25r	23.81	30.38	-52.25	60.45	300
b50r	29.52	69.06	-42.13	80.9	329
b75r	36.48	71.47	-3.68	71.57	357



Ein und Ausgabe: Farbmetrisches Drucker-Reflektiv-System FRS09_92a für relativen CIELAB-Buntton $h^* = lab^*h^* = h_{ab}/360 = 59/360 = 0.164$ $u^* = r50j$

Daten für jede Farbe:

lab^*ch^* und lab^*icu^*

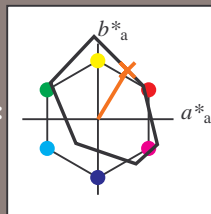
Elementar-Bunttontext:

$u^* = r50j$

Kontrastreduzierungsfaktor:

$c_R = 1.0$

Dreiecks-Helligkeit i^*



FRS09_92; CIELAB-Daten

	$L^*=L^*$	a^*	b^*	C^*_{ab}	h^*_{ab}
O _M	35.06	60.53	39.66	72.37	33
Y _M	83.77	-4.49	103.15	103.25	92
L _M	44.13	-62.1	43.56	75.86	145
C _M	52.66	-28.55	-36.98	46.73	232
V _M	14.15	50.78	-62.59	80.61	309
M _M	37.37	79.18	-37.92	87.8	334
N _M	8.58	0.46	-3.34	3.38	278
W _M	92.02	0.69	-6.47	6.52	276
R _{CIE}	39.92	58.74	27.99	65.07	25
J _{CIE}	81.26	-2.88	71.56	71.62	92
G _{CIE}	52.23	-42.41	13.6	44.55	162
B _{CIE}	30.57	1.41	-46.46	46.49	272

Daten für Maximalfarbe (Ma):

$LAB^*LAB^*_{Ma}$: 51 39 65

$LAB^*LCH^*_{Ma}$: 51 76 59

$lab^*rgb^*_{Ma}$: 1.0 0.5 0.0

$lab^*olv^*_{Ma}$: 1.0 0.32 0.0

Dreiecks-Helligkeit i^*

%Umfang

$u^*_{rel} = 109$

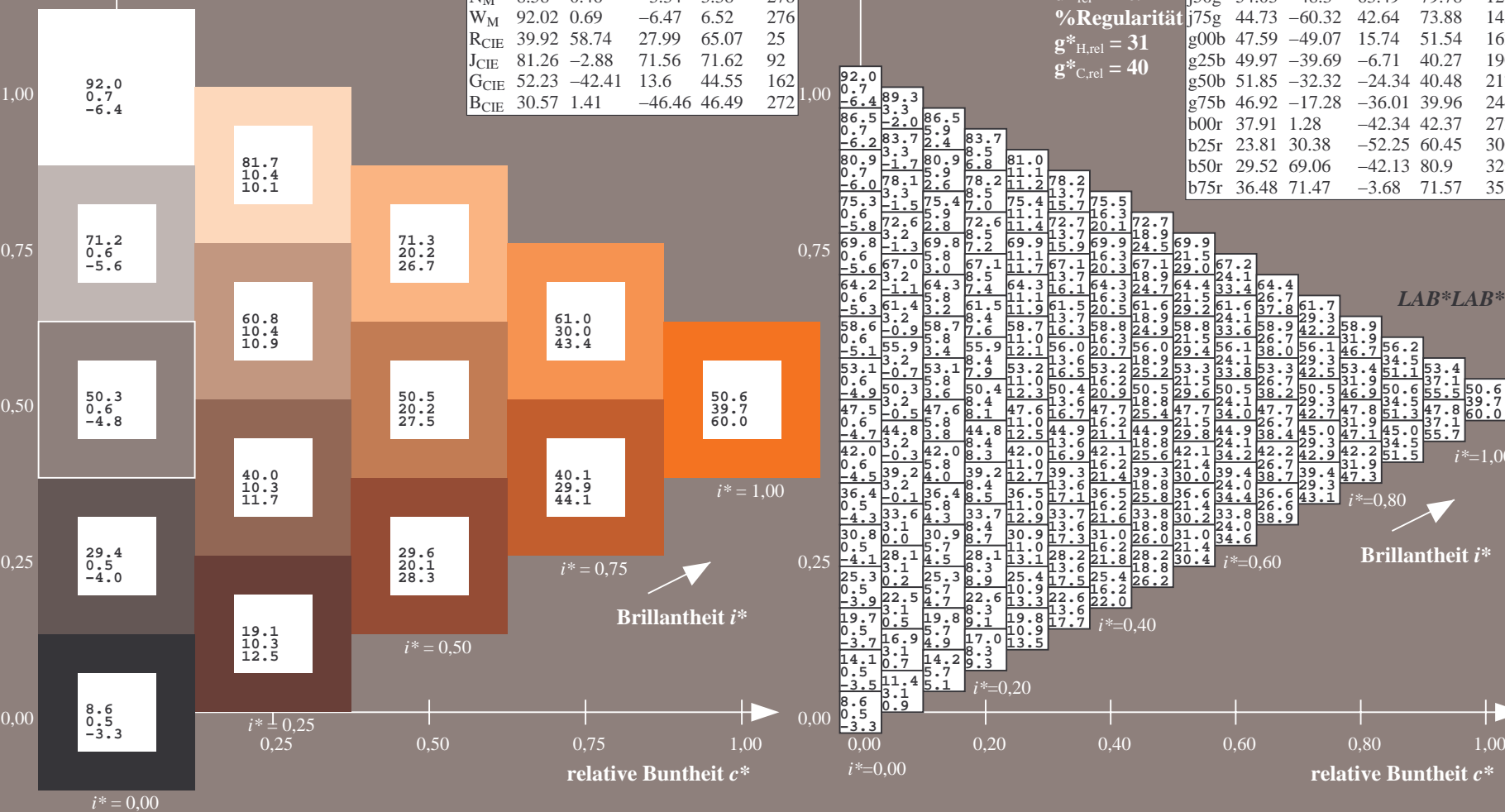
%Regularität

$g^*_{H,rel} = 31$

$g^*_{C,rel} = 40$

FRS09_92a; adaptierte CIELAB-Daten

	$L^*=L^*_a$	a^*_a	b^*_a	$C^*_{ab,a}$	$h^*_{ab,a}$
r00j	35.47	63.32	30.17	70.15	25
r25j	39.12	54.56	49.45	73.64	42
r50j	50.64	39.15	64.89	75.79	59
r75j	64.01	21.26	82.83	85.52	76
j00g	83.18	-4.37	108.53	108.62	92
j25g	66.73	-29.88	83.06	88.28	110
j50g	54.03	-48.3	63.49	79.78	127
j75g	44.73	-60.32	42.64	73.88	145
g00b	47.59	-49.07	15.74	51.54	162
g25b	49.97	-39.69	-6.71	40.27	190
g50b	51.85	-32.32	-24.34	40.48	217
g75b	46.92	-17.28	-36.01	39.96	244
b00r	37.91	1.28	-42.34	42.37	272
b25r	23.81	30.38	-52.25	60.45	300
b50r	29.52	69.06	-42.13	80.9	329
b75r	36.48	71.47	-3.68	71.57	357



Ein und Ausgabe: Farbmetrisches Drucker-Reflektiv-System FRS09_92a für relativen CIELAB-Buntton $h^* = lab^*h^* = h_{ab}/360 = 76/360 = 0.21$

Daten für jede Farbe:

lab^*ch^* und lab^*icu^*

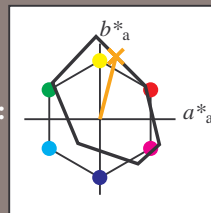
Elementar-Bunttontext:

$u^* = r75j$

Kontrastreduzierungsfaktor:

$c_R = 1.0$

Dreiecks-Helligkeit i^*



FRS09_92; CIELAB-Daten

	$L^*=L^*$	a^*	b^*	C^*_{ab}	h^*_{ab}
O _M	35.06	60.53	39.66	72.37	33
Y _M	83.77	-4.49	103.15	103.25	92
L _M	44.13	-62.1	43.56	75.86	145
C _M	52.66	-28.55	-36.98	46.73	232
V _M	14.15	50.78	-62.59	80.61	309
M _M	37.37	79.18	-37.92	87.8	334
N _M	8.58	0.46	-3.34	3.38	278
W _M	92.02	0.69	-6.47	6.52	276
R _{CIE}	39.92	58.74	27.99	65.07	25
J _{CIE}	81.26	-2.88	71.56	71.62	92
G _{CIE}	52.23	-42.41	13.6	44.55	162
B _{CIE}	30.57	1.41	-46.46	46.49	272

Daten für Maximalfarbe (Ma):

LAB^*LAB^*Ma : 64 21 83

LAB^*LCH^*Ma : 64 86 76

lab^*rgb^*Ma : 1.0 0.75 0.0

lab^*olv^*Ma : 1.0 0.59 0.0

Dreiecks-Helligkeit i^*

%Umfang

$u^*_{rel} = 109$

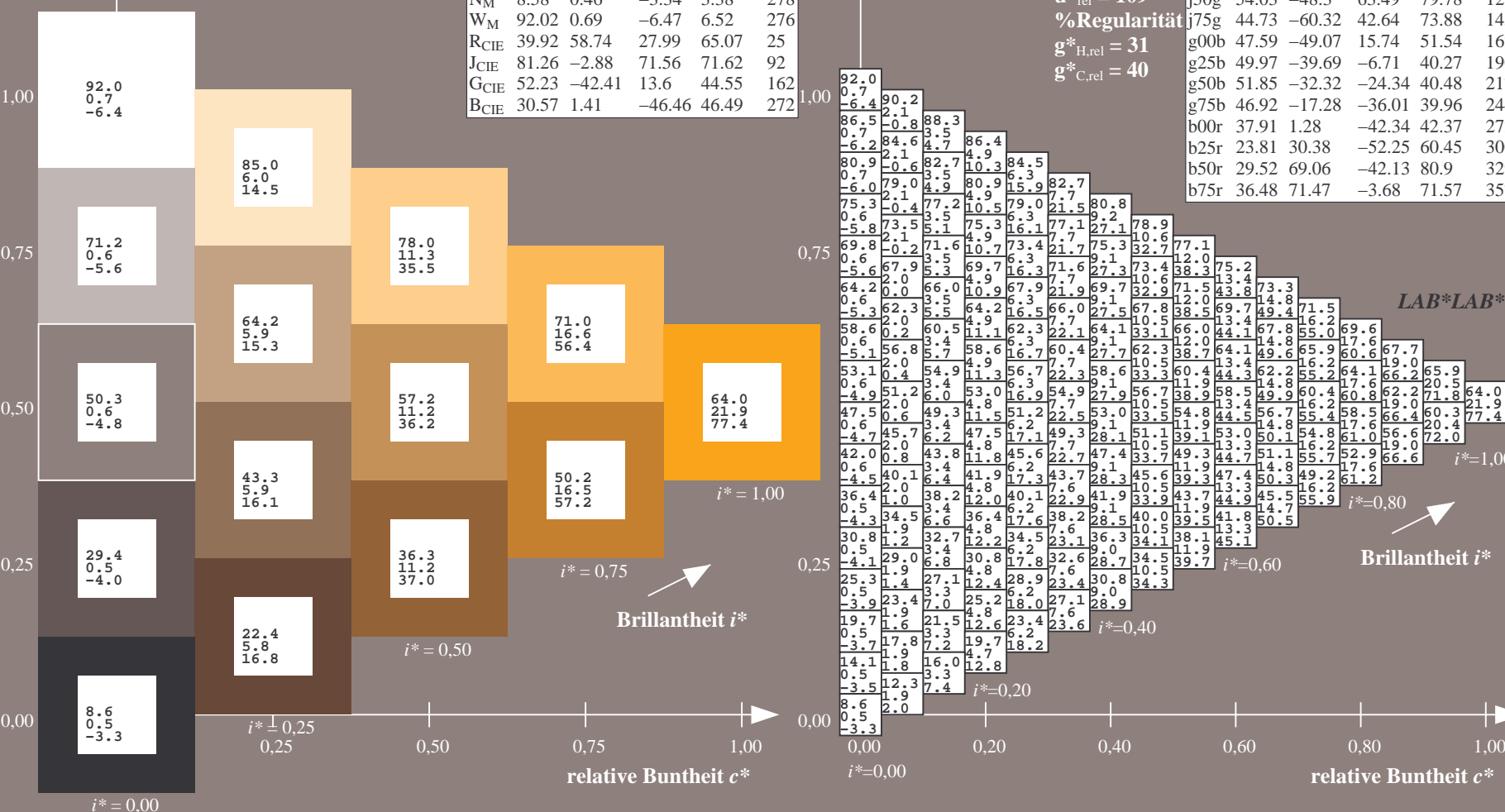
%Regularität

$g^*_{H,rel} = 31$

$g^*_{C,rel} = 40$

FRS09_92a; adaptierte CIELAB-Daten

	$L^*=L^*_a$	a^*_a	b^*_a	$C^*_{ab,a}$	$h^*_{ab,a}$
r00j	35.47	63.32	30.17	70.15	25
r25j	39.12	54.56	49.45	73.64	42
r50j	50.64	39.15	64.89	75.79	59
r75j	64.01	21.26	82.83	85.52	76
j00g	83.18	-4.37	108.53	108.62	92
j25g	66.73	-29.88	83.06	88.28	110
j50g	54.03	-48.3	63.49	79.78	127
j75g	44.73	-60.32	42.64	73.88	145
g00b	47.59	-49.07	15.74	51.54	162
g25b	49.97	-39.69	-6.71	40.27	190
g50b	51.85	-32.32	-24.34	40.48	217
g75b	46.92	-17.28	-36.01	39.96	244
b00r	37.91	1.28	-42.34	42.37	272
b25r	23.81	30.38	-52.25	60.45	300
b50r	29.52	69.06	-42.13	80.9	329
b75r	36.48	71.47	-3.68	71.57	357



Ein und Ausgabe: Farbmetrisches Drucker-Reflektiv-System FRS09_92a für relativen CIELAB-Buntton $h^* = lab^*h^* = h_{ab}/360 = 92/360 = 0.256$ $u^* = j00g$

Daten für jede Farbe:

lab^*ch^* und lab^*icu^*

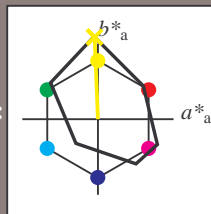
Elementar-Bunttontext:

$u^* = j00g$

Kontrastreduzierungsfaktor:

$c_R = 1.0$

Dreiecks-Helligkeit i^*



FRS09_92; CIELAB-Daten					
	$L^*=L^*$	a^*	b^*	C^*_{ab}	h^*_{ab}
O _M	35.06	60.53	39.66	72.37	33
Y _M	83.77	-4.49	103.15	103.25	92
L _M	44.13	-62.1	43.56	75.86	145
C _M	52.66	-28.55	-36.98	46.73	232
V _M	14.15	50.78	-62.59	80.61	309
M _M	37.37	79.18	-37.92	87.8	334
N _M	8.58	0.46	-3.34	3.38	278
W _M	92.02	0.69	-6.47	6.52	276
R _{CIE}	39.92	58.74	27.99	65.07	25
J _{CIE}	81.26	-2.88	71.56	71.62	92
G _{CIE}	52.23	-42.41	13.6	44.55	162
B _{CIE}	30.57	1.41	-46.46	46.49	272

Daten für Maximalfarbe (Ma):

$LAB^*LAB^*_{Ma}$: 83 -3 109

$LAB^*LCH^*_{Ma}$: 83 109 92

$lab^*rgb^*_{Ma}$: 1.0 1.0 0.0

$lab^*olv^*_{Ma}$: 1.0 0.99 0.0

Dreiecks-Helligkeit i^*

%Umfang

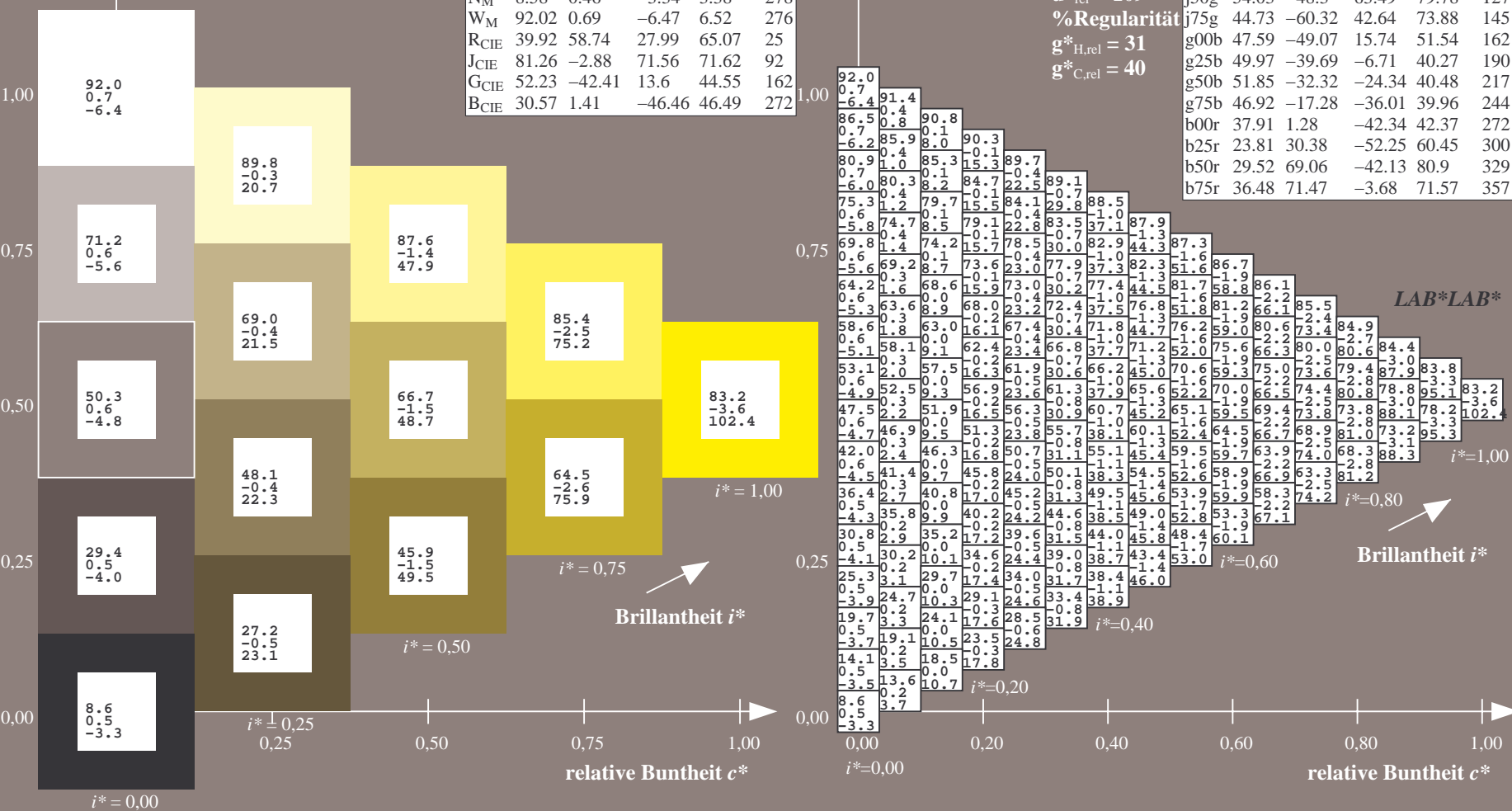
$u^*_{rel} = 109$

%Regularität

$g^*_{H,rel} = 31$

$g^*_{C,rel} = 40$

FRS09_92a; adaptierte CIELAB-Daten					
	$L^*=L^*_a$	a^*_a	b^*_a	$C^*_{ab,a}$	$h^*_{ab,a}$
r00j	35.47	63.32	30.17	70.15	25
r25j	39.12	54.56	49.45	73.64	42
r50j	50.64	39.15	64.89	75.79	59
r75j	64.01	21.26	82.83	85.52	76
j00g	83.18	-4.37	108.53	108.62	92
j25g	66.73	-29.88	83.06	88.28	110
j50g	54.03	-48.3	63.49	79.78	127
j75g	44.73	-60.32	42.64	73.88	145
g00b	47.59	-49.07	15.74	51.54	162
g25b	49.97	-39.69	-6.71	40.27	190
g50b	51.85	-32.32	-24.34	40.48	217
g75b	46.92	-17.28	-36.01	39.96	244
b00r	37.91	1.28	-42.34	42.37	272
b25r	23.81	30.38	-52.25	60.45	300
b50r	29.52	69.06	-42.13	80.9	329
b75r	36.48	71.47	-3.68	71.57	357



BAM-Registrierung: 20080701-Dg96/10L/L96G00NP.PS/.PDF BAM-Material: Code=rh4ta
Anwendung für Beurteilung und Messung von Drucker- oder Monitorsystemen

Ein und Ausgabe: Farbmetrisches Drucker-Reflektiv-System FRS09_92a für relativen CIELAB-Buntton $h^* = lab^*h^* = h_{ab}/360 = 127/360 = 0.354$ $u^* = j50g$

Daten für jede Farbe:

lab^*ch^* und lab^*icu^*

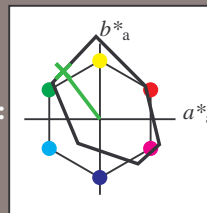
Elementar-Bunttontext:

$u^* = j50g$

Kontrastreduzierungsfaktor:

$c_R = 1.0$

Dreiecks-Helligkeit i^*



FRS09_92; CIELAB-Daten

	$L^*=L^*$	a^*	b^*	C^*_{ab}	h^*_{ab}
O _M	35.06	60.53	39.66	72.37	33
Y _M	83.77	-4.49	103.15	103.25	92
L _M	44.13	-62.1	43.56	75.86	145
C _M	52.66	-28.55	-36.98	46.73	232
V _M	14.15	50.78	-62.59	80.61	309
M _M	37.37	79.18	-37.92	87.8	334
N _M	8.58	0.46	-3.34	3.38	278
W _M	92.02	0.69	-6.47	6.52	276
R _{CIE}	39.92	58.74	27.99	65.07	25
J _{CIE}	81.26	-2.88	71.56	71.62	92
G _{CIE}	52.23	-42.41	13.6	44.55	162
B _{CIE}	30.57	1.41	-46.46	46.49	272

Daten für Maximalfarbe (Ma):

$LAB^*LAB^*_{Ma}$: 54 -47 63

$LAB^*LCH^*_{Ma}$: 54 80 127

$lab^*rgb^*_{Ma}$: 0.5 1.0 0.0

$lab^*olv^*_{Ma}$: 0.25 1.0 0.0

Dreiecks-Helligkeit i^*

%Umfang

$u^*_{rel} = 109$

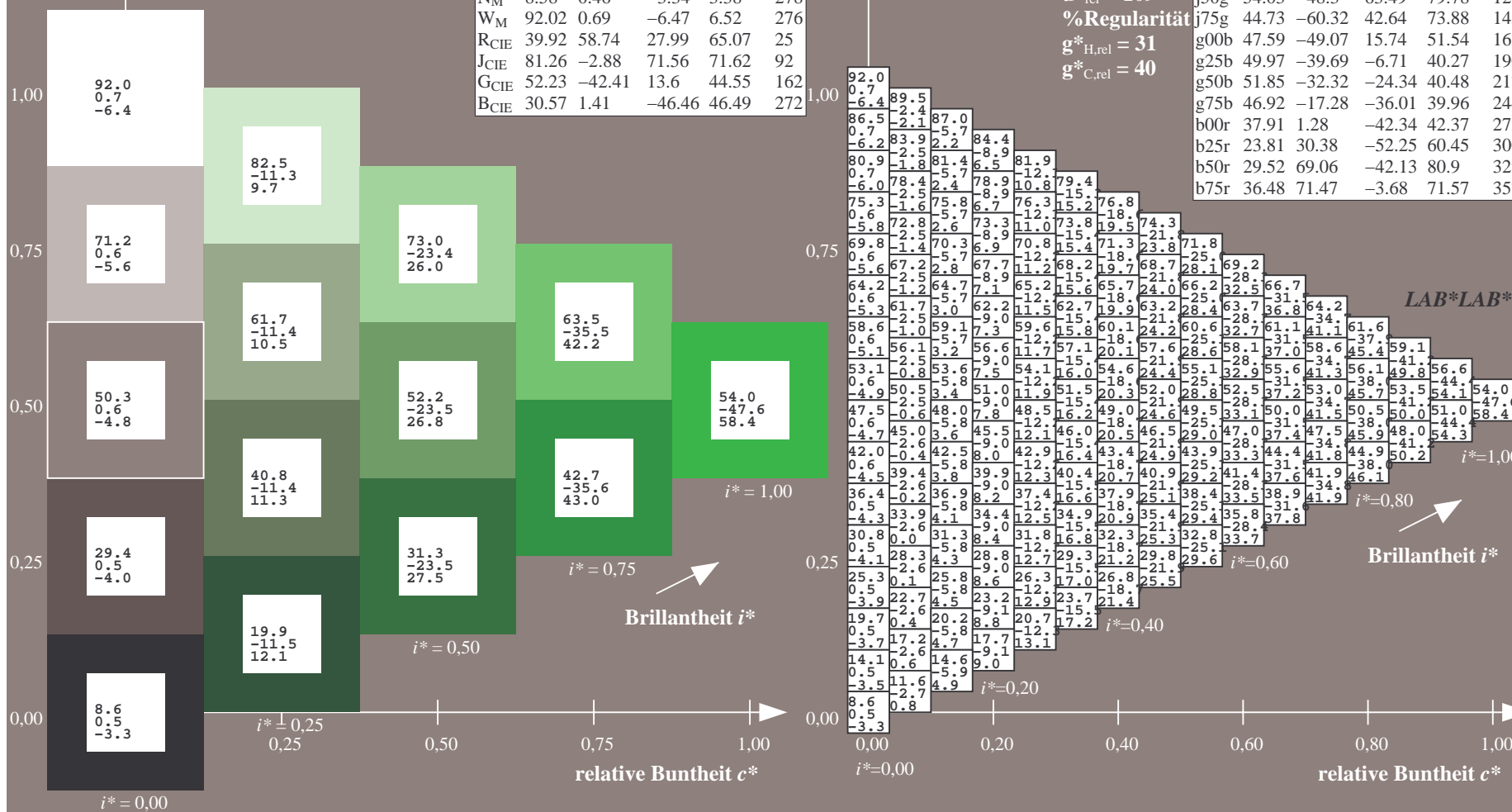
%Regularität

$g^*_{H,rel} = 31$

$g^*_{C,rel} = 40$

FRS09_92a; adaptierte CIELAB-Daten

	$L^*=L^*_a$	a^*_a	b^*_a	$C^*_{ab,a}$	$h^*_{ab,a}$
r00j	35.47	63.32	30.17	70.15	25
r25j	39.12	54.56	49.45	73.64	42
r50j	50.64	39.15	64.89	75.79	59
r75j	64.01	21.26	82.83	85.52	76
j00g	83.18	-4.37	108.53	108.62	92
j25g	66.73	-29.88	83.06	88.28	110
j50g	54.03	-48.3	63.49	79.78	127
j75g	44.73	-60.32	42.64	73.88	145
g00b	47.59	-49.07	15.74	51.54	162
g25b	49.97	-39.69	-6.71	40.27	190
g50b	51.85	-32.32	-24.34	40.48	217
g75b	46.92	-17.28	-36.01	39.96	244
b00r	37.91	1.28	-42.34	42.37	272
b25r	23.81	30.38	-52.25	60.45	300
b50r	29.52	69.06	-42.13	80.9	329
b75r	36.48	71.47	-3.68	71.57	357



Ein und Ausgabe: Farbmetrisches Drucker-Reflektiv-System FRS09_92a für relativen CIELAB-Buntton $h^* = lab^*h^* = h_{ab}/360 = 145/360 = 0.402$ $u^* = j75g$

Daten für jede Farbe:

lab^*ch^* und lab^*icu^*

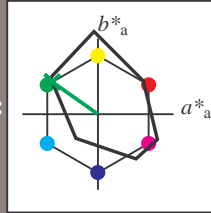
Elementar-Bunttontext:

$u^* = j75g$

Kontrastreduzierungsfaktor:

$c_R = 1.0$

Dreiecks-Helligkeit i^*



FRS09_92; CIELAB-Daten

	$L^*=L^*$	a^*	b^*	C^*_{ab}	h^*_{ab}
O _M	35.06	60.53	39.66	72.37	33
Y _M	83.77	-4.49	103.15	103.25	92
L _M	44.13	-62.1	43.56	75.86	145
C _M	52.66	-28.55	-36.98	46.73	232
V _M	14.15	50.78	-62.59	80.61	309
M _M	37.37	79.18	-37.92	87.8	334
N _M	8.58	0.46	-3.34	3.38	278
W _M	92.02	0.69	-6.47	6.52	276
R _{CIE}	39.92	58.74	27.99	65.07	25
J _{CIE}	81.26	-2.88	71.56	71.62	92
G _{CIE}	52.23	-42.41	13.6	44.55	162
B _{CIE}	30.57	1.41	-46.46	46.49	272

Daten für Maximalfarbe (Ma):

$LAB^*LAB^*_{Ma}$: 45 -59 43

$LAB^*LCH^*_{Ma}$: 45 74 145

$lab^*rgb^*_{Ma}$: 0.25 1.0 0.0

$lab^*olv^*_{Ma}$: 0.0 1.0 0.07

Dreiecks-Helligkeit i^*

%Umfang

$u^*_{rel} = 109$

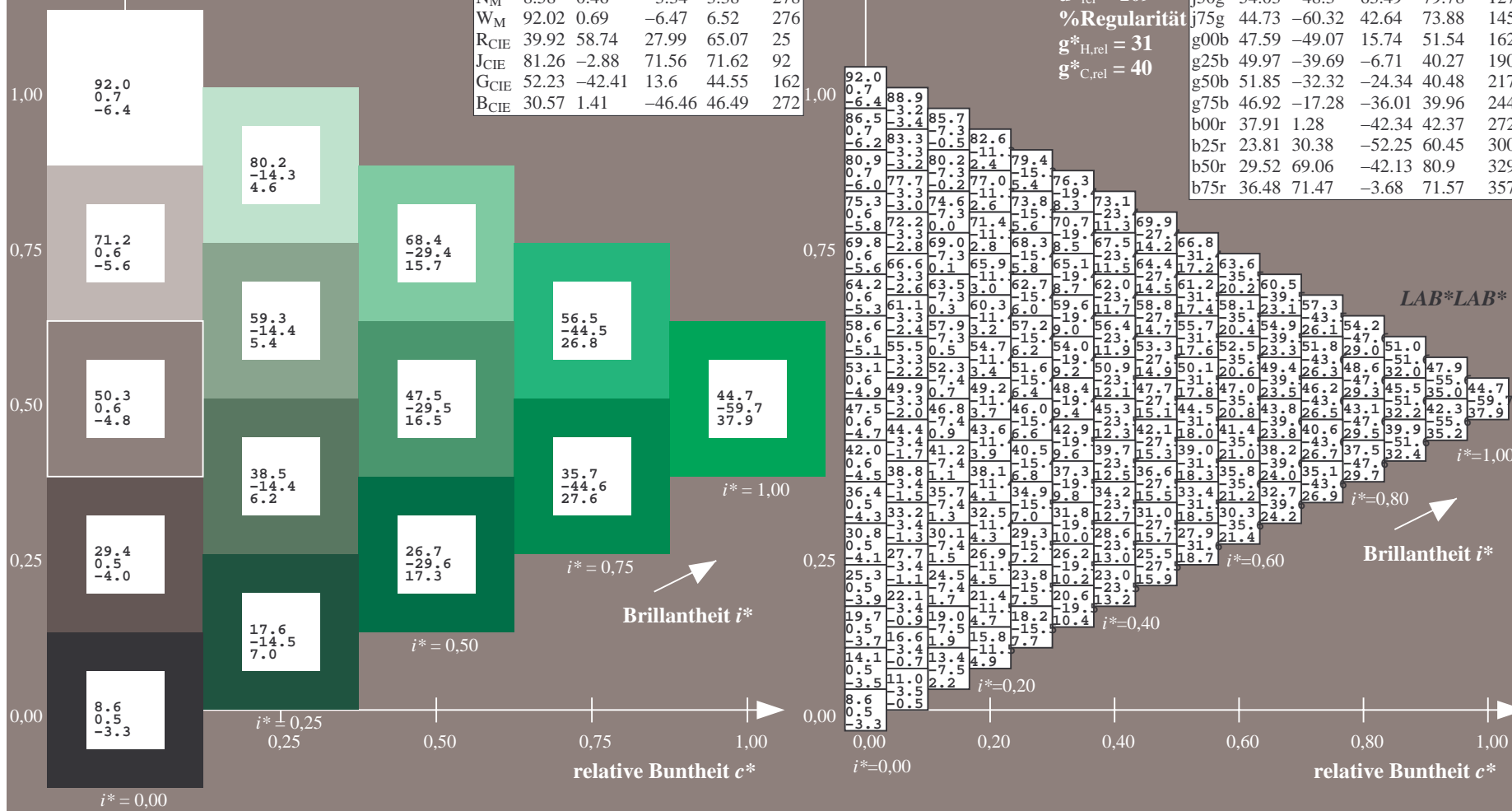
%Regularität

$g^*_{H,rel} = 31$

$g^*_{C,rel} = 40$

FRS09_92a; adaptierte CIELAB-Daten

	$L^*=L^*_a$	a^*_a	b^*_a	$C^*_{ab,a}$	$h^*_{ab,a}$
r00j	35.47	63.32	30.17	70.15	25
r25j	39.12	54.56	49.45	73.64	42
r50j	50.64	39.15	64.89	75.79	59
r75j	64.01	21.26	82.83	85.52	76
j00g	83.18	-4.37	108.53	108.62	92
j25g	66.73	-29.88	83.06	88.28	110
j50g	54.03	-48.3	63.49	79.78	127
j75g	44.73	-60.32	42.64	73.88	145
g00b	47.59	-49.07	15.74	51.54	162
g25b	49.97	-39.69	-6.71	40.27	190
g50b	51.85	-32.32	-24.34	40.48	217
g75b	46.92	-17.28	-36.01	39.96	244
b00r	37.91	1.28	-42.34	42.37	272
b25r	23.81	30.38	-52.25	60.45	300
b50r	29.52	69.06	-42.13	80.9	329
b75r	36.48	71.47	-3.68	71.57	357



Ein und Ausgabe: Farbmimetrisches Drucker-Reflektiv-System FRS09_92a für relativen CIELAB-Buntton $h^* = lab^*h^* = h_{ab}/360 = 162/360 = 0.451$ $u^* = g00b$

Daten für jede Farbe:

lab^*ch^* und lab^*icu^*

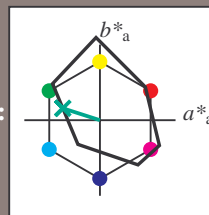
Elementar-Bunttontext:

$u^* = g00b$

Kontrastreduzierungsfaktor:

$c_R = 1.0$

Dreiecks-Helligkeit i^*



FRS09_92; CIELAB-Daten

	$L^*=L^*$	a^*	b^*	C^*_{ab}	h^*_{ab}
O _M	35.06	60.53	39.66	72.37	33
Y _M	83.77	-4.49	103.15	103.25	92
L _M	44.13	-62.1	43.56	75.86	145
C _M	52.66	-28.55	-36.98	46.73	232
V _M	14.15	50.78	-62.59	80.61	309
M _M	37.37	79.18	-37.92	87.8	334
N _M	8.58	0.46	-3.34	3.38	278
W _M	92.02	0.69	-6.47	6.52	276
R _{CIE}	39.92	58.74	27.99	65.07	25
J _{CIE}	81.26	-2.88	71.56	71.62	92
G _{CIE}	52.23	-42.41	13.6	44.55	162
B _{CIE}	30.57	1.41	-46.46	46.49	272

Daten für Maximalfarbe (Ma):

$LAB^*LAB^*_{Ma}$: 48 -48 16

$LAB^*LCH^*_{Ma}$: 48 52 162

$lab^*rgb^*_{Ma}$: 0.0 1.0 0.0

$lab^*olv^*_{Ma}$: 0.0 1.0 0.41

Dreiecks-Helligkeit i^*

%Umfang

$u^*_{rel} = 109$

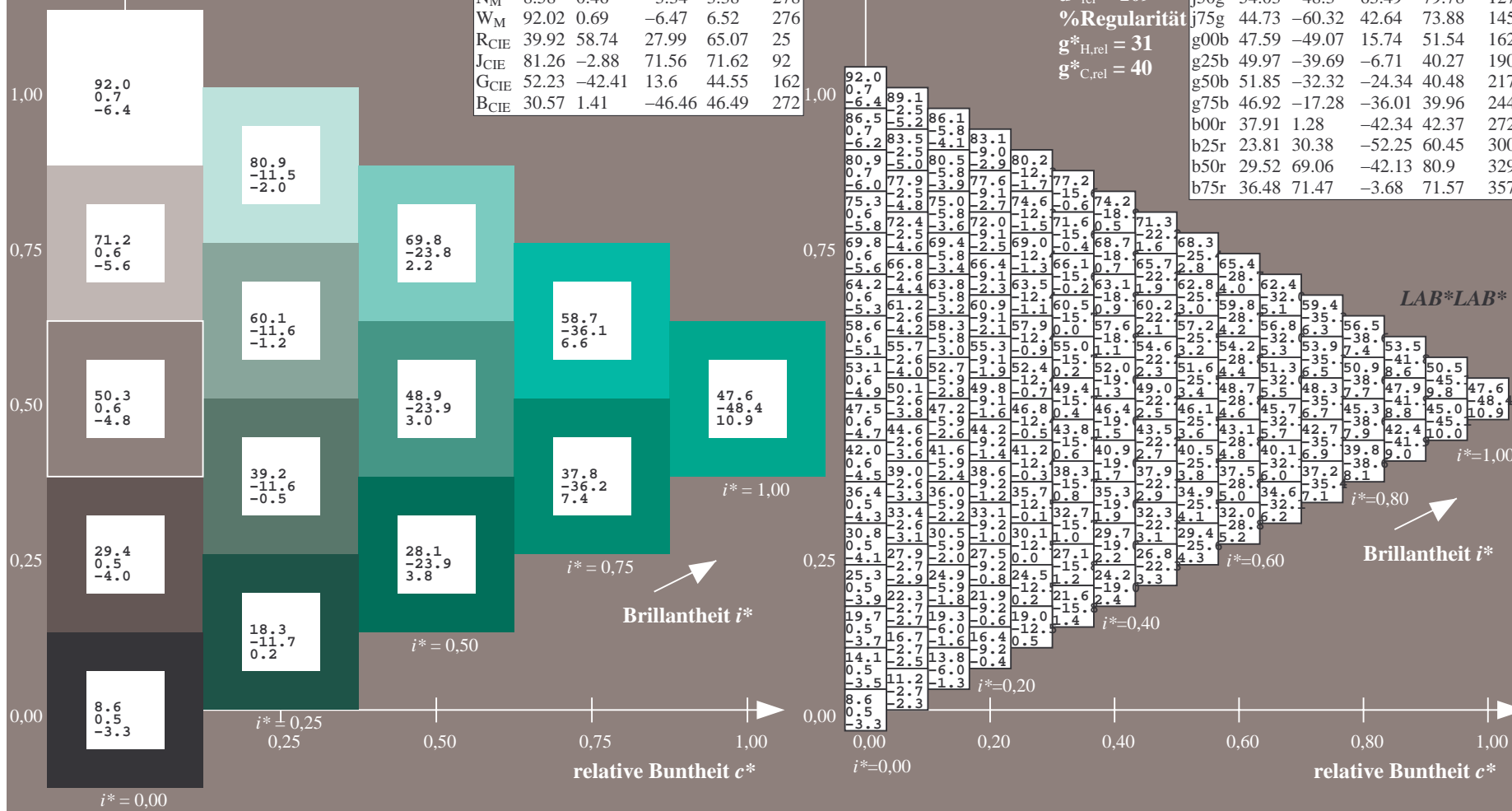
%Regularität

$g^*_{H,rel} = 31$

$g^*_{C,rel} = 40$

FRS09_92a; adaptierte CIELAB-Daten

	$L^*=L^*_a$	a^*_a	b^*_a	$C^*_{ab,a}$	$h^*_{ab,a}$
r00j	35.47	63.32	30.17	70.15	25
r25j	39.12	54.56	49.45	73.64	42
r50j	50.64	39.15	64.89	75.79	59
r75j	64.01	21.26	82.83	85.52	76
j00g	83.18	-4.37	108.53	108.62	92
j25g	66.73	-29.88	83.06	88.28	110
j50g	54.03	-48.3	63.49	79.78	127
j75g	44.73	-60.32	42.64	73.88	145
g00b	47.59	-49.07	15.74	51.54	162
g25b	49.97	-39.69	-6.71	40.27	190
g50b	51.85	-32.32	-24.34	40.48	217
g75b	46.92	-17.28	-36.01	39.96	244
b00r	37.91	1.28	-42.34	42.37	272
b25r	23.81	30.38	-52.25	60.45	300
b50r	29.52	69.06	-42.13	80.9	329
b75r	36.48	71.47	-3.68	71.57	357



100



Brillantheit i^*

Eingabe: 000n / w / nnn0 / www set...
Ausgabe: ->cmyn5* setcmykcolor

Ein und Ausgabe: Farbmetrisches Drucker-Reflektiv-System FRS09_92a für relativen CIELAB-Buntton $h^* = lab^*h^* = h_{ab}/360 = 217/360 = 0.603$ $u^* = g50b$

Daten für jede Farbe:

lab^*ch^* und lab^*icu^*

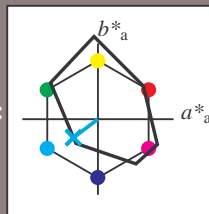
Elementar-Bunttontext:

$u^* = g50b$

Kontrastreduzierungsfaktor:

$c_R = 1.0$

Dreiecks-Helligkeit i^*



FRS09_92; CIELAB-Daten

	$L^*=L^*$	a^*	b^*	C^*_{ab}	h^*_{ab}
O _M	35.06	60.53	39.66	72.37	33
Y _M	83.77	-4.49	103.15	103.25	92
L _M	44.13	-62.1	43.56	75.86	145
C _M	52.66	-28.55	-36.98	46.73	232
V _M	14.15	50.78	-62.59	80.61	309
M _M	37.37	79.18	-37.92	87.8	334
N _M	8.58	0.46	-3.34	3.38	278
W _M	92.02	0.69	-6.47	6.52	276
R _{CIE}	39.92	58.74	27.99	65.07	25
J _{CIE}	81.26	-2.88	71.56	71.62	92
G _{CIE}	52.23	-42.41	13.6	44.55	162
B _{CIE}	30.57	1.41	-46.46	46.49	272

Daten für Maximalfarbe (Ma):

$LAB^*LAB^*_{Ma}$: 52 -31 -23

$LAB^*LCH^*_{Ma}$: 52 40 217

$lab^*rgb^*_{Ma}$: 0.0 1.0 1.0

$lab^*olv^*_{Ma}$: 0.0 1.0 0.9

Dreiecks-Helligkeit i^*

%Umfang

$u^*_{rel} = 109$

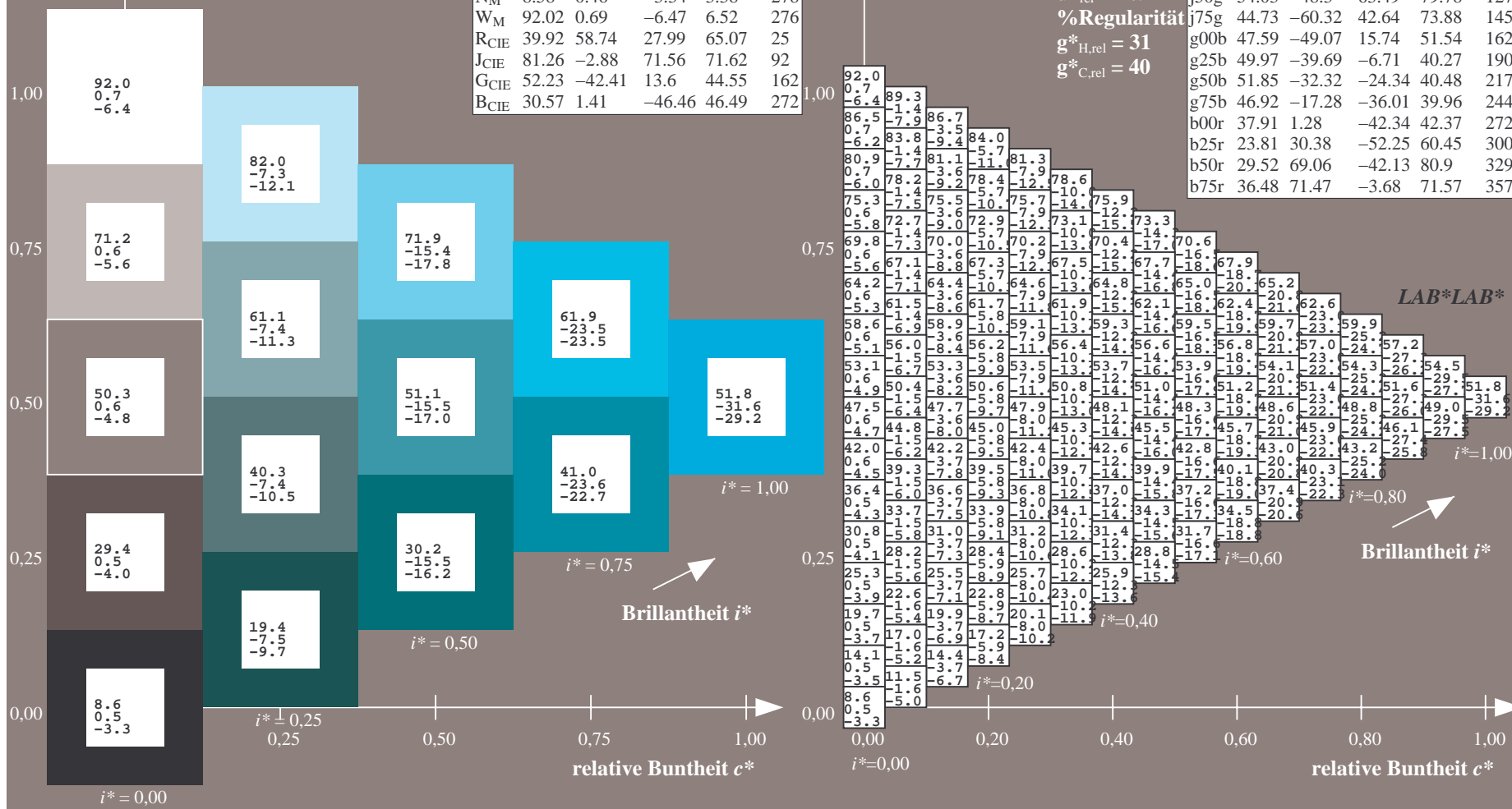
%Regularität

$g^*_{H,rel} = 31$

$g^*_{C,rel} = 40$

FRS09_92a; adaptierte CIELAB-Daten

	$L^*=L^*_a$	a^*_a	b^*_a	$C^*_{ab,a}$	$h^*_{ab,a}$
r00j	35.47	63.32	30.17	70.15	25
r25j	39.12	54.56	49.45	73.64	42
r50j	50.64	39.15	64.89	75.79	59
r75j	64.01	21.26	82.83	85.52	76
j00g	83.18	-4.37	108.53	108.62	92
j25g	66.73	-29.88	83.06	88.28	110
j50g	54.03	-48.3	63.49	79.78	127
j75g	44.73	-60.32	42.64	73.88	145
g00b	47.59	-49.07	15.74	51.54	162
g25b	49.97	-39.69	-6.71	40.27	190
g50b	51.85	-32.32	-24.34	40.48	217
g75b	46.92	-17.28	-36.01	39.96	244
b00r	37.91	1.28	-42.34	42.37	272
b25r	23.81	30.38	-52.25	60.45	300
b50r	29.52	69.06	-42.13	80.9	329
b75r	36.48	71.47	-3.68	71.57	357



Ein und Ausgabe: Farbmetrisches Drucker-Reflektiv-System FRS09_92a für relativen CIELAB-Buntton $h^* = lab^*h^* = h_{ab}/360 = 244/360 = 0.679$ $u^* = g75b$

Daten für jede Farbe:

lab^*ch^* und lab^*icu^*

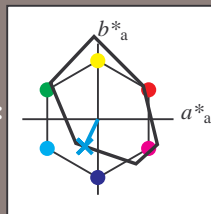
Elementar-Bunttontext:

$u^* = g75b$

Kontrastreduzierungsfaktor:

$c_R = 1.0$

Dreiecks-Helligkeit i^*



FRS09_92; CIELAB-Daten

	$L^*=L^*$	a^*	b^*	C^*_{ab}	h^*_{ab}
O _M	35.06	60.53	39.66	72.37	33
Y _M	83.77	-4.49	103.15	103.25	92
L _M	44.13	-62.1	43.56	75.86	145
C _M	52.66	-28.55	-36.98	46.73	232
V _M	14.15	50.78	-62.59	80.61	309
M _M	37.37	79.18	-37.92	87.8	334
N _M	8.58	0.46	-3.34	3.38	278
W _M	92.02	0.69	-6.47	6.52	276
R _{CIE}	39.92	58.74	27.99	65.07	25
J _{CIE}	81.26	-2.88	71.56	71.62	92
G _{CIE}	52.23	-42.41	13.6	44.55	162
B _{CIE}	30.57	1.41	-46.46	46.49	272

Daten für Maximalfarbe (Ma):

$LAB^*LAB^*_{Ma}$: 47 -16 -35

$LAB^*LCH^*_{Ma}$: 47 40 244

$lab^*rgb^*_{Ma}$: 0.0 0.5 1.0

$lab^*olv^*_{Ma}$: 0.0 0.85 1.0

Dreiecks-Helligkeit i^*

%Umfang

$u^*_{rel} = 109$

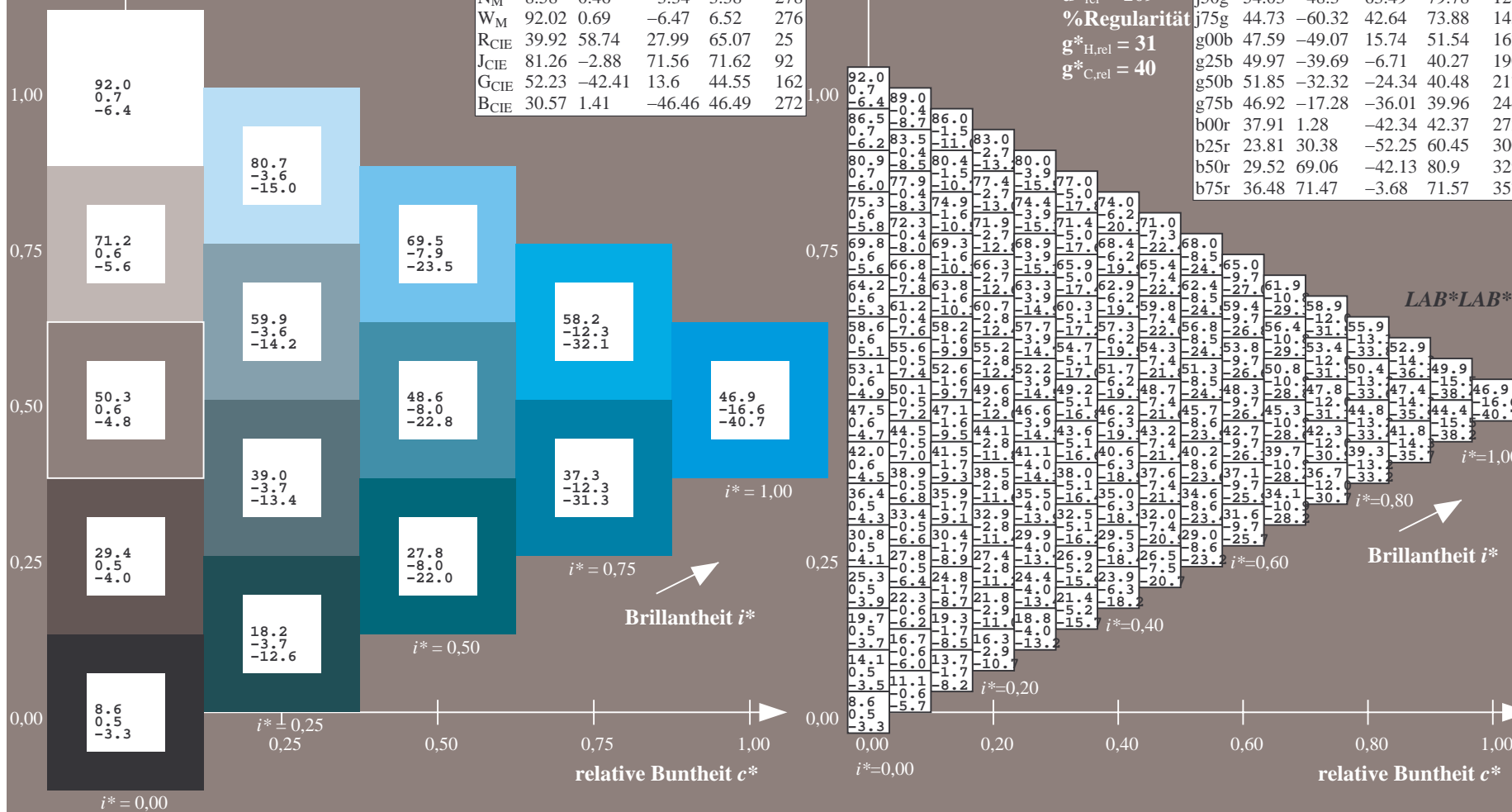
%Regularität

$g^*_{H,rel} = 31$

$g^*_{C,rel} = 40$

FRS09_92a; adaptierte CIELAB-Daten

	$L^*=L^*_a$	a^*_a	b^*_a	$C^*_{ab,a}$	$h^*_{ab,a}$
r00j	35.47	63.32	30.17	70.15	25
r25j	39.12	54.56	49.45	73.64	42
r50j	50.64	39.15	64.89	75.79	59
r75j	64.01	21.26	82.83	85.52	76
j00g	83.18	-4.37	108.53	108.62	92
j25g	66.73	-29.88	83.06	88.28	110
j50g	54.03	-48.3	63.49	79.78	127
j75g	44.73	-60.32	42.64	73.88	145
g00b	47.59	-49.07	15.74	51.54	162
g25b	49.97	-39.69	-6.71	40.27	190
g50b	51.85	-32.32	-24.34	40.48	217
g75b	46.92	-17.28	-36.01	39.96	244
b00r	37.91	1.28	-42.34	42.37	272
b25r	23.81	30.38	-52.25	60.45	300
b50r	29.52	69.06	-42.13	80.9	329
b75r	36.48	71.47	-3.68	71.57	357



Ein und Ausgabe: Farbmetrisches Drucker-Reflektiv-System FRS09_92a für relativen CIELAB-Buntton $h^* = lab^*h^* = h_{ab}/360 = 272/360 = 0.755$ $u^* = b00r$

Daten für jede Farbe:

lab^*ch^* und lab^*icu^*

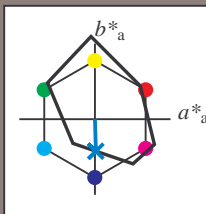
Elementar-Bunttontext:

$u^* = b00r$

Kontrastreduzierungsfaktor:

$c_R = 1.0$

Dreiecks-Helligkeit i^*



FRS09_92; CIELAB-Daten

	$L^*=L^*$	a^*	b^*	C^*_{ab}	h^*_{ab}
O _M	35.06	60.53	39.66	72.37	33
Y _M	83.77	-4.49	103.15	103.25	92
L _M	44.13	-62.1	43.56	75.86	145
C _M	52.66	-28.55	-36.98	46.73	232
V _M	14.15	50.78	-62.59	80.61	309
M _M	37.37	79.18	-37.92	87.8	334
N _M	8.58	0.46	-3.34	3.38	278
W _M	92.02	0.69	-6.47	6.52	276
R _{CIE}	39.92	58.74	27.99	65.07	25
J _{CIE}	81.26	-2.88	71.56	71.62	92
G _{CIE}	52.23	-42.41	13.6	44.55	162
B _{CIE}	30.57	1.41	-46.46	46.49	272

Daten für Maximalfarbe (Ma):

LAB^*LAB^*Ma : 38 1 -41

LAB^*LCH^*Ma : 38 42 272

lab^*rgb^*Ma : 0.0 0.0 1.0

lab^*olv^*Ma : 0.0 0.62 1.0

Dreiecks-Helligkeit i^*

%Umfang

$u^*_{rel} = 109$

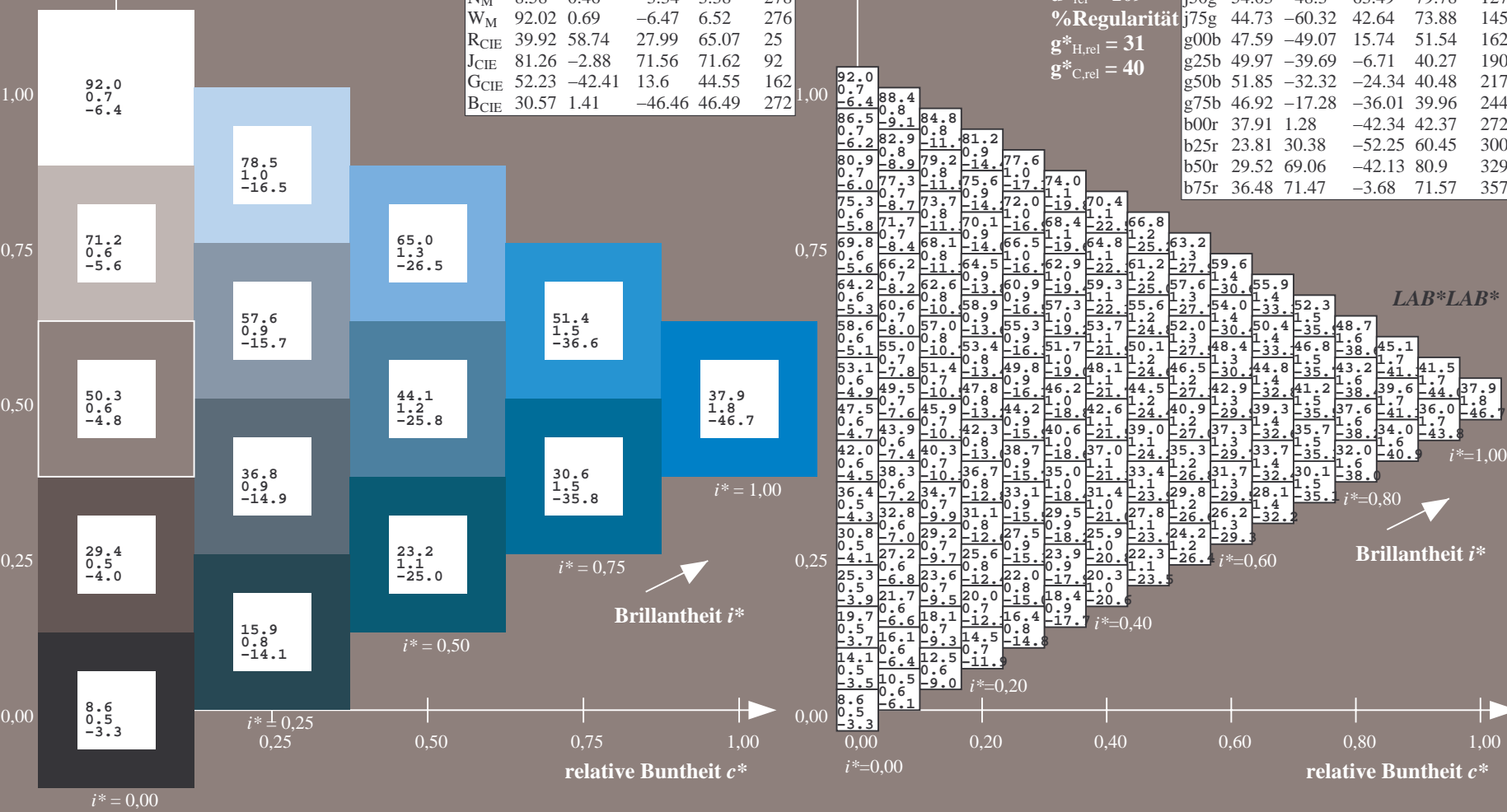
%Regularität

$g^*_{H,rel} = 31$

$g^*_{C,rel} = 40$

FRS09_92a; adaptierte CIELAB-Daten

	$L^*=L^*_a$	a^*_a	b^*_a	$C^*_{ab,a}$	$h^*_{ab,a}$
r00j	35.47	63.32	30.17	70.15	25
r25j	39.12	54.56	49.45	73.64	42
r50j	50.64	39.15	64.89	75.79	59
r75j	64.01	21.26	82.83	85.52	76
j00g	83.18	-4.37	108.53	108.62	92
j25g	66.73	-29.88	83.06	88.28	110
j50g	54.03	-48.3	63.49	79.78	127
j75g	44.73	-60.32	42.64	73.88	145
g00b	47.59	-49.07	15.74	51.54	162
g25b	49.97	-39.69	-6.71	40.27	190
g50b	51.85	-32.32	-24.34	40.48	217
g75b	46.92	-17.28	-36.01	39.96	244
b00r	37.91	1.28	-42.34	42.37	272
b25r	23.81	30.38	-52.25	60.45	300
b50r	29.52	69.06	-42.13	80.9	329
b75r	36.48	71.47	-3.68	71.57	357



Siehe ähnliche Dateien: <http://www.ps.bam.de/Dg96/>; www.ps.bam.de/Dg.HTM
Technische Information: <http://www.ps.bam.de> Version 2.1, io=1, ColSp=0

BAM-Registrierung: 20080701-Dg96/10L/L96G00NP.PS/ .PDF BAM-Material: Code=rha4ta
- Anwendung für Beurteilung und Messung von Drucker- oder Monitorsystemen

Ein und Ausgabe: Farbmétrisches Drucker-Reflektiv-System FRS09_92a für relativen CIELAB-Buntton $h^* = lab^*h^* = h_{ab}/360 = 300/360 = 0.834$

Daten für jede Farbe:

*lab*tch** und *lab*icu**

Elementar-Bunttontext:

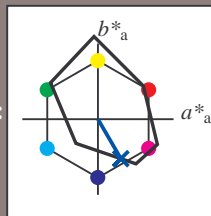
$$u^* = b25r$$

Kontrastreduzierungsfaktor:

$$c_{\mathbf{p}} = 1.0$$

K Dreiecks-Helligkeit t^*

Greens Malignant?

FRS09_92; CIELAB-Daten

	$L^*=L^*$	a^*	b^*	C^*_{ab}	h^*_{ab}
O _M	35.06	60.53	39.66	72.37	33
Y _M	83.77	-4.49	103.15	103.25	92
L _M	44.13	-62.1	43.56	75.86	145
C _M	52.66	-28.55	-36.98	46.73	232
V _M	14.15	50.78	-62.59	80.61	309
M _M	37.37	79.18	-37.92	87.8	334
N _M	9.58	0.46	-3.34	3.38	278
W _M	82.02	0.69	-6.47	6.52	276
R _{CIE}	39.92	58.74	27.99	65.07	25
J _{CIE}	81.26	-2.88	71.56	71.62	92
G _{CIE}	52.23	-42.41	13.6	44.55	162
B _{CIE}	30.57	1.41	-46.46	46.49	272

Daten für Maximalfarbe (Ma):

*LAB*LAB**_{MC}: 24 30 -51

LAB*LAB Ma. 24 50 31

LAB*LCH*Ma: 24 60 30

*lab*rgb*_{Ma}: 0.5 0.0 1.0

*lab*olv**Ma: 0.0 0.25 1.0

Dreiecks-Helligkeit t^*

Directs Attention:

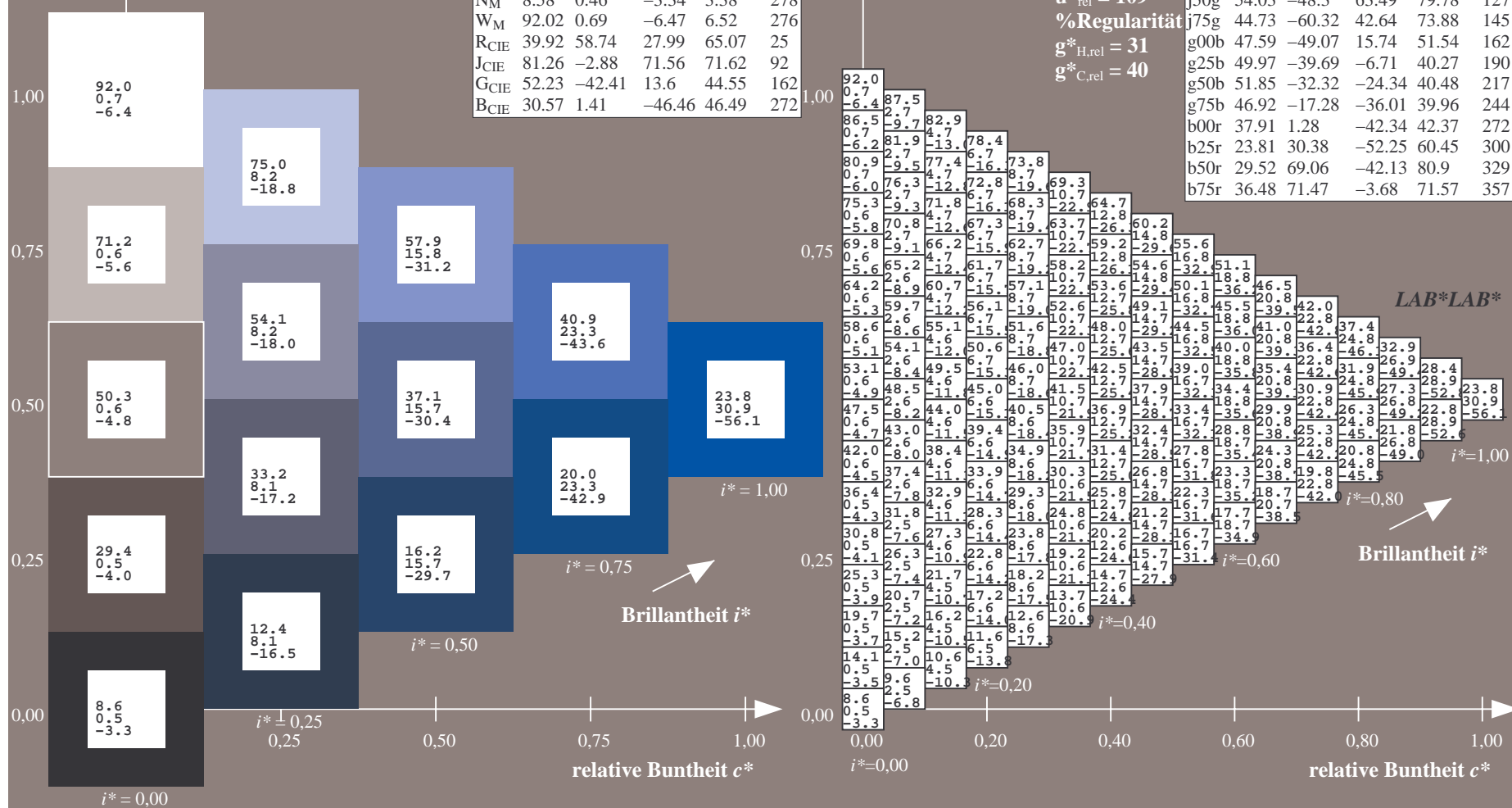
%Umfang

$$\mathbf{u}_{\text{rel}}^* = 109$$

%Regular

$$g^*_{H,rel} = 31$$
$$g^*_{C,rel} = 40$$
FRS09_92a; adaptierte CIELAB-Daten

	$L^*=L_a^*$	a_a^*	b_a^*	$C^*_{ab,a}$	$h^*_{ab,a}$
r00j	35.47	63.32	30.17	70.15	25
r25j	39.12	54.56	49.45	73.64	42
r50j	50.64	39.15	64.89	75.79	59
r75j	64.01	21.26	82.83	85.52	76
j00g	83.18	-4.37	108.53	108.62	92
j25g	66.73	-29.88	83.06	88.28	110
j50g	54.03	-48.3	63.49	79.78	127
j75g	44.73	-60.32	42.64	73.88	145
g00b	47.59	-49.07	15.74	51.54	162
g25b	49.97	-39.69	-6.71	40.27	190
g50b	51.85	-32.32	-24.34	40.48	217
g75b	46.92	-17.28	-36.01	39.96	244
b00r	37.91	1.28	-42.34	42.37	272
b25r	23.81	30.38	-52.25	60.45	300
b50r	29.52	69.06	-42.13	80.9	329
b75r	36.48	71.47	-3.68	71.57	357



Ein und Ausgabe: Farbmetrisches Drucker-Reflektiv-System FRS09_92a für relativen CIELAB-Buntton $h^* = lab^*h^* = h_{ab}/360 = 329/360 = 0.913$ $u^* = b50r$

Daten für jede Farbe:

lab^*ch^* und lab^*icu^*

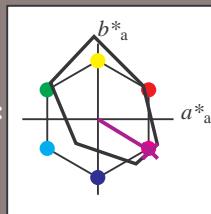
Elementar-Bunttontext:

$u^* = b50r$

Kontrastreduzierungsfaktor:

$c_R = 1.0$

Dreiecks-Helligkeit i^*



FRS09_92; CIELAB-Daten

	$L^*=L^*$	a^*	b^*	C^*_{ab}	h^*_{ab}
O _M	35.06	60.53	39.66	72.37	33
Y _M	83.77	-4.49	103.15	103.25	92
L _M	44.13	-62.1	43.56	75.86	145
C _M	52.66	-28.55	-36.98	46.73	232
V _M	14.15	50.78	-62.59	80.61	309
M _M	37.37	79.18	-37.92	87.8	334
N _M	8.58	0.46	-3.34	3.38	278
W _M	92.02	0.69	-6.47	6.52	276
R _{CIE}	39.92	58.74	27.99	65.07	25
J _{CIE}	81.26	-2.88	71.56	71.62	92
G _{CIE}	52.23	-42.41	13.6	44.55	162
B _{CIE}	30.57	1.41	-46.46	46.49	272

Daten für Maximalfarbe (Ma):

$LAB^*LAB^*_{Ma}$: 30 69 -41

$LAB^*LCH^*_{Ma}$: 30 81 329

$lab^*rgb^*_{Ma}$: 1.0 0.0 1.0

$lab^*olv^*_{Ma}$: 0.66 0.0 1.0

Dreiecks-Helligkeit i^*

%Umfang

$u^*_{rel} = 109$

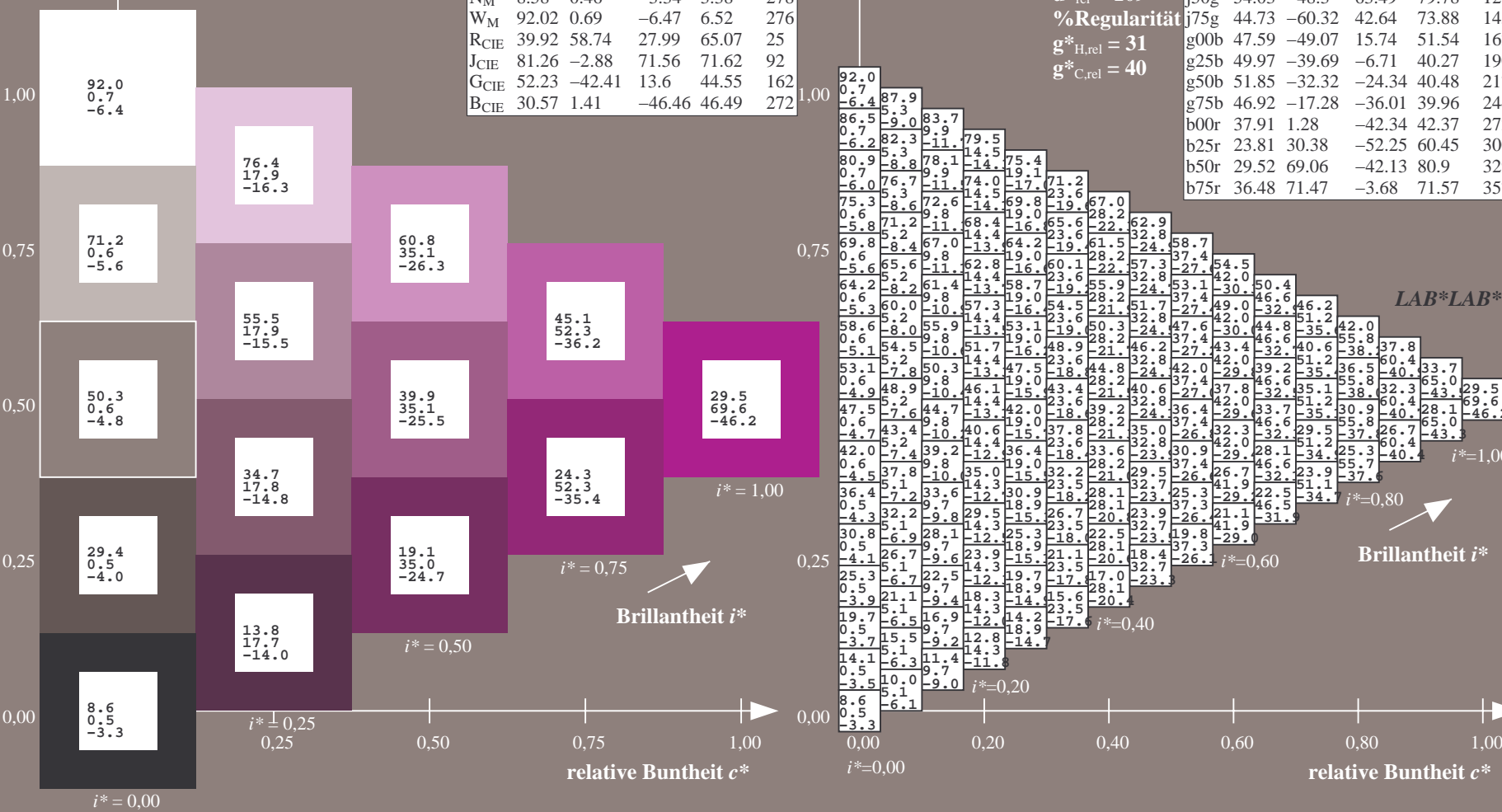
%Regularität

$g^*_{H,rel} = 31$

$g^*_{C,rel} = 40$

FRS09_92a; adaptierte CIELAB-Daten

	$L^*=L^*_a$	a^*_a	b^*_a	$C^*_{ab,a}$	$h^*_{ab,a}$
r00j	35.47	63.32	30.17	70.15	25
r25j	39.12	54.56	49.45	73.64	42
r50j	50.64	39.15	64.89	75.79	59
r75j	64.01	21.26	82.83	85.52	76
j00g	83.18	-4.37	108.53	108.62	92
j25g	66.73	-29.88	83.06	88.28	110
j50g	54.03	-48.3	63.49	79.78	127
j75g	44.73	-60.32	42.64	73.88	145
g00b	47.59	-49.07	15.74	51.54	162
g25b	49.97	-39.69	-6.71	40.27	190
g50b	51.85	-32.32	-24.34	40.48	217
g75b	46.92	-17.28	-36.01	39.96	244
b00r	37.91	1.28	-42.34	42.37	272
b25r	23.81	30.38	-52.25	60.45	300
b50r	29.52	69.06	-42.13	80.9	329
b75r	36.48	71.47	-3.68	71.57	357



Ein und Ausgabe: Farbmetrisches Drucker-Reflektiv-System FRS09_92a für relativen CIELAB-Buntton $h^* = lab^*h^* = h_{ab}/360 = 357/360 = 0.992$ $u^* = b75r$

Daten für jede Farbe:

lab^*ch^* und lab^*icu^*

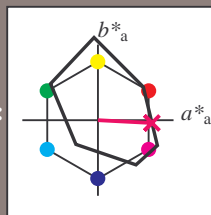
Elementar-Bunttontext:

$u^* = b75r$

Kontrastreduzierungsfaktor:

$c_R = 1.0$

Dreiecks-Helligkeit i^*



FRS09_92; CIELAB-Daten					
	$L^*=L^*$	a^*	b^*	C^*_{ab}	h^*_{ab}
O _M	35.06	60.53	39.66	72.37	33
Y _M	83.77	-4.49	103.15	103.25	92
L _M	44.13	-62.1	43.56	75.86	145
C _M	52.66	-28.55	-36.98	46.73	232
V _M	14.15	50.78	-62.59	80.61	309
M _M	37.37	79.18	-37.92	87.8	334
N _M	8.58	0.46	-3.34	3.38	278
W _M	92.02	0.69	-6.47	6.52	276
R _{CIE}	39.92	58.74	27.99	65.07	25
J _{CIE}	81.26	-2.88	71.56	71.62	92
G _{CIE}	52.23	-42.41	13.6	44.55	162
B _{CIE}	30.57	1.41	-46.46	46.49	272

Daten für Maximalfarbe (Ma):

$LAB^*LAB^*_{Ma}$: 36 71 -3

$LAB^*LCH^*_{Ma}$: 36 72 357

$lab^*rgb^*_{Ma}$: 1.0 0.0 0.5

$lab^*olv^*_{Ma}$: 1.0 0.0 0.62

Dreiecks-Helligkeit i^*

%Umfang

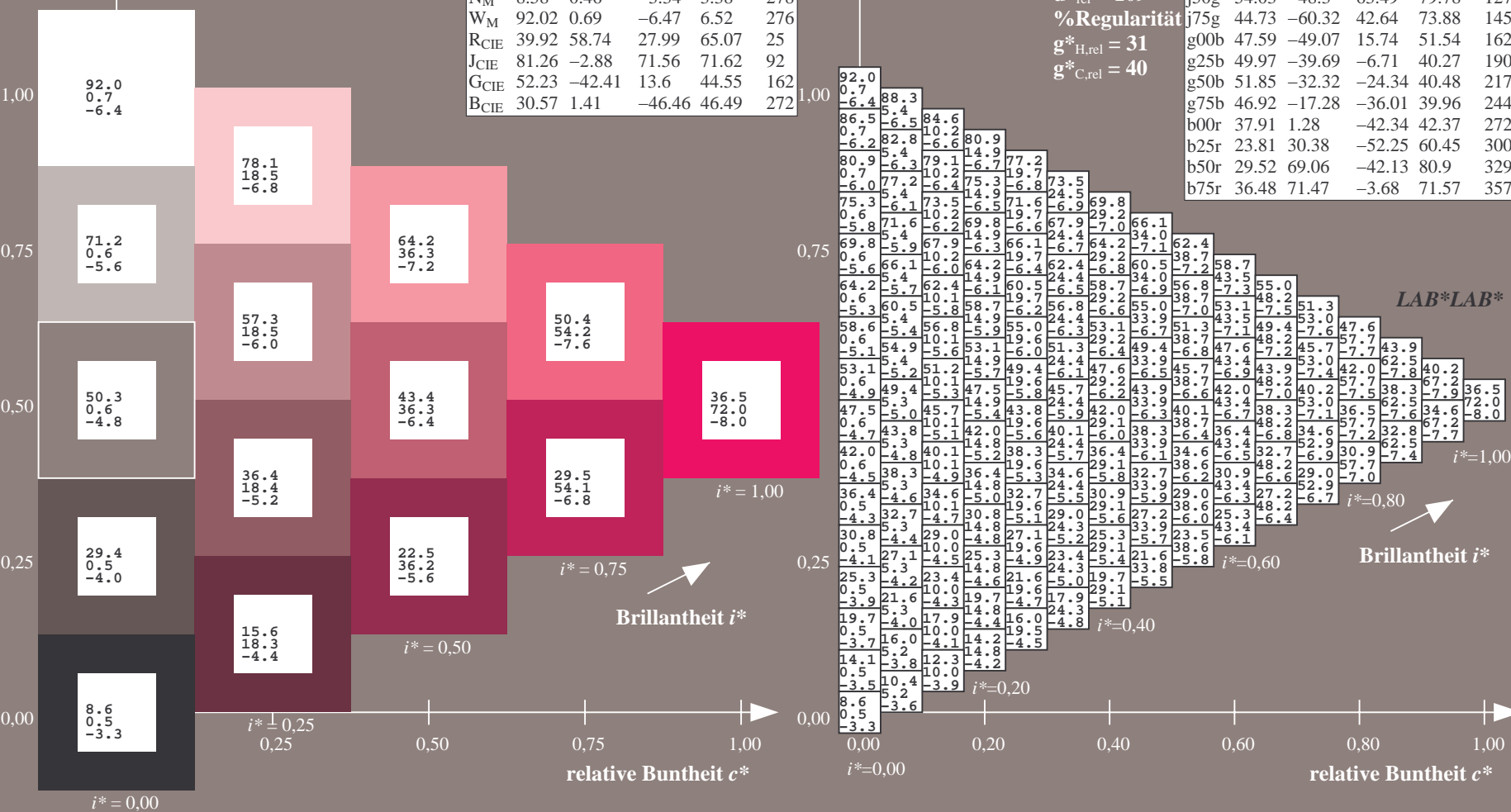
$u^*_{rel} = 109$

%Regularität

$g^*_{H,rel} = 31$

$g^*_{C,rel} = 40$

FRS09_92a; adaptierte CIELAB-Daten					
	$L^*=L^*_a$	a^*_a	b^*_a	$C^*_{ab,a}$	$h^*_{ab,a}$
r00j	35.47	63.32	30.17	70.15	25
r25j	39.12	54.56	49.45	73.64	42
r50j	50.64	39.15	64.89	75.79	59
r75j	64.01	21.26	82.83	85.52	76
j00g	83.18	-4.37	108.53	108.62	92
j25g	66.73	-29.88	83.06	88.28	110
j50g	54.03	-48.3	63.49	79.78	127
j75g	44.73	-60.32	42.64	73.88	145
g00b	47.59	-49.07	15.74	51.54	162
g25b	49.97	-39.69	-6.71	40.27	190
g50b	51.85	-32.32	-24.34	40.48	217
g75b	46.92	-17.28	-36.01	39.96	244
b00r	37.91	1.28	-42.34	42.37	272
b25r	23.81	30.38	-52.25	60.45	300
b50r	29.52	69.06	-42.13	80.9	329
b75r	36.48	71.47	-3.68	71.57	357

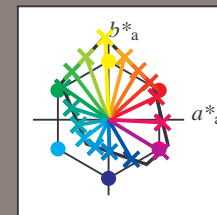


Siehe ähnliche Dateien: <http://www.ps.bam.de/Dg96/>; www.ps.bam.de/Dg96/10L/L96G00NP.PS/.PDF BAM-Material: Code=rh4ta
Technische Information: <http://www.ps.bam.de/Version 2.1, io=1.1, ColSpX=0>

	A	B	C	D	E	F	G	H	I	J	K	L	M	N	O	P	Q	R	S	T	U	V	W	X	Y	Z	a	b	c	d	e	f	g	h	i	j	k	LAB*LAB*		
01	8.6	13.0	17.5	21.9	26.4	30.8	35.2	39.7	44.1	48.5	52.9	57.3	61.7	66.1	70.5	74.9	79.3	83.7	88.1	92.5	96.9	101.3	105.7	110.1	114.5	118.9	123.3	127.7	132.1	136.5	140.9	145.3	149.7	154.1	158.5	162.9	167.3	171.7	176.1	180.5
02	0.5	-7.3	-15.1	-22.9	-30.7	-38.5	-46.4	-54.2	-62.0	-69.8	-77.6	-85.4	-93.2	-101.0	-108.8	-116.6	-124.4	-132.2	-140.0	-147.8	-155.6	-163.4	-171.2	-179.0	-186.8	-194.6	-202.4	-210.2	-218.0	-225.8	-233.6	-241.4	-249.2	-257.0	-264.8	-272.6	-280.4	-288.2	-296.0	
03	-3.3	2.5	8.4	14.2	20.1	26.0	31.9	37.8	43.6	49.5	55.4	61.3	67.2	73.1	79.0	84.9	90.8	96.7	102.6	108.5	114.4	120.3	126.2	132.1	138.0	143.9	149.8	155.7	161.6	167.5	173.4	179.3	185.2	191.1	197.0	202.9	208.8	214.7	220.6	
04	9.3	14.1	18.5	23.0	27.4	31.9	36.3	40.8	45.2	49.7	54.1	58.6	63.0	67.5	71.9	76.4	80.8	85.3	89.7	94.2	98.6	103.1	107.5	112.0	116.4	120.9	125.3	129.8	134.2	138.7	143.1	147.6	152.0	156.5	160.9	165.4	169.8	174.3	178.7	
05	-6.7	-3.1	-10.9	-18.7	-26.5	-34.3	-42.2	-50.0	-57.8	-65.6	-73.4	-81.2	-89.0	-96.8	-104.6	-112.4	-120.2	-128.0	-135.8	-143.6	-151.4	-159.2	-167.0	-174.8	-182.6	-190.4	-198.2	-206.0	-213.8	-221.6	-229.4	-237.2	-245.0	-252.8	-260.6	-268.4	-276.2	-284.0		
06	10.7	15.5	20.3	25.1	29.6	34.0	38.4	42.9	47.3	51.8	56.2	60.6	65.0	69.4	73.8	78.3	82.7	87.1	91.5	95.9	100.3	104.7	109.1	113.5	117.9	122.3	126.7	131.1	135.5	139.9	144.3	148.7	153.1	157.5	161.9	166.3	170.7	175.1		
07	-19.3	9.4	-0.4	-10.3	-18.1	-26.0	-33.8	-41.6	-49.4	-57.2	-65.0	-72.8	-80.6	-88.4	-96.2	-104.0	-111.8	-119.6	-127.4	-135.2	-143.0	-150.8	-158.6	-166.4	-174.2	-182.0	-189.8	-197.6	-205.4	-213.2	-221.0	-228.8	-236.6	-244.4	-252.2	-260.0	-267.8			
08	-25.5	-22.3	-19.1	-15.9	-12.7	-9.5	-6.3	-3.1	0.1	3.3	6.5	9.7	12.9	16.1	19.3	22.5	25.7	28.9	32.1	35.3	38.5	41.7	44.9	48.1	51.3	54.5	57.7	60.9	64.1	67.3	70.5	73.7	76.9	80.1	83.3	86.5	89.7	92.9		
09	11.4	16.2	21.0	25.8	30.6	35.4	40.2	45.0	49.8	54.6	59.4	64.2	69.0	73.8	78.6	83.4	88.2	93.0	97.8	102.6	107.4	112.2	117.0	121.8	126.6	131.4	136.2	141.0	145.8	150.6	155.4	160.2	165.0	169.8	174.6	179.4	184.2	189.0		
10	25.6	15.7	5.8	-4.0	-13.9	-23.8	-33.7	-43.6	-53.5	-63.4	-73.3	-83.2	-93.1	-103.0	-112.9	-122.8	-132.7	-142.6	-152.5	-162.4	-172.3	-182.2	-192.1	-202.0	-211.9	-221.8	-231.7	-241.6	-251.5	-261.4	-271.3	-281.2	-291.1	-301.0	-310.9	-320.8	-330.7			
11	-32.9	-29.7	-26.5	-23.3	-20.1	-16.9	-13.7	-10.5	-7.3	-4.1	0.1	3.3	6.5	9.7	12.9	16.1	19.3	22.5	25.7	28.9	32.1	35.3	38.5	41.7	44.9	48.1	51.3	54.5	57.7	60.9	64.1	67.3	70.5	73.7	76.9	80.1	83.3			
12	12.1	16.9	21.7	26.5	31.3	36.1	40.9	45.7	50.5	55.3	60.1	64.9	69.7	74.5	79.3	84.1	88.9	93.7	98.5	103.3	108.1	112.9	117.7	122.5	127.3	132.1	136.9	141.7	146.5	151.3	156.1	160.9	165.7	170.5	175.3	180.1	184.9			
13	31.9	22.0	12.1	2.2	-7.7	-17.6	-25.4	-33.2	-41.0	-48.8	-56.6	-64.4	-72.2	-80.0	-87.8	-95.6	-103.4	-111.2	-119.0	-126.8	-134.6	-142.4	-150.2	-158.0	-165.8	-173.6	-181.4	-189.2	-197.0	-204.8	-212.6	-220.4	-228.2	-236.0	-243.8	-251.6				
14	-40.3	-37.1	-33.9	-30.7	-27.5	-24.3	-21.1	-17.9	-14.7	-11.5	-8.3	-5.1	-1.9	1.3	4.1	6.9	9.7	12.5	15.3	18.1	20.9	23.7	26.5	29.3	32.1	34.9	37.7	40.5	43.3	46.1	48.9	51.7	54.5	57.3	60.1	62.9	65.7			
15	12.8	17.6	22.4	27.2	32.0	36.8	41.6	46.4	51.2	56.0	60.8	65.6	70.4	75.2	80.0	84.8	89.6	94.4	99.2	104.0	108.8	113.6	118.4	123.2	128.0	132.8	137.6	142.4	147.2	152.0	156.8	161.6	166.4	171.2	176.0	180.8	185.6			
16	47.7	44.5	41.3	38.1	34.9	31.7	28.5	25.3	22.1	18.9	15.7	12.5	9.3	6.1	2.9	-0.3	-3.5	-6.7	-9.9	-13.1	-16.3	-19.5	-22.7	-25.9	-29.1	-32.3	-35.5	-38.7	-41.9	-45.1	-48.3	-51.5	-54.7	-57.9	-61.1	-64.3	-67.5			
17	43.5	38.3	33.1	27.9	32.7	37.5	42.3	47.1	51.9	56.7	61.5	66.3	71.1	75.9	80.7	85.5	90.3	95.1	99.9	104.7	109.5	114.3	119.1	123.9	128.7	133.5	138.3	143.1	147.9	152.7	157.5	162.3	167.1	171.9	176.7	181.5	186.3			
18	14.2	19.0	23.8	28.6	33.4	38.2	43.0	47.8	52.6	57.4	62.2	67.0	71.8	76.6	81.4	86.2	91.0	95.8	100.6	105.4	110.2	115.0	119.8	124.6	129.4	134.2	139.0	143.8	148.6	153.4	158.2	163.0	167.8	172.6	177.4	182.2	187.0			
19	50.8	40.9	30.9	21.0	11.1	1.2	-8.6	-18.5	-28.4	-38.3	-48.2	-58.1	-68.0	-77.9	-87.8	-97.7	-107.6	-117.5	-127.4	-137.3	-147.2	-157.1	-167.0	-176.9	-186.8	-196.7	-206.6	-216.5	-226.4	-236.3	-246.2	-256.1	-266.0	-275.9	-285.8					
20	-62.5	-59.3	-56.1	-52.9	-49.7	-46.5	-43.3	-40.1	-36.9	-33.7	-30.5	-27.3	-24.1	-20.9	-17.7	-14.5	-11.3	-8.1	-4.9	-1.7	1.5	4.3	7.1	9.9	12.7	15.5	18.3	21.1	23.9	26.7	29.5	32.3	35.1	37.9	40.7	43.5				
21	18.5	24.6	30.7	36.8	41.2	45.7	50.1	54.6	59.0	63.4	67.8	72.2	76.6	81.0	85.4	89.8	94.2	98.6	103.0	107.4	111.8	116.2	120.6	125.0	129.4	133.8	138.2	142.6	147.0	151.4	155.8	160.2	164.6	169.0	173.4	177.8				
22	23.0	14.9	6.7	-1.3	-9.1	-16.9	-24.8	-32.6	-40.5	-48.4	-56.3	-64.2	-72.1	-80.0	-87.9	-95.8	-103.7	-111.6	-119.5	-127.4	-135.3	-143.2	-151.1	-159.0	-166.9	-174.8	-182.7	-190.6	-198.5	-206.4	-214.3	-222.2	-230.1	-238.0	-245.9					
23	12.8	20.7	28.6	36.6	42.4	48.3	54.2	60.1	65.9	71.8	77.7	83.6	89.5	95.4	101.3	107.2	113.1	119.0	124.9	130.8	136.7	142.6	148.5	154.4	160.3	166.2	172.1	178.0	183.9	189.8	195.7	201.6	207.5	213.4	219.3	225.2				
24	18.8	25.6	31.7	37.8	42.3	46.7	51.1	55.6	60.0	64.4	68.8	73.2	77.6	82.0	86.4	90.8	95.2	99.6	104.0	108.4	112.8	117.2	121.6	126.0	130.4	134.8	139.2	143.6	148.0	152.4	156.8	161.2	165.6	170.0	174.4	178.8				
25	25.3	15.5	7.4	-0.7	-8.5	-16.3	-24.1	-31.9	-39.8	-47.6	-55.4	-63.2	-71.0	-78.8	-86.6	-94.4	-102.2	-110.0	-117.8	-125.6	-133.4	-141.2	-149.0	-156.8	-164.6	-172.4	-180.2	-188.0	-195.8	-203.6	-211.4	-219.2	-227.0	-234.8	-242.6					
26	31.7	7.0	14.9	22.9	28.7	34.6	40.5	46.3	52.2	58.1	64.0	69.9	75.8	81.7	87.6	93.5	99.4	105.3	111.2	117.1	123.0	128.9	134.8	140.7	146.6	152.5	158.4	164.3	170.2	176.1	182.0	187.9	193.8	199.7	205.6	211.5				
27	19.1	25.9	32.8	38.8	43.3	47.7	52.2	56.6	61.1	65.5	69.9	74.4	78.8	83.3	87.7	92.1	96.6	101.0	105.4	109.8	114.2	118.6	123.0	127.4	131.8	136.2	140.6	145.0	149.4	153.8	158.2	162.6	167.0	171.4	175.8					
28	27.6	17.8	8.0	0.0	-7.8	-15.7	-23.5	-31.3	-39.1	-46.9	-54.7	-62.5	-70.3	-78.1	-85.9	-93.7	-101.5	-109.3	-117.1	-124.9	-132.7	-140.5	-148.3	-156.1</																

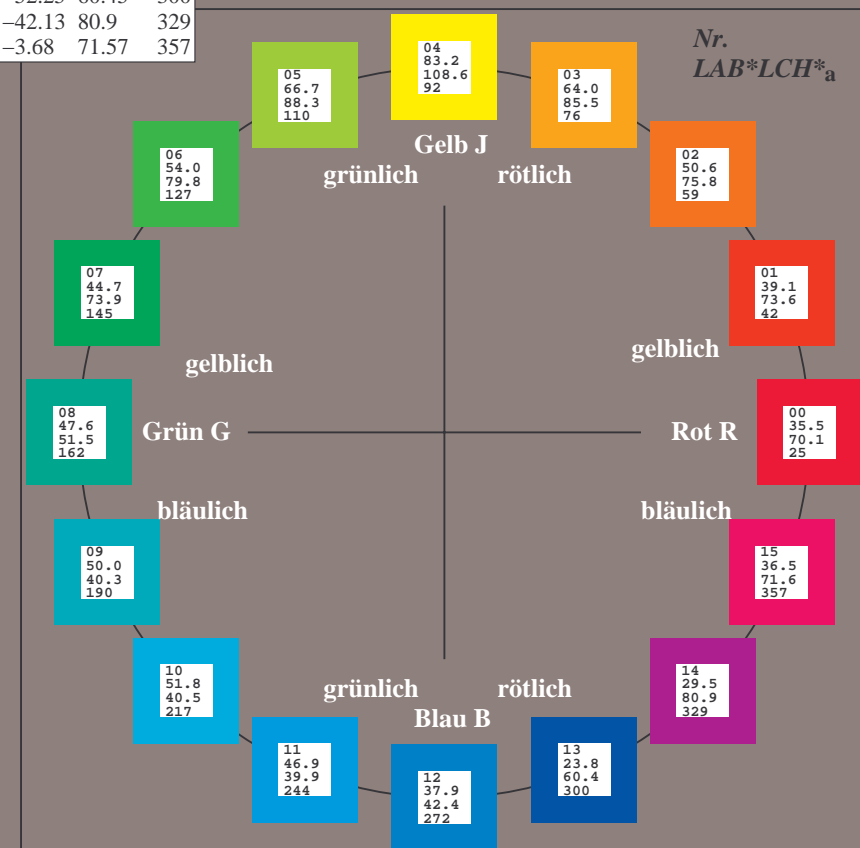
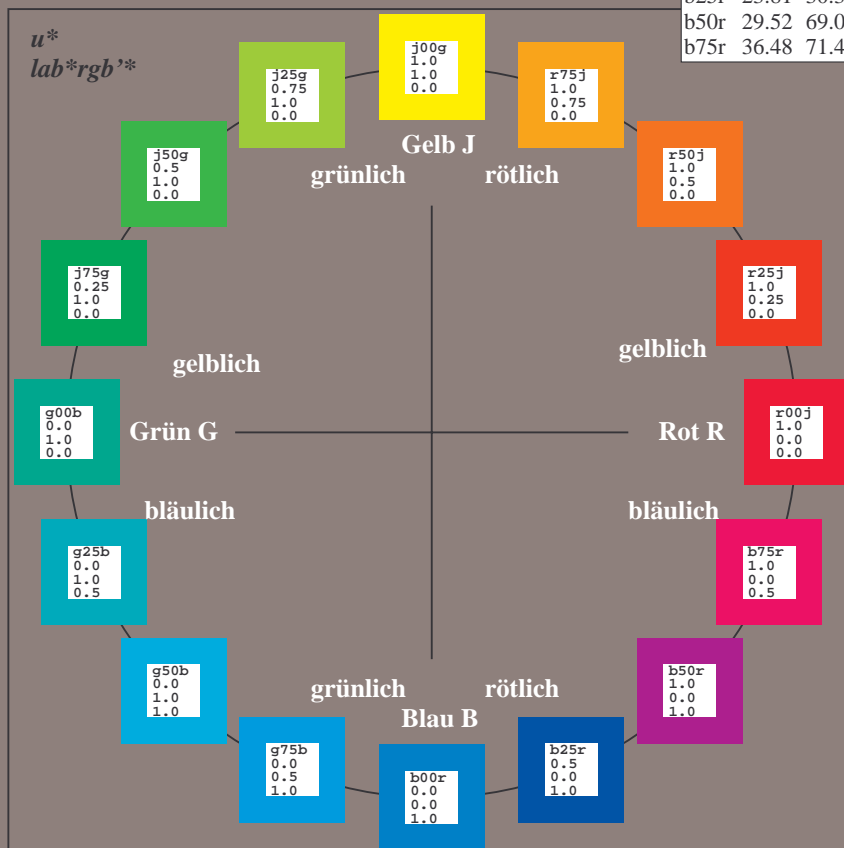
Ein und Ausgabe:
Farbmetrisches Drucker-Reflektiv-System FRS09_92a
Daten für jede Farbe:
*lab*_{rgb}** und *lab*_{icu}**
Elementar-Bunntext:
*u** = 16 Bunttöne *r00j*, *r25j*, ..., *b75r*
Kontrastreduzierungsfaktor:
c_R = 1.0

FRS09_92a; adaptierte CIELAB-Daten					
	<i>L*</i> = <i>L*</i> _a	<i>a*</i> _a	<i>b*</i> _a	<i>C*</i> _{ab,a}	<i>h*</i> _{ab,a}
r00j	35.47	63.32	30.17	70.15	25
r25j	39.12	54.56	49.45	73.64	42
r50j	50.64	39.15	64.89	75.79	59
r75j	64.01	21.26	82.83	85.52	76
j00g	83.18	-4.37	108.53	108.62	92
j25g	66.73	-29.88	83.06	88.28	110
j50g	54.03	-48.3	63.49	79.78	127
j75g	44.73	-60.32	42.64	73.88	145
g00b	47.59	-49.07	15.74	51.54	162
g25b	49.97	-39.69	-6.71	40.27	190
g50b	51.85	-32.32	-24.34	40.48	217
g75b	46.92	-17.28	-36.01	39.96	244
b00r	37.91	1.28	-42.34	42.37	272
b25r	23.81	30.38	-52.25	60.45	300
b50r	29.52	69.06	-42.13	80.9	329
b75r	36.48	71.47	-3.68	71.57	357



%Umfang
*u**_{rel} = 109
%Regularität
*g**_{H,rel} = 31
*g**_{C,rel} = 40

FRS09_92a; CIELAB-Daten					
	<i>L*</i> = <i>L*</i>	<i>a*</i>	<i>b*</i>	<i>C*</i> _{ab}	<i>h*</i> _{ab}
O _M	35.06	60.53	39.66	72.37	33
Y _M	83.77	-4.49	103.15	103.25	92
L _M	44.13	-62.1	43.56	75.86	145
C _M	52.66	-28.55	-36.98	46.73	232
V _M	14.15	50.78	-62.59	80.61	309
M _M	37.37	79.18	-37.92	87.8	334
N _M	8.58	0.46	-3.34	3.38	278
W _M	92.02	0.69	-6.47	6.52	276
R _{CIE}	39.92	58.74	27.99	65.07	25
J _{CIE}	81.26	-2.88	71.56	71.62	92
G _{CIE}	52.23	-42.41	13.6	44.55	162
B _{CIE}	30.57	1.41	-46.46	46.49	272



Ein und Ausgabe: Farbmimetrisches Drucker-Reflektiv-System FRS09_92a für relativen CIELAB-Buntton $h^* = \text{lab}^*h^* = h_{ab}/360 = 25/360 = 0.071$ $u^* = r00j$

Daten für jede Farbe:

lab^*ch^* und lab^*icu^*

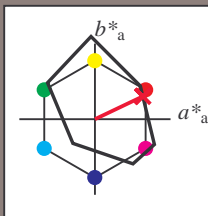
Elementar-Bunttonstext:

$u^* = r00j$

Kontrastreduzierungsfaktor:

$c_R = 1.0$

Dreiecks-Helligkeit i^*



FRS09_92a; CIELAB-Daten					
	$L^*=L^*$	a^*	b^*	C^*_{ab}	h^*_{ab}
O _M	35.06	60.53	39.66	72.37	33
Y _M	83.77	-4.49	103.15	103.25	92
L _M	44.13	-62.1	43.56	75.86	145
C _M	52.66	-28.55	-36.98	46.73	232
V _M	14.15	50.78	-62.59	80.61	309
M _M	37.37	79.18	-37.92	87.8	334
N _M	8.58	0.46	-3.34	3.38	278
W _M	92.02	0.69	-6.47	6.52	276
R _{CIE}	39.92	58.74	27.99	65.07	25
J _{CIE}	81.26	-2.88	71.56	71.62	92
G _{CIE}	52.23	-42.41	13.6	44.55	162
B _{CIE}	30.57	1.41	-46.46	46.49	272

Daten für Maximalfarbe (Ma):

$\text{LAB}^*\text{LAB}^*_{\text{Ma}}$: 35 63 30

$\text{LAB}^*\text{LCH}^*_{\text{Ma}}$: 35 70 25

$\text{lab}^*\text{rgb}^*_{\text{Ma}}$: 1.0 0.0 0.0

$\text{lab}^*\text{olv}^*_{\text{Ma}}$: 1.0 0.0 0.18

Dreiecks-Helligkeit i^*

%Umfang

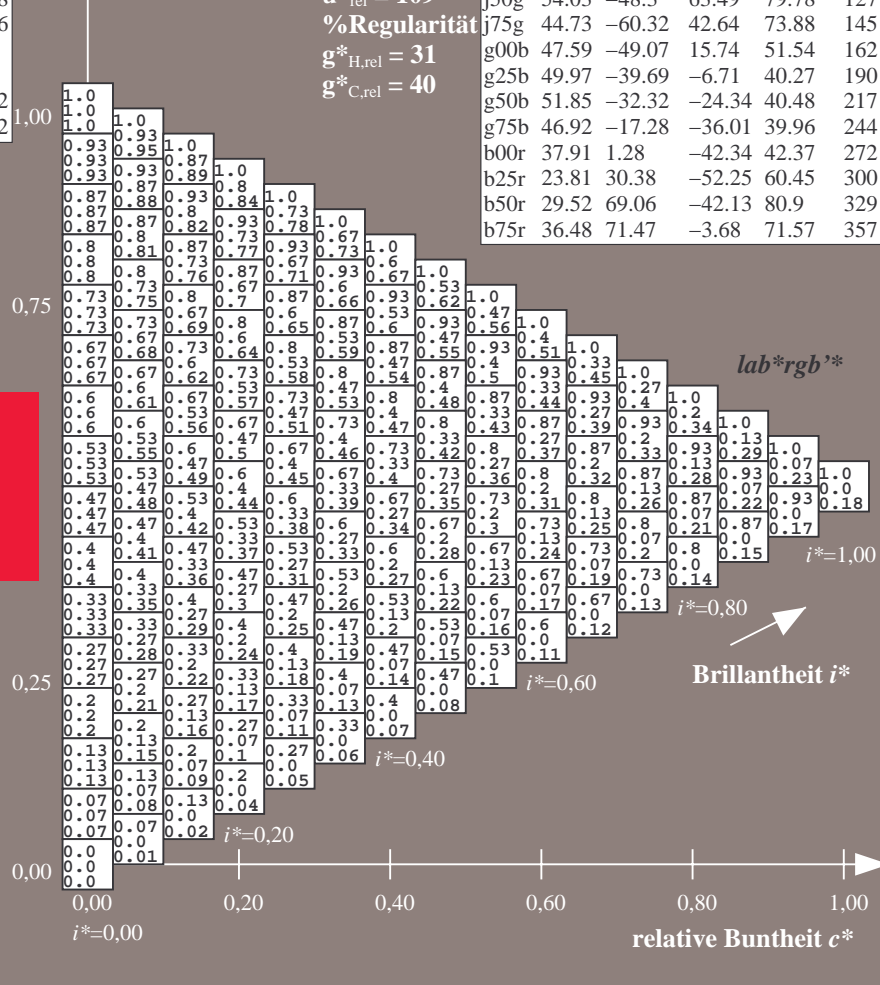
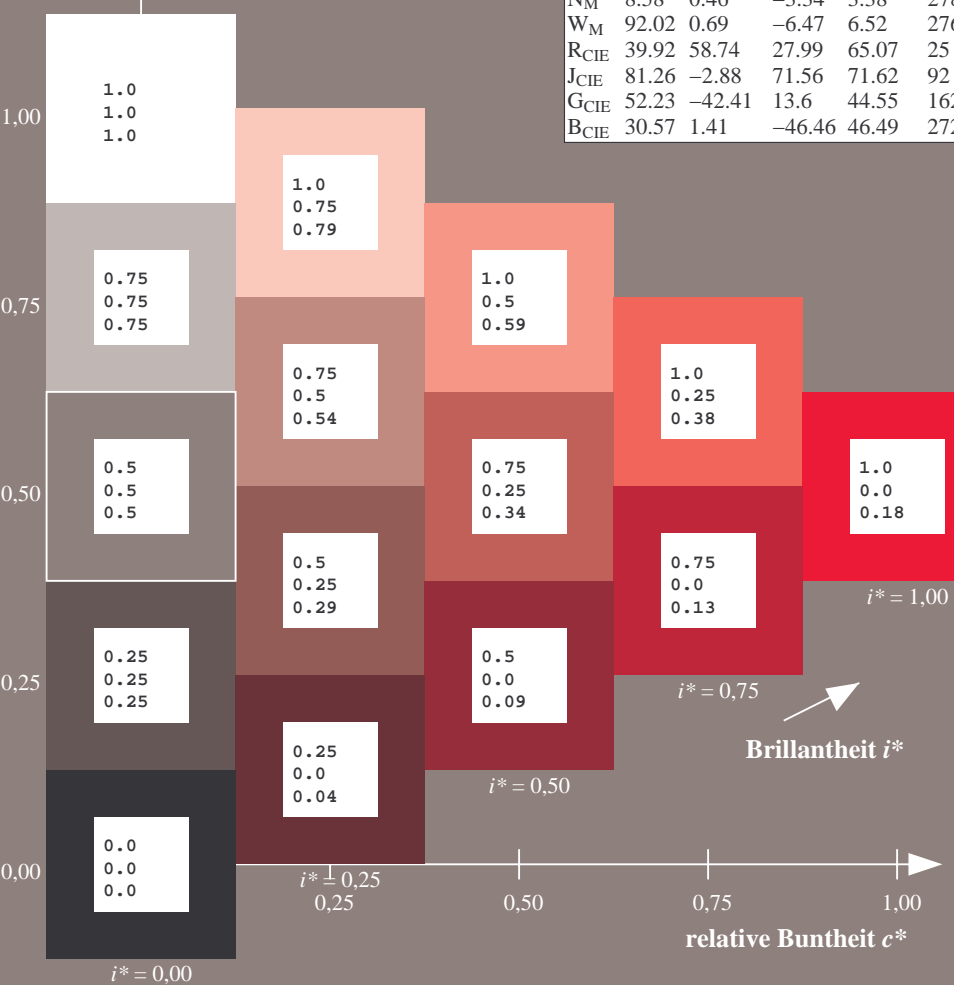
$u^*_{\text{rel}} = 109$

%Regularität

$g^*_{H,\text{rel}} = 31$

$g^*_{C,\text{rel}} = 40$

FRS09_92a; adaptierte CIELAB-Daten					
	$L^*=L^*_a$	a^*_a	b^*_a	$C^*_{ab,a}$	$h^*_{ab,a}$
r00j	35.47	63.32	30.17	70.15	25
r25j	39.12	54.56	49.45	73.64	42
r50j	50.64	39.15	64.89	75.79	59
r75j	64.01	21.26	82.83	85.52	76
j00g	83.18	-4.37	108.53	108.62	92
j25g	66.73	-29.88	83.06	88.28	110
j50g	54.03	-48.3	63.49	79.78	127
j75g	44.73	-60.32	42.64	73.88	145
g00b	47.59	-49.07	15.74	51.54	162
g25b	49.97	-39.69	-6.71	40.27	190
g50b	51.85	-32.32	-24.34	40.48	217
g75b	46.92	-17.28	-36.01	39.96	244
b00r	37.91	1.28	-42.34	42.37	272
b25r	23.81	30.38	-52.25	60.45	300
b50r	29.52	69.06	-42.13	80.9	329
b75r	36.48	71.47	-3.68	71.57	357



Ein und Ausgabe: Farbmimetrisches Drucker-Reflektiv-System FRS09_92a für relativen CIELAB-Buntton $h^* = \text{lab}^*h^* = h_{ab}/360 = 42/360 = 0.117$ $u^* = r25j$

Daten für jede Farbe:

lab^*ch^* und lab^*icu^*

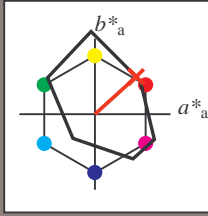
Elementar-Bunttonstext:

$u^* = r25j$

Kontrastreduzierungsfaktor:

$c_R = 1.0$

Dreiecks-Helligkeit i^*



FRS09_92a; CIELAB-Daten					
	$L^*=L^*$	a^*	b^*	C^*_{ab}	h^*_{ab}
O _M	35.06	60.53	39.66	72.37	33
Y _M	83.77	-4.49	103.15	103.25	92
L _M	44.13	-62.1	43.56	75.86	145
C _M	52.66	-28.55	-36.98	46.73	232
V _M	14.15	50.78	-62.59	80.61	309
M _M	37.37	79.18	-37.92	87.8	334
N _M	8.58	0.46	-3.34	3.38	278
W _M	92.02	0.69	-6.47	6.52	276
R _{CIE}	39.92	58.74	27.99	65.07	25
J _{CIE}	81.26	-2.88	71.56	71.62	92
G _{CIE}	52.23	-42.41	13.6	44.55	162
B _{CIE}	30.57	1.41	-46.46	46.49	272

Daten für Maximalfarbe (Ma):

$\text{LAB}^*\text{LAB}^*_{Ma}$: 39 55 49

$\text{LAB}^*\text{LCH}^*_{Ma}$: 39 74 42

$\text{lab}^*\text{rgb}^*_{Ma}$: 1.0 0.25 0.0

$\text{lab}^*\text{olv}^*_{Ma}$: 1.0 0.08 0.0

Dreiecks-Helligkeit i^*

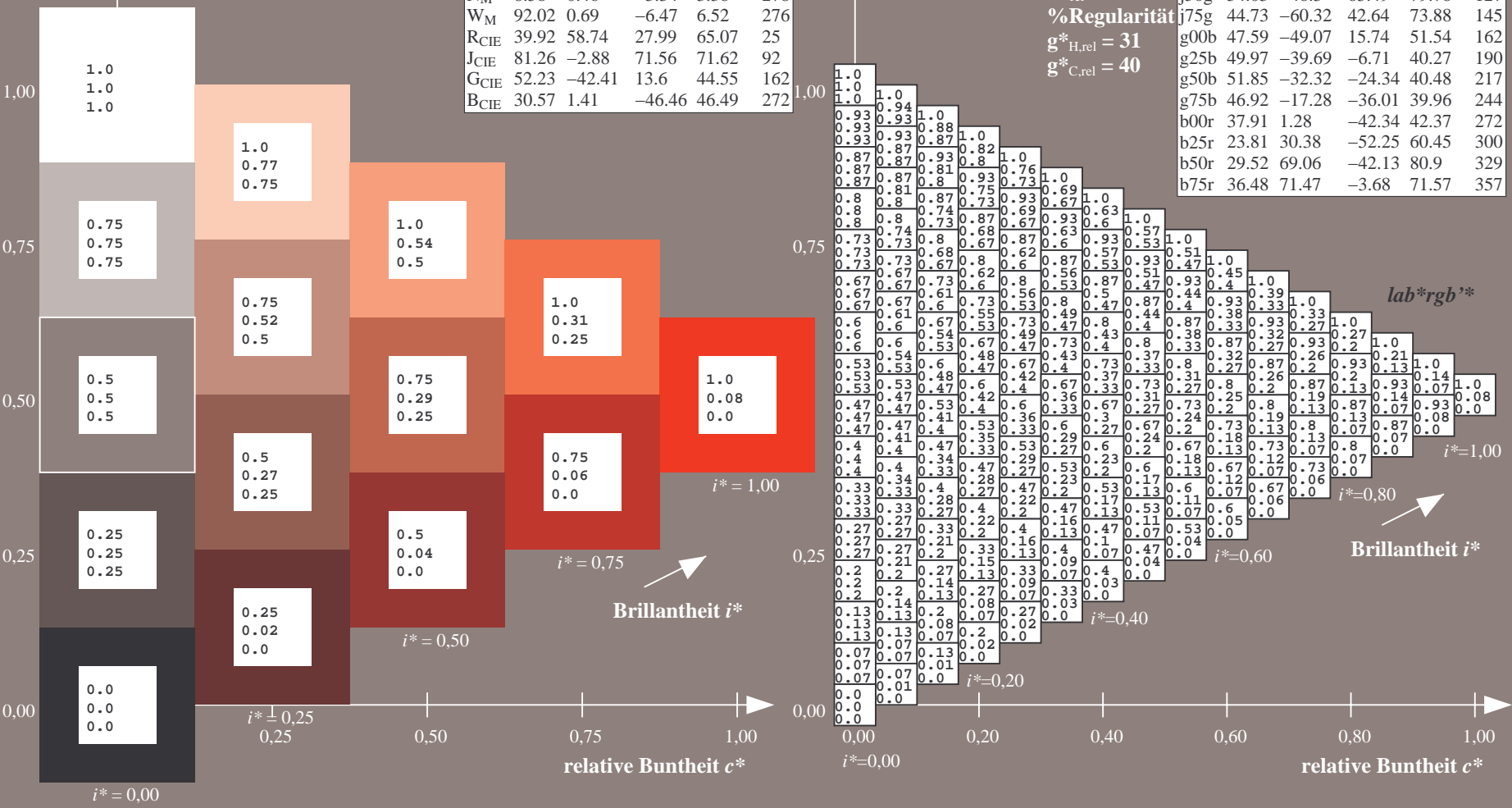
%Umfang

$u^*_{rel} = 109$

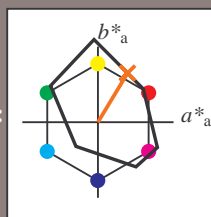
%Regularität

$g^*_{H,rel} = 31$

$g^*_{C,rel} = 40$



Ein und Ausgabe: Farbmetrisches Drucker-Reflektiv-System FRS09_92a für relativen CIELAB-Buntton $h^* = lab^*h^* = h_{ab}/360 = 59/360 = 0.164$ $u^* = r50j$
Daten für jede Farbe:
 lab^*ch^* und lab^*icu^*
Elementar-Bunttontext:
 $u^* = r50j$
Kontrastreduzierungsfaktor:
 $c_R = 1.0$
Dreiecks-Helligkeit i^*



FRS09_92a; CIELAB-Daten					
	$L^*=L^*$	a^*	b^*	C^*_{ab}	h^*_{ab}
O _M	35.06	60.53	39.66	72.37	33
Y _M	83.77	-4.49	103.15	103.25	92
L _M	44.13	-62.1	43.56	75.86	145
C _M	52.66	-28.55	-36.98	46.73	232
V _M	14.15	50.78	-62.59	80.61	309
M _M	37.37	79.18	-37.92	87.8	334
N _M	8.58	0.46	-3.34	3.38	278
W _M	92.02	0.69	-6.47	6.52	276
R _{CIE}	39.92	58.74	27.99	65.07	25
J _{CIE}	81.26	-2.88	71.56	71.62	92
G _{CIE}	52.23	-42.41	13.6	44.55	162
B _{CIE}	30.57	1.41	-46.46	46.49	272

Daten für Maximalfarbe (Ma):

$LAB^*LAB^*_{Ma}$: 51 39 65

$LAB^*LCH^*_{Ma}$: 51 76 59

$lab^*rgb^*_{Ma}$: 1.0 0.5 0.0

$lab^*olv^*_{Ma}$: 1.0 0.32 0.0

Dreiecks-Helligkeit i^*

%Umfang

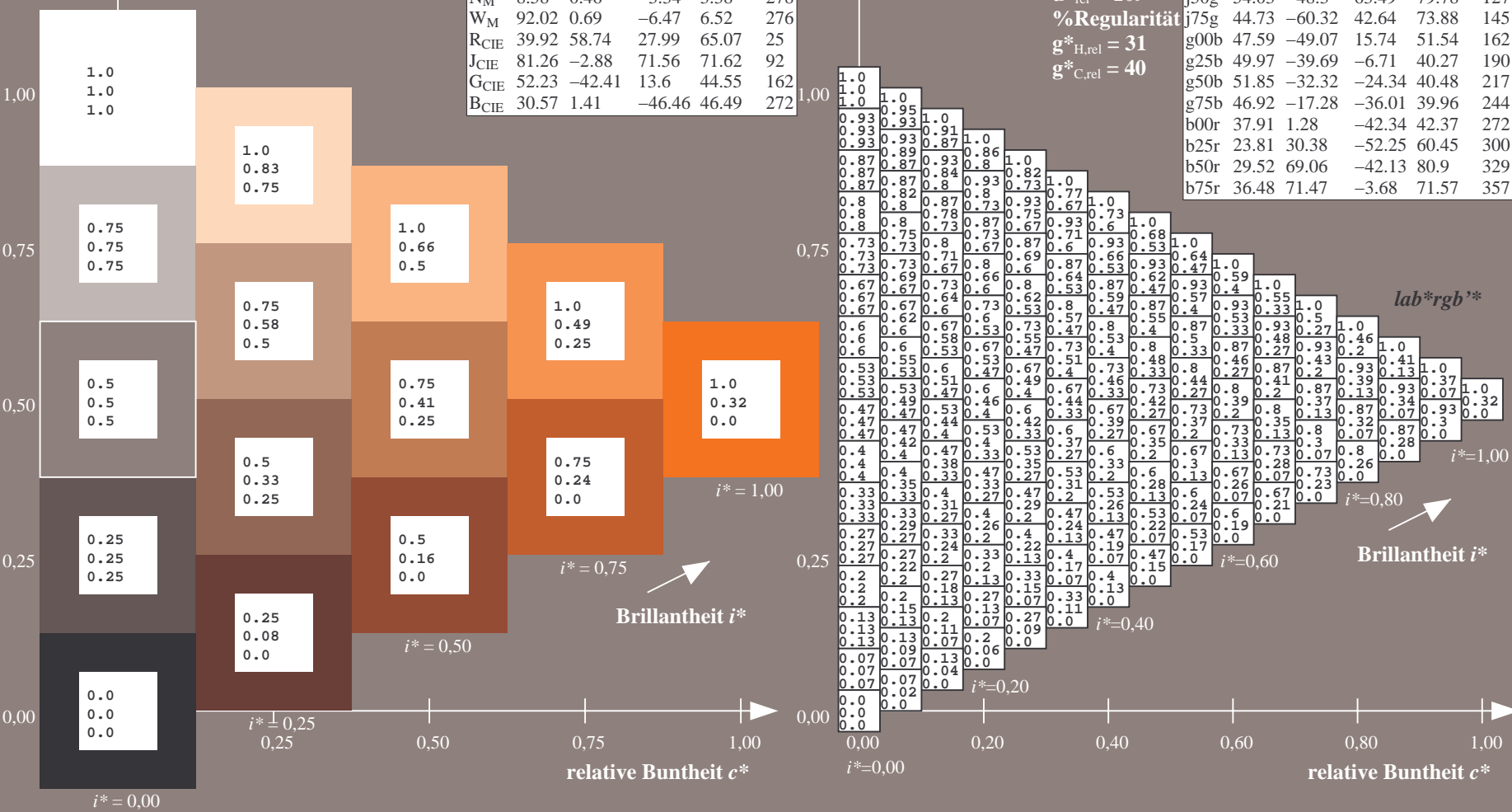
$u^*_{rel} = 109$

%Regularität

$g^*_{H,rel} = 31$

$g^*_{C,rel} = 40$

FRS09_92a; adaptierte CIELAB-Daten					
	$L^*=L^*_a$	a^*_a	b^*_a	$C^*_{ab,a}$	$h^*_{ab,a}$
r00j	35.47	63.32	30.17	70.15	25
r25j	39.12	54.56	49.45	73.64	42
r50j	50.64	39.15	64.89	75.79	59
r75j	64.01	21.26	82.83	85.52	76
j00g	83.18	-4.37	108.53	108.62	92
j25g	66.73	-29.88	83.06	88.28	110
j50g	54.03	-48.3	63.49	79.78	127
j75g	44.73	-60.32	42.64	73.88	145
g00b	47.59	-49.07	15.74	51.54	162
g25b	49.97	-39.69	-6.71	40.27	190
g50b	51.85	-32.32	-24.34	40.48	217
g75b	46.92	-17.28	-36.01	39.96	244
b00r	37.91	1.28	-42.34	42.37	272
b25r	23.81	30.38	-52.25	60.45	300
b50r	29.52	69.06	-42.13	80.9	329
b75r	36.48	71.47	-3.68	71.57	357



Ein und Ausgabe: Farbmetrisches Drucker-Reflektiv-System FRS09_92a für relativen CIELAB-Buntton $h^* = lab^*h^* = h_{ab}/360 = 76/360 = 0.21$

Daten für jede Farbe:

lab^*ch^* und lab^*icu^*

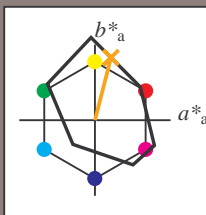
Elementar-Bunttontext:

$u^* = r75j$

Kontrastreduzierungsfaktor:

$c_R = 1.0$

Dreiecks-Helligkeit t^*



FRS09_92a; CIELAB-Daten

	$L^*=L^*$	a^*	b^*	C^*_{ab}	h^*_{ab}
O _M	35.06	60.53	39.66	72.37	33
Y _M	83.77	-4.49	103.15	103.25	92
L _M	44.13	-62.1	43.56	75.86	145
C _M	52.66	-28.55	-36.98	46.73	232
V _M	14.15	50.78	-62.59	80.61	309
M _M	37.37	79.18	-37.92	87.8	334
N _M	8.58	0.46	-3.34	3.38	278
W _M	92.02	0.69	-6.47	6.52	276
R _{CIE}	39.92	58.74	27.99	65.07	25
J _{CIE}	81.26	-2.88	71.56	71.62	92
G _{CIE}	52.23	-42.41	13.6	44.55	162
B _{CIE}	30.57	1.41	-46.46	46.49	272

Daten für Maximalfarbe (Ma):

$LAB^*LAB^*_{Ma}$: 64 21 83

$LAB^*LCH^*_{Ma}$: 64 86 76

$lab^*rgb^*_{Ma}$: 1.0 0.75 0.0

$lab^*olv^*_{Ma}$: 1.0 0.59 0.0

Dreiecks-Helligkeit t^*

%Umfang

$u^*_{rel} = 109$

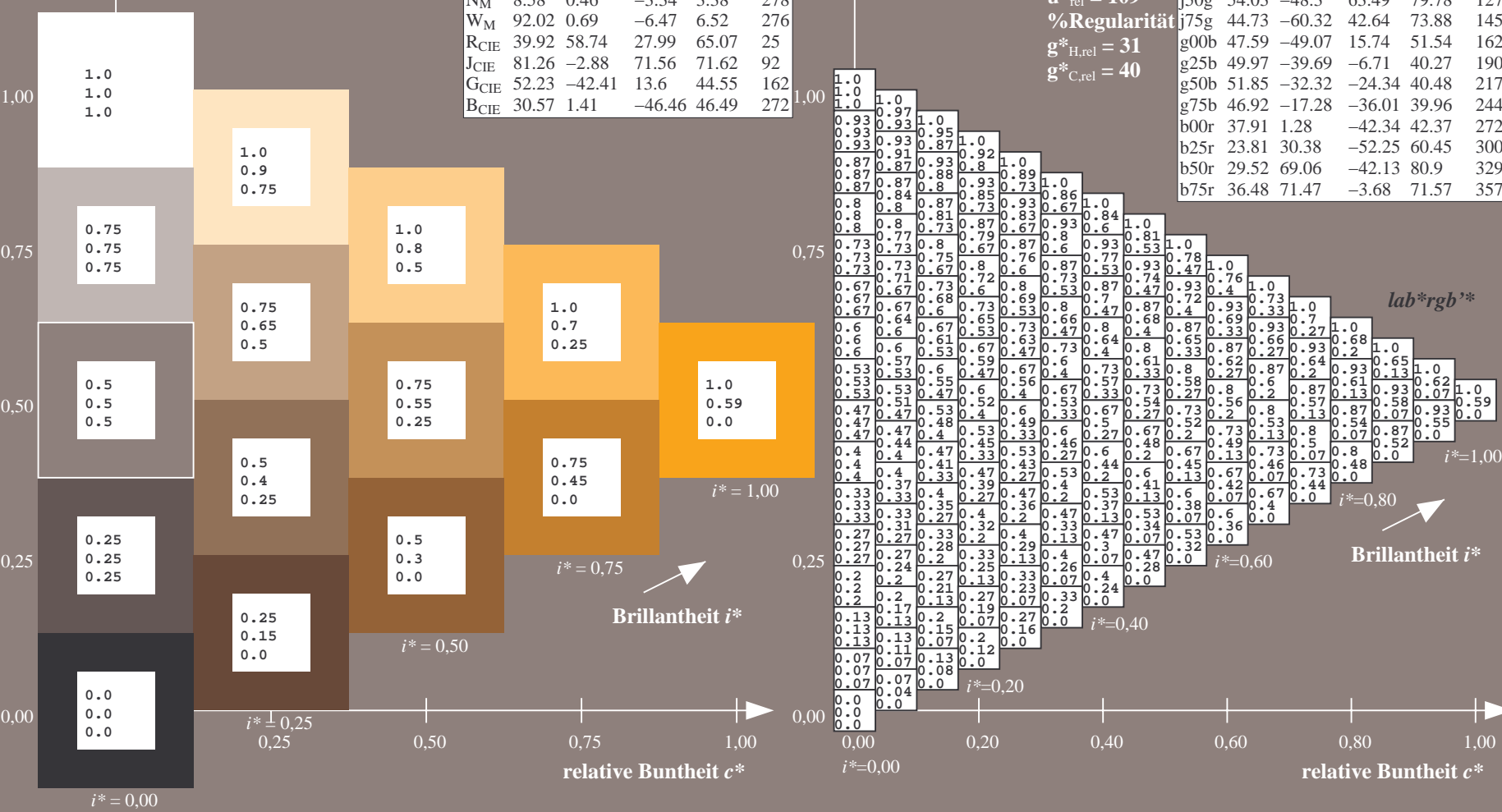
%Regularität

$g^*_{H,rel} = 31$

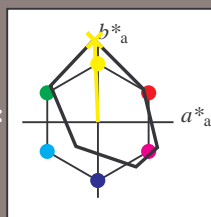
$g^*_{C,rel} = 40$

FRS09_92a; adaptierte CIELAB-Daten

	$L^*=L^*_a$	a^*_a	b^*_a	$C^*_{ab,a}$	$h^*_{ab,a}$
r00j	35.47	63.32	30.17	70.15	25
r25j	39.12	54.56	49.45	73.64	42
r50j	50.64	39.15	64.89	75.79	59
r75j	64.01	21.26	82.83	85.52	76
j00g	83.18	-4.37	108.53	108.62	92
j25g	66.73	-29.88	83.06	88.28	110
j50g	54.03	-48.3	63.49	79.78	127
j75g	44.73	-60.32	42.64	73.88	145
g00b	47.59	-49.07	15.74	51.54	162
g25b	49.97	-39.69	-6.71	40.27	190
g50b	51.85	-32.32	-24.34	40.48	217
g75b	46.92	-17.28	-36.01	39.96	244
b00r	37.91	1.28	-42.34	42.37	272
b25r	23.81	30.38	-52.25	60.45	300
b50r	29.52	69.06	-42.13	80.9	329
b75r	36.48	71.47	-3.68	71.57	357



Ein und Ausgabe: Farbmetrisches Drucker-Reflektiv-System FRS09_92a für relativen CIELAB-Buntton $h^* = lab^*h^* = h_{ab}/360 = 92/360 = 0.256$ $u^* = j00g$
Daten für jede Farbe:
 lab^*ch^* und lab^*icu^*
Elementar-Bunttontext:
 $u^* = j00g$
Kontrastreduzierungsfaktor:
 $c_R = 1.0$
Dreiecks-Helligkeit i^*



FRS09_92a; CIELAB-Daten					
	$L^*=L^*$	a^*	b^*	C^*_{ab}	h^*_{ab}
O _M	35.06	60.53	39.66	72.37	33
Y _M	83.77	-4.49	103.15	103.25	92
L _M	44.13	-62.1	43.56	75.86	145
C _M	52.66	-28.55	-36.98	46.73	232
V _M	14.15	50.78	-62.59	80.61	309
M _M	37.37	79.18	-37.92	87.8	334
N _M	8.58	0.46	-3.34	3.38	278
W _M	92.02	0.69	-6.47	6.52	276
R _{CIE}	39.92	58.74	27.99	65.07	25
J _{CIE}	81.26	-2.88	71.56	71.62	92
G _{CIE}	52.23	-42.41	13.6	44.55	162
B _{CIE}	30.57	1.41	-46.46	46.49	272

Daten für Maximalfarbe (Ma):

$LAB^*LAB^*_{Ma}$: 83 -3 109

$LAB^*LCH^*_{Ma}$: 83 109 92

$lab^*rgb^*_{Ma}$: 1.0 1.0 0.0

$lab^*olv^*_{Ma}$: 1.0 0.99 0.0

Dreiecks-Helligkeit i^*

%Umfang

$u^*_{rel} = 109$

%Regularität

$g^*_{H,rel} = 31$

$g^*_{C,rel} = 40$

FRS09_92a; adaptierte CIELAB-Daten					
	$L^*=L^*_a$	a^*_a	b^*_a	$C^*_{ab,a}$	$h^*_{ab,a}$
r00j	35.47	63.32	30.17	70.15	25
r25j	39.12	54.56	49.45	73.64	42
r50j	50.64	39.15	64.89	75.79	59
r75j	64.01	21.26	82.83	85.52	76
j00g	83.18	-4.37	108.53	108.62	92
j25g	66.73	-29.88	83.06	88.28	110
j50g	54.03	-48.3	63.49	79.78	127
j75g	44.73	-60.32	42.64	73.88	145
g00b	47.59	-49.07	15.74	51.54	162
g25b	49.97	-39.69	-6.71	40.27	190
g50b	51.85	-32.32	-24.34	40.48	217
g75b	46.92	-17.28	-36.01	39.96	244
b00r	37.91	1.28	-42.34	42.37	272
b25r	23.81	30.38	-52.25	60.45	300
b50r	29.52	69.06	-42.13	80.9	329
b75r	36.48	71.47	-3.68	71.57	357

lab^*rgb^*

$i^* = 1.00$

Brillantheit i^*

$i^* = 0.80$

$i^* = 0.60$

$i^* = 0.40$

$i^* = 0.20$

$i^* = 0.00$

relative Buntheit c^*

relative Buntheit c^*

Ein und Ausgabe: Farbmetrisches Drucker-Reflektiv-System FRS09_92a für relativen CIELAB-Buntton $h^* = lab^*h^* = h_{ab}/360 = 110/360 = 0.305$ $u^* = j25g$

Daten für jede Farbe:

lab^*ch^* und lab^*icu^*

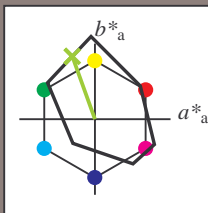
Elementar-Bunttontext:

$u^* = j25g$

Kontrastreduzierungsfaktor:

$c_R = 1.0$

Dreiecks-Helligkeit i^*



FRS09_92a; CIELAB-Daten

	$L^*=L^*$	a^*	b^*	C^*_{ab}	h^*_{ab}
O _M	35.06	60.53	39.66	72.37	33
Y _M	83.77	-4.49	103.15	103.25	92
L _M	44.13	-62.1	43.56	75.86	145
C _M	52.66	-28.55	-36.98	46.73	232
V _M	14.15	50.78	-62.59	80.61	309
M _M	37.37	79.18	-37.92	87.8	334
N _M	8.58	0.46	-3.34	3.38	278
W _M	92.02	0.69	-6.47	6.52	276
R _{CIE}	39.92	58.74	27.99	65.07	25
J _{CIE}	81.26	-2.88	71.56	71.62	92
G _{CIE}	52.23	-42.41	13.6	44.55	162
B _{CIE}	30.57	1.41	-46.46	46.49	272

Daten für Maximalfarbe (Ma):

$LAB^*LAB^*_{Ma}$: 67 -29 83

$LAB^*LCH^*_{Ma}$: 67 88 110

$lab^*rgb^*_{Ma}$: 0.75 1.0 0.0

$lab^*olv^*_{Ma}$: 0.57 1.0 0.0

Dreiecks-Helligkeit i^*

%Umfang

$u^*_{rel} = 109$

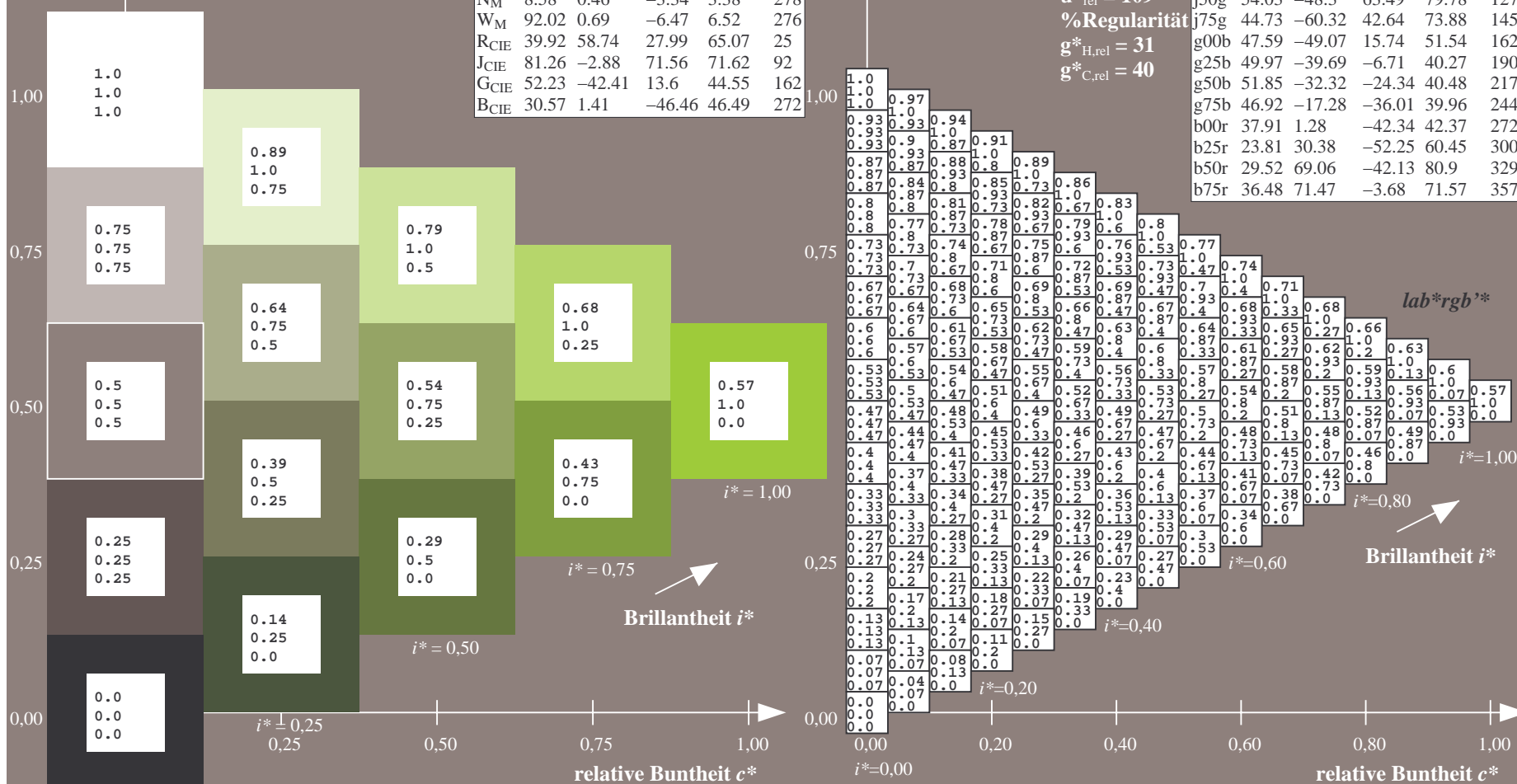
%Regularität

$g^*_{H,rel} = 31$

$g^*_{C,rel} = 40$

FRS09_92a; adaptierte CIELAB-Daten

	$L^*=L^*_a$	a^*_a	b^*_a	$C^*_{ab,a}$	$h^*_{ab,a}$
r00j	35.47	63.32	30.17	70.15	25
r25j	39.12	54.56	49.45	73.64	42
r50j	50.64	39.15	64.89	75.79	59
r75j	64.01	21.26	82.83	85.52	76
j00g	83.18	-4.37	108.53	108.62	92
j25g	66.73	-29.88	83.06	88.28	110
j50g	54.03	-48.3	63.49	79.78	127
j75g	44.73	-60.32	42.64	73.88	145
g00b	47.59	-49.07	15.74	51.54	162
g25b	49.97	-39.69	-6.71	40.27	190
g50b	51.85	-32.32	-24.34	40.48	217
g75b	46.92	-17.28	-36.01	39.96	244
b00r	37.91	1.28	-42.34	42.37	272
b25r	23.81	30.38	-52.25	60.45	300
b50r	29.52	69.06	-42.13	80.9	329
b75r	36.48	71.47	-3.68	71.57	357



Ein und Ausgabe: Farbmetrisches Drucker-Reflektiv-System FRS09_92a für relativen CIELAB-Buntton $h^* = \text{lab}^*h^* = h_{ab}/360 = 127/360 = 0.354$ $u^* = j50g$

Daten für jede Farbe:

lab^*ch^* und lab^*icu^*

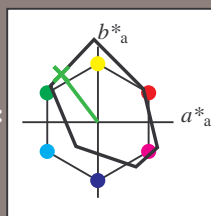
Elementar-Bunttontext:

$u^* = j50g$

Kontrastreduzierungsfaktor:

$c_R = 1.0$

Dreiecks-Helligkeit i^*



FRS09_92a; CIELAB-Daten					
	$L^*=L^*$	a^*	b^*	C^*_{ab}	h^*_{ab}
O _M	35.06	60.53	39.66	72.37	33
Y _M	83.77	-4.49	103.15	103.25	92
L _M	44.13	-62.1	43.56	75.86	145
C _M	52.66	-28.55	-36.98	46.73	232
V _M	14.15	50.78	-62.59	80.61	309
M _M	37.37	79.18	-37.92	87.8	334
N _M	8.58	0.46	-3.34	3.38	278
W _M	92.02	0.69	-6.47	6.52	276
R _{CIE}	39.92	58.74	27.99	65.07	25
J _{CIE}	81.26	-2.88	71.56	71.62	92
G _{CIE}	52.23	-42.41	13.6	44.55	162
B _{CIE}	30.57	1.41	-46.46	46.49	272

Daten für Maximalfarbe (Ma):

$\text{LAB}^*\text{LAB}^*_{\text{Ma}}$: 54 -47 63

$\text{LAB}^*\text{LCH}^*_{\text{Ma}}$: 54 80 127

$\text{lab}^*\text{rgb}^*_{\text{Ma}}$: 0.5 1.0 0.0

$\text{lab}^*\text{olv}^*_{\text{Ma}}$: 0.25 1.0 0.0

Dreiecks-Helligkeit i^*

%Umfang

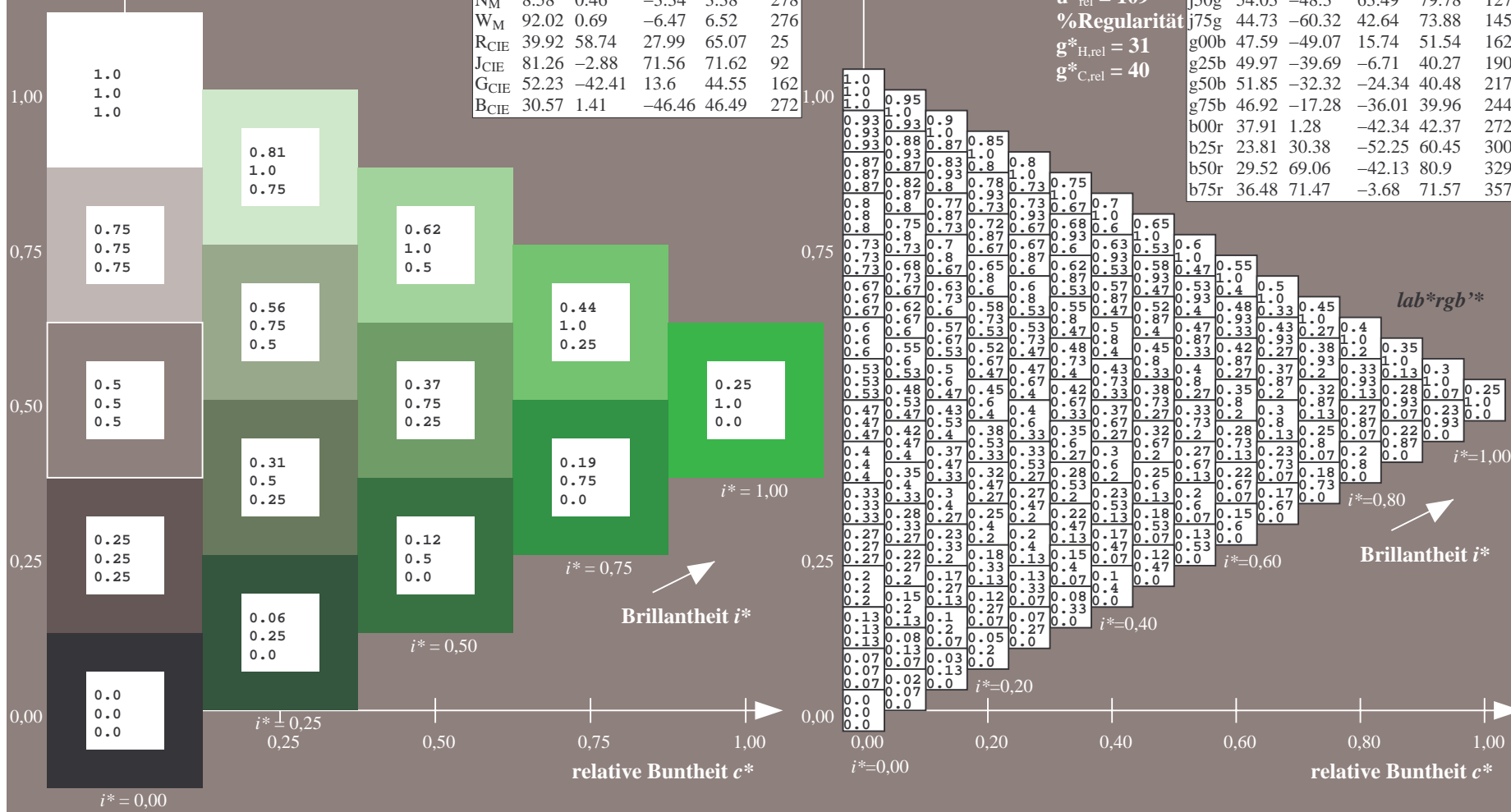
$u^*_{\text{rel}} = 109$

%Regularität

$g^*_{H,\text{rel}} = 31$

$g^*_{C,\text{rel}} = 40$

FRS09_92a; adaptierte CIELAB-Daten					
	$L^*=L^*_a$	a^*_a	b^*_a	$C^*_{ab,a}$	$h^*_{ab,a}$
r00j	35.47	63.32	30.17	70.15	25
r25j	39.12	54.56	49.45	73.64	42
r50j	50.64	39.15	64.89	75.79	59
r75j	64.01	21.26	82.83	85.52	76
j00g	83.18	-4.37	108.53	108.62	92
j25g	66.73	-29.88	83.06	88.28	110
j50g	54.03	-48.3	63.49	79.78	127
j75g	44.73	-60.32	42.64	73.88	145
g00b	47.59	-49.07	15.74	51.54	162
g25b	49.97	-39.69	-6.71	40.27	190
g50b	51.85	-32.32	-24.34	40.48	217
g75b	46.92	-17.28	-36.01	39.96	244
b00r	37.91	1.28	-42.34	42.37	272
b25r	23.81	30.38	-52.25	60.45	300
b50r	29.52	69.06	-42.13	80.9	329
b75r	36.48	71.47	-3.68	71.57	357



Ein und Ausgabe: Farbmetrisches Drucker-Reflektiv-System FRS09_92a für relativen CIELAB-Buntton $h^* = lab^*h^* = h_{ab}/360 = 145/360 = 0.402$ $u^* = j75g$

Daten für jede Farbe:

lab^*ch^* und lab^*icu^*

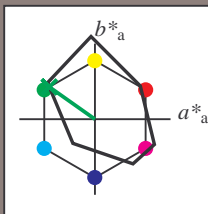
Elementar-Bunttontext:

$u^* = j75g$

Kontrastreduzierungsfaktor:

$c_R = 1.0$

Dreiecks-Helligkeit i^*



FRS09_92a; CIELAB-Daten

	$L^*=L^*$	a^*	b^*	C^*_{ab}	h^*_{ab}
O _M	35.06	60.53	39.66	72.37	33
Y _M	83.77	-4.49	103.15	103.25	92
L _M	44.13	-62.1	43.56	75.86	145
C _M	52.66	-28.55	-36.98	46.73	232
V _M	14.15	50.78	-62.59	80.61	309
M _M	37.37	79.18	-37.92	87.8	334
N _M	8.58	0.46	-3.34	3.38	278
W _M	92.02	0.69	-6.47	6.52	276
R _{CIE}	39.92	58.74	27.99	65.07	25
J _{CIE}	81.26	-2.88	71.56	71.62	92
G _{CIE}	52.23	-42.41	13.6	44.55	162
B _{CIE}	30.57	1.41	-46.46	46.49	272

Daten für Maximalfarbe (Ma):

$LAB^*LAB^*_{Ma}$: 45 -59 43

$LAB^*LCH^*_{Ma}$: 45 74 145

$lab^*rgb^*_{Ma}$: 0.25 1.0 0.0

$lab^*olv^*_{Ma}$: 0.0 1.0 0.07

Dreiecks-Helligkeit i^*

%Umfang

$u^*_{rel} = 109$

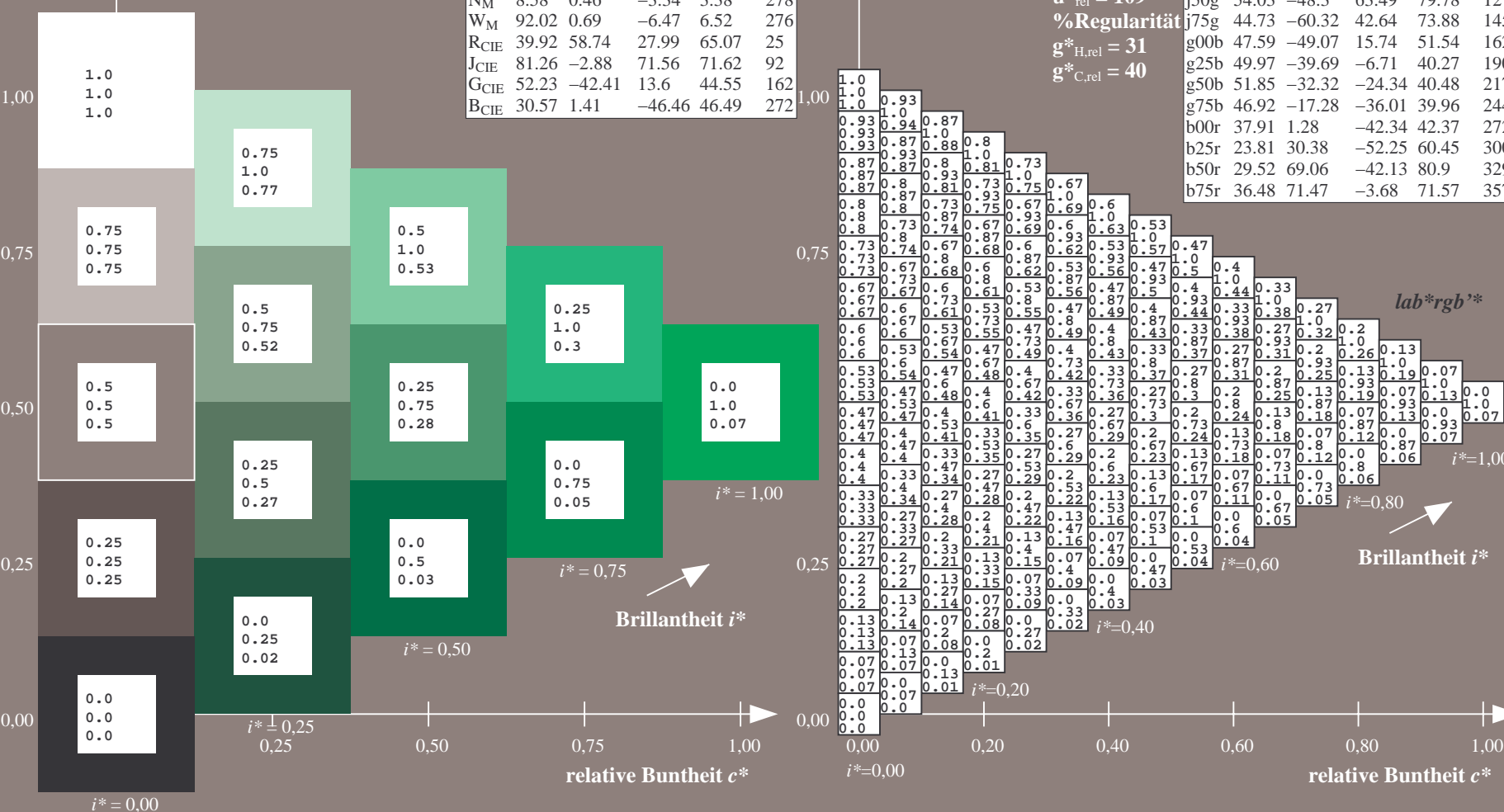
%Regularität

$g^*_{H,rel} = 31$

$g^*_{C,rel} = 40$

FRS09_92a; adaptierte CIELAB-Daten

	$L^*=L^*_a$	a^*_a	b^*_a	$C^*_{ab,a}$	$h^*_{ab,a}$
r00j	35.47	63.32	30.17	70.15	25
r25j	39.12	54.56	49.45	73.64	42
r50j	50.64	39.15	64.89	75.79	59
r75j	64.01	21.26	82.83	85.52	76
j00g	83.18	-4.37	108.53	108.62	92
j25g	66.73	-29.88	83.06	88.28	110
j50g	54.03	-48.3	63.49	79.78	127
j75g	44.73	-60.32	42.64	73.88	145
g00b	47.59	-49.07	15.74	51.54	162
g25b	49.97	-39.69	-6.71	40.27	190
g50b	51.85	-32.32	-24.34	40.48	217
g75b	46.92	-17.28	-36.01	39.96	244
b00r	37.91	1.28	-42.34	42.37	272
b25r	23.81	30.38	-52.25	60.45	300
b50r	29.52	69.06	-42.13	80.9	329
b75r	36.48	71.47	-3.68	71.57	357



Ein und Ausgabe: Farbmetrisches Drucker-Reflektiv-System FRS09_92a für relativen CIELAB-Buntton $h^* = lab^*h^* = h_{ab}/360 = 162/360 = 0.451$ $u^* = g00b$

Daten für jede Farbe:

lab^*ch^* und lab^*icu^*

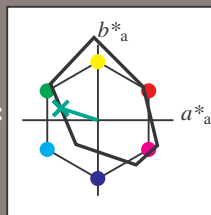
Elementar-Bunttontext:

$u^* = g00b$

Kontrastreduzierungsfaktor:

$c_R = 1.0$

Dreiecks-Helligkeit i^*



FRS09_92a; CIELAB-Daten

	$L^*=L^*$	a^*	b^*	C^*_{ab}	h^*_{ab}
O _M	35.06	60.53	39.66	72.37	33
Y _M	83.77	-4.49	103.15	103.25	92
L _M	44.13	-62.1	43.56	75.86	145
C _M	52.66	-28.55	-36.98	46.73	232
V _M	14.15	50.78	-62.59	80.61	309
M _M	37.37	79.18	-37.92	87.8	334
N _M	8.58	0.46	-3.34	3.38	278
W _M	92.02	0.69	-6.47	6.52	276
R _{CIE}	39.92	58.74	27.99	65.07	25
J _{CIE}	81.26	-2.88	71.56	71.62	92
G _{CIE}	52.23	-42.41	13.6	44.55	162
B _{CIE}	30.57	1.41	-46.46	46.49	272

Daten für Maximalfarbe (Ma):

$LAB^*LAB^*_{Ma}$: 48 -48 16

$LAB^*LCH^*_{Ma}$: 48 52 162

$lab^*rgb^*_{Ma}$: 0.0 1.0 0.0

$lab^*olv^*_{Ma}$: 0.0 1.0 0.41

Dreiecks-Helligkeit i^*

%Umfang

$u^*_{rel} = 109$

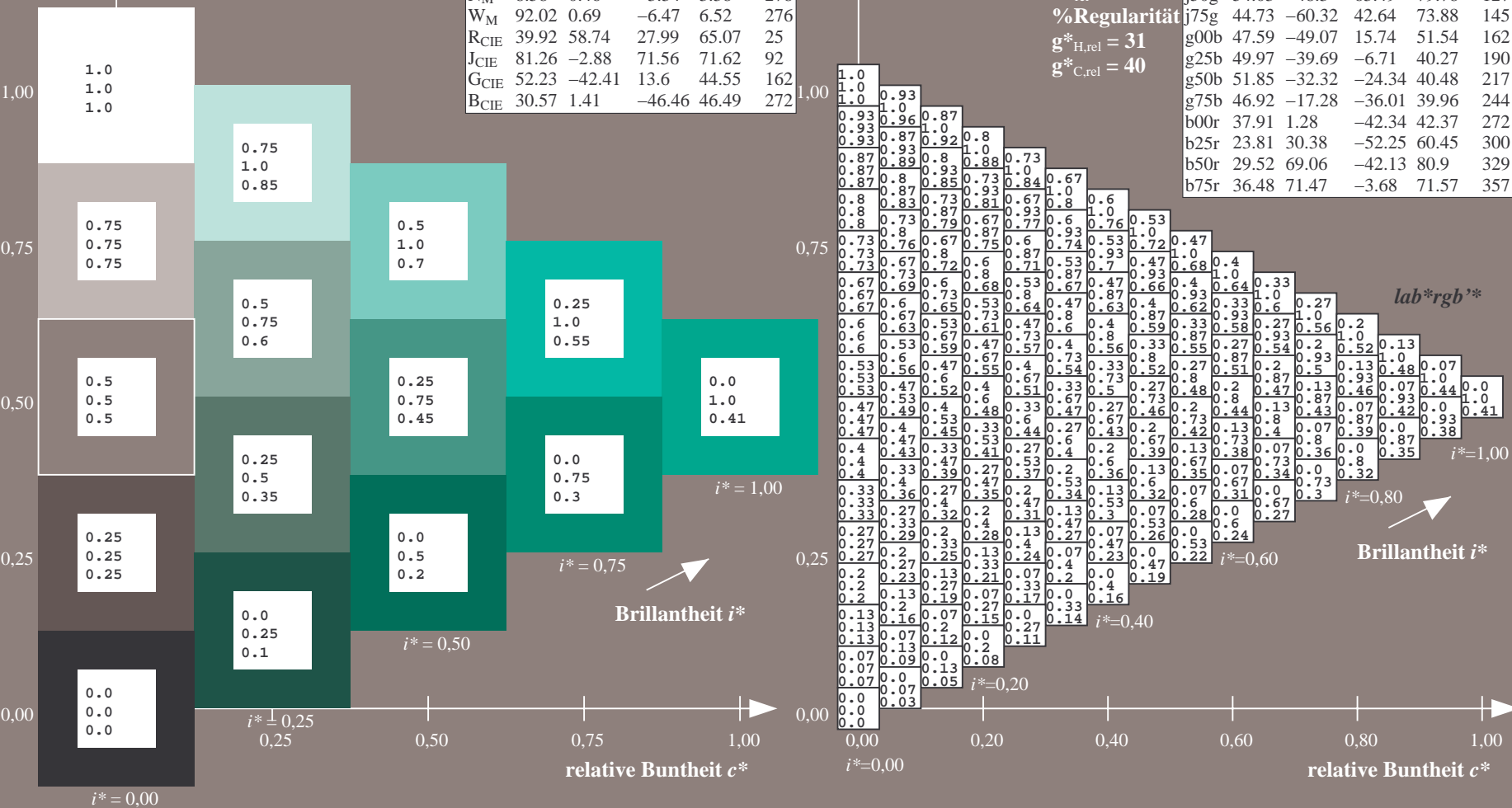
%Regularität

$g^*_{H,rel} = 31$

$g^*_{C,rel} = 40$

FRS09_92a; adaptierte CIELAB-Daten

	$L^*=L^*_a$	a^*_a	b^*_a	$C^*_{ab,a}$	$h^*_{ab,a}$
r00j	35.47	63.32	30.17	70.15	25
r25j	39.12	54.56	49.45	73.64	42
r50j	50.64	39.15	64.89	75.79	59
r75j	64.01	21.26	82.83	85.52	76
j00g	83.18	-4.37	108.53	108.62	92
j25g	66.73	-29.88	83.06	88.28	110
j50g	54.03	-48.3	63.49	79.78	127
j75g	44.73	-60.32	42.64	73.88	145
g00b	47.59	-49.07	15.74	51.54	162
g25b	49.97	-39.69	-6.71	40.27	190
g50b	51.85	-32.32	-24.34	40.48	217
g75b	46.92	-17.28	-36.01	39.96	244
b00r	37.91	1.28	-42.34	42.37	272
b25r	23.81	30.38	-52.25	60.45	300
b50r	29.52	69.06	-42.13	80.9	329
b75r	36.48	71.47	-3.68	71.57	357



Ein und Ausgabe: Farbmetrisches Drucker-Reflektiv-System FRS09_92a für relativen CIELAB-Buntton $h^* = \text{lab}^*h^* = h_{ab}/360 = 190/360 = 0.527$ $u^* = g25b$

Daten für jede Farbe:

lab^*ch^* und lab^*icu^*

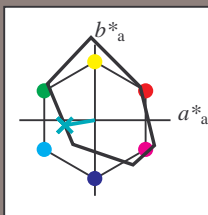
Elementar-Bunttontext:

$u^* = g25b$

Kontrastreduzierungsfaktor:

$c_R = 1.0$

Dreiecks-Helligkeit i^*



FRS09_92a; CIELAB-Daten

	$L^*=L^*$	a^*	b^*	C^*_{ab}	h^*_{ab}
O _M	35.06	60.53	39.66	72.37	33
Y _M	83.77	-4.49	103.15	103.25	92
L _M	44.13	-62.1	43.56	75.86	145
C _M	52.66	-28.55	-36.98	46.73	232
V _M	14.15	50.78	-62.59	80.61	309
M _M	37.37	79.18	-37.92	87.8	334
N _M	8.58	0.46	-3.34	3.38	278
W _M	92.02	0.69	-6.47	6.52	276
R _{CIE}	39.92	58.74	27.99	65.07	25
J _{CIE}	81.26	-2.88	71.56	71.62	92
G _{CIE}	52.23	-42.41	13.6	44.55	162
B _{CIE}	30.57	1.41	-46.46	46.49	272

Daten für Maximalfarbe (Ma):

$\text{LAB}^*\text{LAB}^*_{\text{Ma}}$: 50 -39 -6

$\text{LAB}^*\text{LCH}^*_{\text{Ma}}$: 50 40 190

$\text{lab}^*\text{rgb}^*_{\text{Ma}}$: 0.0 1.0 0.5

$\text{lab}^*\text{olv}^*_{\text{Ma}}$: 0.0 1.0 0.69

Dreiecks-Helligkeit i^*

%Umfang

$u^*_{\text{rel}} = 109$

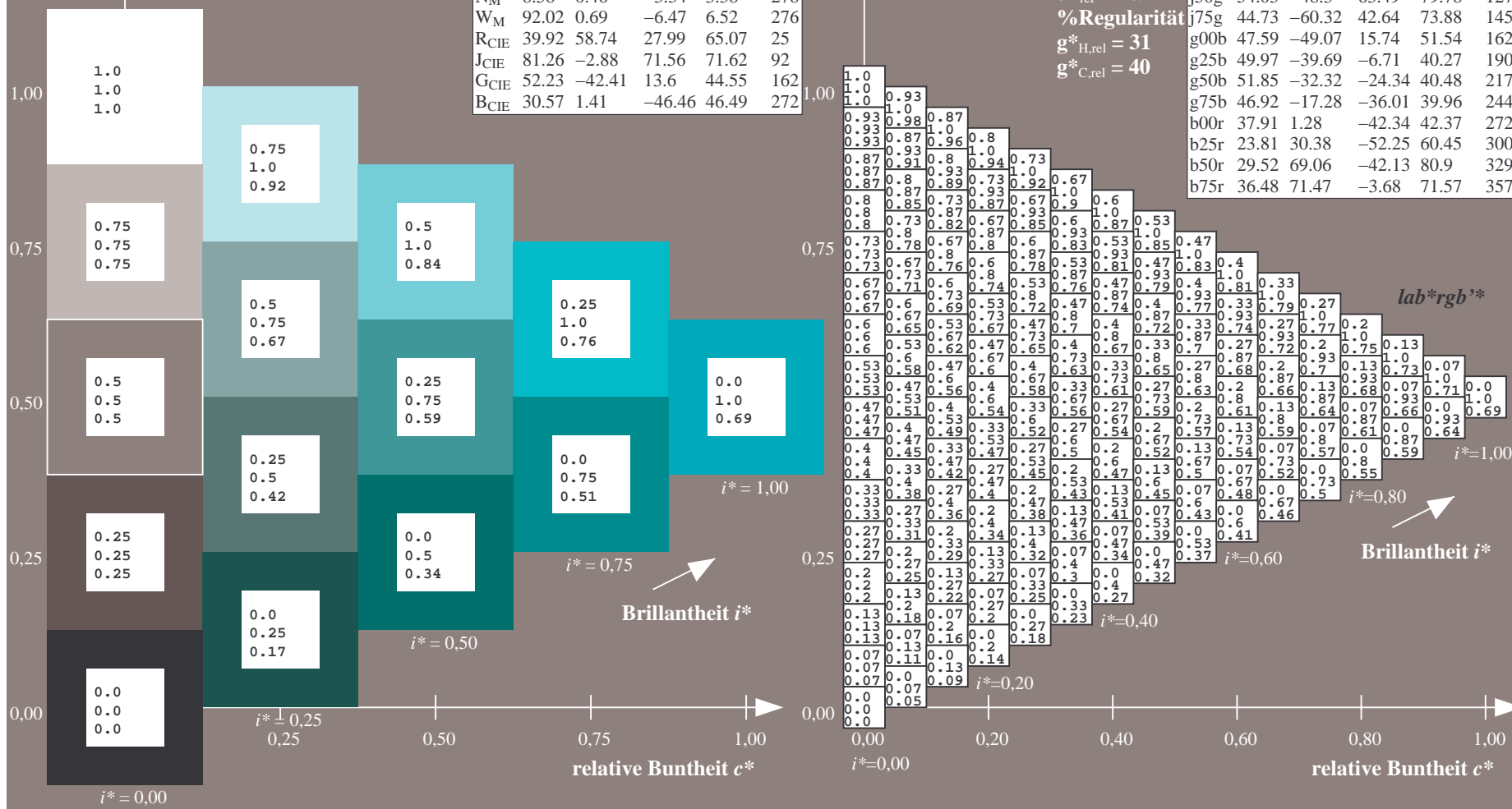
%Regularität

$g^*_{H,\text{rel}} = 31$

$g^*_{C,\text{rel}} = 40$

FRS09_92a; adaptierte CIELAB-Daten

	$L^*=L^*_a$	a^*_a	b^*_a	$C^*_{ab,a}$	$h^*_{ab,a}$
r00j	35.47	63.32	30.17	70.15	25
r25j	39.12	54.56	49.45	73.64	42
r50j	50.64	39.15	64.89	75.79	59
r75j	64.01	21.26	82.83	85.52	76
j00g	83.18	-4.37	108.53	108.62	92
j25g	66.73	-29.88	83.06	88.28	110
j50g	54.03	-48.3	63.49	79.78	127
j75g	44.73	-60.32	42.64	73.88	145
g00b	47.59	-49.07	15.74	51.54	162
g25b	49.97	-39.69	-6.71	40.27	190
g50b	51.85	-32.32	-24.34	40.48	217
g75b	46.92	-17.28	-36.01	39.96	244
b00r	37.91	1.28	-42.34	42.37	272
b25r	23.81	30.38	-52.25	60.45	300
b50r	29.52	69.06	-42.13	80.9	329
b75r	36.48	71.47	-3.68	71.57	357



Ein und Ausgabe: Farbmetrisches Drucker-Reflektiv-System FRS09_92a für relativen CIELAB-Buntton $h^* = \text{lab}^*h^* = h_{ab}/360 = 217/360 = 0.603$ $u^* = g50b$

Daten für jede Farbe:

lab^*tch^* und lab^*icu^*

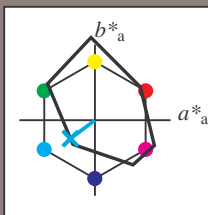
Elementar-Bunttontext:

$u^* = g50b$

Kontrastreduzierungsfaktor:

$c_R = 1.0$

Dreiecks-Helligkeit t^*



FRS09_92a; CIELAB-Daten					
	$L^*=L^*$	a^*	b^*	C^*_{ab}	h^*_{ab}
O _M	35.06	60.53	39.66	72.37	33
Y _M	83.77	-4.49	103.15	103.25	92
L _M	44.13	-62.1	43.56	75.86	145
C _M	52.66	-28.55	-36.98	46.73	232
V _M	14.15	50.78	-62.59	80.61	309
M _M	37.37	79.18	-37.92	87.8	334
N _M	8.58	0.46	-3.34	3.38	278
W _M	92.02	0.69	-6.47	6.52	276
R _{CIE}	39.92	58.74	27.99	65.07	25
J _{CIE}	81.26	-2.88	71.56	71.62	92
G _{CIE}	52.23	-42.41	13.6	44.55	162
B _{CIE}	30.57	1.41	-46.46	46.49	272

Daten für Maximalfarbe (Ma):

$\text{LAB}^*\text{LAB}^*_{\text{Ma}}$: 52 -31 -23

$\text{LAB}^*\text{LCH}^*_{\text{Ma}}$: 52 40 217

$\text{lab}^*\text{rgb}^*_{\text{Ma}}$: 0.0 1.0 1.0

$\text{lab}^*\text{olv}^*_{\text{Ma}}$: 0.0 1.0 0.9

Dreiecks-Helligkeit t^*

%Umfang

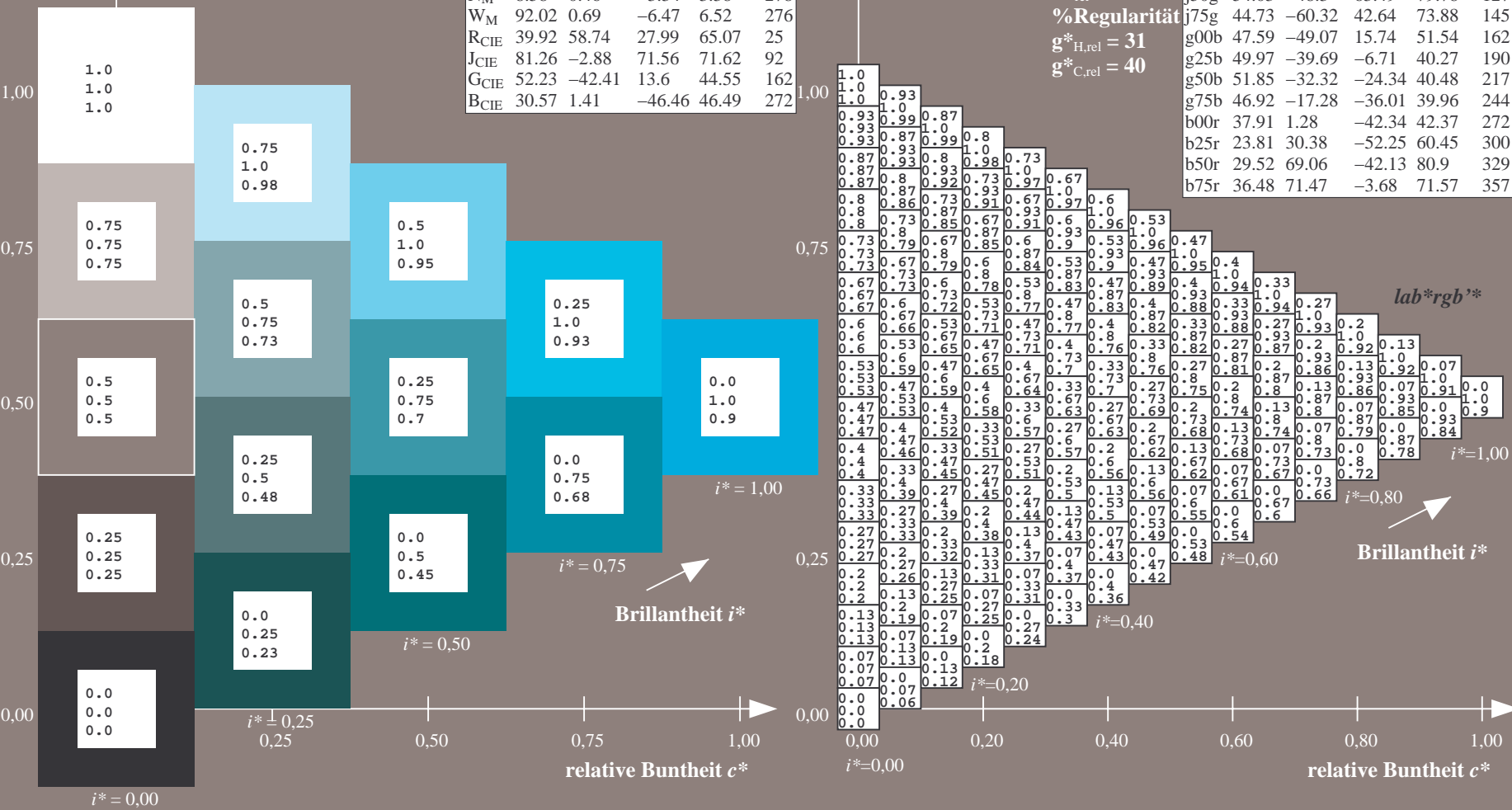
$u^*_{\text{rel}} = 109$

%Regularität

$g^*_{H,\text{rel}} = 31$

$g^*_{C,\text{rel}} = 40$

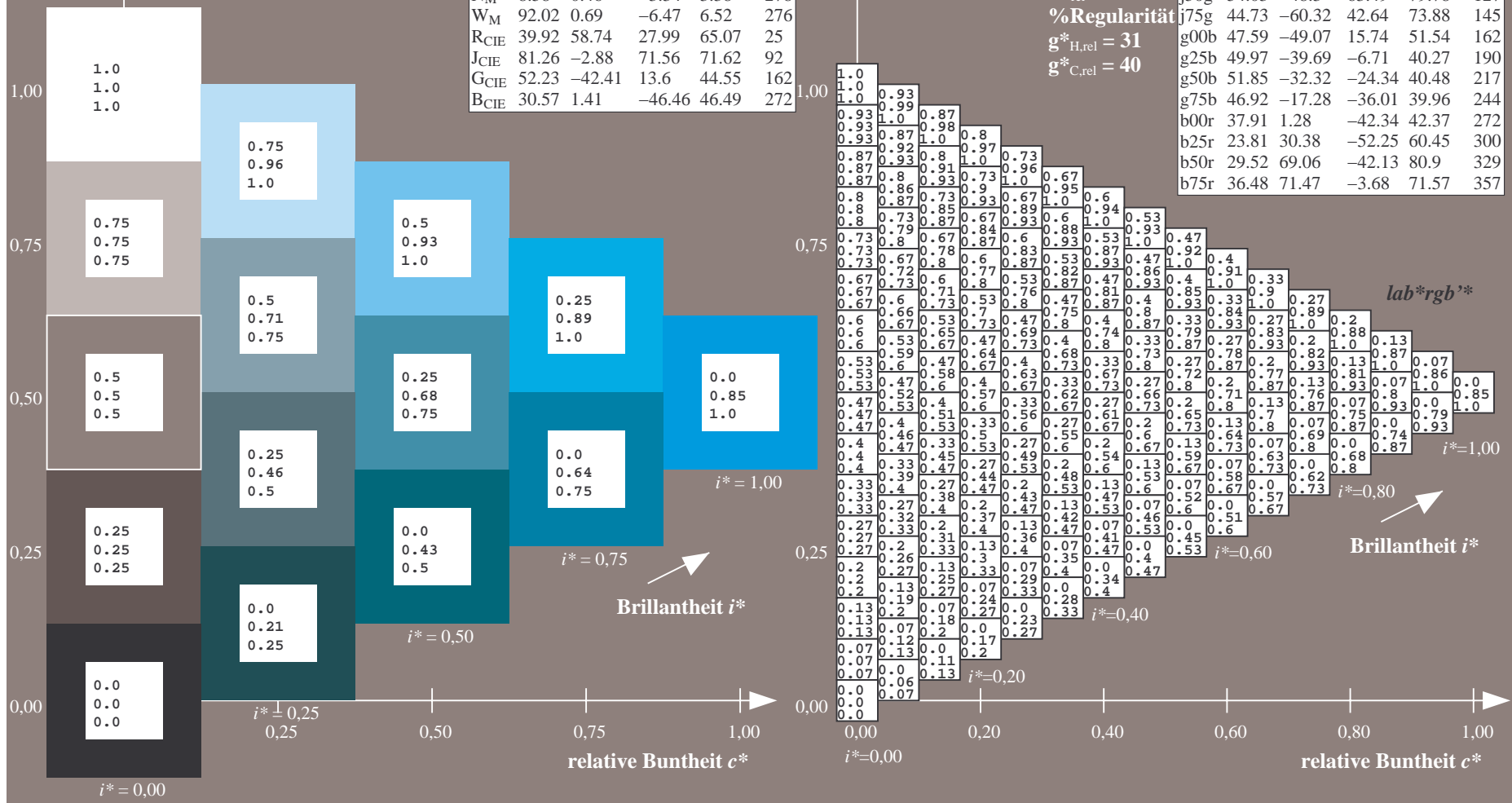
FRS09_92a; adaptierte CIELAB-Daten					
	$L^*=L^*_a$	a^*_a	b^*_a	$C^*_{ab,a}$	$h^*_{ab,a}$
r00j	35.47	63.32	30.17	70.15	25
r25j	39.12	54.56	49.45	73.64	42
r50j	50.64	39.15	64.89	75.79	59
r75j	64.01	21.26	82.83	85.52	76
j00g	83.18	-4.37	108.53	108.62	92
j25g	66.73	-29.88	83.06	88.28	110
j50g	54.03	-48.3	63.49	79.78	127
j75g	44.73	-60.32	42.64	73.88	145
g00b	47.59	-49.07	15.74	51.54	162
g25b	49.97	-39.69	-6.71	40.27	190
g50b	51.85	-32.32	-24.34	40.48	217
g75b	46.92	-17.28	-36.01	39.96	244
b00r	37.91	1.28	-42.34	42.37	272
b25r	23.81	30.38	-52.25	60.45	300
b50r	29.52	69.06	-42.13	80.9	329
b75r	36.48	71.47	-3.68	71.57	357



100



r00j	35.47	63.32	30.17	70.15	25
r25j	39.12	54.56	49.45	73.64	42
r50j	50.64	39.15	64.89	75.79	59
r75j	64.01	21.26	82.83	85.52	76
j00g	83.18	-4.37	108.53	108.62	92
j25g	66.73	-29.88	83.06	88.28	110
j50g	54.03	-48.3	63.49	79.78	127
j75g	44.73	-60.32	42.64	73.88	145
g00b	47.59	-49.07	15.74	51.54	162
g25b	49.97	-39.69	-6.71	40.27	190
g50b	51.85	-32.32	-24.34	40.48	217
g75b	46.92	-17.28	-36.01	39.96	244
b00r	37.91	1.28	-42.34	42.37	272
b25r	23.81	30.38	-52.25	60.45	300
b50r	29.52	69.06	-42.13	80.9	329
b75r	36.48	71.47	-3.68	71.57	357



Farbreihen, 8 Datentabellen für 16 Bunttöne *r00j* bis *b75r*

Ausgabe: $\rightarrow cmyn5^* setcmykcolor$

BAM-Registrierung: 20080701-Dg96/10L/L96G00NP.PS/.PDF BAM-Material: Code=rha4ta
- Anwendung für Beurteilung und Messung von Drucker- oder Monitorsystemen

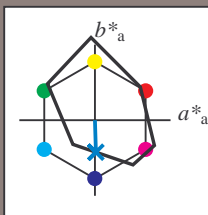
Ein und Ausgabe: Farbmimetrisches Drucker-Reflektiv-System FRS09_92a für relativen CIELAB-Buntton $h^* = lab^*h^* = h_{ab}/360 = 272/360 = 0.755$ $u^* = b00r$

Daten für jede Farbe:
 lab^*ch^* und lab^*icu^*

Elementar-Bunttonext:
 $u^* = b00r$

Kontrastreduzierungsfaktor:
 $c_R = 1.0$

Dreiecks-Helligkeit i^*



FRS09_92a; CIELAB-Daten					
	$L^*=L^*$	a^*	b^*	C^*_{ab}	h^*_{ab}
O _M	35.06	60.53	39.66	72.37	33
Y _M	83.77	-4.49	103.15	103.25	92
L _M	44.13	-62.1	43.56	75.86	145
C _M	52.66	-28.55	-36.98	46.73	232
V _M	14.15	50.78	-62.59	80.61	309
M _M	37.37	79.18	-37.92	87.8	334
N _M	8.58	0.46	-3.34	3.38	278
W _M	92.02	0.69	-6.47	6.52	276
R _{CIE}	39.92	58.74	27.99	65.07	25
J _{CIE}	81.26	-2.88	71.56	71.62	92
G _{CIE}	52.23	-42.41	13.6	44.55	162
B _{CIE}	30.57	1.41	-46.46	46.49	272

Daten für Maximalfarbe (Ma):

$LAB^*LAB^*_{Ma}$: 38 1 -41

$LAB^*LCH^*_{Ma}$: 38 42 272

$lab^*rgb^*_{Ma}$: 0.0 0.0 1.0

$lab^*olv^*_{Ma}$: 0.0 0.62 1.0

Dreiecks-Helligkeit i^*

%Umfang

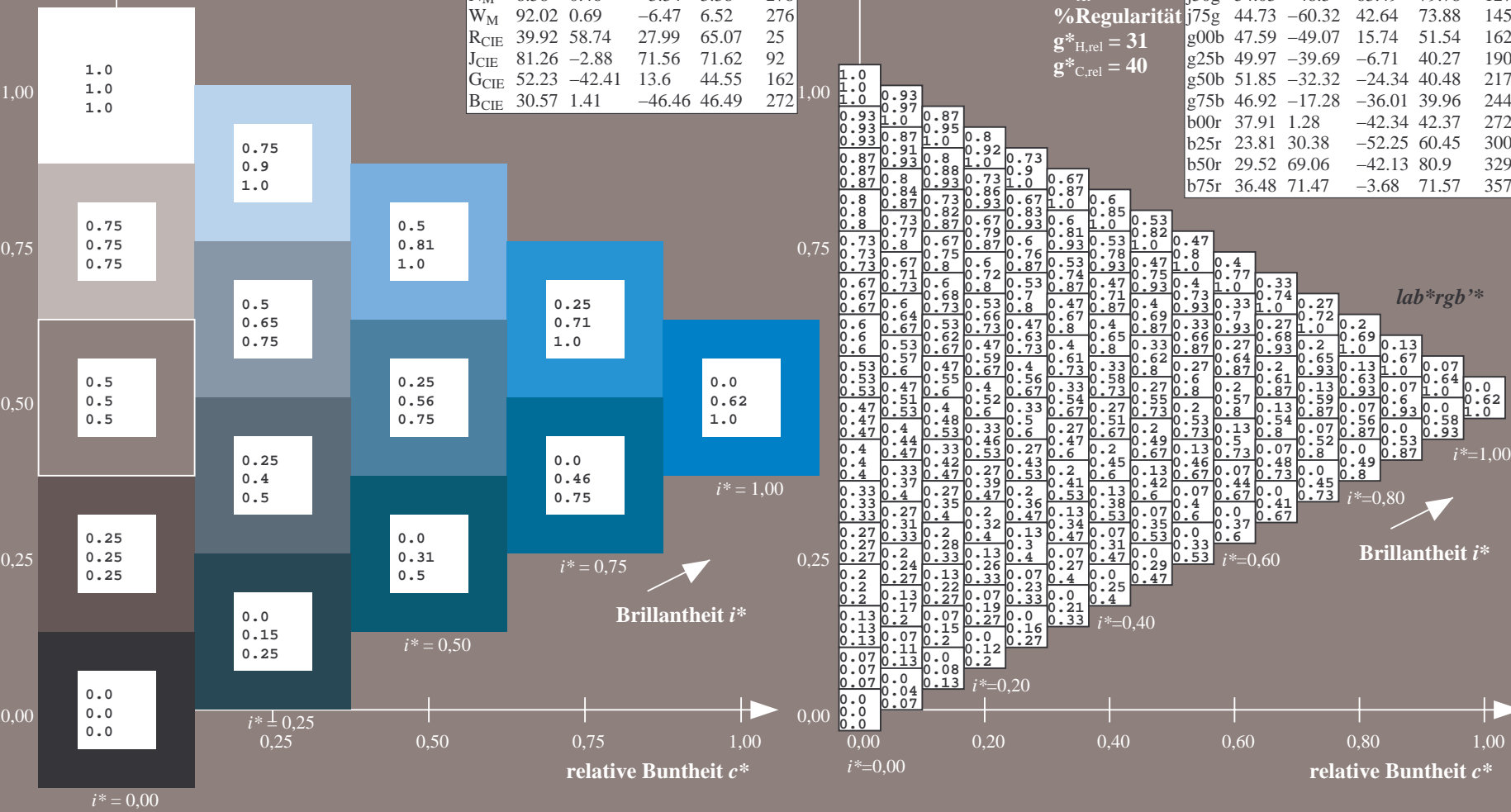
$u^*_{rel} = 109$

%Regularität

$g^*_{H,rel} = 31$

$g^*_{C,rel} = 40$

FRS09_92a; adaptierte CIELAB-Daten					
	$L^*=L^*_a$	a^*_a	b^*_a	$C^*_{ab,a}$	$h^*_{ab,a}$
r00j	35.47	63.32	30.17	70.15	25
r25j	39.12	54.56	49.45	73.64	42
r50j	50.64	39.15	64.89	75.79	59
r75j	64.01	21.26	82.83	85.52	76
j00g	83.18	-4.37	108.53	108.62	92
j25g	66.73	-29.88	83.06	88.28	110
j50g	54.03	-48.3	63.49	79.78	127
j75g	44.73	-60.32	42.64	73.88	145
g00b	47.59	-49.07	15.74	51.54	162
g25b	49.97	-39.69	-6.71	40.27	190
g50b	51.85	-32.32	-24.34	40.48	217
g75b	46.92	-17.28	-36.01	39.96	244
b00r	37.91	1.28	-42.34	42.37	272
b25r	23.81	30.38	-52.25	60.45	300
b50r	29.52	69.06	-42.13	80.9	329
b75r	36.48	71.47	-3.68	71.57	357



Ein und Ausgabe: Farbmetrisches Drucker-Reflektiv-System FRS09_92a für relativen CIELAB-Buntton $h^* = lab^*h^* = h_{ab}/360 = 300/360 = 0.834$ $u^* = b25r$

Daten für jede Farbe:

lab^*ch^* und lab^*icu^*

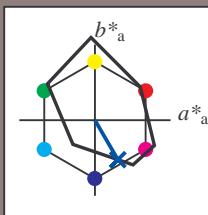
Elementar-Bunttontext:

$u^* = b25r$

Kontrastreduzierungsfaktor:

$c_R = 1.0$

Dreiecks-Helligkeit i^*



FRS09_92a; CIELAB-Daten

	$L^*=L^*$	a^*	b^*	C^*_{ab}	h^*_{ab}
O _M	35.06	60.53	39.66	72.37	33
Y _M	83.77	-4.49	103.15	103.25	92
L _M	44.13	-62.1	43.56	75.86	145
C _M	52.66	-28.55	-36.98	46.73	232
V _M	14.15	50.78	-62.59	80.61	309
M _M	37.37	79.18	-37.92	87.8	334
N _M	8.58	0.46	-3.34	3.38	278
W _M	92.02	0.69	-6.47	6.52	276
R _{CIE}	39.92	58.74	27.99	65.07	25
J _{CIE}	81.26	-2.88	71.56	71.62	92
G _{CIE}	52.23	-42.41	13.6	44.55	162
B _{CIE}	30.57	1.41	-46.46	46.49	272

Daten für Maximalfarbe (Ma):

$LAB^*LAB^*_{Ma}$: 24 30 -51

$LAB^*LCH^*_{Ma}$: 24 60 300

$lab^*rgb^*_{Ma}$: 0.5 0.0 1.0

$lab^*olv^*_{Ma}$: 0.0 0.25 1.0

Dreiecks-Helligkeit i^*

%Umfang

$u^*_{rel} = 109$

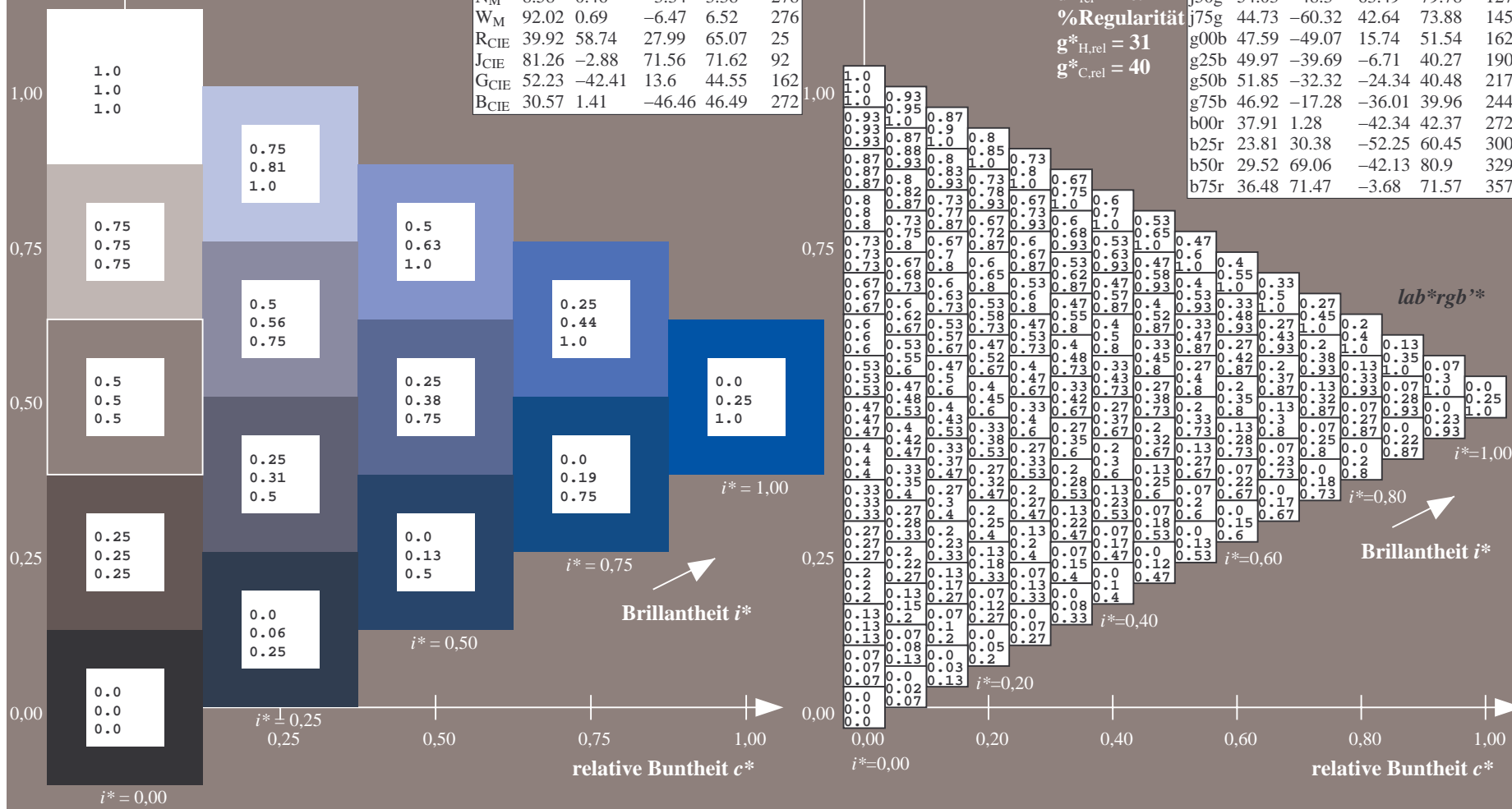
%Regularität

$g^*_{H,rel} = 31$

$g^*_{C,rel} = 40$

FRS09_92a; adaptierte CIELAB-Daten

	$L^*=L^*_a$	a^*_a	b^*_a	$C^*_{ab,a}$	$h^*_{ab,a}$
r00j	35.47	63.32	30.17	70.15	25
r25j	39.12	54.56	49.45	73.64	42
r50j	50.64	39.15	64.89	75.79	59
r75j	64.01	21.26	82.83	85.52	76
j00g	83.18	-4.37	108.53	108.62	92
j25g	66.73	-29.88	83.06	88.28	110
j50g	54.03	-48.3	63.49	79.78	127
j75g	44.73	-60.32	42.64	73.88	145
g00b	47.59	-49.07	15.74	51.54	162
g25b	49.97	-39.69	-6.71	40.27	190
g50b	51.85	-32.32	-24.34	40.48	217
g75b	46.92	-17.28	-36.01	39.96	244
b00r	37.91	1.28	-42.34	42.37	272
b25r	23.81	30.38	-52.25	60.45	300
b50r	29.52	69.06	-42.13	80.9	329
b75r	36.48	71.47	-3.68	71.57	357



Ein und Ausgabe: Farbmimetrisches Drucker-Reflektiv-System FRS09_92a für relativen CIELAB-Buntton $h^* = lab^*h^* = h_{ab}/360 = 329/360 = 0.913$ $u^* = b50r$

Daten für jede Farbe:

lab^*ch^* und lab^*icu^*

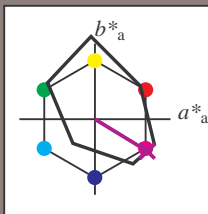
Elementar-Bunttontext:

$u^* = b50r$

Kontrastreduzierungsfaktor:

$c_R = 1.0$

Dreiecks-Helligkeit i^*



FRS09_92a; CIELAB-Daten					
	$L^*=L^*$	a^*	b^*	C^*_{ab}	h^*_{ab}
O _M	35.06	60.53	39.66	72.37	33
Y _M	83.77	-4.49	103.15	103.25	92
L _M	44.13	-62.1	43.56	75.86	145
C _M	52.66	-28.55	-36.98	46.73	232
V _M	14.15	50.78	-62.59	80.61	309
M _M	37.37	79.18	-37.92	87.8	334
N _M	8.58	0.46	-3.34	3.38	278
W _M	92.02	0.69	-6.47	6.52	276
R _{CIE}	39.92	58.74	27.99	65.07	25
J _{CIE}	81.26	-2.88	71.56	71.62	92
G _{CIE}	52.23	-42.41	13.6	44.55	162
B _{CIE}	30.57	1.41	-46.46	46.49	272

Daten für Maximalfarbe (Ma):

$LAB^*LAB^*_{Ma}$: 30 69 -41

$LAB^*LCH^*_{Ma}$: 30 81 329

$lab^*rgb^*_{Ma}$: 1.0 0.0 1.0

$lab^*olv^*_{Ma}$: 0.66 0.0 1.0

Dreiecks-Helligkeit i^*

%Umfang

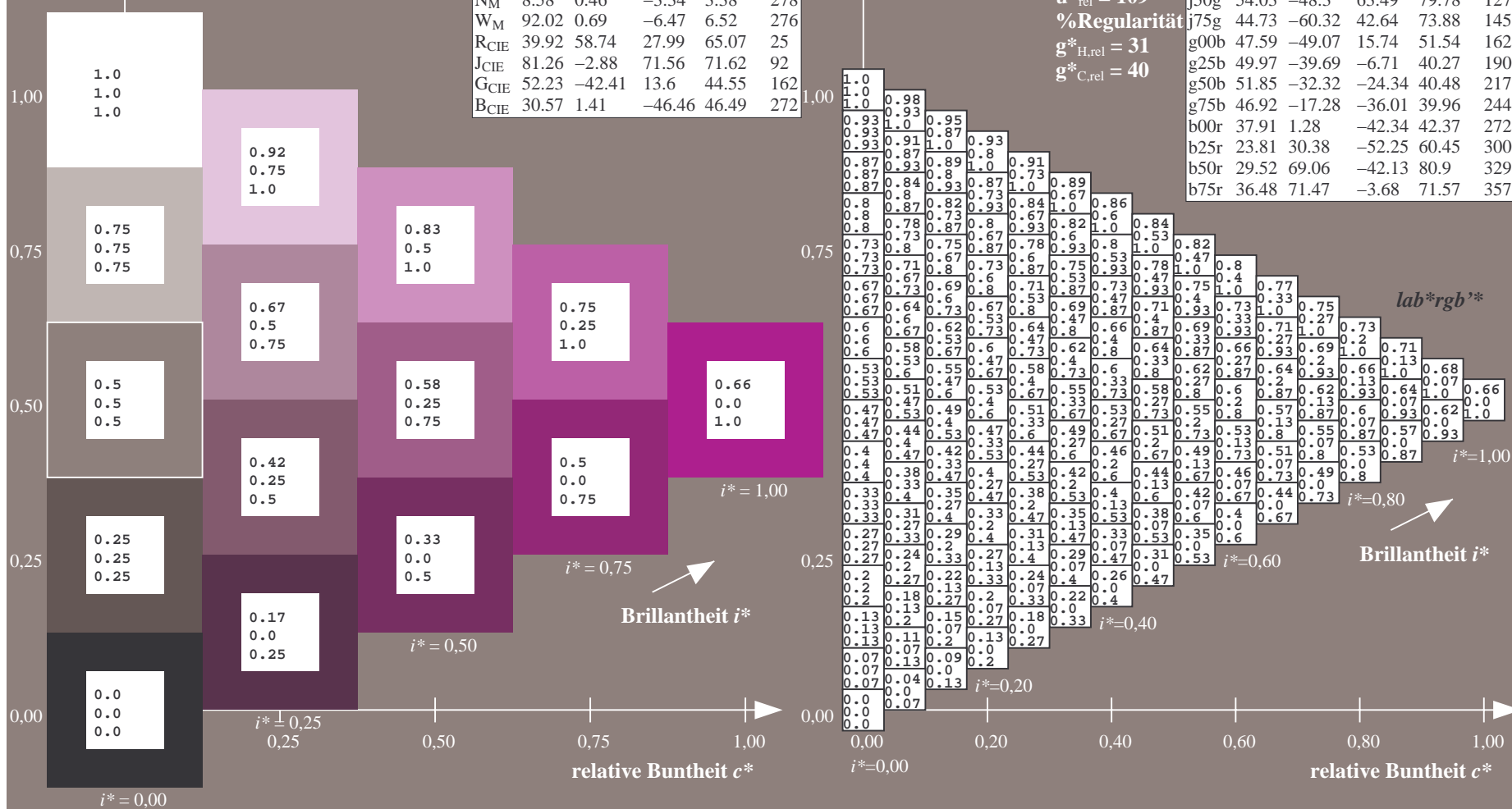
$u^*_{rel} = 109$

%Regularität

$g^*_{H,rel} = 31$

$g^*_{C,rel} = 40$

FRS09_92a; adaptierte CIELAB-Daten					
	$L^*=L^*_a$	a^*_a	b^*_a	$C^*_{ab,a}$	$h^*_{ab,a}$
r00j	35.47	63.32	30.17	70.15	25
r25j	39.12	54.56	49.45	73.64	42
r50j	50.64	39.15	64.89	75.79	59
r75j	64.01	21.26	82.83	85.52	76
j00g	83.18	-4.37	108.53	108.62	92
j25g	66.73	-29.88	83.06	88.28	110
j50g	54.03	-48.3	63.49	79.78	127
j75g	44.73	-60.32	42.64	73.88	145
g00b	47.59	-49.07	15.74	51.54	162
g25b	49.97	-39.69	-6.71	40.27	190
g50b	51.85	-32.32	-24.34	40.48	217
g75b	46.92	-17.28	-36.01	39.96	244
b00r	37.91	1.28	-42.34	42.37	272
b25r	23.81	30.38	-52.25	60.45	300
b50r	29.52	69.06	-42.13	80.9	329
b75r	36.48	71.47	-3.68	71.57	357



Ein und Ausgabe: Farbmetrisches Drucker-Reflektiv-System FRS09_92a für relativen CIELAB-Buntton $h^* = lab^*h^* = h_{ab}/360 = 357/360 = 0.992$ $u^* = b75r$

Daten für jede Farbe:

lab^*ch^* und lab^*icu^*

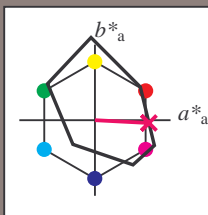
Elementar-Bunttontext:

$u^* = b75r$

Kontrastreduzierungsfaktor:

$c_R = 1.0$

Dreiecks-Helligkeit i^*



FRS09_92a; CIELAB-Daten					
	$L^*=L^*$	a^*	b^*	C^*_{ab}	h^*_{ab}
O _M	35.06	60.53	39.66	72.37	33
Y _M	83.77	-4.49	103.15	103.25	92
L _M	44.13	-62.1	43.56	75.86	145
C _M	52.66	-28.55	-36.98	46.73	232
V _M	14.15	50.78	-62.59	80.61	309
M _M	37.37	79.18	-37.92	87.8	334
N _M	8.58	0.46	-3.34	3.38	278
W _M	92.02	0.69	-6.47	6.52	276
R _{CIE}	39.92	58.74	27.99	65.07	25
J _{CIE}	81.26	-2.88	71.56	71.62	92
G _{CIE}	52.23	-42.41	13.6	44.55	162
B _{CIE}	30.57	1.41	-46.46	46.49	272

Daten für Maximalfarbe (Ma):

$LAB^*LAB^*_{Ma}$: 36 71 -3

$LAB^*LCH^*_{Ma}$: 36 72 357

$lab^*rgb^*_{Ma}$: 1.0 0.0 0.5

$lab^*olv^*_{Ma}$: 1.0 0.0 0.62

Dreiecks-Helligkeit i^*

%Umfang

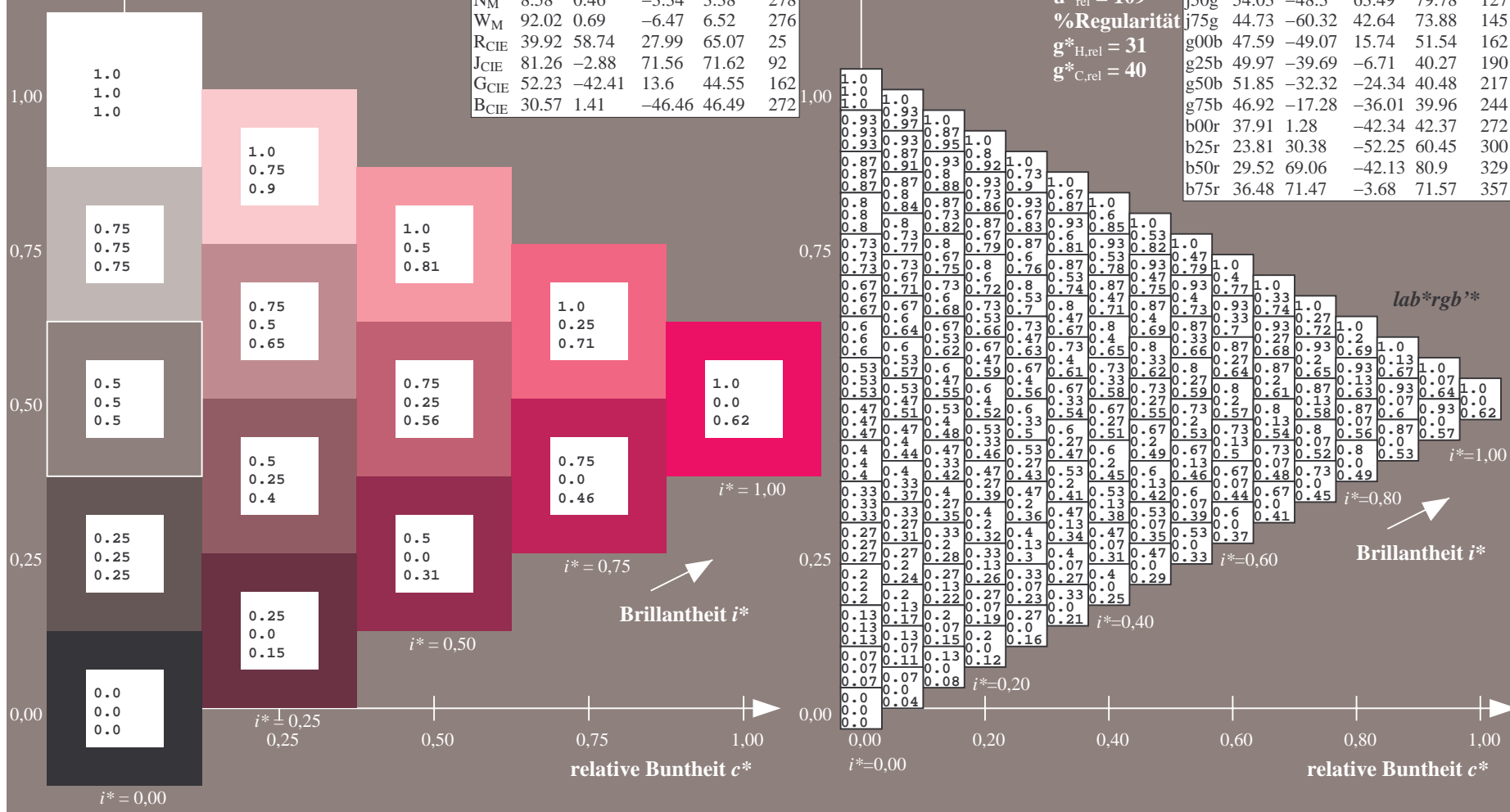
$u^*_{rel} = 109$

%Regularität

$g^*_{H,rel} = 31$

$g^*_{C,rel} = 40$

FRS09_92a; adaptierte CIELAB-Daten					
	$L^*=L^*_a$	a^*_a	b^*_a	$C^*_{ab,a}$	$h^*_{ab,a}$
r00j	35.47	63.32	30.17	70.15	25
r25j	39.12	54.56	49.45	73.64	42
r50j	50.64	39.15	64.89	75.79	59
r75j	64.01	21.26	82.83	85.52	76
j00g	83.18	-4.37	108.53	108.62	92
j25g	66.73	-29.88	83.06	88.28	110
j50g	54.03	-48.3	63.49	79.78	127
j75g	44.73	-60.32	42.64	73.88	145
g00b	47.59	-49.07	15.74	51.54	162
g25b	49.97	-39.69	-6.71	40.27	190
g50b	51.85	-32.32	-24.34	40.48	217
g75b	46.92	-17.28	-36.01	39.96	244
b00r	37.91	1.28	-42.34	42.37	272
b25r	23.81	30.38	-52.25	60.45	300
b50r	29.52	69.06	-42.13	80.9	329
b75r	36.48	71.47	-3.68	71.57	357



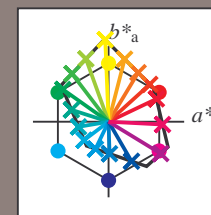
Siehe ähnliche Dateien: <http://www.ps.bam.de/Dg96/>; www.ps.bam.de/Dg96/10L/L96G00NP.PS/.PDF BAM-Material: Code=th4ta
Technische Information: <http://www.ps.bam.de> Version 2.1, io=1,1, ColSpX=0

	A	B	C	D	E	F	G	H	I	J	K	L	M	N	O	P	Q	R	S	T	U	V	W	X	Y	Z	a	b	c	d	e	f	g	h	i	j	k	lab*rgb*								
01	0.0	0.0	0.0	0.0	0.0	0.0	0.0	0.0	0.0	0.0	0.13	0.13	0.13	0.13	0.13	0.13	0.13	0.13	0.25	0.25	0.25	0.25	0.25	0.25	0.25	0.25	0.25	0.25	1.0	1.0	1.0	1.0	1.0	1.0	1.0	1.0	1.0	1.0	1.0	0.0	0.0	0.0	0.0			
	0.0	0.13	0.25	0.38	0.5	0.63	0.75	0.88	1.0	1.0	0.0	0.13	0.25	0.38	0.5	0.63	0.75	0.88	1.0	0.0	0.13	0.25	0.38	0.5	0.63	0.75	0.88	1.0	1.0	0.88	0.75	0.63	0.5	0.38	0.25	0.13	0.0	0.0	0.0	0.0	0.0	0.0	0.0			
	0.0	0.0	0.0	0.0	0.0	0.0	0.0	0.0	0.0	0.0	0.0	0.0	0.0	0.0	0.0	0.0	0.0	0.0	0.0	0.0	0.0	0.0	0.0	0.0	0.0	0.0	0.0	0.0	1.0	1.0	0.88	0.75	0.63	0.5	0.38	0.25	0.13	0.0	0.0	0.0	0.0	0.0	0.0	0.0		
02	0.0	0.0	0.0	0.0	0.0	0.0	0.0	0.0	0.0	0.0	0.13	0.13	0.13	0.13	0.13	0.13	0.13	0.13	0.25	0.25	0.25	0.25	0.25	0.25	0.25	0.25	0.25	0.25	0.88	0.88	0.88	0.88	0.88	0.88	0.88	0.88	0.88	0.88	0.13	0.13	0.13	0.13	0.13	0.13	0.13	
	0.0	0.13	0.25	0.38	0.5	0.63	0.75	0.88	1.0	1.0	0.0	0.13	0.25	0.38	0.5	0.63	0.75	0.88	1.0	0.0	0.13	0.25	0.38	0.5	0.63	0.75	0.88	1.0	1.0	0.88	0.75	0.63	0.5	0.38	0.25	0.13	0.0	0.0	0.0	0.0	0.0	0.0	0.0	0.0		
	0.13	0.13	0.13	0.13	0.13	0.13	0.13	0.13	0.13	0.13	0.13	0.13	0.13	0.13	0.13	0.13	0.13	0.13	0.13	0.13	0.13	0.13	0.13	0.13	0.13	0.13	0.13	0.13	1.0	1.0	0.88	0.75	0.63	0.5	0.38	0.25	0.13	0.0	0.0	0.0	0.0	0.0	0.0	0.0		
03	0.0	0.0	0.0	0.0	0.0	0.0	0.0	0.0	0.0	0.0	0.13	0.13	0.13	0.13	0.13	0.13	0.13	0.13	0.25	0.25	0.25	0.25	0.25	0.25	0.25	0.25	0.25	0.25	0.75	0.75	0.75	0.75	0.75	0.75	0.75	0.75	0.75	0.75	0.25	0.25	0.25	0.25	0.25	0.25	0.25	
	0.0	0.13	0.25	0.38	0.5	0.63	0.75	0.88	1.0	1.0	0.0	0.13	0.25	0.38	0.5	0.63	0.75	0.88	1.0	0.0	0.13	0.25	0.38	0.5	0.63	0.75	0.88	1.0	1.0	0.88	0.75	0.63	0.5	0.38	0.25	0.13	0.0	0.25	0.25	0.25	0.25	0.25	0.25	0.25		
	0.25	0.25	0.25	0.25	0.25	0.25	0.25	0.25	0.25	0.25	0.25	0.25	0.25	0.25	0.25	0.25	0.25	0.25	0.25	0.25	0.25	0.25	0.25	0.25	0.25	0.25	0.25	0.25	1.0	1.0	0.88	0.75	0.63	0.5	0.38	0.25	0.13	0.0	0.25	0.25	0.25	0.25	0.25	0.25	0.25	
04	0.0	0.0	0.0	0.0	0.0	0.0	0.0	0.0	0.0	0.0	0.13	0.13	0.13	0.13	0.13	0.13	0.13	0.13	0.25	0.25	0.25	0.25	0.25	0.25	0.25	0.25	0.25	0.25	0.63	0.63	0.63	0.63	0.63	0.63	0.63	0.63	0.63	0.63	0.38	0.38	0.38	0.38	0.38	0.38	0.38	
	0.0	0.13	0.25	0.38	0.5	0.63	0.75	0.88	1.0	1.0	0.0	0.13	0.25	0.38	0.5	0.63	0.75	0.88	1.0	0.0	0.13	0.25	0.38	0.5	0.63	0.75	0.88	1.0	1.0	0.88	0.75	0.63	0.5	0.38	0.25	0.13	0.0	0.38	0.38	0.38	0.38	0.38	0.38	0.38	0.38	
	0.38	0.38	0.38	0.38	0.38	0.38	0.38	0.38	0.38	0.38	0.38	0.38	0.38	0.38	0.38	0.38	0.38	0.38	0.38	0.38	0.38	0.38	0.38	0.38	0.38	0.38	0.38	0.38	1.0	1.0	0.88	0.75	0.63	0.5	0.38	0.25	0.13	0.0	0.38	0.38	0.38	0.38	0.38	0.38	0.38	0.38
05	0.0	0.0	0.0	0.0	0.0	0.0	0.0	0.0	0.0	0.0	0.13	0.13	0.13	0.13	0.13	0.13	0.13	0.13	0.25	0.25	0.25	0.25	0.25	0.25	0.25	0.25	0.25	0.25	0.5	0.5	0.5	0.5	0.5	0.5	0.5	0.5	0.5	0.5	0.5	0.5	0.5	0.5	0.5	0.5	0.5	0.5
	0.0	0.13	0.25	0.38	0.5	0.63	0.75	0.88	1.0	1.0	0.0	0.13	0.25	0.38	0.5	0.63	0.75	0.88	1.0	0.0	0.13	0.25	0.38	0.5	0.63	0.75	0.88	1.0	1.0	0.88	0.75	0.63	0.5	0.38	0.25	0.13	0.0	0.63	0.63	0.63	0.63	0.63	0.63	0.63	0.63	
	0.63	0.63	0.63	0.63	0.63	0.63	0.63	0.63	0.63	0.63	0.63	0.63	0.63	0.63	0.63	0.63	0.63	0.63	0.63	0.63	0.63	0.63	0.63	0.63	0.63	0.63	0.63	0.63	1.0	1.0	0.88	0.75	0.63	0.5	0.38	0.25	0.13	0.0	0.63	0.63	0.63	0.63	0.63	0.63	0.63	0.63
07	0.0	0.0	0.0	0.0	0.0	0.0	0.0	0.0	0.0	0.0	0.13	0.13	0.13	0.13	0.13	0.13	0.13	0.13	0.25	0.25	0.25	0.25	0.25	0.25	0.25	0.25	0.25	0.25	0.25	0.25	0.25	0.25	0.25	0.25	0.25	0.25	0.25	0.25	0.25	0.75	0.75	0.75	0.75	0.75	0.75	
	0.0	0.13	0.25	0.38	0.5	0.63	0.75	0.88	1.0	1.0	0.0	0.13	0.25	0.38	0.5	0.63	0.75	0.88	1.0	0.0	0.13	0.25	0.38	0.5	0.63	0.75	0.88	1.0	1.0	0.88	0.75	0.63	0.5	0.38	0.25	0.13	0.0	0.75	0.75	0.75	0.75	0.75	0.75	0.75	0.75	
	0.75	0.75	0.75	0.75	0.75	0.75	0.75	0.75	0.75	0.75	0.75	0.75	0.75	0.75	0.75	0.75	0.75	0.75	0.75	0.75	0.75	0.75	0.75	0.75	0.75	0.75	0.75	0.75	1.0	1.0	0.88	0.75	0.63	0.5	0.38	0.25	0.13	0.0	0.75	0.75	0.75	0.75	0.75	0.75	0.75	0.75
08	0.0	0.0	0.0	0.0	0.0	0.0	0.0	0.0	0.0	0.0	0.13	0.13	0.13	0.13	0.13	0.13	0.13	0.13	0.25	0.25	0.25	0.25	0.25	0.25	0.25	0.25	0.25	0.25	0.13	0.13	0.13	0.13	0.13	0.13	0.13	0.13	0.13	0.13	0.88	0.88	0.88	0.88	0.88	0.88		
	0.0	0.13	0.25	0.38	0.5	0.63	0.75	0.88	1.0	1.0	0.0	0.13	0.25	0.38	0.5	0.63	0.75	0.88	1.0	0.0	0.13	0.25	0.38	0.5	0.63	0.75	0.88	1.0	1.0	0.88	0.75	0.63	0.5	0.38	0.25	0.13	0.0	0.88	0.88	0.88	0.88	0.88	0.88	0.88	0.88	
	0.88	0.88	0.88	0.88	0.88	0.88	0.88	0.88	0.88	0.88	0.88	0.88	0.88	0.88	0.88	0.88	0.88	0.88	0.88	0.88	0.88	0.88	0.88	0.88	0.88	0.88	0.88	0.88	1.0	1.0	0.88	0.75	0.63	0.5	0.38	0.25	0.13	0.0	0.88	0.88	0.88	0.88	0.88	0.88	0.88	0.88
09	0.0	0.0	0.0	0.0	0.0	0.0	0.0	0.0	0.0	0.0	0.13	0.13	0.13	0.13	0.13	0.13	0.13	0.13	0.25	0.25	0.25	0.25	0.25	0.25	0.25	0.25	0.25	0.25	0.0	0.0	0.0	0.0	0.0	0.0	0.0	0.0	0.0	0.0	1.0	1.0	1.0	1.0	1.0	1.0	1.0	
	0.0	0.13	0.25	0.38	0.5	0.63	0.75	0.88	1.0	1.0	0.0	0.13	0.25	0.38	0.5	0.63	0.75	0.88	1.0	0.0	0.13	0.25	0.38	0.5	0.63	0.75	0.88	1.0	0.0	0.88	0.75	0.63	0.5	0.38	0.25	0.13	0.0	1.0	1.0	1.0	1.0	1.0	1.0	1.0	1.0	
	1.0	1.0	1.0	1.0	1.0	1.0	1.0	1.0	1.0	1.0	1.0	1.0	1.0	1.0	1.0	1.0	1.0	1.0	1.0	1.0	1.0	1.0	1.0	1.0	1.0	1.0	1.0	1.0	1.0	1.0	1.0	1.0	1.0	1.0	1.0	1.0	1.0	1.0	1.0	1.0	1.0	1.0	1.0	1.0	1.0	
10	0.38	0.38	0.38	0.38	0.38	0.38	0.38	0.38	0.38	0.38	0.5	0.5	0.5	0.5	0.5	0.5	0.5	0.5	0.5	0.63	0.63	0.63	0.63	0.63	0.63	0.63	0.63	0.63	1.0	1.0	1.0	1.0	1.0	1.0	1.0	1.0	1.0	1.0	1.0	0.0	0.0	0.0	0.0	0.0	0.0	
	0.0	0.13	0.25	0.38	0.5	0.63	0.75	0.88	1.0	1.0	0.0	0.13	0.25	0.38	0.5	0.63	0.75	0.88	1.0	0.0	0.13	0.25	0.38	0.5	0.63	0.75	0.88	1.0	0.0	0.88	0.75	0.63	0.5	0.38	0.25	0.13	0.0	1.0	1.0	1.0	1.0	1.0	0.0	0.0	0.0	0.0
	0.38	0.38	0.38	0.38	0.38	0.38	0.38	0.38	0.38	0.38	0.5	0.5	0.5	0.5	0.5	0.5	0.5	0.5	0.5	0.63	0.63	0.63	0.63	0.63	0.63	0.63	0.63	0.63	0.88	0.88	0.88	0.88	0.88	0.88	0.88	0.88	0.88	0.88	0.07	0.07	0.07	0.07	0.07	0.07	0.07	
11	0.0	0.13	0.25	0.38	0.5	0.63	0.75	0.88	1.0	1.0	0.0	0.13	0.25	0.38	0.5	0.63	0.75	0.88	1.0	0.0	0.13	0.25	0.38	0.5	0.63	0.75	0.88	1.0	0.88	0.88	0.88	0.88	0.88	0.88	0.88	0.88	0.88	0.07	0.07	0.07	0.07	0.07	0.07	0.07	0.07	
	0.13	0.13	0.13	0.13	0.13	0.13	0.13	0.13	0.13	0.13	0.13	0.13	0.13	0.13	0.13	0.13	0.13	0.13	0.13	0.13	0.13	0.13	0.13	0.13	0.13	0.13	0.13	0.13	1.0	1.0	0.88	0.75	0.63	0.5	0.38	0.25	0.13	0.0	0.07	0.07	0.07	0.07	0.07	0.07	0.07	0.07
12	0.38</																																													

BAM-Registrierung: 20080701-Dg96/10L/L96G00NP.PS/.PDF BAM-Material: Code=th4ta
Anwendung für Beurteilung und Messung von Drucker- oder Monitorsystemen

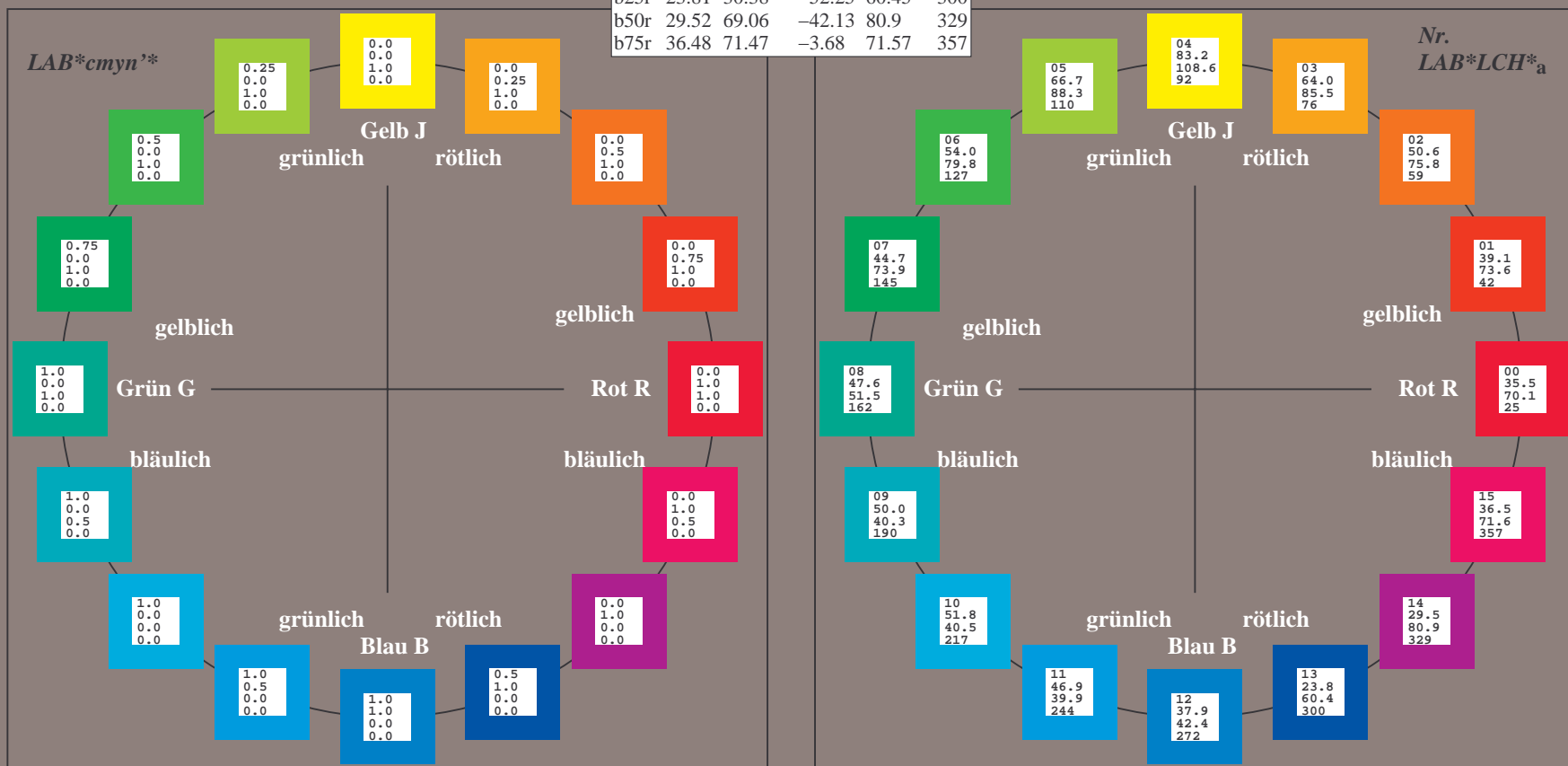
Ein und Ausgabe:
Farbmetrisches Drucker-Reflektiv-System FRS09_92a
Daten für jede Farbe:
*lab*_{rch}** und *lab*_{icu}**
Elementar-Bunttontext:
*u** = 16 Bunttöne *r00j*, *r25j*, ..., *b75r*
Kontrastreduzierungsfaktor:
c_R = 1.0

FRS09_92a; adaptierte CIELAB-Daten					
	<i>L*</i> = <i>L*</i> _a	<i>a*</i> _a	<i>b*</i> _a	<i>C*</i> _{ab,a}	<i>h*</i> _{ab,a}
r00j	35.47	63.32	30.17	70.15	25
r25j	39.12	54.56	49.45	73.64	42
r50j	50.64	39.15	64.89	75.79	59
r75j	64.01	21.26	82.83	85.52	76
j00g	83.18	-4.37	108.53	108.62	92
j25g	66.73	-29.88	83.06	88.28	110
j50g	54.03	-48.3	63.49	79.78	127
j75g	44.73	-60.32	42.64	73.88	145
g00b	47.59	-49.07	15.74	51.54	162
g25b	49.97	-39.69	-6.71	40.27	190
g50b	51.85	-32.32	-24.34	40.48	217
g75b	46.92	-17.28	-36.01	39.96	244
b00r	37.91	1.28	-42.34	42.37	272
b25r	23.81	30.38	-52.25	60.45	300
b50r	29.52	69.06	-42.13	80.9	329
b75r	36.48	71.47	-3.68	71.57	357



%Umfang
*u**_{rel} = 109
%Regularität
*g**_{H,rel} = 31
*g**_{C,rel} = 40

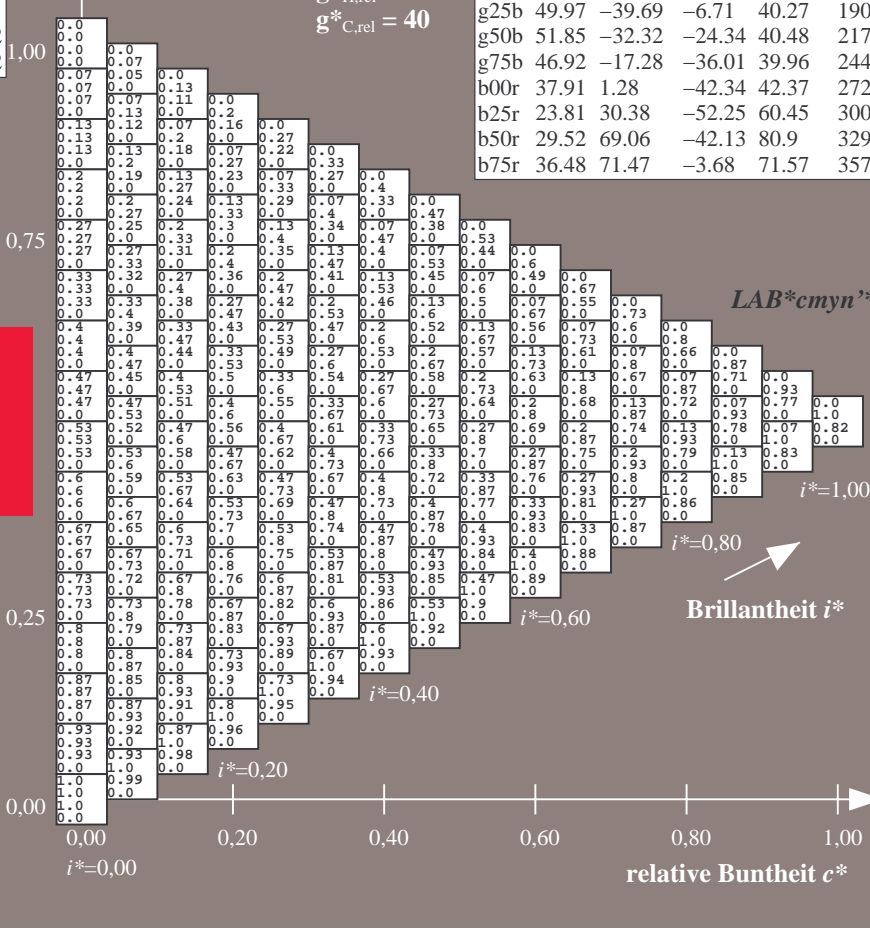
FRS09_92a; CIELAB-Daten					
	<i>L*</i> = <i>L*</i>	<i>a*</i>	<i>b*</i>	<i>C*</i> _{ab}	<i>h*</i> _{ab}
O _M	35.06	60.53	39.66	72.37	33
Y _M	83.77	-4.49	103.15	103.25	92
L _M	44.13	-62.1	43.56	75.86	145
C _M	52.66	-28.55	-36.98	46.73	232
V _M	14.15	50.78	-62.59	80.61	309
M _M	37.37	79.18	-37.92	87.8	334
N _M	8.58	0.46	-3.34	3.38	278
W _M	92.02	0.69	-6.47	6.52	276
R _{CIE}	39.92	58.74	27.99	65.07	25
J _{CIE}	81.26	-2.88	71.56	71.62	92
G _{CIE}	52.23	-42.41	13.6	44.55	162
B _{CIE}	30.57	1.41	-46.46	46.49	272



0


$$\mathbf{g}_{\text{C,rel}}^* = 40$$

relative Buntheit c^*



Eingabe: 000n / w / nnn0 / www set...
Ausgabe: ->cmyn5* setcmykcolor

BAM-Registrierung: 20080701-Dg96/10L/L96G00NP.PS/.PDF BAM-Material: Code=rh4ta
Anwendung für Beurteilung und Messung von Drucker- oder Monitorsystemen

100


$$g^*_{C,rel} = 40$$

relative Bunttheit e^*

0,60 0,80 1,00

/www.set...
mykcolor

v

BAM-Registrierung: 20080701-Dg96/10L/L96G00NP.PS/.PDF BAM-Material: Code=rha4ta
Anwendung für Beurteilung und Messung von Drucker- oder Monitorsystemen

Siehe ähnliche Dateien: <http://www.ps.bam.de/Dg96/>; www.ps.bam.de/Dg.HTM
Technische Information: <http://www.ps.bam.de> Version 2.1, io=1, ColSp=0

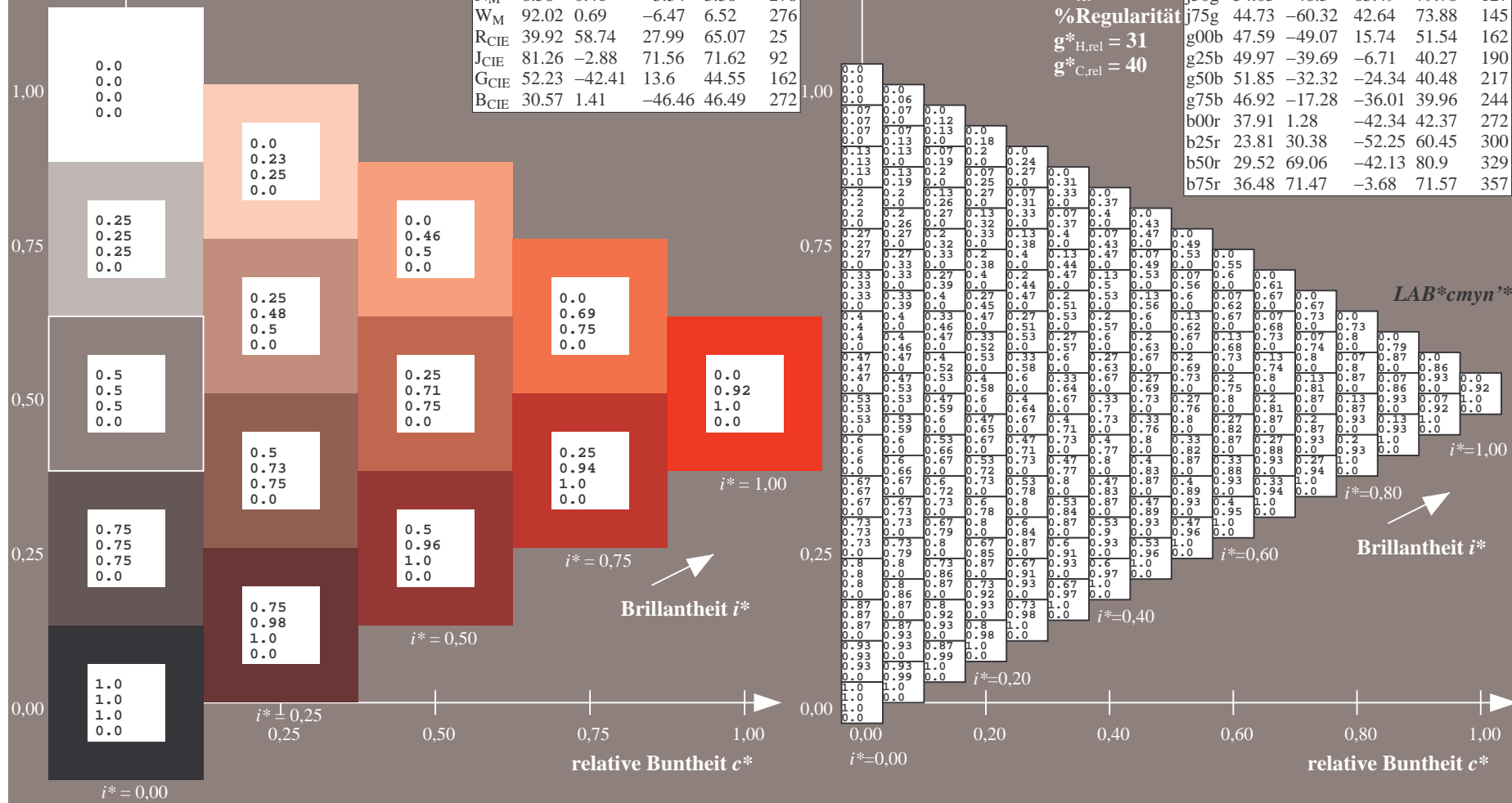
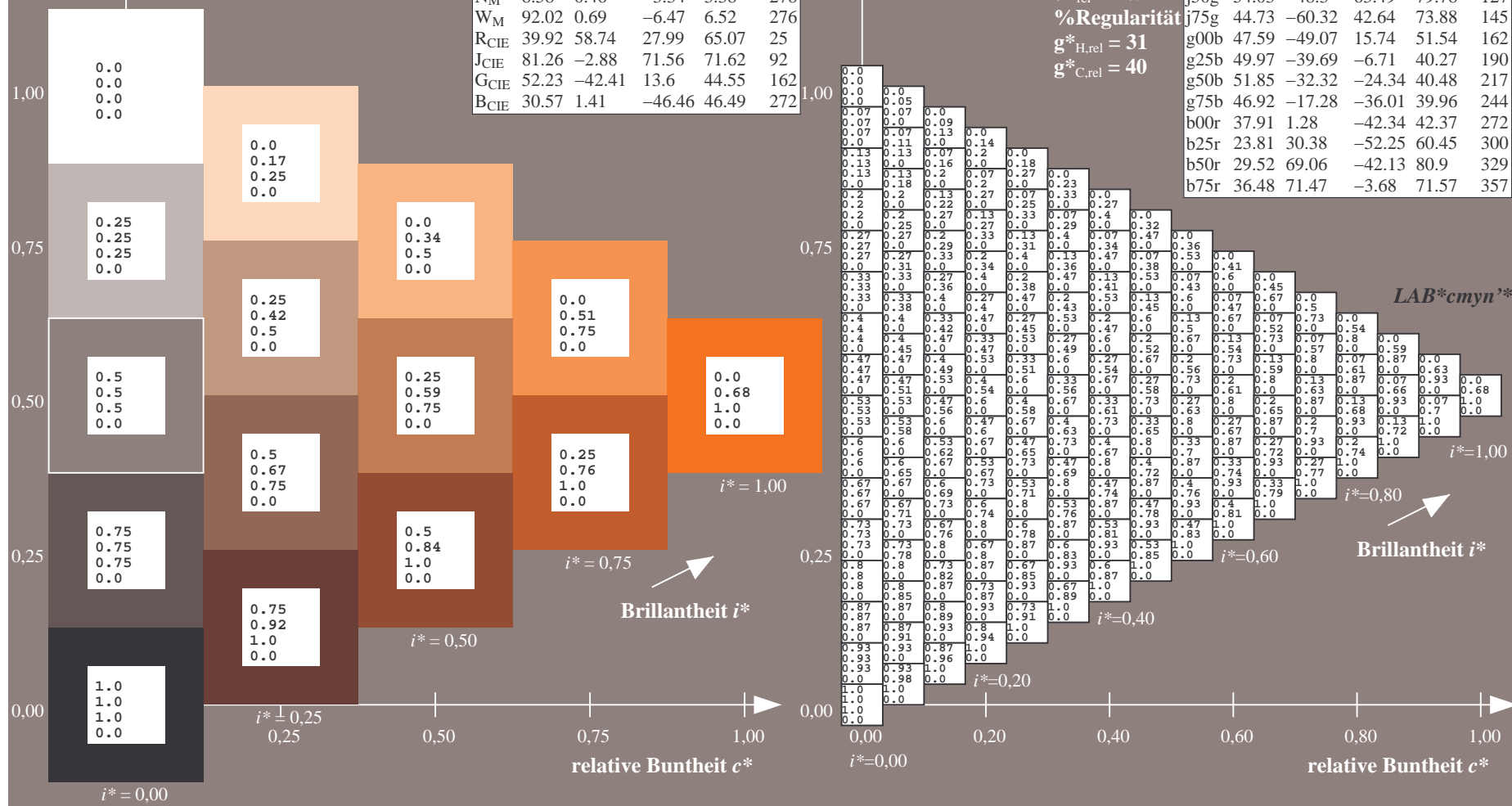


Figure 1





Ein und Ausgabe: Farbmetrisches Drucker-Reflektiv-System FRS09_92a für relativen CIELAB-Buntton $h^* = lab^*h^* = h_{ab}/360 = 76/360 = 0.21$

Daten für jede Farbe:

lab^*ch^* und lab^*icu^*

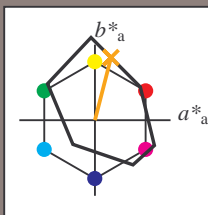
Elementar-Bunttontext:

$u^* = r75j$

Kontrastreduzierungsfaktor:

$c_R = 1.0$

Dreiecks-Helligkeit i^*



FRS09_92a; CIELAB-Daten

	$L^*=L^*$	a^*	b^*	C^*_{ab}	h^*_{ab}
O _M	35.06	60.53	39.66	72.37	33
Y _M	83.77	-4.49	103.15	103.25	92
L _M	44.13	-62.1	43.56	75.86	145
C _M	52.66	-28.55	-36.98	46.73	232
V _M	14.15	50.78	-62.59	80.61	309
M _M	37.37	79.18	-37.92	87.8	334
N _M	8.58	0.46	-3.34	3.38	278
W _M	92.02	0.69	-6.47	6.52	276
R _{CIE}	39.92	58.74	27.99	65.07	25
J _{CIE}	81.26	-2.88	71.56	71.62	92
G _{CIE}	52.23	-42.41	13.6	44.55	162
B _{CIE}	30.57	1.41	-46.46	46.49	272

Daten für Maximalfarbe (Ma):

$LAB^*LAB^*_{Ma}$: 64 21 83

$LAB^*LCH^*_{Ma}$: 64 86 76

$lab^*rgb^*_{Ma}$: 1.0 0.75 0.0

$lab^*olv^*_{Ma}$: 1.0 0.59 0.0

Dreiecks-Helligkeit i^*

%Umfang

$u^*_{rel} = 109$

%Regularität

$g^*_{H,rel} = 31$

$g^*_{C,rel} = 40$

FRS09_92a; adaptierte CIELAB-Daten

	$L^*=L^*$	a^*_a	b^*_a	$C^*_{ab,a}$	$h^*_{ab,a}$
r00j	35.47	63.32	30.17	70.15	25
r25j	39.12	54.56	49.45	73.64	42
r50j	50.64	39.15	64.89	75.79	59
r75j	64.01	21.26	82.83	85.52	76
j00g	83.18	-4.37	108.53	108.62	92
j25g	66.73	-29.88	83.06	88.28	110
j50g	54.03	-48.3	63.49	79.78	127
j75g	44.73	-60.32	42.64	73.88	145
g00b	47.59	-49.07	15.74	51.54	162
g25b	49.97	-39.69	-6.71	40.27	190
g50b	51.85	-32.32	-24.34	40.48	217
g75b	46.92	-17.28	-36.01	39.96	244
b00r	37.91	1.28	-42.34	42.37	272
b25r	23.81	30.38	-52.25	60.45	300
b50r	29.52	69.06	-42.13	80.9	329
b75r	36.48	71.47	-3.68	71.57	357

LAB^*cmyn^*

$i^* = 1.00$

Brillantheit i^*

$i^* = 0.80$

$i^* = 0.60$

$i^* = 0.40$

$i^* = 0.20$

$i^* = 0.00$

relative Buntheit c^*

relative Buntheit c^*

Ein und Ausgabe: Farbmetrisches Drucker-Reflektiv-System FRS09_92a für relativen CIELAB-Buntton $h^* = lab^*h^* = h_{ab}/360 = 92/360 = 0.256$ $u^* = j00g$

Daten für jede Farbe:

lab^*ch^* und lab^*icu^*

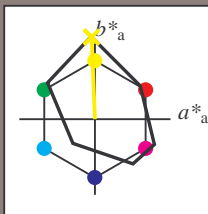
Elementar-Bunttontext:

$u^* = j00g$

Kontrastreduzierungsfaktor:

$c_R = 1.0$

Dreiecks-Helligkeit i^*



FRS09_92a; CIELAB-Daten

	$L^*=L^*$	a^*	b^*	C^*_{ab}	h^*_{ab}
O _M	35.06	60.53	39.66	72.37	33
Y _M	83.77	-4.49	103.15	103.25	92
L _M	44.13	-62.1	43.56	75.86	145
C _M	52.66	-28.55	-36.98	46.73	232
V _M	14.15	50.78	-62.59	80.61	309
M _M	37.37	79.18	-37.92	87.8	334
W _M	8.58	0.46	-3.34	3.38	278
N _M	92.02	0.69	-6.47	6.52	276
R _{CIE}	39.92	58.74	27.99	65.07	25
J _{CIE}	81.26	-2.88	71.56	71.62	92
G _{CIE}	52.23	-42.41	13.6	44.55	162
B _{CIE}	30.57	1.41	-46.46	46.49	272

Daten für Maximalfarbe (Ma):

$LAB^*LAB^*_{Ma}$: 83 -3 109

$LAB^*LCH^*_{Ma}$: 83 109 92

$lab^*rgb^*_{Ma}$: 1.0 1.0 0.0

$lab^*olv^*_{Ma}$: 1.0 0.99 0.0

Dreiecks-Helligkeit i^*

%Umfang

$u^*_{rel} = 109$

%Regularität

$g^*_{H,rel} = 31$

$g^*_{C,rel} = 40$

FRS09_92a; adaptierte CIELAB-Daten

	$L^*=L^*$	a^*_a	b^*_a	$C^*_{ab,a}$	$h^*_{ab,a}$
r00j	35.47	63.32	30.17	70.15	25
r25j	39.12	54.56	49.45	73.64	42
r50j	50.64	39.15	64.89	75.79	59
r75j	64.01	21.26	82.83	85.52	76
j00g	83.18	-4.37	108.53	108.62	92
j25g	66.73	-29.88	83.06	88.28	110
j50g	54.03	-48.3	63.49	79.78	127
j75g	44.73	-60.32	42.64	73.88	145
g00b	47.59	-49.07	15.74	51.54	162
g25b	49.97	-39.69	-6.71	40.27	190
g50b	51.85	-32.32	-24.34	40.48	217
g75b	46.92	-17.28	-36.01	39.96	244
b00r	37.91	1.28	-42.34	42.37	272
b25r	23.81	30.38	-52.25	60.45	300
b50r	29.52	69.06	-42.13	80.9	329
b75r	36.48	71.47	-3.68	71.57	357

LAB^*cmyn^*

$i^* = 1.00$

$i^* = 0.80$

Brillantheit i^*

$i^* = 0.60$

$i^* = 0.40$

$i^* = 0.20$

$i^* = 0.00$

relative Buntheit c^*

relative Buntheit c^*

$i^* = 0.00$

$i^* = 0.25$

$i^* = 0.50$

$i^* = 0.75$

$i^* = 1.00$

Ein und Ausgabe: Farbmetrisches Drucker-Reflektiv-System FRS09_92a für relativen CIELAB-Buntton $h^* = lab^*h^* = h_{ab}/360 = 110/360 = 0.305$ $u^* = j25g$

Daten für jede Farbe:

lab^*ch^* und lab^*icu^*

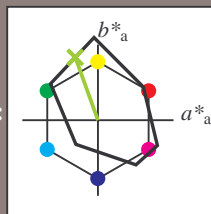
Elementar-Bunttontext:

$u^* = j25g$

Kontrastreduzierungsfaktor:

$c_R = 1.0$

Dreiecks-Helligkeit i^*



FRS09_92a; CIELAB-Daten

	$L^*=L^*$	a^*	b^*	C^*_{ab}	h^*_{ab}
O _M	35.06	60.53	39.66	72.37	33
Y _M	83.77	-4.49	103.15	103.25	92
L _M	44.13	-62.1	43.56	75.86	145
C _M	52.66	-28.55	-36.98	46.73	232
V _M	14.15	50.78	-62.59	80.61	309
M _M	37.37	79.18	-37.92	87.8	334
N _M	8.58	0.46	-3.34	3.38	278
W _M	92.02	0.69	-6.47	6.52	276
R _{CIE}	39.92	58.74	27.99	65.07	25
J _{CIE}	81.26	-2.88	71.56	71.62	92
G _{CIE}	52.23	-42.41	13.6	44.55	162
B _{CIE}	30.57	1.41	-46.46	46.49	272

Daten für Maximalfarbe (Ma):

$LAB^*LAB^*_{Ma}$: 67 -29 83

$LAB^*LCH^*_{Ma}$: 67 88 110

$lab^*rgb^*_{Ma}$: 0.75 1.0 0.0

$lab^*olv^*_{Ma}$: 0.57 1.0 0.0

Dreiecks-Helligkeit i^*

%Umfang

$u^*_{rel} = 109$

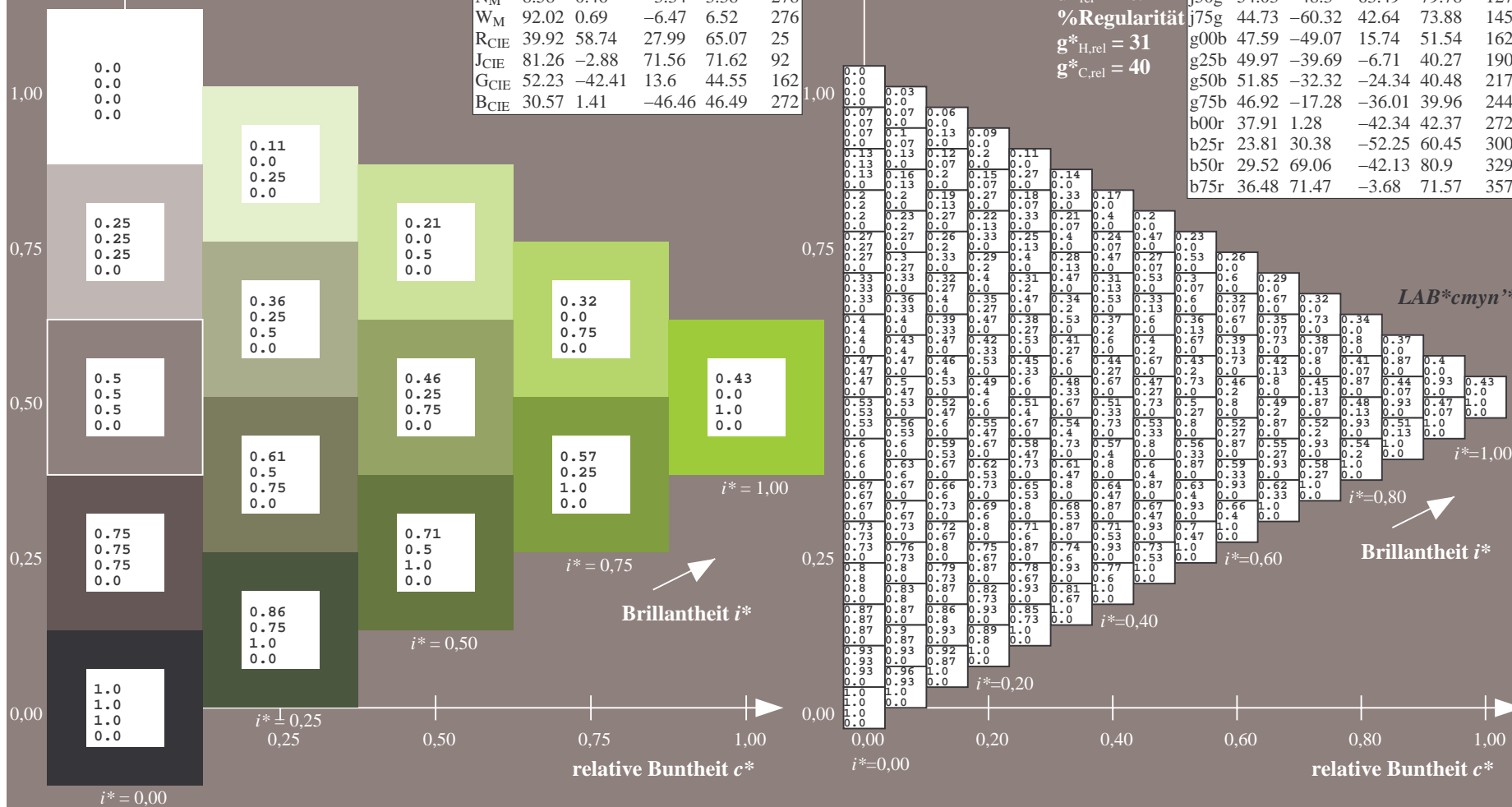
%Regularität

$g^*_{H,rel} = 31$

$g^*_{C,rel} = 40$

FRS09_92a; adaptierte CIELAB-Daten

	$L^*=L^*_a$	a^*_a	b^*_a	$C^*_{ab,a}$	$h^*_{ab,a}$
r00j	35.47	63.32	30.17	70.15	25
r25j	39.12	54.56	49.45	73.64	42
r50j	50.64	39.15	64.89	75.79	59
r75j	64.01	21.26	82.83	85.52	76
j00g	83.18	-4.37	108.53	108.62	92
j25g	66.73	-29.88	83.06	88.28	110
j50g	54.03	-48.3	63.49	79.78	127
j75g	44.73	-60.32	42.64	73.88	145
g00b	47.59	-49.07	15.74	51.54	162
g25b	49.97	-39.69	-6.71	40.27	190
g50b	51.85	-32.32	-24.34	40.48	217
g75b	46.92	-17.28	-36.01	39.96	244
b00r	37.91	1.28	-42.34	42.37	272
b25r	23.81	30.38	-52.25	60.45	300
b50r	29.52	69.06	-42.13	80.9	329
b75r	36.48	71.47	-3.68	71.57	357



Ein und Ausgabe: Farbmetrisches Drucker-Reflektiv-System FRS09_92a für relativen CIELAB-Buntton $h^* = lab^*h^* = h_{ab}/360 = 127/360 = 0.354$ $u^* = j50g$

Daten für jede Farbe:

lab^*ch^* und lab^*icu^*

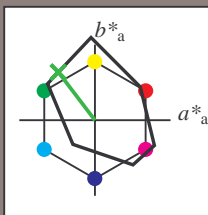
Elementar-Bunttontext:

$u^* = j50g$

Kontrastreduzierungsfaktor:

$c_R = 1.0$

Dreiecks-Helligkeit i^*



FRS09_92a; CIELAB-Daten

	$L^*=L^*$	a^*	b^*	C^*_{ab}	h^*_{ab}
O _M	35.06	60.53	39.66	72.37	33
Y _M	83.77	-4.49	103.15	103.25	92
L _M	44.13	-62.1	43.56	75.86	145
C _M	52.66	-28.55	-36.98	46.73	232
V _M	14.15	50.78	-62.59	80.61	309
M _M	37.37	79.18	-37.92	87.8	334
N _M	8.58	0.46	-3.34	3.38	278
W _M	92.02	0.69	-6.47	6.52	276
R _{CIE}	39.92	58.74	27.99	65.07	25
J _{CIE}	81.26	-2.88	71.56	71.62	92
G _{CIE}	52.23	-42.41	13.6	44.55	162
B _{CIE}	30.57	1.41	-46.46	46.49	272

Daten für Maximalfarbe (Ma):

$LAB^*LAB^*_{Ma}$: 54 -47 63

$LAB^*LCH^*_{Ma}$: 54 80 127

$lab^*rgb^*_{Ma}$: 0.5 1.0 0.0

$lab^*olv^*_{Ma}$: 0.25 1.0 0.0

Dreiecks-Helligkeit i^*

%Umfang

$u^*_{rel} = 109$

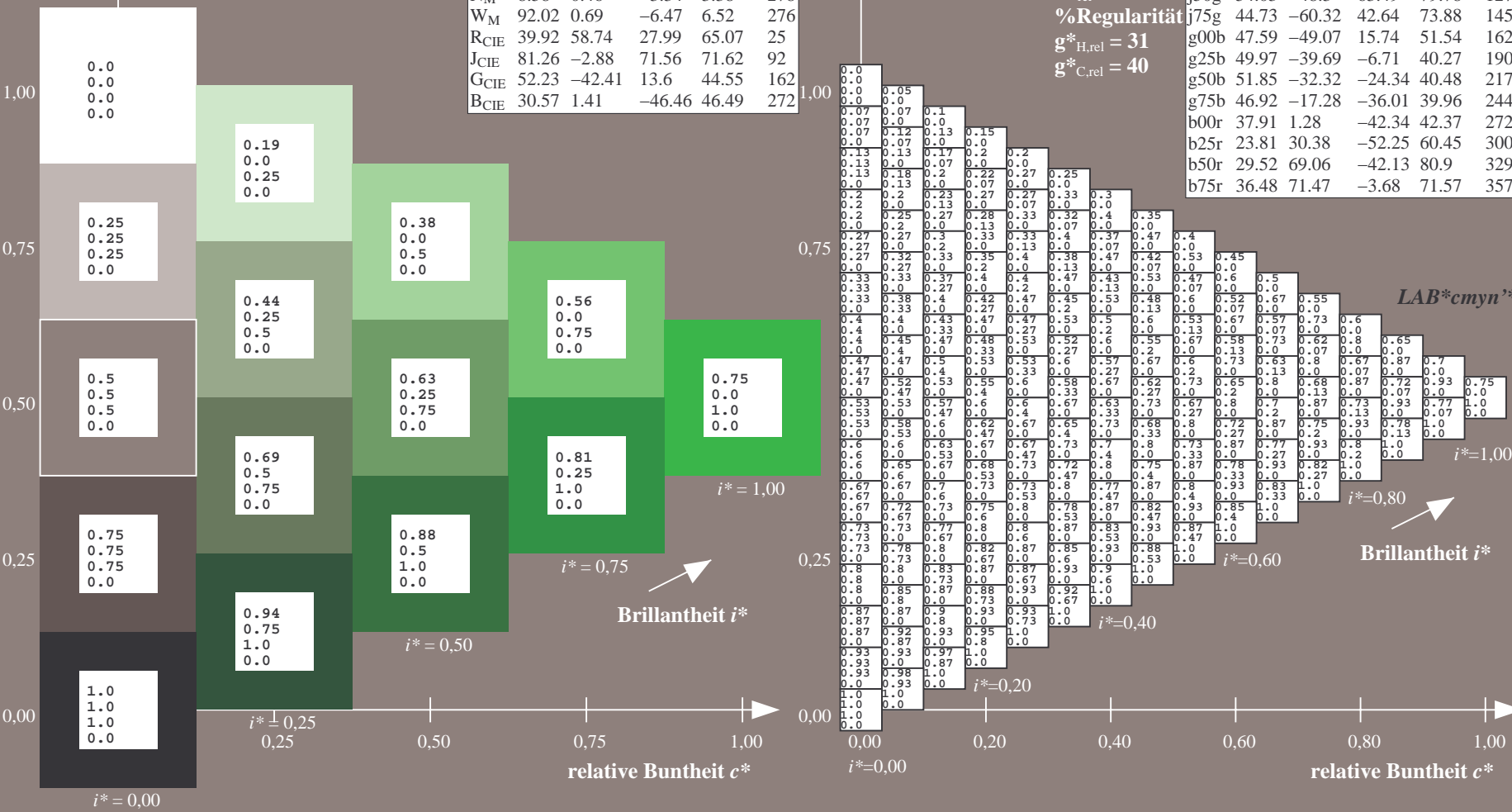
%Regularität

$g^*_{H,rel} = 31$

$g^*_{C,rel} = 40$

FRS09_92a; adaptierte CIELAB-Daten

	$L^*=L^*_a$	a^*_a	b^*_a	$C^*_{ab,a}$	$h^*_{ab,a}$
r00j	35.47	63.32	30.17	70.15	25
r25j	39.12	54.56	49.45	73.64	42
r50j	50.64	39.15	64.89	75.79	59
r75j	64.01	21.26	82.83	85.52	76
j00g	83.18	-4.37	108.53	108.62	92
j25g	66.73	-29.88	83.06	88.28	110
j50g	54.03	-48.3	63.49	79.78	127
j75g	44.73	-60.32	42.64	73.88	145
g00b	47.59	-49.07	15.74	51.54	162
g25b	49.97	-39.69	-6.71	40.27	190
g50b	51.85	-32.32	-24.34	40.48	217
g75b	46.92	-17.28	-36.01	39.96	244
b00r	37.91	1.28	-42.34	42.37	272
b25r	23.81	30.38	-52.25	60.45	300
b50r	29.52	69.06	-42.13	80.9	329
b75r	36.48	71.47	-3.68	71.57	357



Ein und Ausgabe: Farbmetrisches Drucker-Reflektiv-System FRS09_92a für relativen CIELAB-Buntton $h^* = lab^*h^* = h_{ab}/360 = 145/360 = 0.402$ $u^* = j75g$

Daten für jede Farbe:

lab^*ch^* und lab^*icu^*

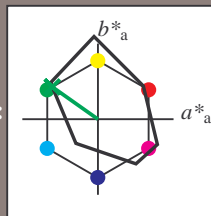
Elementar-Bunttontext:

$u^* = j75g$

Kontrastreduzierungsfaktor:

$c_R = 1.0$

Dreiecks-Helligkeit i^*



FRS09_92a; CIELAB-Daten					
	$L^*=L^*$	a^*	b^*	C^*_{ab}	h^*_{ab}
O _M	35.06	60.53	39.66	72.37	33
Y _M	83.77	-4.49	103.15	103.25	92
L _M	44.13	-62.1	43.56	75.86	145
C _M	52.66	-28.55	-36.98	46.73	232
V _M	14.15	50.78	-62.59	80.61	309
M _M	37.37	79.18	-37.92	87.8	334
N _M	8.58	0.46	-3.34	3.38	278
W _M	92.02	0.69	-6.47	6.52	276
R _{CIE}	39.92	58.74	27.99	65.07	25
J _{CIE}	81.26	-2.88	71.56	71.62	92
G _{CIE}	52.23	-42.41	13.6	44.55	162
B _{CIE}	30.57	1.41	-46.46	46.49	272

Daten für Maximalfarbe (Ma):

$LAB^*LAB^*_{Ma}$: 45 -59 43

$LAB^*LCH^*_{Ma}$: 45 74 145

$lab^*rgb^*_{Ma}$: 0.25 1.0 0.0

$lab^*olv^*_{Ma}$: 0.0 1.0 0.07

Dreiecks-Helligkeit i^*

%Umfang

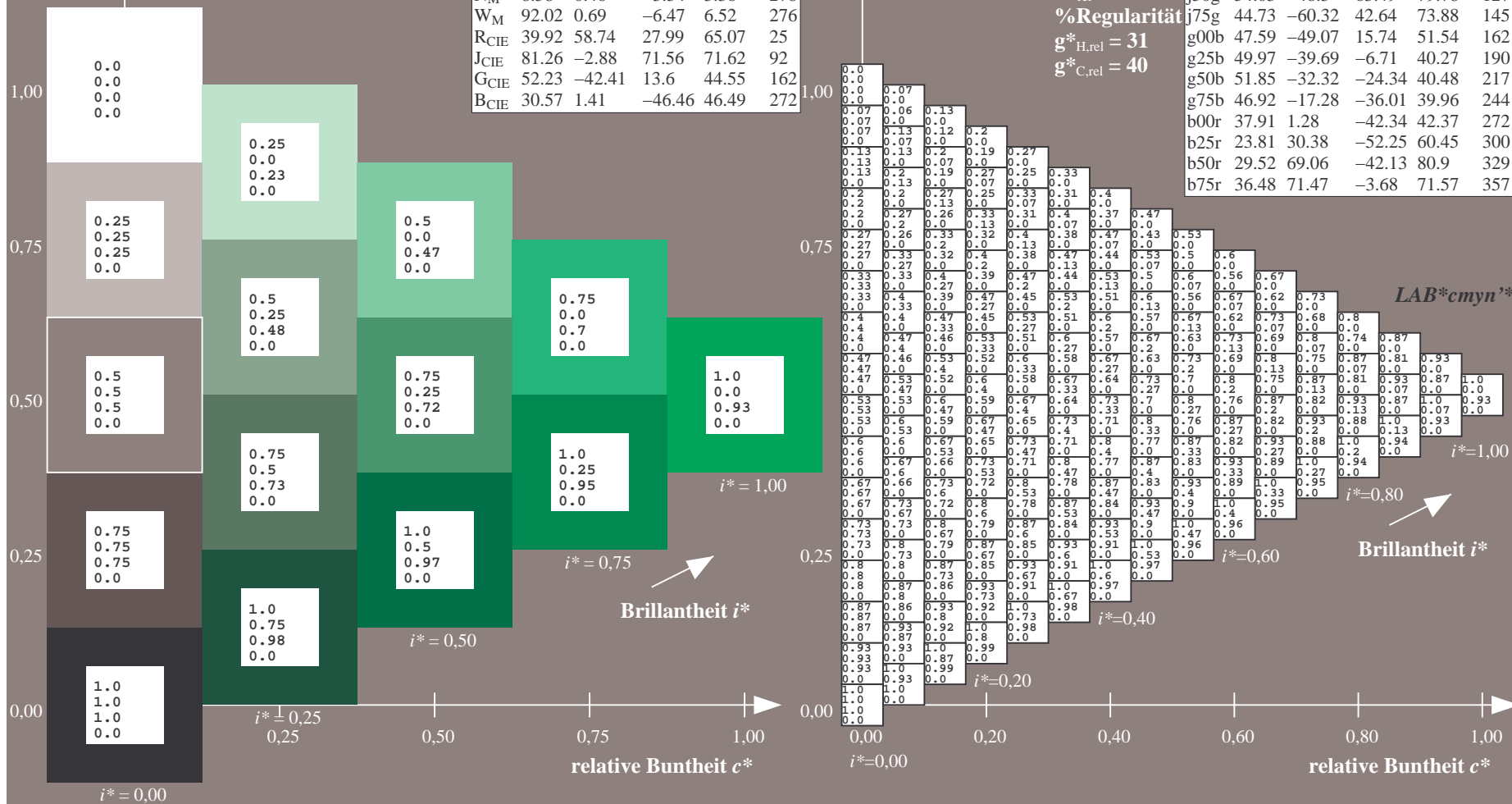
$u^*_{rel} = 109$

%Regularität

$g^*_{H,rel} = 31$

$g^*_{C,rel} = 40$

FRS09_92a; adaptierte CIELAB-Daten					
	$L^*=L^*_a$	a^*_a	b^*_a	$C^*_{ab,a}$	$h^*_{ab,a}$
r00j	35.47	63.32	30.17	70.15	25
r25j	39.12	54.56	49.45	73.64	42
r50j	50.64	39.15	64.89	75.79	59
r75j	64.01	21.26	82.83	85.52	76
j00g	83.18	-4.37	108.53	108.62	92
j25g	66.73	-29.88	83.06	88.28	110
j50g	54.03	-48.3	63.49	79.78	127
j75g	44.73	-60.32	42.64	73.88	145
g00b	47.59	-49.07	15.74	51.54	162
g25b	49.97	-39.69	-6.71	40.27	190
g50b	51.85	-32.32	-24.34	40.48	217
g75b	46.92	-17.28	-36.01	39.96	244
b00r	37.91	1.28	-42.34	42.37	272
b25r	23.81	30.38	-52.25	60.45	300
b50r	29.52	69.06	-42.13	80.9	329
b75r	36.48	71.47	-3.68	71.57	357



Ein und Ausgabe: Farbmetrisches Drucker-Reflektiv-System FRS09_92a für relativen CIELAB-Buntton $h^* = lab^*h^* = h_{ab}/360 = 162/360 = 0.451$ $u^* = g00b$

Daten für jede Farbe:

lab^*ch^* und lab^*icu^*

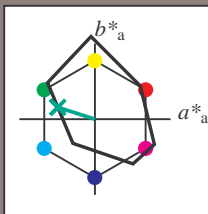
Elementar-Bunttontext:

$u^* = g00b$

Kontrastreduzierungsfaktor:

$c_R = 1.0$

Dreiecks-Helligkeit i^*



FRS09_92a; CIELAB-Daten

	$L^*=L^*$	a^*	b^*	C^*_{ab}	h^*_{ab}
O _M	35.06	60.53	39.66	72.37	33
Y _M	83.77	-4.49	103.15	103.25	92
L _M	44.13	-62.1	43.56	75.86	145
C _M	52.66	-28.55	-36.98	46.73	232
V _M	14.15	50.78	-62.59	80.61	309
M _M	37.37	79.18	-37.92	87.8	334
N _M	8.58	0.46	-3.34	3.38	278
W _M	92.02	0.69	-6.47	6.52	276
R _{CIE}	39.92	58.74	27.99	65.07	25
J _{CIE}	81.26	-2.88	71.56	71.62	92
G _{CIE}	52.23	-42.41	13.6	44.55	162
B _{CIE}	30.57	1.41	-46.46	46.49	272

Daten für Maximalfarbe (Ma):

$LAB^*LAB^*_{Ma}$: 48 -48 16

$LAB^*LCH^*_{Ma}$: 48 52 162

$lab^*rgb^*_{Ma}$: 0.0 1.0 0.0

$lab^*olv^*_{Ma}$: 0.0 1.0 0.41

Dreiecks-Helligkeit i^*

%Umfang

$u^*_{rel} = 109$

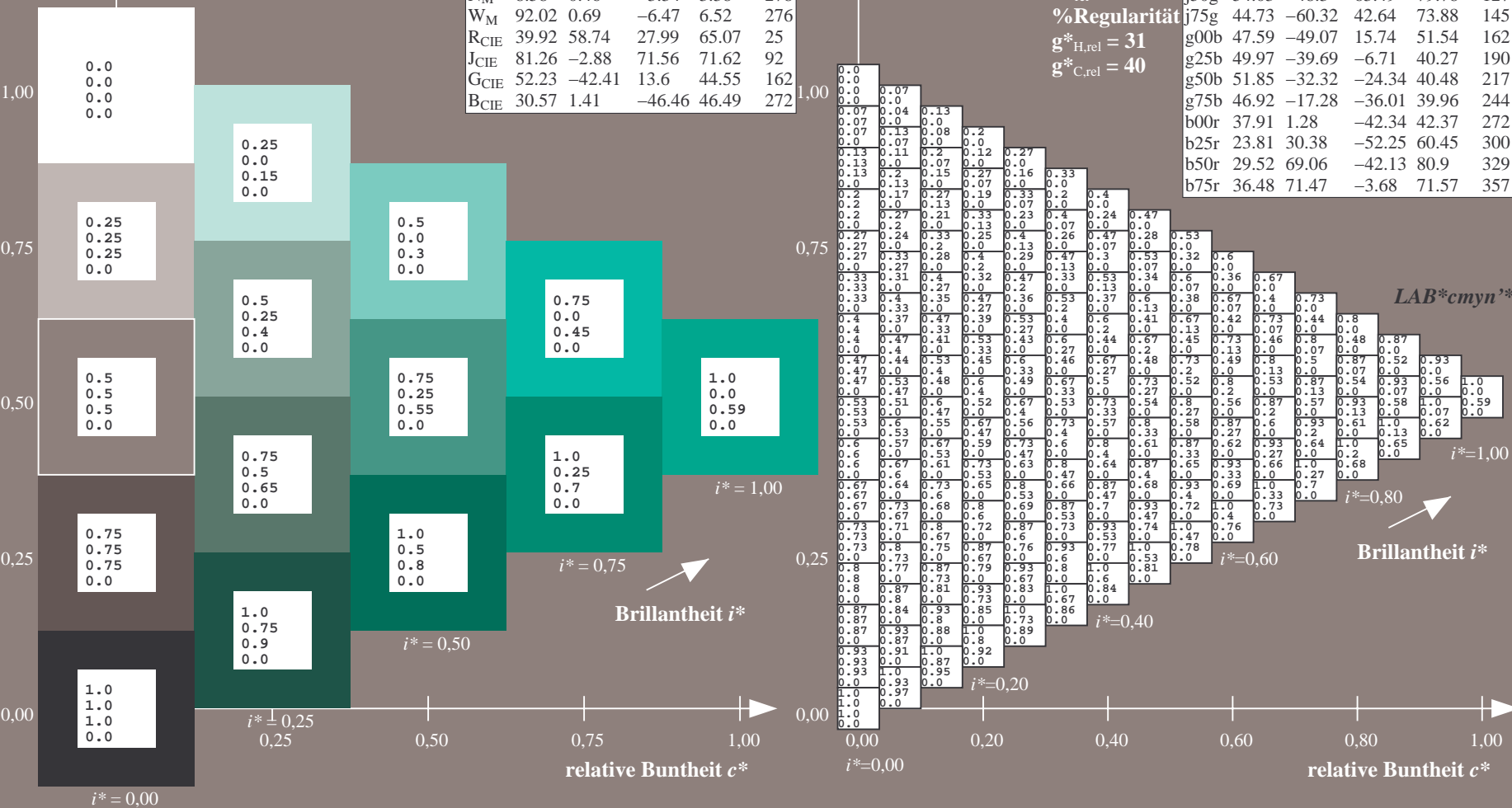
%Regularität

$g^*_{H,rel} = 31$

$g^*_{C,rel} = 40$

FRS09_92a; adaptierte CIELAB-Daten

	$L^*=L^*_a$	a^*_a	b^*_a	$C^*_{ab,a}$	$h^*_{ab,a}$
r00j	35.47	63.32	30.17	70.15	25
r25j	39.12	54.56	49.45	73.64	42
r50j	50.64	39.15	64.89	75.79	59
r75j	64.01	21.26	82.83	85.52	76
j00g	83.18	-4.37	108.53	108.62	92
j25g	66.73	-29.88	83.06	88.28	110
j50g	54.03	-48.3	63.49	79.78	127
j75g	44.73	-60.32	42.64	73.88	145
g00b	47.59	-49.07	15.74	51.54	162
g25b	49.97	-39.69	-6.71	40.27	190
g50b	51.85	-32.32	-24.34	40.48	217
g75b	46.92	-17.28	-36.01	39.96	244
b00r	37.91	1.28	-42.34	42.37	272
b25r	23.81	30.38	-52.25	60.45	300
b50r	29.52	69.06	-42.13	80.9	329
b75r	36.48	71.47	-3.68	71.57	357



Ein und Ausgabe: Farbmetrisches Drucker-Reflektiv-System FRS09_92a für relativen CIELAB-Buntton $h^* = lab^*h^* = h_{ab}/360 = 190/360 = 0.527$ $u^* = g25b$

Daten für jede Farbe:

lab^*ch^* und lab^*icu^*

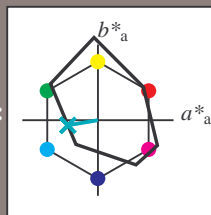
Elementar-Bunttontext:

$u^* = g25b$

Kontrastreduzierungsfaktor:

$c_R = 1.0$

Dreiecks-Helligkeit i^*



FRS09_92a; CIELAB-Daten					
	$L^*=L^*$	a^*	b^*	C^*_{ab}	h^*_{ab}
O _M	35.06	60.53	39.66	72.37	33
Y _M	83.77	-4.49	103.15	103.25	92
L _M	44.13	-62.1	43.56	75.86	145
C _M	52.66	-28.55	-36.98	46.73	232
V _M	14.15	50.78	-62.59	80.61	309
M _M	37.37	79.18	-37.92	87.8	334
N _M	8.58	0.46	-3.34	3.38	278
W _M	92.02	0.69	-6.47	6.52	276
R _{CIE}	39.92	58.74	27.99	65.07	25
J _{CIE}	81.26	-2.88	71.56	71.62	92
G _{CIE}	52.23	-42.41	13.6	44.55	162
B _{CIE}	30.57	1.41	-46.46	46.49	272

Daten für Maximalfarbe (Ma):

$LAB^*LAB^*_{Ma}$: 50 -39 -6

$LAB^*LCH^*_{Ma}$: 50 40 190

$lab^*rgb^*_{Ma}$: 0.0 1.0 0.5

$lab^*olv^*_{Ma}$: 0.0 1.0 0.69

Dreiecks-Helligkeit i^*

%Umfang

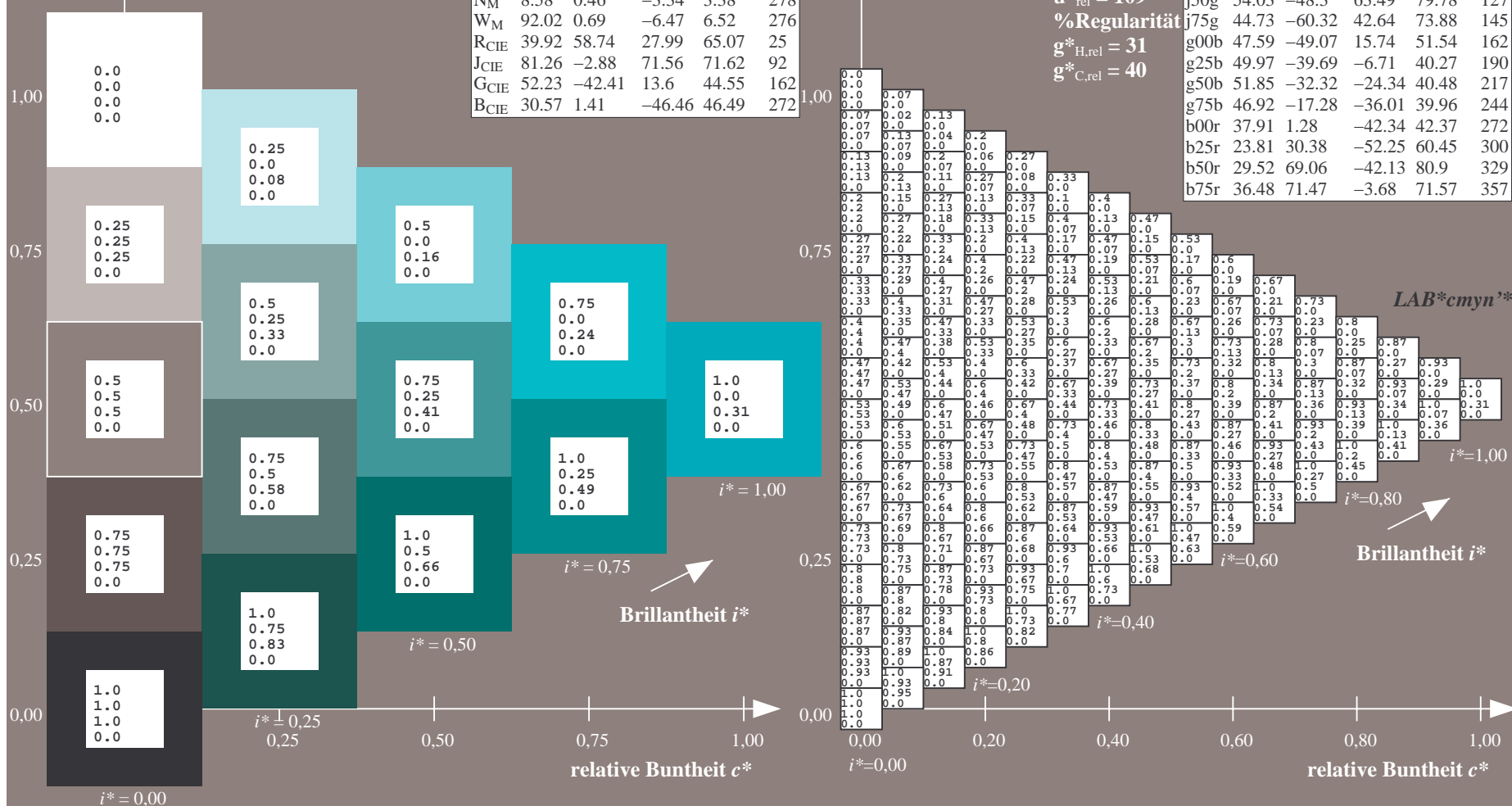
$u^*_{rel} = 109$

%Regularität

$g^*_{H,rel} = 31$

$g^*_{C,rel} = 40$

FRS09_92a; adaptierte CIELAB-Daten					
	$L^*=L^*_a$	a^*_a	b^*_a	$C^*_{ab,a}$	$h^*_{ab,a}$
r00j	35.47	63.32	30.17	70.15	25
r25j	39.12	54.56	49.45	73.64	42
r50j	50.64	39.15	64.89	75.79	59
r75j	64.01	21.26	82.83	85.52	76
j00g	83.18	-4.37	108.53	108.62	92
j25g	66.73	-29.88	83.06	88.28	110
j50g	54.03	-48.3	63.49	79.78	127
j75g	44.73	-60.32	42.64	73.88	145
g00b	47.59	-49.07	15.74	51.54	162
g25b	49.97	-39.69	-6.71	40.27	190
g50b	51.85	-32.32	-24.34	40.48	217
g75b	46.92	-17.28	-36.01	39.96	244
b00r	37.91	1.28	-42.34	42.37	272
b25r	23.81	30.38	-52.25	60.45	300
b50r	29.52	69.06	-42.13	80.9	329
b75r	36.48	71.47	-3.68	71.57	357



Ein und Ausgabe: Farbmetrisches Drucker-Reflektiv-System FRS09_92a für relativen CIELAB-Buntton $h^* = lab^*h^* = h_{ab}/360 = 217/360 = 0.603$ $u^* = g50b$

Daten für jede Farbe:

lab^*ch^* und lab^*icu^*

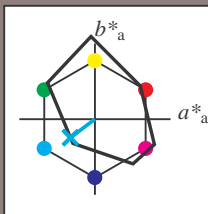
Elementar-Bunttontext:

$u^* = g50b$

Kontrastreduzierungsfaktor:

$c_R = 1.0$

Dreiecks-Helligkeit i^*



FRS09_92a; CIELAB-Daten

	$L^*=L^*$	a^*	b^*	C^*_{ab}	h^*_{ab}
O _M	35.06	60.53	39.66	72.37	33
Y _M	83.77	-4.49	103.15	103.25	92
L _M	44.13	-62.1	43.56	75.86	145
C _M	52.66	-28.55	-36.98	46.73	232
V _M	14.15	50.78	-62.59	80.61	309
M _M	37.37	79.18	-37.92	87.8	334
N _M	8.58	0.46	-3.34	3.38	278
W _M	92.02	0.69	-6.47	6.52	276
R _{CIE}	39.92	58.74	27.99	65.07	25
J _{CIE}	81.26	-2.88	71.56	71.62	92
G _{CIE}	52.23	-42.41	13.6	44.55	162
B _{CIE}	30.57	1.41	-46.46	46.49	272

Daten für Maximalfarbe (Ma):

$LAB^*LAB^*_{Ma}$: 52 -31 -23

$LAB^*LCH^*_{Ma}$: 52 40 217

$lab^*rgb^*_{Ma}$: 0.0 1.0 1.0

$lab^*olv^*_{Ma}$: 0.0 1.0 0.9

Dreiecks-Helligkeit i^*

%Umfang

$u^*_{rel} = 109$

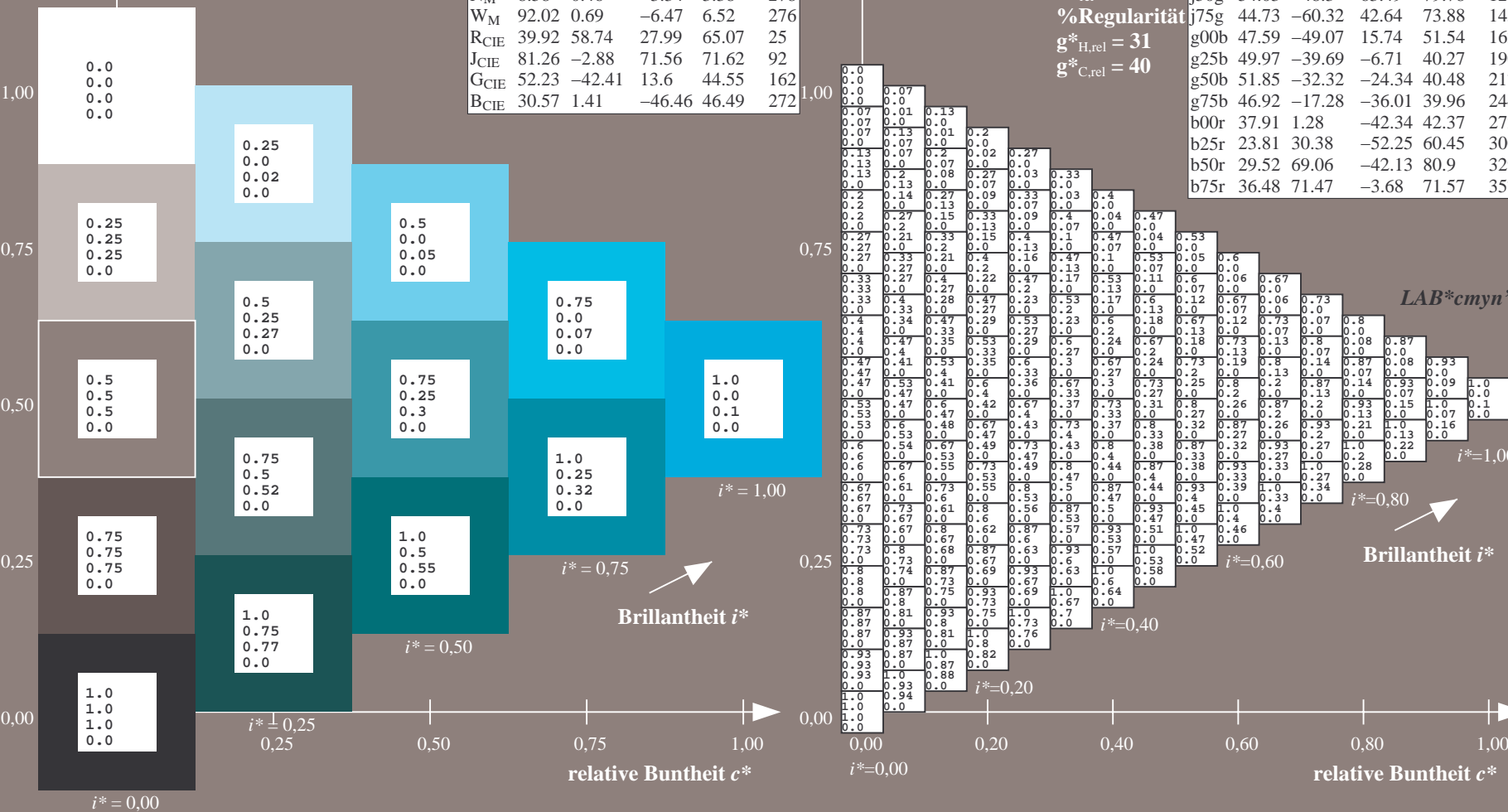
%Regularität

$g^*_{H,rel} = 31$

$g^*_{C,rel} = 40$

FRS09_92a; adaptierte CIELAB-Daten

	$L^*=L^*_a$	a^*_a	b^*_a	$C^*_{ab,a}$	$h^*_{ab,a}$
r00j	35.47	63.32	30.17	70.15	25
r25j	39.12	54.56	49.45	73.64	42
r50j	50.64	39.15	64.89	75.79	59
r75j	64.01	21.26	82.83	85.52	76
j00g	83.18	-4.37	108.53	108.62	92
j25g	66.73	-29.88	83.06	88.28	110
j50g	54.03	-48.3	63.49	79.78	127
j75g	44.73	-60.32	42.64	73.88	145
g00b	47.59	-49.07	15.74	51.54	162
g25b	49.97	-39.69	-6.71	40.27	190
g50b	51.85	-32.32	-24.34	40.48	217
g75b	46.92	-17.28	-36.01	39.96	244
b00r	37.91	1.28	-42.34	42.37	272
b25r	23.81	30.38	-52.25	60.45	300
b50r	29.52	69.06	-42.13	80.9	329
b75r	36.48	71.47	-3.68	71.57	357



Ein und Ausgabe: Farbmetrisches Drucker-Reflektiv-System FRS09_92a für relativen CIELAB-Buntton $h^* = lab^*h^* = h_{ab}/360 = 244/360 = 0.679$ $u^* = g75b$

Daten für jede Farbe:

lab^*ch^* und lab^*icu^*

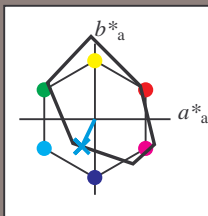
Elementar-Bunttontext:

$u^* = g75b$

Kontrastreduzierungsfaktor:

$c_R = 1.0$

Dreiecks-Helligkeit i^*



FRS09_92a; CIELAB-Daten					
	$L^*=L^*$	a^*	b^*	C^*_{ab}	h^*_{ab}
O _M	35.06	60.53	39.66	72.37	33
Y _M	83.77	-4.49	103.15	103.25	92
L _M	44.13	-62.1	43.56	75.86	145
C _M	52.66	-28.55	-36.98	46.73	232
V _M	14.15	50.78	-62.59	80.61	309
M _M	37.37	79.18	-37.92	87.8	334
N _M	8.58	0.46	-3.34	3.38	278
W _M	92.02	0.69	-6.47	6.52	276
R _{CIE}	39.92	58.74	27.99	65.07	25
J _{CIE}	81.26	-2.88	71.56	71.62	92
G _{CIE}	52.23	-42.41	13.6	44.55	162
B _{CIE}	30.57	1.41	-46.46	46.49	272

Daten für Maximalfarbe (Ma):

$LAB^*LAB^*_{Ma}$: 47 -16 -35

$LAB^*LCH^*_{Ma}$: 47 40 244

$lab^*rgb^*_{Ma}$: 0.0 0.5 1.0

$lab^*olv^*_{Ma}$: 0.0 0.85 1.0

Dreiecks-Helligkeit i^*

%Umfang

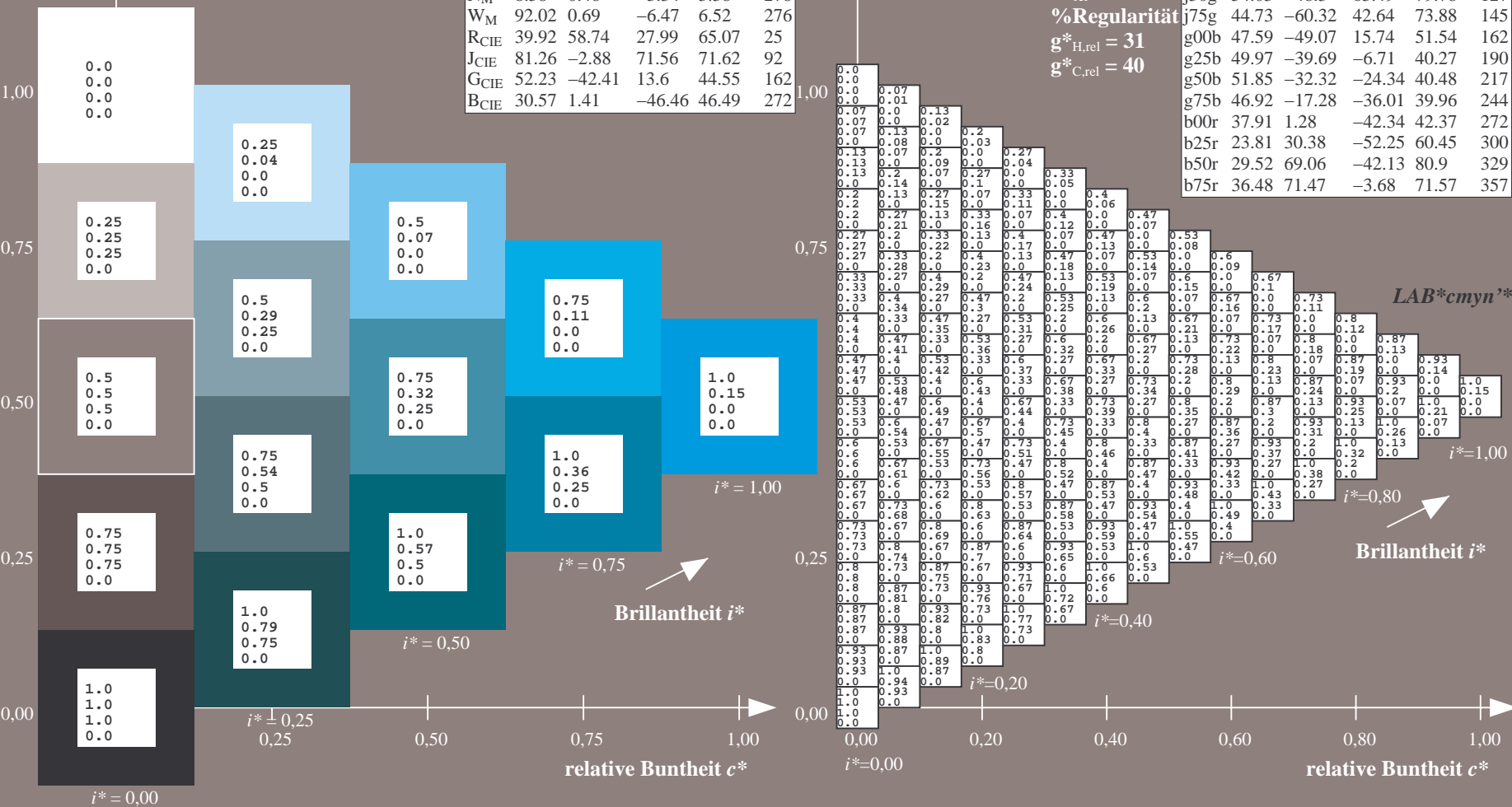
$u^*_{rel} = 109$

%Regularität

$g^*_{H,rel} = 31$

$g^*_{C,rel} = 40$

FRS09_92a; adaptierte CIELAB-Daten					
	$L^*=L^*_a$	a^*_a	b^*_a	$C^*_{ab,a}$	$h^*_{ab,a}$
r00j	35.47	63.32	30.17	70.15	25
r25j	39.12	54.56	49.45	73.64	42
r50j	50.64	39.15	64.89	75.79	59
r75j	64.01	21.26	82.83	85.52	76
j00g	83.18	-4.37	108.53	108.62	92
j25g	66.73	-29.88	83.06	88.28	110
j50g	54.03	-48.3	63.49	79.78	127
j75g	44.73	-60.32	42.64	73.88	145
g00b	47.59	-49.07	15.74	51.54	162
g25b	49.97	-39.69	-6.71	40.27	190
g50b	51.85	-32.32	-24.34	40.48	217
g75b	46.92	-17.28	-36.01	39.96	244
b00r	37.91	1.28	-42.34	42.37	272
b25r	23.81	30.38	-52.25	60.45	300
b50r	29.52	69.06	-42.13	80.9	329
b75r	36.48	71.47	-3.68	71.57	357



Ein und Ausgabe: Farbmetrisches Drucker-Reflektiv-System FRS09_92a für relativen CIELAB-Buntton $h^* = lab^*h^* = h_{ab}/360 = 272/360 = 0.755$ $u^* = b00r$

Daten für jede Farbe:

lab^*ch^* und lab^*icu^*

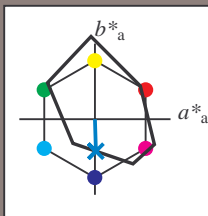
Elementar-Bunttontext:

$u^* = b00r$

Kontrastreduzierungsfaktor:

$c_R = 1.0$

Dreiecks-Helligkeit i^*



FRS09_92a; CIELAB-Daten					
	$L^*=L^*$	a^*	b^*	C^*_{ab}	h^*_{ab}
O _M	35.06	60.53	39.66	72.37	33
Y _M	83.77	-4.49	103.15	103.25	92
L _M	44.13	-62.1	43.56	75.86	145
C _M	52.66	-28.55	-36.98	46.73	232
V _M	14.15	50.78	-62.59	80.61	309
M _M	37.37	79.18	-37.92	87.8	334
N _M	8.58	0.46	-3.34	3.38	278
W _M	92.02	0.69	-6.47	6.52	276
R _{CIE}	39.92	58.74	27.99	65.07	25
J _{CIE}	81.26	-2.88	71.56	71.62	92
G _{CIE}	52.23	-42.41	13.6	44.55	162
B _{CIE}	30.57	1.41	-46.46	46.49	272

Daten für Maximalfarbe (Ma):

$LAB^*LAB^*_{Ma}$: 38 1 -41

$LAB^*LCH^*_{Ma}$: 38 42 272

$lab^*rgb^*_{Ma}$: 0.0 0.0 1.0

$lab^*olv^*_{Ma}$: 0.0 0.62 1.0

Dreiecks-Helligkeit i^*

%Umfang

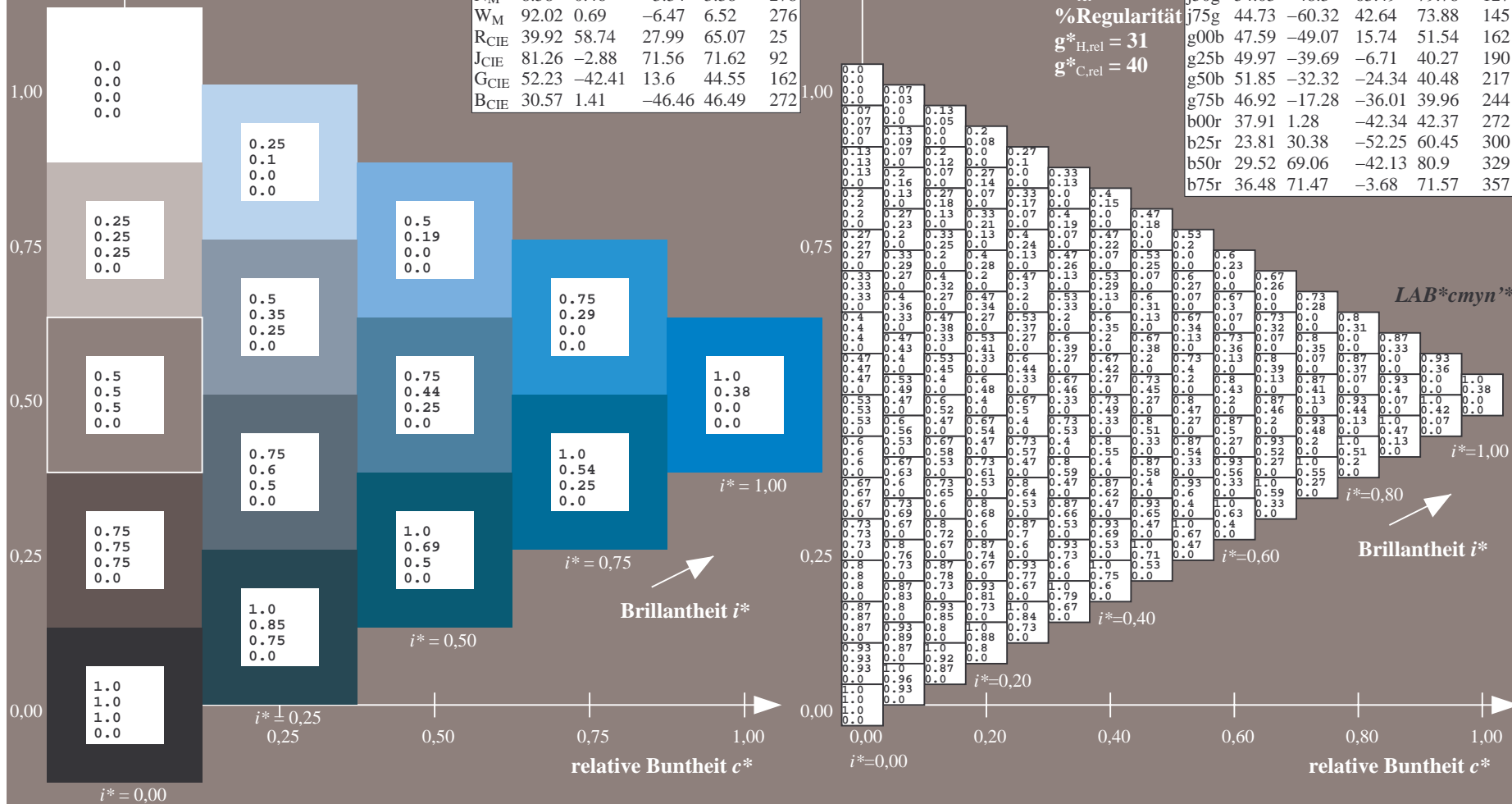
$u^*_{rel} = 109$

%Regularität

$g^*_{H,rel} = 31$

$g^*_{C,rel} = 40$

FRS09_92a; adaptierte CIELAB-Daten					
	$L^*=L^*_a$	a^*_a	b^*_a	$C^*_{ab,a}$	$h^*_{ab,a}$
r00j	35.47	63.32	30.17	70.15	25
r25j	39.12	54.56	49.45	73.64	42
r50j	50.64	39.15	64.89	75.79	59
r75j	64.01	21.26	82.83	85.52	76
j00g	83.18	-4.37	108.53	108.62	92
j25g	66.73	-29.88	83.06	88.28	110
j50g	54.03	-48.3	63.49	79.78	127
j75g	44.73	-60.32	42.64	73.88	145
g00b	47.59	-49.07	15.74	51.54	162
g25b	49.97	-39.69	-6.71	40.27	190
g50b	51.85	-32.32	-24.34	40.48	217
g75b	46.92	-17.28	-36.01	39.96	244
b00r	37.91	1.28	-42.34	42.37	272
b25r	23.81	30.38	-52.25	60.45	300
b50r	29.52	69.06	-42.13	80.9	329
b75r	36.48	71.47	-3.68	71.57	357



Ein und Ausgabe: Farbmetrisches Drucker-Reflektiv-System FRS09_92a für relativen CIELAB-Buntton $h^* = lab^*h^* = h_{ab}/360 = 300/360 = 0.834$ $u^* = b25r$

Daten für jede Farbe:

lab^*ch^* und lab^*icu^*

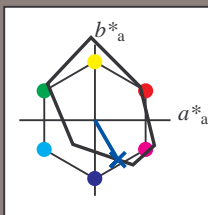
Elementar-Bunttontext:

$u^* = b25r$

Kontrastreduzierungsfaktor:

$c_R = 1.0$

Dreiecks-Helligkeit i^*



FRS09_92a; CIELAB-Daten

	$L^*=L^*$	a^*	b^*	C^*_{ab}	h^*_{ab}
O _M	35.06	60.53	39.66	72.37	33
Y _M	83.77	-4.49	103.15	103.25	92
L _M	44.13	-62.1	43.56	75.86	145
C _M	52.66	-28.55	-36.98	46.73	232
V _M	14.15	50.78	-62.59	80.61	309
M _M	37.37	79.18	-37.92	87.8	334
N _M	8.58	0.46	-3.34	3.38	278
W _M	92.02	0.69	-6.47	6.52	276
R _{CIE}	39.92	58.74	27.99	65.07	25
J _{CIE}	81.26	-2.88	71.56	71.62	92
G _{CIE}	52.23	-42.41	13.6	44.55	162
B _{CIE}	30.57	1.41	-46.46	46.49	272

Daten für Maximalfarbe (Ma):

$LAB^*LAB^*_{Ma}$: 24 30 -51

$LAB^*LCH^*_{Ma}$: 24 60 300

$lab^*rgb^*_{Ma}$: 0.5 0.0 1.0

$lab^*olv^*_{Ma}$: 0.0 0.25 1.0

Dreiecks-Helligkeit i^*

%Umfang

$u^*_{rel} = 109$

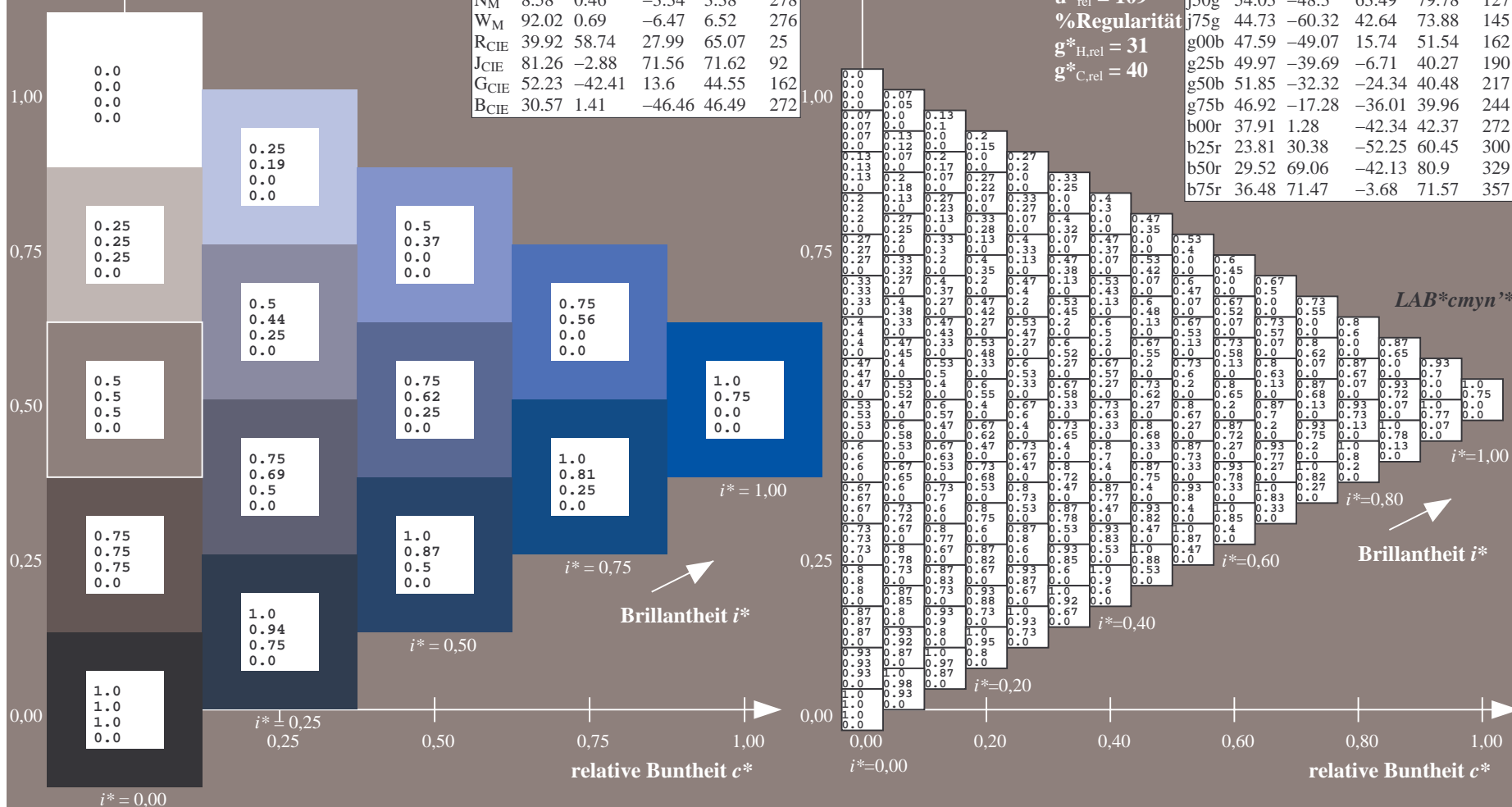
%Regularität

$g^*_{H,rel} = 31$

$g^*_{C,rel} = 40$

FRS09_92a; adaptierte CIELAB-Daten

	$L^*=L^*_a$	a^*_a	b^*_a	$C^*_{ab,a}$	$h^*_{ab,a}$
r00j	35.47	63.32	30.17	70.15	25
r25j	39.12	54.56	49.45	73.64	42
r50j	50.64	39.15	64.89	75.79	59
r75j	64.01	21.26	82.83	85.52	76
j00g	83.18	-4.37	108.53	108.62	92
j25g	66.73	-29.88	83.06	88.28	110
j50g	54.03	-48.3	63.49	79.78	127
j75g	44.73	-60.32	42.64	73.88	145
g00b	47.59	-49.07	15.74	51.54	162
g25b	49.97	-39.69	-6.71	40.27	190
g50b	51.85	-32.32	-24.34	40.48	217
g75b	46.92	-17.28	-36.01	39.96	244
b00r	37.91	1.28	-42.34	42.37	272
b25r	23.81	30.38	-52.25	60.45	300
b50r	29.52	69.06	-42.13	80.9	329
b75r	36.48	71.47	-3.68	71.57	357



Ein und Ausgabe: Farbmetrisches Drucker-Reflektiv-System FRS09_92a für relativen CIELAB-Buntton $h^* = lab^*h^* = h_{ab}/360 = 329/360 = 0.913$ $u^* = b50r$

Daten für jede Farbe:

lab^*ch^* und lab^*icu^*

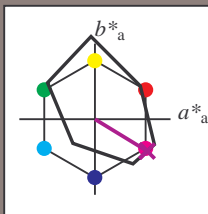
Elementar-Bunttontext:

$u^* = b50r$

Kontrastreduzierungsfaktor:

$c_R = 1.0$

Dreiecks-Helligkeit i^*



FRS09_92a; CIELAB-Daten

	$L^*=L^*$	a^*	b^*	C^*_{ab}	h^*_{ab}
O _M	35.06	60.53	39.66	72.37	33
Y _M	83.77	-4.49	103.15	103.25	92
L _M	44.13	-62.1	43.56	75.86	145
C _M	52.66	-28.55	-36.98	46.73	232
V _M	14.15	50.78	-62.59	80.61	309
M _M	37.37	79.18	-37.92	87.8	334
W _M	8.58	0.46	-3.34	3.38	278
N _M	92.02	0.69	-6.47	6.52	276
R _{CIE}	39.92	58.74	27.99	65.07	25
J _{CIE}	81.26	-2.88	71.56	71.62	92
G _{CIE}	52.23	-42.41	13.6	44.55	162
B _{CIE}	30.57	1.41	-46.46	46.49	272

Daten für Maximalfarbe (Ma):

$LAB^*LAB^*_{Ma}$: 30 69 -41

$LAB^*LCH^*_{Ma}$: 30 81 329

$lab^*rgb^*_{Ma}$: 1.0 0.0 1.0

$lab^*olv^*_{Ma}$: 0.66 0.0 1.0

Dreiecks-Helligkeit i^*

%Umfang

$u^*_{rel} = 109$

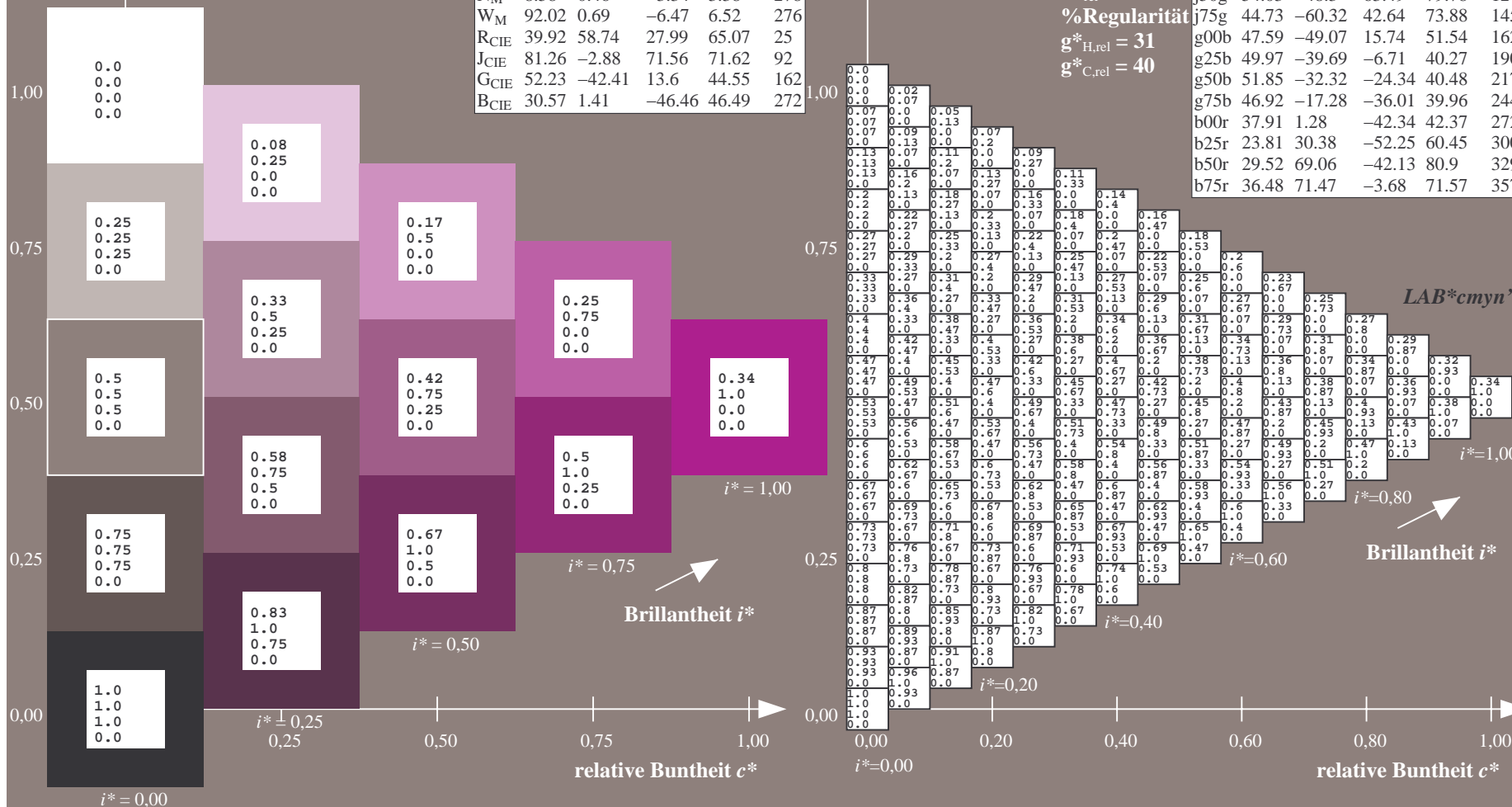
%Regularität

$g^*_{H,rel} = 31$

$g^*_{C,rel} = 40$

FRS09_92a; adaptierte CIELAB-Daten

	$L^*=L^*_a$	a^*_a	b^*_a	$C^*_{ab,a}$	$h^*_{ab,a}$
r00j	35.47	63.32	30.17	70.15	25
r25j	39.12	54.56	49.45	73.64	42
r50j	50.64	39.15	64.89	75.79	59
r75j	64.01	21.26	82.83	85.52	76
j00g	83.18	-4.37	108.53	108.62	92
j25g	66.73	-29.88	83.06	88.28	110
j50g	54.03	-48.3	63.49	79.78	127
j75g	44.73	-60.32	42.64	73.88	145
g00b	47.59	-49.07	15.74	51.54	162
g25b	49.97	-39.69	-6.71	40.27	190
g50b	51.85	-32.32	-24.34	40.48	217
g75b	46.92	-17.28	-36.01	39.96	244
b00r	37.91	1.28	-42.34	42.37	272
b25r	23.81	30.38	-52.25	60.45	300
b50r	29.52	69.06	-42.13	80.9	329
b75r	36.48	71.47	-3.68	71.57	357



Ein und Ausgabe: Farbmetrisches Drucker-Reflektiv-System FRS09_92a für relativen CIELAB-Buntton $h^* = lab^*h^* = h_{ab}/360 = 357/360 = 0.992$ $u^* = b75r$

Daten für jede Farbe:

lab^*ch^* und lab^*icu^*

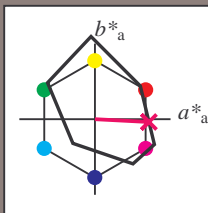
Elementar-Bunttontext:

$u^* = b75r$

Kontrastreduzierungsfaktor:

$c_R = 1.0$

Dreiecks-Helligkeit i^*



FRS09_92a; CIELAB-Daten

	$L^*=L^*$	a^*	b^*	C^*_{ab}	h^*_{ab}
O _M	35.06	60.53	39.66	72.37	33
Y _M	83.77	-4.49	103.15	103.25	92
L _M	44.13	-62.1	43.56	75.86	145
C _M	52.66	-28.55	-36.98	46.73	232
V _M	14.15	50.78	-62.59	80.61	309
M _M	37.37	79.18	-37.92	87.8	334
N _M	8.58	0.46	-3.34	3.38	278
W _M	92.02	0.69	-6.47	6.52	276
R _{CIE}	39.92	58.74	27.99	65.07	25
J _{CIE}	81.26	-2.88	71.56	71.62	92
G _{CIE}	52.23	-42.41	13.6	44.55	162
B _{CIE}	30.57	1.41	-46.46	46.49	272

Daten für Maximalfarbe (Ma):

$LAB^*LAB^*_{Ma}$: 36 71 -3

$LAB^*LCH^*_{Ma}$: 36 72 357

$lab^*rgb^*_{Ma}$: 1.0 0.0 0.5

$lab^*olv^*_{Ma}$: 1.0 0.0 0.62

Dreiecks-Helligkeit i^*

%Umfang

$u^*_{rel} = 109$

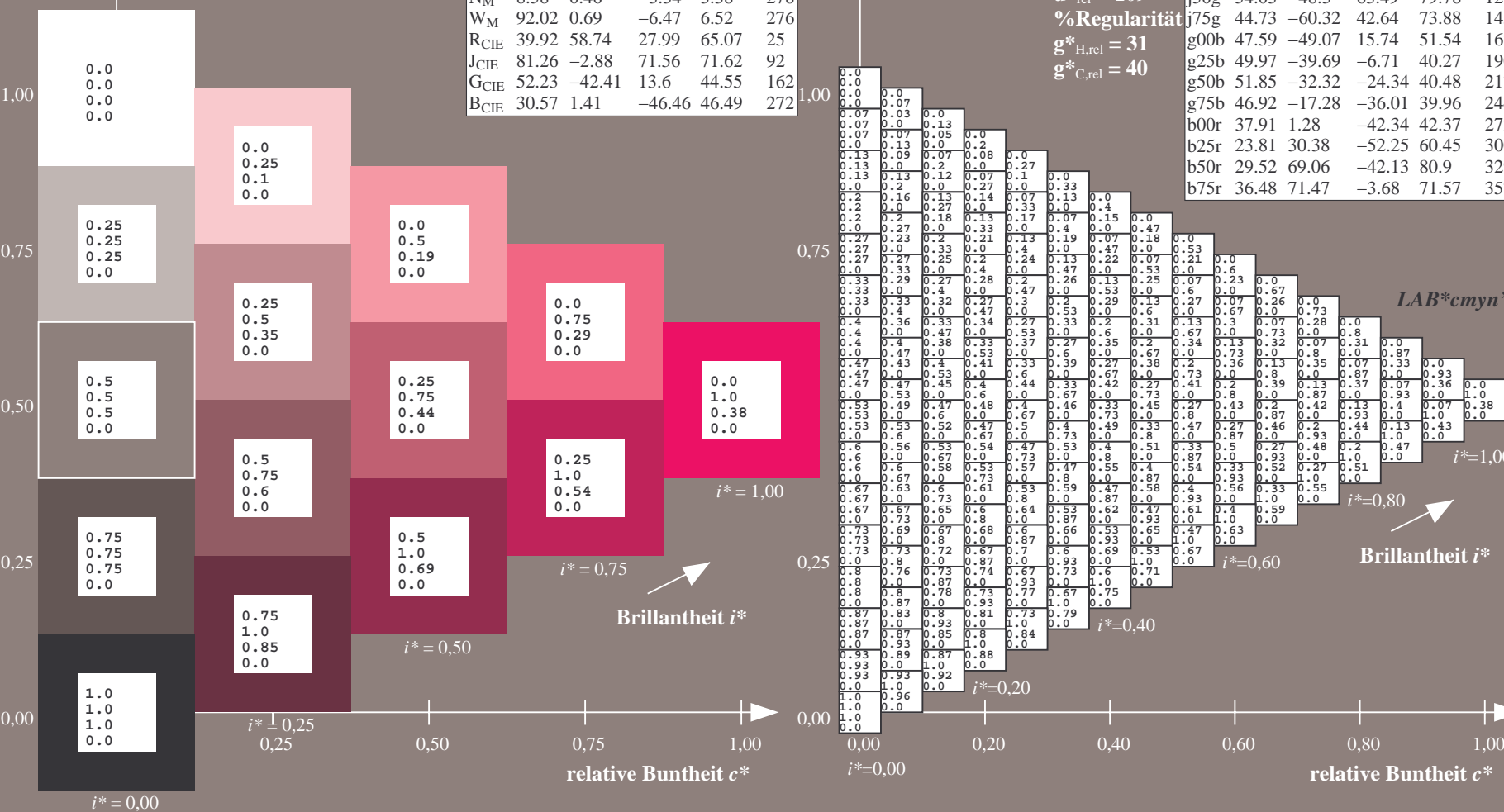
%Regularität

$g^*_{H,rel} = 31$

$g^*_{C,rel} = 40$

FRS09_92a; adaptierte CIELAB-Daten

	$L^*=L^*_a$	a^*_a	b^*_a	$C^*_{ab,a}$	$h^*_{ab,a}$
r00j	35.47	63.32	30.17	70.15	25
r25j	39.12	54.56	49.45	73.64	42
r50j	50.64	39.15	64.89	75.79	59
r75j	64.01	21.26	82.83	85.52	76
j00g	83.18	-4.37	108.53	108.62	92
j25g	66.73	-29.88	83.06	88.28	110
j50g	54.03	-48.3	63.49	79.78	127
j75g	44.73	-60.32	42.64	73.88	145
g00b	47.59	-49.07	15.74	51.54	162
g25b	49.97	-39.69	-6.71	40.27	190
g50b	51.85	-32.32	-24.34	40.48	217
g75b	46.92	-17.28	-36.01	39.96	244
b00r	37.91	1.28	-42.34	42.37	272
b25r	23.81	30.38	-52.25	60.45	300
b50r	29.52	69.06	-42.13	80.9	329
b75r	36.48	71.47	-3.68	71.57	357



[illegible]